

Oberösterreichisches
Landesmuseum

I 19184/2

DIE
NEUROPTEREN
EUROPAS

DIE
NEUROPTEREN
EUROPAS

II

Die Neuropteren Europas

Eine zusammenfassende Darstellung der
Systematik, Ökologie und Chorologie
der Neuropteroidea (Megaloptera, Raphidioptera, Planipennia)
Europas

Mit 96 Bestimmungsschlüsseln, 12 Tabellen, 913 Strichzeichnungen,
259 Fotografien, 26 Aquarellen und 222 Verbreitungskarten

von

Univ. Prof. Dr. HORST ASPÖCK (Wien)
Hygiene-Institut der Universität Wien

Dr. ULRIKE ASPÖCK (Wien)
HERBERT HÖLZEL (Graz)

unter Mitarbeit von

HUBERT RAUSCH
(Scheibbs)

Goecke & Evers · Krefeld
1980

I 19184 | 2

Oberösterreichisches
Landesmuseum Linz / D.
Bibliothek

Inv. Nr. 708 | 1081

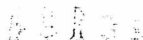
© Goecke & Evers, Krefeld 1980
ISBN 3-87263-028-8

Der in diesem Werk veröffentlichte Text, sowie sämtliche Abbildungen sind urheberrechtlich geschützt. Übersetzung, Nachdruck — besonders der Abbildungen —, Vervielfältigung auf photomechanischem oder ähnlichem Wege sowie Speicherung in Datenverarbeitungsanlagen — auch auszugsweise — bleiben vorbehalten. Fotokopien, Xerographien, oder ähnliche Reproduktionsverfahren des gesamten Werkes sind ausdrücklich untersagt. Von einzelnen Teilen des Werkes dürfen nur einzelne Kopien für den persönlichen Gebrauch hergestellt werden. Jede im Bereich eines gewerblichen Unternehmens zulässig hergestellte oder benutzte Kopie dient gewerblichen Zwecken gem. §54 (2) UrhG und verpflichtet zur Gebührenzahlung an die VG Wort, Abt. Wissenschaft, Goethestr. 49, 8000 München 2, von der die einzelnen Zahlungsmodalitäten zu erfragen sind.

Gesamtherstellung: Hans Koch Buch- und Offsetdruck GmbH, Bielefeld

Inhaltsverzeichnis

Vorbemerkungen zu den Abbildungen	7
Liste der Provenienzen der dargestellten Individuen	8
Strichzeichnungen (Abb. 1-913)	13
Fototafeln (F. 1-259)	157
Farbtafeln (Aqu. 1-26)	213
Vorbemerkungen zu den Verbreitungskarten	229
Verbreitungskarten (Karte 1-222)	230



Die Ergebnisse der
Zurich-Zürcher
Expedition
1911-1912
in
Südostasien
und
Südostchina

Band I
Fauna und Flora

Teil 1

Arthropoden

Teil 2

Vertebrata

Teil 3

Botanik

Teil 4

Zoologie

Teil 5

Geographie

Teil 6

Botanik

Teil 7

Zoologie

Teil 8

Geographie

Teil 9

Zoologie

Teil 10

Geographie

Teil 11

Zoologie

Teil 12

Geographie

Teil 13

Zoologie

Teil 14

Aquarelle: Ruth Holzinger (Wien)
Fotografische Aufnahmen: Ernst Hüttinger (Purgstall)

Vorbemerkungen zu den Abbildungen

Die Strichzeichnungen (Abb. 1-913) stellen — mit Ausnahme der Abbildungen 252, 270, 897 und 900-912 — durchwegs Originalzeichnungen dar; sie wurden unter Verwendung eines WILD-M5-Zeichentubus — meist nach Präparaten in Glyzerin (siehe Kapitel 2.4.), ausnahmsweise nach Trockenpräparaten (z.B. Flügel) — angefertigt. Aus den beigefügten Maßstäben sind die Vergrößerungen ersichtlich; enthält eine Tafel nur einen Maßstab, so gilt dieser für alle Abbildungen dieser Tafel.

Um das Auffinden einzelner taxonomisch wichtiger Strukturen des Genitalapparats zu erleichtern und deren Verständnis zu gewährleisten, wurden zumindest von einer Spezies eines jeden Genus die ♂ und ♀ Genitalsegmente mit allen Detailstrukturen und mit allen Borsten dargestellt. Nur bei einigen Genera (z.B. *Neuroleon*) wurde wegen der weitgehenden Übereinstimmung mit den entsprechenden Strukturen anderer Gattungen auf die Darstellung der Genitalsegmente verzichtet. Die Borsten wurden im übrigen bei den meisten Zeichnungen weggelassen; sie sind taxonomisch fast durchwegs ohne Bedeutung (siehe auch Kapitel 2.4.).

Grundsätzlich wurden alle Zeichnungen möglichst genau beschriftet, obwohl die Interpretation zahlreicher Strukturen der Genitalsegmente der Neuropteren höchst unsicher ist und mit Sicherheit noch erhebliche Veränderungen erfahren wird (siehe Glossarium). Dies wird auch manche Kritik an den von uns vorgenommenen Bezeichnungen bedingen, die wir indes — zugunsten des höheren Informationsgehalts der Abbildungen — gerne in Kauf nehmen. Auf die (in sehr vielen Fällen berechtigte) Anbringung eines ? nach der Bezeichnung haben wir grundsätzlich verzichtet; der Informationsgehalt würde sich dabei nicht wesentlich erhöhen, die Übersichtlichkeit hingegen erheblich leiden.

Hinweispfeile ohne Bezeichnung (bei Strichzeichnungen und Fotografien) beziehen sich durchwegs auf Merkmale, die in den Bestimmungsschlüsseln verwendet werden.

Die Herkunft der dargestellten Individuen kann den folgenden Provenienzlisten entnommen werden.

Liste der Provenienz der auf den Seiten 13-229
(Abb. 1-913, F. 1-259, Aqu. 1-26)
dargestellten Individuen

Um die Liste nicht unnötig zu überlasten, werden zumeist nur der Staat — durch das internationale Kennzeichen — und ein weiterer großräumiger und allgemein bekannter Bezugspunkt (Provinz, Landschaft, Gebirge, Insel, Gewässer, größerer Ort etc.) angegeben. Bei Abbildungen, die Gattungsmerkmale veranschaulichen, nicht aber der Kennzeichnung einer Spezies dienen, entfällt die Angabe.

Abb. 6-9: E, Jaén. — Abb. 10-11: A, Kärnten. — Abb. 12-13: TR (Anatolien), Bolu. — Abb. 14-15: S, Östersund. — Abb. 16-17: CH, Jura. — Abb. 18-19: BRD, Bayern. — Abb. 20-21: N, Slettefiell. — Abb. 22: A, Niederösterreich. — Abb. 23: SF, Südfinnland. — Abb. 24: S, Östersund. — Abb. 25: A, Niederösterreich. — Abb. 26: A, Salzburg. — Abb. 27: N, Slettefiell. — Abb. 30-31: GR, Akarnanisches Gebirge. — Abb. 32-33: GR, Olympos. — Abb. 34-35: A, Niederösterreich. — Abb. 36-37: GR, Skyros. — Abb. 38-39: GR, Phokis. — Abb. 40-41: YU, Skopje. — Abb. 42-43: GR, Chios. — Abb. 44-45: TR (Anatolien), Ankara. — Abb. 46-47: GR, Kreta. — Abb. 48-49: A, Osttirol. — Abb. 50-51: GR, Phokis. — Abb. 52-53: I, Piemonte. — Abb. 54-55: SU, Krim. — Abb. 56-57: A, Niederösterreich. — Abb. 58-59: R, Mehadia. — Abb. 60-61: A, Oberösterreich. — Abb. 62-63: F, Haute-Provence. — Abb. 64-65: F, Vaucluse. — Abb. 66-67: GR, Evvia. — Abb. 68-69: GR, Phokis. — Abb. 70-71: A, Niederösterreich. — Abb. 72-73: GR, Evvia. — Abb. 74-75: GR, Elikon. — Abb. 76-77: GR, Pateras. — Abb. 78-79: I, Sila. — Abb. 80-81: GR, Kreta. — Abb. 82-83: GR, Ikaria. — Abb. 84-85: GR, Phokis. — Abb. 86-87: GR, Olympos. — Abb. 88-89: YU, Montenegro. — Abb. 90-91: GR, Parnassos. — Abb. 92: GR, Giona-Gebirge. — Abb. 93: GR, Evvia. — Abb. 94-95: GR, Achaia. — Abb. 96-97: GR, Arkadia. — Abb. 98-99: GR, Phokis. — Abb. 100-101: GR, Akarnanisches Gebirge. — Abb. 102-103: BG, Rodopen. — Abb. 104-105: BG, Sliven. — Abb. 106-107: GR, Arkadia. — Abb. 108-109: GR, Othrys-Gebirge. — Abb. 110-111: GR, Pieria. — Abb. 112-113: GR, Parnis-Gebirge. — Abb. 114-115: GR, Phokis. — Abb. 116-117: GR, Arkadia. — Abb. 118-119: GR, Elikon. — Abb. 120-121: GR, Achaia. — Abb. 122-123: A, Niederösterreich. — Abb. 124-125: E, Cuenca. — Abb. 126-127: GR, Phokis. — Abb. 128-129: GR, Achaia. — Abb. 130-133: E, Sierra de Guadarrama. — Abb. 134-135: E, Segovia. — Abb. 136-137: E, Sierra Nevada. — Abb. 138-139: E, Sierra de Gredos. — Abb. 140-141: E, Alicante. — Abb. 142-143: E, Cuenca. — Abb. 144-145: E, Sierra Nevada. — Abb. 146-147: A, Niederösterreich. — Abb. 148-149: I, Sila. — Abb. 150-151: A, Oberösterreich. — Abb. 152-153: E,Montserrat. — Abb. 154-155: I, Calabria. — Abb. 156-157: GR, Attica. — Abb. 158-159: A, Niederösterreich. — Abb. 160-161: GR, Parnon-Gebirge. — Abb. 162: I, Sila. — Abb. 163: A, Oberösterreich. — Abb. 164: E, Montserrat. — Abb. 165: GR, Parnis-Gebirge. — Abb. 166: GR, Kyllini. — Abb. 167: A, Niederösterreich. — Abb. 168: I, Piemonte. — Abb. 169: A, Niederösterreich. — Abb. 170: GR, Arkadia. — Abb. 171: GR, Phokis. — Abb. 172: E, Teruel. — Abb. 173-174: E, Cuenca. — Abb. 175: E, Sierra Nevada. — Abb. 176: E, Alicante. — Abb. 177: E, Sierra Nevada. — Abb. 178: A, Niederösterreich. — Abb. 179-180: GR, Evvia. — Abb. 181: A, Osttirol. — Abb. 182: GR, Phokis. — Abb. 183: TR (Anatolien), Konya. — Abb. 184: GR, Evvia. — Abb. 185: GR, Elikon. — Abb. 189: A, Niederösterreich. — Abb. 190: GR, Skyros. — Abb. 191: GR, Phokis. — Abb. 192: F, Haute-Provence. — Abb. 193: A, Burgenland. — Abb. 194: GR, Evvia. — Abb. 195: F, Vaucluse. — Abb. 196-197: BG, Rodopen. — Abb. 198: BG, Sliven. — Abb. 199: GR, Achaia. — Abb. 200-211: GR, Kreta. — Abb. 212: A, Niederösterreich. — Abb. 213: TR (Anatolien), Kilikischer Taurus. — Abb. 214: A, Niederösterreich. — Abb. 215: I, Sila. — Abb. 216: E, Cuenca. — Abb. 217: I, Sicilia. — Abb. 218: SU, Ja-

kutsk. — Abb. 219-220: A, Niederösterreich. — Abb. 221: I, Puglia. — Abb. 222: TR (Anatolien), Kilikischer Taurus. — Abb. 223: I, Sila. — Abb. 224: A, Niederösterreich. — Abb. 225: CH, Engadin. — Abb. 226-227: A, Niederösterreich. — Abb. 228: E, Sierra Nevada. — Abb. 229: GR, Chalkidiki. — Abb. 230: I, Calabria. — Abb. 231: A, Niederösterreich. — Abb. 232-238: GR, Pella. — Abb. 239-241: I, Sila. — Abb. 242-244: E, Alicante. — Abb. 245-247: E, Murcia. — Abb. 248-250: BG, Rodopen. — Abb. 251: I, Massiccio del Pollino. — Abb. 252: E, Lerida. — Abb. 253: E, Albacete. — Abb. 254: E, Murcia. — Abb. 255: BG, Rodopen. — Abb. 256-259: A, Niederösterreich. — Abb. 260-261: I, Basilicata. — Abb. 262: A, Kärnten. — Abb. 263-264: I, Lazio. — Abb. 265-267: Marokko, Moyen Atlas. — Abb. 268: E, Granada. — Abb. 269: TR (Anatolien), Artvin. — Abb. 270: R, Cluj. — Abb. 271-275: GR, Kreta. — Abb. 276-285: A, Niederösterreich. — Abb. 286-287: A, Burgenland. — Abb. 288-290: A, Niederösterreich. — Abb. 291-292: F, Corse. — Abb. 293-294: A, Niederösterreich. — Abb. 295-297: I, Sila. — Abb. 298-299: A, Niederösterreich. — Abb. 300-301: I, Massiccio del Pollino. — Abb. 302-303: A, Burgenland. — Abb. 304-305: A, Niederösterreich. — Abb. 306-308: Marokko, Moyen Atlas. — Abb. 309: E, Sierra Guadarrama. — Abb. 310-311: BG, Rodopen. — Abb. 312-313: I, Taranto. — Abb. 314-316: E, Sierra Nevada. — Abb. 317-318: GR, Rhodos. — Abb. 319-321: Iran, Bandar Abbas. — Abb. 322-323: Marokko, Moyen Atlas. — Abb. 324-326: F, Pyrenäen. — Abb. 327-328: I, Sila. — Abb. 329-334: I, Massiccio del Pollino. — Abb. 335-345: A, Niederösterreich. — Abb. 346-351: YU, Sarajevo. — Abb. 352-354: AL, Bicaj. — Abb. 355: F, Corse. — Abb. 356: I, Sicilia. — Abb. 357: GR, Achaia. — Abb. 358-361: A, Oberösterreich. — Abb. 362-364: F, Vaucluse. — Abb. 365-366: GB, Südenland. — Abb. 367-368: A, Niederösterreich. — Abb. 369-370: SF, Südfinnland. — Abb. 371-372: I, Sardagna. — Abb. 373-374: GB, Südenland. — Abb. 375-376: SF, Südfinnland. — Abb. 377: NL, Süd-Niederlande. — Abb. 378-381: I, Sardagna. — Abb. 382: Marokko, Moyen Atlas. — Abb. 383-386: GR, Arkadia. — Abb. 387-388: GR, Pieria. — Abb. 389-395: E, Malaga. — Abb. 396: GR, Pieria. — Abb. 397: E, Malaga. — Abb. 398-404: GR, Chios. — Abb. 405-407: TR (Anatolien), Mersin. — Abb. 408: A, Niederösterreich. — Abb. 409: GR, Chios. — Abb. 410: GR, Samothraki. — Abb. 411-417: GR, Naxos. — Abb. 418-420: GR, Kreta. — Abb. 421: GR, Thasos. — Abb. 422: E, Alicante. — Abb. 423-430: P, Leiria. — Abb. 431-432: GR, Thasos. — Abb. 433-434: E, Sierra Nevada. — Abb. 435: F, Corse. — Abb. 436: E, Barcelona. — Abb. 437: E, Sierra Alfacar. — Abb. 438: I, Sila. — Abb. 439: GR, Pieria. — Abb. 440-443: E, Sierra Nevada. — Abb. 444-445: F, Corse. — Abb. 446: E, Sierra Nevada. — Abb. 447: E, Barcelona. — Abb. 448: E, Sierra Alfacar. — Abb. 449: I, Sila. — Abb. 450: A, Niederösterreich. — Abb. 451: A, Nordtirol. — Abb. 452: A, Oberösterreich. — Abb. 462-470: A, Nordtirol. — Abb. 471-476: A, Niederösterreich. — Abb. 477-480: A, Nordtirol. — Abb. 481: A, Niederösterreich. — Abb. 482: YU, Split. — Abb. 483: I, Sicilia. — Abb. 484-491: A, Oberösterreich. — Abb. 492-498: A, Nordtirol. — Abb. 499-501: A, Niederösterreich. — Abb. 502-504: A, Nordtirol. — Abb. 505-507: A, Oberösterreich. — Abb. 508-510: BG, Batak. — Abb. 511-513: A, Oberösterreich. — Abb. 514-516: A, Nordtirol. — Abb. 517-525: A, Oberösterreich. — Abb. 526-528: R, Cluj. — Abb. 529-531: A, Niederösterreich. — Abb. 532-534: BRD, Amrum. — Abb. 535-537: Kanaren, Teneriffa. — Abb. 538-539: I, Monte Baldo. — Abb. 540-541: GR, Olympos. — Abb. 542-544: A, Niederösterreich. — Abb. 545-547: TR (Anatolien), Konya. — Abb. 548-549: A, Nordtirol. — Abb. 550-551: A, Oberösterreich. — Abb. 552: A, Nordtirol. — Abb. 553-555: A, Oberösterreich. — Abb. 556: A, Niederösterreich. — Abb. 557: BRD, Amrum. — Abb. 558: SU, Armenien. — Abb. 559: A, Niederösterreich. — Abb. 560: TR (Anatolien), Konya. — Abb. 561-566: A, Oberösterreich. — Abb. 567-569: A, Nordtirol. — Abb. 570: A, Oberösterreich. — Abb. 571-572: A, Nordtirol. — Abb. 573-574: A, Oberösterreich. — Abb. 575: A, Niederösterreich. — Abb. 576-577: A, Oberösterreich. — Abb. 578-579: A, Nordtirol. — Abb. 580: A, Burgenland. — Abb. 581-

583: A, Niederösterreich. — Abb. 584: TR (Anatolien), Ankara. — Abb. 585: A, Niederösterreich. — Abb. 586: A, Nordtirol. — Abb. 587: A, Niederösterreich. — Abb. 588-589: A, Oberösterreich. — Abb. 590-597: A, Nordtirol. — Abb. 598-599: A, Niederösterreich. — Abb. 600: F, Corse. — Abb. 601: A, Oberösterreich. — Abb. 602: A, Niederösterreich. — Abb. 603-608: F, Corse. — Abb. 609-618: A, Niederösterreich. — Abb. 619-626: GR, Evvia. — Abb. 627-628: BRD, Hessen. — Abb. 629: A, Nordtirol. — Abb. 630: A, Oberösterreich. — Abb. 631: GR, Kerkyra. — Abb. 632: A, Nordtirol. — Abb. 633: GR, Pieria. — Abb. 634: I, Lago di Garda. — Abb. 635: E, Teruel. — Abb. 636: E, Granada. — Abb. 637-639: A, Niederösterreich. — Abb. 641-653: A, Niederösterreich. — Abb. 654: A, Burgenland. — Abb. 655-662: E, Granada. — Abb. 663-664: A, Niederösterreich. — Abb. 665-668: A, Kärnten. — Abb. 669-670: A, Oberösterreich. — Abb. 671: TR (Anatolien), Samsun. — Abb. 672: A, Niederösterreich. — Abb. 673: A, Nordtirol. — Abb. 674: A, Kärnten. — Abb. 675-678: A, Nordtirol. — Abb. 679-681: A, Oberösterreich. — Abb. 682: A, Nordtirol. — Abb. 683-684: A, Niederösterreich. — Abb. 685: E, Sierra Alfacar. — Abb. 686: TR (Anatolien), Yozgat. — Abb. 687: I, Piemonte. — Abb. 688: SU, Leningrad-Distrikt. — Abb. 689: YU, Split. — Abb. 690-691: A, Niederösterreich. — Abb. 692: Mongolische Volksrepublik, Gobi-Altai aimak. — Abb. 693: Marokko, Haut Atlas. — Abb. 694: GR, Kreta. — Abb. 695-700: TR (Anatolien), Yozgat. — Abb. 701: A, Niederösterreich. — Abb. 702: Mongolische Volksrepublik, Gobi-Altai aimak. — Abb. 703: A, Niederösterreich. — Abb. 704: I, Calabria. — Abb. 705-706: A, Niederösterreich. — Abb. 707: E, Alicante. — Abb. 708-709: A, Niederösterreich. — Abb. 710: E, Jaén. — Abb. 711-718: Afghanistan, Kabul. — Abb. 719-722: A, Niederösterreich. — Abb. 723-726: A, Steiermark. — Abb. 727: A, Niederösterreich. — Abb. 728: E, Sierra Nevada. — Abb. 729: E, Alicante. — Abb. 730-737: A, Niederösterreich. — Abb. 738-742: Irak, Baghdad. — Abb. 743-747: GR, Pieria. — Abb. 748-749: A, Niederösterreich. — Abb. 750-751: F, Vaucluse. — Abb. 752-754: GR, Naxos. — Abb. 755-761: Sudan, Northern Province. — Abb. 762-763: E, Cadiz. — Abb. 764-767: E, Alicante. — Abb. 768-770: GR, Achaia. — Abb. 771-772: GR, Evvia. — Abb. 773-775: GR, Kos. — Abb. 776-778: TR (Anatolien), Denizli. — Abb. 779-782: F, Vaucluse. — Abb. 783-785: E, Granada. — Abb. 786-790: A, Niederösterreich. — Abb. 791-795: F, Bouches-du-Rhône. — Abb. 796-801: H, Ráckovo. — Abb. 802: TR (Anatolien), Tuzgöli. — Abb. 803-809: GR, Samothraki. — Abb. 810-814: Marokko, Ouarzazate. — Abb. 815: BRD, Niedersachsen. — Abb. 816: A, Niederösterreich. — Abb. 817: E, Sierra Nevada. — Abb. 818: GR, Pieria. — Abb. 819: E, Huelva. — Abb. 820: A, Burgenland. — Abb. 821: Mongolische Volksrepublik, Bulgan aimak. — Abb. 822: BRD, Niedersachsen. — Abb. 823: Sinai, Wadi el Tuba. — Abb. 824-827: E, Alicante. — Abb. 828-831: A, Niederösterreich. — Abb. 832: E, Albacete. — Abb. 833: GR, Elis. — Abb. 834: I, Puglia. — Abb. 835: I, Südtirol. — Abb. 836: E, Granada. — Abb. 837: TR (Anatolien), Tarsus. — Abb. 838: E, Barcelona. — Abb. 839: I, Calabria. — Abb. 840: E, Sierra Alfacar. — Abb. 841-842: SU, Armenien. — Abb. 843: F, Vaucluse. — Abb. 844: YU, Ohrid. — Abb. 845: TR (Anatolien), Tarsus. — Abb. 846: SU, Armenien. — Abb. 847: TR (Anatolien), Tarsus. — Abb. 848: I, Südtirol. — Abb. 849: GR, Achaia. — Abb. 850a: I, Trento. — Abb. 850b: A, Burgenland. — Abb. 851-854: E, Granada. — Abb. 855: E, Huelva. — Abb. 856: GR, Achaia. — Abb. 857: I, Sardegna. — Abb. 858-862: GR, Pieria. — Abb. 863-865: TR (Anatolien), Bursa. — Abb. 866-870: A, Burgenland. — Abb. 871-875: YU, Split. — Abb. 876-879: E, Murcia. — Abb. 880-881: E, Gerona. — Abb. 882-887: F, Var. — Abb. 888: I, Sicilia. — Abb. 889-890: F, Montpellier. — Abb. 891-894: F, Camargue. — Abb. 895-896: E, Sierra Nevada.

* * *

F. 1: A, Salzburg. — F. 2: TR (Anatolien), Bolu. — F. 3: S, Östersund. — F. 4: E, Jaén. — F. 5: A, Salzburg. — F. 6: N, Slettefiell. — F. 7: A, Burgenland. — F. 8: GR, Skyros. — F. 9: GR, Achaia. — F. 10: YU, Skopje. — F. 11: GR, Chios. — F. 12: TR (Anatolien), Ankara. — F. 13: GR, Kreta. — F. 14: A, Niederösterreich. — F. 15: GR, Phokis. — F. 16: I, Piemonte. — F. 17: SU, Krim. — F. 18-19: A, Niederösterreich. — F. 20: F, Basses-Alpes. — F. 21: I, Gargano. — F. 22: GR, Evvia. — F. 23: GR, Phokis. — F. 24: A, Niederösterreich. — F. 25: GR, Skopelos. — F. 26: GR, Elikon. — F. 27: GR, Pateras. — F. 28: I, Sila. — F. 29: GR, Kreta. — F. 30: GR, Chios. — F. 31: GR, Phokis. — F. 32: GR, Olympos. — F. 33: YU, Montenegro. — F. 34: GR, Evvia. — F. 35: GR, Achaia. — F. 36: GR, Arkadia. — F. 37: GR, Akarnanisches Gebirge. — F. 38: GR, Phokis. — F. 39: BG, Rodopen. — F. 40: GR, Thasos. — F. 41: GR, Arkadia. — F. 42: BG, Sliven. — F. 43: A, Steiermark. — F. 44: GR, Parnis. — F. 45: YU, Ochrid. — F. 46: GR, Kyllini. — F. 47: GR, Arkadia. — F. 48: GR, Attica. — F. 49: A, Niederösterreich. — F. 50: E, Cuenca. — F. 51: GR, Phokis. — F. 52: GR, Achaia. — F. 53: AND, Andorra. — F. 54: E, Sierra de Guadarrama. — F. 55: A, Oberösterreich. — F. 56: E, Segovia. — F. 57: E, Sierra Nevada. — F. 58: E, Alicante. — F. 59: E, Cuenca. — F. 60: E, Sierra Nevada. — F. 61: A, Oberösterreich. — F. 62: E, Montserrat. — F. 63: F, Corse. — F. 64: A, Niederösterreich. — F. 65: GR, Achaia. — F. 66: A, Niederösterreich. — F. 67: TR (Anatolien), Mugla. — F. 68: E, Cuenca. — F. 69: I, Sicilia. — F. 70: GR, Phokis. — F. 71: I, Calabria. — F. 72: GR, Kreta. — F. 73-74: A, Niederösterreich. — F. 75: GR, Joannina. — F. 76: GR, Ikaria. — F. 77: GR, Kreta. — F. 78: I, Sicilia. — F. 79: GR, Elis. — F. 80: F, Corse. — F. 81: BRD, Oldenburg. — F. 82: F, Vaucluse. — F. 83: GB, Südenland. — F. 84: SF, Südfinnland. — F. 85: Marokko, Moyen Atlas. — F. 86: YU, Mazedonien. — F. 87: E, Malaga. — F. 88: A, Niederösterreich. — F. 89: TR (Anatolien), Bingöl. — F. 90: E, Cuenca. — F. 91: GR, Attica. — F. 92: GR, Chios. — F. 93: GR, Naxos. — F. 94: E, Sierra Nevada. — F. 95: E, Sierra Espuña. — F. 96: F, Corse. — F. 97: P, Leiria. — F. 98: E, Sierra Nevada. — F. 99: I, Sila. — F. 100: E, Cuenca. — F. 101: GR, Thassos. — F. 102: A, Niederösterreich. — F. 103-105: A, Nordtirol. — F. 106: E, Gerona. — F. 107: I, Sicilia. — F. 108: A, Salzburg. — F. 109: A, Steiermark. — F. 110: I, Südtirol. — F. 111: A, Oberösterreich. — F. 112: TR (Anatolien), Ankara. — F. 113: A, Oberösterreich. — F. 114: GR, Olympos. — F. 115: A, Oberösterreich. — F. 116: R, Cluj. — F. 117: A, Niederösterreich. — F. 118: BRD, Amrum. — F. 119: E, Murcia. — F. 120: I, Monte Baldo. — F. 121: GR, Olympos. — F. 122: A, Oberösterreich. — F. 123: TR (Anatolien), Ankara. — F. 124: A, Kärnten. — F. 125-126: A, Nordtirol. — F. 127: A, Niederösterreich. — F. 128: A, Salzburg. — F. 129: A, Niederösterreich. — F. 130: A, Salzburg. — F. 131: I, Südtirol. — F. 132: A, Niederösterreich. — F. 133: A, Nordtirol. — F. 134: A, Niederösterreich. — F. 135: A, Steiermark. — F. 136: A, Niederösterreich. — F. 137: I, Lago di Garda. — F. 138: TR (Anatolien), Ankara. — F. 139: A, Niederösterreich. — F. 140: SF, Lappland. — F. 141: A, Steiermark. — F. 142: A, Burgenland. — F. 143: A, Salzburg. — F. 144: F, Corse. — F. 145-147: A, Niederösterreich. — F. 148: A, Nordtirol. — F. 149: E, Kanarische Inseln, Gran Canaria. — F. 150: A, Oberösterreich. — F. 151: A, Nordtirol. — F. 152: A, Niederösterreich. — F. 153: E, Teruel. — F. 154: A, Oberösterreich. — F. 155: A, Niederösterreich. — F. 156: YU, Split. — F. 157: E, Granada. — F. 158: A, Niederösterreich. — F. 159: F, Haute-Provence. — F. 160: A, Niederösterreich. — F. 161-162: A, Kärnten. — F. 163: A, Oberösterreich. — F. 164: A, Niederösterreich. — F. 165: A, Oberösterreich. — F. 166: A, Steiermark. — F. 167: BRD, Kaiserstuhl. — F. 168: A, Niederösterreich. — F. 169: E, Granada. — F. 170: TR (Anatolien), Yozgat. — F. 171: I, Piemonte. — F. 172: SU, Leningrad. — F. 173-174: E, Granada. — F. 175: Afghanistan, Kabul. — F. 176: A, Oberösterreich. — F. 177: A, Niederösterreich. — F. 178: YU, Split. — F. 179: Afghanistan, Kabul. — F. 180: A, Oberösterreich. — F. 181: A, Kärnten. — F. 182: Marokko, Moyen Atlas. — F. 183: E, Sierra Nevada. — F. 184: A, Steiermark. — F. 185: E, Alicante. — F. 186: E, Jaén. — F. 187:

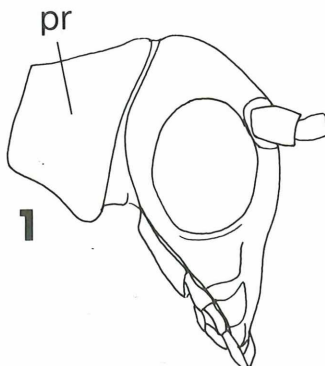
Marokko, Haut Atlas. — F. 188: A, Niederösterreich. — F. 189: YU, Skopje. — F. 190: A, Nordtirol. — F. 191-192: GR, Kreta. — F. 193: N-Iran, Elburz. — F. 194: GR, Kreta. — F. 195: GR, Pieria. — F. 196: A, Kärnten. — F. 197: A, Niederösterreich. — F. 198: F, Vaucluse. — F. 199: Irak, Bagdad. — F. 200: E, Gerona. — F. 201: GR, Pieria. — F. 202: F, Vaucluse. — F. 203: A, Steiermark. — F. 204: GR, Pieria. — F. 205: E, Murcia. — F. 206: Sudan, Northern Province. — F. 207: E, Alicante. — F. 208-209: TR (Anatolien), Denizli. — F. 210: E, Alicante. — F. 211: YU, Krk. — F. 212: A, Niederösterreich. — F. 213: E, Malaga. — F. 214: F, Vaucluse. — F. 215: GR, Messenia. — F. 216: H, Kecskemet. — F. 217: Marokko, Sahara. — F. 218: Ägypten, Suez. — F. 219: TR (Anatolien), Adana. — F. 220: CH, Jura. — F. 221: E, Sierra Nevada. — F. 222: TR (Anatolien), Konya. — F. 223: GR, Argolis. — F. 224: A, Burgenland. — F. 225: R, Donaudelta. — F. 226: BRD, Niedersachsen. — F. 227: Sinai. — F. 228: F, Vaucluse. — F. 229: E, Granada. — F. 230: YU, Split. — F. 231: I, Roma. — F. 232: Irak, Bakuba. — F. 233: E, Barcelona. — F. 234: Marokko, Haut Atlas. — F. 235: P, Serra da Estrela. — F. 236: GR, Achaia. — F. 237: F, Bouches-du-Rhône. — F. 238: I, Roma. — F. 239: YU, Mazedonien. — F. 240: Israel, Jerusalem. — F. 241: A, Niederösterreich. — F. 242: E, Granada. — F. 243: E, Alicante. — F. 244: GR, Samothraki. — F. 245: Mongolische Volksrepublik, Chövsgöl aimak. — F. 246: GR, Pieria. — F. 247: E, Sierra Nevada. — F. 248: YU, Split. — F. 249: I, Sardegna. — F. 250: I, Calabria. — F. 251: GR, Ipiros. — F. 252: E, Granada. — F. 253: GR, Kreta. — F. 254: I, Sicilia. — F. 255: TR (Anatolien), Icel. — F. 256: F, Var. — F. 257: Algerien, Oran. — F. 258: F, Nîmes. — F. 259: F, Montpellier.

* * *

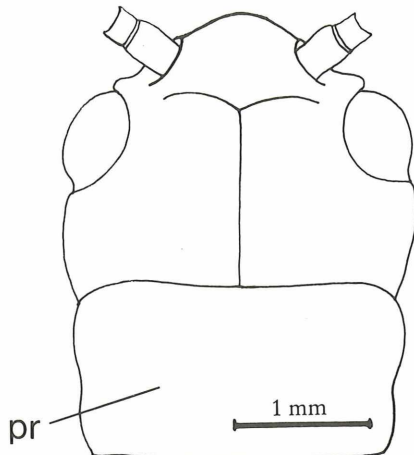
Aqu. 1: GR, Kozani, Ptolemais. — Aqu. 2: GR, Evvia, Karystos. — Aqu. 3: E, Huelva, Mazon. — Aqu. 4: F, Nice. — Aqu. 5: F, Fontaine de Vaucluse. — Aqu. 6: I, Calabria, Longobucco. — Aqu. 7: Gr, Ikaria, Phrantaton. — Aqu. 8: I, Lazio, Monte Autore. — Aqu. 9: E, Sierra Nevada, Veletastraße. — Aqu. 10: E, Granada. — Aqu. 11: E, Teruel, Albarracin. — Aqu. 12: E, Tarragona, Vandelllos. — Aqu. 13: E, Cuenca, Ciudad Encantada. — Aqu. 14: I, Calabria, Camigliatello. — Aqu. 15: CH, Wallis, Fully. — Aqu. 16: CH, Wallis, Saillon-Fully. — Aqu. 17: A, Niederösterreich, Dürnstein/Wachau. — Aqu. 18: GR, Grammos-Gebirge, Eptachorion. — Aqu. 19: GR, Pieria, Litochoron. — Aqu. 20: GR, Kreta, Sitia. — Aqu. 21-22: I, Calabria, Trebisacce. — Aqu. 23: E, Cuenca, Ciudad Encantada. — Aqu. 24: Marokko, Haut Atlas, Oukaimeden. — Aqu. 25: I, Sicilia, Petralia. — Aqu. 26: I, Sardegna, Monte Ortobene.

* * *

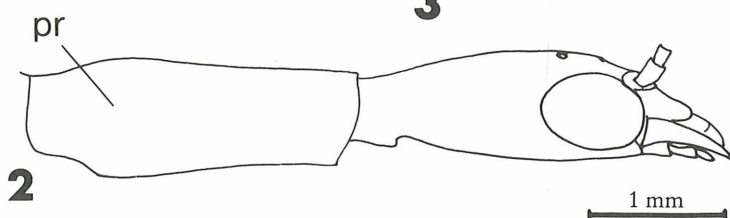
1 mm



1

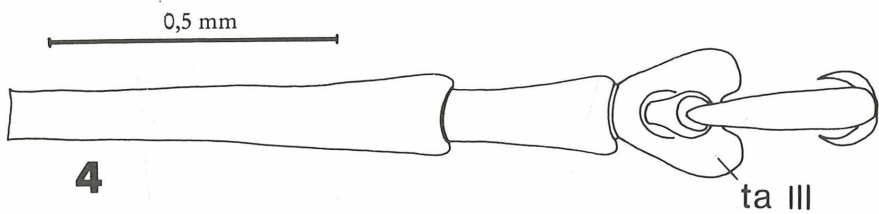


3



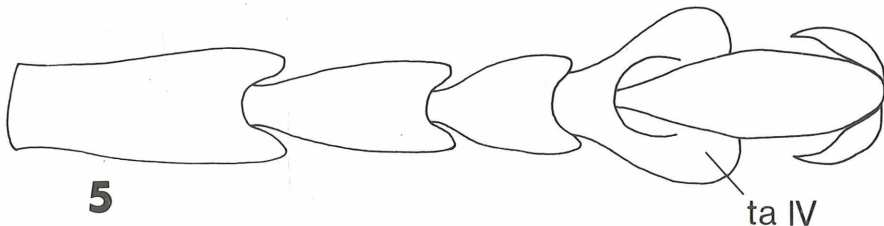
2

1 mm



4

ta III



5

ta IV

Abb. 1: Orthognather Kopf und Prothorax eines *Hemerobius* sp. (Planipennia), lateral. — Abb. 2: Prognather Kopf und Prothorax einer *Raphidia* sp. (Raphidioptera), lateral. — Abb. 3: Prognather Kopf und Prothorax einer *Sialis* sp. (Megaloptera), lateral. — Abb. 4: Tarsus einer *Raphidia* sp. — Abb. 5: Tarsus einer *Sialis* sp.

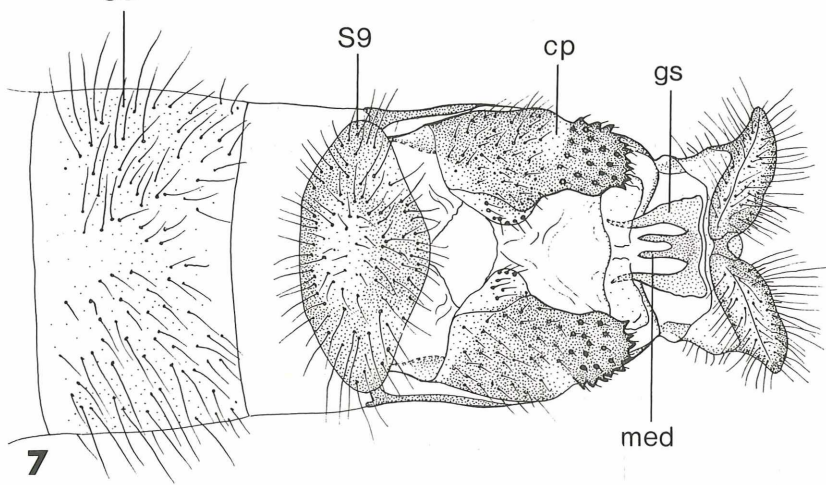
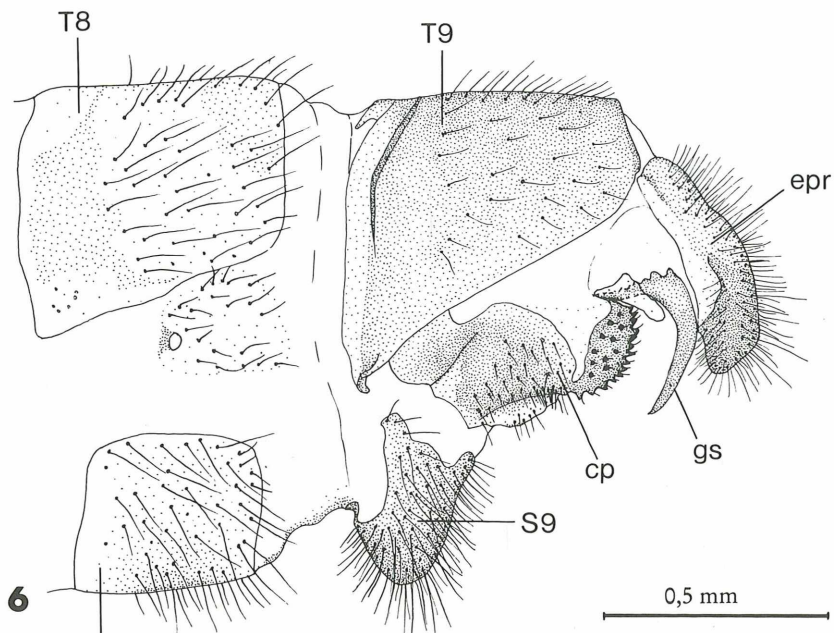


Abb. 6: *Sialis nigripes*, ♂ Genitalsegmente, lateral und — Abb. 7: ventral.

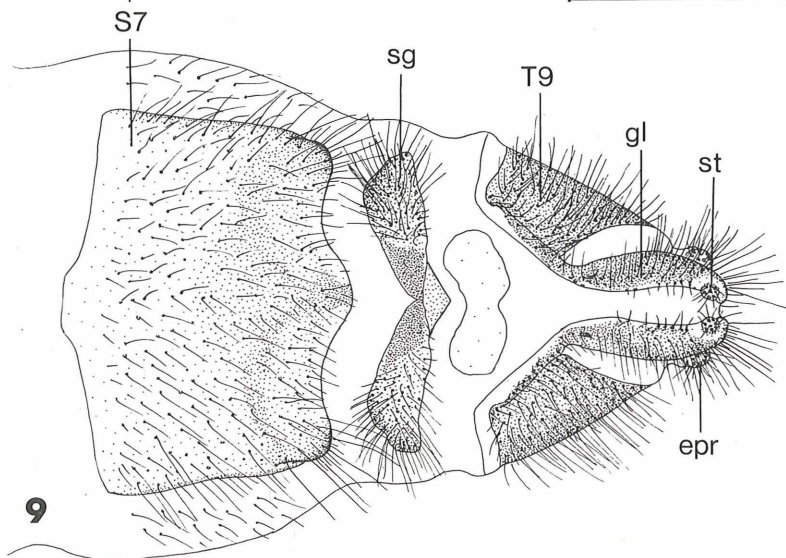
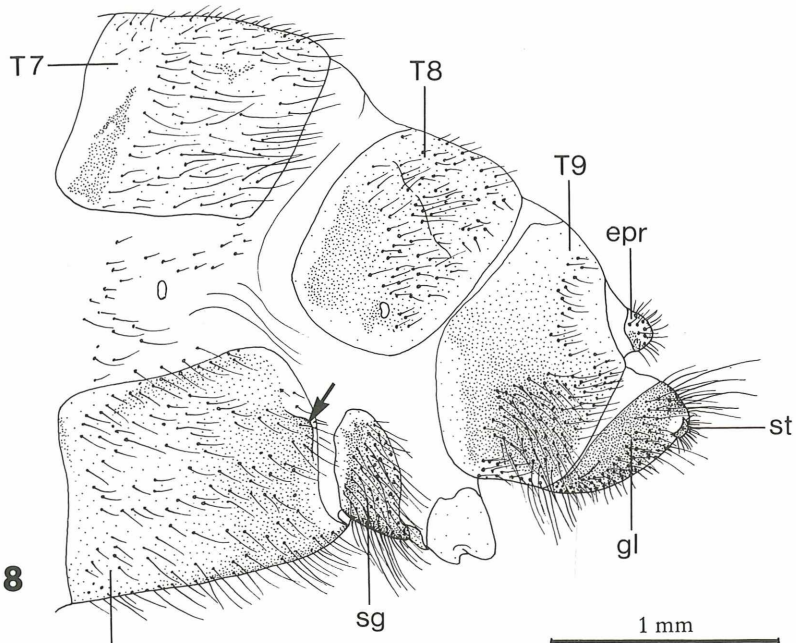


Abb. 8: *Sialis nigripes*, ♀ Genitalsegmente, lateral und — Abb. 9: ventral.

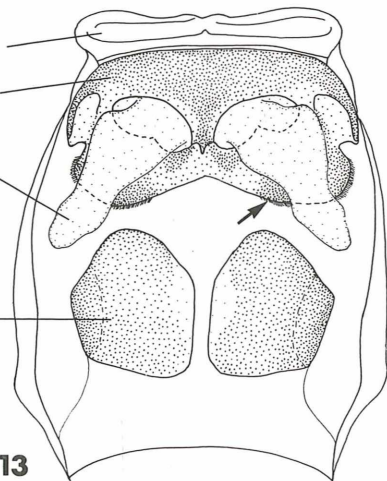
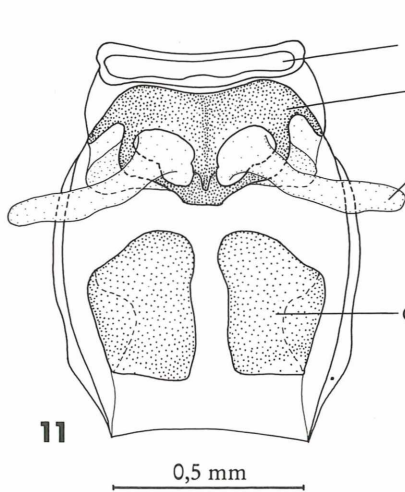
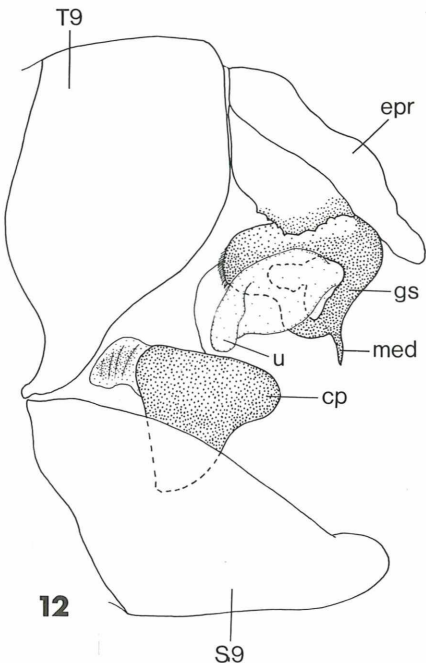
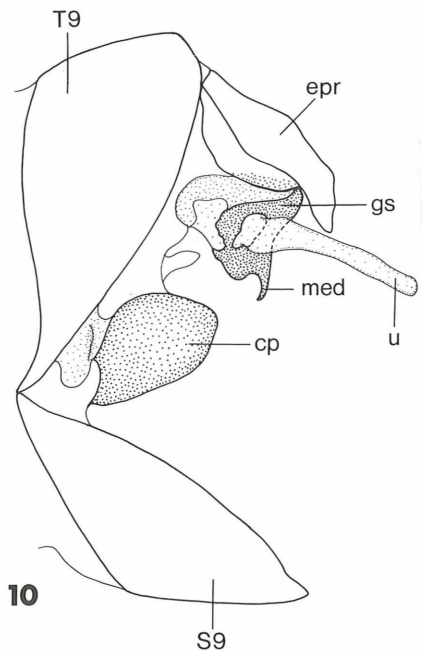


Abb. 10: *Sialis lutaria*, ♂ Genitalsegmente, lateral und — Abb. 11: kaudal. — Abb. 12: *Sialis morio*, ♂ Genitalsegmente, lateral und — Abb. 13: kaudal.

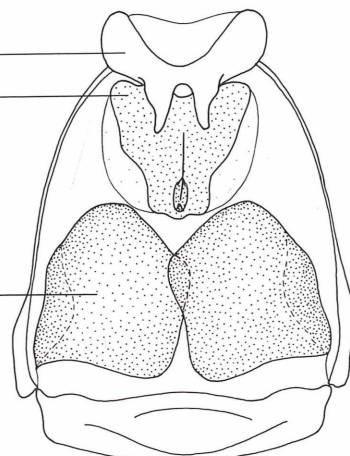
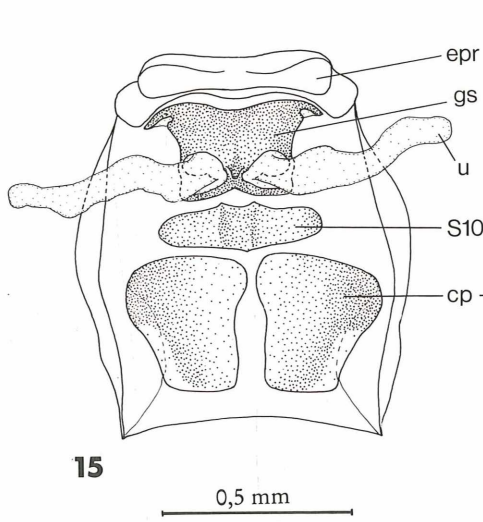
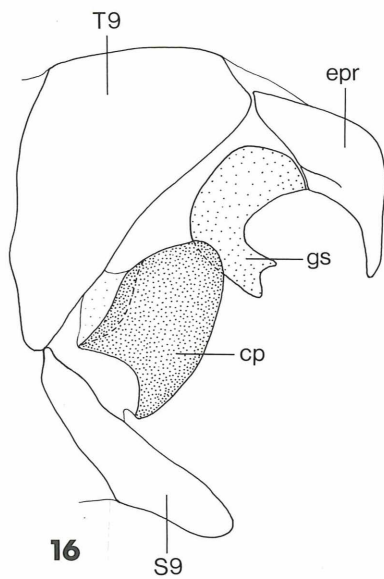
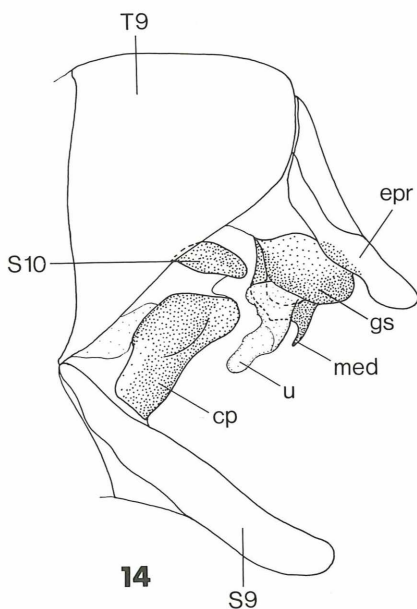
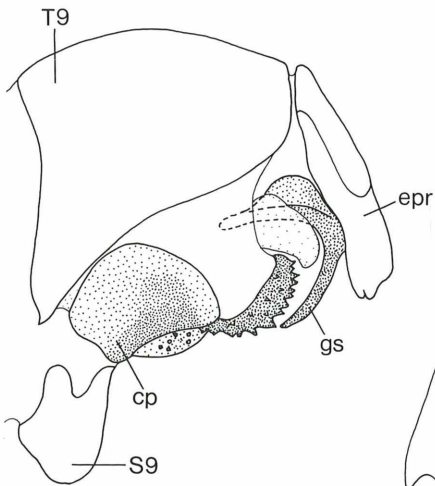
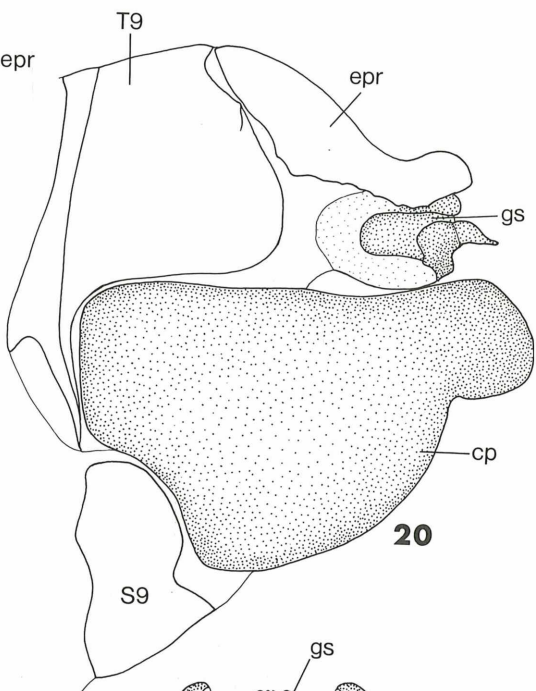


Abb. 14: *Sialis sordida*, ♂ Genitalsegmente, lateral und — Abb. 15: kaudal. — Abb. 16: *Sialis fuliginosa*, ♂ Genitalsegmente, lateral und — Abb. 17: kaudal.

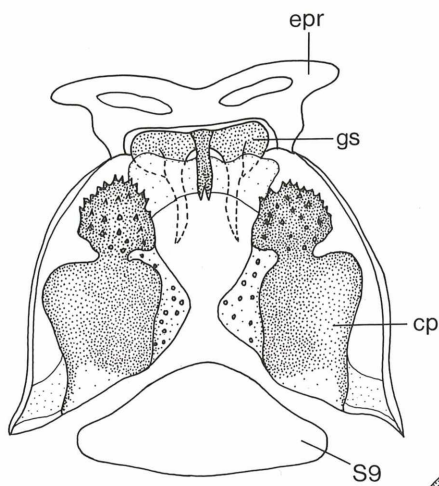


18

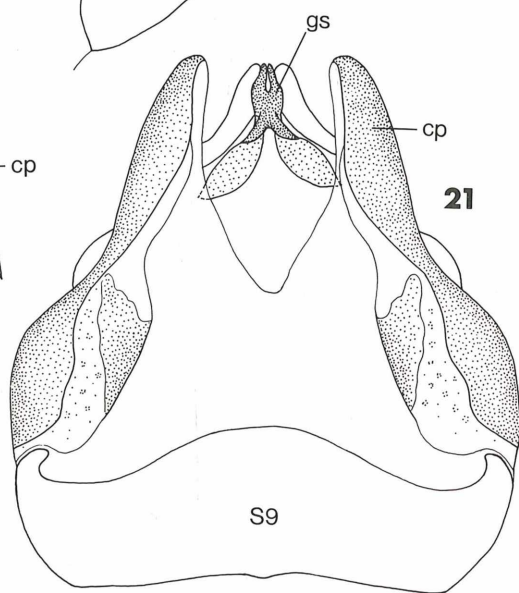
0,5 mm



20

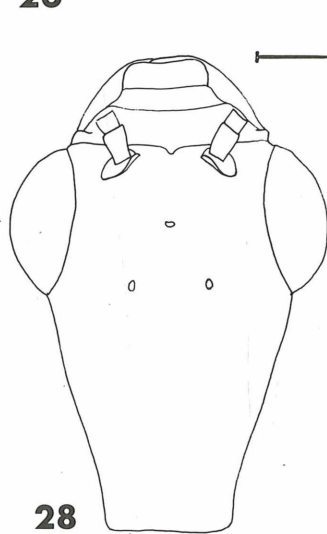
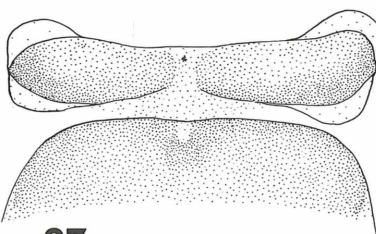
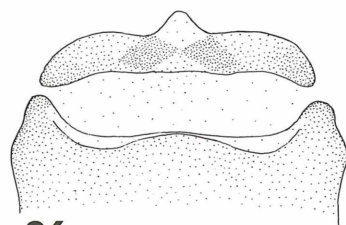
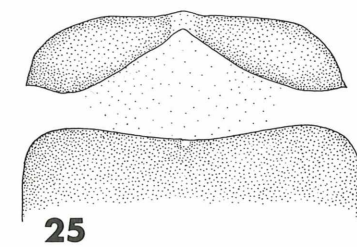
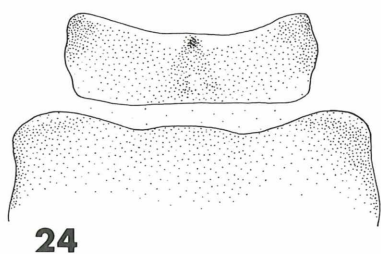
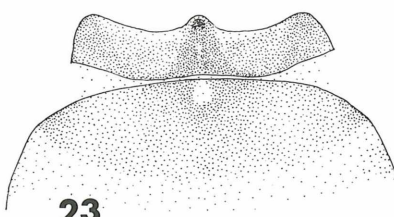
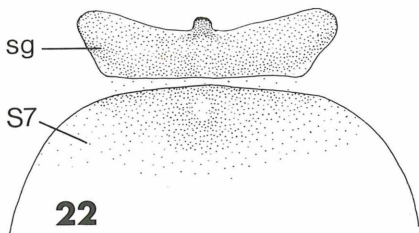


19



21

Abb. 18: *Sialis nigripes*, ♂ Genitalsegmente, lateral und — Abb. 19: kaudal. — Abb. 20: *Sialis sibirica*, ♂ Genitalsegmente, lateral und — Abb. 21: kaudal.



1 mm

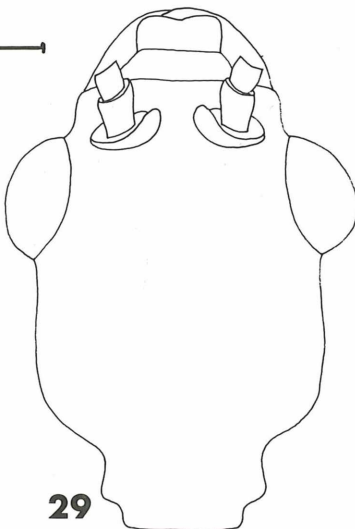


Abb. 22-27: Subgenitale, ventral, von *Sialis* spp. — ♀ ♀. — Abb. 22: *S. lutaria*. — Abb. 23: *S. morio*. — Abb. 24: *S. sordida*. — Abb. 25: *S. fuliginosa*. — Abb. 26: *S. nigripes*. — Abb. 27: *S. sibirica*. — Abb. 28: Kopf einer *Raphidia* sp., dorsal. — Abb. 29: Kopf einer *Inocellia* sp., dorsal.

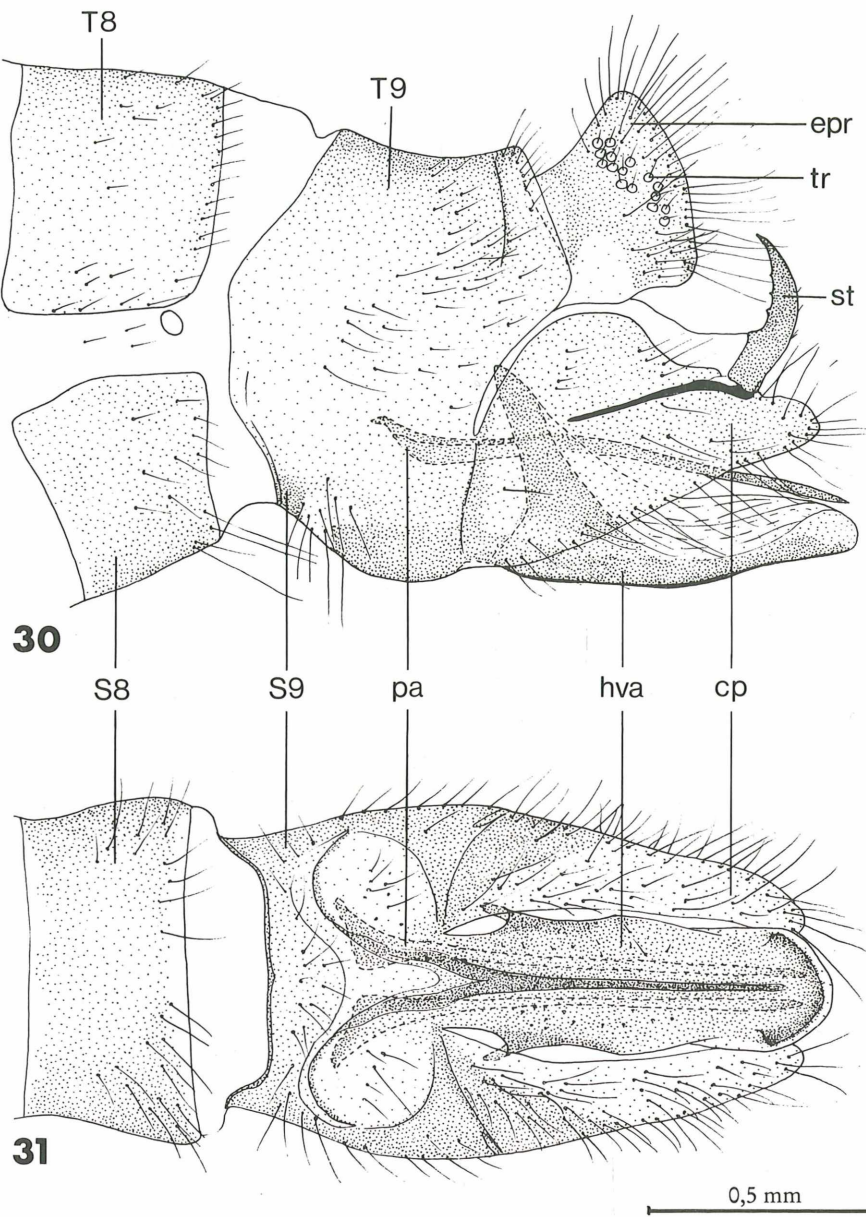


Abb. 30: *Raphidia (Superboraphidia) mammaphila*, ♂ Genitalsegmente, lateral und — Abb. 31: ventral.

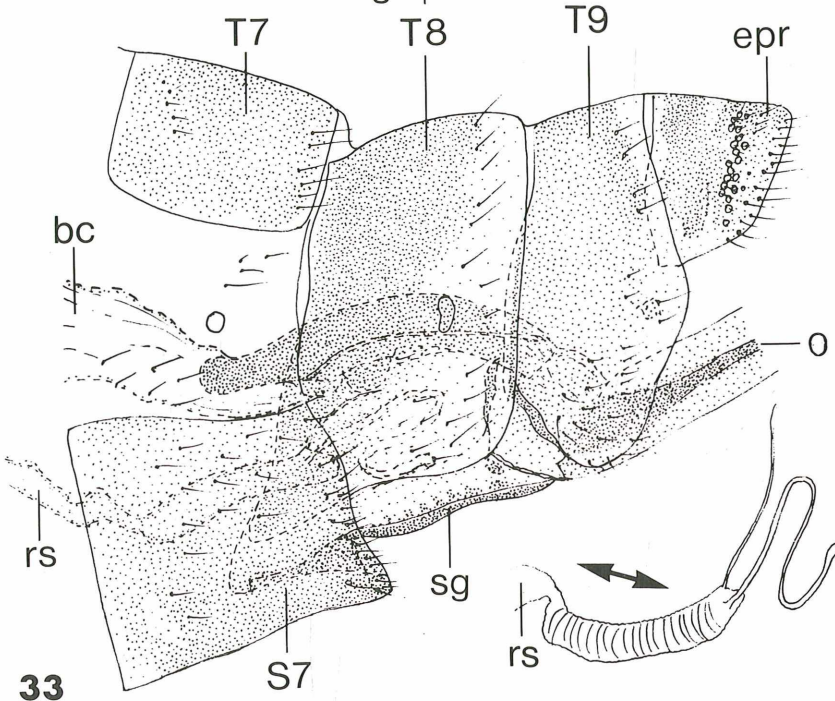
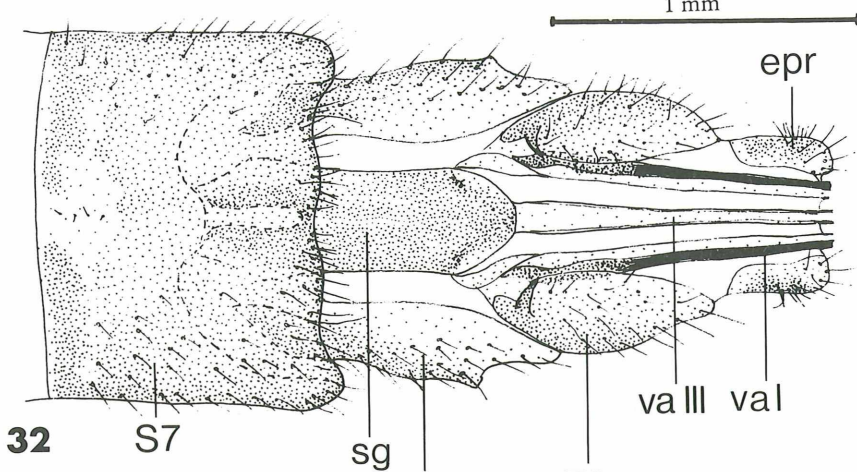


Abb. 32: *Raphidia (Phidiara) klimeschi*, ♀ Genitalsegmente, ventral und — Abb. 33: lateral.

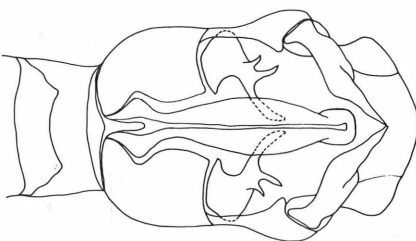
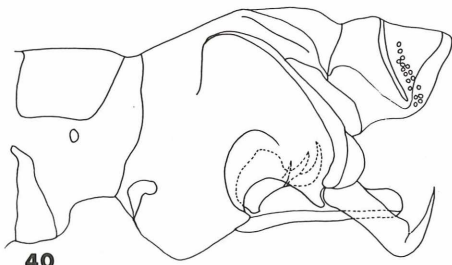
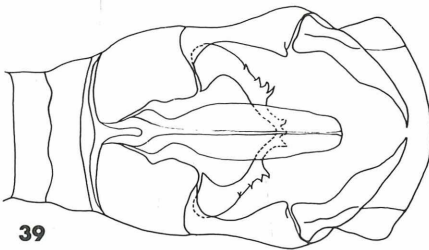
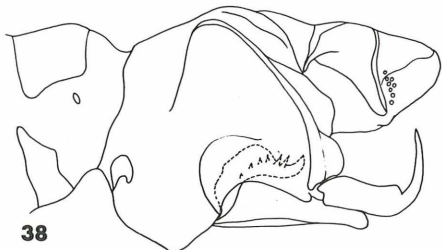
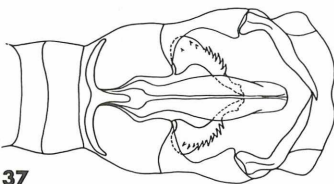
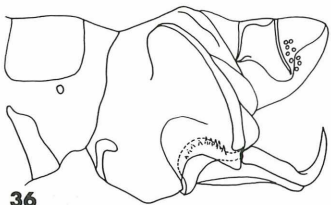
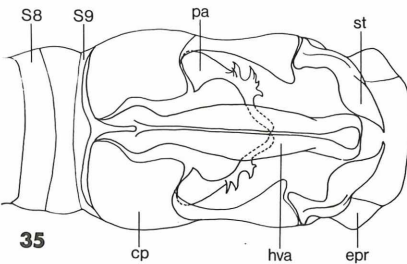
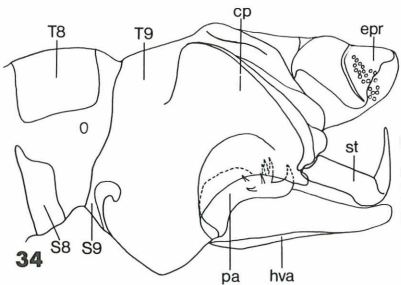
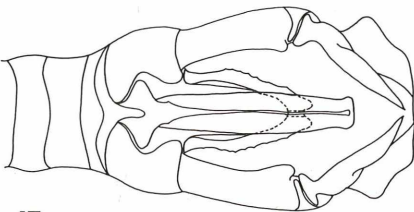
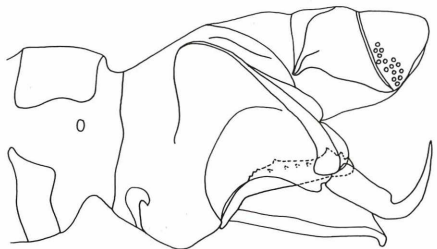
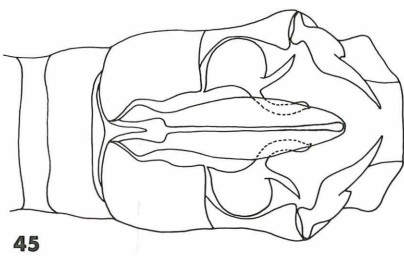
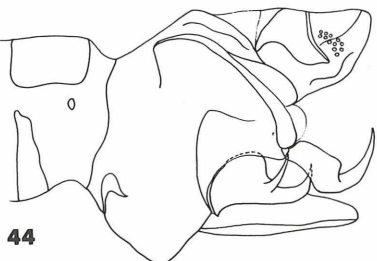
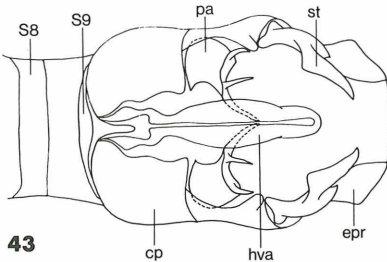
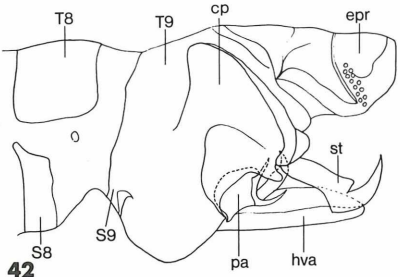


Abb. 34: *Raphidia (R.) ophiopsis ophiopsis*, ♂ Genitalsegmente, lateral und — Abb. 35: ventral. — Abb. 36: *Raphidia (R.) ophiopsis mediterranea*, ♂ Genitalsegmente, lateral und — Abb. 37: ventral. — Abb. 38: *Raphidia (R.) ophiopsis alcoholica*, ♂ Genitalsegmente, lateral und — Abb. 39: ventral. — Abb. 40: *Raphidia (R.) beieri*, ♂ Genitalsegmente, lateral und — Abb. 41: ventral.



46

47

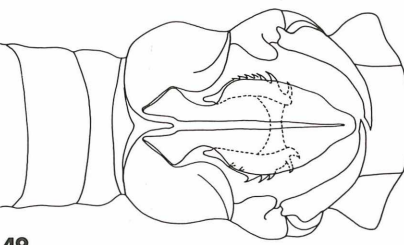
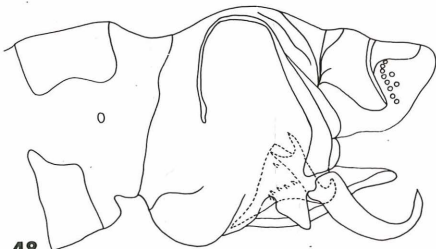


Abb. 42: *Raphidia (R.) peterressli*, ♂ Genitalsegmente, lateral und — Abb. 43: ventral. —
 Abb. 44: *Raphidia (R.) ambigua*, ♂ Genitalsegmente, lateral und — Abb. 45: ventral. —
 Abb. 46: *Raphidia (R.) ariadne*, ♂ Genitalsegmente, lateral und — Abb. 47: ventral. —
 Abb. 48: *Raphidia (R.) ulrikae*, ♂ Genitalsegmente, lateral und — Abb. 49: ventral.

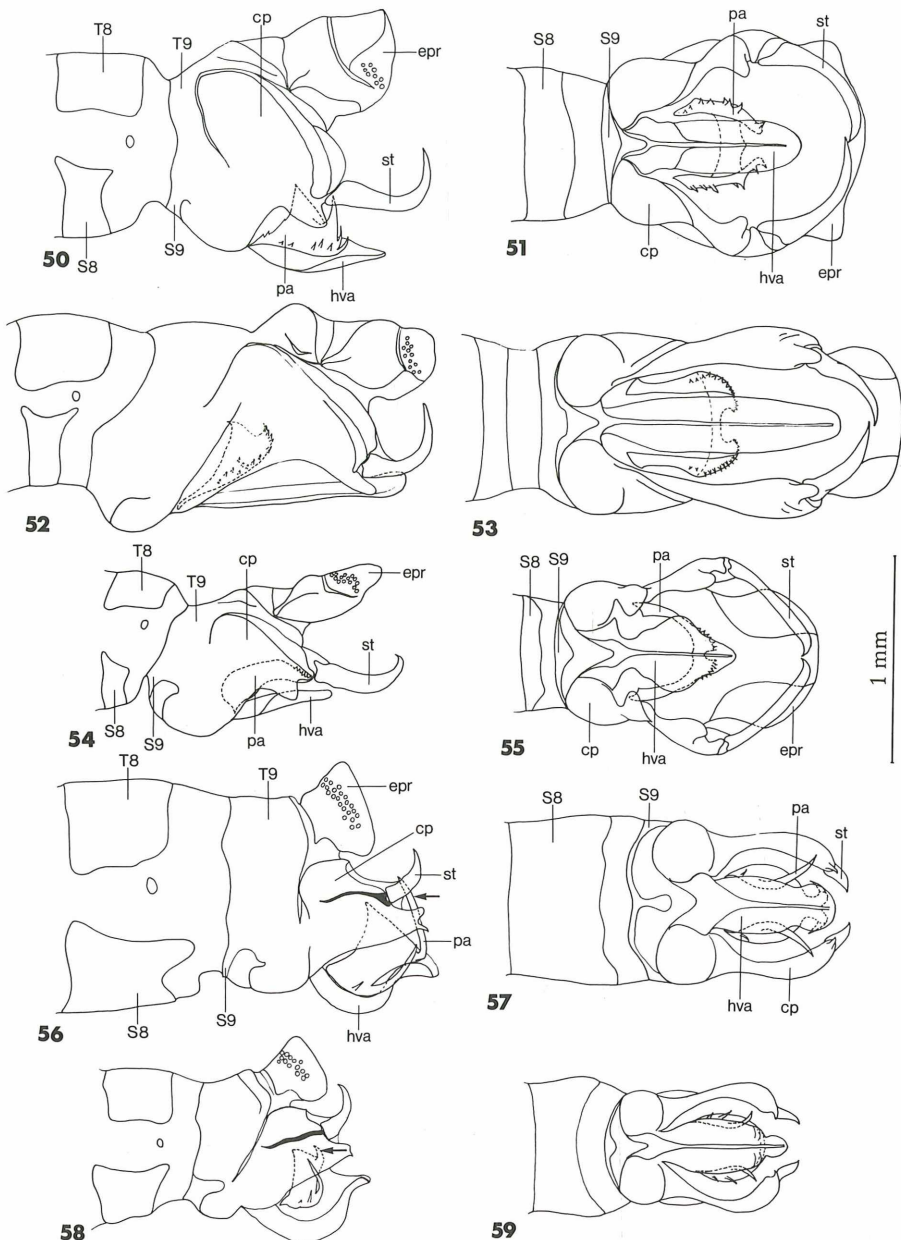


Abb. 50: *Raphidia (R.) huettlingeri*, ♂ Genitalsegmente, lateral und — Abb. 51: ventral. —
 Abb. 52: *Raphidia (R.) ligurica*, ♂ Genitalsegmente, lateral und — Abb. 53: ventral. —
 Abb. 54: *Raphidia (Pretzmannia) euxina*, ♂ Genitalsegmente, lateral und — Abb. 55: ventral. —
 Abb. 56: *Raphidia (Dichrostigma) flavipes*, ♂ Genitalsegmente, lateral und — Abb.
 57: ventral. — Abb. 58: *Raphidia (Dichrostigma) mehadia*, ♂ Genitalsegmente, lateral und
 — Abb. 59: ventral.

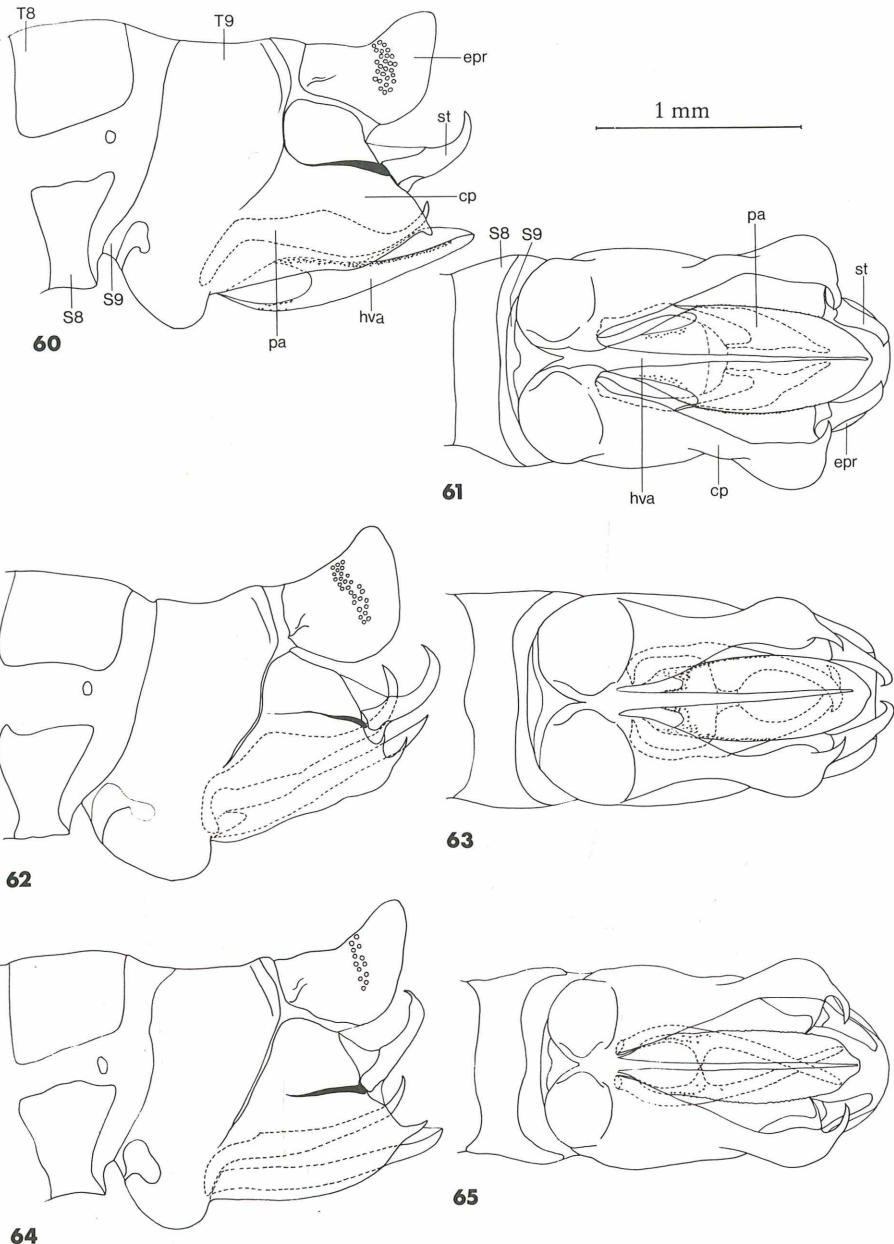


Abb. 60: *Raphidia (Phaeostigma) notata*, ♂ Genitalsegmente, lateral und — Abb. 61: ventral. — Abb. 62: *Raphidia (Phaeostigma) italogallica*, ♂ Genitalsegmente, lateral und — Abb. 63: ventral. — Abb. 64: *Raphidia (Phaeostigma) galloitalica*, ♂ Genitalsegmente, lateral und — Abb. 65: ventral.

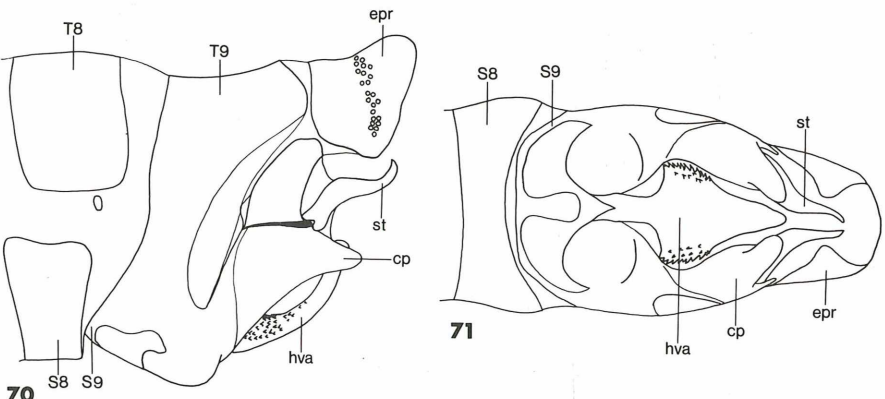
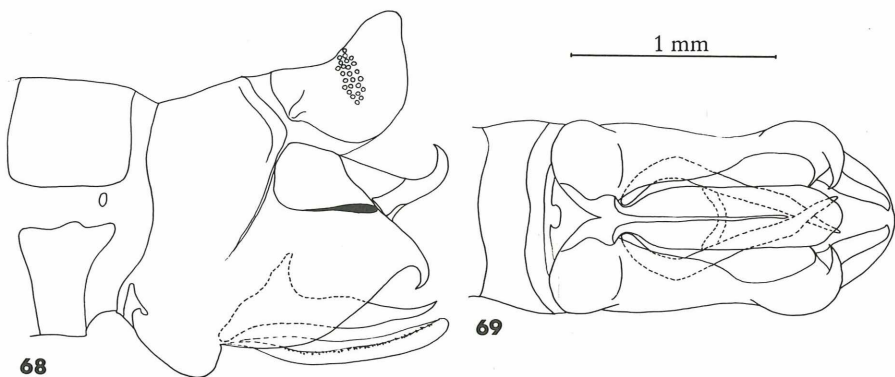
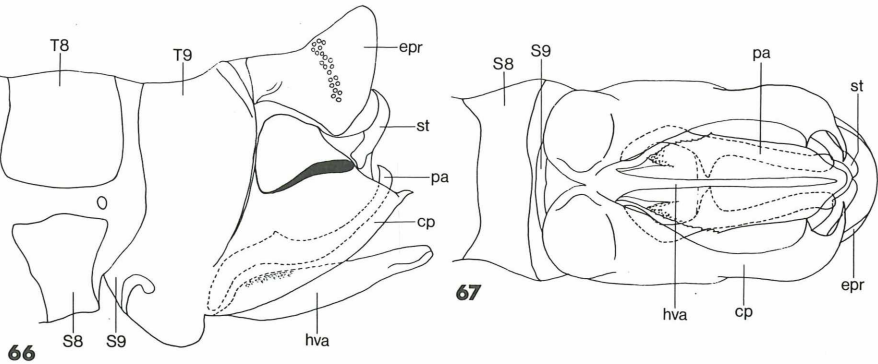


Abb. 66: *Raphidia (Phaeostigma) euboica*, ♂ Genitalsegmente, lateral und — Abb. 67: ventral. — Abb. 68: *Raphidia (Phaeostigma) pilicollis*, ♂ Genitalsegmente, lateral und — Abb. 69: ventral. — Abb. 70: *Raphidia (Magnoraphidia) major*, ♂ Genitalsegmente, lateral und — Abb. 71: ventral.

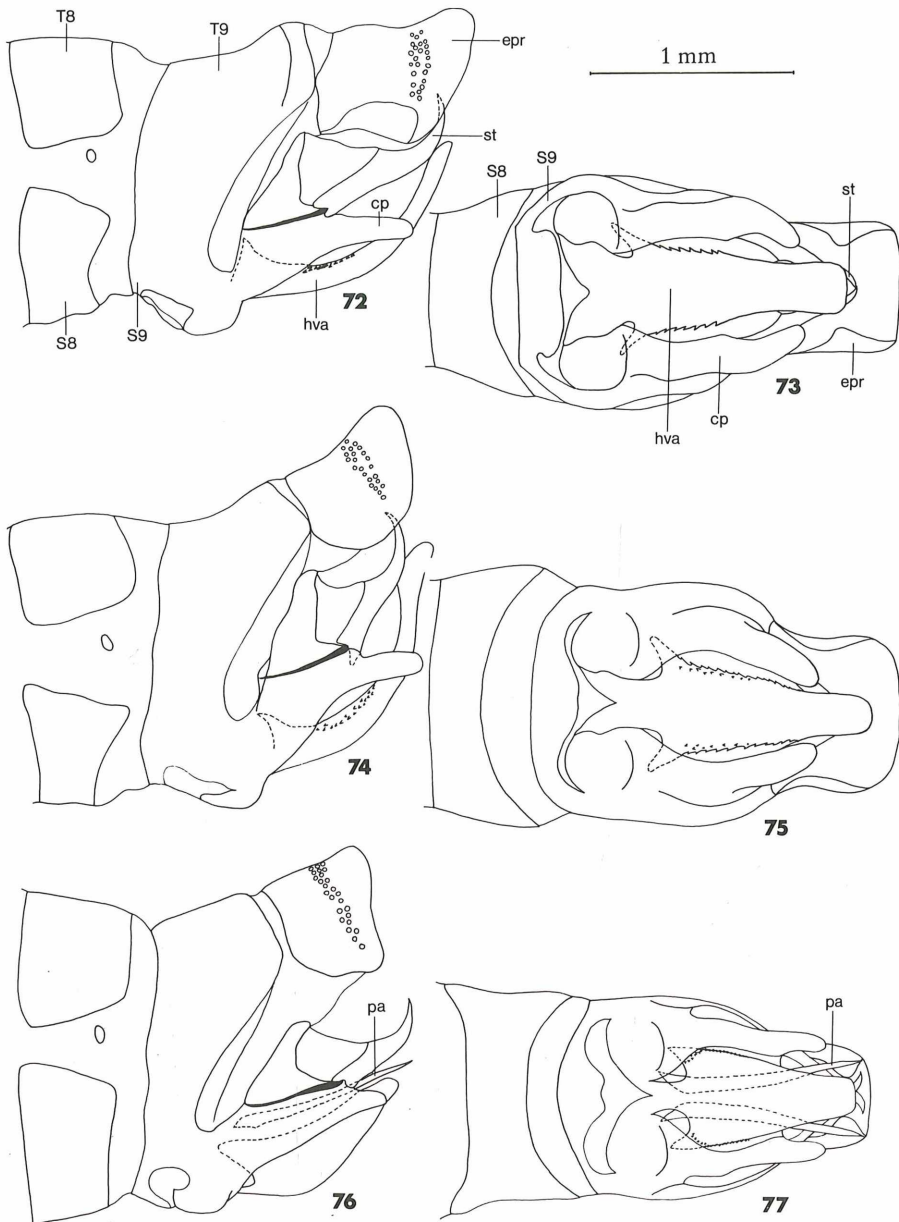
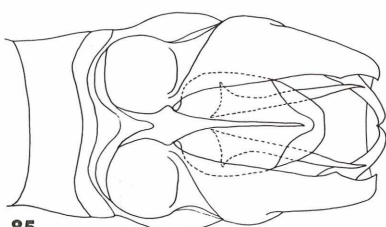
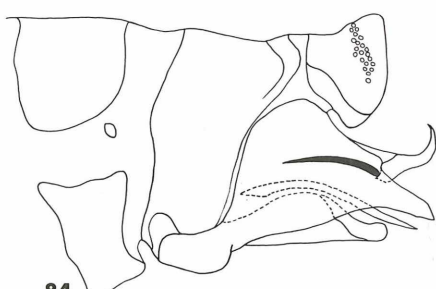
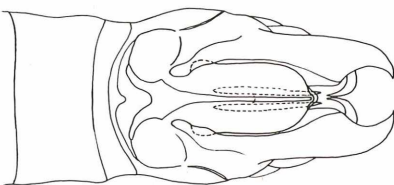
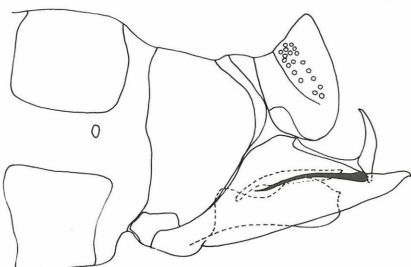
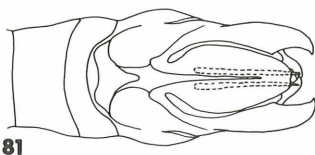
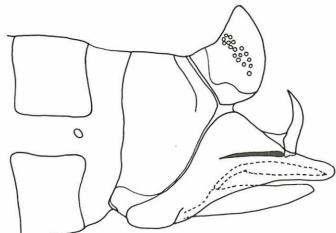
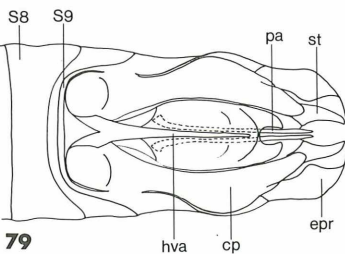
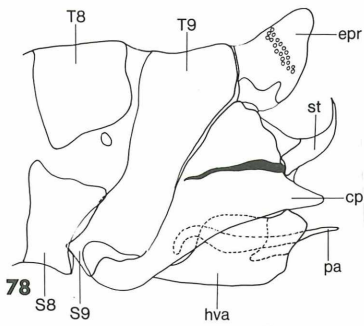


Abb. 72: *Raphidia (Magnoraphidia) flammi*, ♂ Genitalsegmente, lateral und — Abb. 73: ventral. — Abb. 74: *Raphidia (Magnoraphidia) horticola*, ♂ Genitalsegmente, lateral und — Abb. 75: ventral. — Abb. 76: *Raphidia (Magnoraphidia) weewalkai*, ♂ Genitalsegmente, lateral und — Abb. 77: ventral.



1 mm

Abb. 78: *Raphidia (Phidiara) grandii*, ♂ Genitalsegmente, lateral und — Abb. 79: ventral.
 — Abb. 80: *Raphidia (Phidiara) biroi*, ♂ Genitalsegmente, lateral und — Abb. 81: ventral.
 — Abb. 82: *Raphidia (Phidiara) raddai*, ♂ Genitalsegmente, lateral und — Abb. 83: ventral.
 — Abb. 84: *Raphidia (Phidiara) longicauda*, ♂ Genitalsegmente, lateral und — Abb. 85:
 ventral.

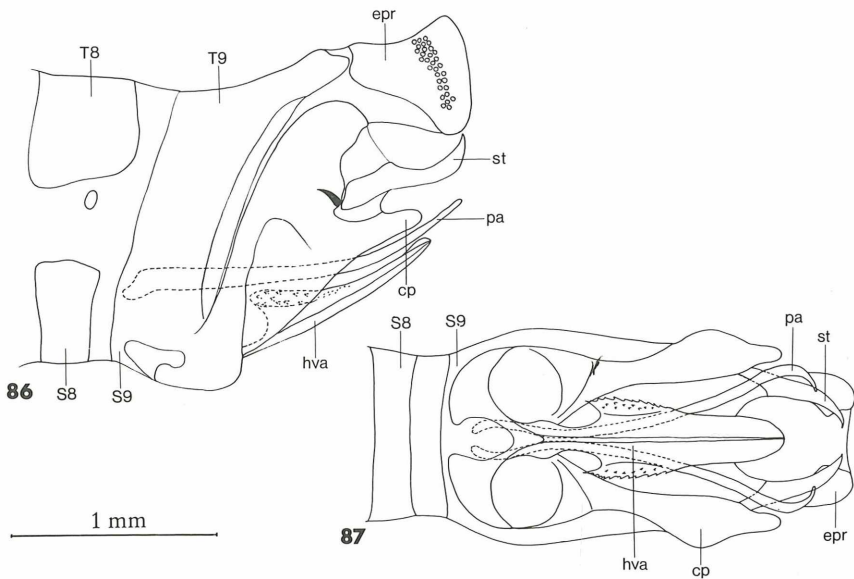


Abb. 86: *Raphidia (Phidiara) klimeschi*, ♂ Genitalsegmente, lateral und — Abb. 87: ventral.
— Abb. 88: *Raphidia (Phidiara) thaleri*, ♂ Genitalsegmente, lateral und — Abb. 89: ventral.

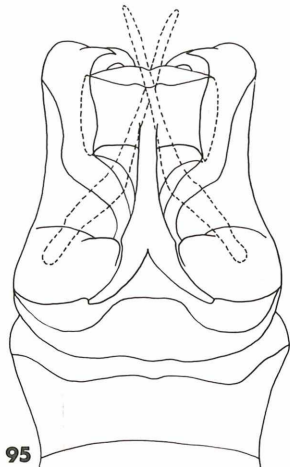
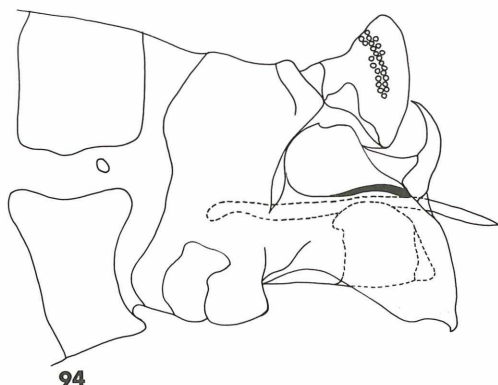
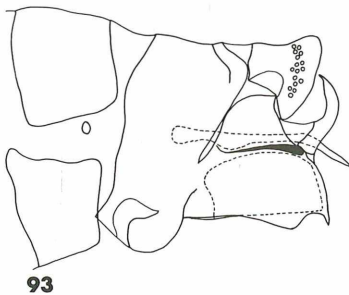
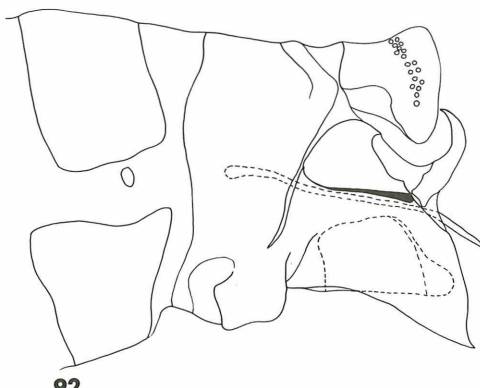
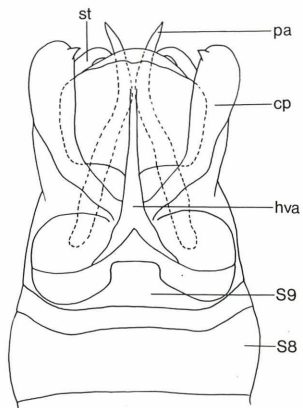
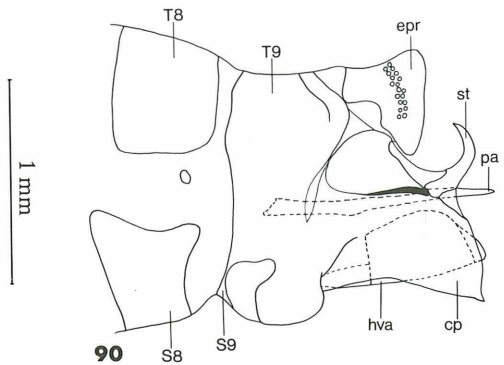


Abb. 90: *Raphidia (Graecoraphidia) divina*, ♂ Genitalsegmente, lateral und — Abb. 91: ventral. — Abb. 92: *Raphidia (Graecoraphidia) simillima*, ♂ Genitalsegmente, lateral. — Abb. 93: *Raphidia (Graecoraphidia) divina retsinata*, ♂ Genitalsegmente, lateral. — Abb. 94: *Raphidia (Graecoraphidia) hoelzeli*, ♂ Genitalsegmente, lateral und — Abb. 95: ventral.

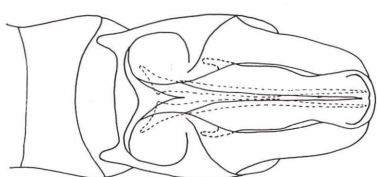
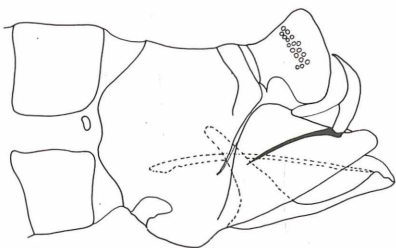
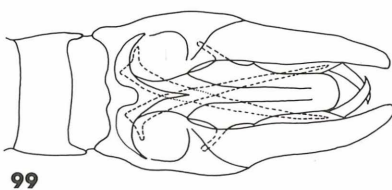
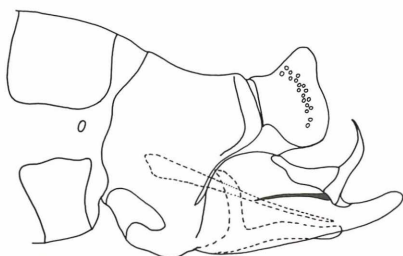
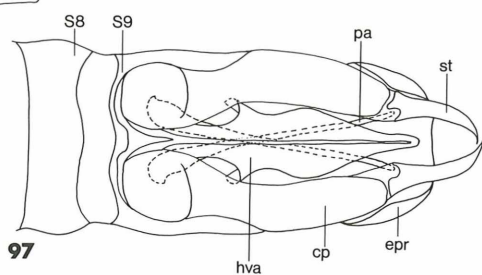
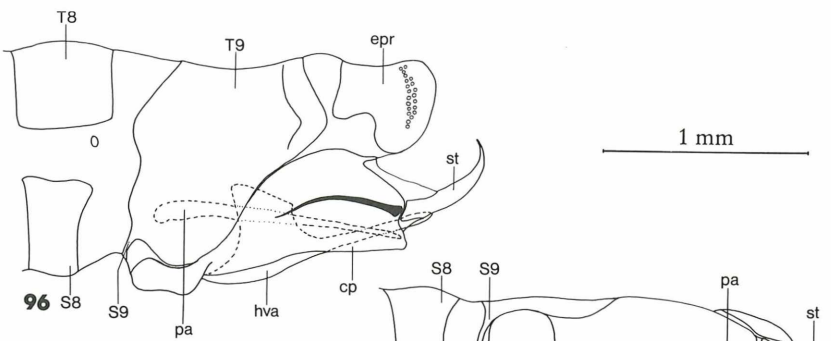
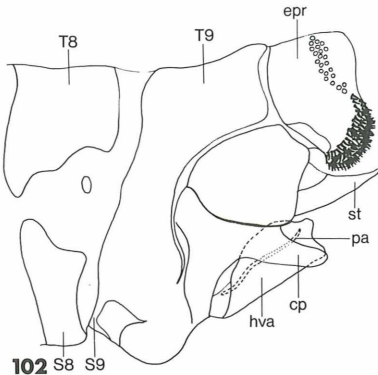
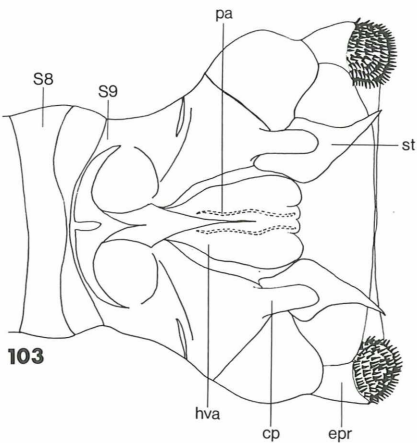


Abb. 96: *Raphidia (Superboraphidia) auberti*, ♂ Genitalsegmente, lateral und — Abb. 97: ventral. — Abb. 98: *Raphidia (Superboraphidia) rauschi*, ♂ Genitalsegmente, lateral und — Abb. 99: ventral. — Abb. 100: *Raphidia (Superboraphidia) mammaphila*, ♂ Genitalsegmente, lateral und — Abb. 101: ventral.



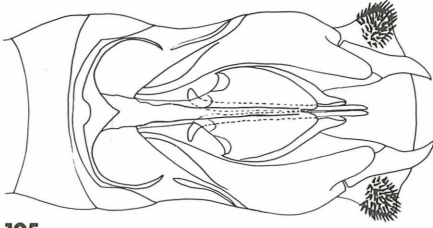
102



103

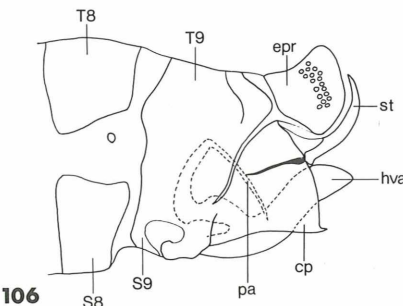


104

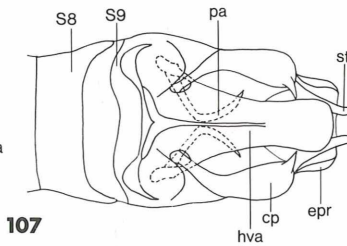


105

1 mm

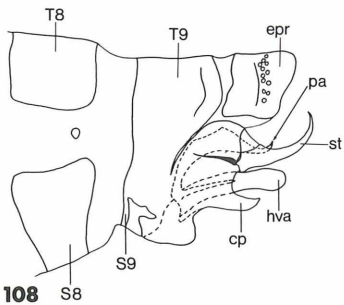


106

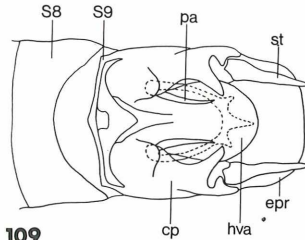


107

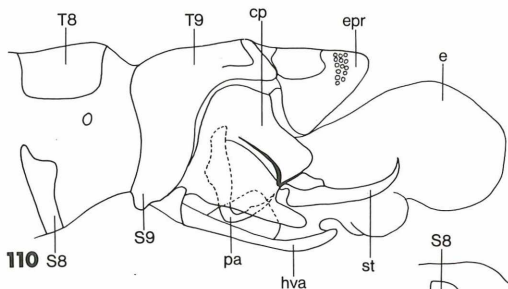
Abb. 102: *Raphidia (Pontoraphidia) rhodopica*, ♂ Genitalsegmente, lateral und — Abb. 103: ventral. — Abb. 104: *Raphidia (Pontoraphidia) setulosa*, ♂ Genitalsegmente, lateral und — Abb. 105: ventral. — Abb. 106: *Raphidia (Miroraphidia) curvatula*, ♂ Genitalsegmente, lateral und — Abb. 107: ventral.



108

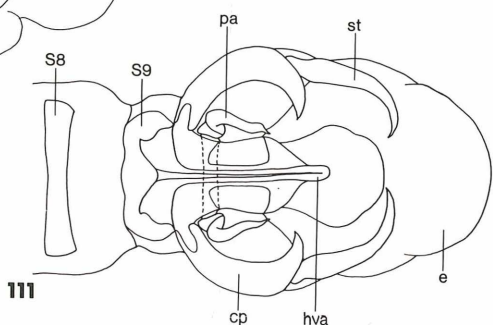


109

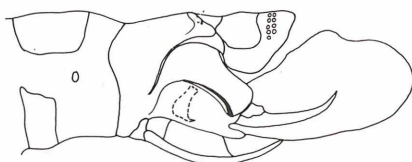


110

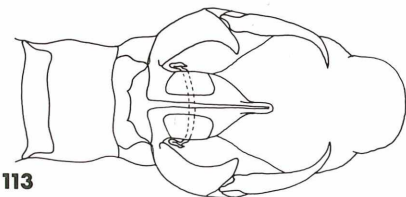
1 mm



111

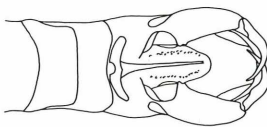
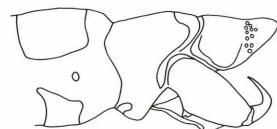
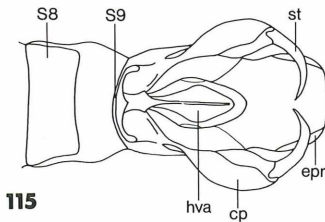
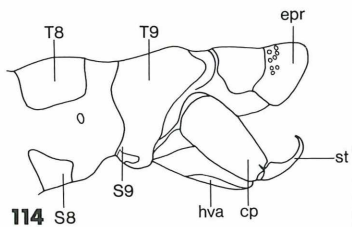


112



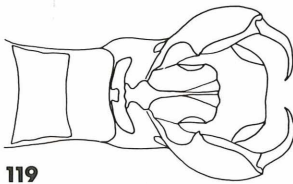
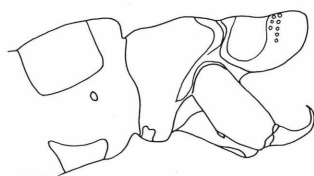
113

Abb. 108: *Raphidia (Turcoraphidia) amara*, ♂ Genitalsegmente, lateral und — Abb. 109: ventral. — Abb. 110: *Raphidia (Ornatoraphidia) etrusca*, ♂ Genitalsegmente, lateral und — Abb. 111: ventral. — Abb. 112: *Raphidia (Ornatoraphidia) christianodagmara*, ♂ Genitalsegmente, lateral und — Abb. 113: ventral.



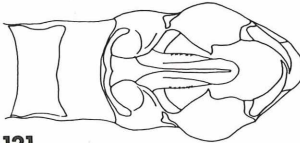
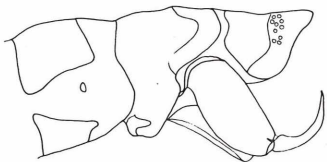
116

117



118

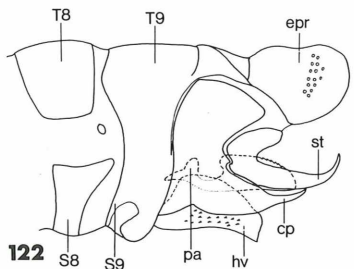
119



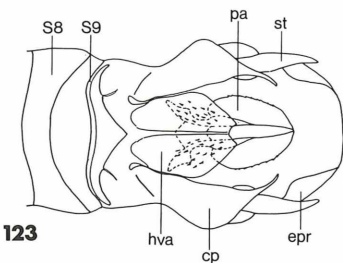
120

121

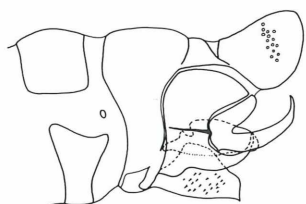
Abb. 114: *Raphidia (Parvoraphidia) microstigma*, ♂ Genitalsegmente, lateral und — Abb. 115: ventral. — Abb. 116: *Raphidia (Parvoraphidia) aphaphlyxe aphaphlyxe*, ♂ Genitalsegmente, lateral und — Abb. 117: ventral. — Abb. 118: *Raphidia (Parvoraphidia) aphaphlyxe aganippe*, ♂ Genitalsegmente, lateral und — Abb. 119: ventral. — Abb. 120: *Raphidia (Parvoraphidia) aluada*, ♂ Genitalsegmente, lateral und — Abb. 121: ventral.



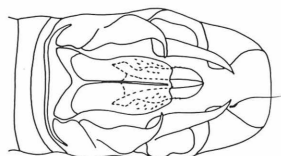
122



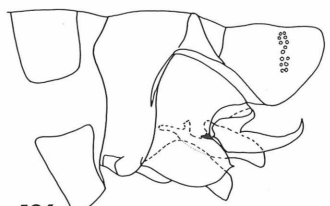
123



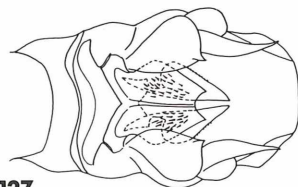
124



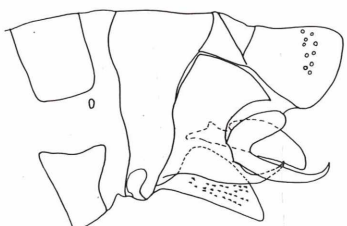
125



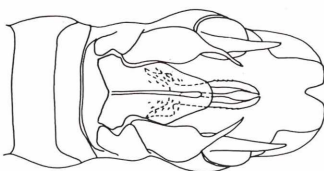
126



127



128



129

Abb. 122: *Raphidia (Subilla) confinis*, ♂ Genitalsegmente, lateral und — Abb. 123: ventral.
 — Abb. 124: *Raphidia (Subilla) aliena*, ♂ Genitalsegmente, lateral und — Abb. 125: ventral.
 — Abb. 126: *Raphidia (Subilla) artemis*, ♂ Genitalsegmente, lateral und — Abb. 127: ventral.
 — Abb. 128: *Raphidia (Subilla) xylophilophila*, ♂ Genitalsegmente, lateral und — Abb. 129: ventral.

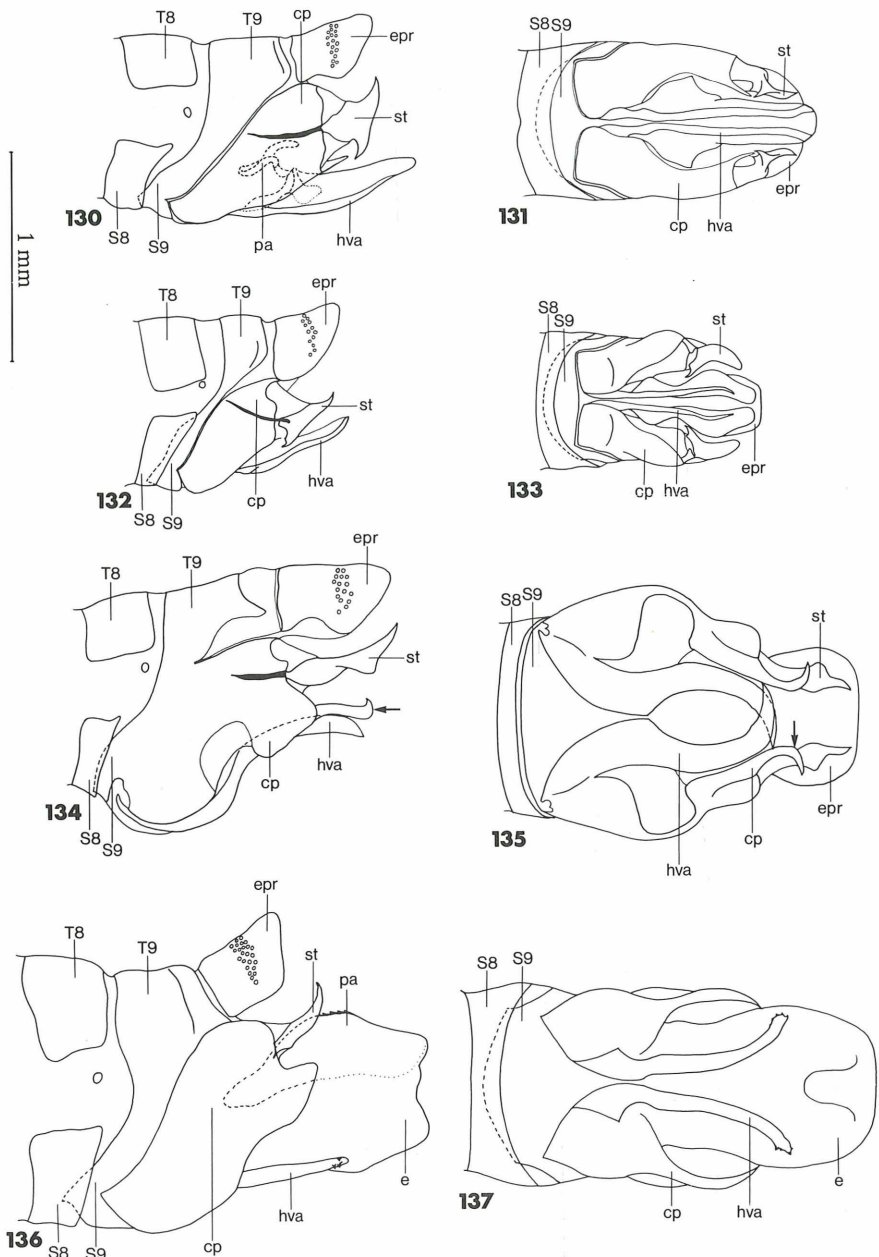
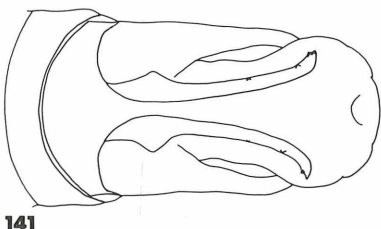
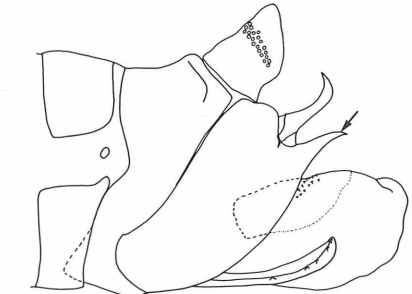
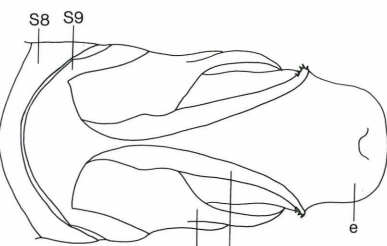
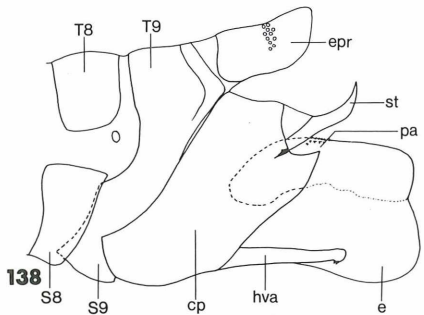


Abb. 130: *Raphidia (Atlantoraphidia) maculicollis*, ♂ Genitalsegmente, lateral und — Abb. 131: ventral. — Abb. 132: *Raphidia (Flavoraphidia) laufferi*, ♂ Genitalsegmente, lateral und — Abb. 133: ventral. — Abb. 134: *Raphidia (Hispanoraphidia) castellana*, ♂ Genitalsegmente, lateral und — Abb. 135: ventral. — Abb. 136: *Raphidia (Ohmella) baetica baetica*, ♂ Genitalsegmente, lateral und — Abb. 137: ventral.



1 mm

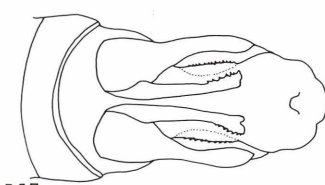
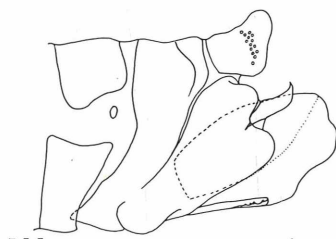
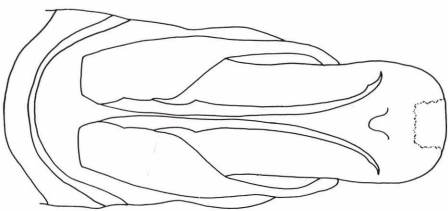
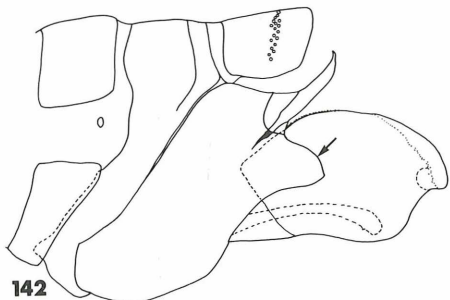


Abb. 138: *Raphidia (Ohmella) baetica bolivari*, ♂ Genitalsegmente, lateral und — Abb. 139: ventral. — Abb. 140: *Raphidia (Ohmella) postulata*, ♂ Genitalsegmente, lateral und — Abb. 141: ventral. — Abb. 142: *Raphidia (Ohmella) libidinosa*, ♂ Genitalsegmente, lateral und — Abb. 143: ventral. — Abb. 144: *Raphidia (Ohmella) casta*, ♂ Genitalsegmente, lateral und — Abb. 145: ventral.

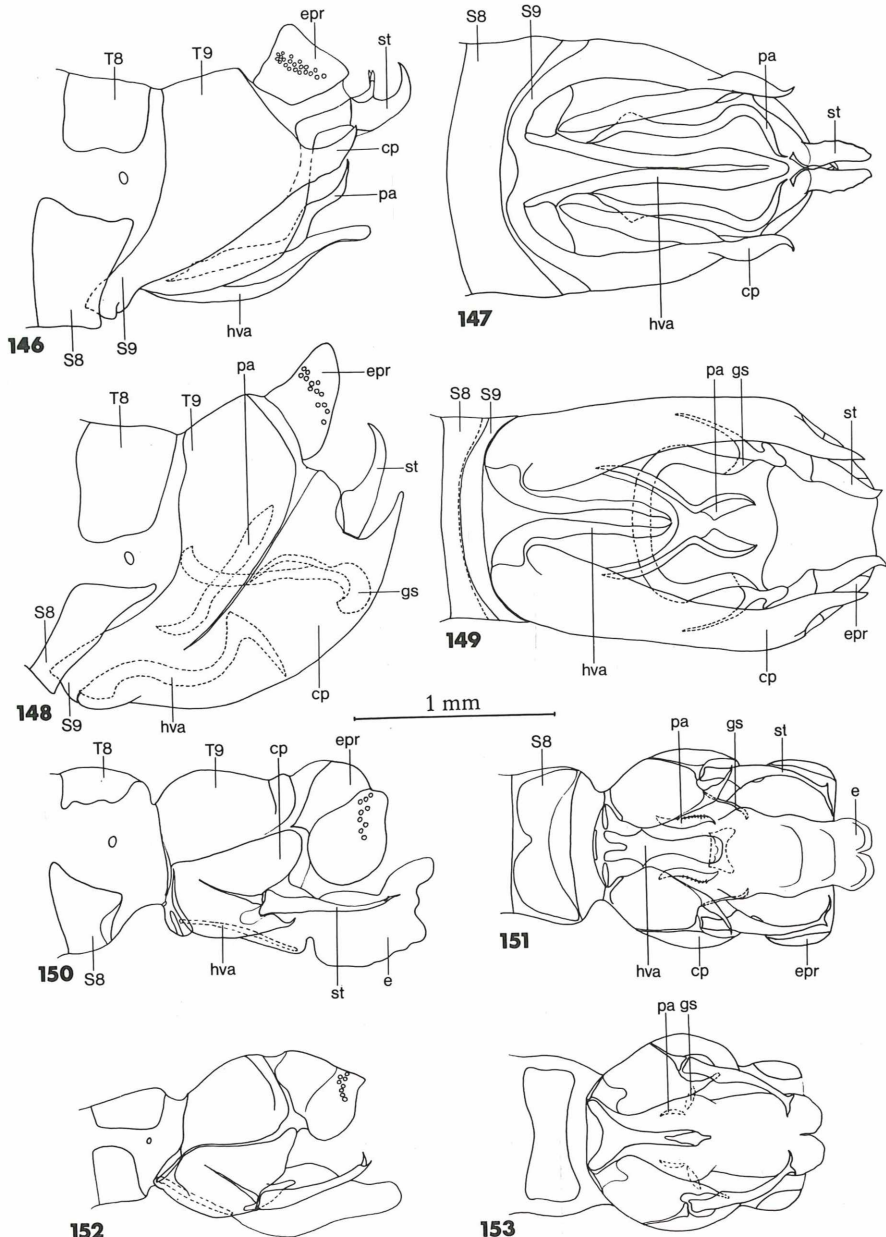


Abb. 146: *Raphidia (Puncha) ratzeburgi*, ♂ Genitalsegmente, lateral und — Abb. 147: ventral. — Abb. 148: *Raphidia (Italoraphidia) solariana*, ♂ Genitalsegmente, lateral und — Abb. 149: ventral. — Abb. 150: *Raphidia (Xanthostigma) xanthostigma*, ♂ Genitalsegmente, lateral und — Abb. 151: ventral. — Abb. 152: *Raphidia (Xanthostigma) aloysiana*, ♂ Genitalsegmente, lateral und — Abb. 153: ventral.

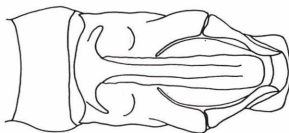
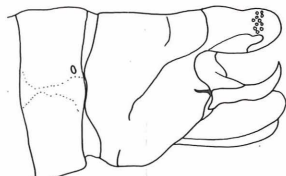
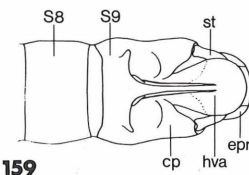
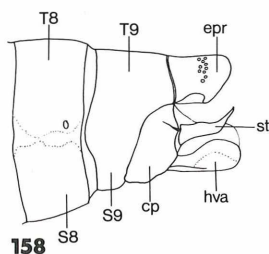
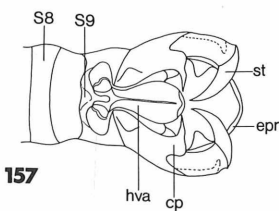
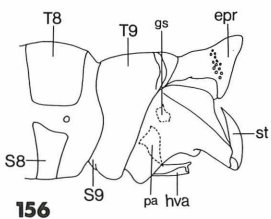
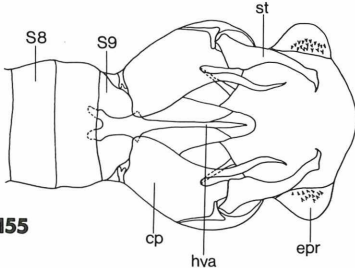
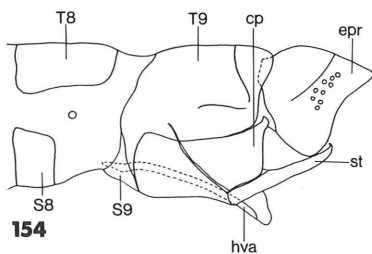


Abb. 154: *Raphidia (Xanthostigma) corsica*, ♂ Genitalsegmente, lateral und — Abb. 155: ventral. — Abb. 156: *Raphidia (Ulrike) attica*, ♂ Genitalsegmente, lateral und — Abb. 157: ventral. — Abb. 158: *Raphidia (Venustoraphidia) nigricollis*, ♂ Genitalsegmente, lateral und — Abb. 159: ventral. — Abb. 160: *Raphidia (Venustoraphidia) renate*, ♂ Genitalsegmente, lateral und — Abb. 161: ventral.

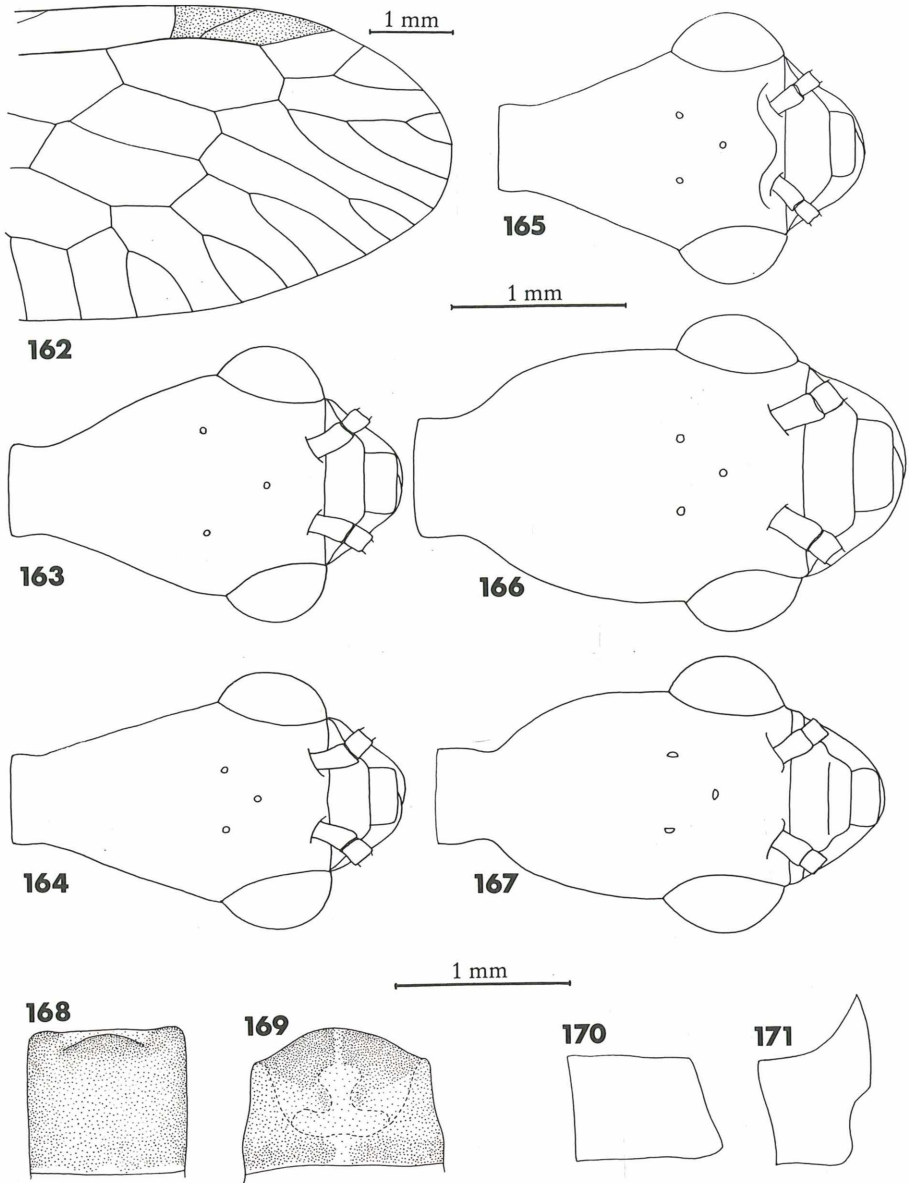


Abb. 162: *Raphidia (Italoraphidia) solariana*, Apex des rechten Vorderflügels. — Abb. 163: *Raphidia (Xanthostigma) xanthostigma*, Kopf, dorsal. — Abb. 164: *Raphidia (Xanthostigma) aloysiana*, Kopf, dorsal. — Abb. 165: *Raphidia (Ornatoraphidia) christianodagmara*, Kopf, dorsal. — Abb. 166: *Raphidia (Miroraphidia) curvatula*, Kopf, dorsal. — Abb. 167: *Raphidia (Subilla) confinis*, Kopf, dorsal. — Abb. 168: *Raphidia (R.) ligurica*, ♀, 7. Sternit, ventral. — Abb. 169: *Raphidia (Subilla) confinis*, ♀, 7. Sternit, ventral. — Abb. 170: *Raphidia (Miroraphidia) curvatula*, ♀, 7. Sternit, lateral. — Abb. 171: *Raphidia (R.) ophiopsis alcoholica*, ♀, 7. Sternit, lateral.

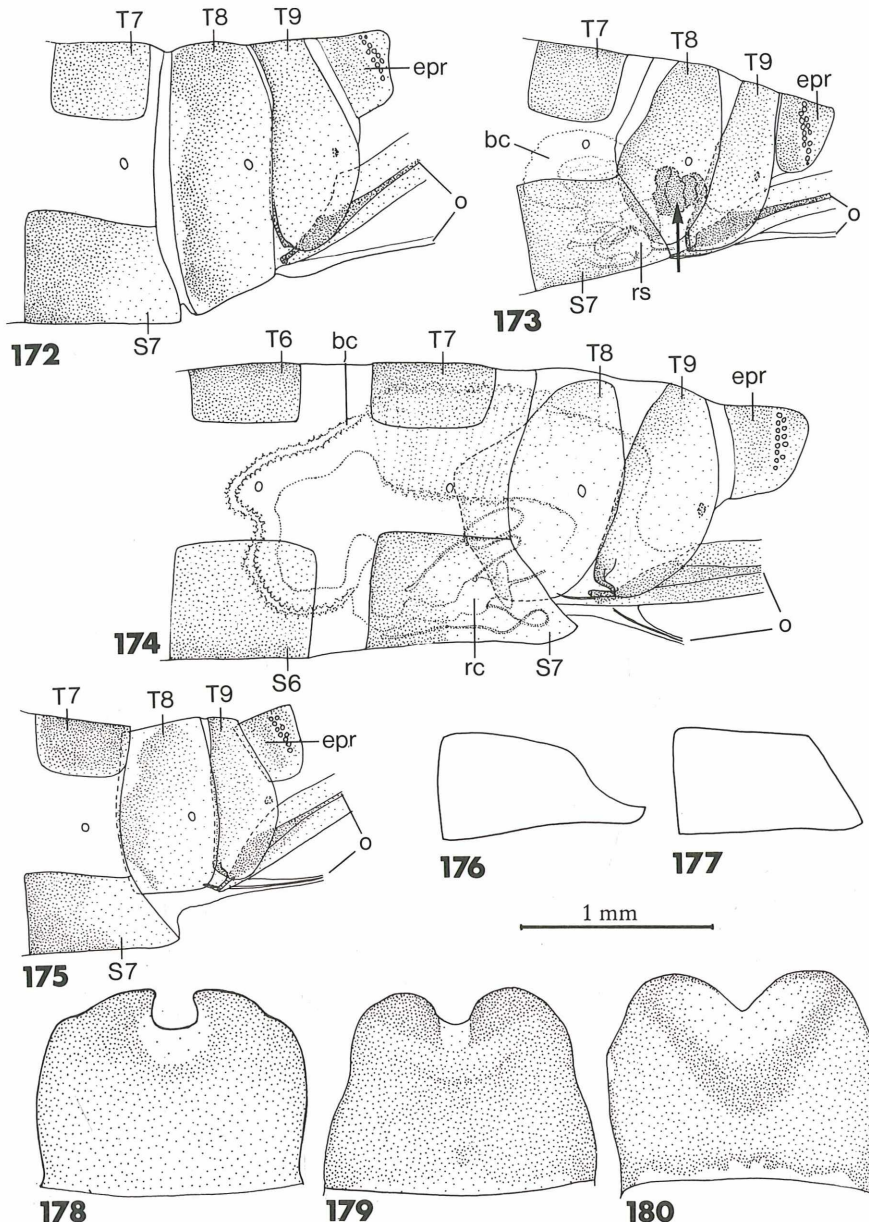


Abb. 172: *Raphidia (Hispanoraphidia) castellana*, ♀. Genitalsegmente, lateral. — Abb. 173: *Raphidia (Atlantoraphidia) maculicollis*, ♀. Genitalsegmente, lateral. — Abb. 174: *Raphidia (Ohmella) libidinosa*, ♀. Genitalsegmente, lateral. — Abb. 175: *Raphidia (Ohmella) casta*, ♀. Genitalsegmente, lateral. — Abb. 176: *Raphidia (Ohmella) postulata*, ♀. 7. Sternit, lateral. — Abb. 177: *Raphidia (Ohmella) baetica baetica*, ♀. 7. Sternit, lateral. — Abb. 178-180: 7. Sternite, ventral, von *Raphidia (Magnoraphidia)* spp. — ♀♀. — Abb. 178: *R. major*. — Abb. 179: *R. weewalkai*. — Abb. 180: *R. flammi*.

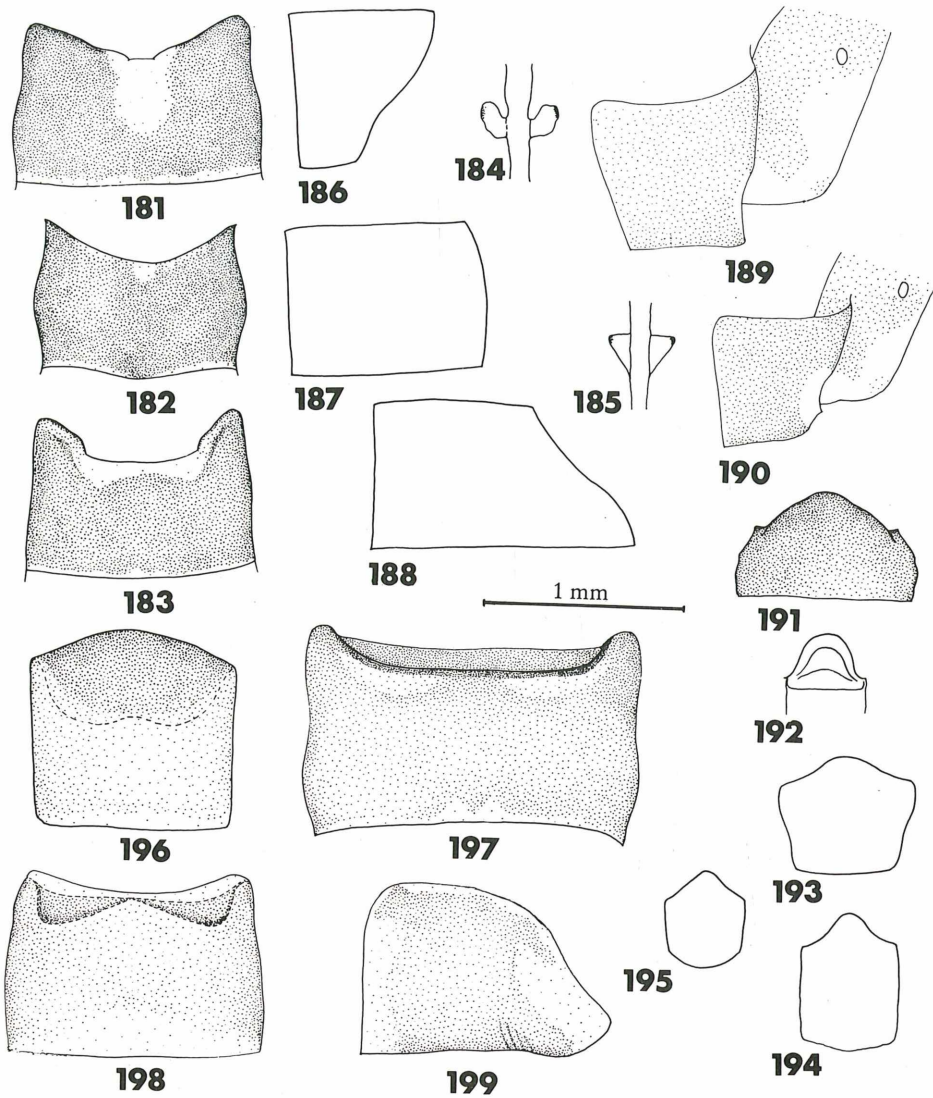


Abb. 181-183: 7. Sternite, ventral, von *Raphidia* (s.str.) spp. — ♀ ♀. — Abb. 181: *R. ulrikeae*. — Abb. 182: *R. huettlingeri*. — Abb. 183: *R. ambigua*. — Abb. 184-185: Basis der Bursa von *Raphidia* (*Magnoraphidia*) spp. — ♀ ♀. — Abb. 184: *R. flammi*. — Abb. 185: *R. horticola*. — Abb. 186-188: Die 3 Haupttypen des Verlaufs des Kaudalrands des 7. Sternits bei *Raphidia* spp. — ♀ ♀, lateral. — Abb. 186: eingebuchtet, — Abb. 187: gerade verlaufend, — Abb. 188: ausgebuchtet. — Abb. 189-190: 7. Sternite, lateral, von *Raphidia* (s.str.) spp. — ♀ ♀. — Abb. 189: *R. ophiopsis ophiopsis*. — Abb. 190: *R. ophiopsis mediterranea*. — Abb. 191-195: Subgenitale, ventral, von *Raphidia* (*Phaeostigma*) spp. — ♀ ♀. — Abb. 191: *R. pilicollis*. — Abb. 192: *R. italogallica*. — Abb. 193: *R. notata*. — Abb. 194: *R. euboica*. — Abb. 195: *R. galloitalica*. — Abb. 196: 7. Sternite des ♀, ventral, von *Raphidia* (*Ornatoraphidia*) *etrusca*, — Abb. 197: *R. (Pontoraphidia) rhodopica* und — Abb. 198: *R. (Pontoraphidia) setulosa*. — Abb. 199: *Raphidia* (*Graecoraphidia*) *hoelzeli*, ♀, 7. Sternit, lateral.

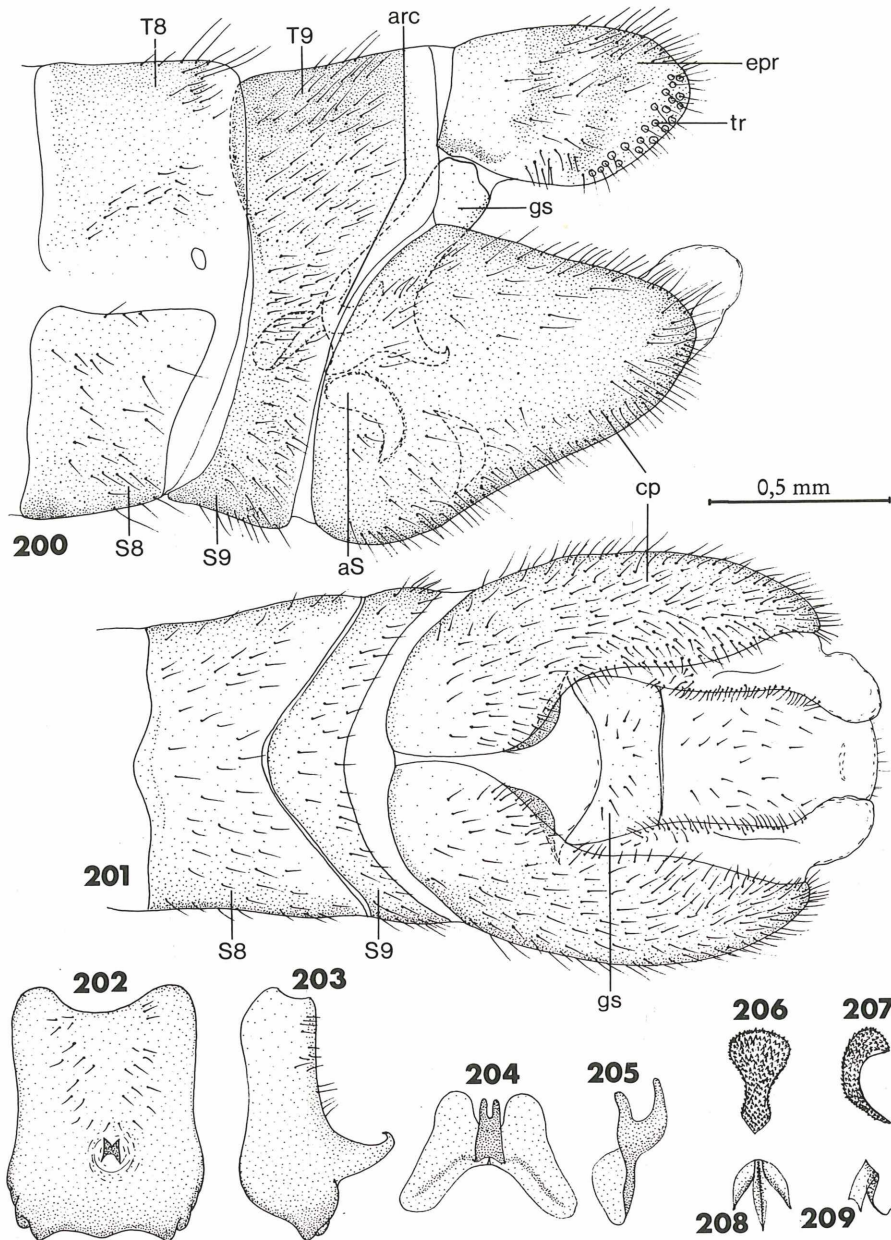


Abb. 200-209: *Inocellia (Reisserella) pasiphae*, ♂. — Abb. 200: Genitalsegmente, lateral und — Abb. 201: ventral. — Abb. 202: Gonarcus, kaudal und — Abb. 203: lateral. — Abb. 204: Arcessus, kaudal und — Abb. 205: lateral. — Abb. 206: Akzessorischer Sklerit, kaudal und — Abb. 207: lateral. — Abb. 208: Hypandrium internum, ventral und — Abb. 209: lateral.

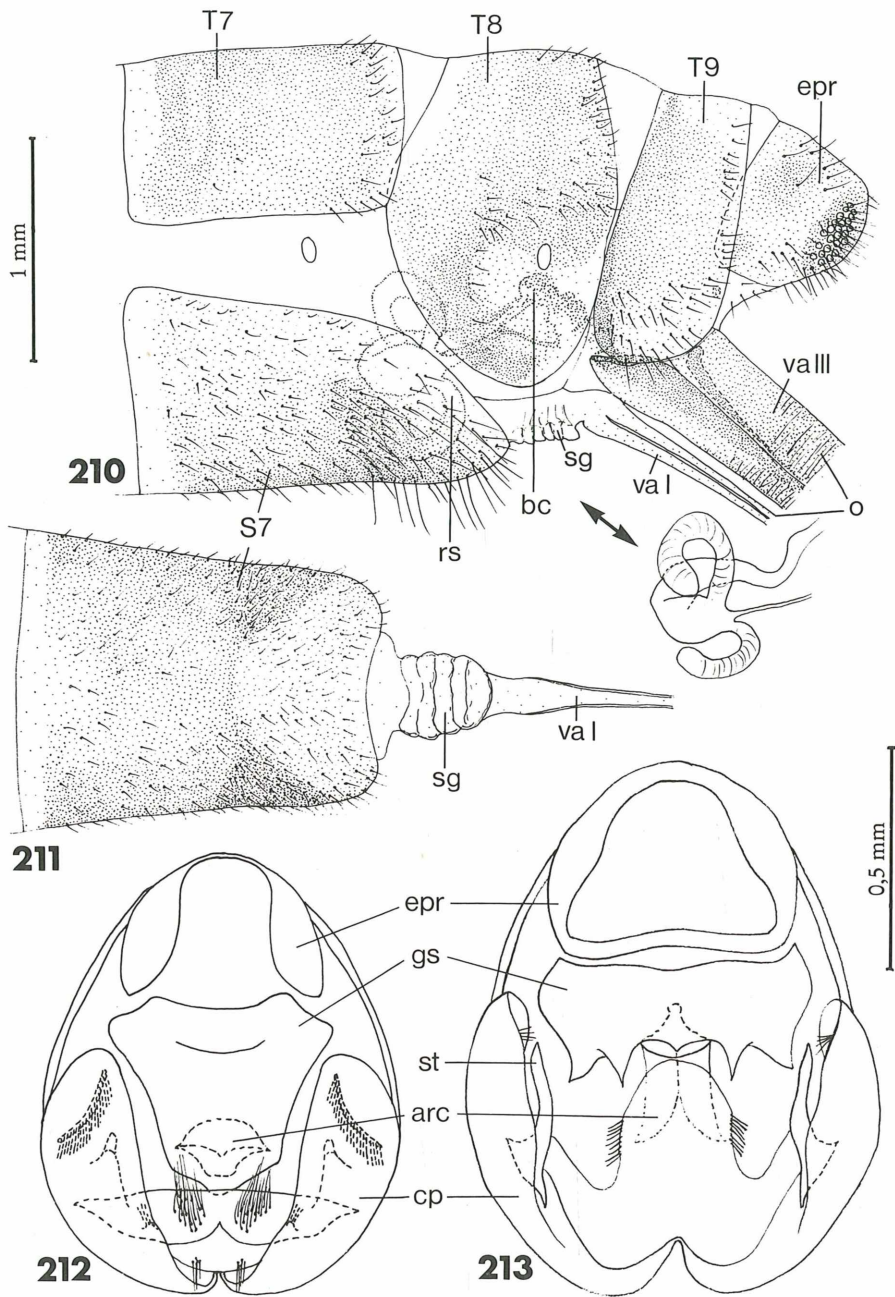


Abb. 210-211: *Inocellia (Reisserella) pasiphae*, ♀. — Abb. 210: Genitalsegmente, lateral. — Abb. 211: 7. Sternit und Subgenitale, ventral. — Abb. 212: *Inocellia (I.) crassicornis*, ♂ Genitalsegmente, kaudal. — Abb. 213: *Inocellia (Parainocellia) ressli*, ♂ Genitalsegmente, kaudal.

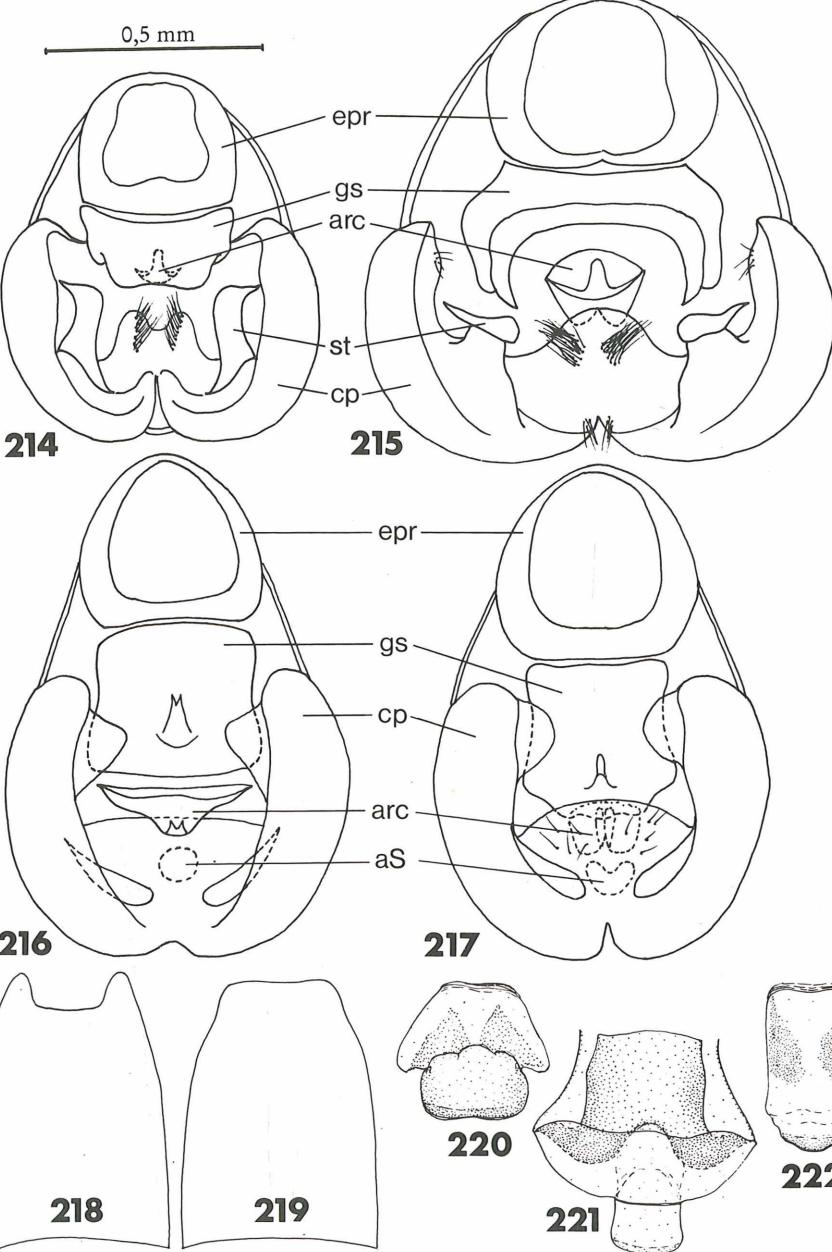
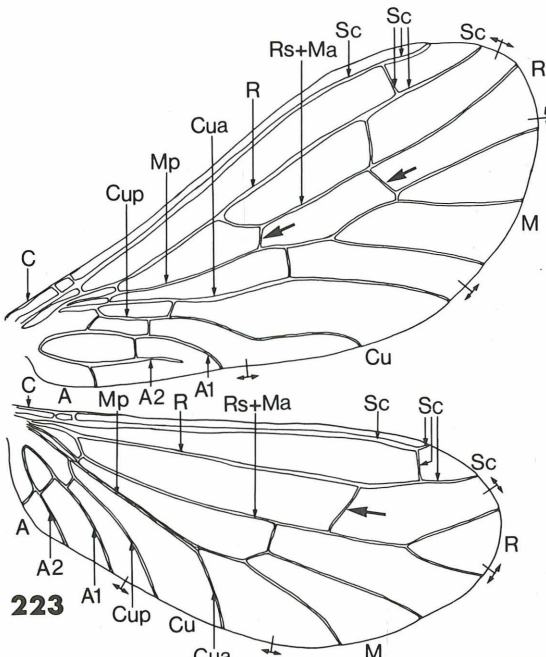


Abb. 214: *Inocellia (Parainocellia) braueri*, ♂ Genitalsegmente, kaudal. — Abb. 215: *Inocellia (Parainocellia) bicolor*, ♂ Genitalsegmente, kaudal. — Abb. 216: *Inocellia (Fibla) hesperica*, ♂ Genitalsegmente, kaudal. — Abb. 217: *Inocellia (Fibla) maclachlani*, ♂ Genitalsegmente, kaudal. — Abb. 218: *Inocellia (I.) crassicornis*, ♀, 7. Sternit, ventral. — Abb. 219: *Inocellia (Parainocellia) braueri*, ♀, 7. Sternit, ventral. — Abb. 220-222: Subgenitale von *Inocellia (Parainocellia)* spp. — ♀ ♀ . — Abb. 220: *I. braueri*. — Abb. 221: *I. bicolor*. — Abb. 222: *I. ressli*.



1 mm

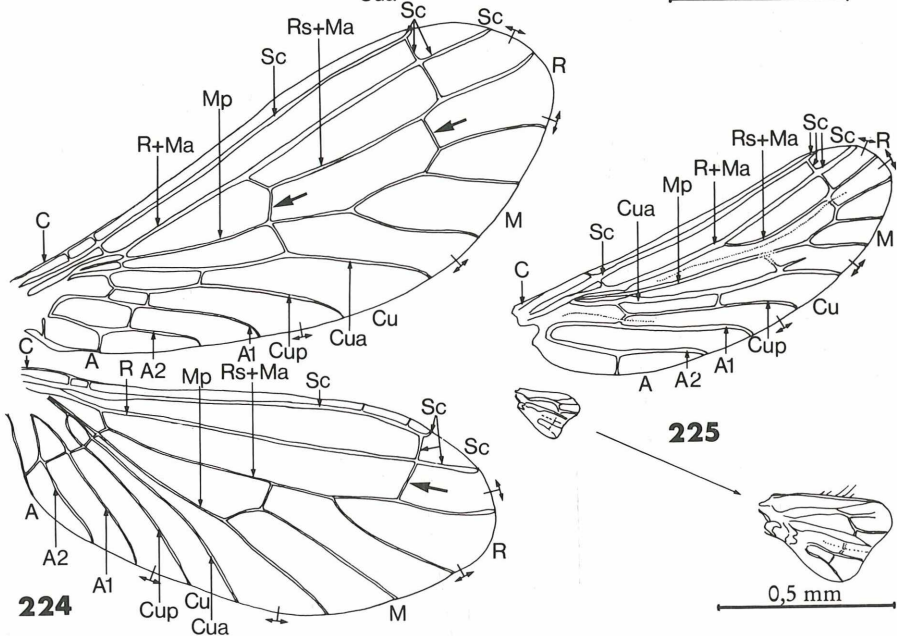
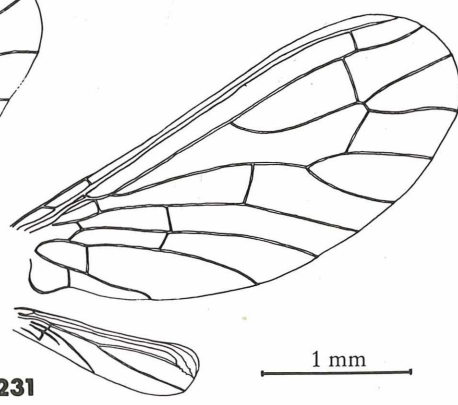
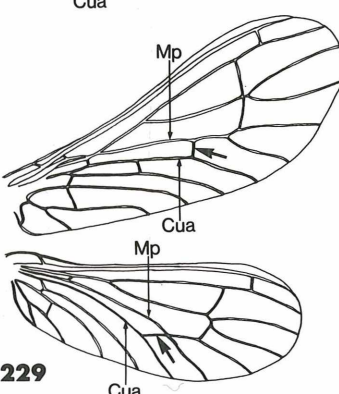
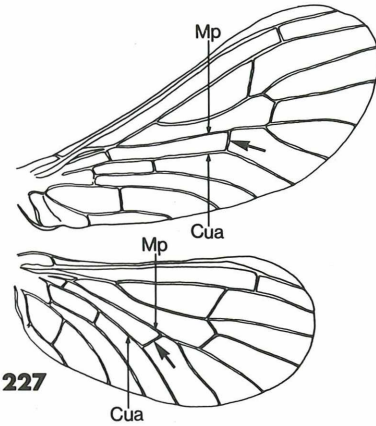
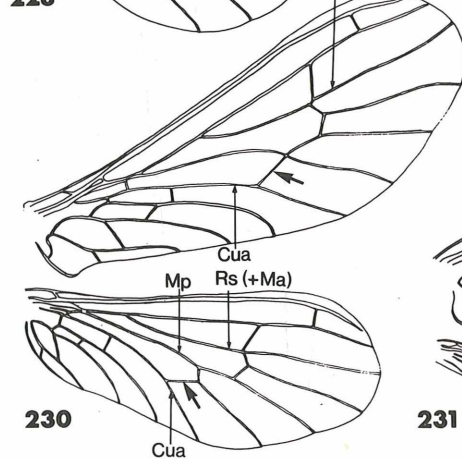
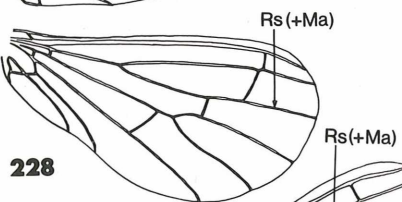
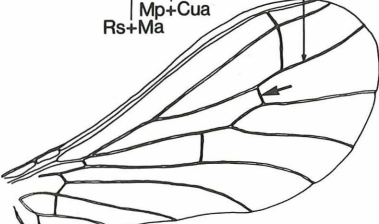
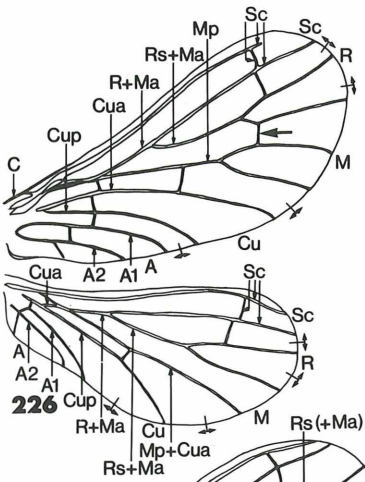
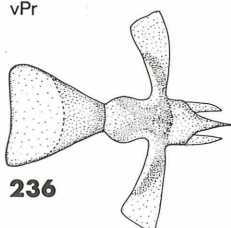
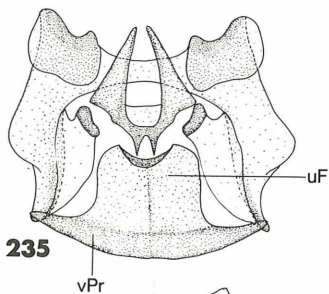
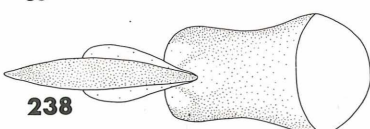
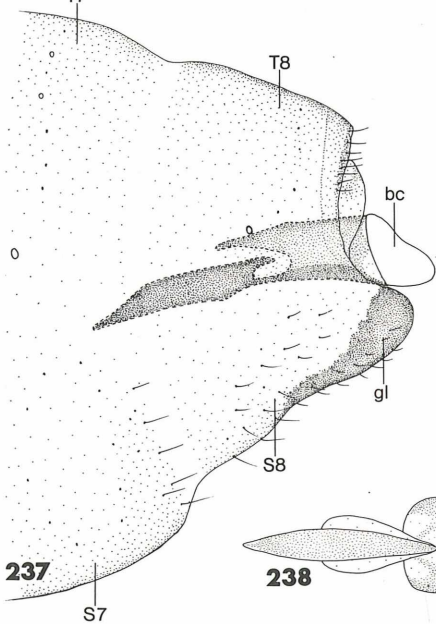
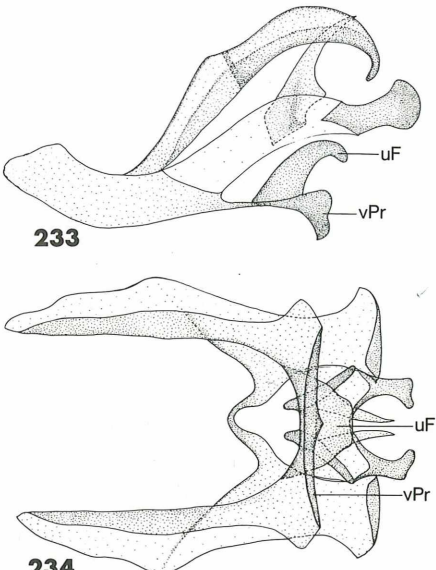
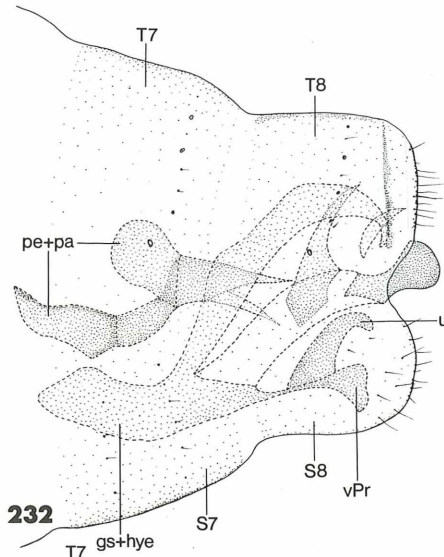


Abb. 223: *Aleuropteryx loewii*, ♂, Vorder- und Hinterflügel. — Abb. 224: *Helicoconis lutea*, ♂, Vorder- und Hinterflügel. — Abb. 225: *Helicoconis hirtinervis*, ♀, Vorder- und Hinterflügel.



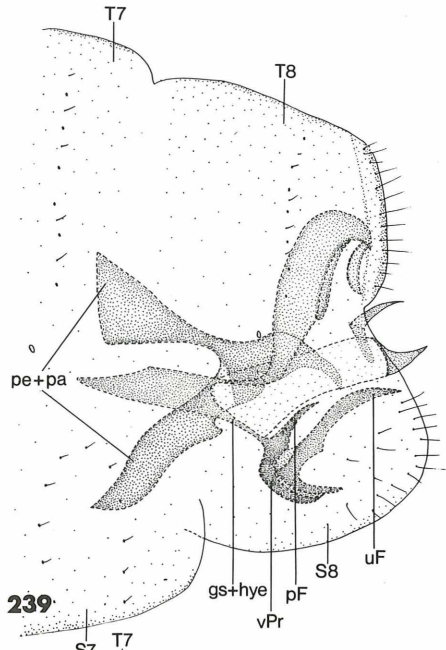
1 mm

Abb. 226: *Coniopteryx parthenia*, ♂, Vorder- und Hinterflügel. — Abb. 227: *Parasemidalis fuscipennis*, ♂, Vorder- und Hinterflügel. — Abb. 228: *Nimboa espanoli*, ♂, Vorder- und Hinterflügel. — Abb. 229: *Hemisemidalis pallida*, ♂, Vorder- und Hinterflügel. — Abb. 230: *Semidalis aleyrodiiformis*, ♂, Vorder- und Hinterflügel. — Abb. 231: *Conwentzia psociformis*, ♂, Vorder- und Hinterflügel.

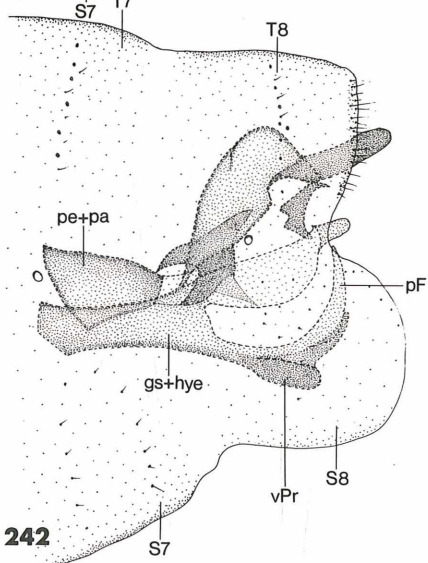


0,1 mm

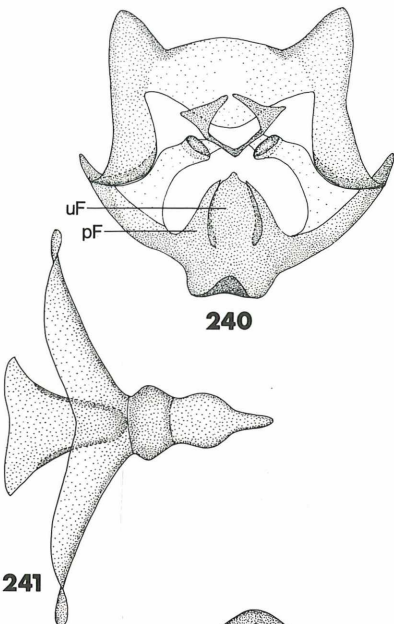
Abb. 232-236: *Aleuropteryx juniperi*, ♂. — Abb. 232: Genitalsegmente, lateral. — Abb. 233: Gonarcus-Hypandrium-Komplex, lateral, — Abb. 234: ventral und — Abb. 235: kaudal. — Abb. 236: Penis-Parameren-Komplex, dorsal. — Abb. 237: *Aleuropteryx juniperi*, ♀ Genitalsegmente, lateral, und — Abb. 238: Bursa copulatrix, ventral.



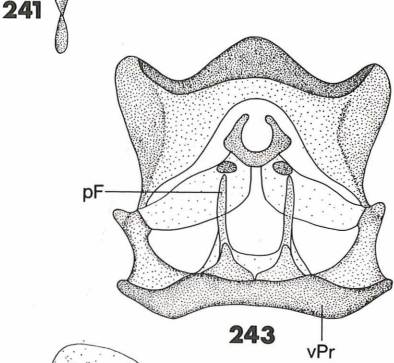
239



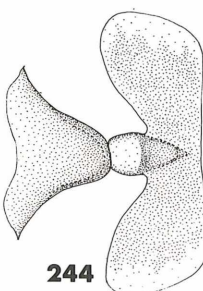
242



240



243



244

0,1 mm

Abb. 239-241: *Aleuropteryx loewii*, ♂. — Abb. 239: Genitalsegmente, lateral. — Abb. 240: Gonarcus-Hypandrium-Komplex, kaudal. — Abb. 241: Penis-Parameren-Komplex, dorsal. — Abb. 242-244: *Aleuropteryx iberica*, ♂. — Abb. 242: Genitalsegmente, lateral. — Abb. 243: Gonarcus-Hypandrium-Komplex, kaudal. — Abb. 244: Penis-Parameren-Komplex, dorsal.

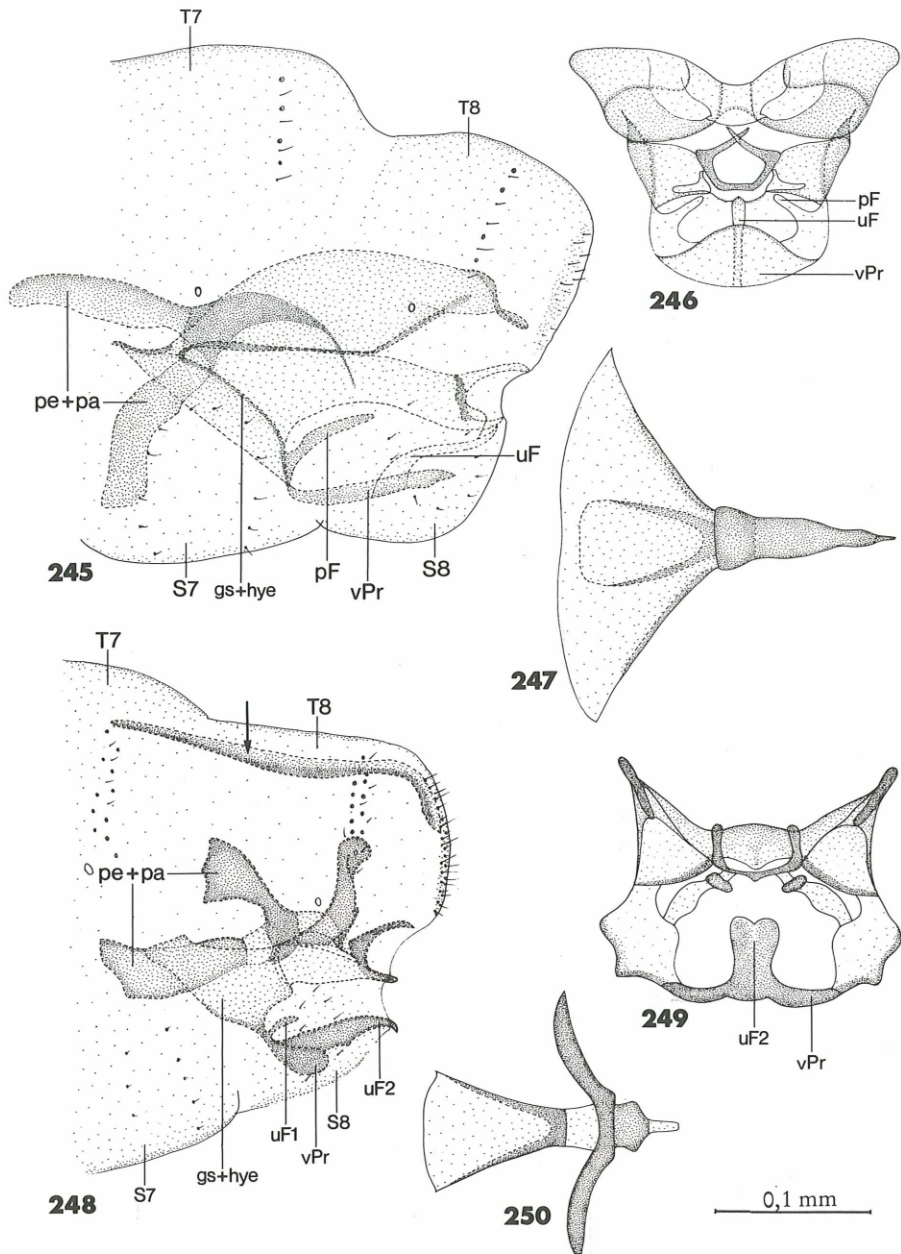
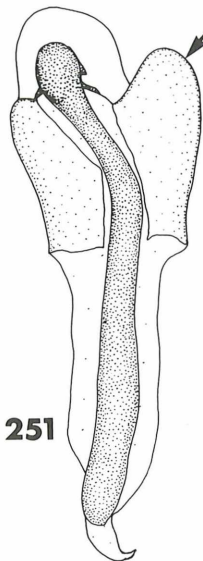
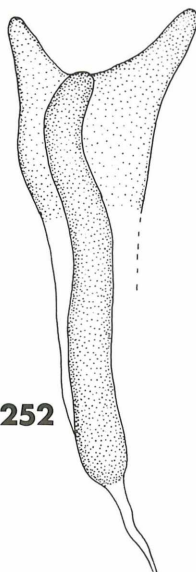


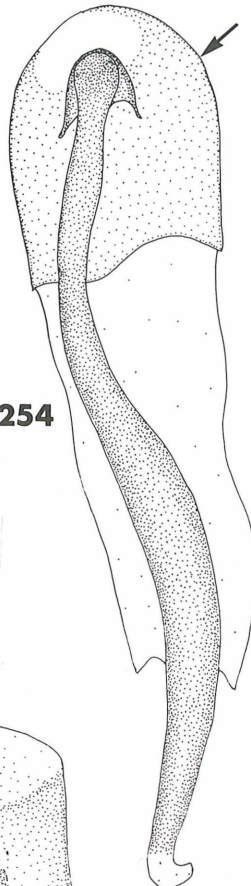
Abb. 245-247: *Aleuropteryx remanei*, ♂. — Abb. 245: Genitalsegmente, lateral. — Abb. 246: Gonarcus-Hypandrium-Komplex, kaudal. — Abb. 247: Penis-Parameren-Komplex, dorsal. — Abb. 248-250: *Aleuropteryx umbrata*, ♂. — Abb. 248: Genitalsegmente, lateral. — Abb. 249: Gonarcus-Hypandrium-Komplex, kaudal. — Abb. 250: Penis-Parameren-Komplex, dorsal.



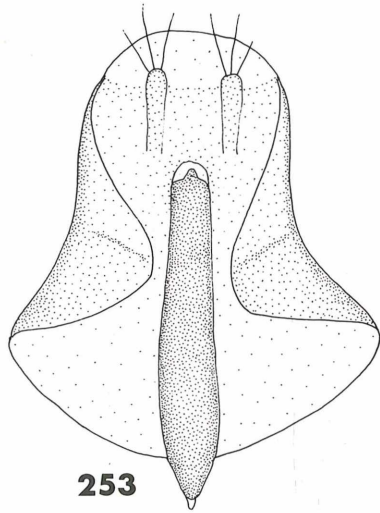
251



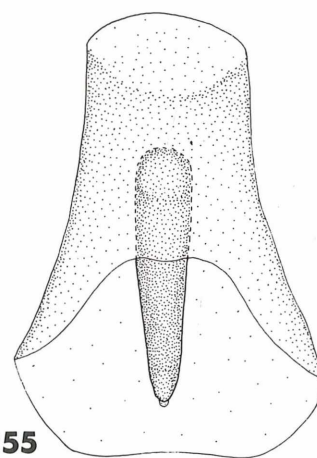
252



254



253



255

0,1 mm

Abb. 251-255: Bursa copulatrix des ♀, dorsal, von — Abb. 251: *Aleuropteryx loewii*, — Abb. 252: *A. codinai* (nach OHM in litt.), — Abb. 253: *A. iberica*, Abb. 254: *A. remanei* und — Abb. 255: *A. umbrata*.

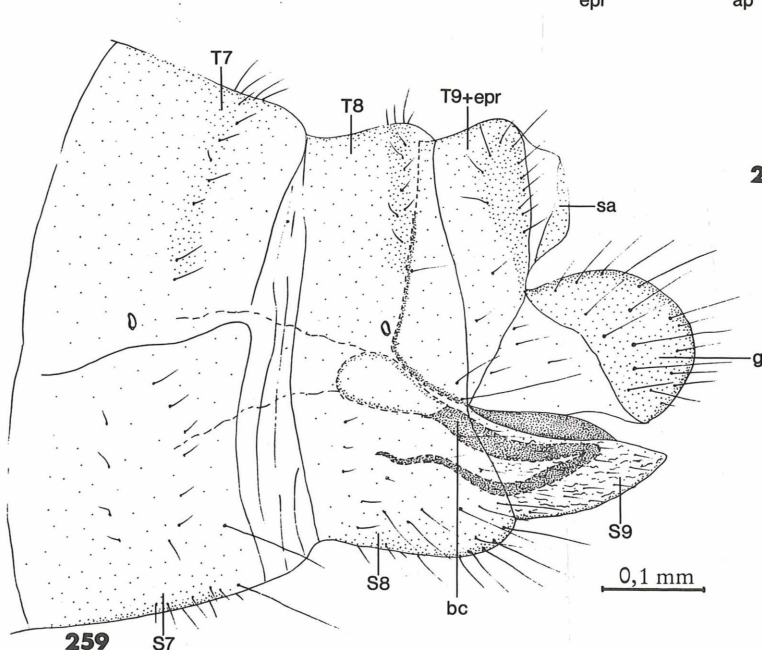
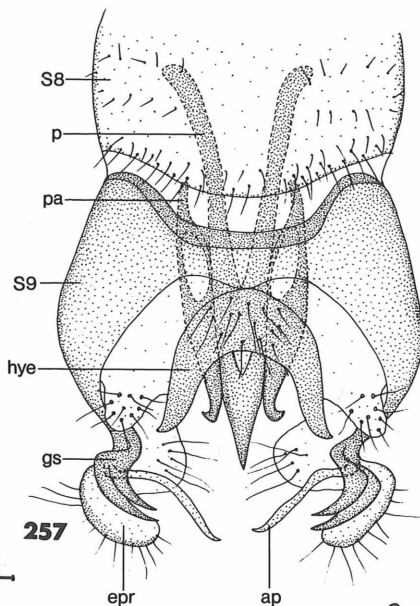
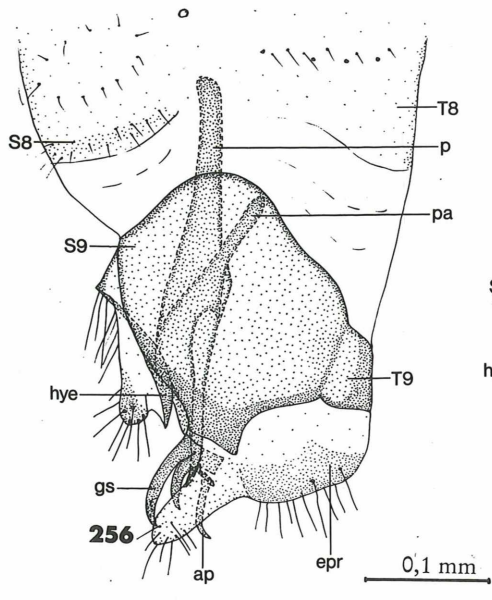


Abb. 256-258: *Helicoconis lutea*, ♂. — Abb. 256: Genitalsegmente, lateral und — Abb. 257: ventral. — Abb. 258: Parameren, lateral. — Abb. 259: *Helicoconis lutea*, ♀ Genitalsegmente, lateral.

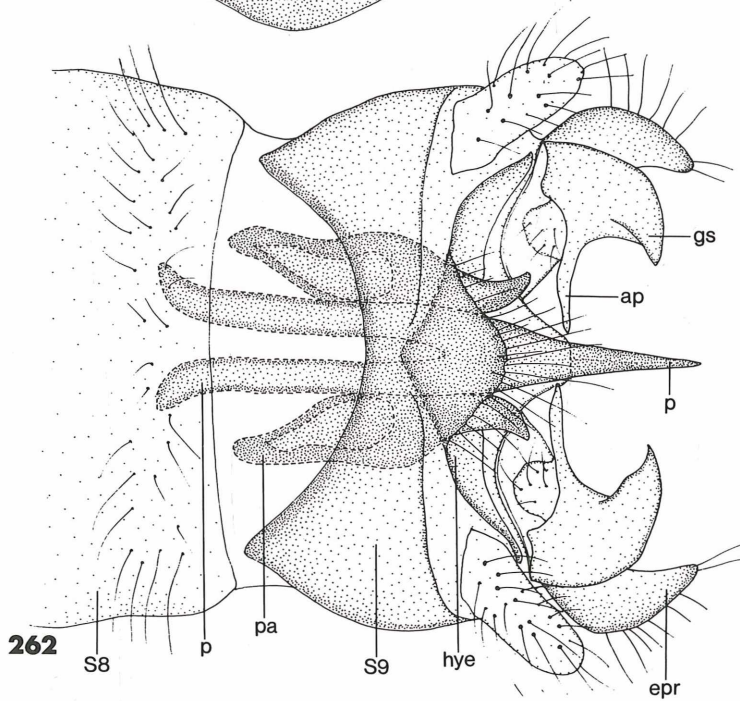
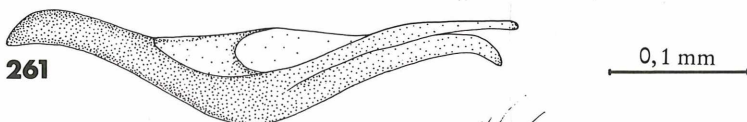
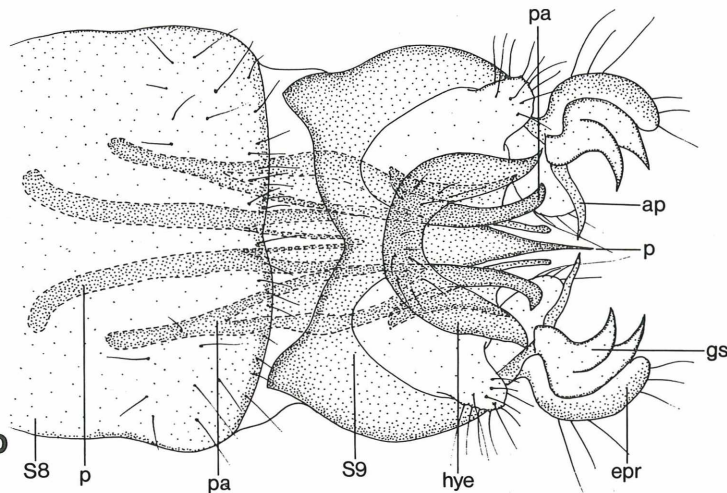
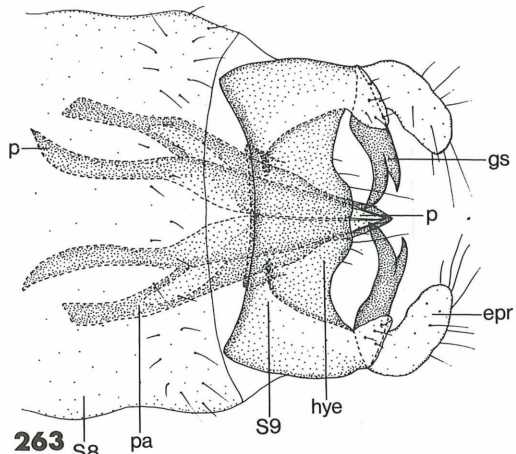
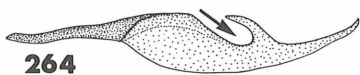


Abb. 260-261: *Helicoconis hirtinervis*, ♂. — Abb. 260: Genitalsegmente, ventral. — Abb. 261: Parameren, lateral. — Abb. 262: *Helicoconis eglini*, ♂ Genitalsegmente, ventral.

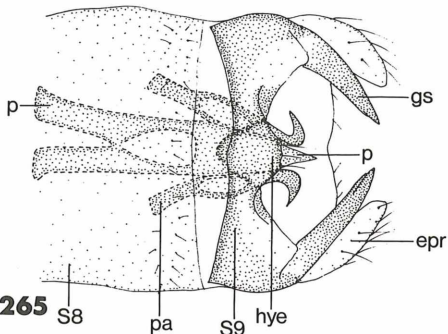


263

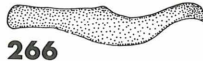


264

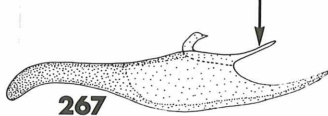
0,1 mm



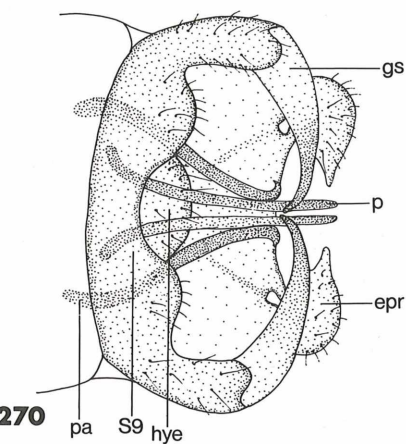
265



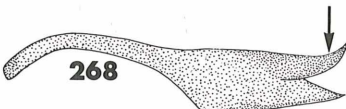
266



267



270



268



269

Abb. 263-264: *Helicoconis pseudolutea*, ♂. — Abb. 263: Genitalsegmente, ventral. — Abb. 264: Linke Paramere, lateral. — Abb. 265-267: *Helicoconis hispanica*, ♂. — Abb. 265: Genitalsegmente, ventral. — Abb. 266: Linke Paramere, lateral. — Abb. 267: Penis, lateral. — Abb. 268: *Helicoconis iberica*, ♂, Penis, lateral (nach OHM 1965). — Abb. 269: *Helicoconis panticosa*, ♂, Penis, lateral. — Abb. 270: *Helicoconis transylvanica*, ♂ Genitalsegmente, ventral (umgezeichnet nach KIS 1965 und KIS & al. 1970).

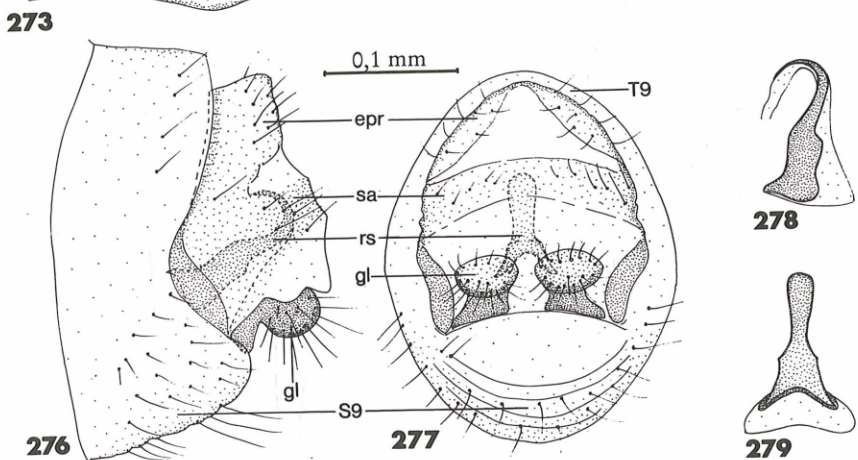
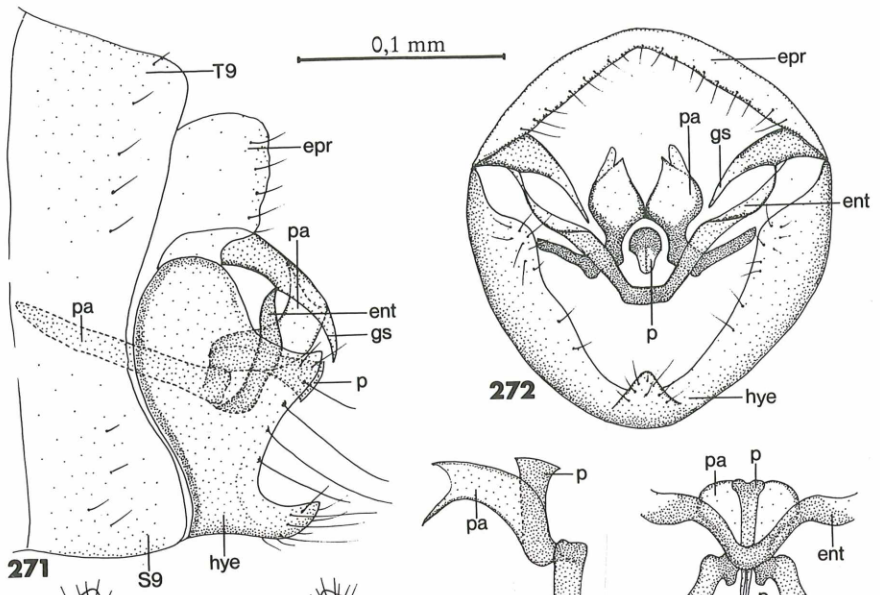
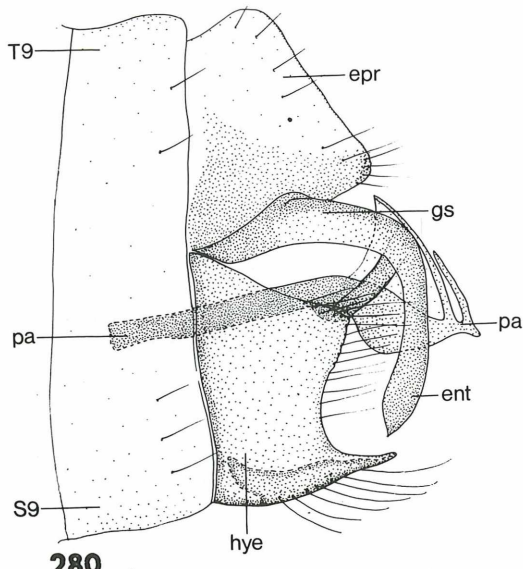
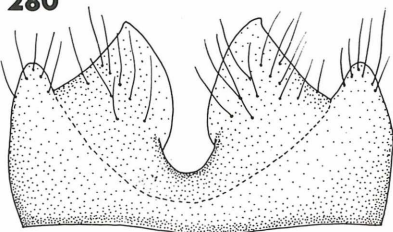


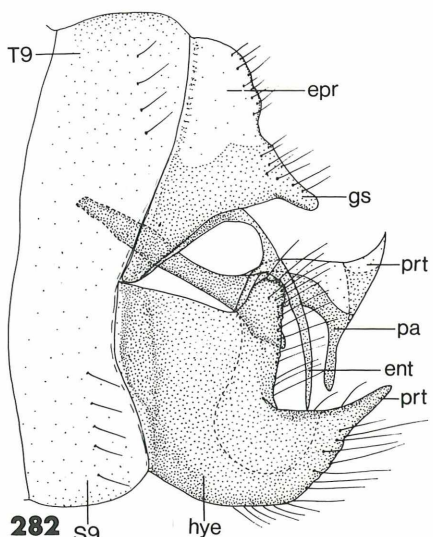
Abb. 271-275: *Coniopteryx (Xeroconiopteryx) loipetsederi*, ♂. — Abb. 271: Genitalsegmente, lateral und — Abb. 272: kaudal. — Abb. 273: Hypandrium, ventral. — Abb. 274: Parameren und Penis, lateral und — Abb. 275: ventral. — Abb. 276-279: *Coniopteryx (Coniopteryx) parthenia*, ♀. — Abb. 276: Genitalsegmente, lateral und — Abb. 277: kaudal. — Abb. 278: Receptaculum seminis, lateral und — Abb. 279: kaudal.



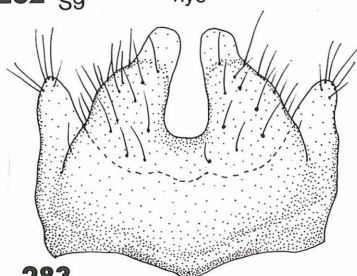
280



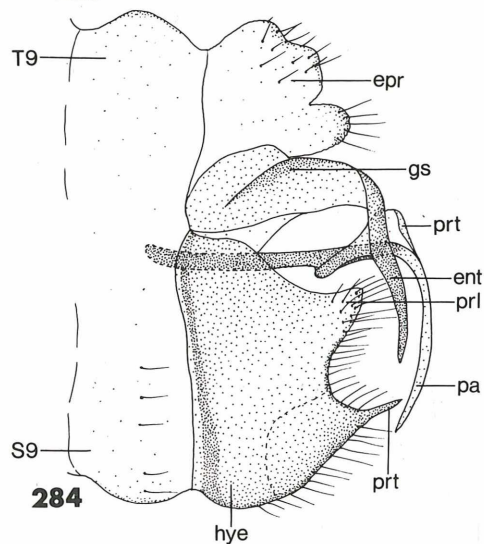
281



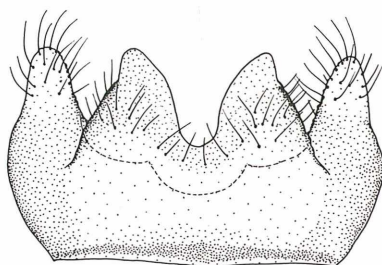
282



283



284



285

0,1 mm

Abb. 280-281: *Coniopteryx (C.) tineiformis*, ♂. — Abb. 280: Genitalsegmente, lateral. — Abb. 281: Hypandrium, ventral. — Abb. 282-283: *Coniopteryx (C.) borealis*, ♂. — Abb. 282: Genitalsegmente, lateral. — Abb. 283: Hypandrium, ventral. — Abb. 284-285: *Coniopteryx (C.) parthenia*, ♂. — Abb. 284: Genitalsegmente, lateral. — Abb. 285: Hypandrium, ventral.

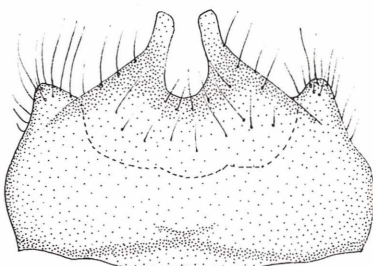
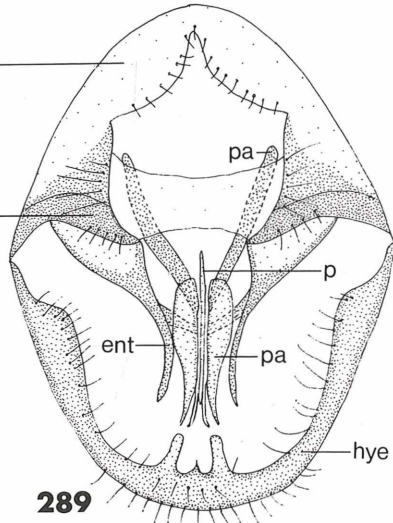
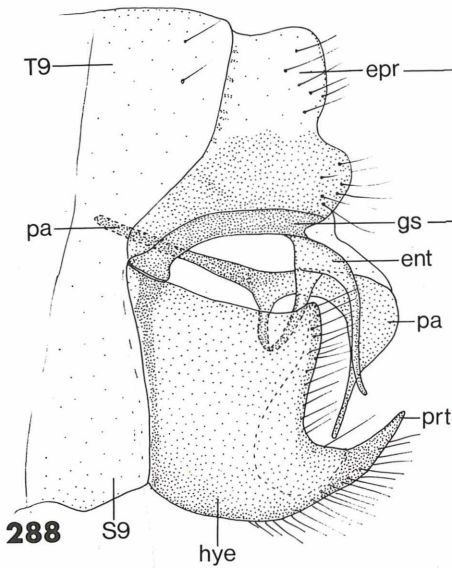
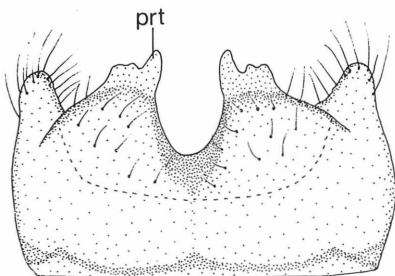
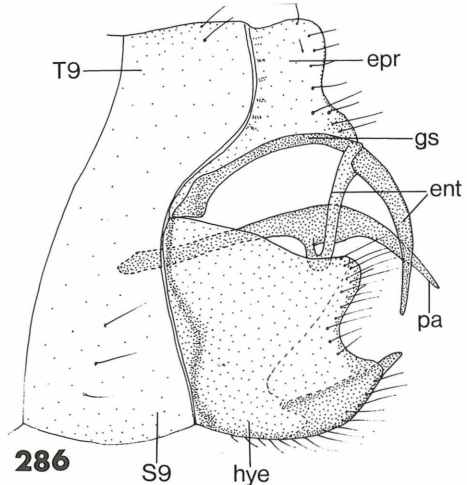


Abb. 286-287: *Coniopteryx (C.) pygmaea*, ♂. — Abb. 286: Genitalsegmente, lateral. — Abb. 287: Hypandrium, ventral. — Abb. 288-290: *Coniopteryx (C.) aspoecki*, ♂. — Abb. 288: Genitalsegmente, lateral und — Abb. 289: kaudal. — Abb. 290: Hypandrium, ventral.

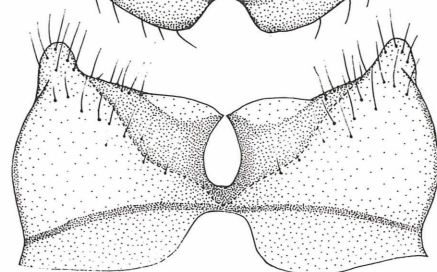
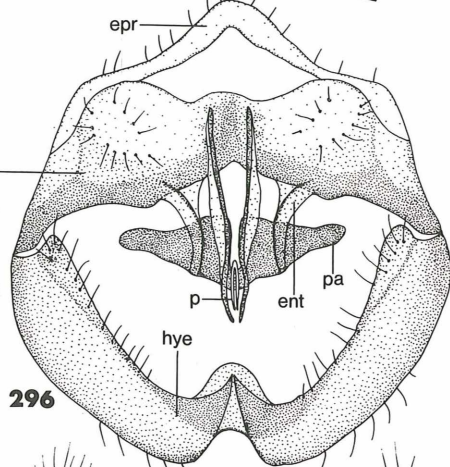
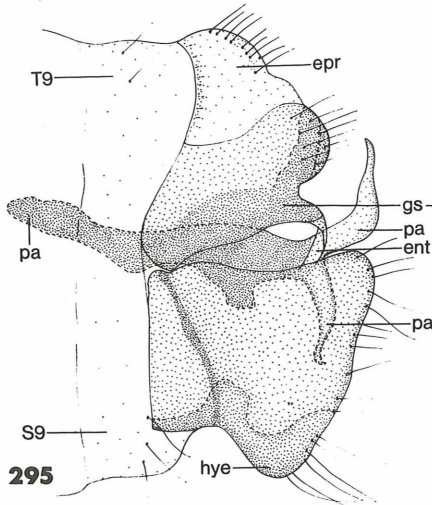
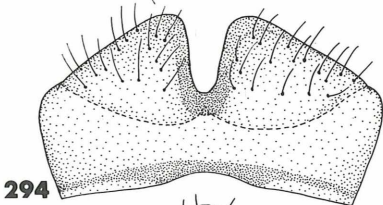
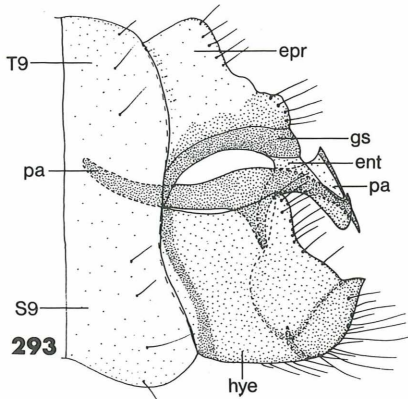
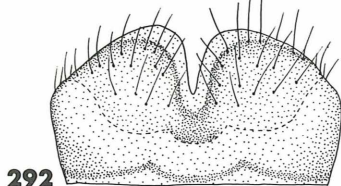
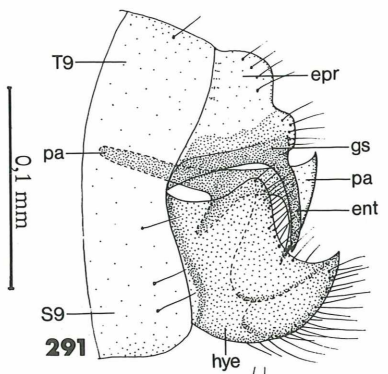
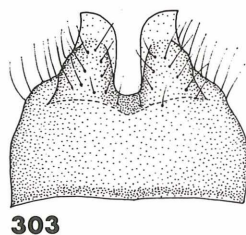
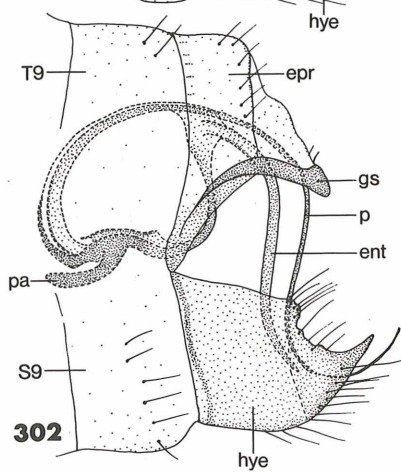
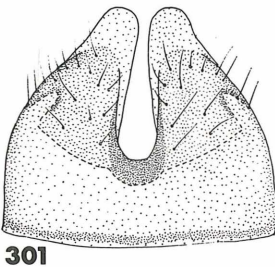
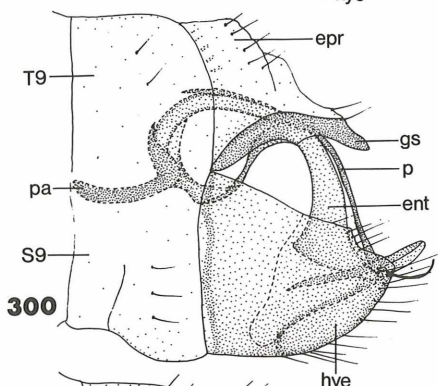
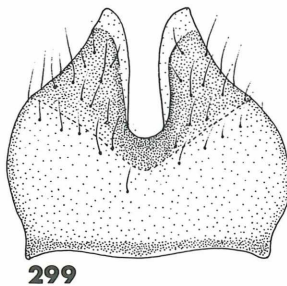
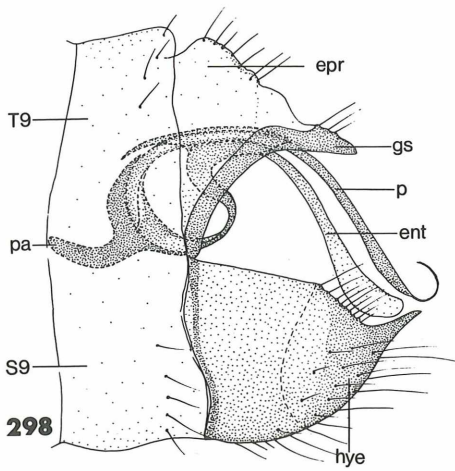


Abb. 291-292: *Coniopteryx (Holoconiopteryx) haematica*, ♂. — Abb. 291: Genitalsegmente, lateral. — Abb. 292: Hypandrium ventral. — Abb. 293-294: *Coniopteryx (H.) drammonti*, ♂. — Abb. 293: Genitalsegmente, lateral. — Abb. 294: Hypandrium, ventral. — Abb. 295-297: *Coniopteryx (H.) renate*, ♂. — Abb. 295: Genitalsegmente, lateral und — Abb. 296: kaudal. — Abb. 297: Hypandrium, ventral.



0,1 mm

Abb. 298-299: *Coniopteryx (Metaconiopteryx) esbenpeterseni*, ♂. — Abb. 298: Genitalsegmente, lateral. — Abb. 299: Hypandrium, ventral. — Abb. 300-301: *Coniopteryx (M.) arcuata*, ♂. — Abb. 300: Genitalsegmente, lateral. — Abb. 301: Hypandrium, ventral. — Abb. 302-303: *Coniopteryx (M.) lentiae*, ♂. — Abb. 302: Genitalsegmente, lateral. — Abb. 303: Hypandrium, ventral.

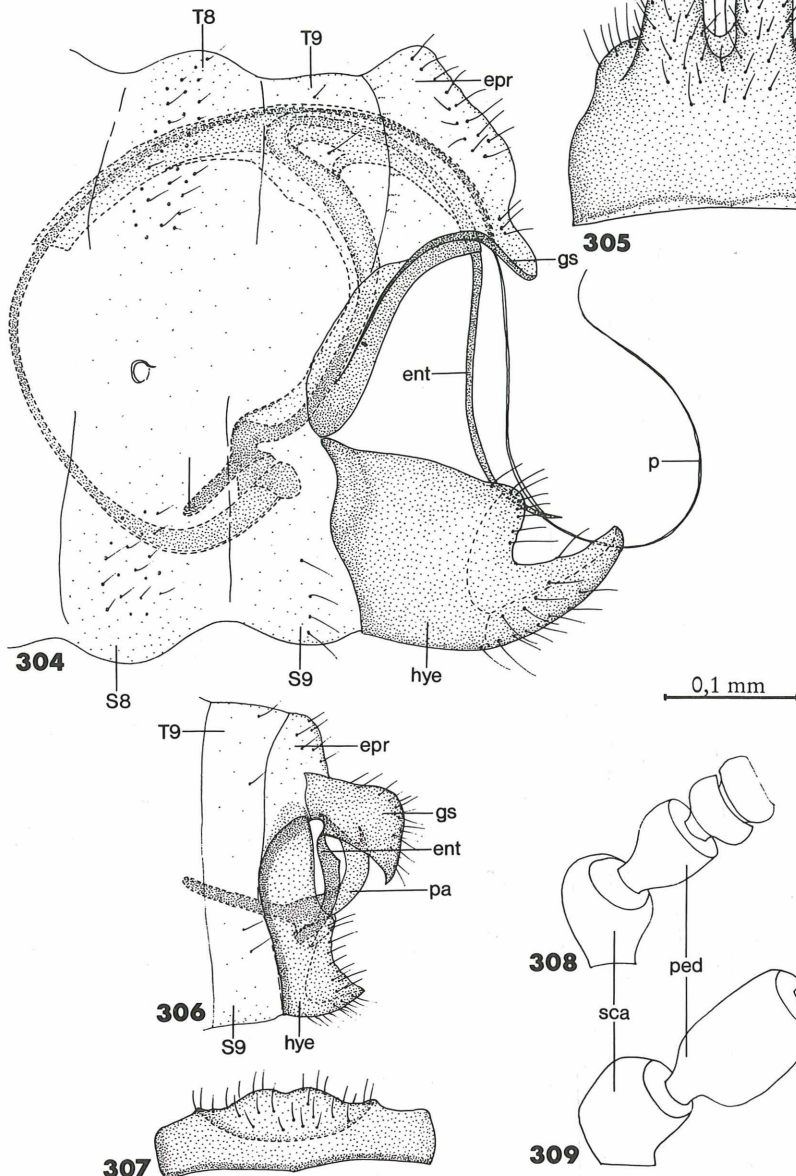


Abb. 304-305: *Coniopteryx (M.) tjederi*, ♂. — Abb. 304: Genitalsegmente, lateral. — Abb. 305: Hypandrium, ventral. — Abb. 306-308: *Coniopteryx (Xeroconiopteryx) atlasensis*, ♂. — Abb. 306: Genitalsegmente, lateral. — Abb. 307: Hypandrium, ventral. — Abb. 308: Pedicellus und 3. Fühlerglied. — Abb. 309: *Coniopteryx (X.) perisi*, ♂, Pedicellus und 3. Fühlerglied.

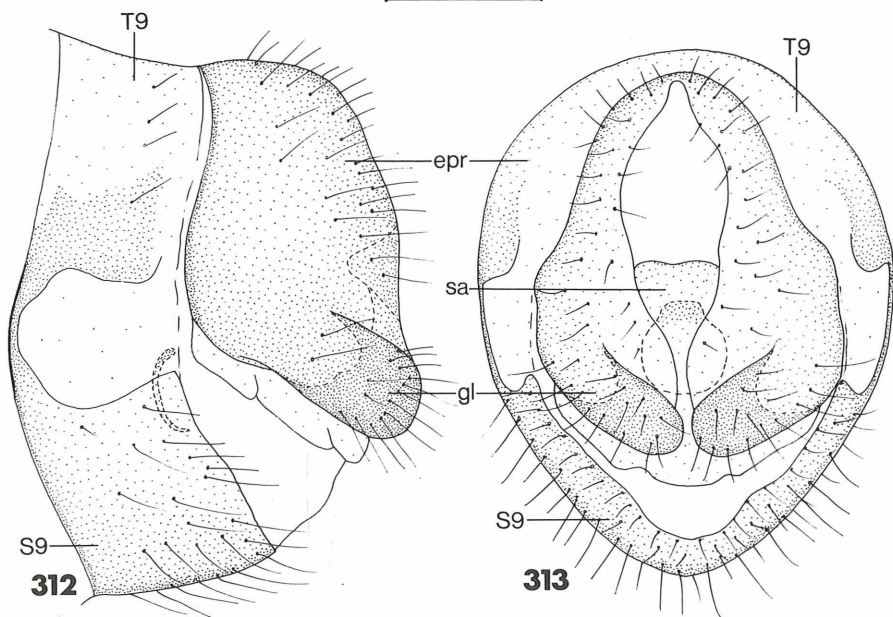
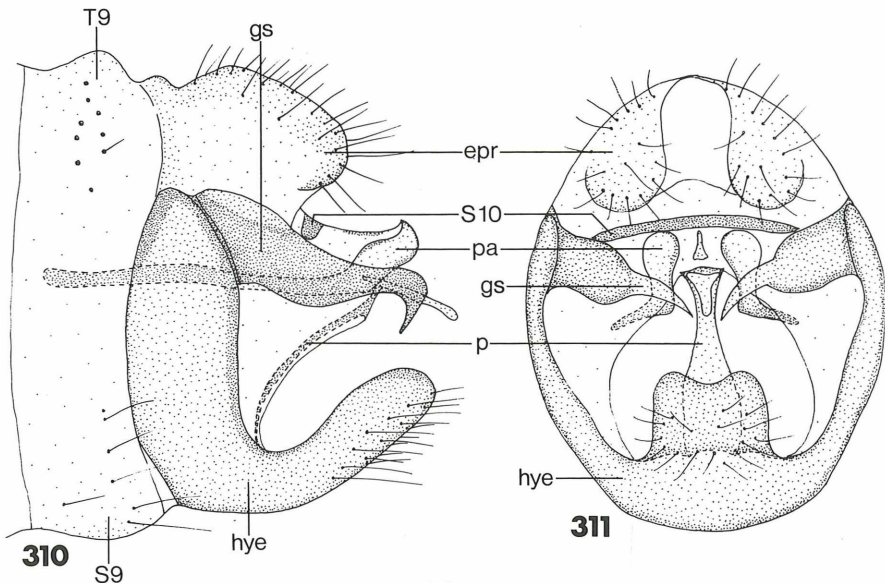


Abb. 310: *Parasemidalis fuscipennis*, ♂ Genitalsegmente, lateral und — Abb. 311: kaudal.
— Abb. 312: *Parasemidalis fuscipennis*, ♀ Genitalsegmente, lateral und — Abb. 313: kaudal.

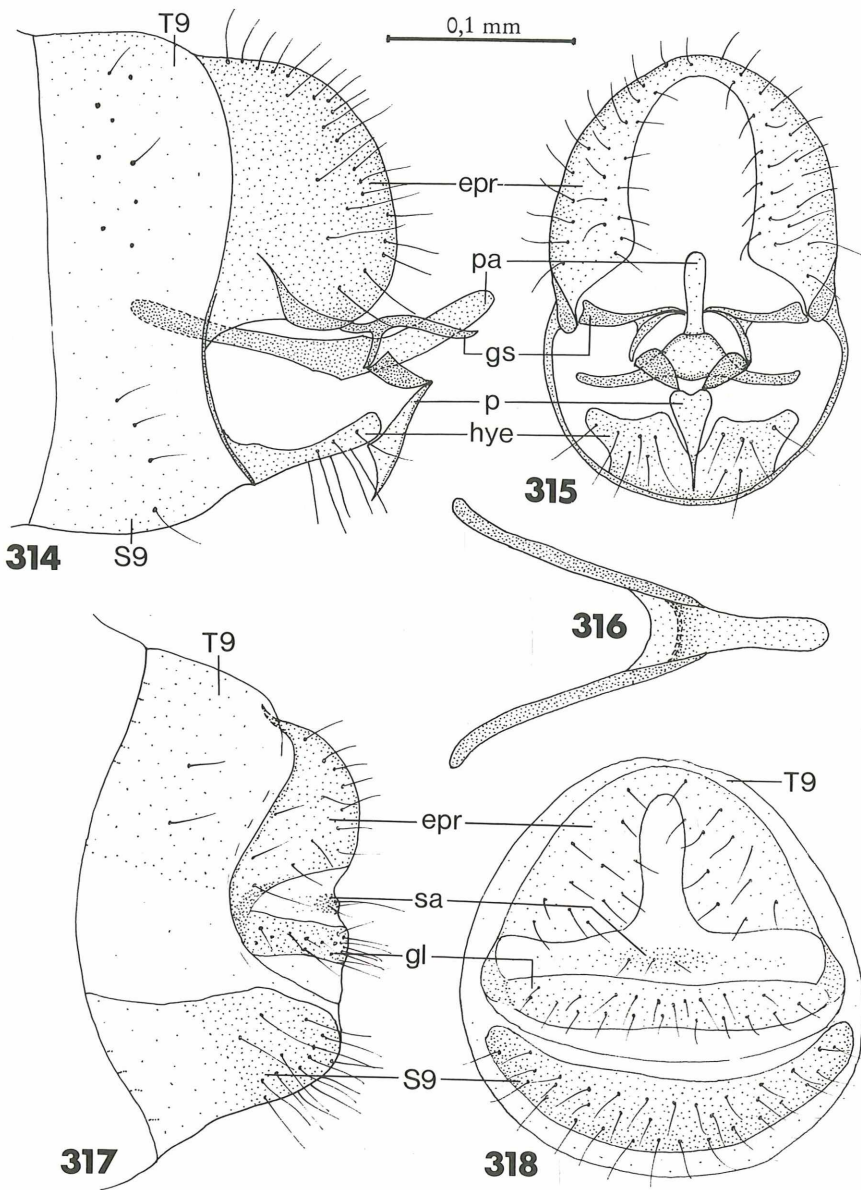
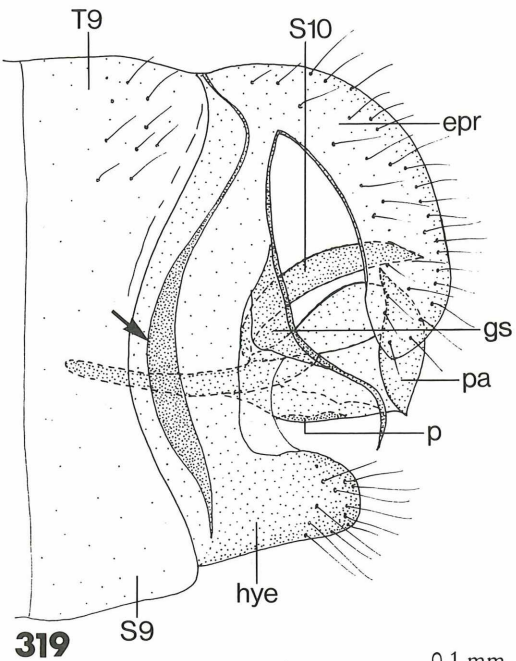
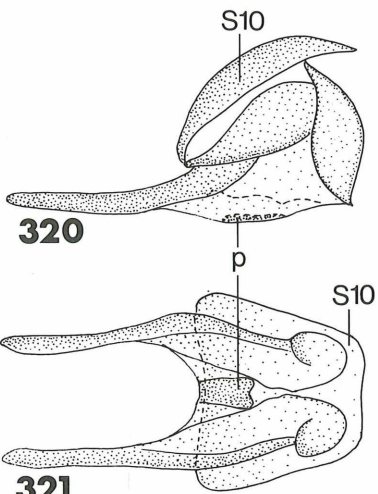


Abb. 314-316: *Nimboa espanoli*, ♂. — Abb. 314: Genitalsegmente, lateral und — Abb. 315: kaudal. — Abb. 316: Parameren, ventral. — Abb. 317: *Nimboa espanoli*, ♀ Genitalsegmente, lateral und — Abb. 318: kaudal.



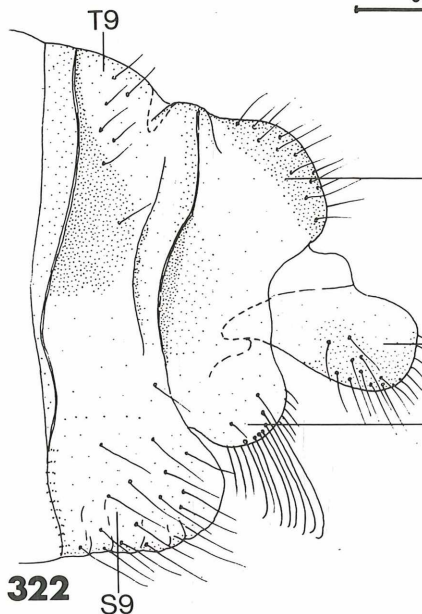
319



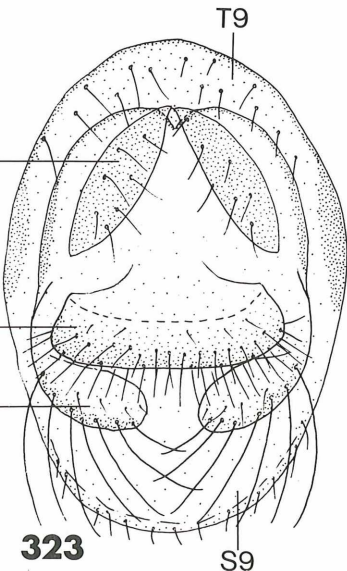
320

321

0,1 mm



322



323

Abb. 319-321: *Hemisemidalis pallida*, ♂. — Abb. 319: Genitalsegmente, lateral. — Abb. 320: Parameren und Penis, lateral und — Abb. 321: ventral. — Abb. 322: *Hemisemidalis pallida*, ♀. Genitalsegmente, lateral und — Abb. 323: kaudal.

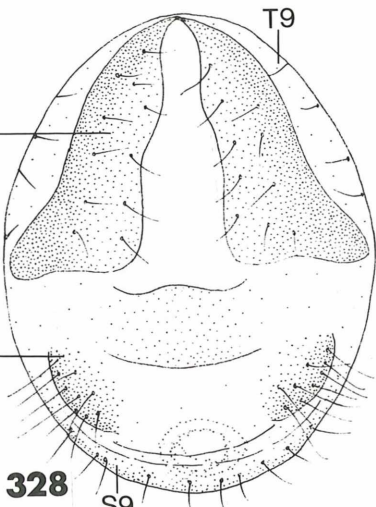
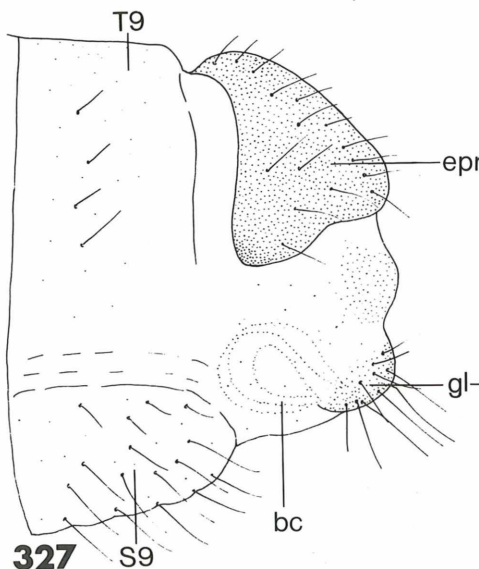
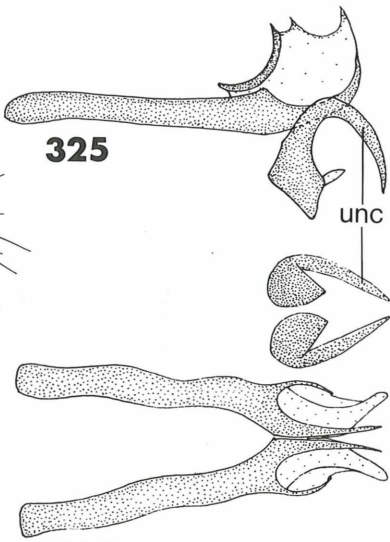
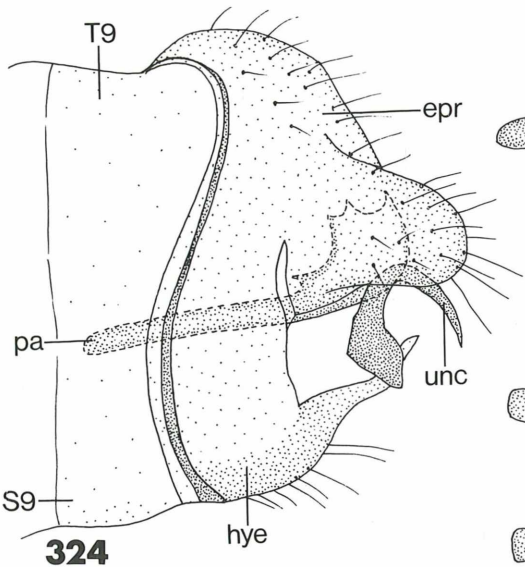
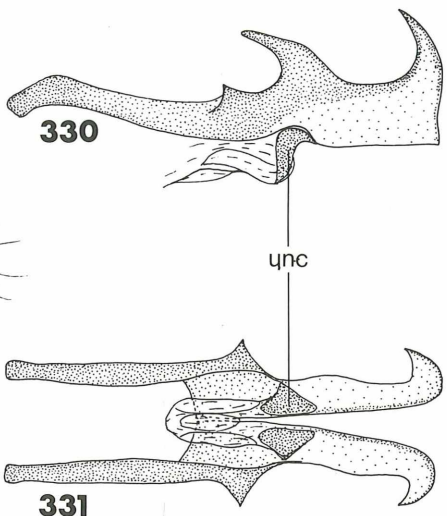
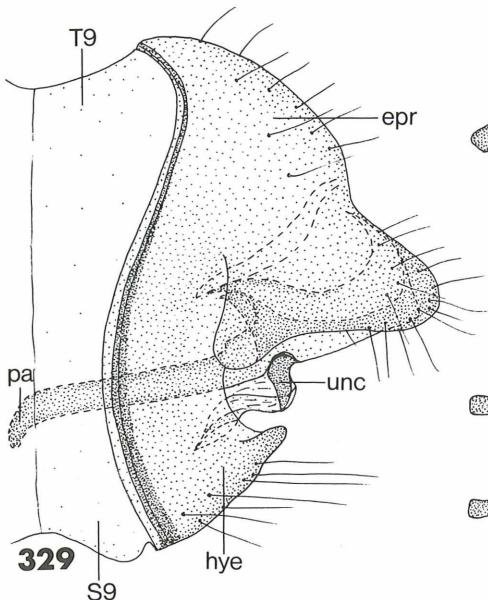


Abb. 324-326: *Semidalis pseudouncinata*, ♂. — Abb. 324: Genitalsegmente, lateral. — Abb. 325: Parameren und Uncini, lateral und — Abb. 326: ventral. — Abb. 327: *Semidalis pseudouncinata*, ♀ Genitalsegmente, lateral und — Abb. 328: kaudal.



0,1 mm

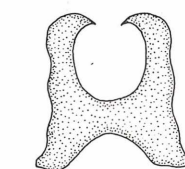
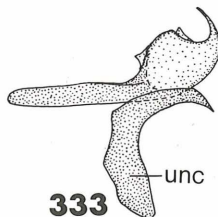
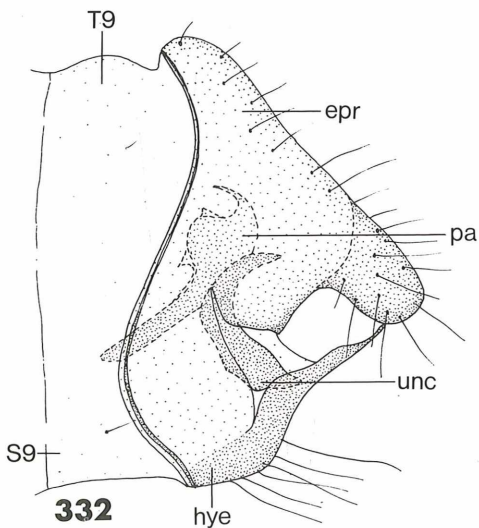
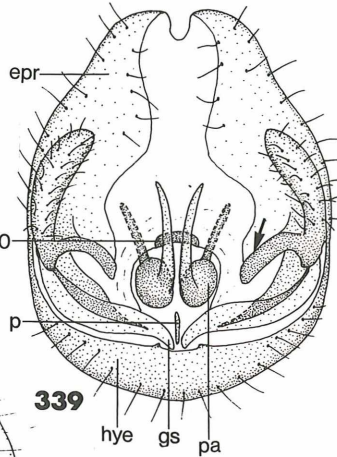
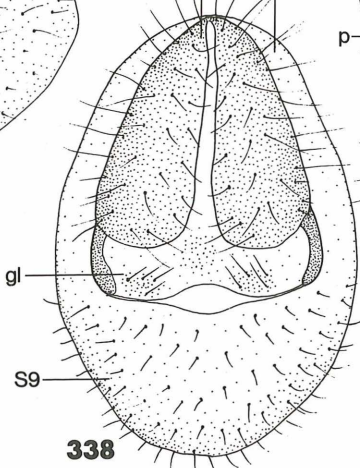
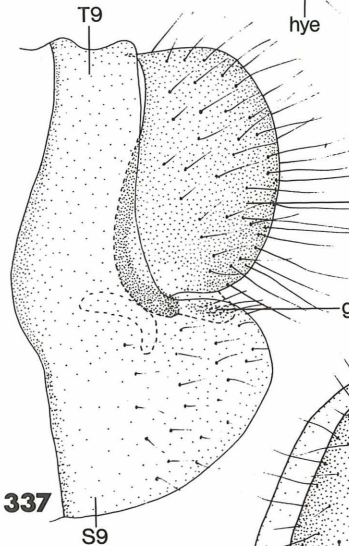
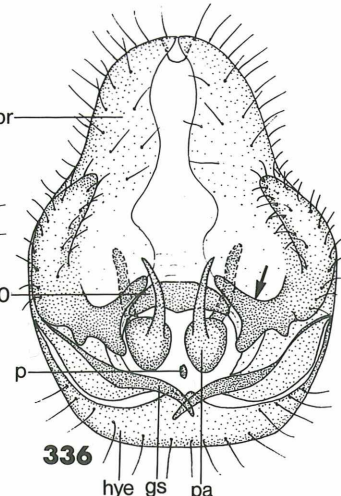
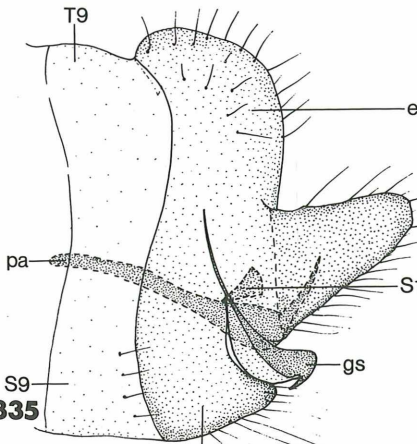


Abb. 329-331: *Semidalis aleyrodiiformis*, ♂. — Abb. 329: Genitalsegmente, lateral. — Abb. 330: Parameren und Uncini, lateral und — Abb. 331: ventral. — Abb. 332-334: *Semidalis vicina*, ♂. — Abb. 332: Genitalsegmente, lateral. — Abb. 333: Parameren und Uncini, lateral. — Abb. 334: Uncini, kaudal.



0,1 mm

Abb. 335: *Conwentzia pineticola*, ♂ Genitalsegmente, lateral und — Abb. 336: kaudal. —
Abb. 337: *Conwentzia pineticola*, ♀ Genitalsegmente, lateral und — Abb. 338: kaudal. —
Abb. 339: *Conwentzia psociformis*, ♂ Genitalsegmente, kaudal.

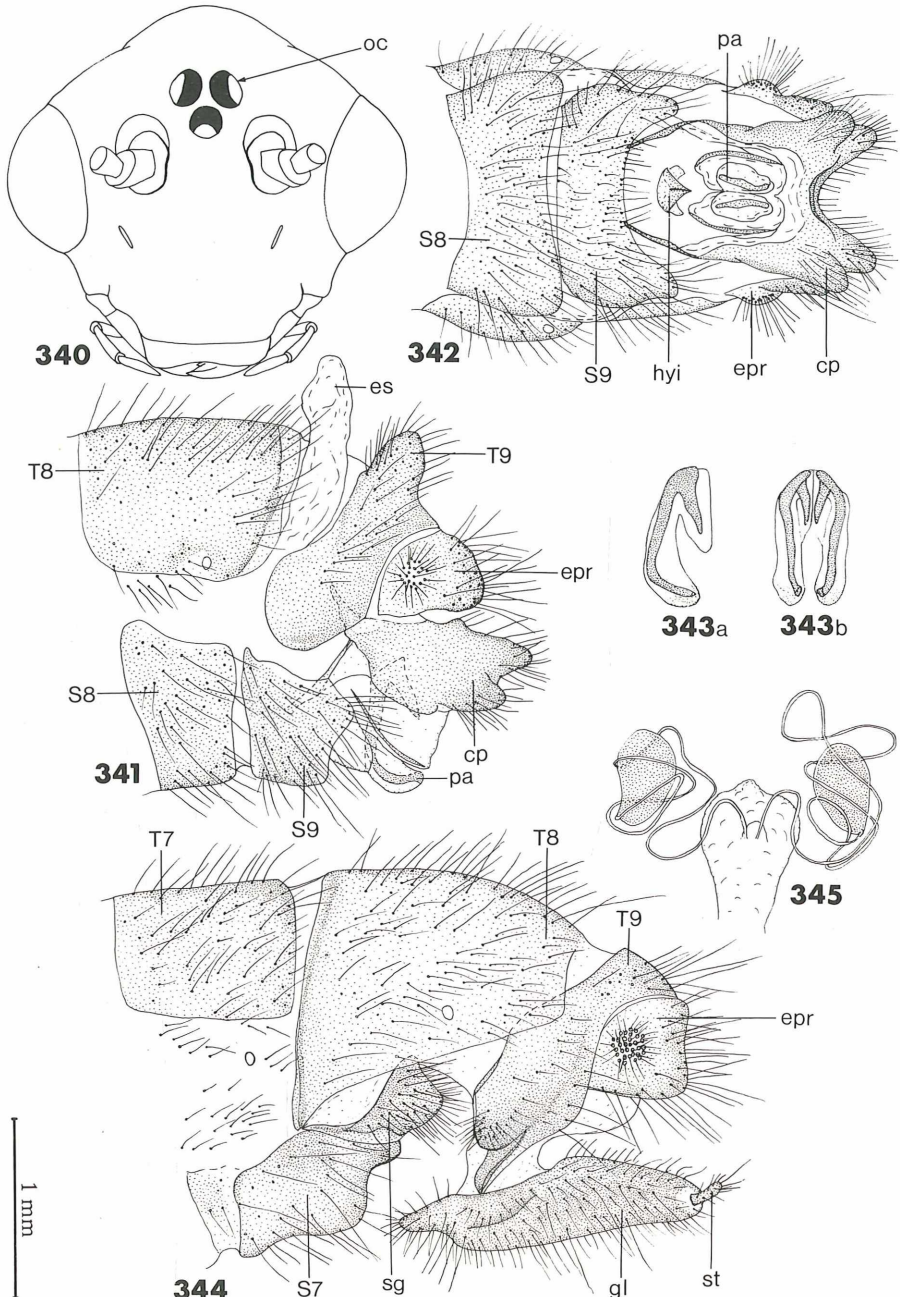
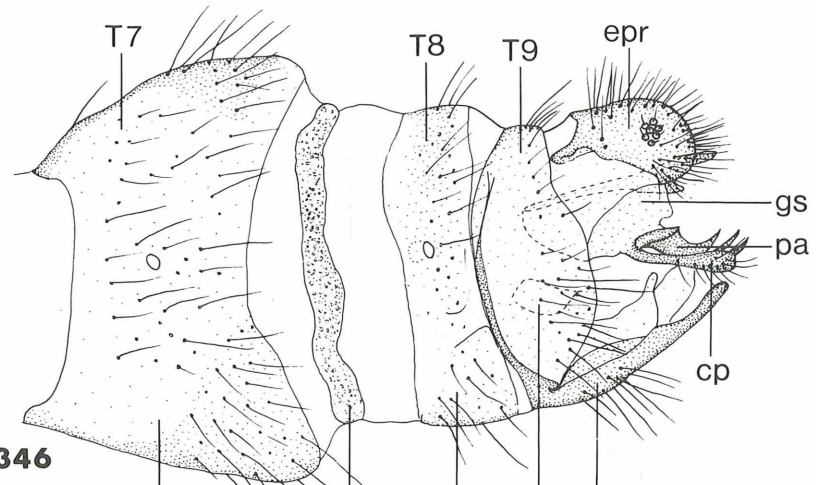
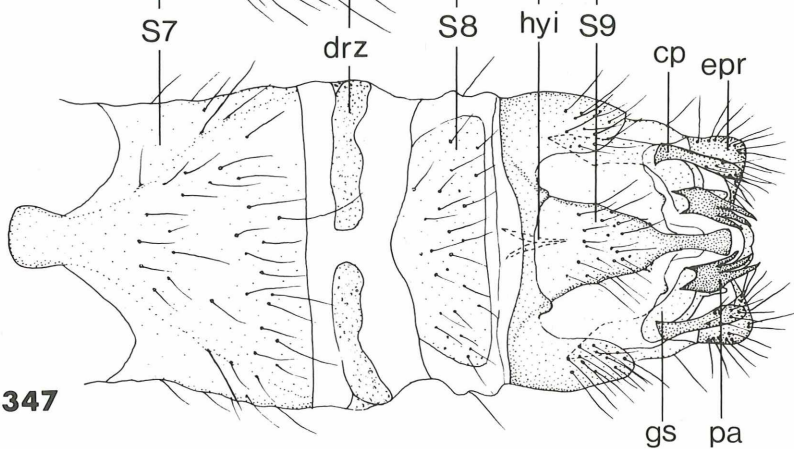


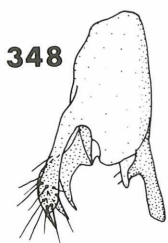
Abb. 340: *Osmylus fulvicephalus*, Kopf, frontal. — Abb. 341-343: *Osmylus fulvicephalus*, ♂. — Abb. 341: Genitalsegmente, lateral und — Abb. 342: ventral. — Abb. 343a: Parameren, lateral und — Abb. 343b: ventral. — Abb. 344-345: *Osmylus fulvicephalus*, ♀. — Abb. 344: Genitalsegmente, lateral. — Abb. 345: Receptacula seminis.



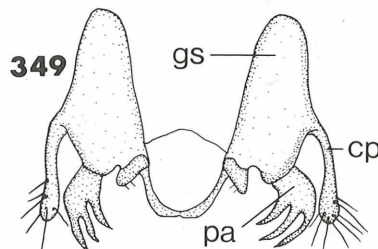
346



347



348



349

0,5 mm



350



351

Abb. 346-351: *Neurorthus apatelios*, ♂. — Abb. 346: Genitalsegmente, lateral und — Abb. 347: ventral. — Abb. 348: Gonarcus-Parameren-Koxopoditen-Komplex, lateral und — Abb. 349: dorsal. — Abb. 350: Hypandrium internum, lateral und — Abb. 351: dorsal.

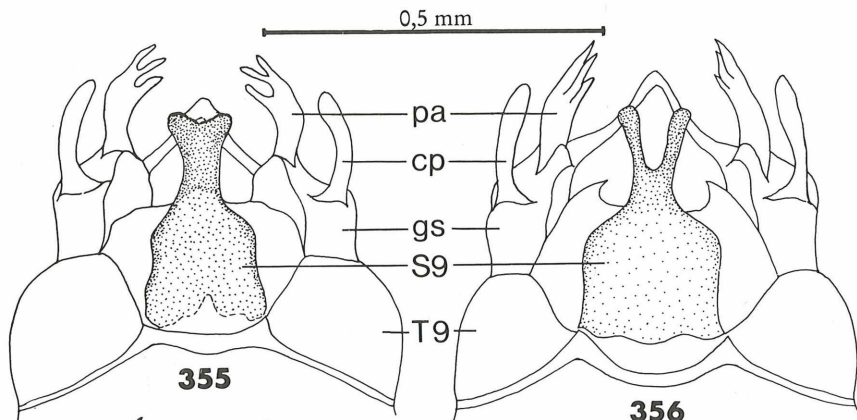
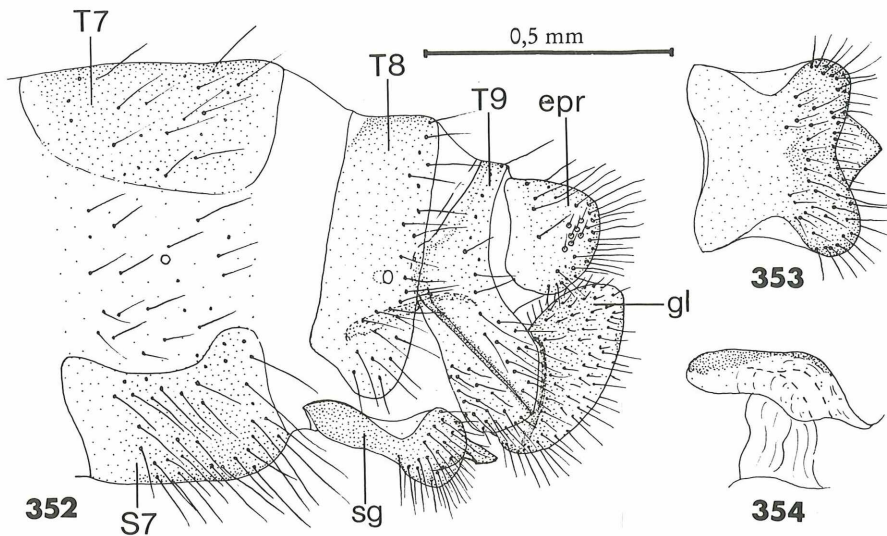


Abb. 352-354: *Neurorthus apatelios*, ♀. — Abb. 352: Genitalsegmente, lateral. — Abb. 353: Subgenitale, ventral. — Abb. 354: Bursa, lateral. — Abb. 355-357: ♂ Genitalsegmente, ventral, von — Abb. 355: *Neurorthus fallax*, — Abb. 356: *N. iridipennis* und — Abb. 357: *N. apatelios*.

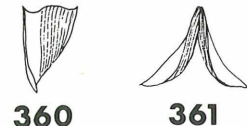
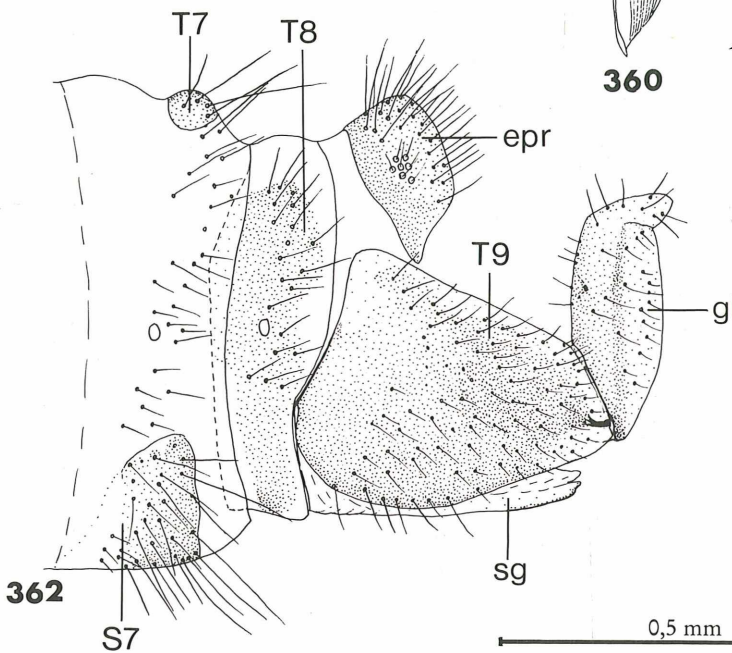
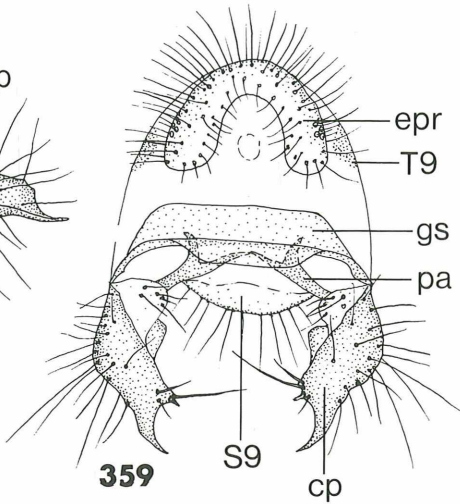
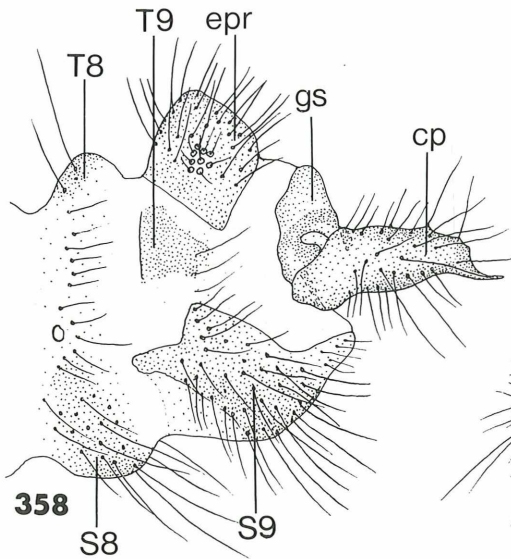
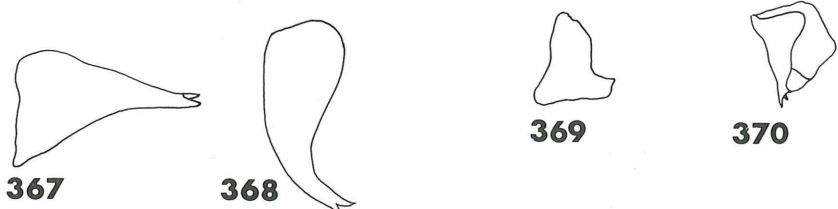


Abb. 358-361: *Sisyra terminalis*, ♂. — Abb. 358: Genitalsegmente, lateral und — Abb. 359: dorsokaudal. — Abb. 360: Hypandrium internum, lateral und — Abb. 361: ventral. — Abb. 362: *Sisyra terminalis*, ♀ Genitalsegmente, lateral.



0,5 mm

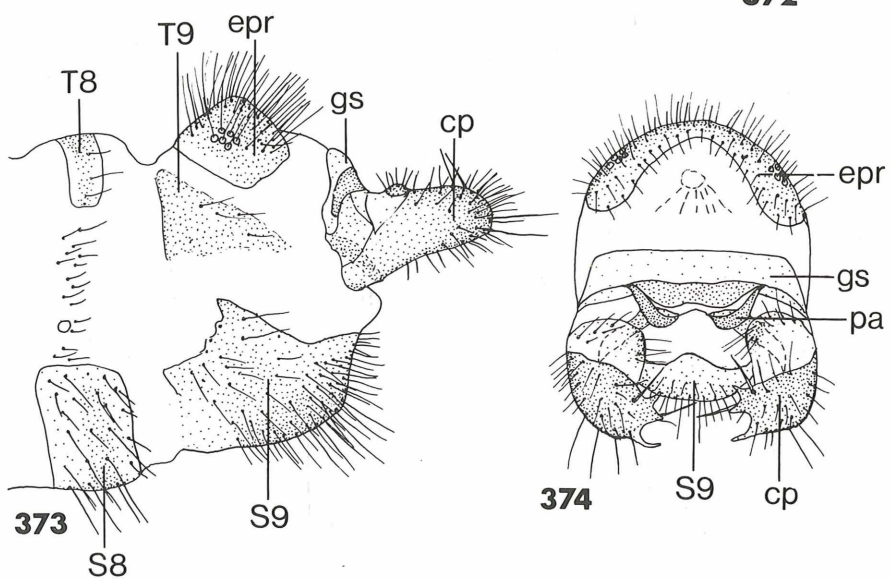
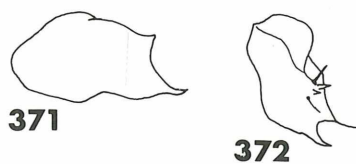


Abb. 363-372: 9. Koxopoditen des ♂, lateral und dorsokaudal, von — Abb. 363-364: *Sisyra terminalis*, — Abb. 365-366: *S. dalii*, — Abb. 367-368: *S. fuscata*, — Abb. 369-370: *S. jutlandica* und — Abb. 371-372: *S. iridipennis*. — Abb. 373: *Sisyra dalii*, ♂ Genitalsegmente, lateral und — Abb. 374: dorsokaudal.

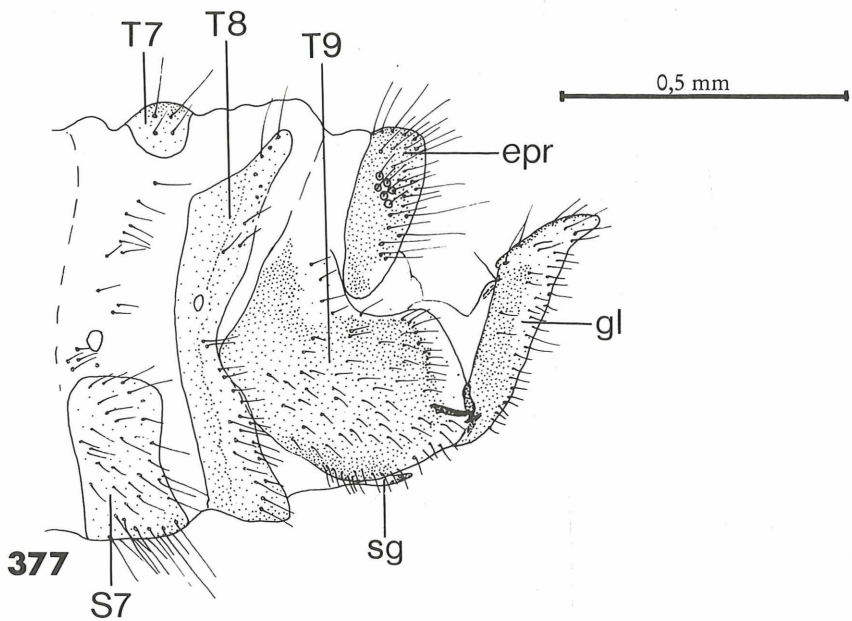
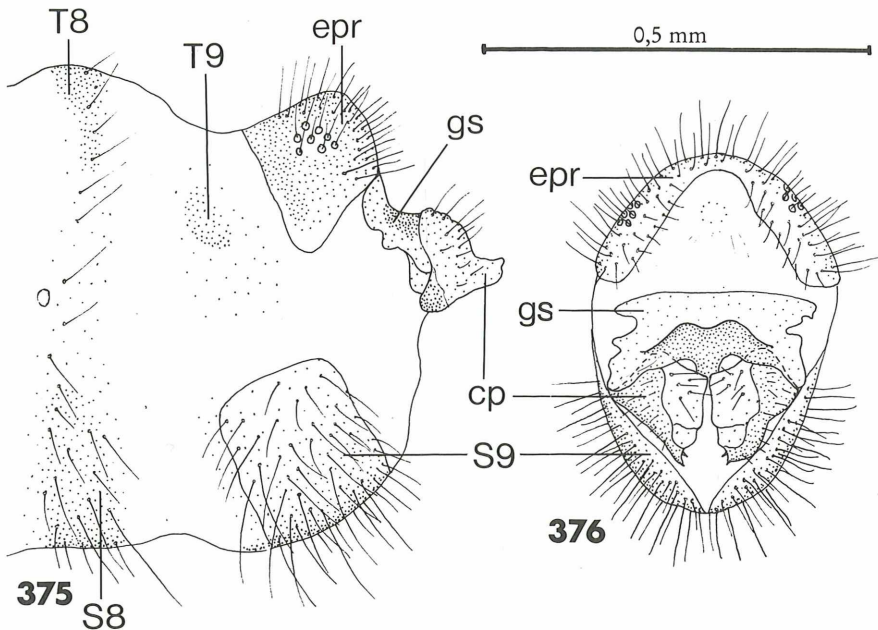


Abb. 375: *Sisyra jutlandica*, ♂ Genitalsegmente, lateral und — Abb. 376: dorsokaudal. —
Abb. 377: *Sisyra jutlandica*, ♀ Genitalsegmente, lateral.

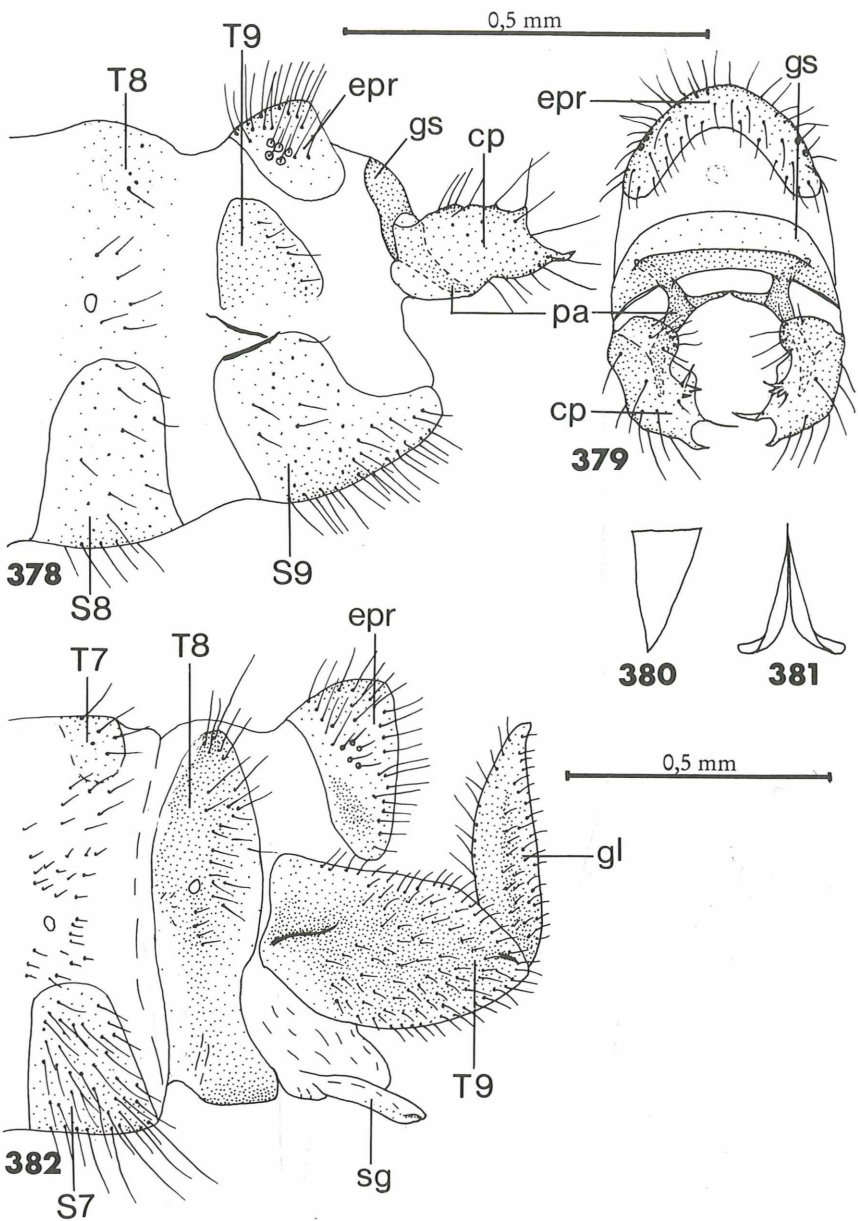


Abb. 378-381: *Sisyra iridipennis*, ♂. — Abb. 378: Genitalsegmente, lateral und — Abb. 379: dorsokaudal. — Abb. 380: Hypandrium internum, lateral und — Abb. 381: ventral. — Abb. 382: *Sisyra iridipennis*, ♀ Genitalsegmente, lateral.

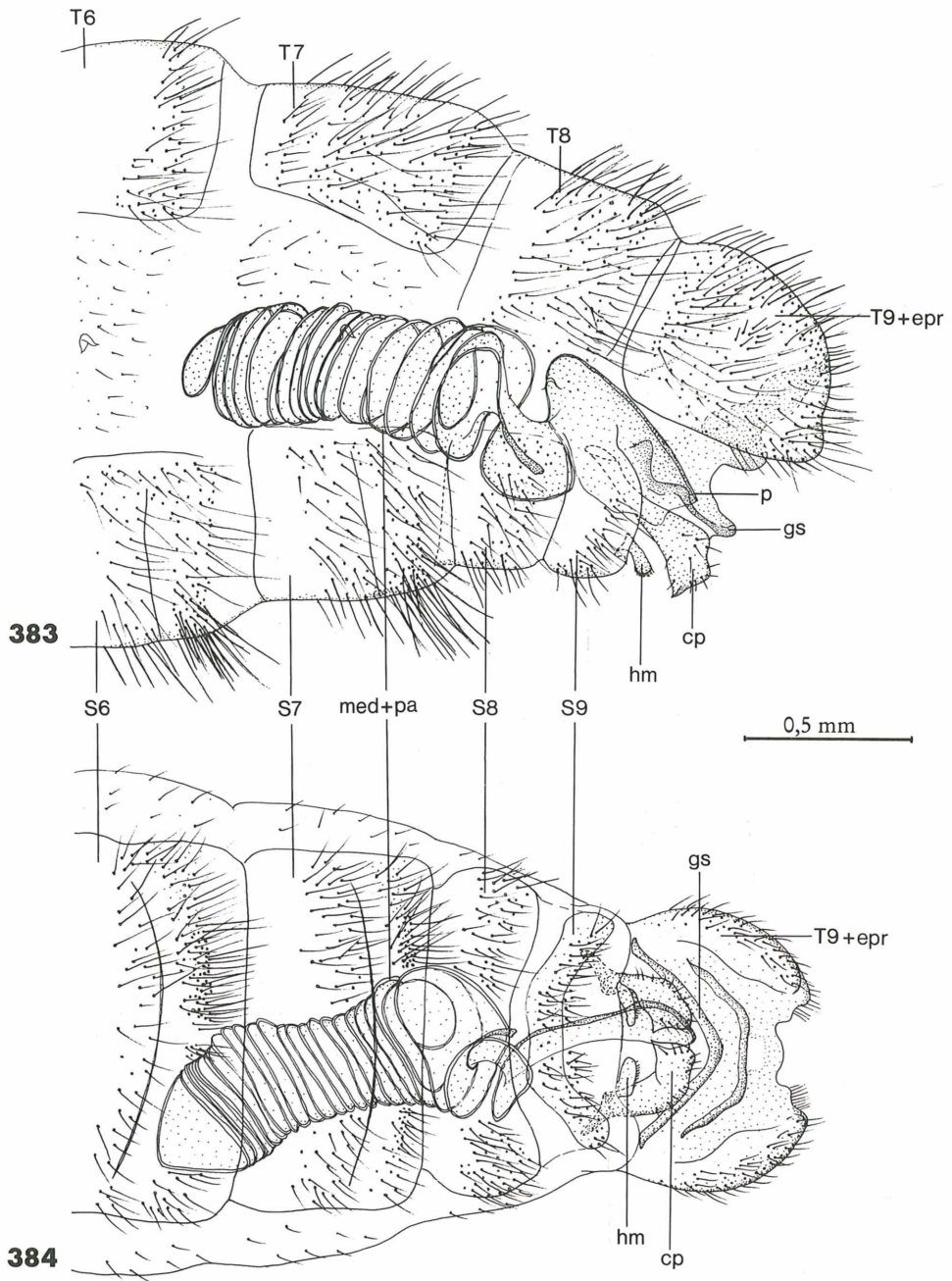
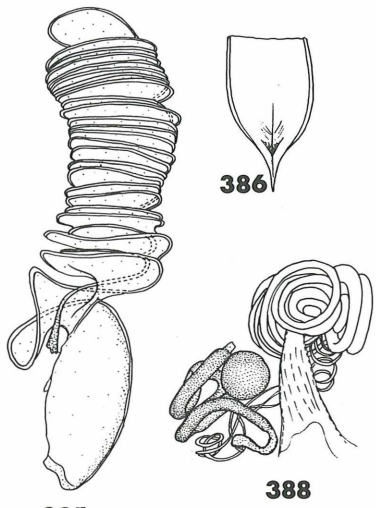


Abb. 383: *Berrotha fulva*, ♂ Genitalsegmente, lateral und — Abb. 384: ventral.

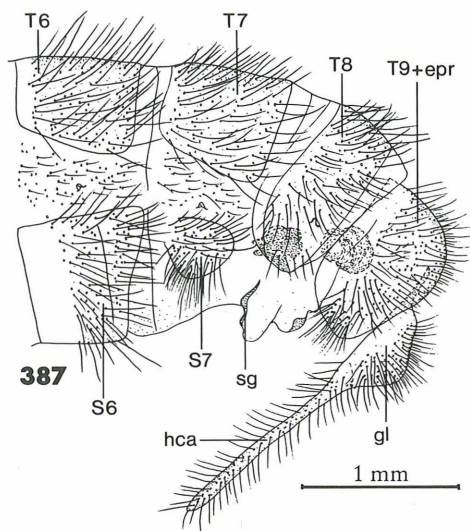


385

386

388

0,5 mm



387

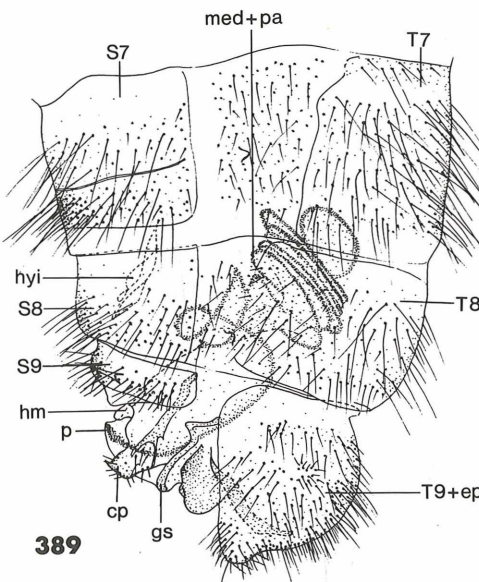
S6

S7

sg

hca

1 mm



389

390

Abb. 385-386: *Berrotha fulva*, ♂. — Abb. 385: Mediuncus-Parameren-Komplex, lateral. — Abb. 386: Hypandrium internum, ventral. — Abb. 387-388: *Berrotha fulva*, ♀. — Abb. 387: Genitalsegmente, lateral. — Abb. 388: Bursa-Receptaculum-Komplex, lateral. — Abb. 389: *Berrotha glaserella*, ♂ Genitalsegmente, lateral und — Abb. 390: ventral.

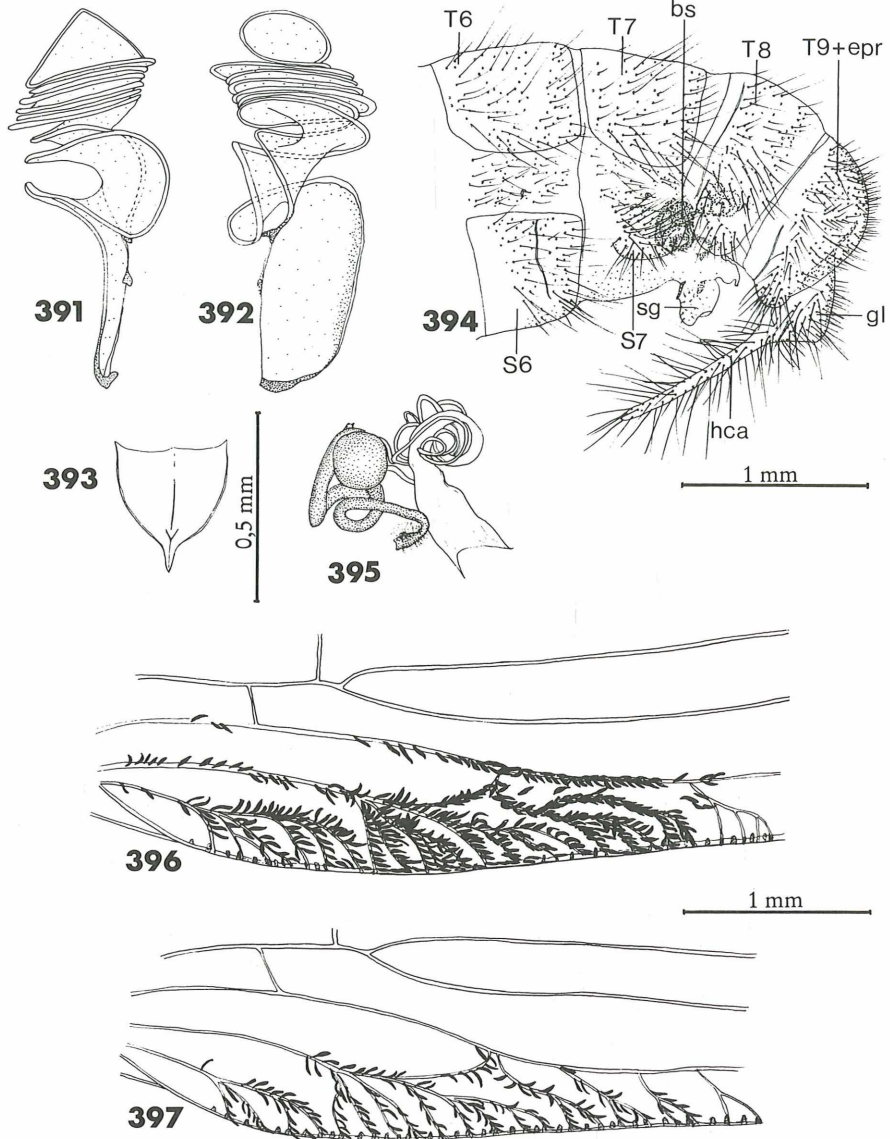
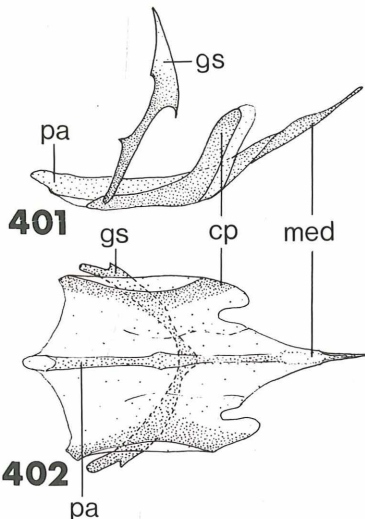
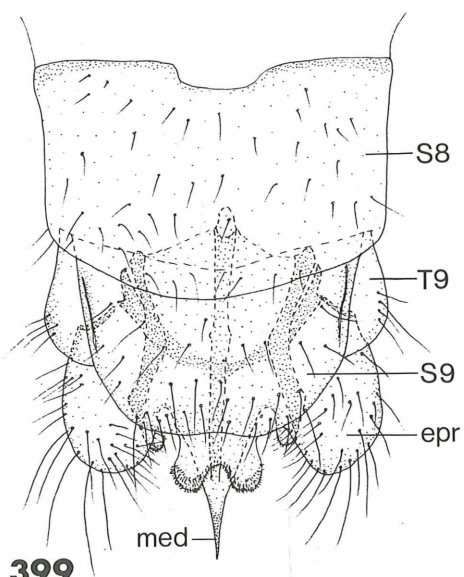
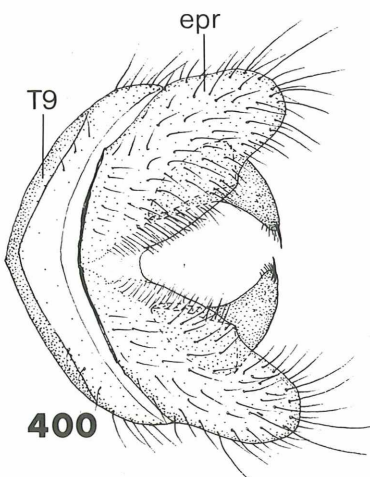
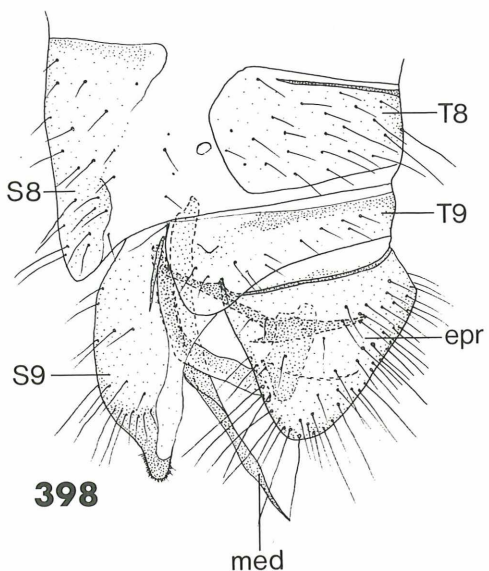


Abb. 391-393: *Berotha glaserella*, ♂. — Abb. 391: Mediuncus-Parameren-Komplex, ventral und — Abb. 392: lateral. — Abb. 393: Hypandrium internum, ventral. — Abb. 394-395: *Berotha glaserella*, ♀. — Abb. 394: Genitalsegmente, lateral. — Abb. 395: Bursa-Receptaculum-Komplex, lateral. — Abb. 396: Basaler hinterer Teil des Hinterflügels des ♂ von *Berotha fulva* und — Abb. 397: *B. glaserella*.



0,5 mm

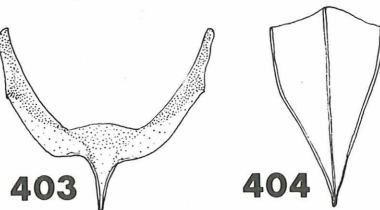
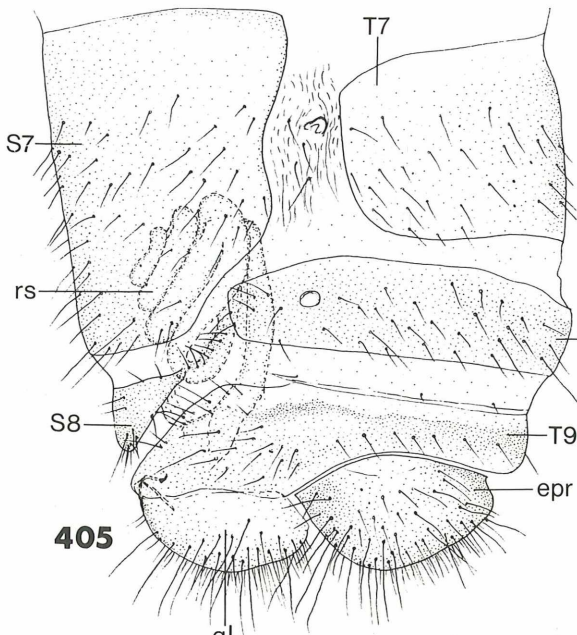
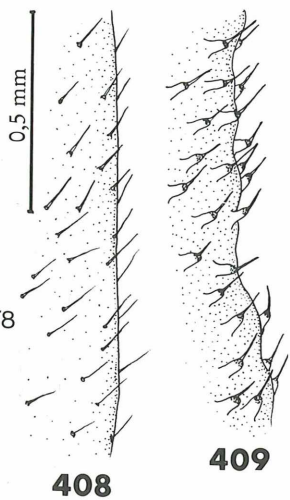


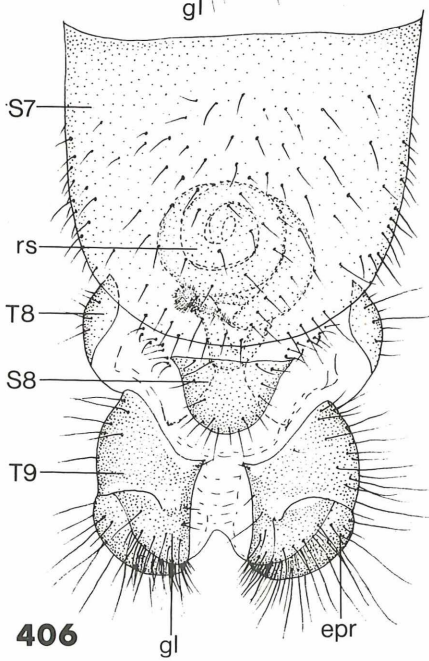
Abb. 398-404: *Mantispa scabricollis*, ♂. — Abb. 398: Genitalsegmente, lateral, — Abb. 399: ventral und — Abb. 400: dorsokaudal. — Abb. 401: Innere Genitalarmatur, lateral und — Abb. 402: ventral. — Abb. 403: Gonarcus, kaudal. — Abb. 404: Hypandrium internum, ventral.



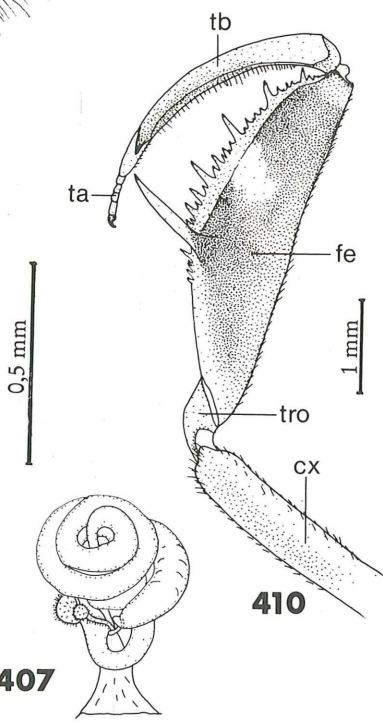
405



408



406



407

410

Abb. 405-407: *Mantispa scabricollis*, ♀. — Abb. 405: Genitalsegmente, lateral und — Abb. 406: ventral. — Abb. 407: Bursa und Receptaculum. — Abb. 408: Ausschnitt des Pronotums von *Mantispa styriaca* und — Abb. 409: *M. scabricollis*. — Abb. 410: Femur von *Mantispa mandarina*, Innenseite.

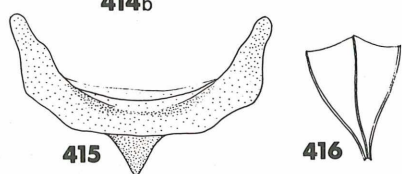
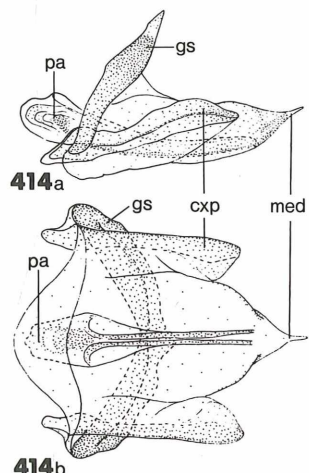
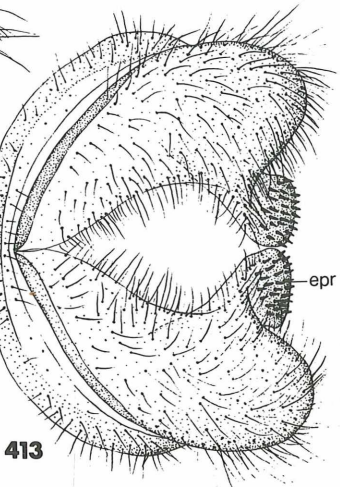
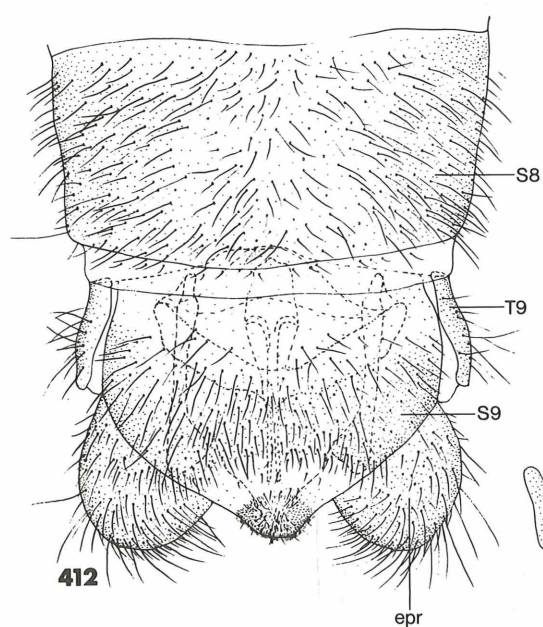
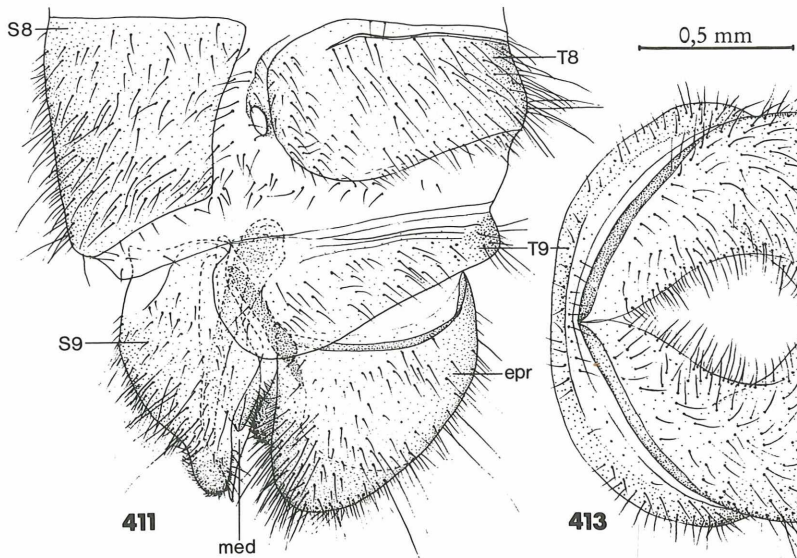
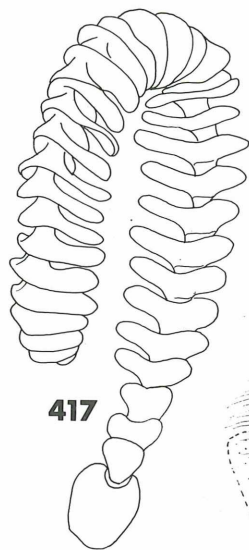
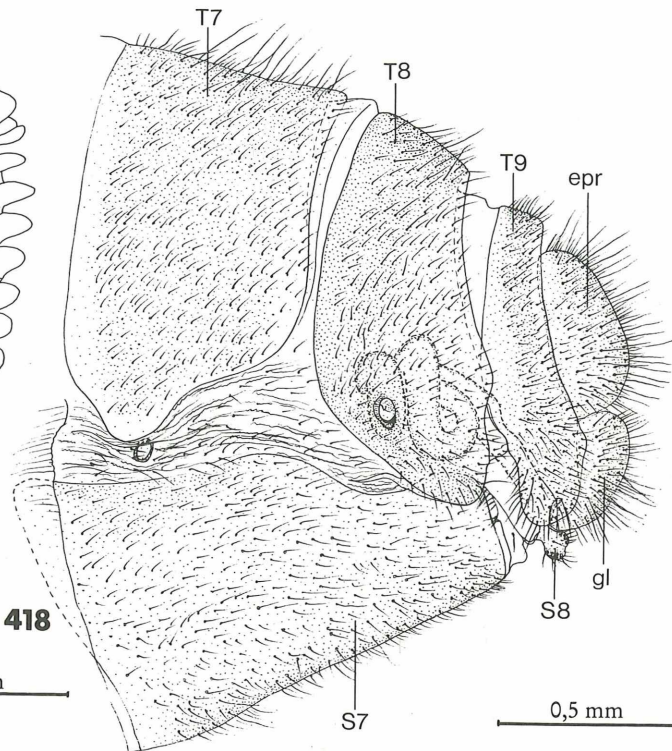


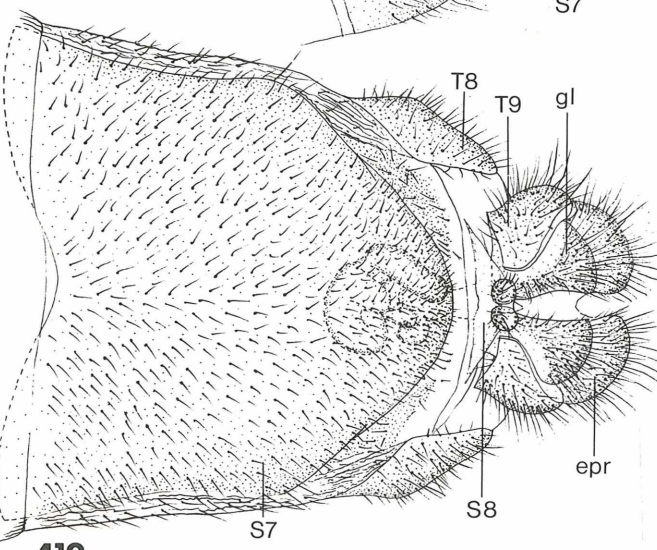
Abb. 411-416: *Nampista auriventris*, ♂. — Abb. 411: Genitalsegmente, lateral, — Abb. 412: ventral und — Abb. 413: dorsokaudal. — Abb. 414a: Innere Genitalarmatur, lateral und — Abb. 414b: ventral. — Abb. 415: Gonarcus, kaudal. — Abb. 416: Hypandrium internum, ventral.



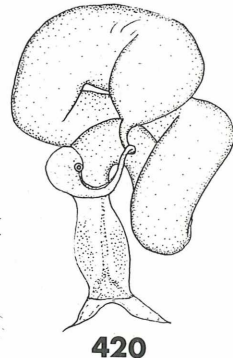
417



418

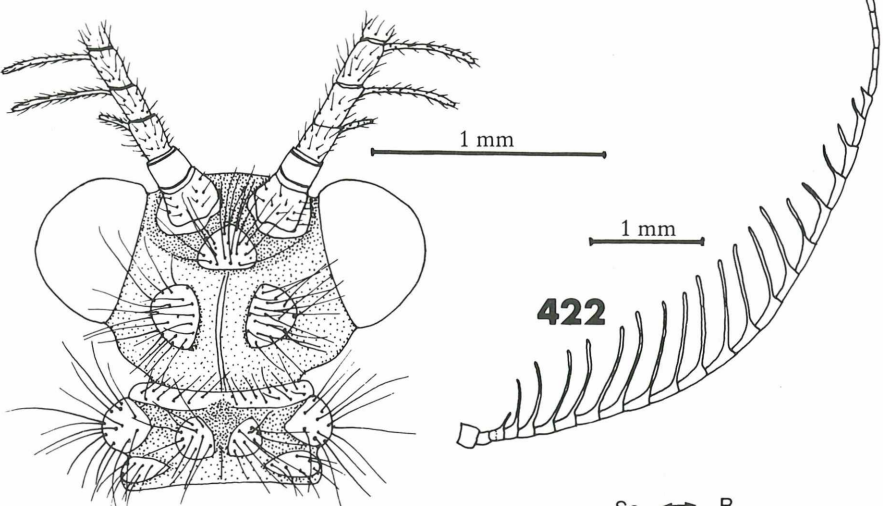


419



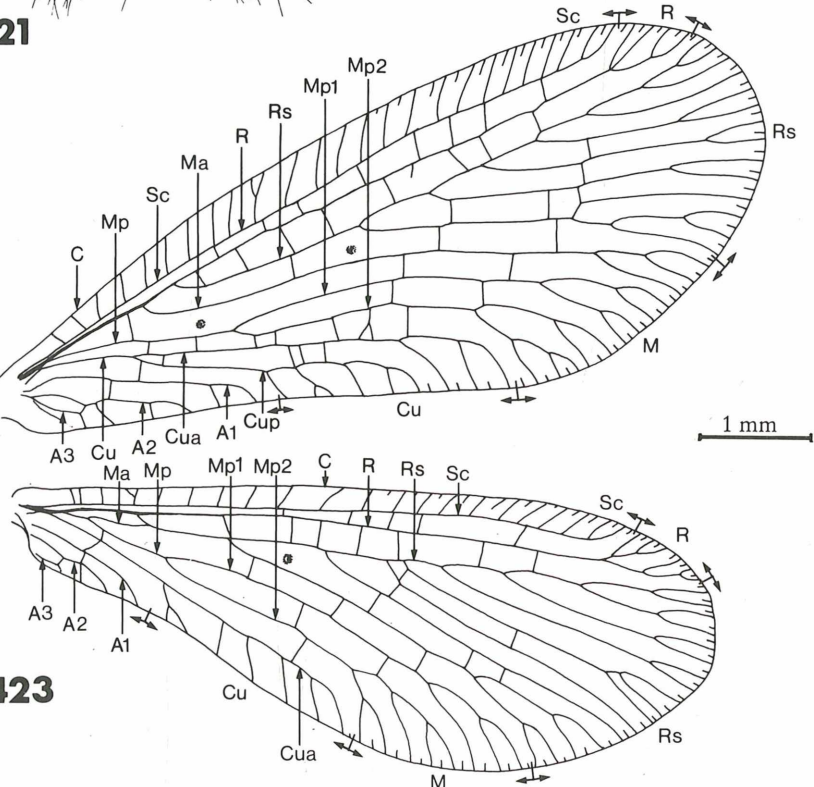
420

Abb. 417: *Nampista auriventris*, ♂, Antenne. — Abb. 418-420: *Nampista auriventris*, ♀. — Abb. 418: Genitalsegmente, lateral und — Abb. 419: ventral. — Abb. 420: Bursa und Receptaculum.



421

422



423

Abb. 421: *Dilar turcicus*, ♂, Kopf, dorsal. — Abb. 422: *Dilar meridionalis*, ♂, Antenne. — Abb. 423: *Dilar saldubensis*, ♂, Vorder- und Hinterflügel.

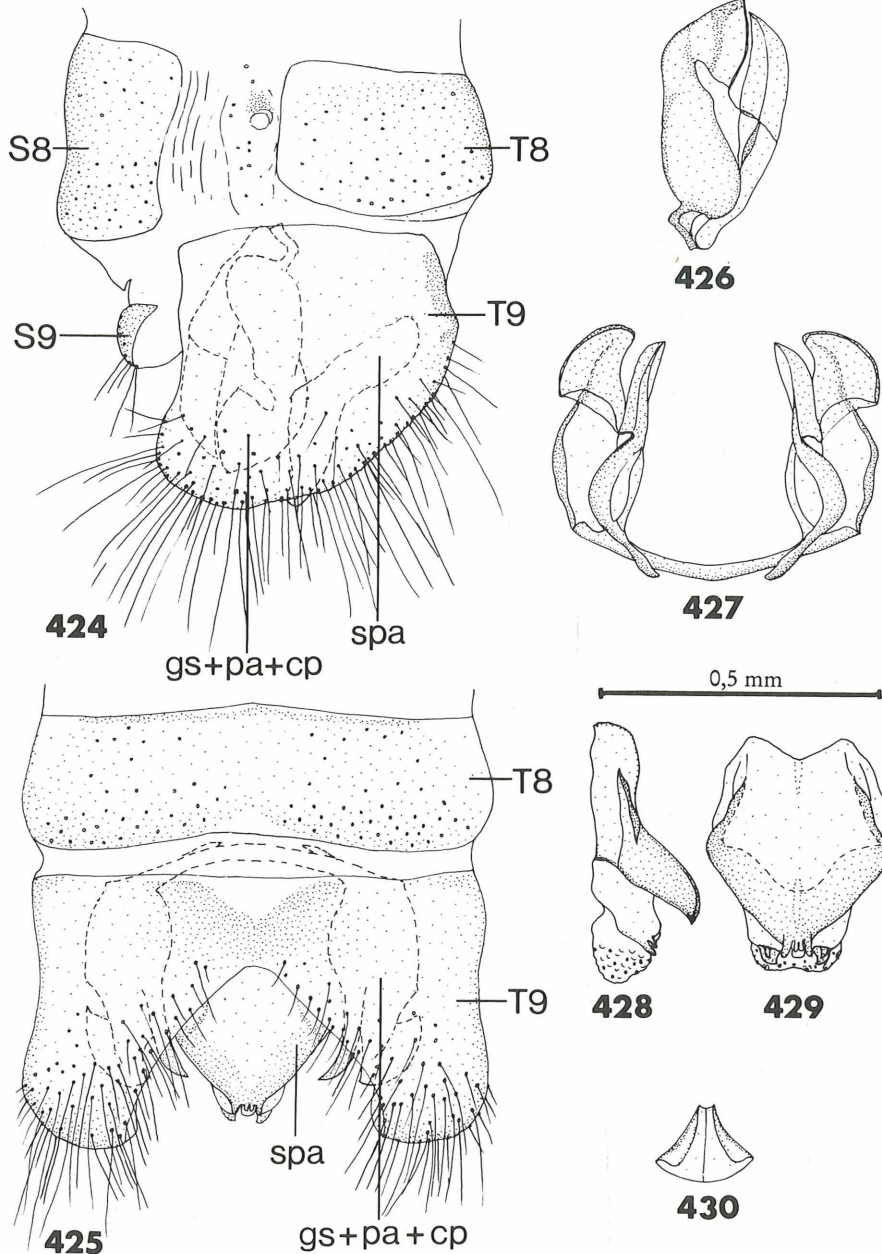


Abb. 424-430: *Dilar saldubensis*, ♂. — Abb. 424: Genitalsegmente, lateral — Abb. 425: dorsal. — Abb. 426: Gonarcus-Koxopoditen-Parameren-Komplex, lateral und — Abb. 427: ventral. — Abb. 428: Supraanale, lateral und — Abb. 429: kaudal. — Abb. 430: Hypandrium internum, ventral.

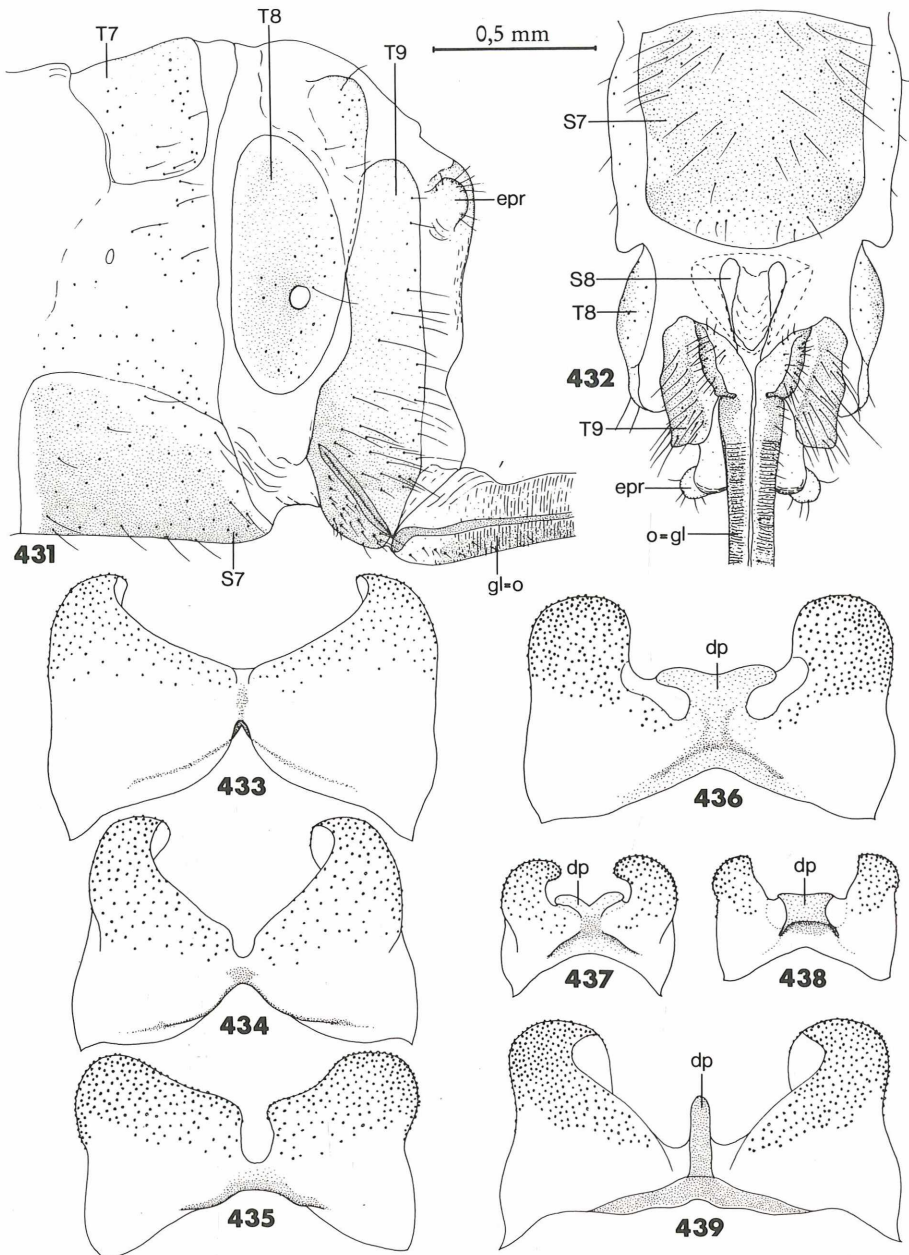


Abb. 431: *Dilar turcicus*, ♀ Genitalsegmente, lateral und — Abb. 432: ventral. — Abb. 433-439: 9. Tergit des ♂, dorsal, von — Abb. 433: *Dilar nevadensis*, — Abb. 434: *D. dissimilis*, — Abb. 435: *D. corsicus*, — Abb. 436: *D. meridionalis*, — Abb. 437: *D. pumilus*, — Abb. 438: *D. parthenopaeus* und — Abb. 439: *D. turcicus*.

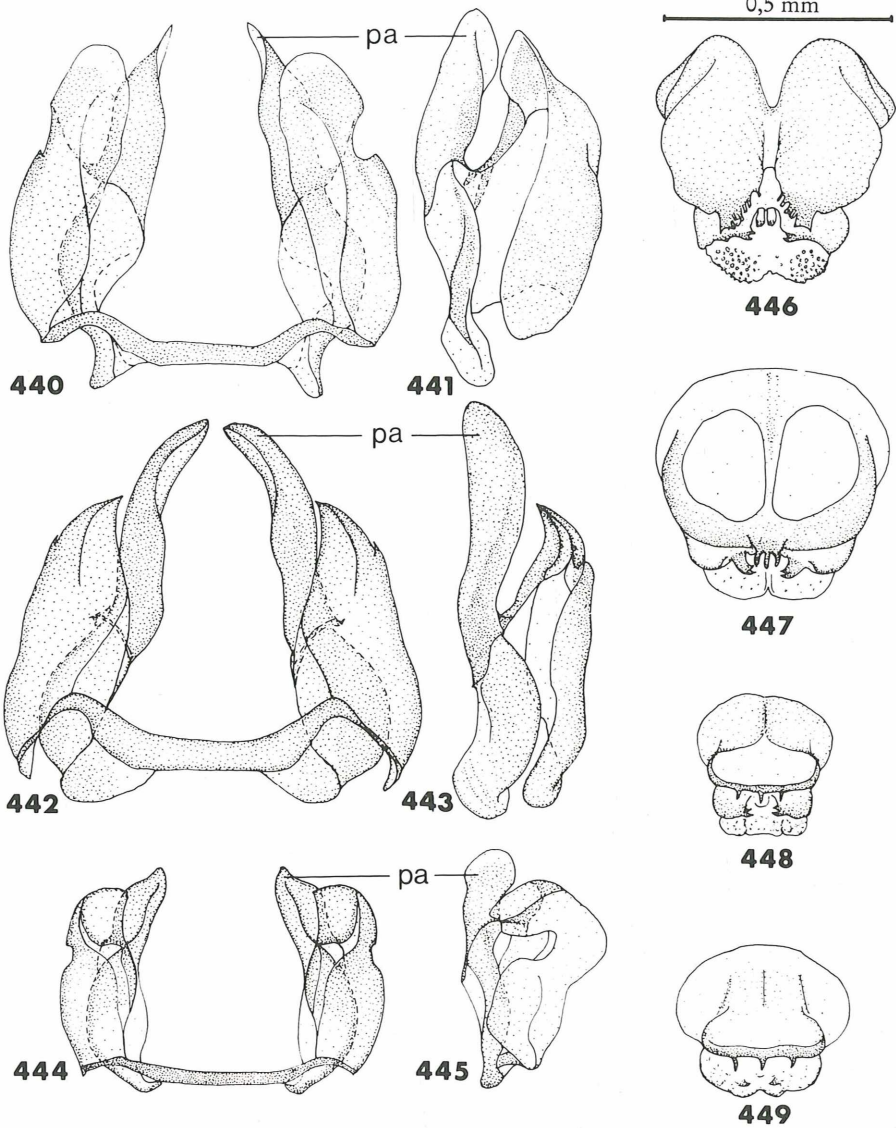
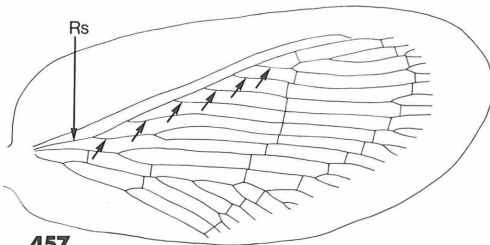
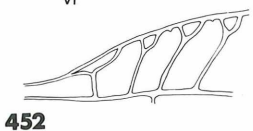
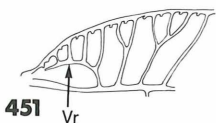
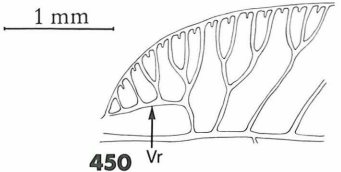
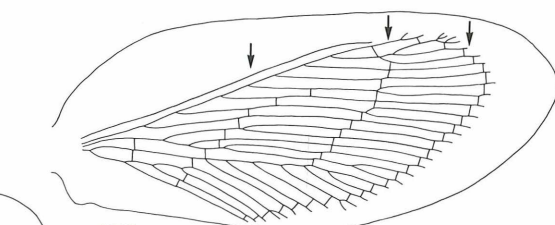
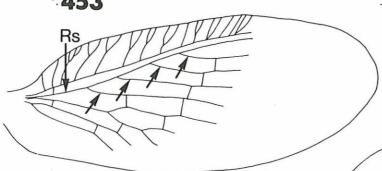
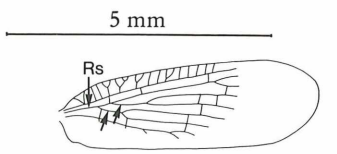
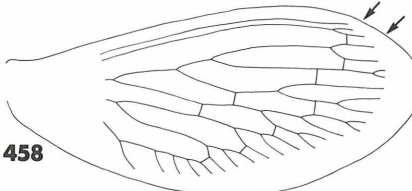


Abb. 440-445: Gonarcus-Koxopoditen-Parameren-Komplex des ♂, dorsal und ventrolateral von — Abb. 440-441: *Dilar nevadensis*, — Abb. 442-443: *D. dissimilis*, — Abb. 444-445t *D. corsicus*. — Abb. 446-449: Supraanale des ♂, kaudal, von — Abb. 446: *Dilar nevadensis*, — Abb. 447: *D. meridionalis*, — Abb. 448: *D. pumilus*, — Abb. 449: *D. parthenopaeus*.



457



459

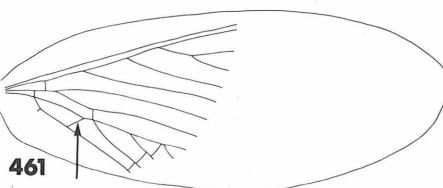
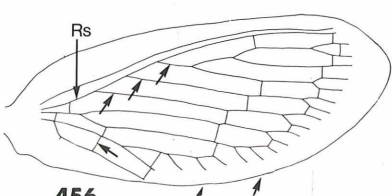
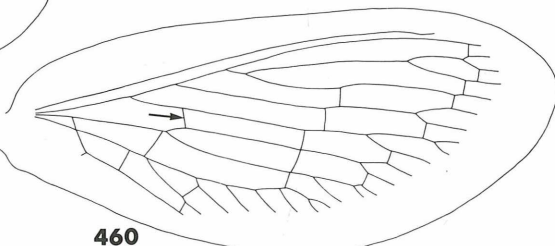


Abb. 450: *Hemerobius (Brauerobius) marginatus*, Basis des Kostalfelds des Vorderflügels. — Abb. 451: *Hemerobius lutescens*, Basis des Kostalfelds des Vorderflügels. — Abb. 452: *Micromus (Nesomicromus) paganus*, Basis des Kostalfelds des Vorderflügels. — Abb. 453: *Psectra diptera*, Geäderausschnitt des Vorderflügels. — Abb. 454: *Micromus angulatus*, Geäderausschnitt des Vorderflügels. — Abb. 455: *Sypherobius elegans*, Geäderausschnitt des Hinterflügels. — Abb. 456: *Hemerobius humulinus*, Geäderausschnitt des Vorderflügels. — Abb. 457: *Megalomus tortricoides*, Geäderausschnitt des Vorderflügels. — Abb. 458: *Wesmaelius (Kimmisia) subnebulosus*, Geäderausschnitt des Hinterflügels. — Abb. 459: *Drepanepteryx algida*, Geäderausschnitt des Vorderflügels. — Abb. 460: *Wesmaelius (Kimmisia) fassnidgei*, Geäderausschnitt des Vorderflügels. — Abb. 461: *Hemerobius simulans*, Geäderausschnitt des Vorderflügels.

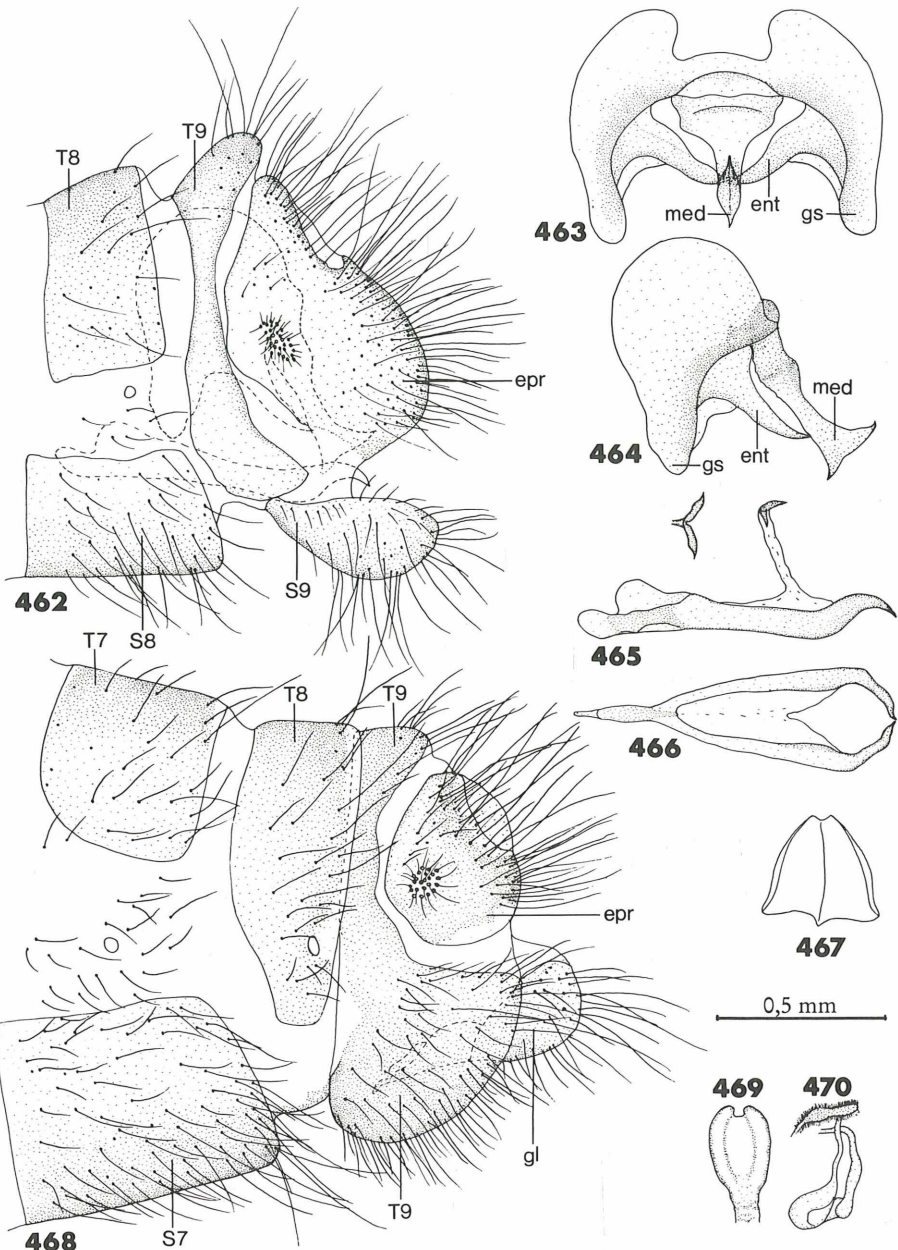


Abb. 462-467: *Drepanepteryx algida*, ♂. — Abb. 462: Genitalsegmente, lateral. — Abb. 463: Gonarcus und Entoprocessus, kaudal und — Abb. 464: lateral. — Abb. 465: Parameren, lateral und — Abb. 466: ventral. — Abb. 467: Hypandrium internum, ventral. — Abb. 468-470: *Drepanepteryx algida*, ♀. — Abb. 468: Genitalsegmente, lateral. — Abb. 469: Subgenitale, ventral. — Abb. 470: Receptaculum seminis.

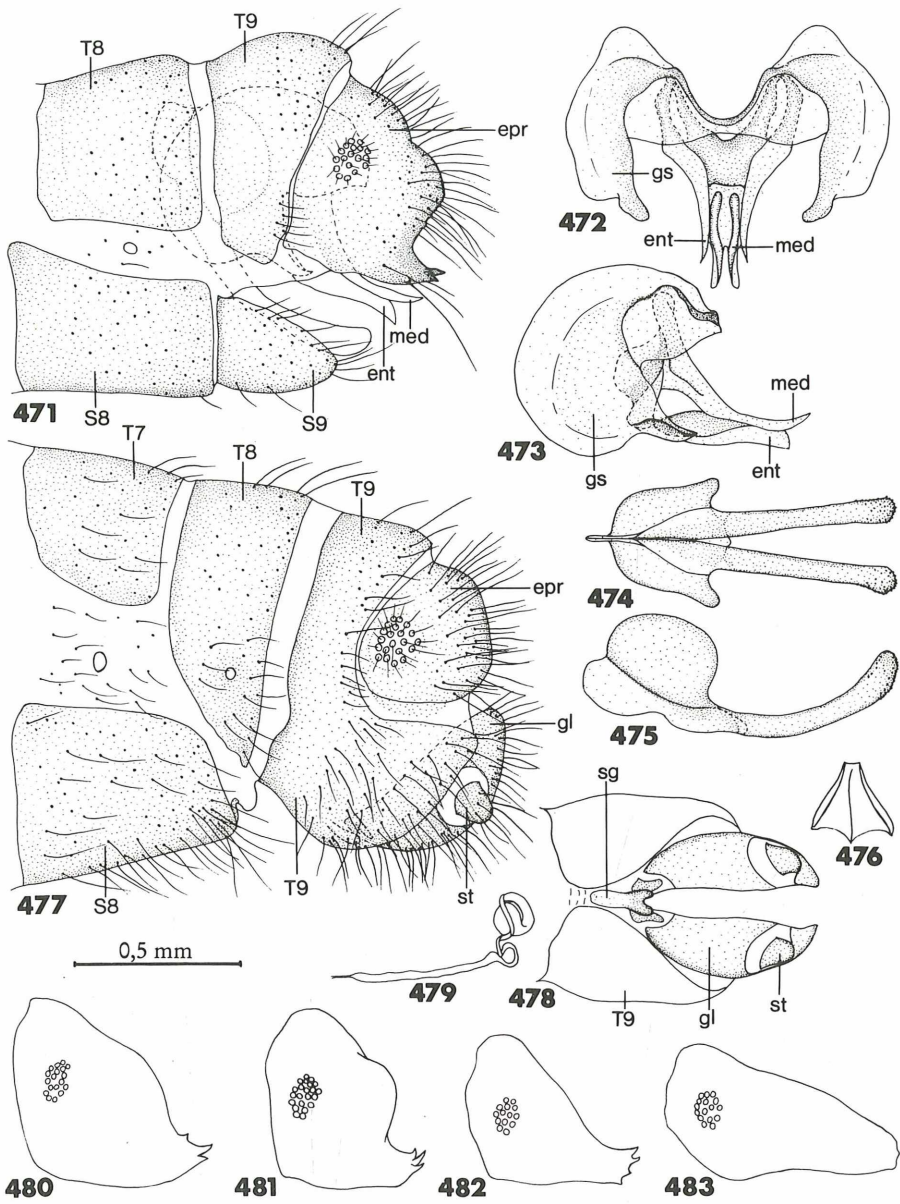
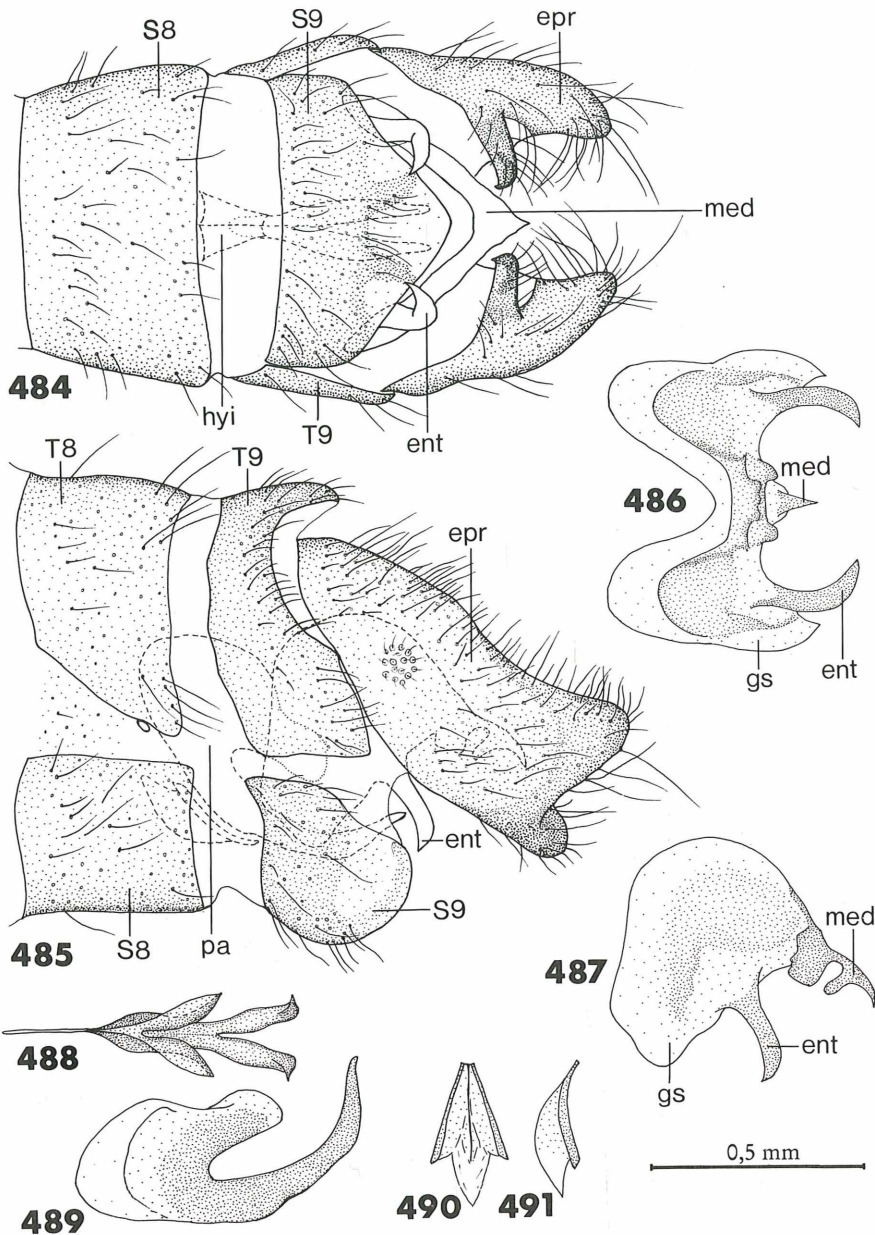
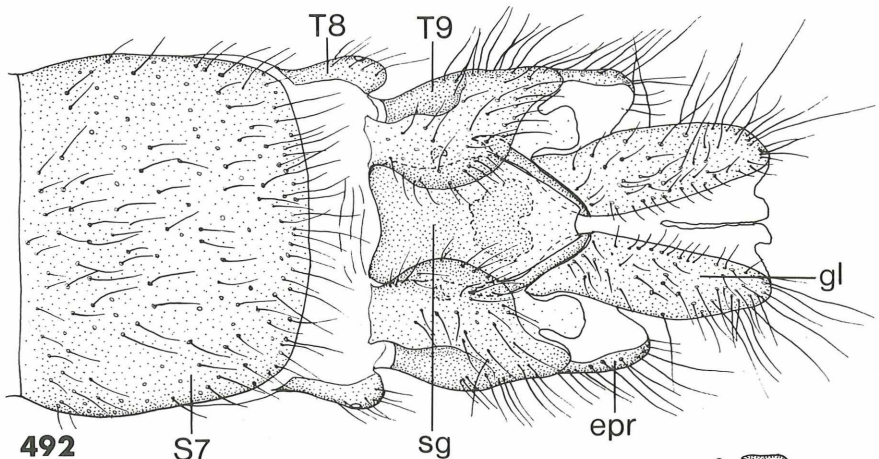


Abb. 471-476: *Megalomus tortricoides*, ♂. — Abb. 471: Genitalsegmente, lateral. — Abb. 472: Gonarcus und Entoprocessus, kaudal und — Abb. 473: lateral. — Abb. 474: Parameren, ventral und — Abb. 475: lateral. — Abb. 476: Hypandrium internum, ventral. — Abb. 477-479: *Megalomus tortricoides*, ♀. — Abb. 477: Genitalsegmente, lateral und — Abb. 478: ventral. — Abb. 479: Receptaculum seminis. — Abb. 480-483: ♂ Ektoprokt, lateral, von — Abb. 480: *Megalomus hirtus*, — Abb. 481: *M. tortricoides*, — Abb. 482: *M. tineoides*, — Abb. 483: *M. pyraloides*.





492 S7 sg epr gl 0,5 mm

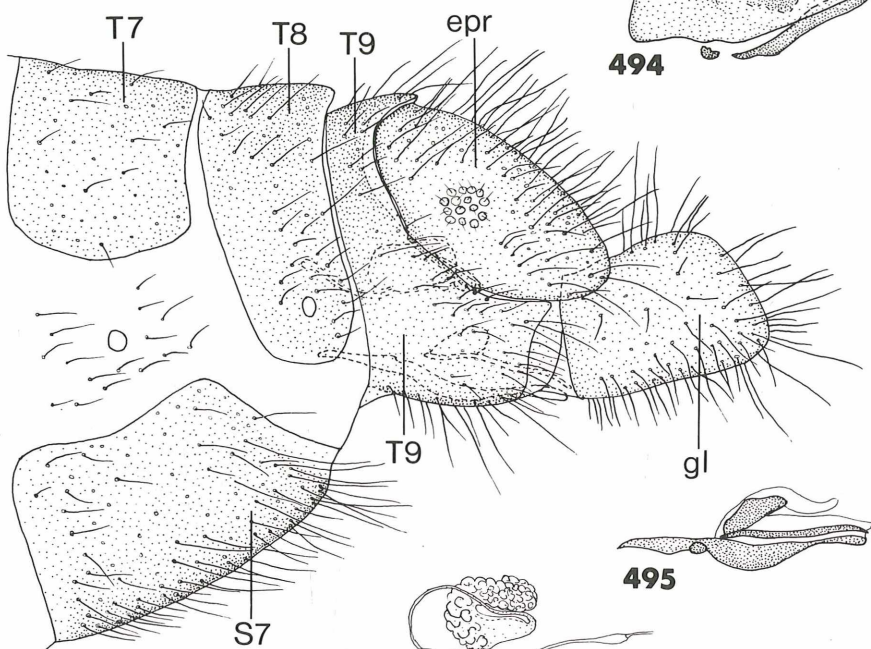
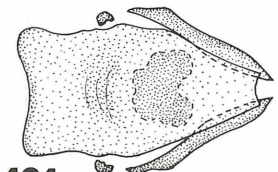


Abb. 492-496: *Wesmaelius (K.) helveticus*, ♀. — Abb. 492: Genitalsegmente, ventral und — Abb. 493: lateral. — Abb. 494: Subgenitale, ventral und — Abb. 495: lateral. — Abb. 496: Receptaculum seminis.

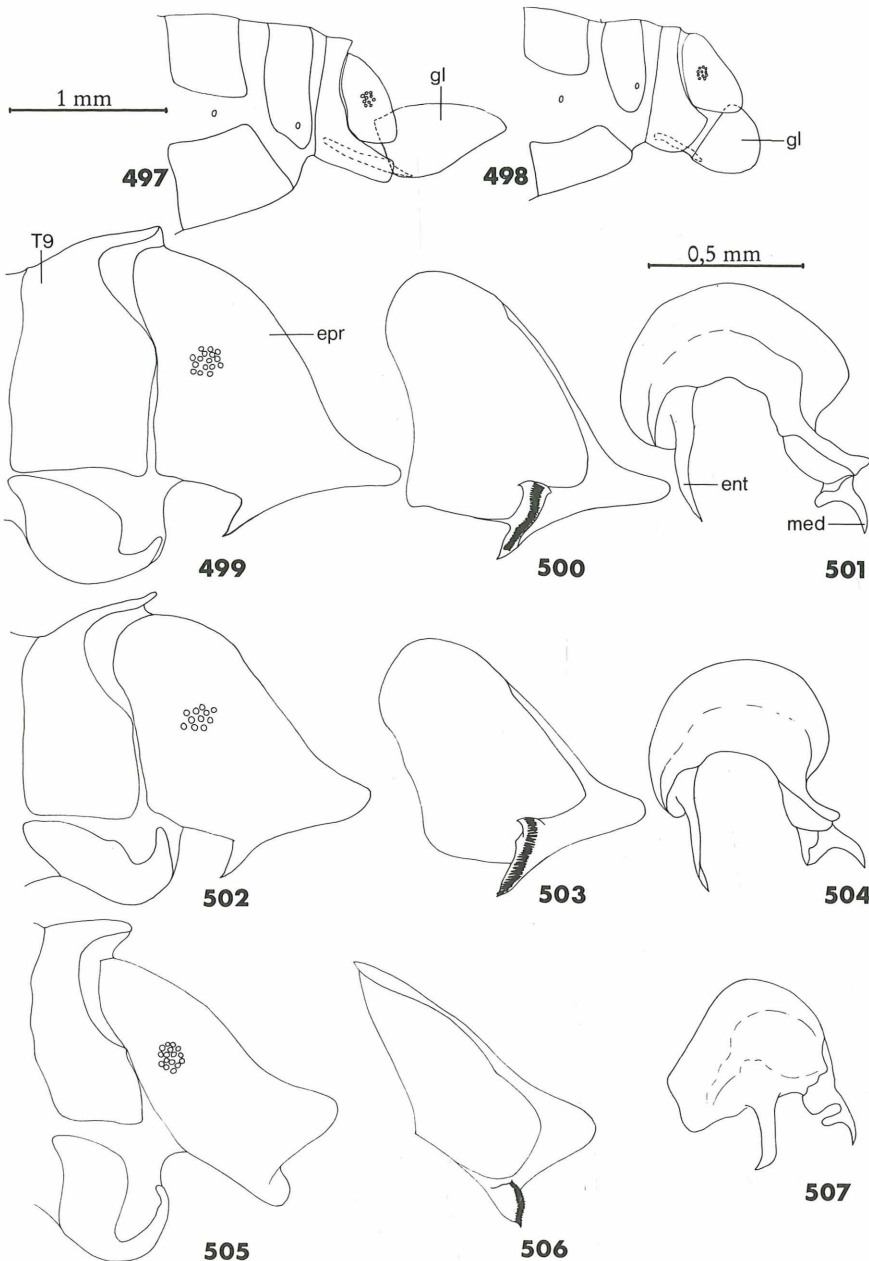


Abb. 497: ♀ Genitalsegmente, lateral, von *Wesmaelius (Wesmaelius) quadrifasciatus* und —
 Abb. 498: *Wesmaelius (Kimmisia) subnebulosus*. — Abb. 499-507: ♂ Genitalsegmente,
 lateral/♂ Ektoprokt, lateral, von innen/Gonarcus mit Entoprocessus und Mediuncus,
 lateral von — Abb. 499-501: *Wesmaelius (Wesmaelius) concinnus*, — Abb. 502-504: *W. (W.)*
quadrifasciatus, — Abb. 505-507: *W. (Kimmisia) fassnidgei*.

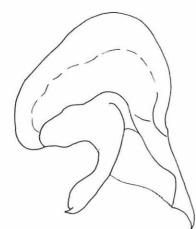
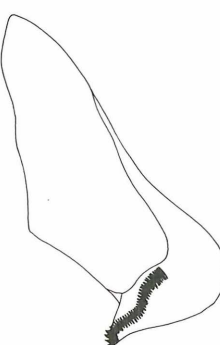
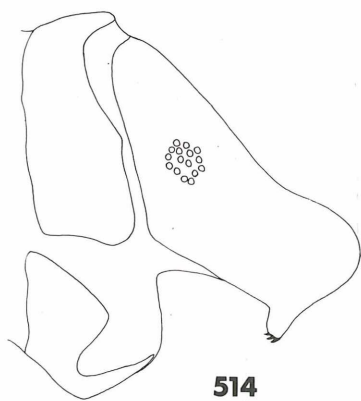
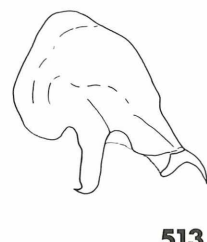
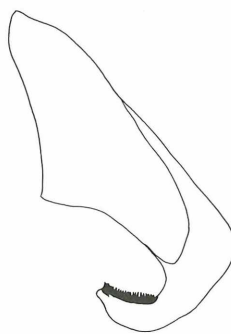
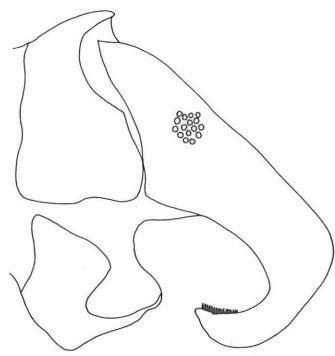
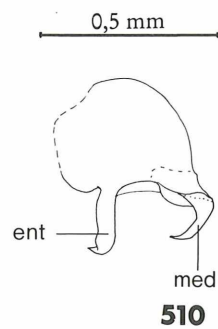
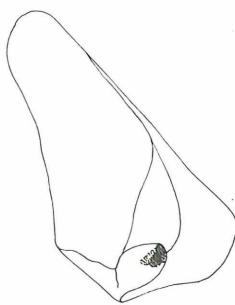
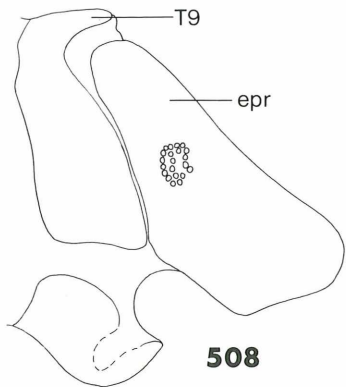
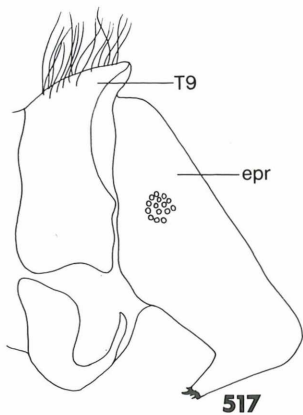
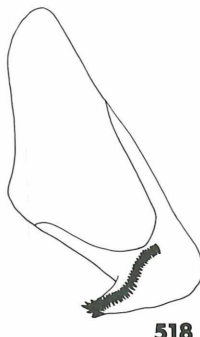


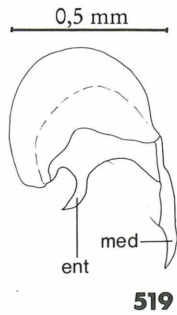
Abb. 508-516: ♂ Genitalsegmente, lateral/♂ Ektoprokt, lateral, von innen/Gonarcus mit Entoprocessus und Mediuncus, lateral von — Abb. 508-510: *W. (K.) griseus*, — Abb. 511-513: *W. (K.) nervosus*, — Abb. 514-516: *W. (K.) helveticus*.



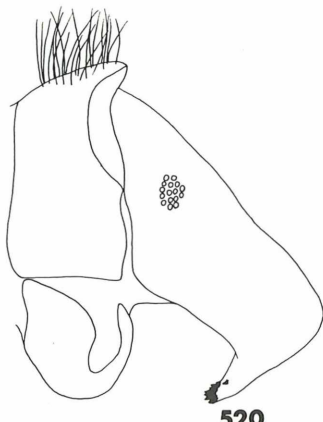
517



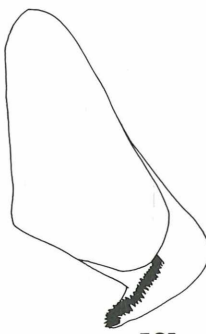
518



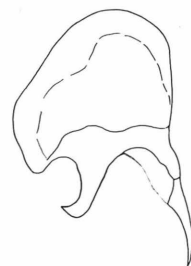
519



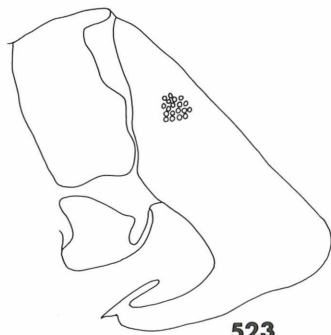
520



521



522



523



524



525

Abb. 517-525: ♂ Genitalsegmente, lateral/♂ Ektoprokt, lateral, von innen/Gonarcus mit Entoprocessus und Mediuncus, lateral von — Abb. 517-519: *W. (K.) malladai*, — Abb. 520-522: *W. (K.) tjederi*, — Abb. 523-525: *W. (K.) subnebulosus*.

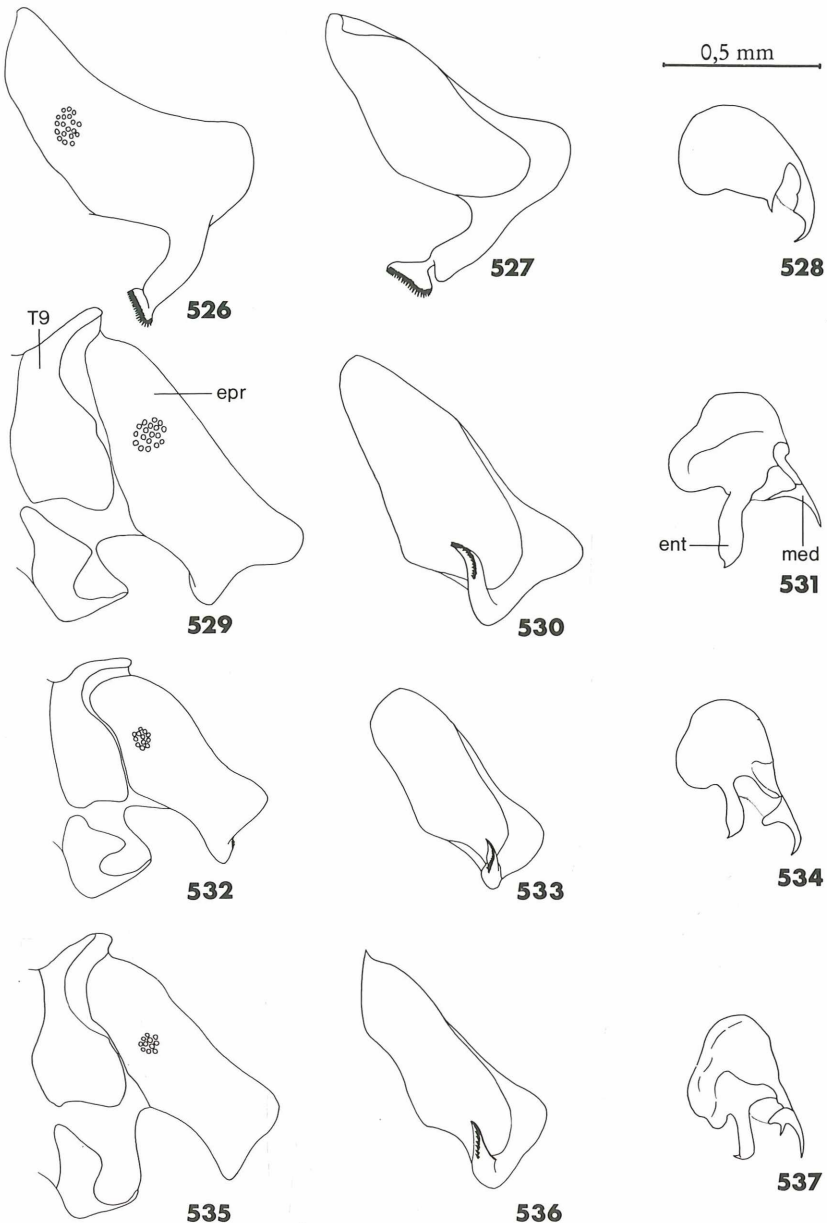
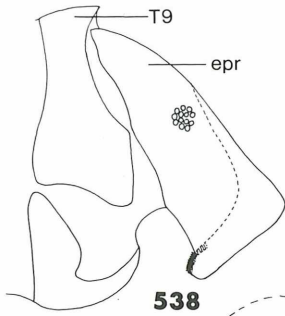
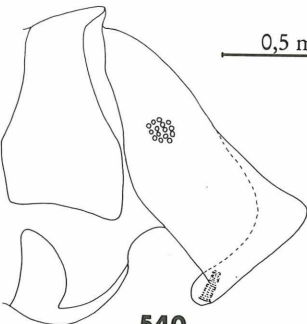


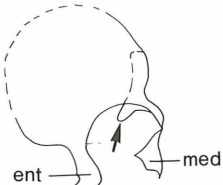
Abb. 526-537: ♂ Genitalsegmente, lateral/♂ Ektoprokt, lateral, von innen/Gonarcus mit Entoprocessus und Mediuncus, lateral von — Abb. 526-528: *W. (K.) transsylvanicus*, — Abb. 529-531: *W. (K.) ravus*, — Abb. 532-534: *W. (K.) balticus*, — Abb. 535-537: *W. (K.) navasi*.



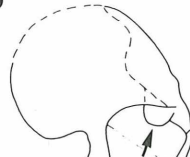
538



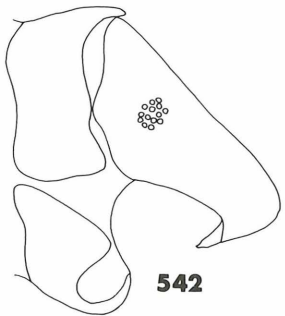
540



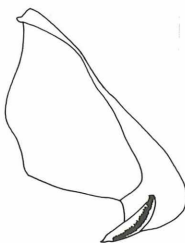
539



541



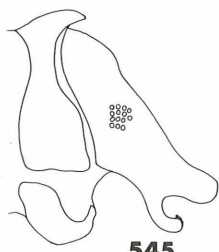
542



543



544



545



546



547

Abb. 538-547: ♂ Genitalsegmente, lateral/ ♂ Ektoprokt, lateral, von innen/Gonarcus mit Entoprocessus und Mediuncus, lateral von — Abb. 538-539: *W. (K.) cunctatus*, — Abb. 540-541: *W. (K.) persimilis*, — Abb. 542-544: *W. (K.) mortoni*, — Abb. 545-547: *W. (K.) mongolicus*.

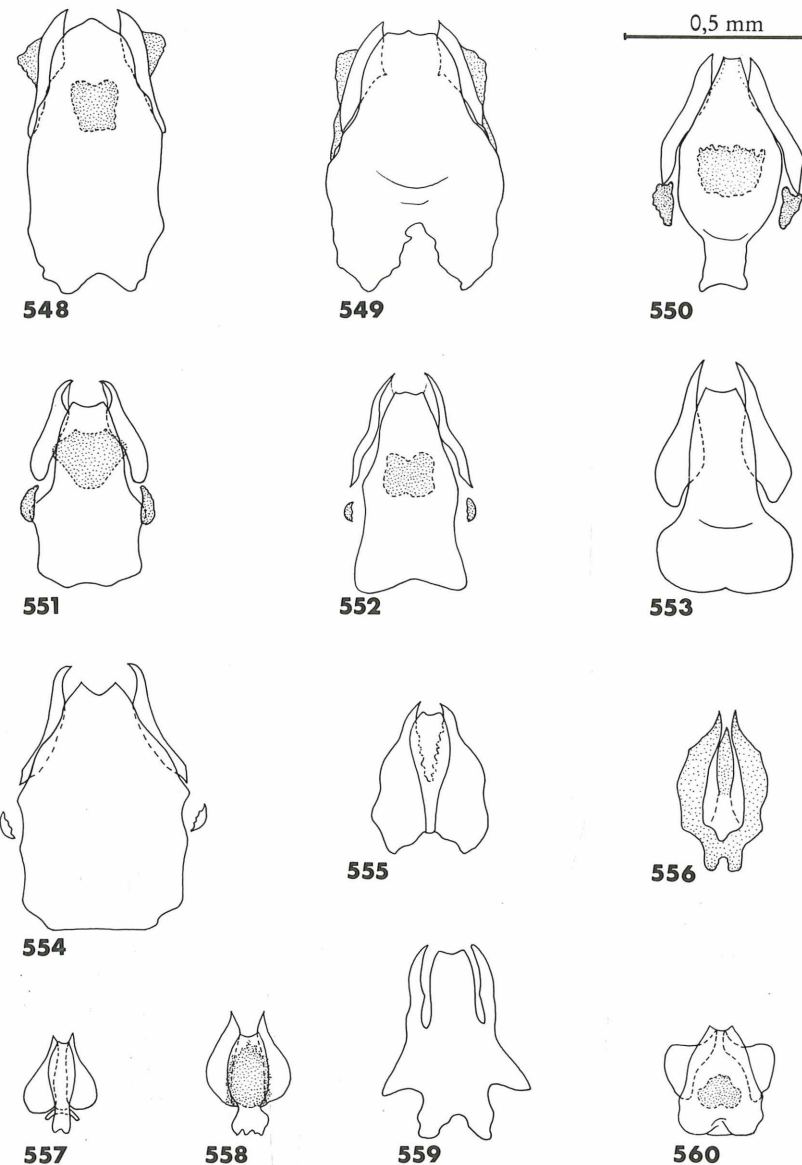
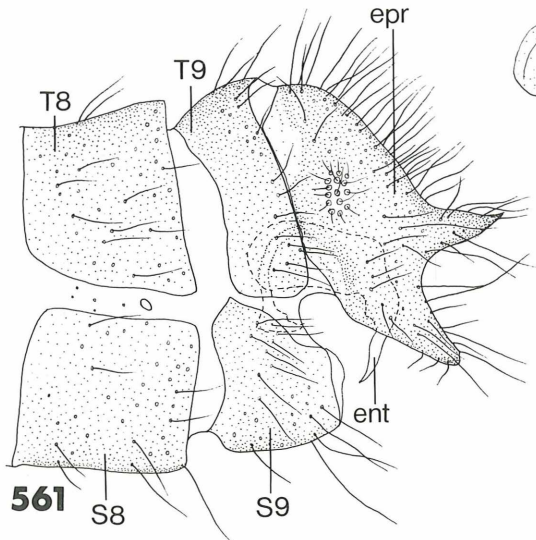
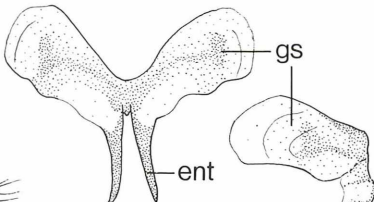


Abb. 548-560: ♀ Subgenitale, ventral von — Abb. 548: *Wesmaelius (Wesmaelius) concinnus*, — Abb. 549: *W. (W.) quadrifasciatus*, — Abb. 550: *W. (Kimminisa) fassnidgei*, — Abb. 551: *W. (K.) nervosus*, — Abb. 552: *W. (K.) helveticus*, — Abb. 553: *W. (K.) malladai*, — Abb. 554: *W. (K.) tjederi*, — Abb. 555: *W. (K.) subnebulosus*, — Abb. 556: *W. (K.) ravis*, — Abb. 557: *W. (K.) balticus*, — Abb. 558: *W. (K.) navasi*, — Abb. 559: *W. (K.) mortoni*, — Abb. 560: *W. (K.) mongolicus*.



562



563

564



565



566

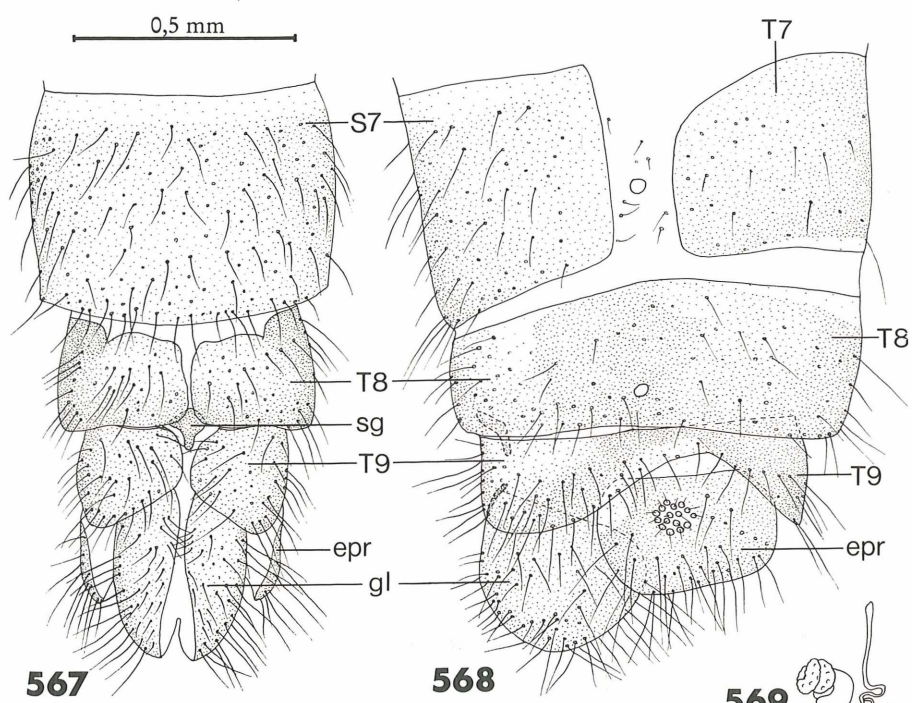


Abb. 561-566: *Hemerobius fenestratus*, ♂. — Abb. 561: Genitalsegmente, lateral. — Abb. 562: Gonarcus, dorsokaudal und — Abb. 563: lateral. — Abb. 564: Paramere, lateral. — Abb. 565: Hypandrium internum, ventral und — Abb. 566: lateral. — Abb. 567-569: *Hemerobius simulans*, ♀. — Abb. 567: Genitalsegmente, ventral und — Abb. 568: lateral. — Abb. 569: Receptaculum seminis.

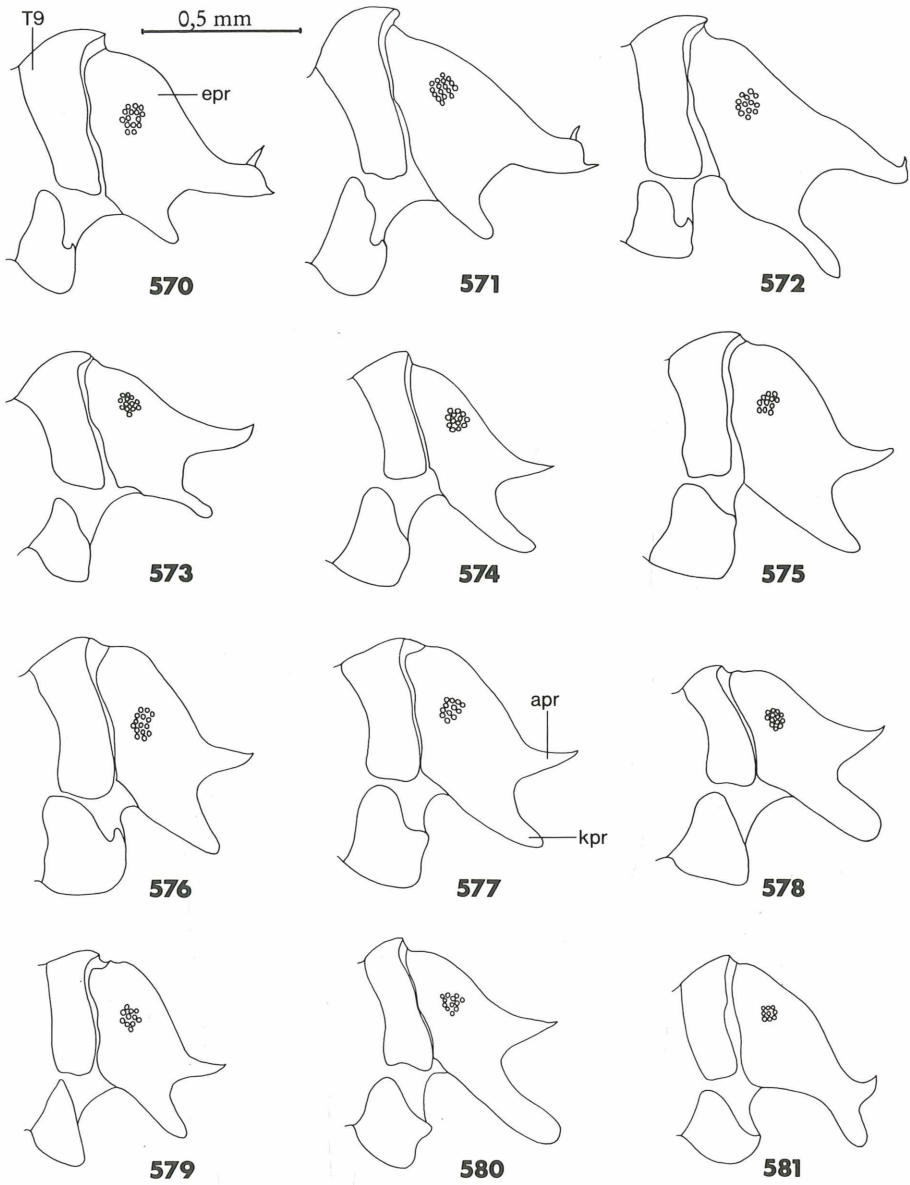


Abb. 570-581: 9. Segment und Ektoprokt des ♂, lateral, von — Abb. 570: *Hemerobius humulinus*, — Abb. 571: *H. perelegans*, — Abb. 572: *H. simulans*, — Abb. 573: *H. stigma*, — Abb. 574: *H. pini*, — Abb. 575: *H. contumax*, — Abb. 576: *H. fenestratus*, — Abb. 577: *H. atrifrons*, — Abb. 578: *H. nitidulus*, — Abb. 579: *H. schedli*, — Abb. 580: *H. handschini*, — Abb. 581: *H. micans*.

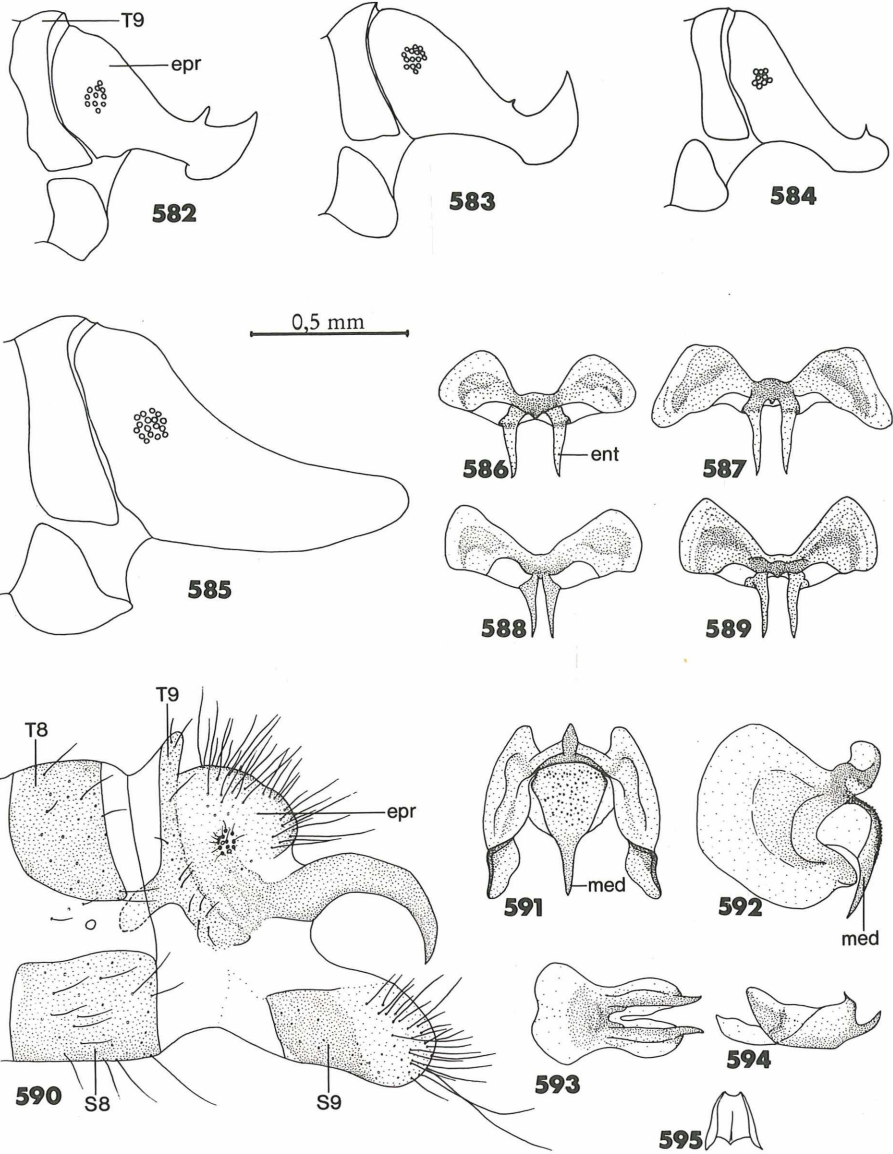


Abb. 582-585: 9. Segment und Ektoprokt des ♂, lateral, von — Abb. 582: *H. lutescens*, — Abb. 583: *H. gilvus*, — Abb. 584: *H. zernyi*, — Abb. 585: *H. (Brauerobius) marginatus*. — Abb. 586-589: Gonarcus und Entoprocessus des ♂, kaudal, von — Abb. 586: *Hemerobius pini*, — Abb. 587: *H. contumax*, — Abb. 588: *H. fenestratus* und — Abb. 589: *H. atrifrons*. — Abb. 590-595: *Micromus (Nesomicromus) paganus*, ♂. — Abb. 590: Genitalsegmente, lateral. — Abb. 591: Gonarcus, kaudal und — Abb. 592: lateral. — Abb. 593: Parameren, ventral und — Abb. 594: lateral. — Abb. 595: Hypandrium internum, ventral.

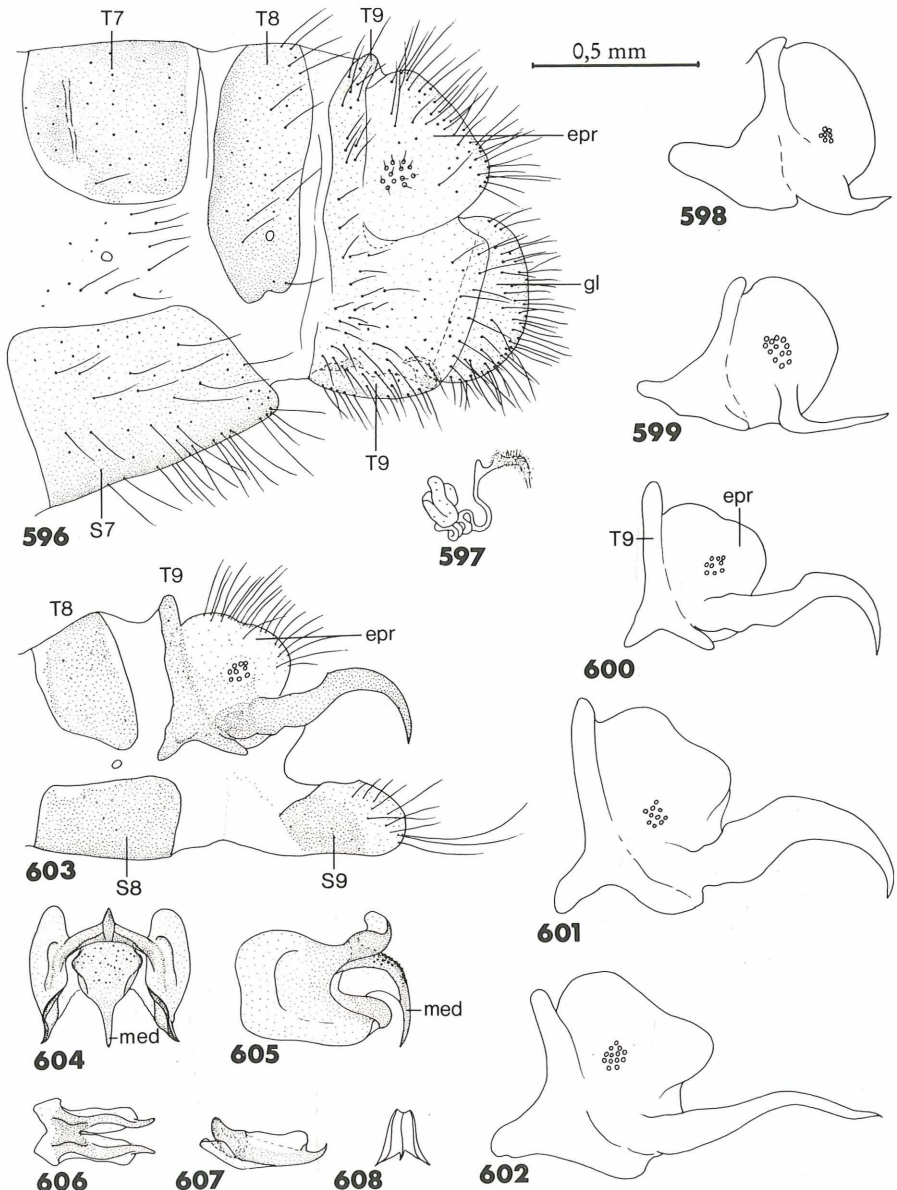


Abb. 596: *Micromus (Nesomicromus) paganus*, ♀ Genitalsegmente, lateral, und — Abb. 597: Receptaculum seminis. — Abb. 598-602: 9. Tergit und Ektoprokt des ♂, lateral, von — Abb. 598: *Micromus (Micromus) variegatus*, — Abb. 599: *M. (Nesomicromus) angulatus*, — Abb. 600: *M. (N.) gradatus*, — Abb. 601: *M. (N.) paganus*, — Abb. 602: *M. (N.) lanosus*. — Abb. 603-608: *Micromus (Nesomicromus) gradatus*, ♂. — Abb. 603: Genitalsegmente, lateral. — Abb. 604: Gonarcus, kaudal und — Abb. 605: lateral. — Abb. 606: Parameren, ventral und — Abb. 607: lateral. — Abb. 608: Hypandrium internum, ventral.

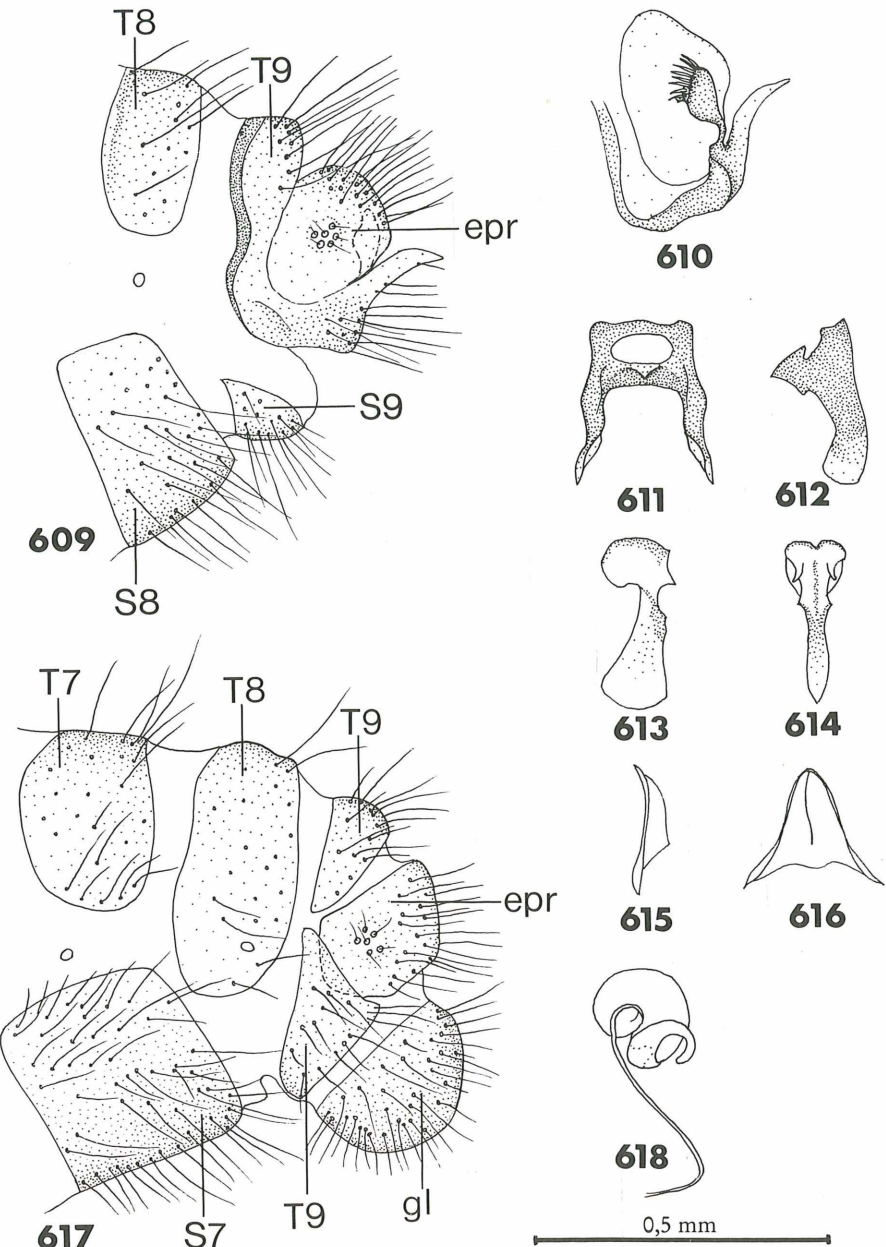
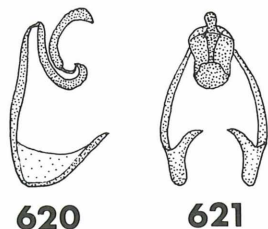
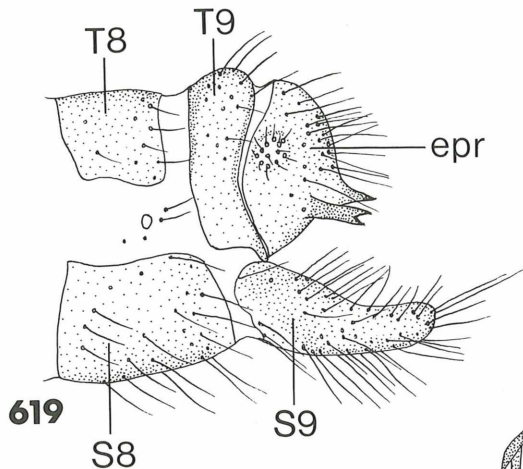
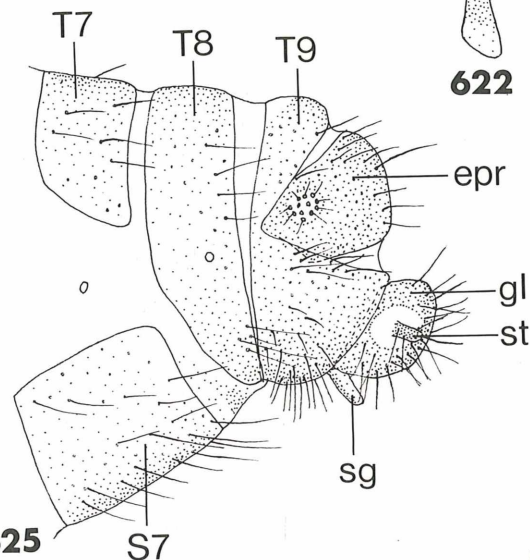


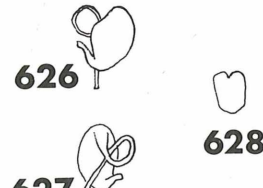
Abb. 609-616: *Psectra diptera*, ♂. — Abb. 609: Genitalsegmente, lateral. — Abb. 610: Ektoprokt, lateral, von innen. — Abb. 611: Gonarcus, kaudal und — Abb. 612: lateral. — Abb. 613: Parameren, lateral und — Abb. 614: ventral. — Abb. 615: Hypandrium internum, lateral und — Abb. 616: ventral. — Abb. 617: *Psectra diptera*, ♀ Genitalsegmente, lateral und — Abb. 618: Receptaculum seminis.



620 **621**



622 **623**



626

628

627

0,5 mm

Abb. 619-624: *Symppherobius (Niremberge) pellucidus*, ♂. — Abb. 619: Genitalsegmente, lateral. — Abb. 620: Gonarcus, lateral und — Abb. 621: kaudal. — Abb. 622: Parameren, lateral und — Abb. 623: dorsal. — Abb. 624: Hypandrium internum, ventral. — Abb. 625-628: *Symppherobius (Niremberge) pellucidus*, ♀. — Abb. 625: Genitalsegmente, lateral. — Abb. 626-627: Receptaculum seminis. — Abb. 628: Subgenitale, ventral.

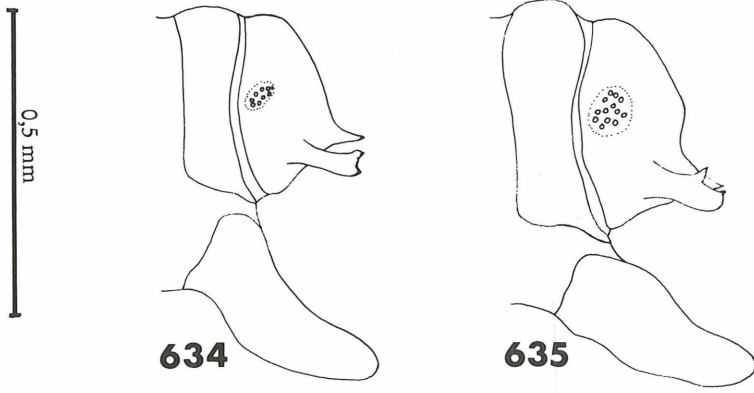
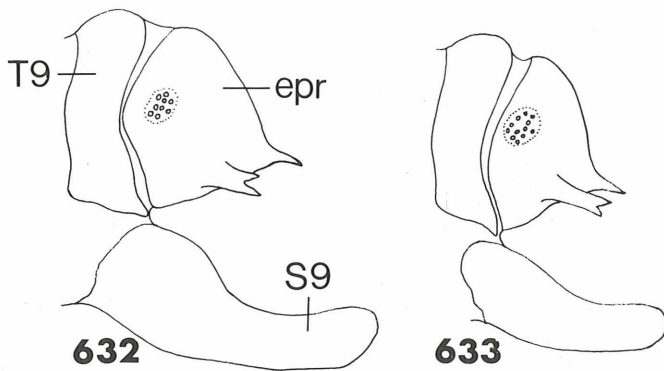
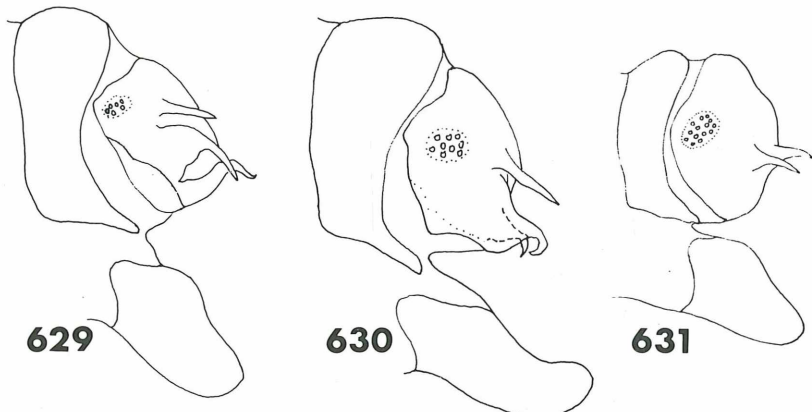


Abb. 629-635: 9. Segment und Ektoprokt des ♂, lateral, von — Abb. 629: *Sympherobius (Sympherobius) pygmaeus*, — Abb. 630: *S. (S.) elegans*, — Abb. 631: *S. (S.) fallax*, — Abb. 632: *S. (Niremberge) fuscescens*, — Abb. 633: *S. (N.) pellucidus*, — Abb. 634: *S. (N.) klapaleki*, — Abb. 635: *S. (N.) riudori*.

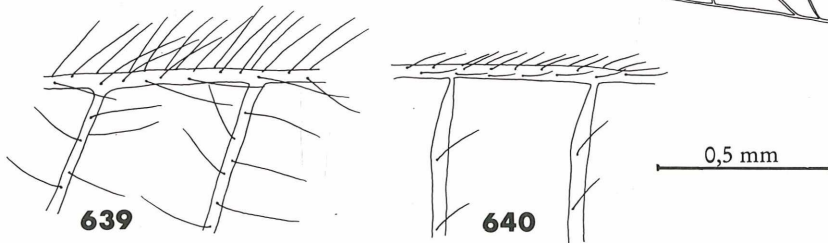
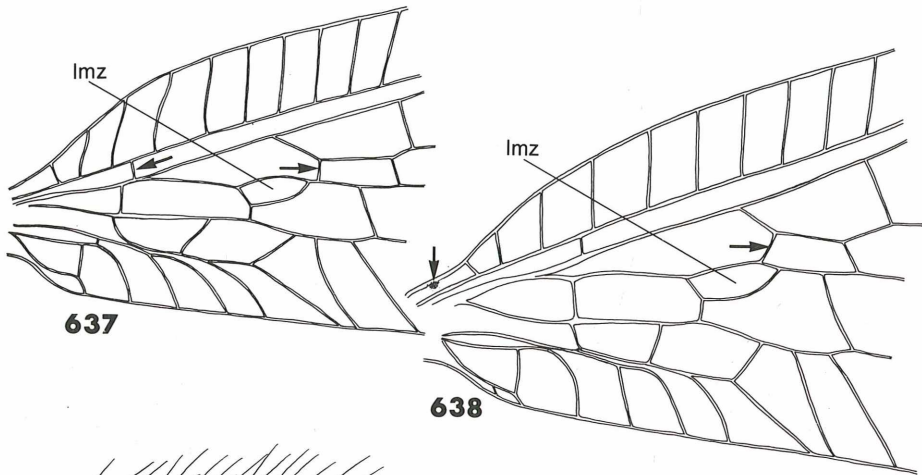
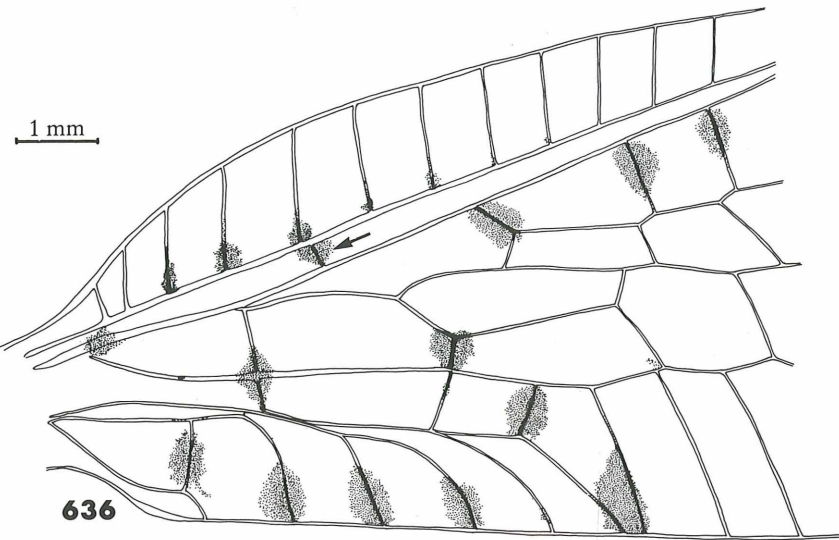
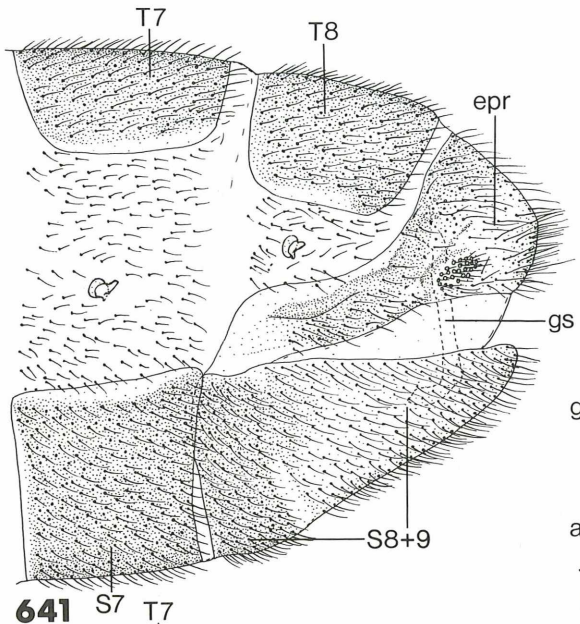
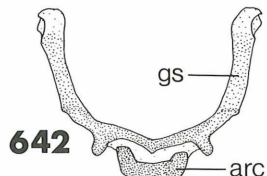


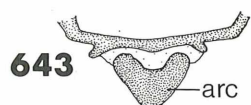
Abb. 636: *Italochrysa stigmatica*, proximaler Teil des Vorderflügels. — Abb. 637: *Chrysopera carnea*, proximaler Teil des Vorderflügels. — Abb. 638: *Anisochrysa flavifrons*, proximaler Teil des Vorderflügels. — Abb. 639: *Chrysotropia ciliata*, Ausschnitt der Costa. — Abb. 640: *Chrysopa* sp., Ausschnitt der Costa.



641



642



643



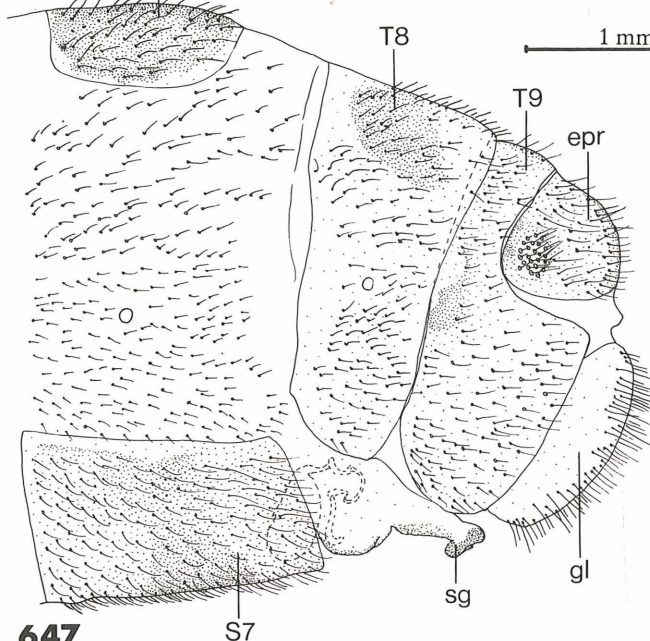
644



645

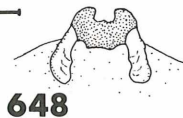


646

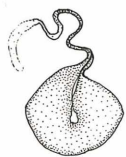


647

1 mm



648

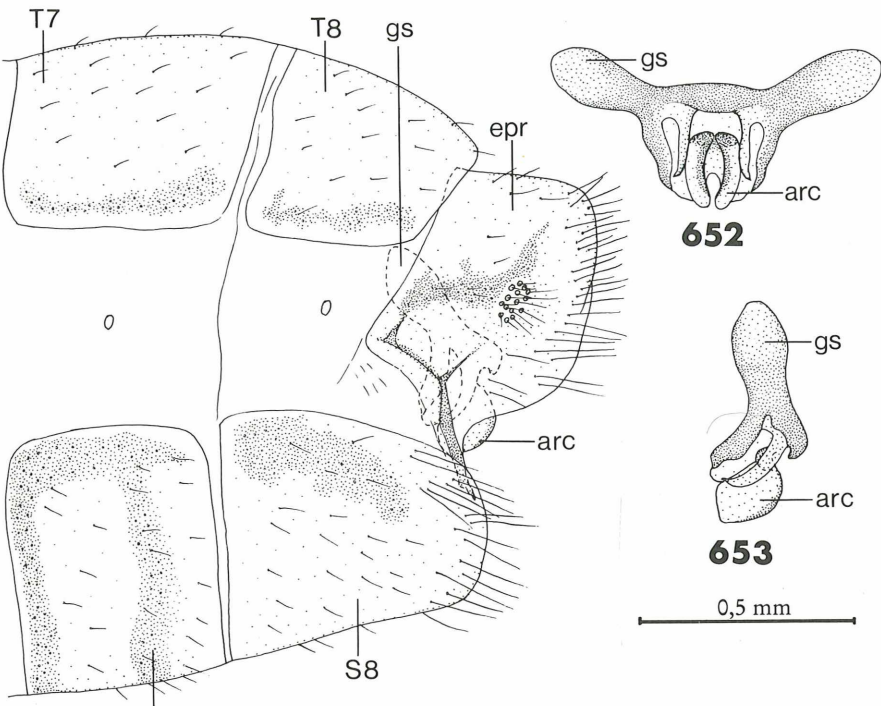


649



650

Abb. 641-646: *Nothochrysa fulviceps*, ♂. — Abb. 641: Genitalsegmente, lateral. — Abb. 642: Gonarcus und Arcessus, dorsal. — Abb. 643: kaudal und — Abb. 644: lateral. — Abb. 645: Hypandrium internum, ventral und — Abb. 646: lateral. — Abb. 647-650: *Nothochrysa fulviceps*, ♀. — Abb. 647: Genitalsegmente, lateral. — Abb. 648: Subgenital, ventral. — Abb. 649-650: Receptaculum seminis.



652

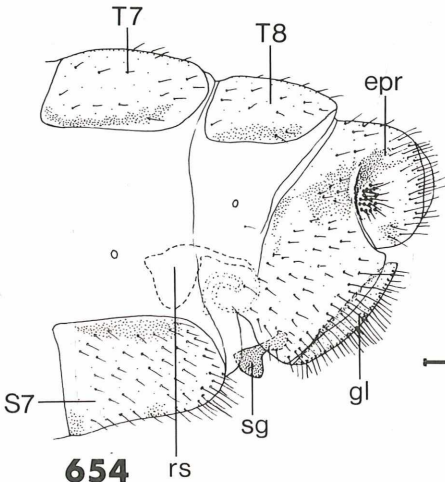
653

0,5 mm

651

S7

S8



1 mm

Abb. 651-653: *Hypochrysa elegans*, ♂. — Abb. 651: Genitalsegmente, lateral. — Abb. 652: Gonarcus und Arcessus, kaudal und — Abb. 653: lateral. — Abb. 654: *Hypochrysa elegans*, ♀ Genitalsegmente, lateral.

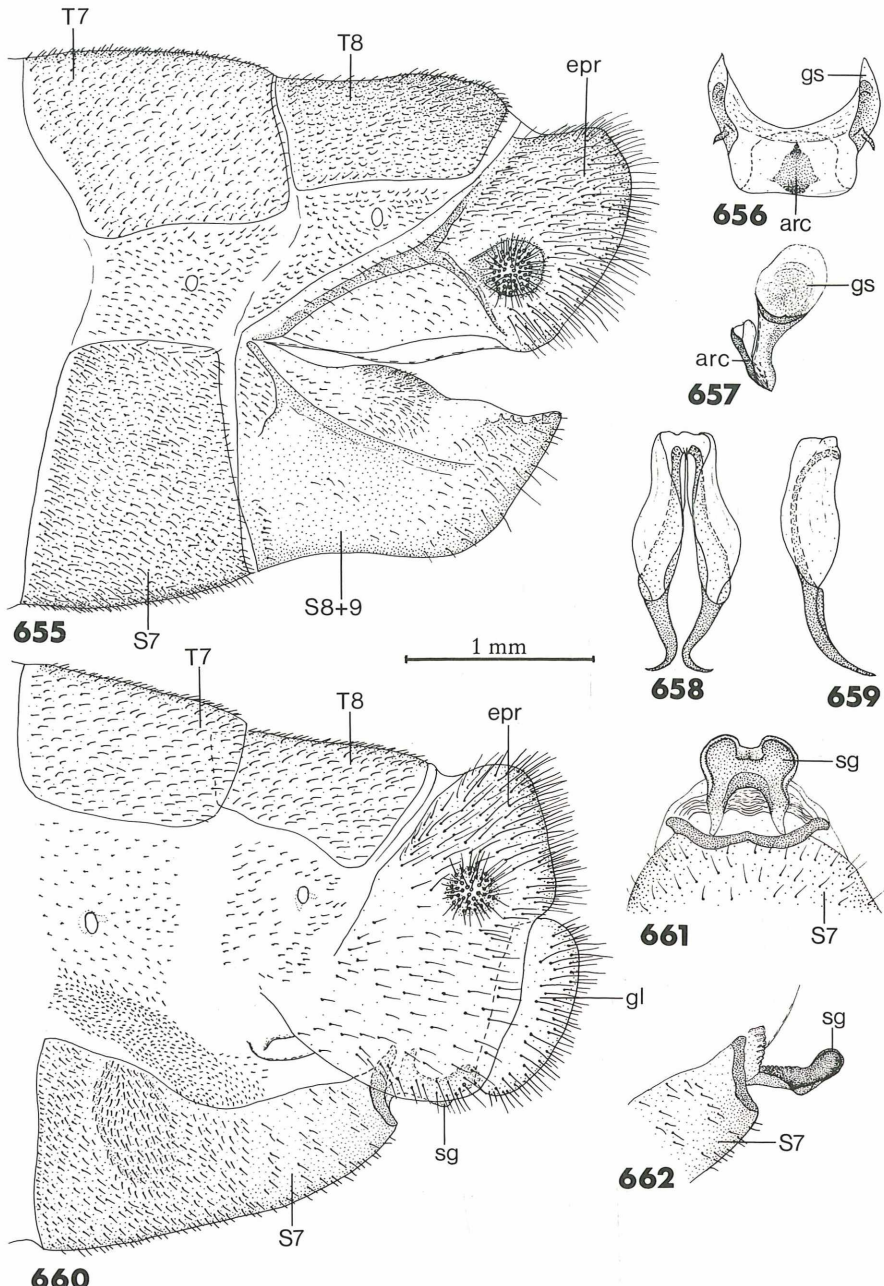
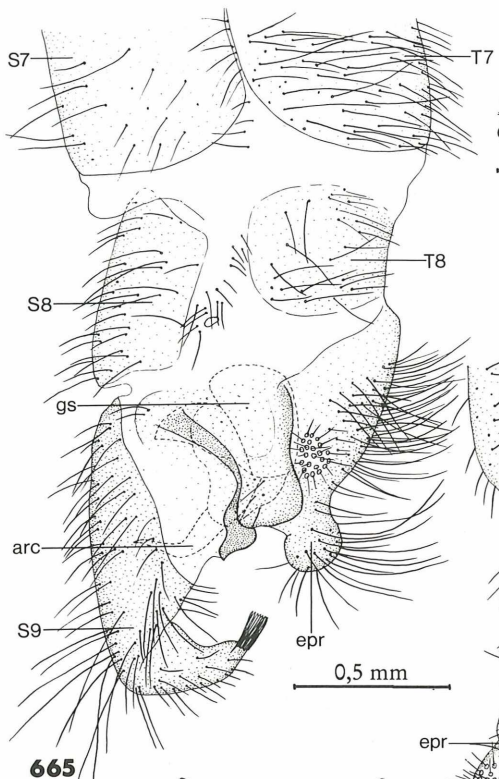
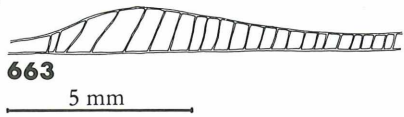


Abb. 655-659: *Italochrysa stigmatica*, ♂. — Abb. 655: Genitalsegmente, lateral. — Abb. 656: Gonarcus und Arcessus, kaudal und — Abb. 657: lateral. — Abb. 658: Parameren, dorsal und — Abb. 659: lateral. — Abb. 660-662: *Italochrysa stigmatica*, ♀. — Abb. 660: Genitalsegmente, lateral. — Abb. 661: Subgenitale, ventral und — Abb. 662: lateral.

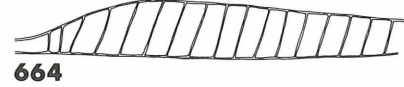


665

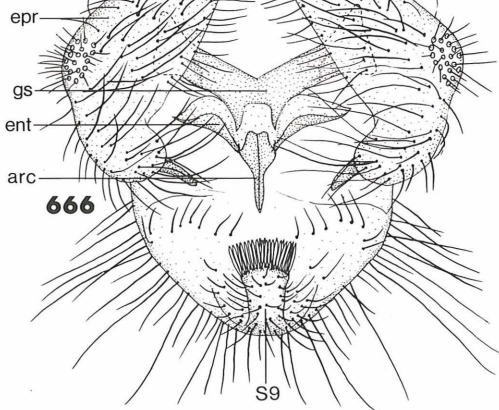
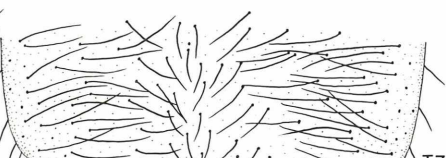


663

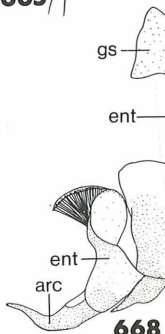
5 mm



664

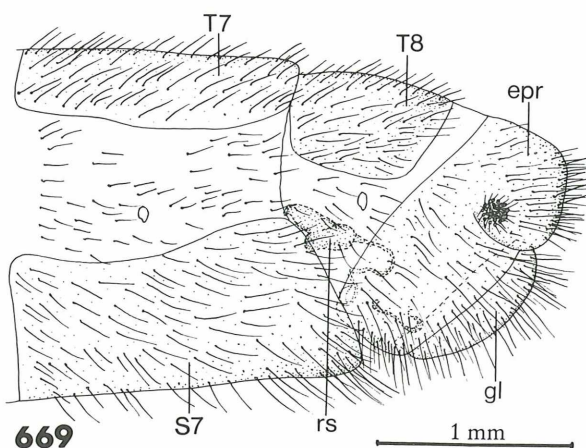


667

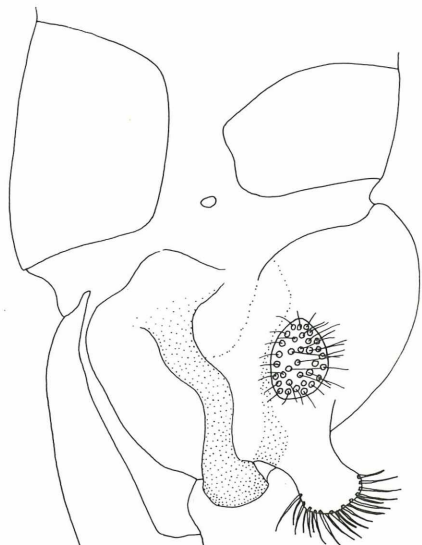


668

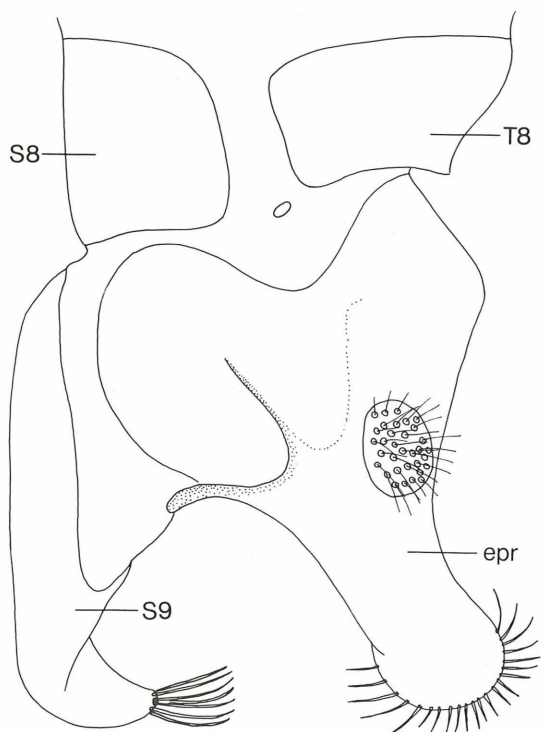
Abb. 663: *Nineta flava*, Kostalfeld des Vorderflügels. — Abb. 664: *Nineta vittata*, Kostalfeld des Vorderflügels. — Abb. 665-668: *Nineta carinthiaca*, ♂. — Abb. 665: Genitalsegmente, lateral und — Abb. 666: dorsal. — Abb. 667: Gonarcus und Arcessus, dorsokaudal und — Abb. 668: lateral.



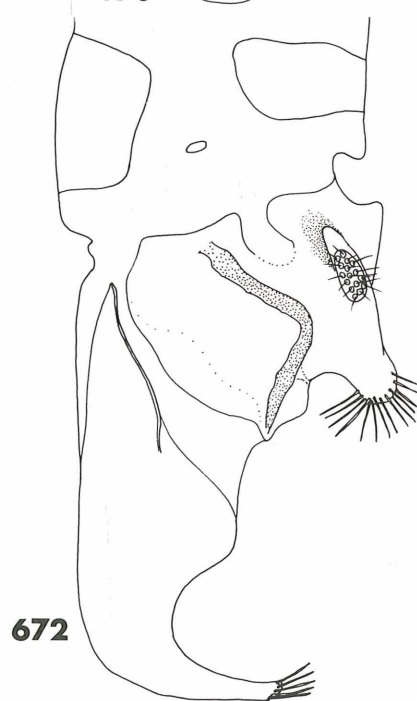
669



670



671



672

Abb. 669: *Nineta carinthiaca*, ♀ Genitalsegmente, lateral. — Abb. 670: *Nineta flava*, ♂ Genitalsegmente, lateral. — Abb. 671: *Nineta guadarramensis*, ♂ Genitalsegmente, lateral. — Abb. 672: *Nineta impunctata*, ♂ Genitalsegmente, lateral.

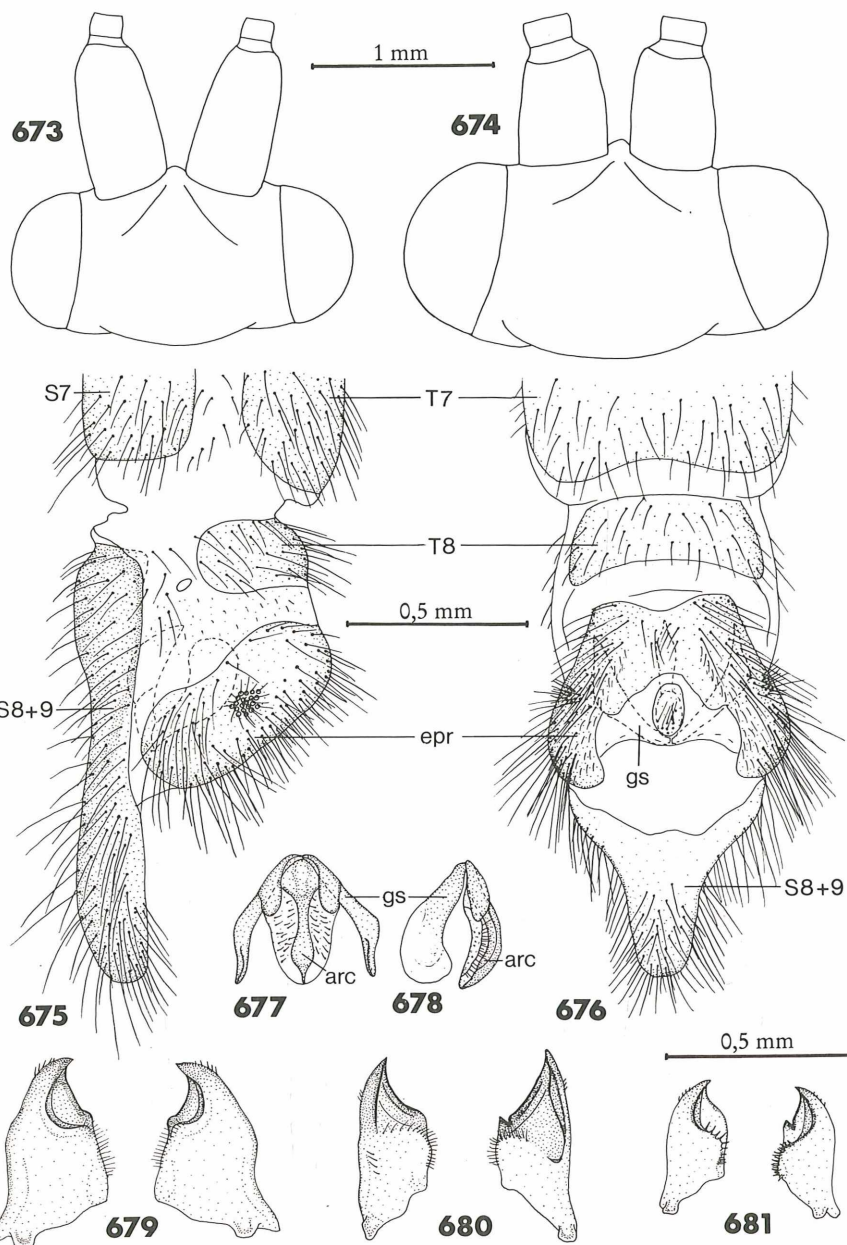
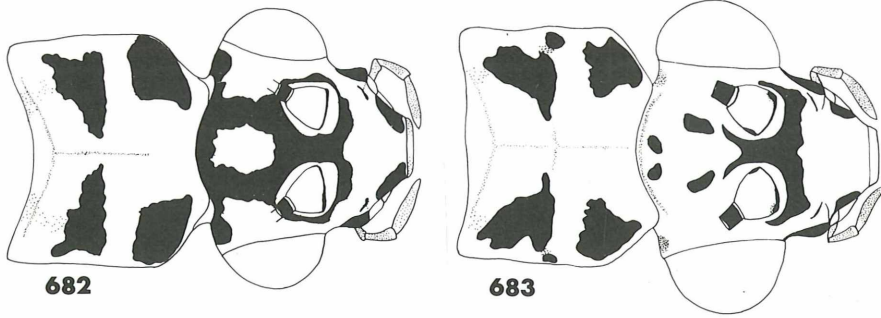


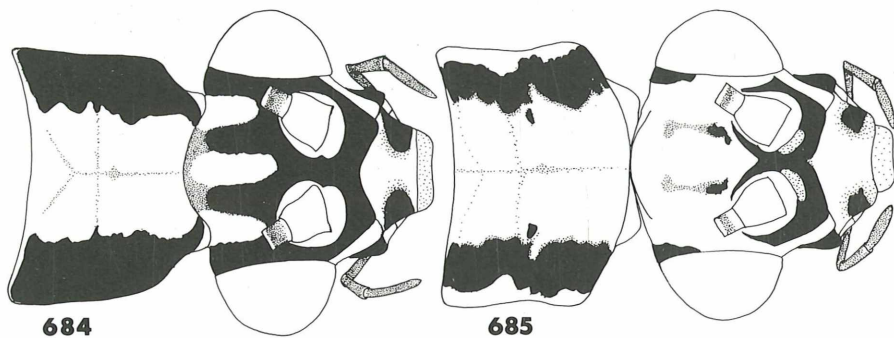
Abb. 673: Kopf und Fühlerbasis, dorsal, von *Nineta vittata* und — Abb. 674: *Nineta carinifrons*. — Abb. 675-678: *Chrysotropia ciliata*, ♂. — Abb. 675: Genitalsegmente, lateral und — Abb. 676: dorsal. — Abb. 677: Gonarcus und Arcessus, kaudal und — Abb. 678: lateral. — Abb. 679-681: Mandibel von — Abb. 679: *Nineta flava*, — Abb. 680: *Chrysopa perla* und — Abb. 681: *Chrysoperla carnea*.



682

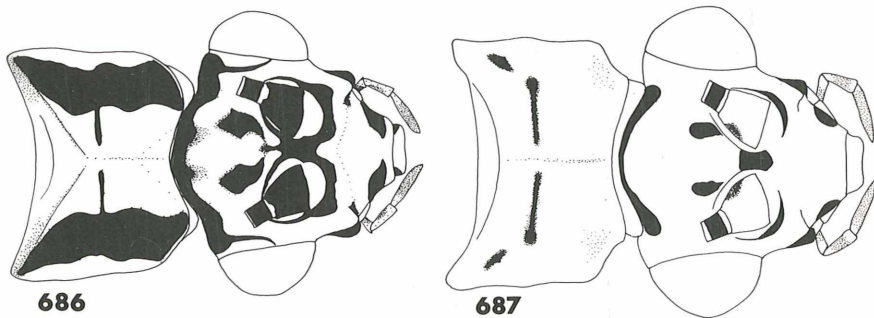
683

1 mm



684

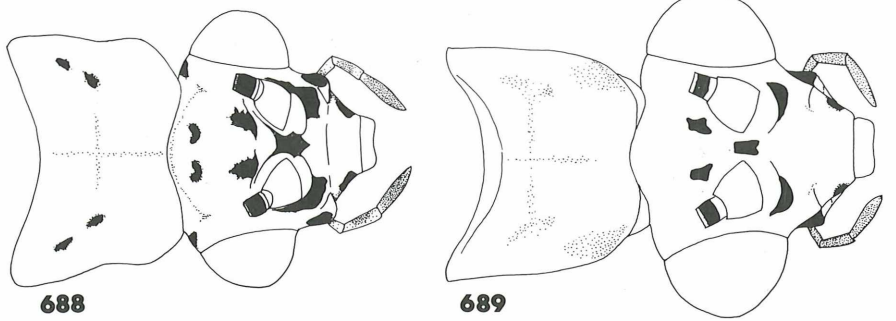
685



686

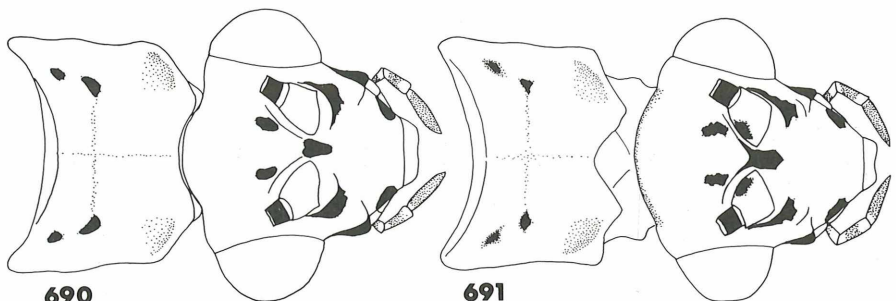
687

Abb. 682-687: Kopf und Pronotum, dorsal, von — Abb. 682: *Chrysopa perla*, — Abb. 683: *Chr. walkeri*, — Abb. 684: *Chr. dorsalis*, — Abb. 685: *Chr. regalis*, — Abb. 686: *Chr. hungarica*, — Abb. 687: *Chr. abbreviata*.



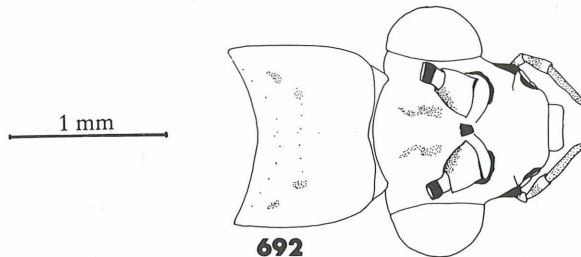
688

689

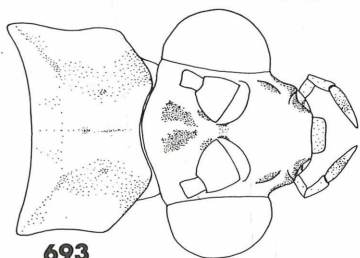


690

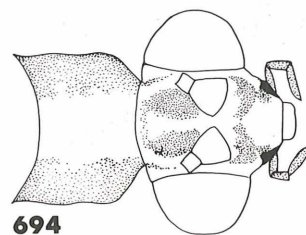
691



692



693



694

Abb. 688-694: Kopf und Pronotum, dorsal, von — Abb. 688: *Chr. altaica*, — Abb. 689: *Chr. formosa*, — Abb. 690: *Chr. phyllochroma*, — Abb. 691: *Chr. commata*, — Abb. 692: *Chr. hummeli*, — Abb. 693: *Anisochrysa alarconi*, — Abb. 694: *A. venusta*.

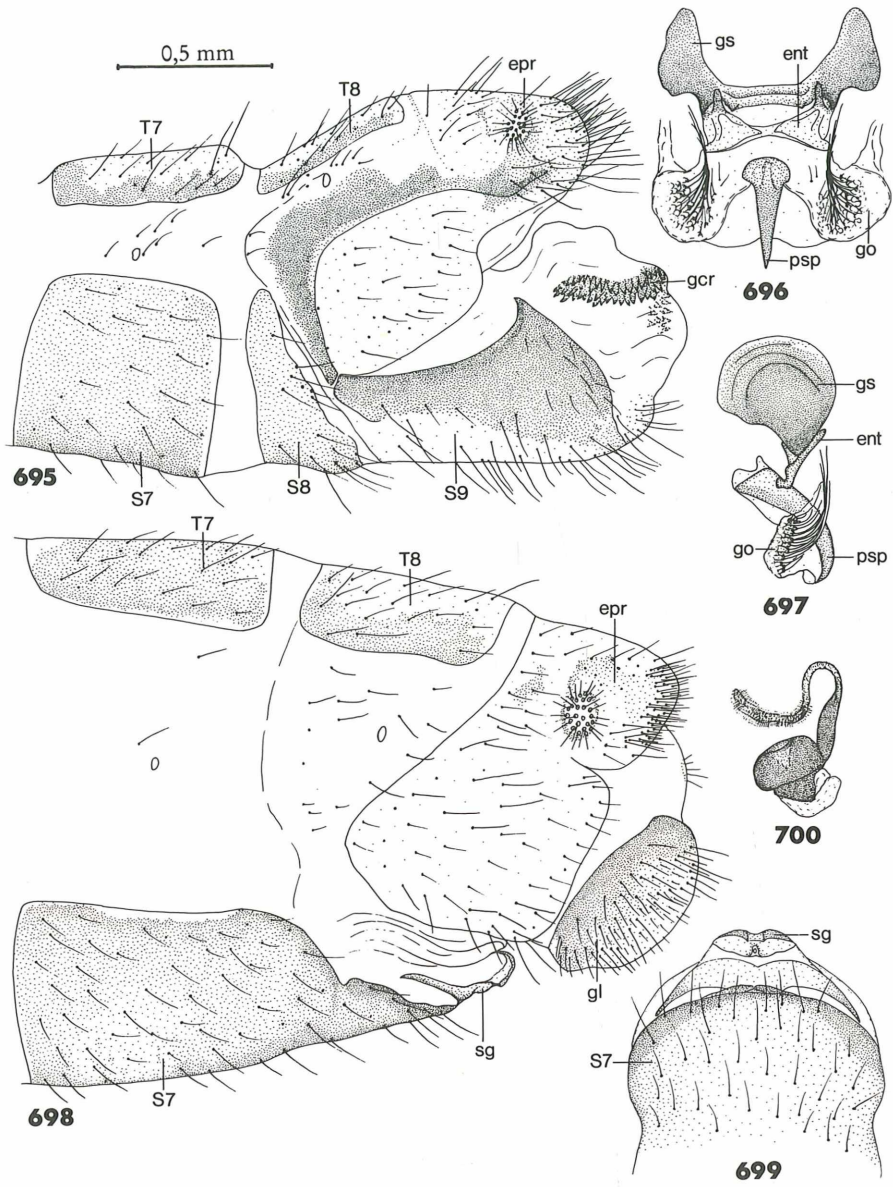


Abb. 695-697: *Chrysopa hungarica*, ♂. — Abb. 695: Genitalsegmente, lateral. — Abb. 696: Gonarcus und Pseudopenis, dorsal und — Abb. 697: lateral. — Abb. 698-700: *Chrysopa hungarica*, ♀. — Abb. 698: Genitalsegmente, lateral. — Abb. 699: Subgenitalregion, ventral. — Abb. 700: Receptaculum seminis.

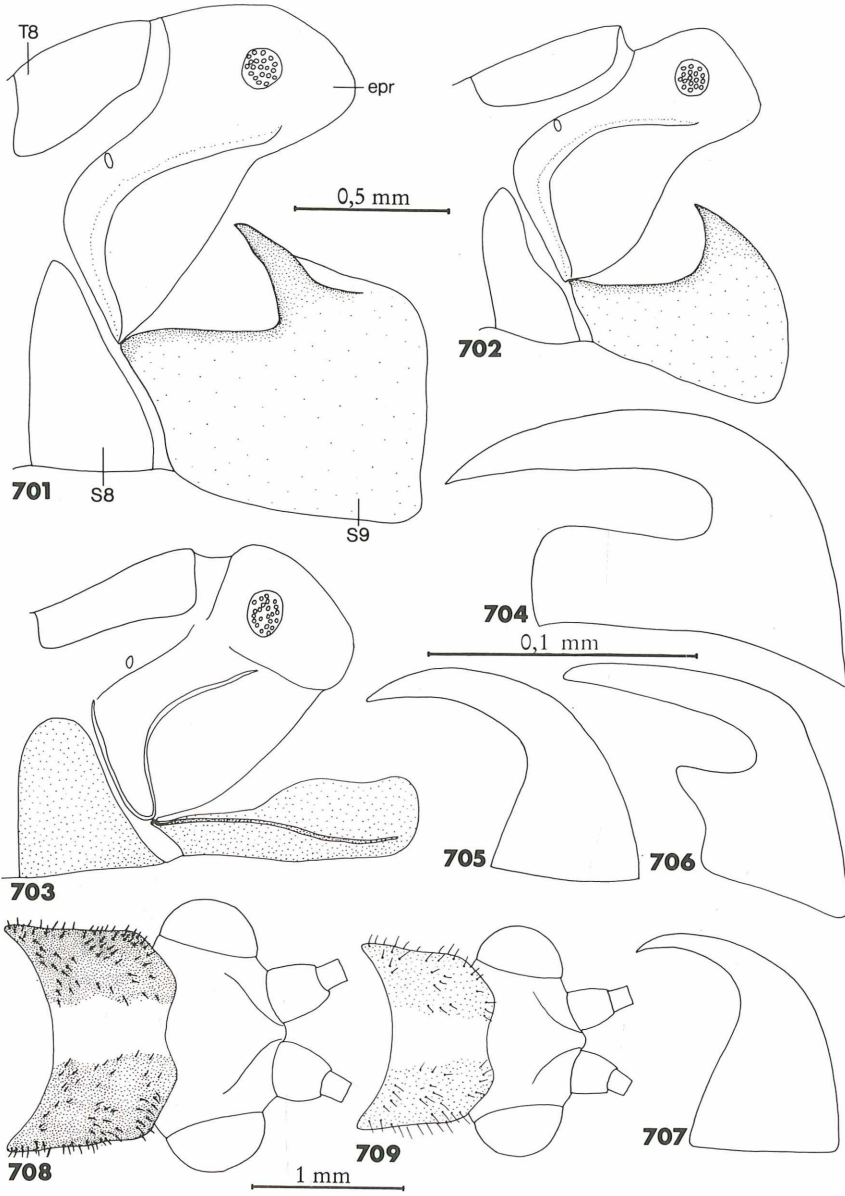
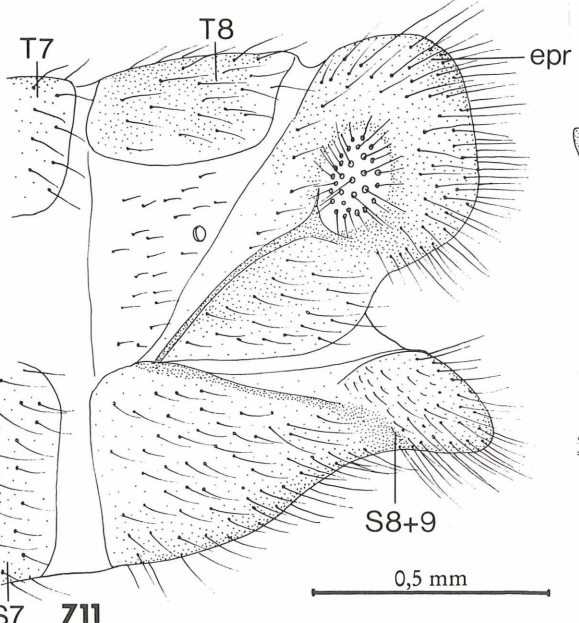
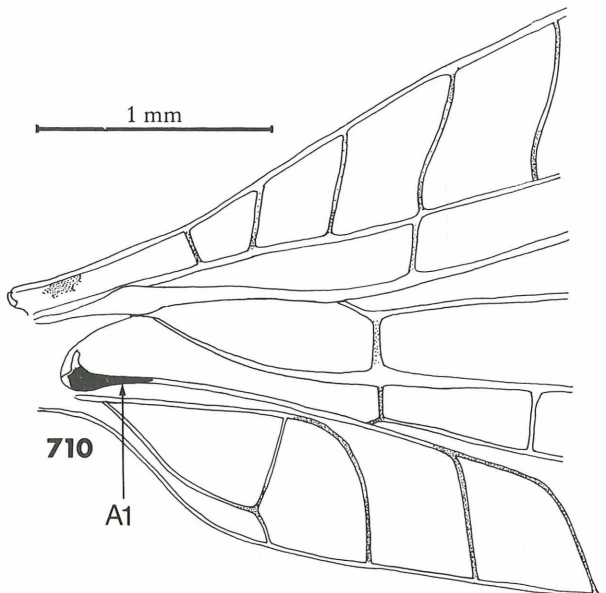


Abb. 701: *Chrysopa commata*, ♂ Genitalsegmente, lateral. — Abb. 702: *Chrysopa hummeli*, ♂ Genitalsegmente, lateral. — Abb. 703: *Chrysopa nigricostata*, ♂ Genitalsegmente, lateral. — Abb. 704-707: Tarsalklaue von — Abb. 704: *Chrysopa viridana*, — Abb. 705: *Chr. phyllochroma*, — Abb. 706: *Chrysoperla carnea*, — Abb. 707: *Chr. mediterranea*. — Abb. 708: Pronotum von *Chrysopa nigricostata* und — Abb. 709: *Cunctochrysa albolineata*.



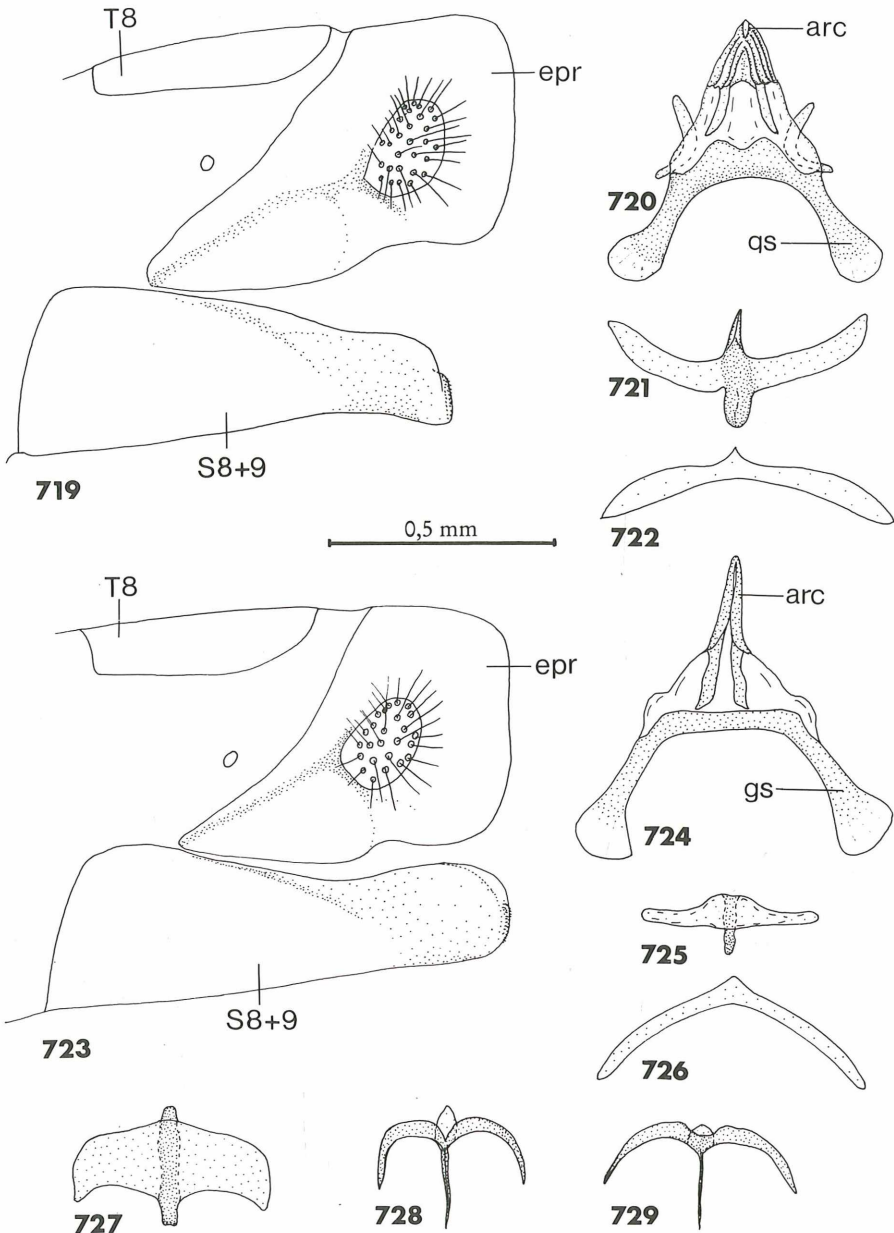


Abb. 719-722: *Anisochrysa flavifrons*, ♂. — Abb. 719: Genitalsegmente, lateral. — Abb. 720: Gonarcus und Arcessus, kaudal. — Abb. 721: Gonapsis, dorsal. — Abb. 722: Tignum, dorsal. — Abb. 723-726: *Anisochrysa inornata*, ♂. — Abb. 723: Genitalsegmente, lateral. — Abb. 724: Gonarcus und Arcessus, dorsal. — Abb. 725: Gonapsis, dorsal. — Abb. 726: Tignum, dorsal. — Abb. 727: Gonapsis von *Anisochrysa prasina* und — Abb. 728,729: *A. picteti*.

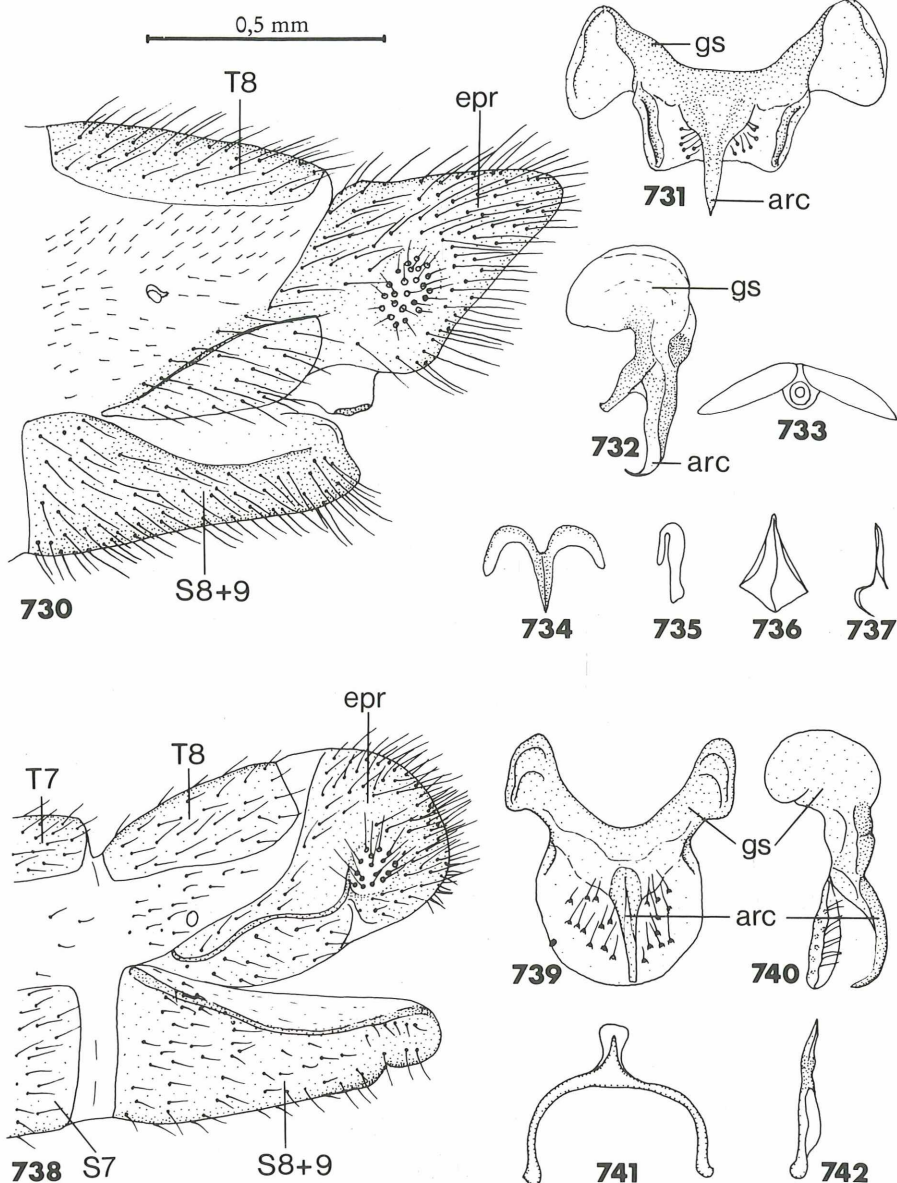


Abb. 730-737: *Tjederina gracilis*, ♂. — Abb. 730: Genitalsegmente, lateral. — Abb. 731: Gonarcus und Arcessus, kaudal und — Abb. 732: lateral. — Abb. 733: Tignum, kaudal. — Abb. 734: Gonapsis, ventral und — Abb. 735: lateral. — Abb. 736: Hypandrium internum, ventral und — Abb. 737: lateral. — Abb. 738-742: *Chrysoperla mutata*, ♂. — Abb. 738: Genitalsegmente, lateral. — Abb. 739: Gonarcus und Arcessus, kaudal und — Abb. 740: lateral. — Abb. 741: Tignum, kaudal und — Abb. 742: lateral.

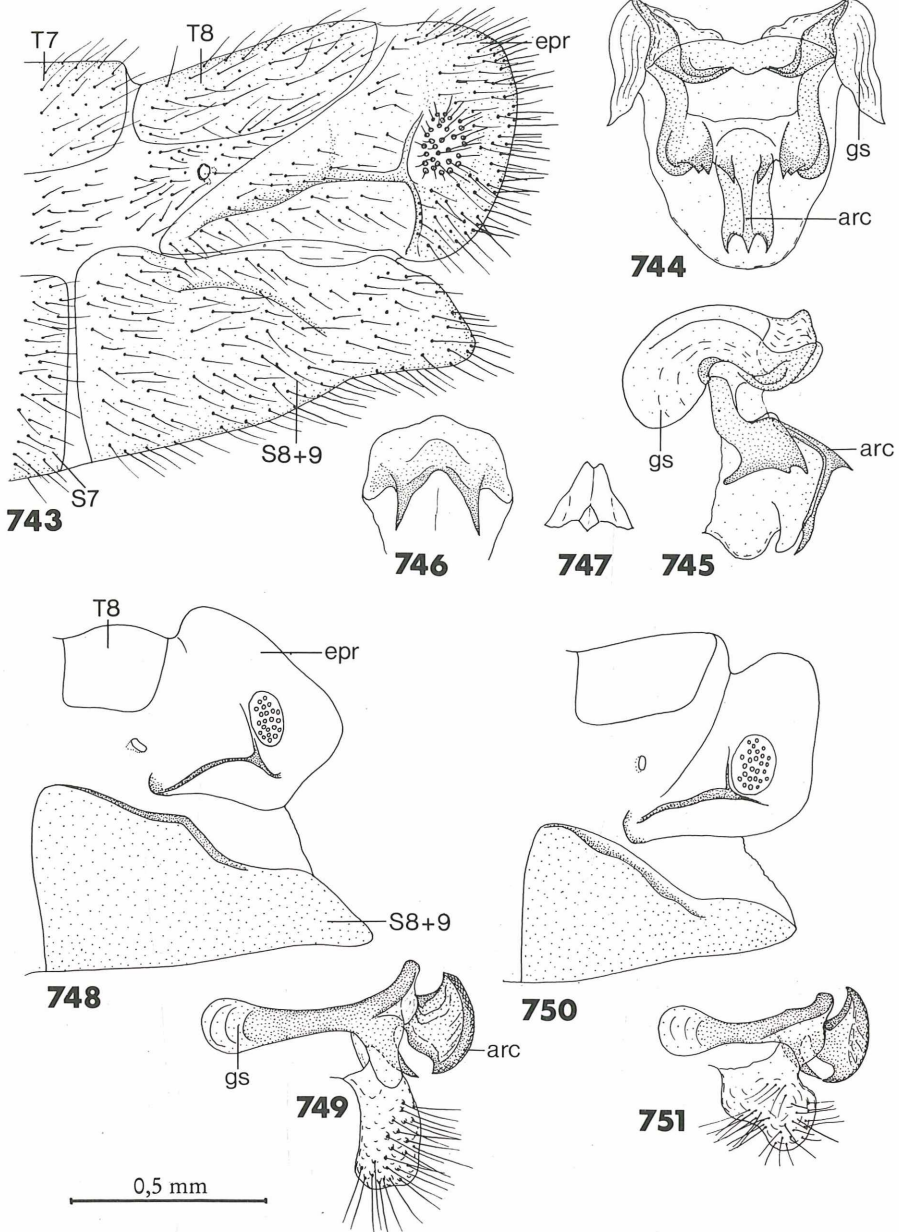


Abb. 743-747: *Rexa raddai*, ♂. — Abb. 743: Genitalsegmente, lateral. — Abb. 744: Gonarcus und Arcessus, kaudal und — Abb. 745: lateral. — Abb. 746: Gonapsis, dorsokaudal. — Abb. 747: Hypandrium internum, ventral. — Abb. 748: *Cunctochrysa albolineata*, ♂ Genitalsegmente, lateral, und — Abb. 749: Gonarcus mit Arcessus, lateral. — Abb. 750: *Cunctochrysa baetica*, ♂ Genitalsegmente, lateral, und — Abb. 751: Gonarcus mit Arcessus, lateral.

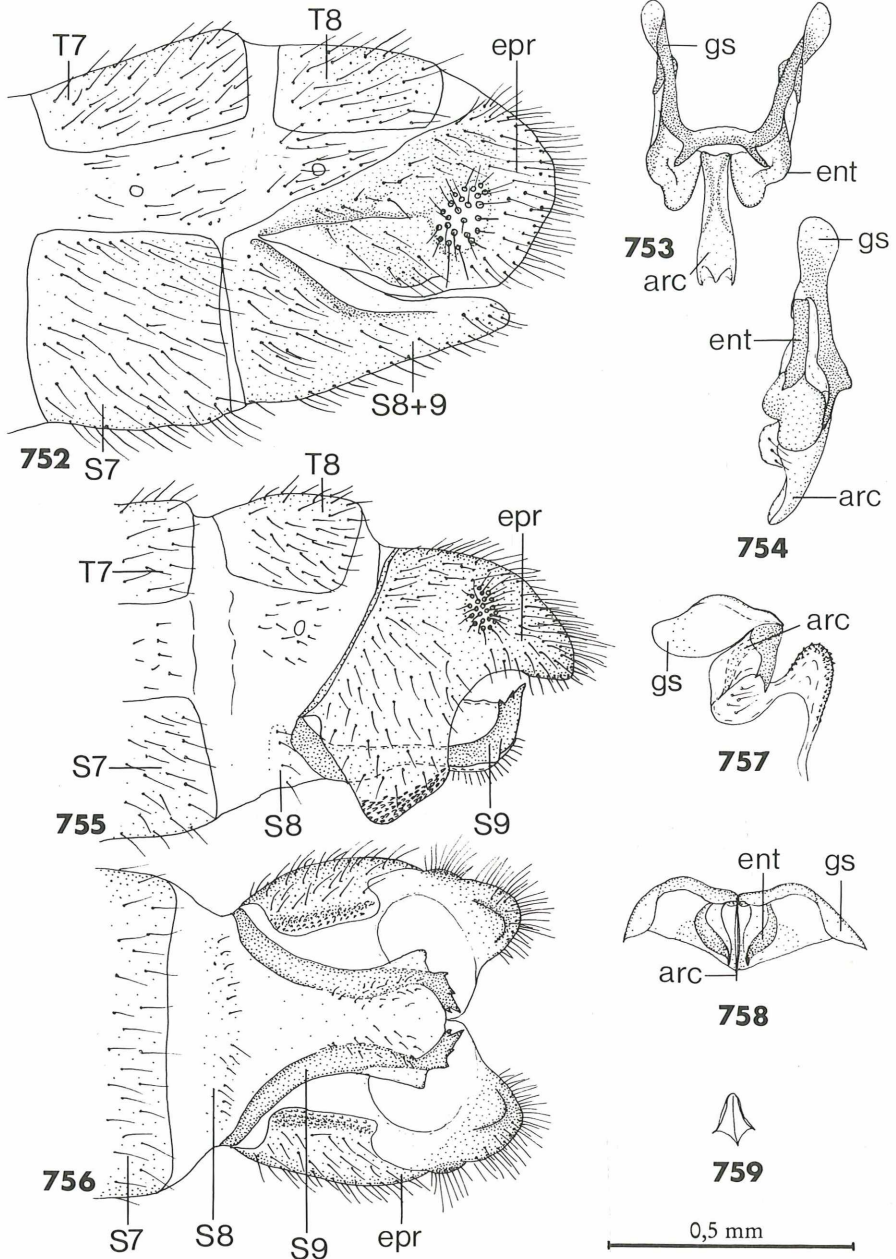


Abb. 752-754: *Suarius nanus*, ♂. — Abb. 752: Genitalsegmente, lateral. — Abb. 753: Gonarcus und Arcessus, dorsokaudal und — Abb. 754: lateral. — Abb. 755-759: *Brinckochrysa michaelseni*, ♂. — Abb. 755: Genitalsegmente, lateral und — Abb. 756: ventral. — Abb. 757: Gonarcus und Arcessus, lateral und — Abb. 758: kaudal. — Abb. 759: Hypandrium internum, ventral.

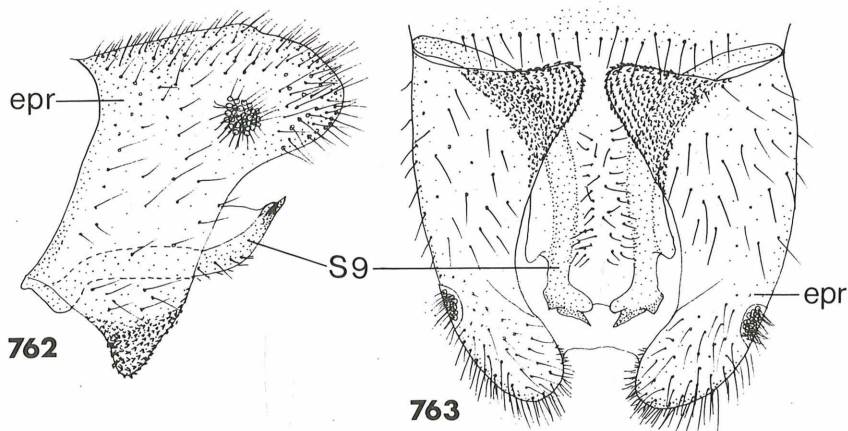
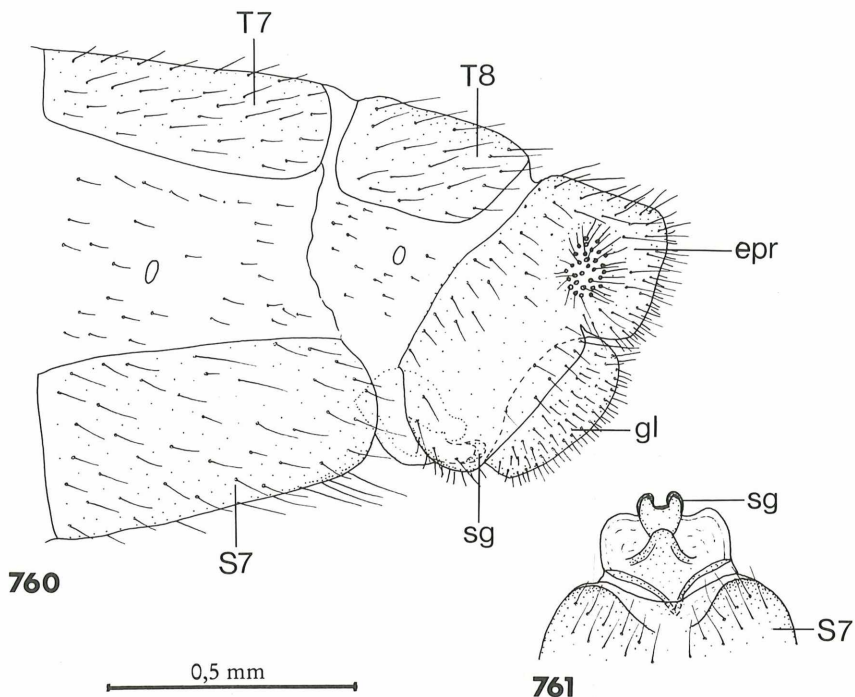
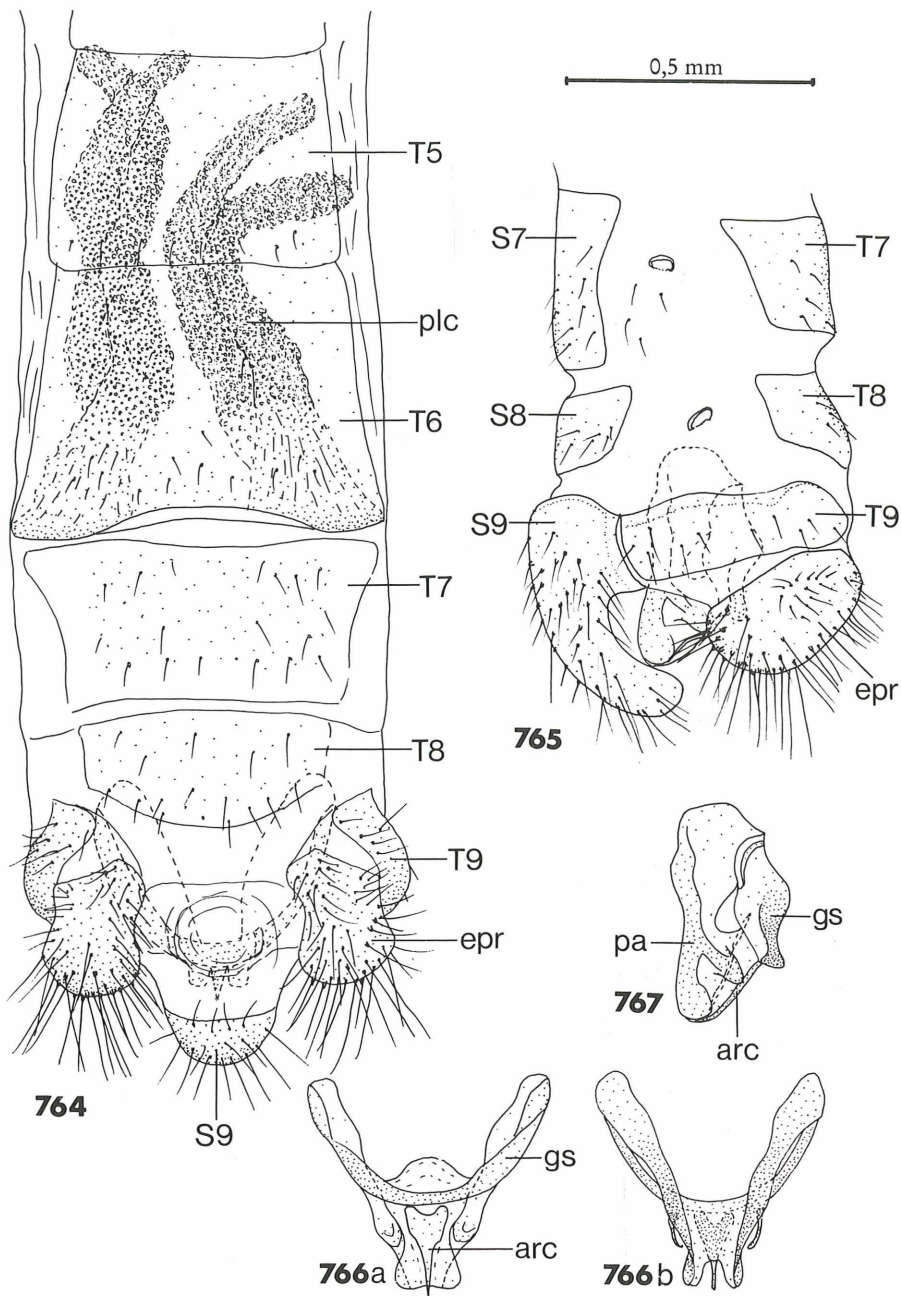


Abb. 760: *Brinckochrysa michaelseni*, ♀ Genitalsegmente, lateral, und — Abb. 761: Subgenitalregion, ventral. — Abb. 762: *Brinckochrysa nachoi*, ♂ Ektoprokt und 9. Sternit, lateral und — Abb. 763: ventral.



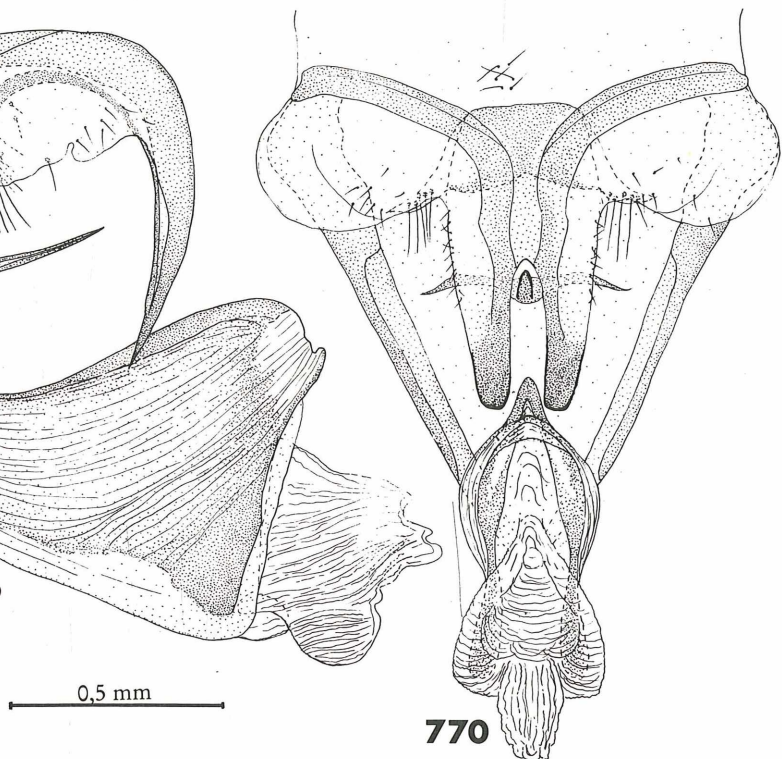
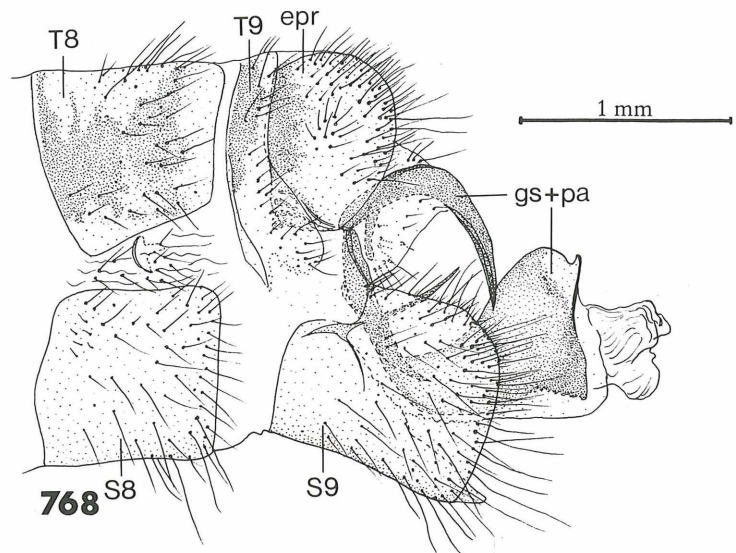


Abb. 768-770: *Nemoptera coa*, ♂. — Abb. 768: Genitalsegmente, lateral. — Abb. 769: Gonarcus-Parameren-Komplex, lateral und — Abb. 770: kaudal.

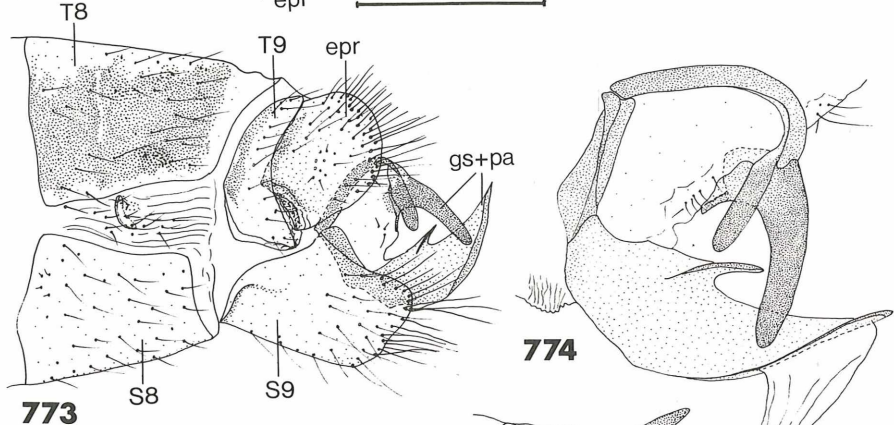
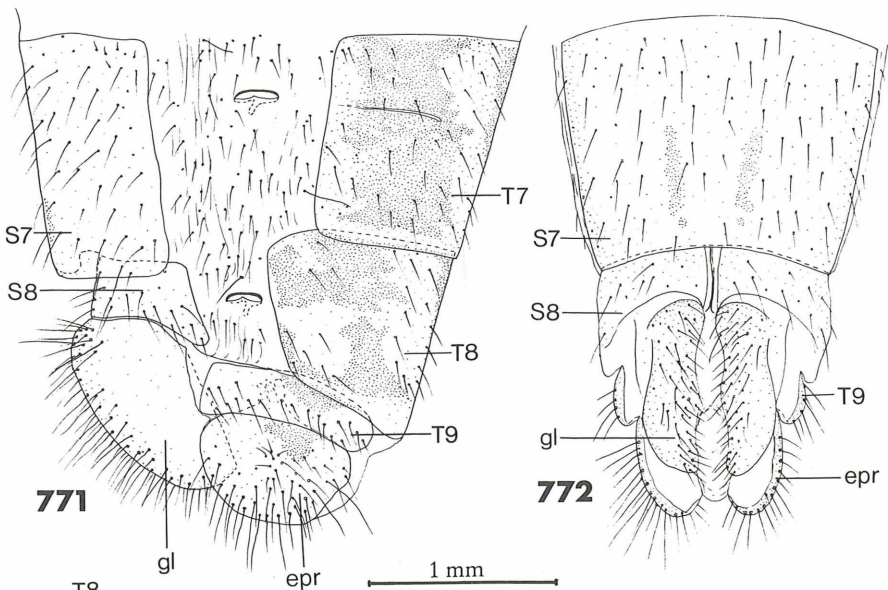


Abb. 771: *Nemoptera coa*, ♀ Genitalsegmente, lateral und — Abb. 772: ventral. — Abb. 773-775: *Lertha ledereri*, ♂. — Abb. 773: Genitalsegmente, lateral. — Abb. 774: Gonarcus-Parameren-Komplex, lateral und — Abb. 775: dorsokaudal.

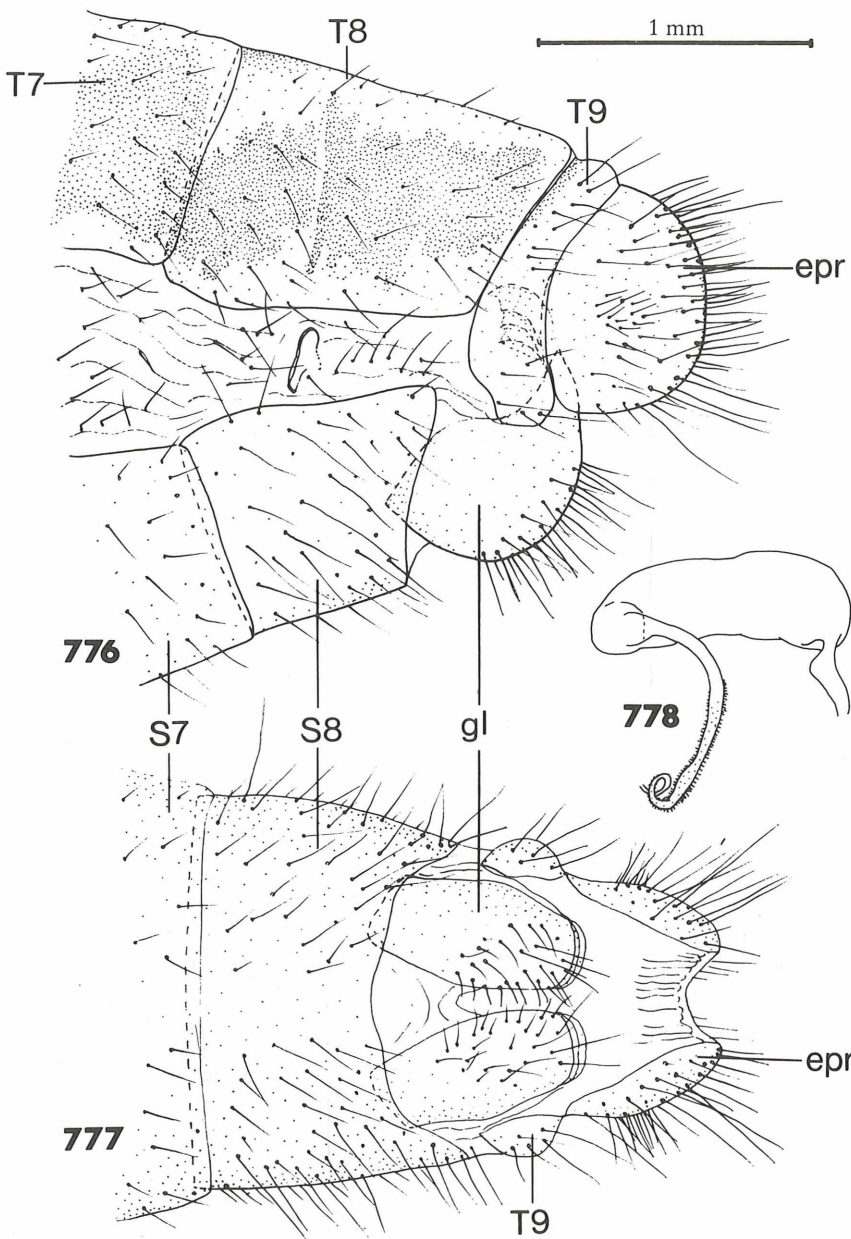


Abb. 776-778: *Lertha ledereri*, ♀. — Abb. 776: Genitalsegmente, lateral und — Abb. 777: ventral. — Abb. 778: Receptaculum seminis.

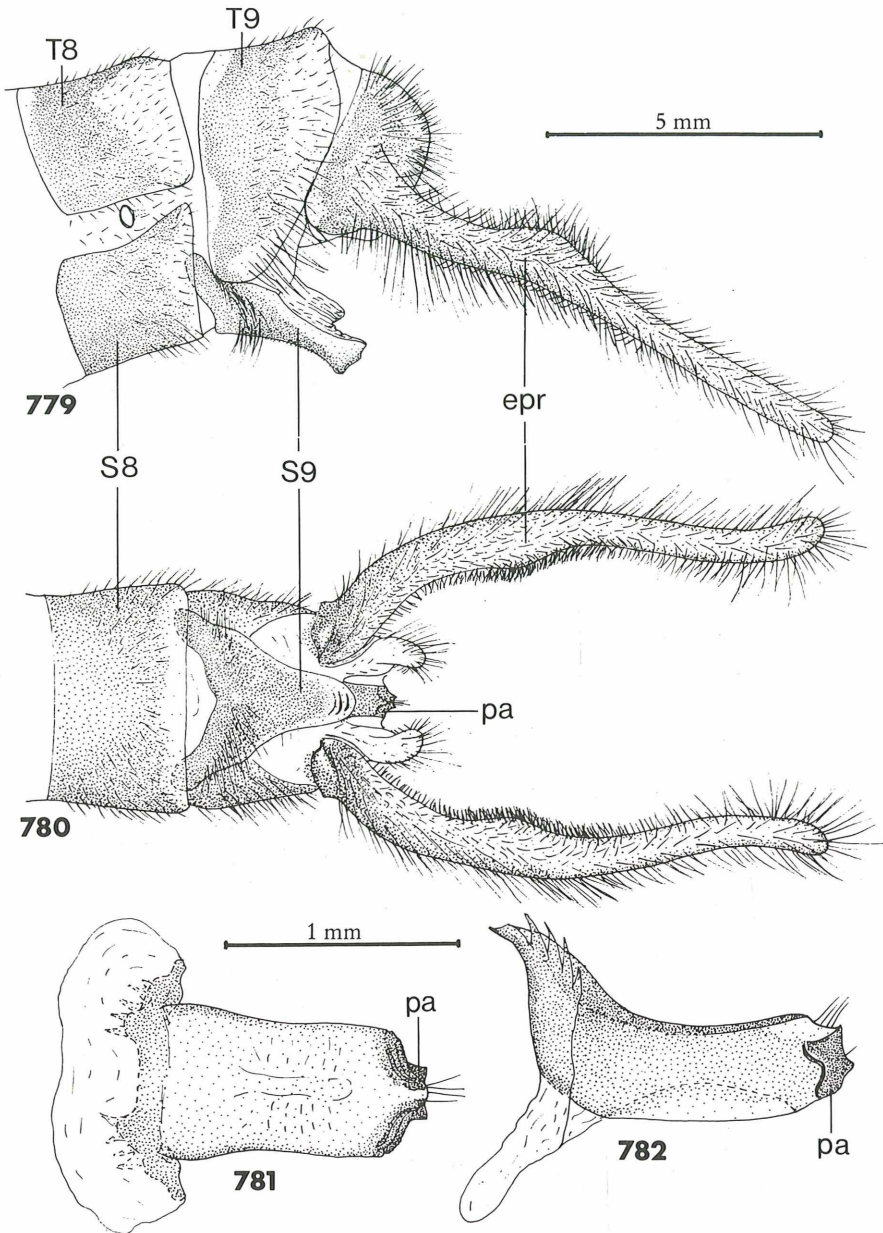
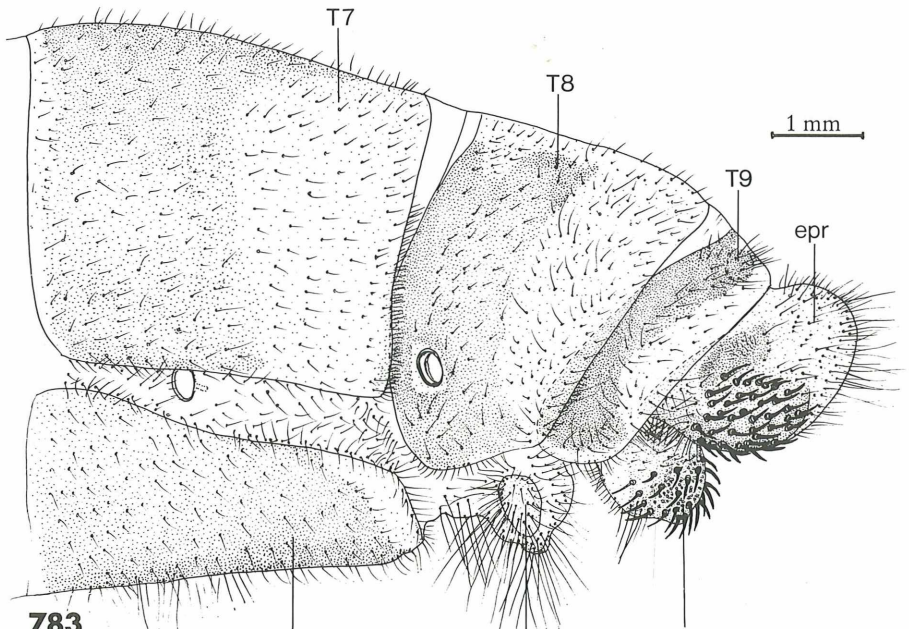
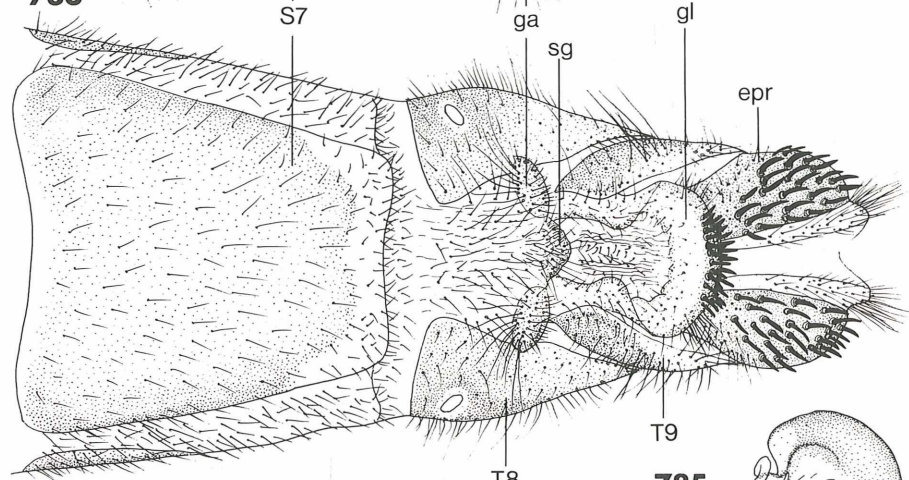


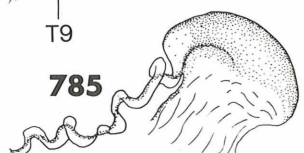
Abb. 779-782: *Palpares libelluloides*, ♂. — Abb. 779: Genitalsegmente, lateral und — Abb. 780: ventral. — Abb. 781: Gonarcus-Parameren-Komplex, ventral und — Abb. 782: lateral.



783



784



785

Abb. 783-785: *Palpares libelluloides*, ♀. — Abb. 783: Genitalsegmente, lateral und — Abb. 784: ventral. — Abb. 785: Receptaculum seminis.

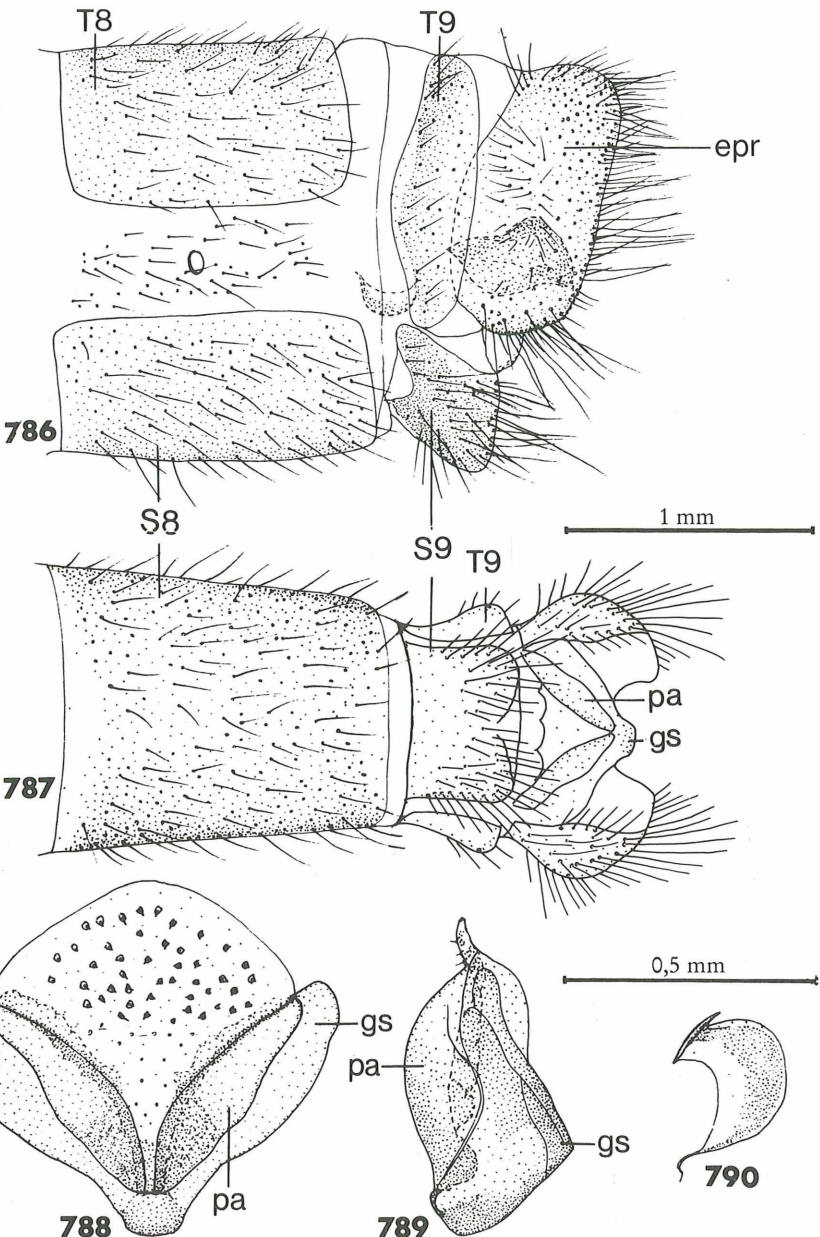


Abb. 786-790: *Dendroleon pantherinus*, ♂. — Abb. 786: Genitalsegmente, lateral und — Abb. 787: ventral. — Abb. 788: Gonarcus-Parameren-Komplex, ventral und — Abb. 789: lateral. — Abb. 790: Hypandrium internum, lateral.

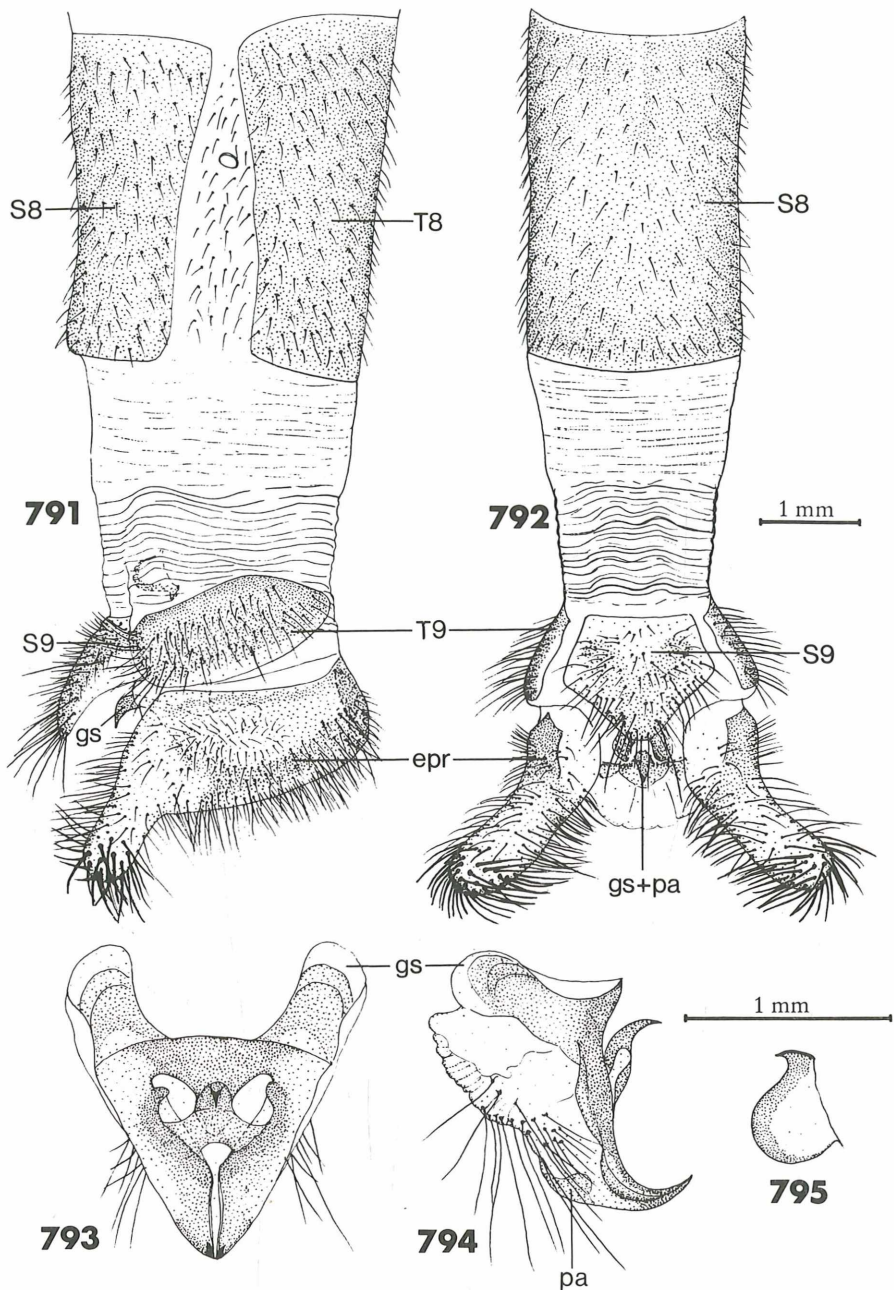


Abb. 791-795: *Acanthaclisis baetica*, ♂. — Abb. 791: Genitalsegmente, lateral und — Abb. 792: ventral. — Abb. 793: Gonarcus-Parameren-Komplex, kaudal und — Abb. 794: lateral. — Abb. 795: Hypandrium internum, lateral.

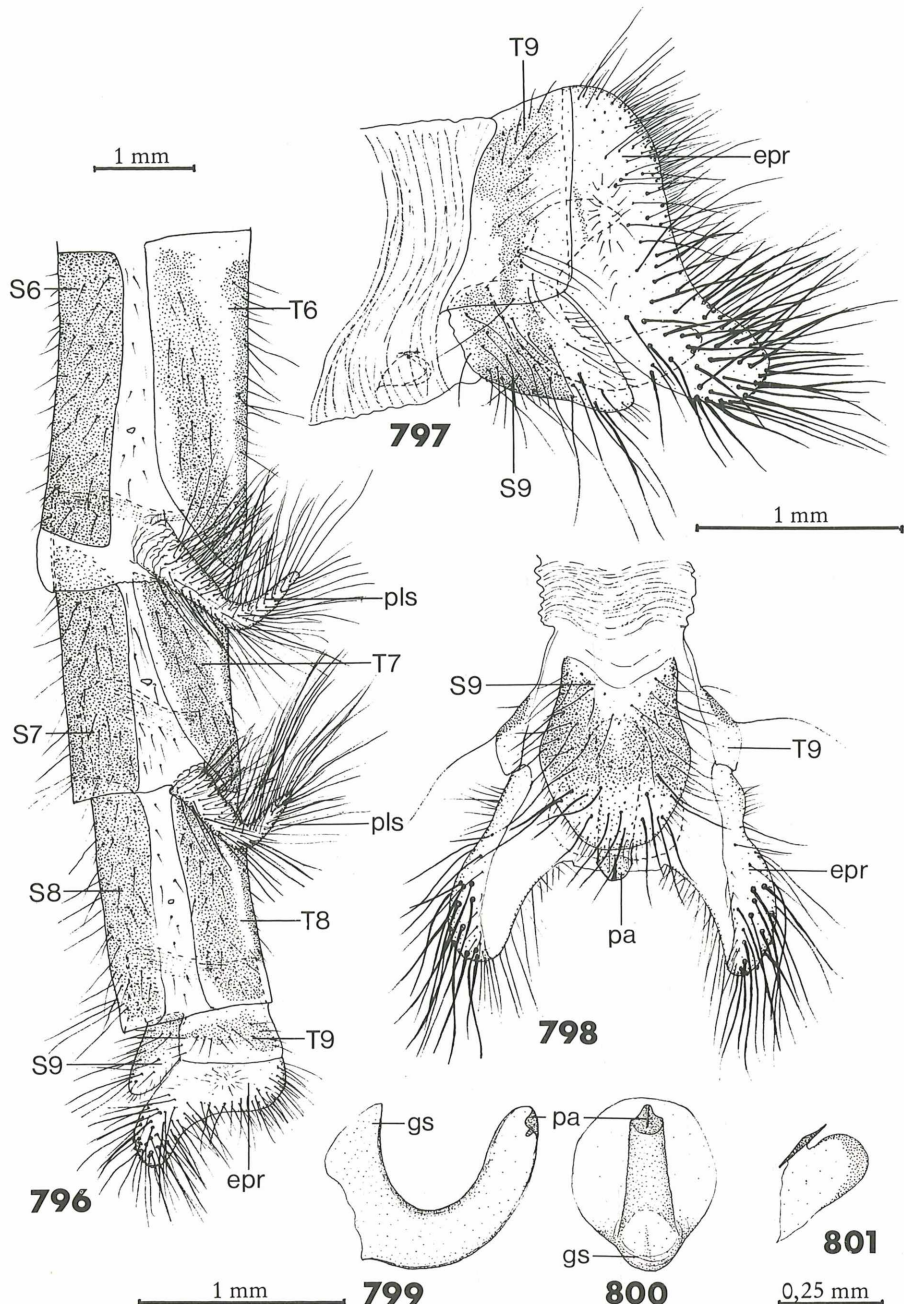


Abb. 796-801: *Myrmecaelurus (Nohoveus) zigan*, ♂. — Abb. 796: Abdomen (6.-10. Segment), lateral. — Abb. 797: Genitalsegmente, lateral und — Abb. 798: ventral. — Abb. 799: Gonarcus-Parameren-Komplex, lateral und — Abb. 800: ventral. — Abb. 801: Hyandrium internum, lateral.

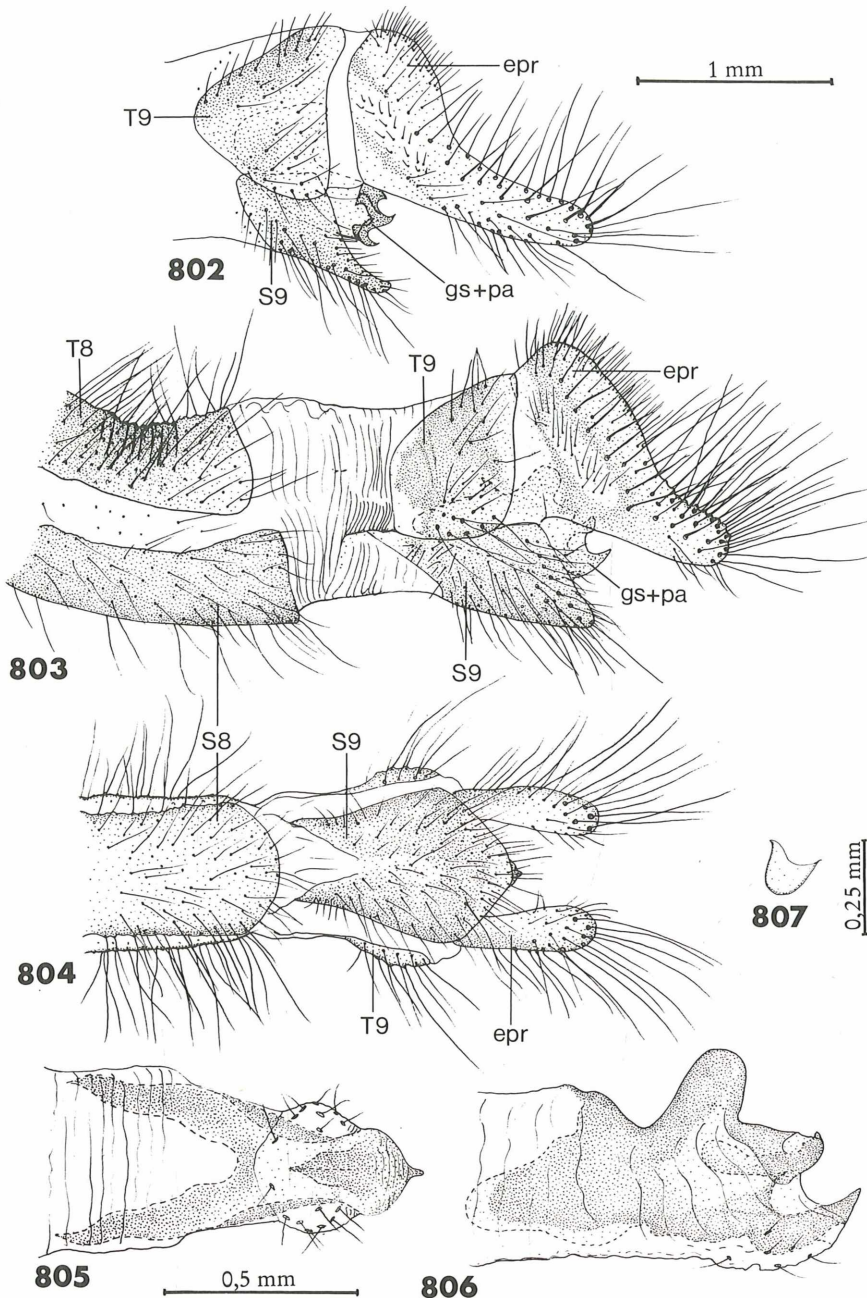


Abb. 802: *Cueta lineosa*, ♂ Genitalsegmente, lateral. — Abb. 803-807: *Cueta beieri*, ♂. — Abb. 803: Genitalsegmente, lateral und — Abb. 804: ventral. — Abb. 805: Gonarcus-Parameren-Komplex, ventral und — Abb. 806: lateral. — Abb. 807: Hypandrium internum, lateral.

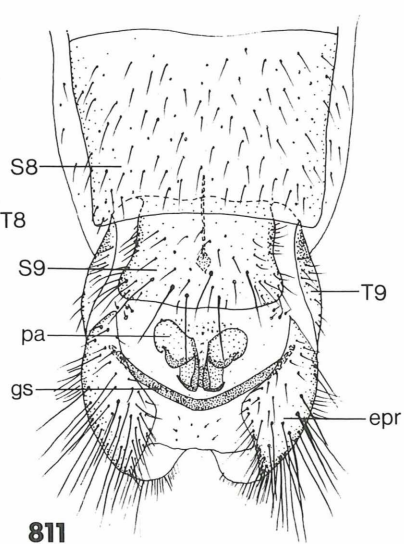
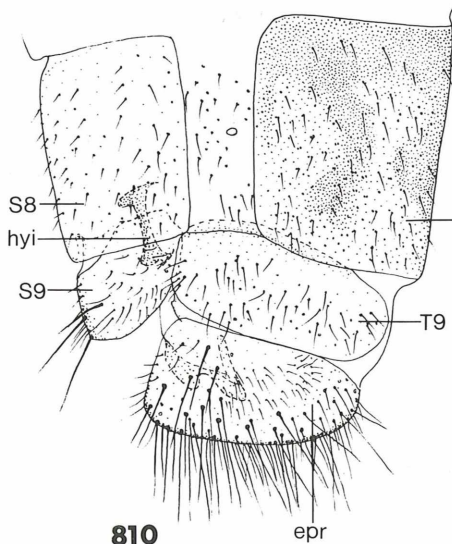
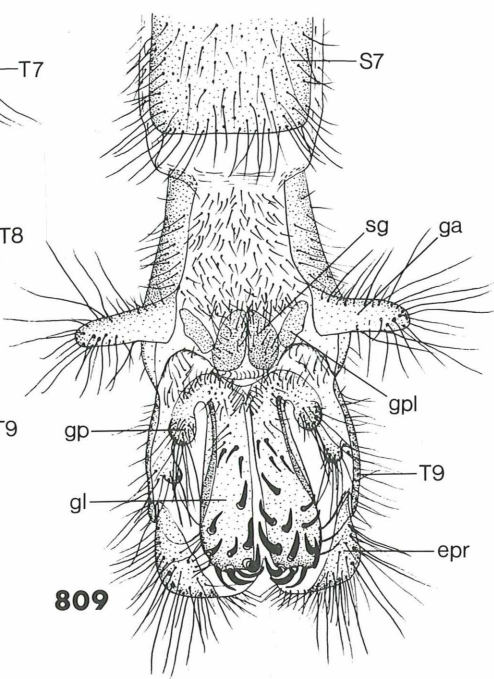
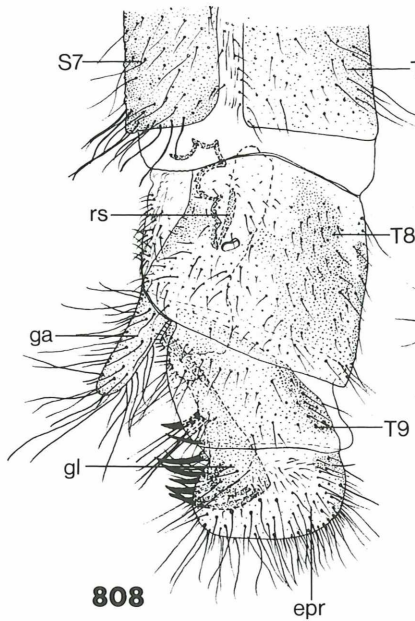


Abb. 808: *Cueta beieri*, ♀ Genitalsegmente, lateral und — Abb. 809: ventral. — Abb. 810: *Solter liber*, ♂ Genitalsegmente, lateral - Abb. 811: ventral.

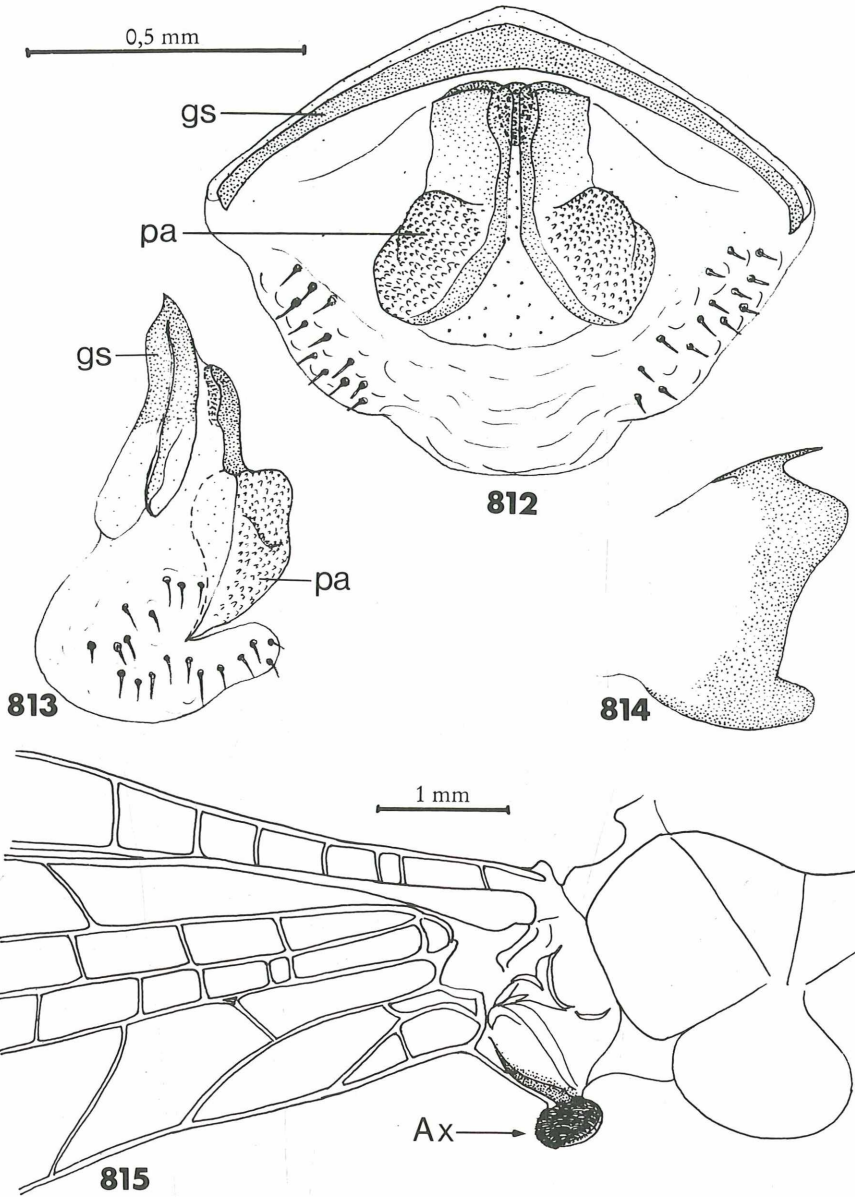


Abb. 812-814: *Solter liber*, ♂. — Abb. 812: Gonarcus-Parameren-Komplex, ventral und —
Abb. 813: lateral. — Abb. 814: Hypandrium internum, lateral. — Abb. 815: *Myrmeleon*
(*Morter*) *bore*, ♂. — Basis des Hinterflügels mit Axillarpelotten.

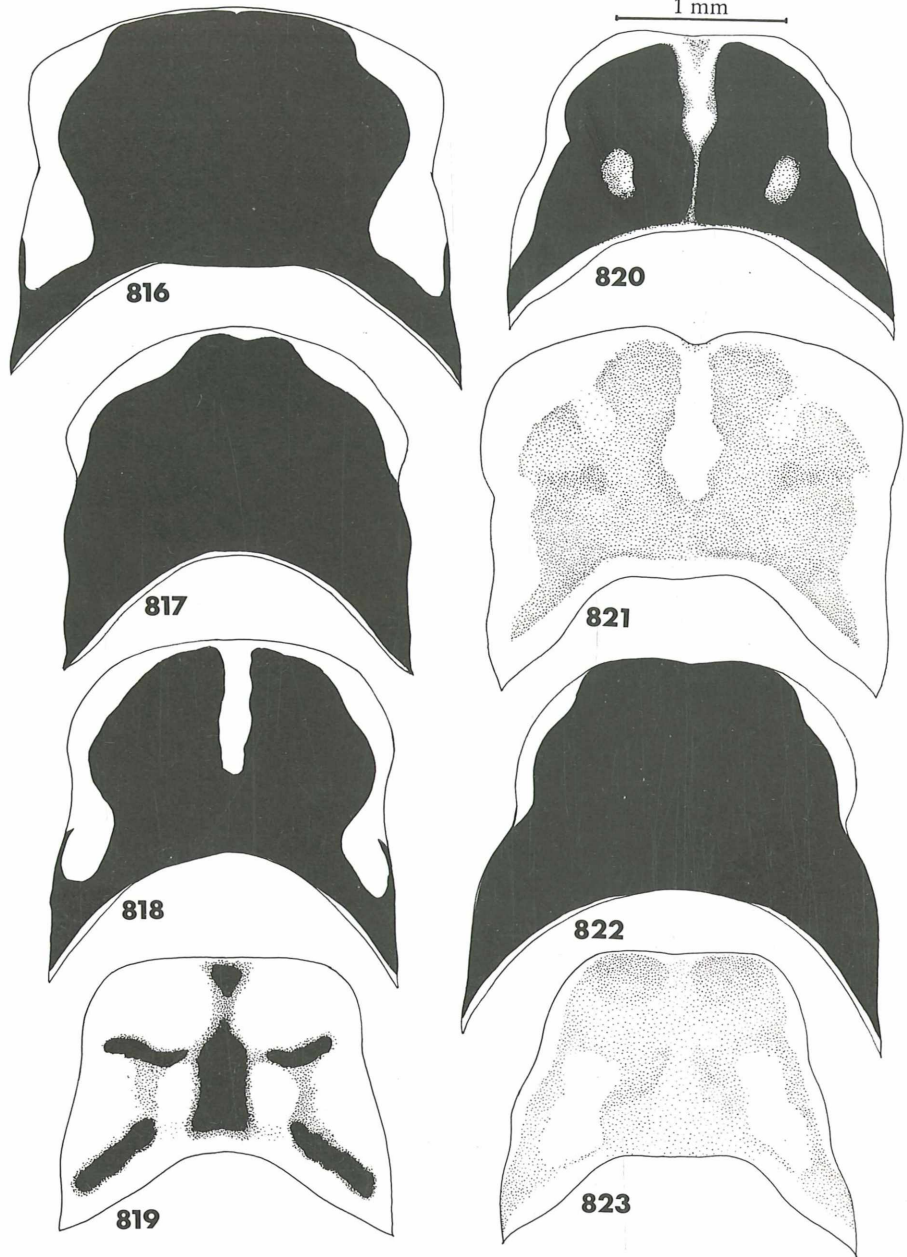


Abb. 816-823: Pronotum, dorsal, von — Abb. 816: *Myrmeleon (Myrmeleon) formicarius*, — Abb. 817: *M. (M.) gerlindae*, — Abb. 818: *M. (M.) noacki*, — Abb. 819: *M. (Morter) hyalinus*, — Abb. 820: *M. (M.) inconspicuus*, — Abb. 821: *M. (M.) immanis*, — Abb. 822: *M. (M.) bore*, — Abb. 823: *M. (M.) fasciatus*.

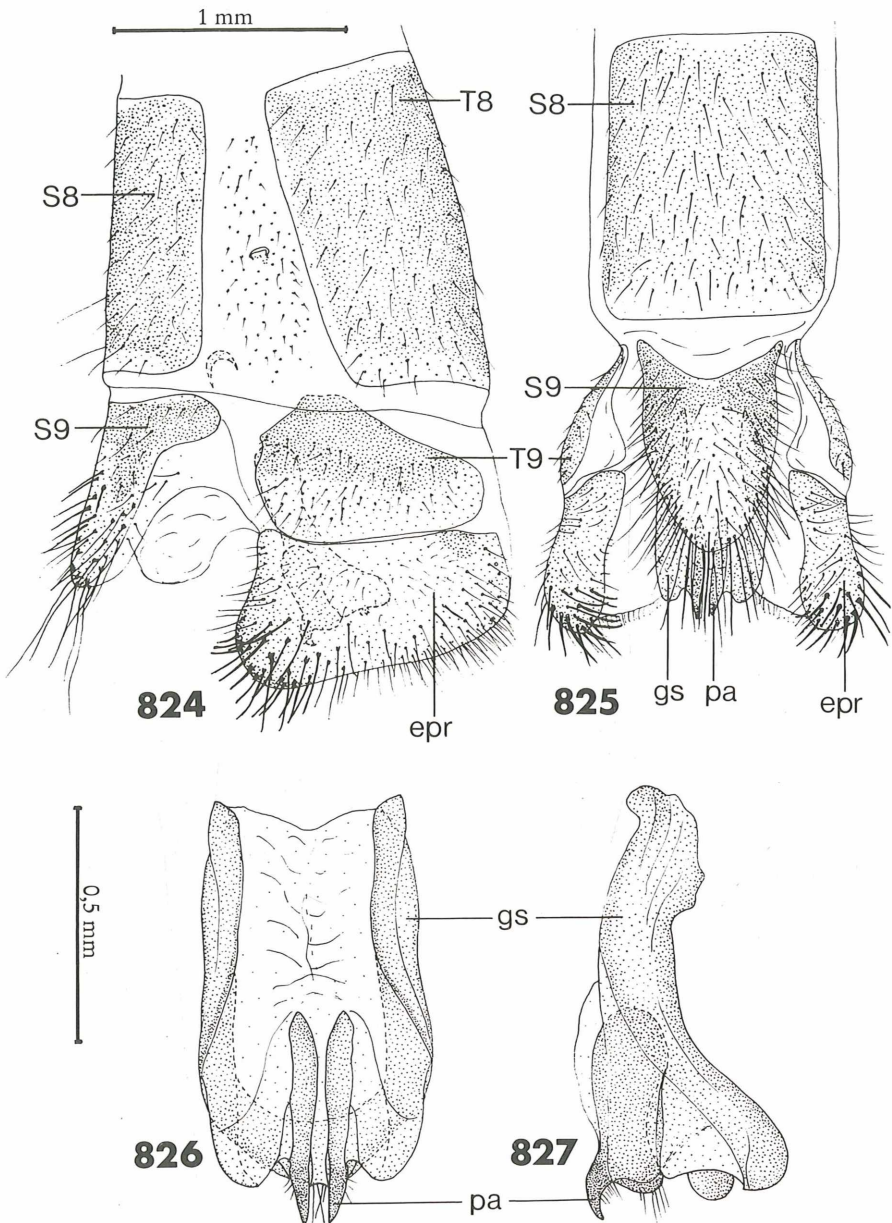


Abb. 824-827: *Myrmeleon (Morter) hyalinus*, ♂. — Abb. 824: Genitalsegmente, lateral und ventral. — Abb. 825: ventral. — Abb. 826: Gonarcus-Parameren-Komplex, ventral und — Abb. 827: lateral.

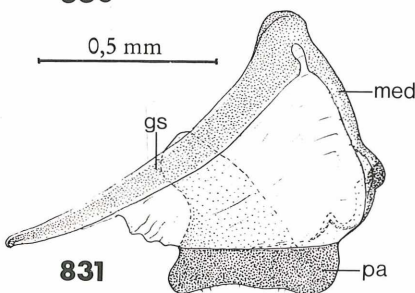
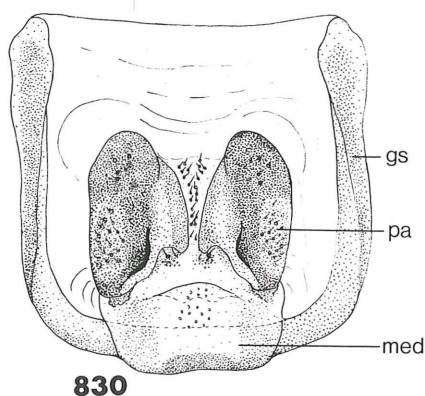
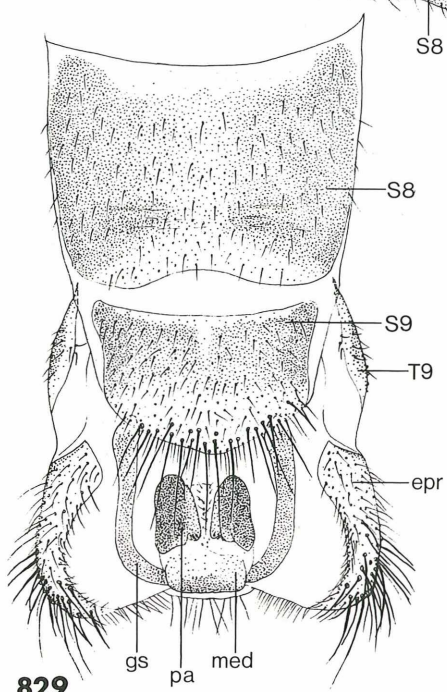
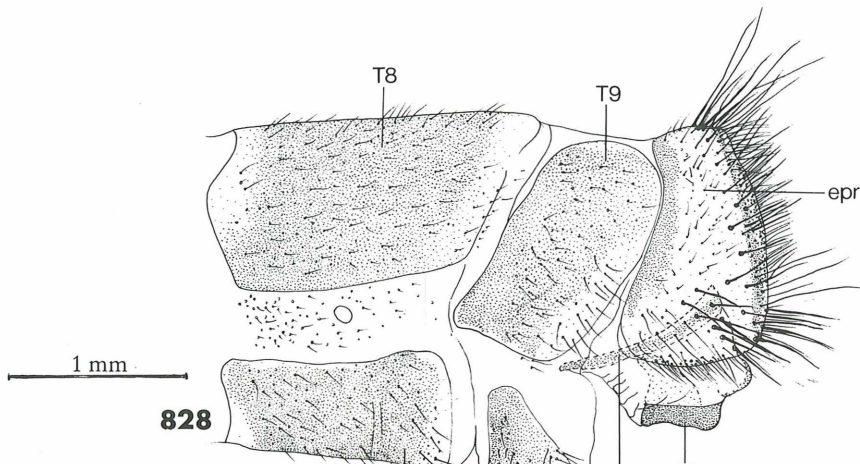
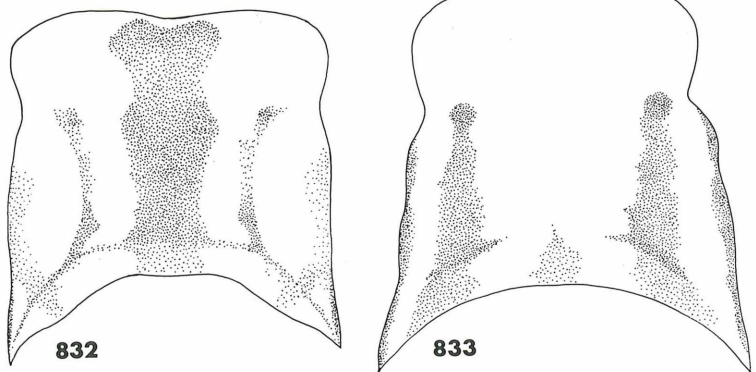


Abb. 828-831: *Euroleon nostras*, ♂. — Abb. 828: Genitalsegmente, lateral und — Abb. 829: ventral. — Abb. 830: Gonarcus-Parameren-Komplex, ventral und — Abb. 831: lateral.



1 mm

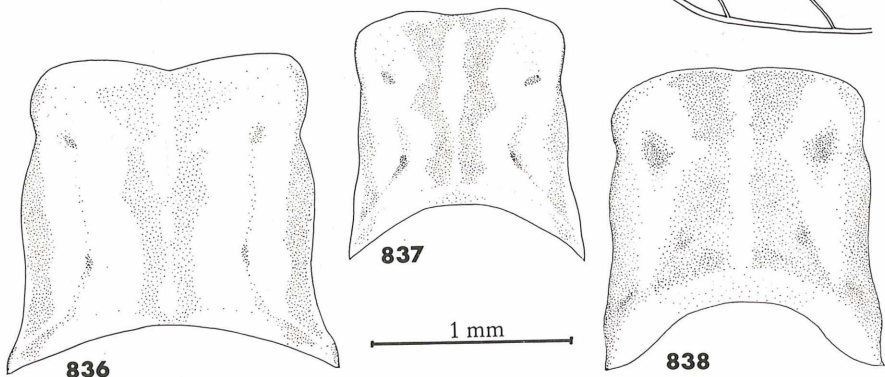
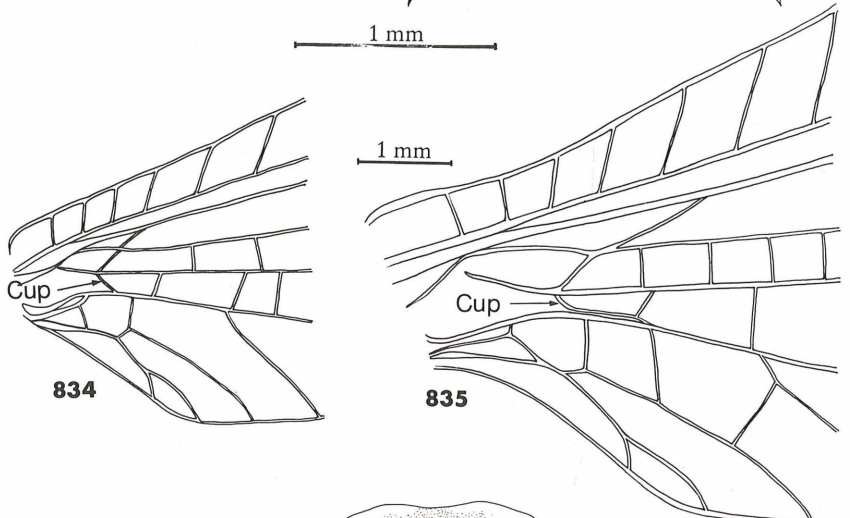


Abb. 832: Pronotum, dorsal, von *Macromermurus appendiculatus* und — Abb. 833: *M. bilineatus*. — Abb. 834: *Macromermurus appendiculatus*, Geäderausschnitt des Vorderflügels. — Abb. 835: *Distoleon tetragrammicus*, Geäderausschnitt des Vorderflügels. — Abb. 836-838: Pronotum, dorsal, von — Abb. 836: *Neuroleon arenarius*, — Abb. 837: *N. tenellus*, — Abb. 838: *N. ocreatus*.

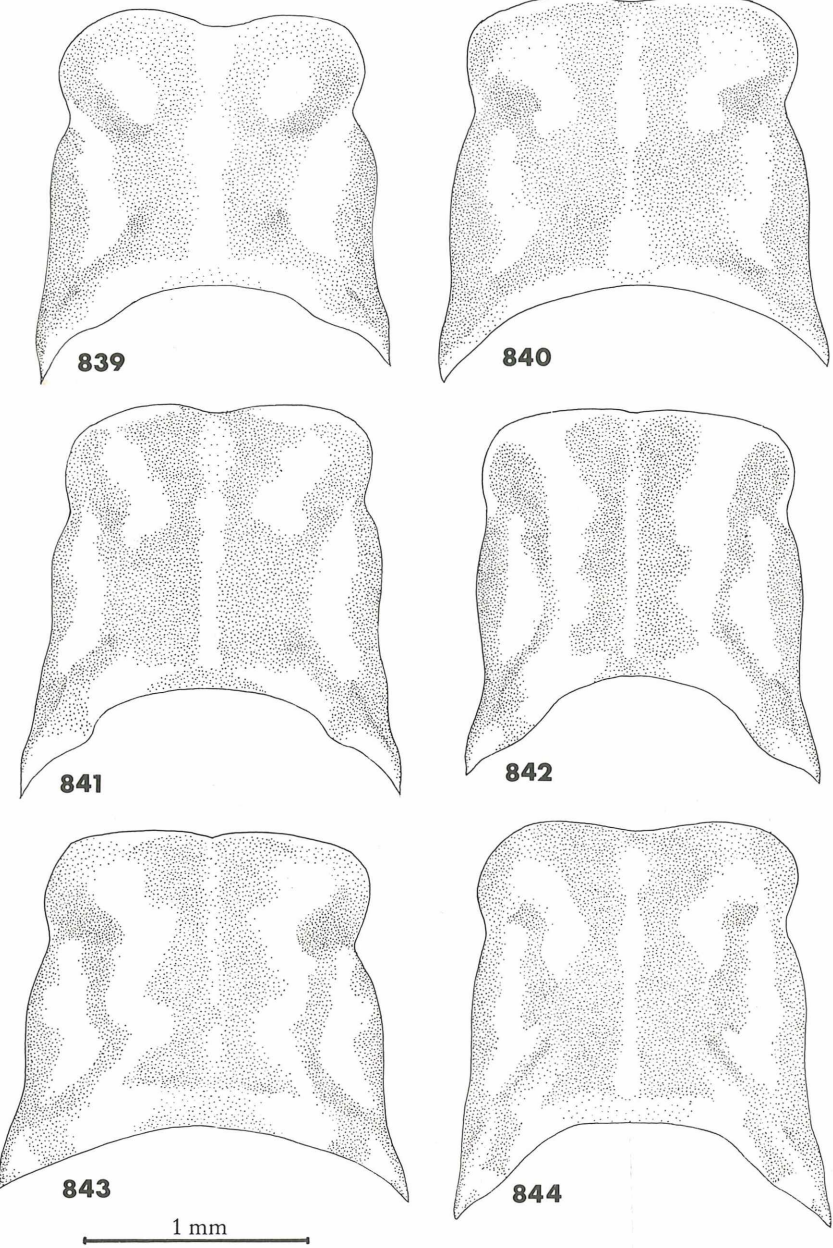
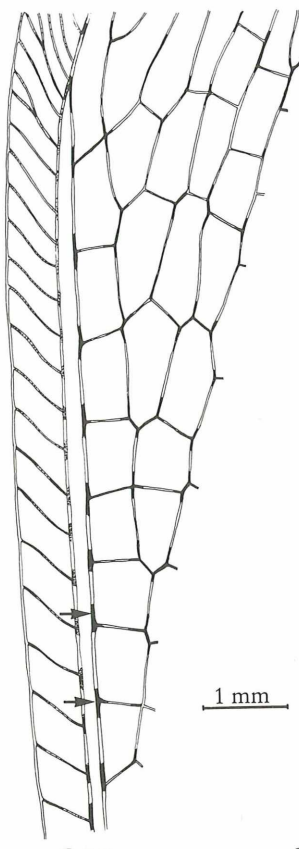
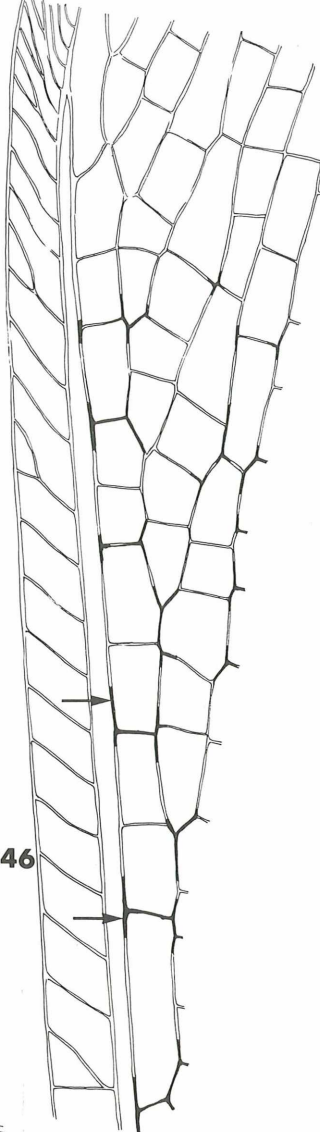


Abb. 839-844: Pronotum, dorsal, von — Abb. 839: *N. egenus*, — Abb. 840: *N. nemausiensis*, — Abb. 841,842: *N. assimilis*, — Abb. 843: *N. distichus*, — Abb. 844: *N. microstenus*.

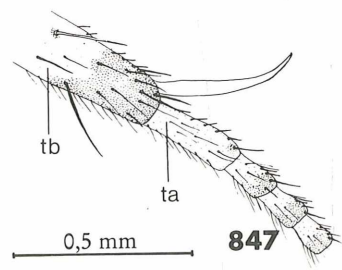


845

1 mm

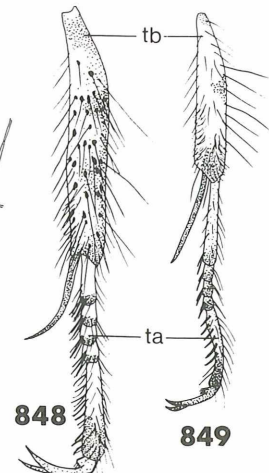


846



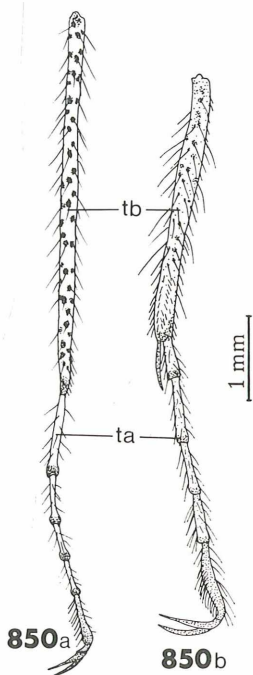
847

1 mm



848

849



850a

850b

Abb. 845: *Neuroleon tenellus*, Geäderausschnitt des Vorderflügels. — Abb. 846: *Neuroleon assimilis*, Geäderausschnitt des Vorderflügels. — Abb. 847: *Neuroleon tenellus*, Tibialsporn des Vorderbeins. — Abb. 848-850: Vorderbein von — Abb. 848: *Distoleon tetragrammicus*, — Abb. 849: *Nicarinus poecilopterus*, — Abb. 850a: *Gymnocnemia variegata*, — Abb. 850b: *Megistopus flavicornis*.

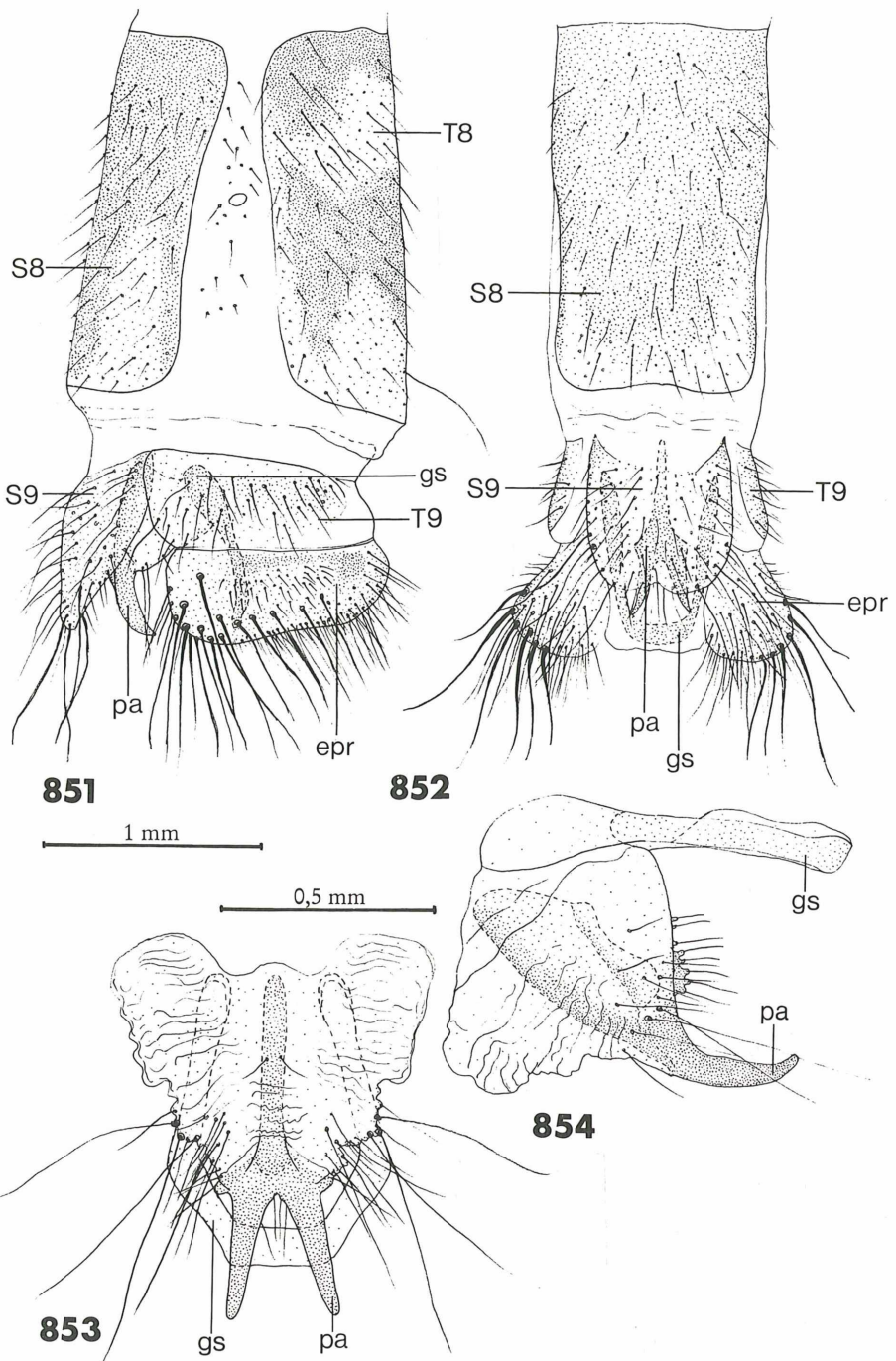
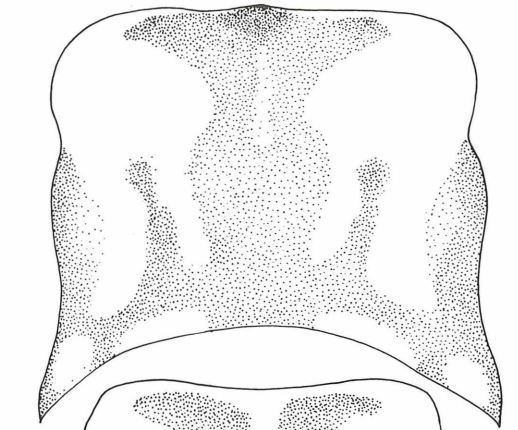
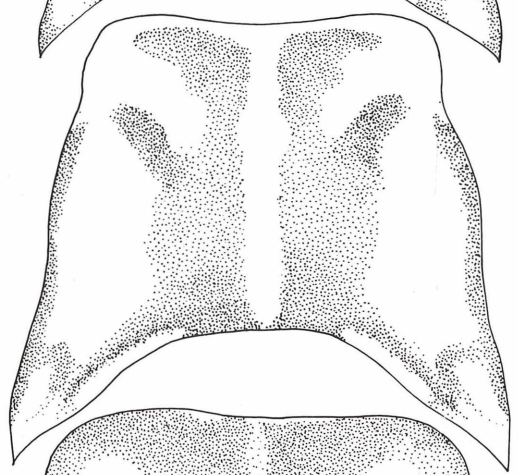


Abb. 851-854: *Distoleon annulatus*, ♂. — Abb. 851: Genitalsegmente, lateral und ventral. — Abb. 852: Gonarcus-Parameren-Komplex, lateral. — Abb. 853: Gonarcus-Parameren-Komplex, ventral. — Abb. 854: Gonarcus-Parameren-Komplex, lateral.

855



856



857

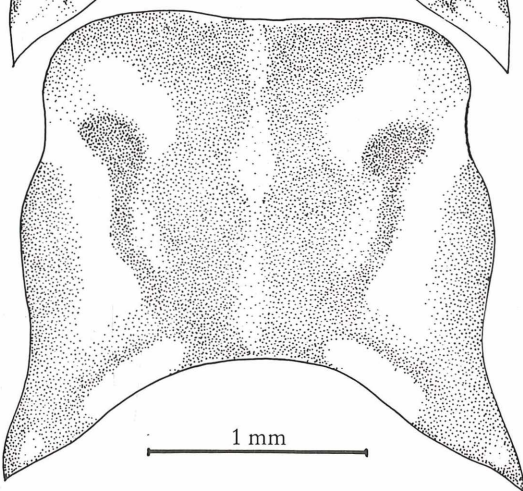


Abb. 855-857: Pronotum, dorsal, von — Abb. 855: *Creoleon lugdunensis*, — Abb. 856: *C. plumbeus*, — Abb. 857: *C. aegyptiacus*.

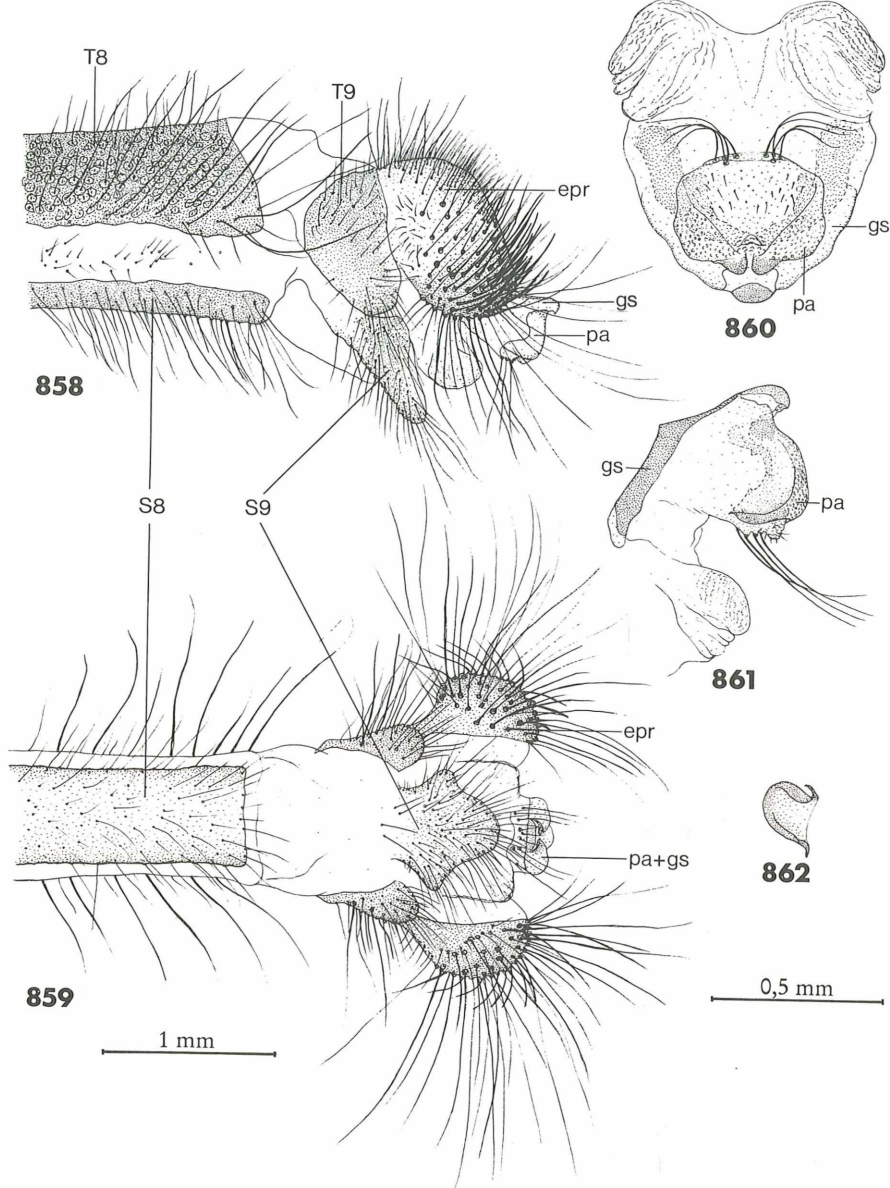


Abb. 858-862: *Nedroledon anatolicus*, ♂. — Abb. 858: Genitalsegmente, lateral und — Abb. 859: ventral. — Abb. 860: Gonarcus-Parameren-Komplex, ventral und — Abb. 861: lateral. — Abb. 862: Hypandrium internum, lateral.

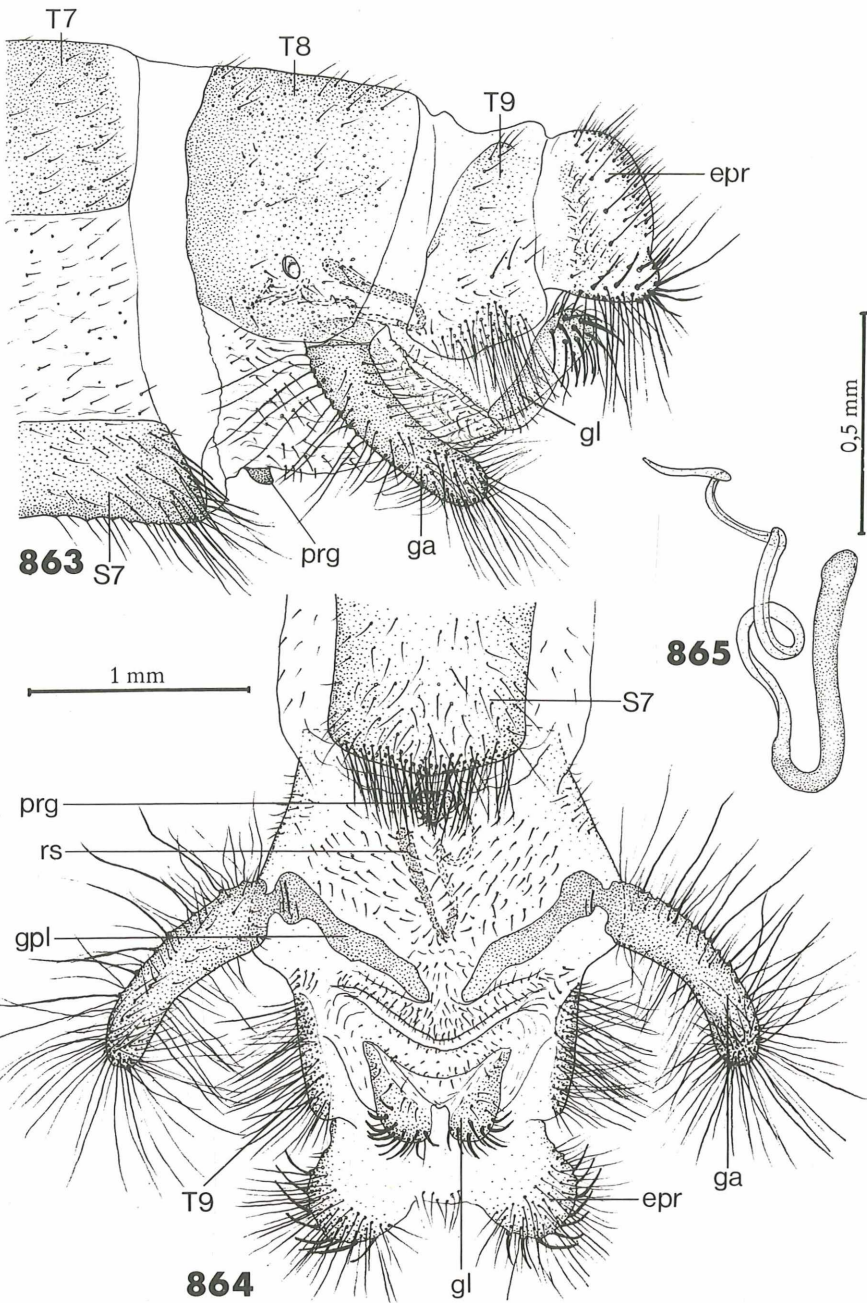


Abb. 863-865: *Nedroledon anatolicus*, ♀. — Abb. 863: Genitalsegmente, lateral und — Abb. 864: ventral. — Abb. 865: Receptaculum seminis.

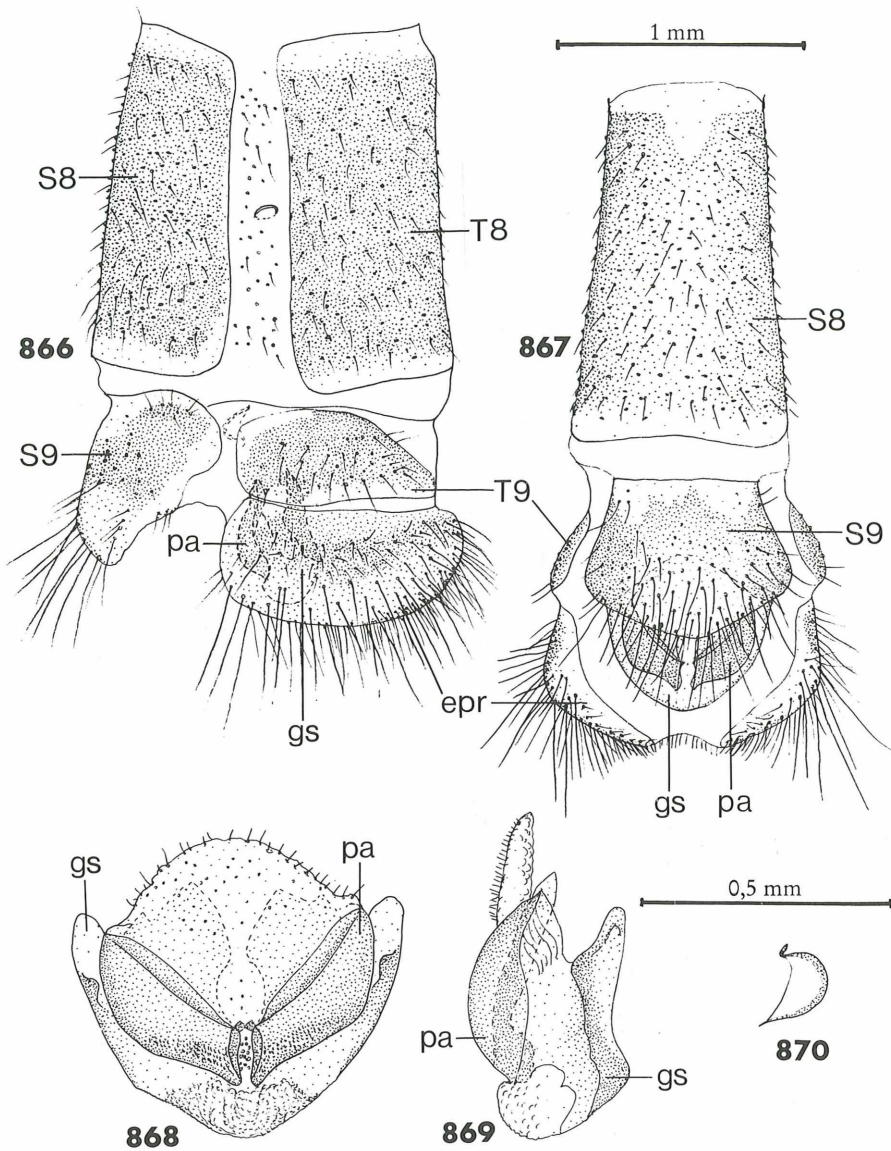


Abb. 866-870: *Megistopus flavicornis*, ♂. — Abb. 866: Genitalsegmente, lateral und — Abb. 867: ventral. — Abb. 868: Gonarcus-Parameren-Komplex, ventral und — Abb. 869: lateral. — Abb. 870: Hypandrium internum, lateral.

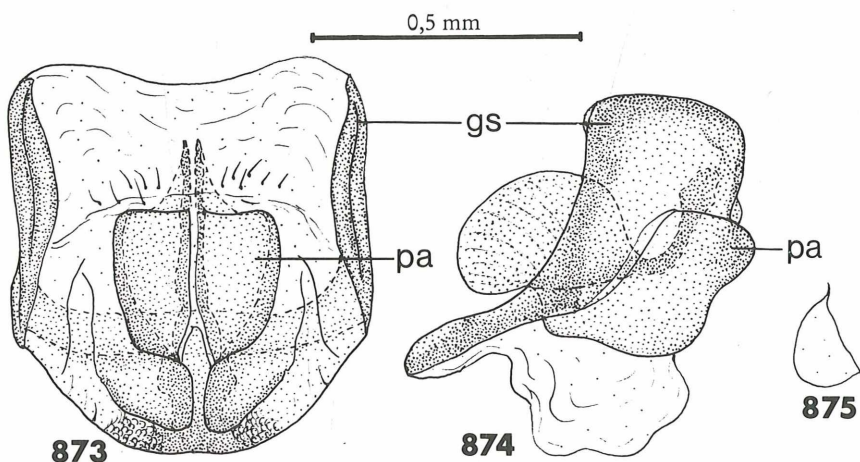
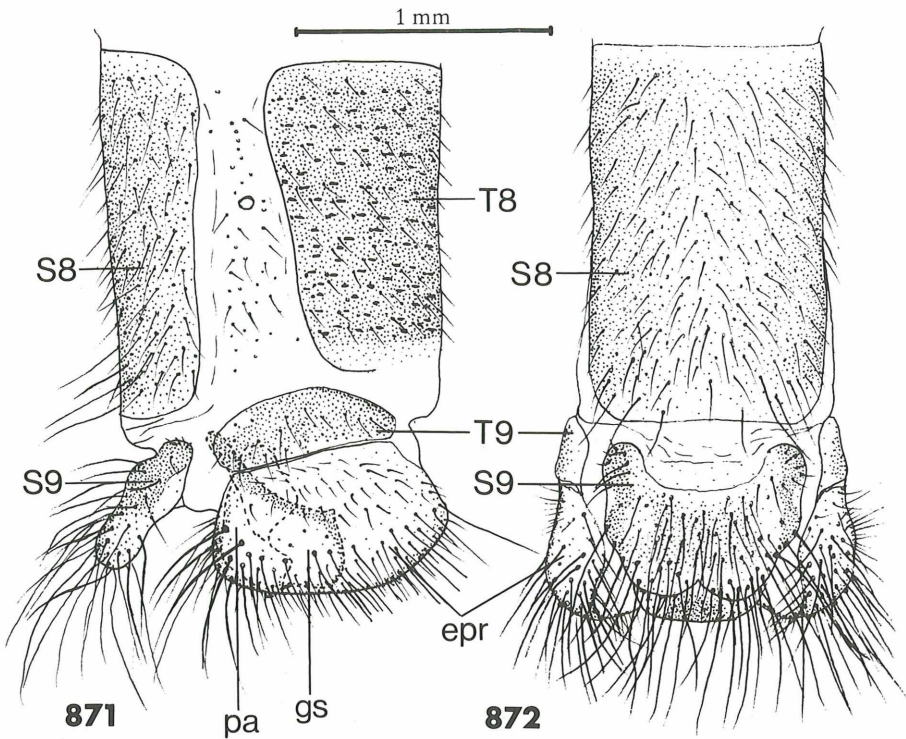


Abb. 871-875: *Gymnognemia variegata*, ♂. — Abb. 871: Genitalsegmente, lateral und — Abb. 872: ventral. — Abb. 873: Gonarcus-Parameren-Komplex, ventral und — Abb. 874: lateral. — Abb. 875: Hypandrium internum, lateral.

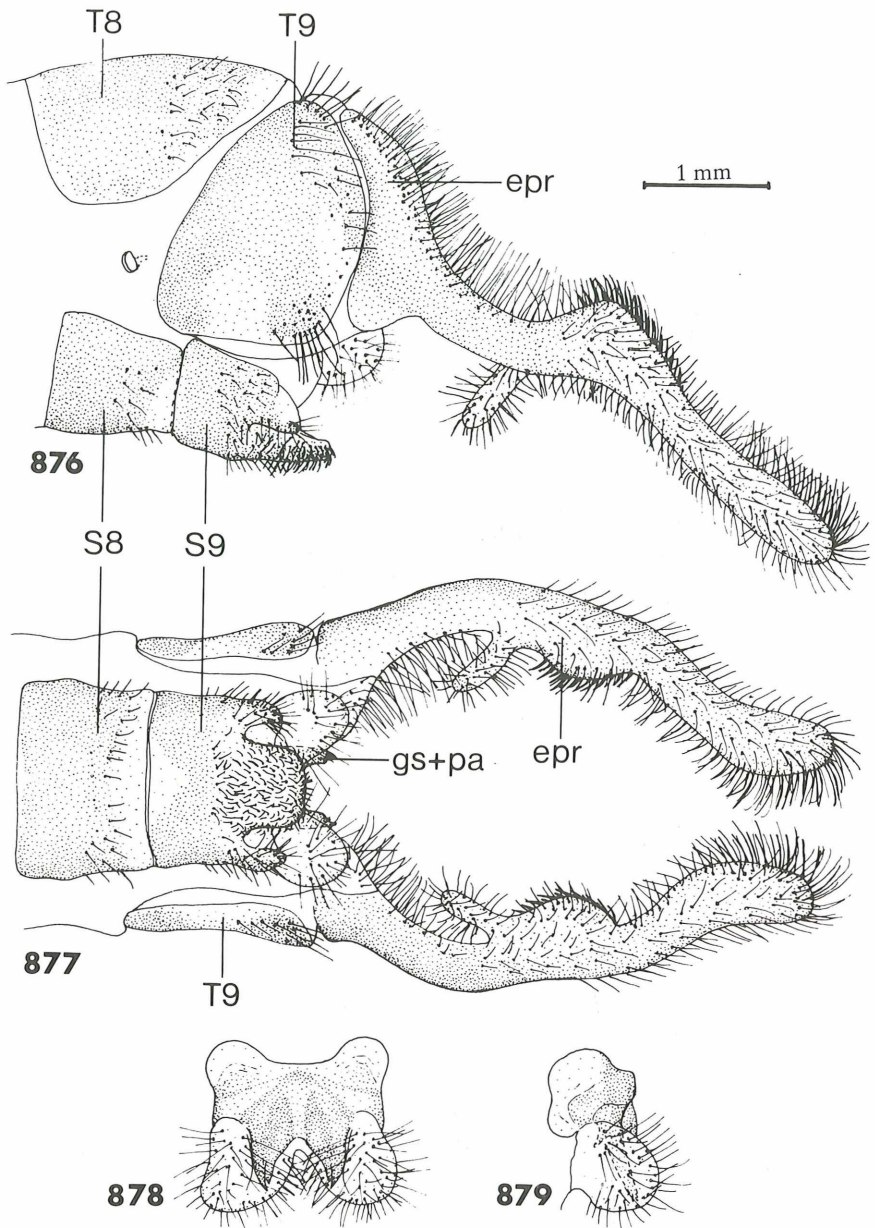


Abb. 876-879: *Bubopsis agrioides*, ♂. — Abb. 876: Genitalsegmente, lateral und — Abb. 877: ventral. — Abb. 878: Gonarcus-Parameren-Komplex, ventral und — Abb. 879: lateral.

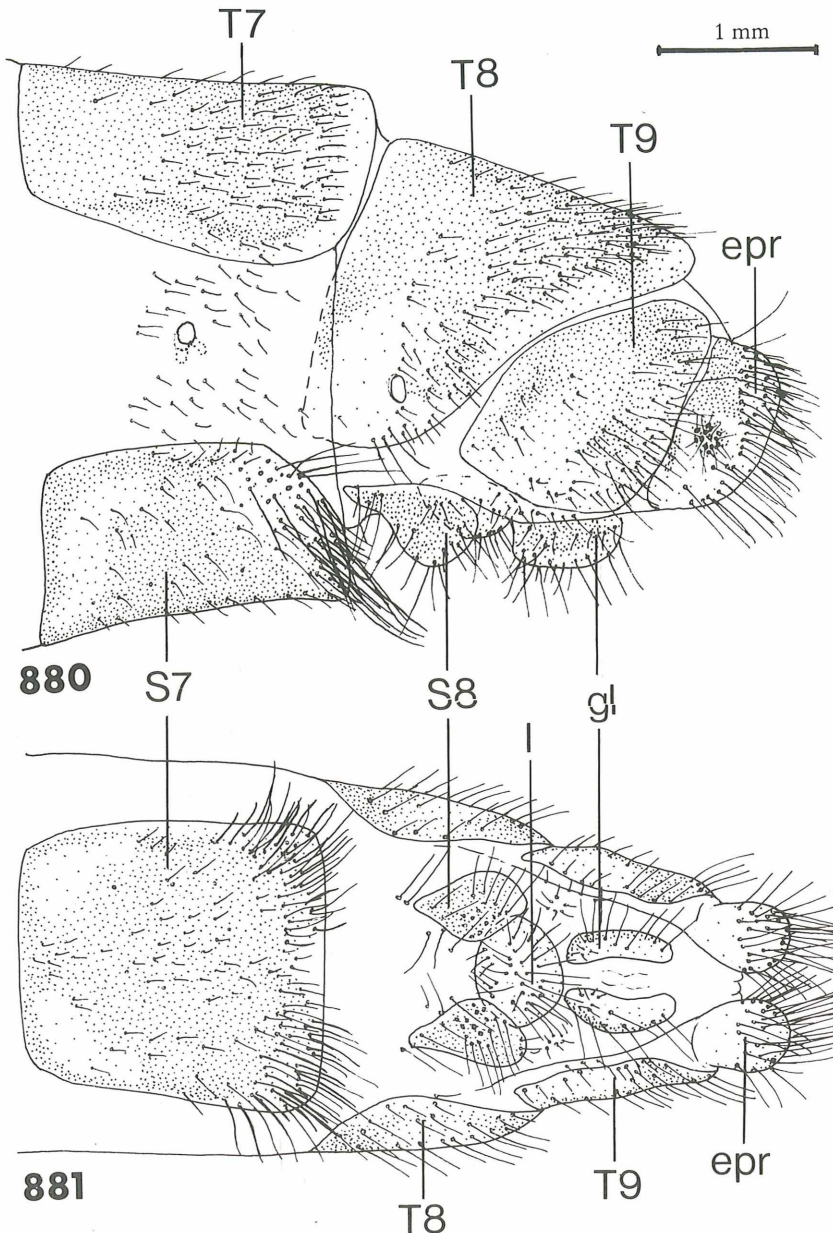


Abb. 880: *Bubopsis agrioides*, ♀ Genitalsegmente, lateral und — Abb. 881: ventral.

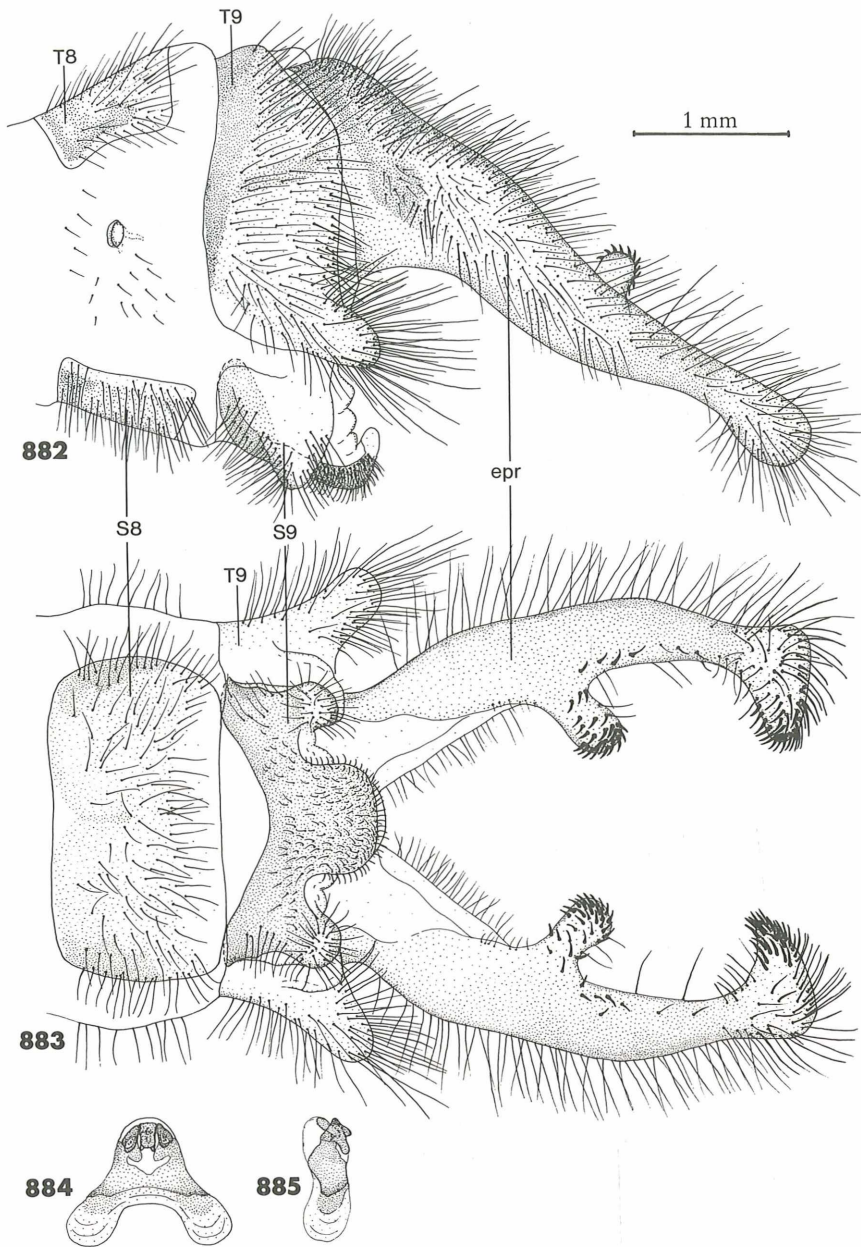


Abb. 882-885: *Deleproctophylla dusmeti*, ♂. — Abb. 882: Genitalsegmente, lateral und — Abb. 883: ventral. — Abb. 884: Gonarcus-Parameren-Komplex, ventral und — Abb. 885: lateral.

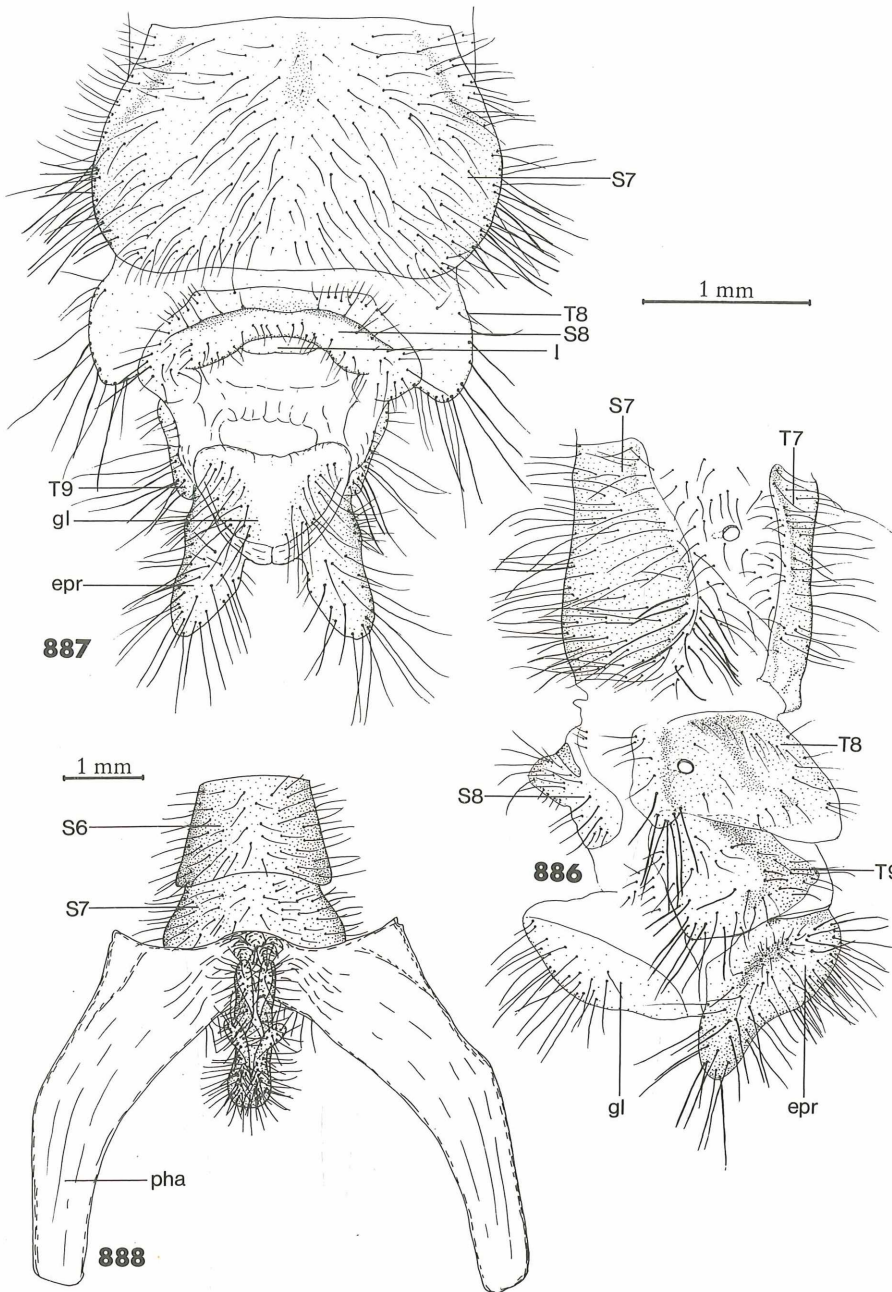
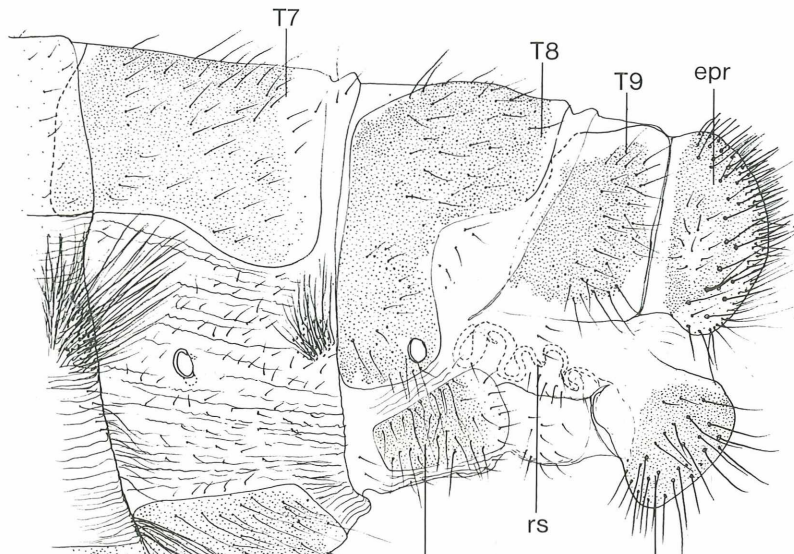
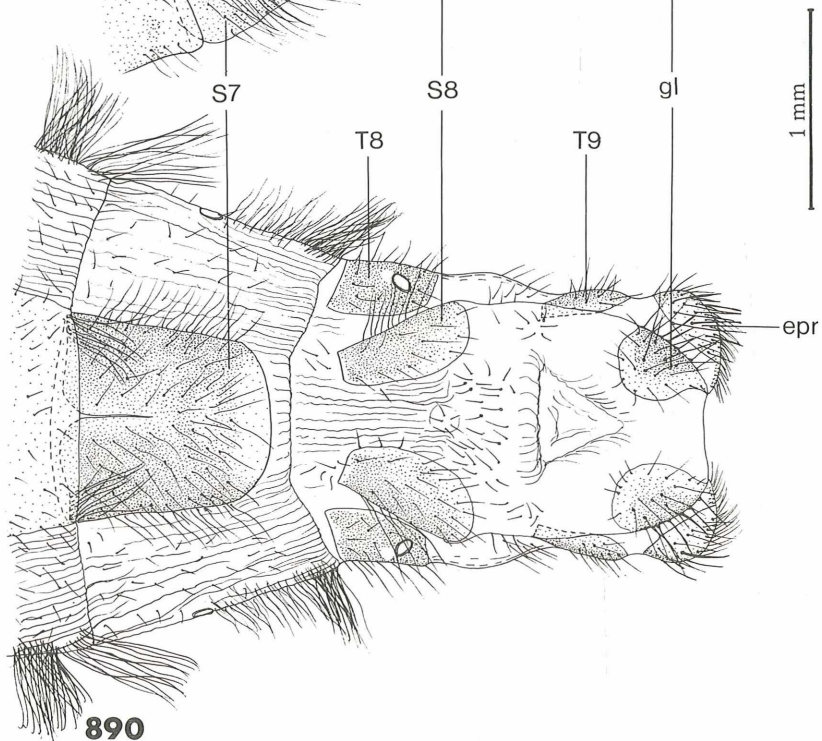


Abb. 886: *Deleproctophylla dusmeti*, ♀ Genitalsegmente, lateral und — Abb. 887: ventral.
— Abb. 888: *Deleproctophylla australis*, ♀ Genitalsegmente mit Phylla, ventral (nicht mazieriert).



889



890

Abb. 889: *Puer maculatus*, ♀ Genitalsegmente, lateral und — Abb. 890: ventral.

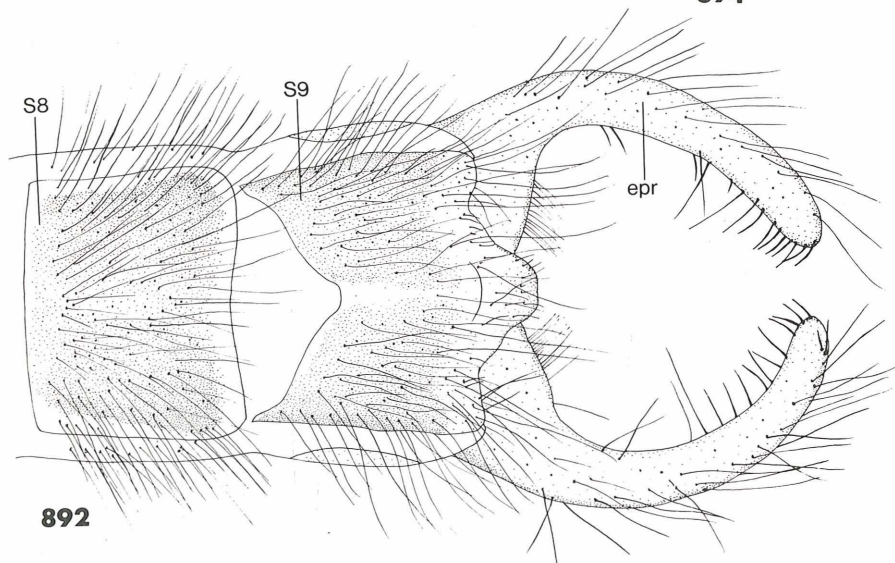
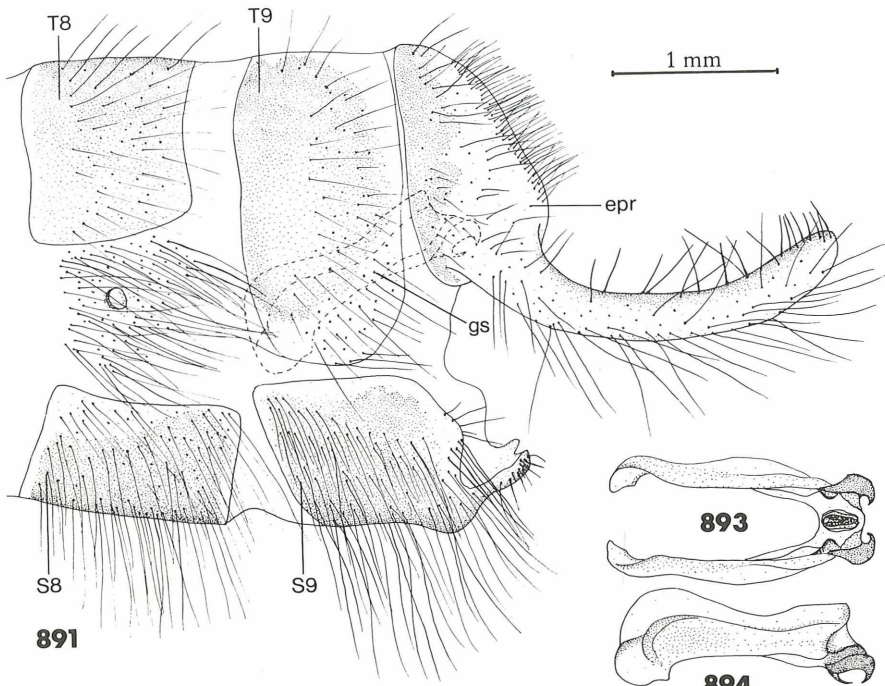


Abb. 891-894: *Libelloides ictericus ictericus*, ♂. — Abb. 891: Genitalsegmente, lateral und —
 Abb. 892: ventral. — Abb. 893: Gonarcus-Parameren-Komplex, ventral und — Abb. 894:
 lateral.

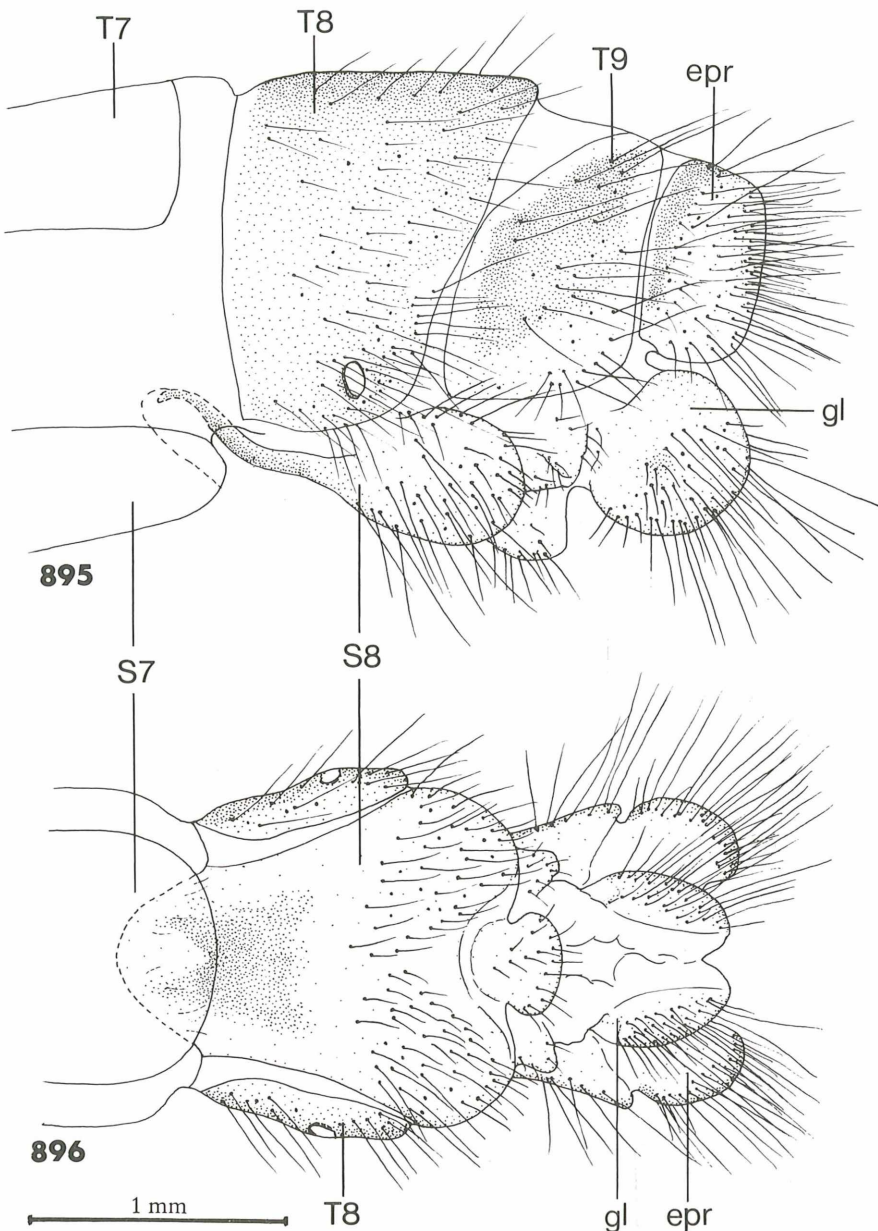
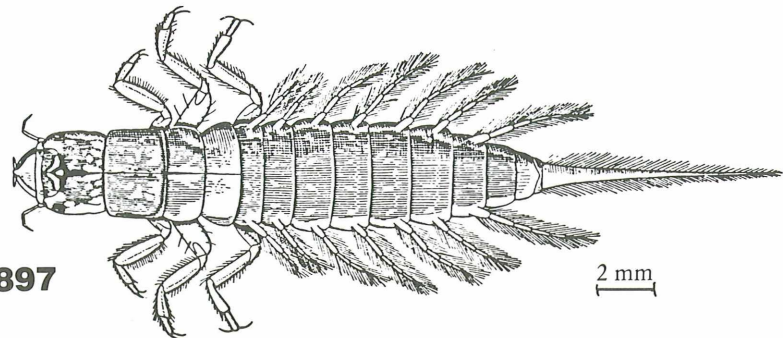


Abb. 895: *Libelloides ictericus ictericus*, ♀ Genitalsegmente, lateral und — Abb. 896: ventral.



897

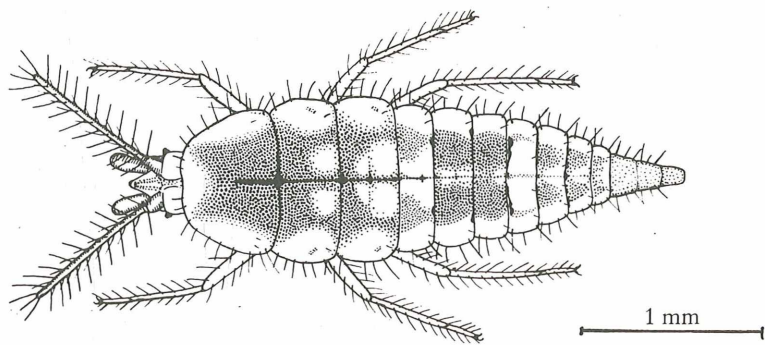
2 mm

898

2 mm

899

2 mm



900

1 mm

Abb. 897: Erwachsene Larve von *Sialis fuliginosa* (Sialidae) (nach ELLIOTT 1977). — Abb. 898: Erwachsene Larve von *Raphidia (Puncha) ratzeburgi* (Raphidiidae). — Abb. 899: Erwachsene Larve von *Inocellia (Parainocellia) braueri* (Inocelliidae). — Abb. 900: 3. Larvenstadium von *Conwentzia* sp. (Coniopterygidae) (nach WITHERYCOMBE 1923a).

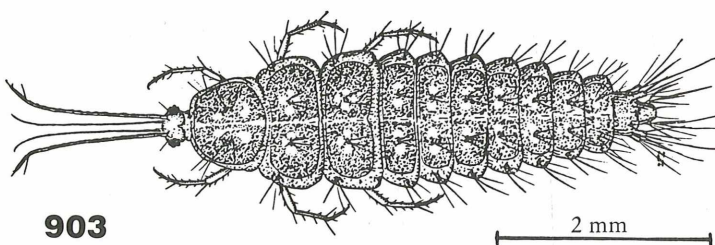
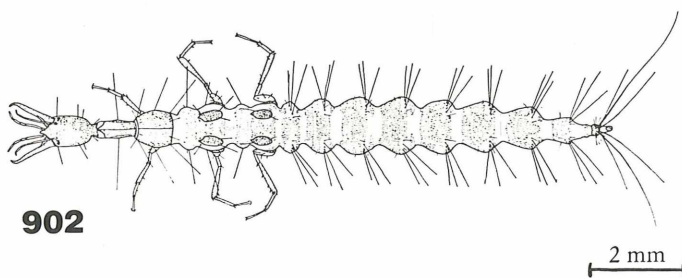
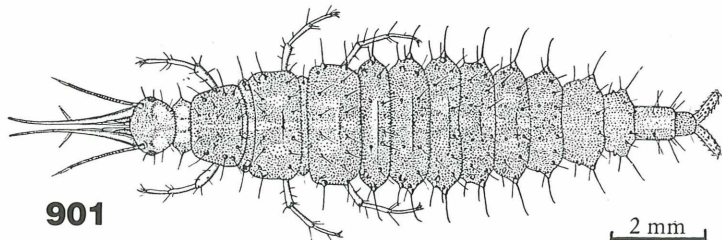


Abb. 901: 3. Larvenstadium von *Osmylus fulvicephalus* (Osmylidae) (nach KILLINGTON 1936). — Abb. 902: 3. Larvenstadium von *Neurorthus fallax* (Neurorthidae) (nach ZWICK 1967). — Abb. 903: 3. Larvenstadium von *Sisyra fuscata* (Sisyridae) (nach WITHYCOMBE 1923 a).

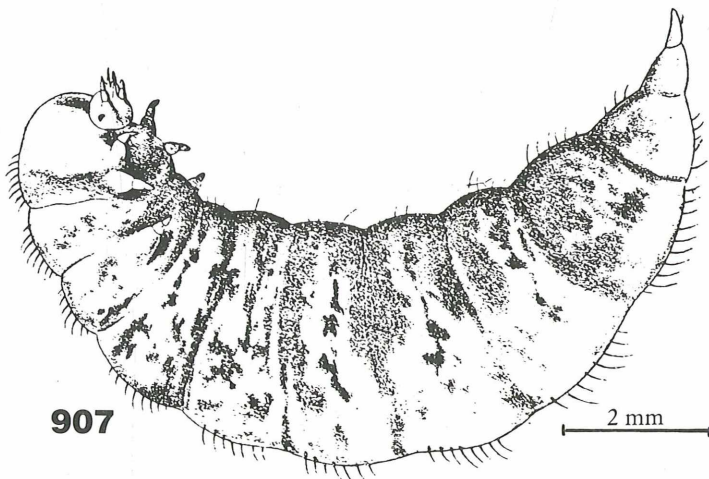
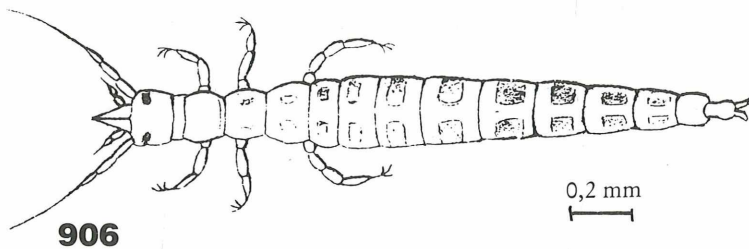
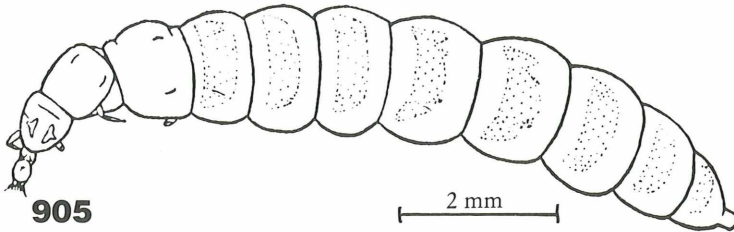
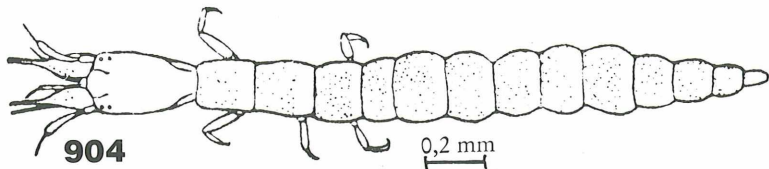
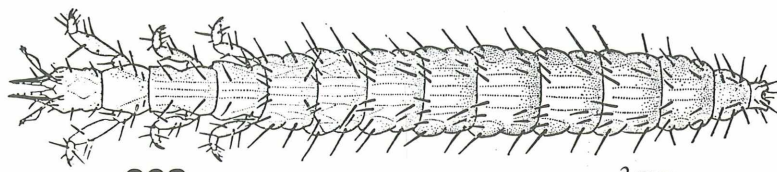
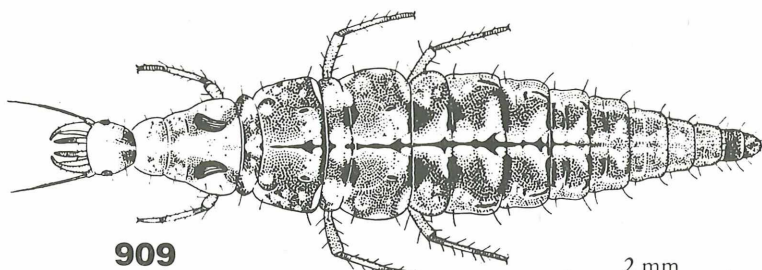


Abb. 904: 1. Larvenstadium von *Lomamyia* sp. (Berothidae) (nach GURNEY 1947). — Abb. 905: 2. Larvenstadium von *Lomamyia* sp. (Berothidae) (nach GURNEY 1947). — Abb. 906: 1. Larvenstadium von *Mantispa styriaca* (Mantispidae) (nach BRAUER 1866). — Abb. 907: Erwachsene Larve von *Mantispa styriaca* (Mantispidae) (nach BRAUER 1866).



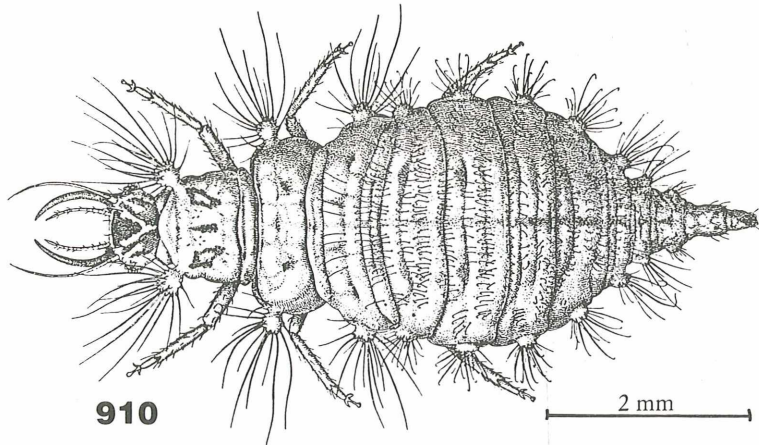
908

2 mm



909

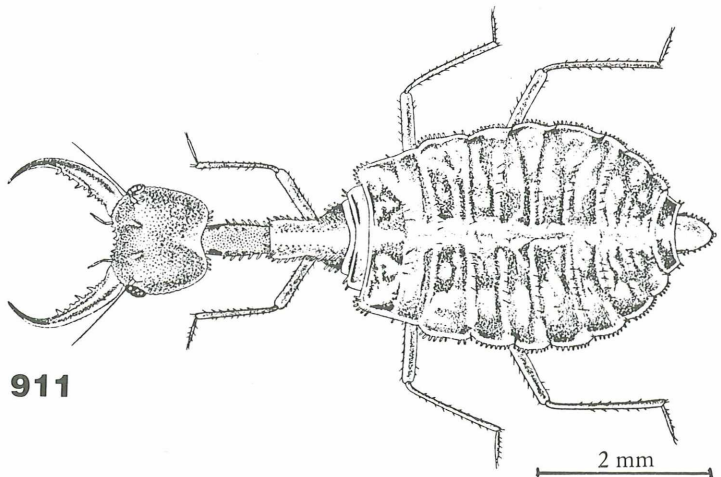
2 mm



910

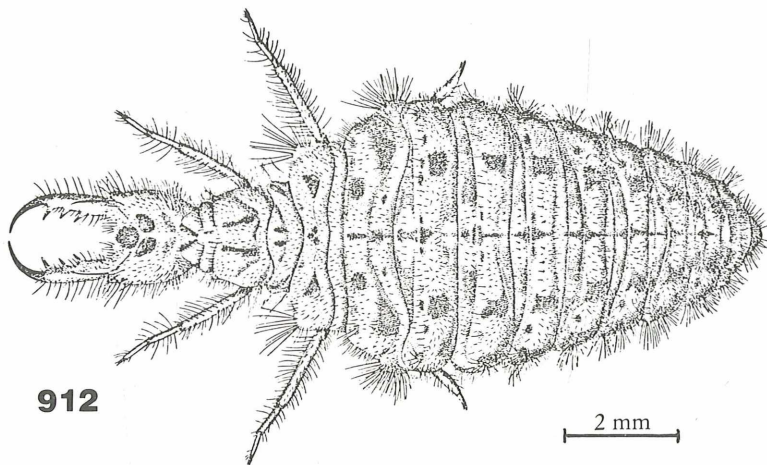
2 mm

Abb. 908: 3. Larvenstadium von *Dilar turcicus* (Dilaridae) (nach GHILAROV 1962). — Abb. 909: 3. Larvenstadium von *Wesmaelius nervosus* (Hemerobiidae) (nach KILLINGTON 1936). — Abb. 910: 3. Larvenstadium von *Anisochrysa flavifrons* (Chrysopidae) (nach PRINCIPI 1956).



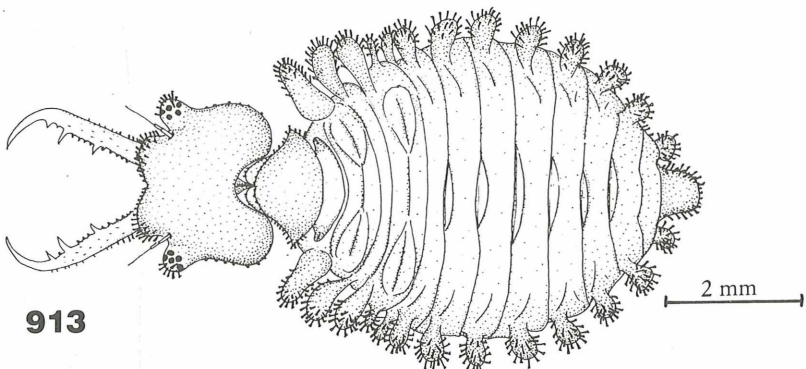
911

2 mm



912

2 mm

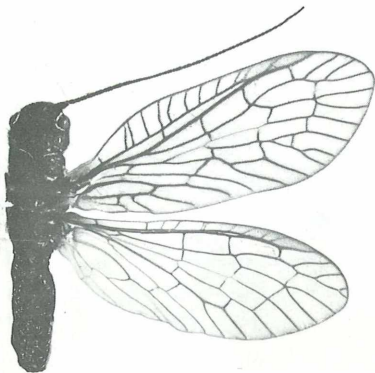


913

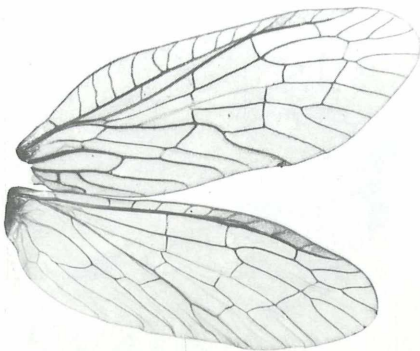
2 mm

Abb. 911: 3. Larvenstadium von *Croce filipennis* (Nemopteridae) (nach IMMS 1911). — Abb. 912: 3. Larvenstadium von *Myrmeleon (Morter) inconspicuus* (Myrmeleontidae) (nach PRINCIPI 1943). — Abb. 913: 3. Larvenstadium von Ascalaphidae gen. sp.

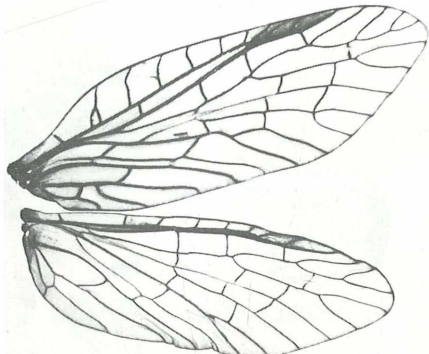
Sialidae: *Sialis*



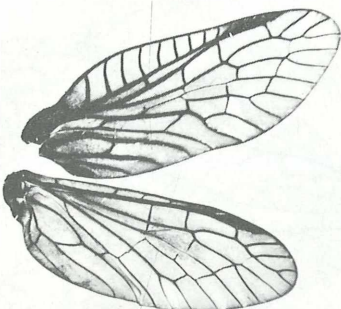
F. 1: *S. lutaria*



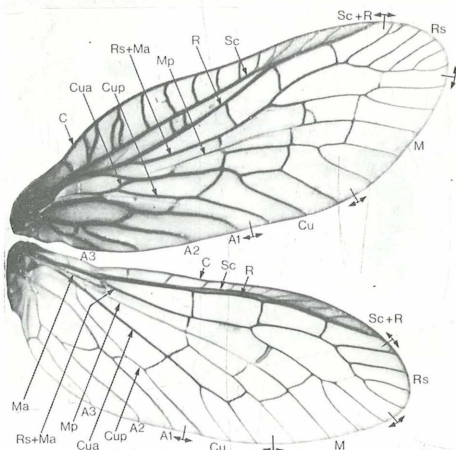
F. 2: *S. morio*



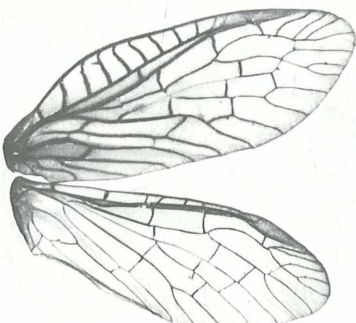
F. 3: *S. sordida*



F. 4: *S. nigripes*

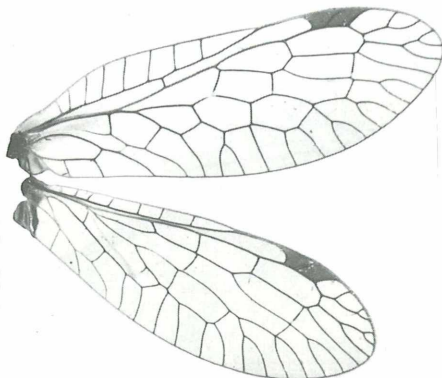


F. 5: *S. fuliginosa*

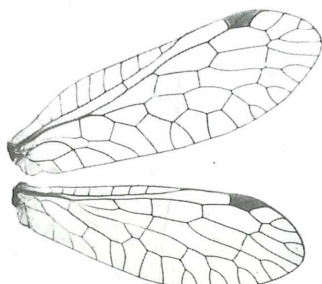


F. 6: *S. sibirica*

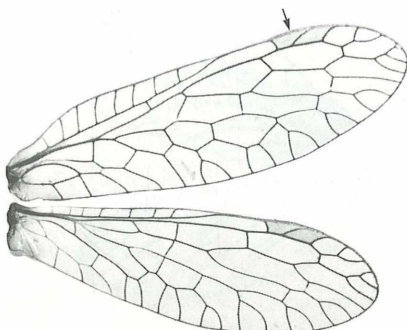
10 mm



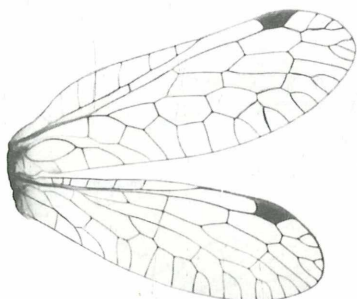
F. 7: R. (Raphidia) ophiopsis ophiopsis



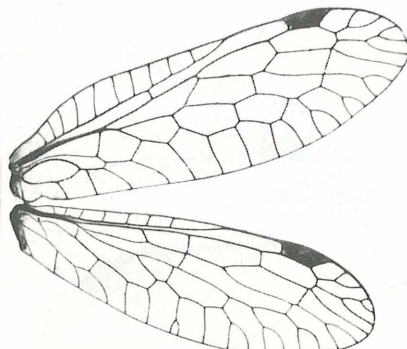
F. 8: R. (Raphidia) o. mediterranea



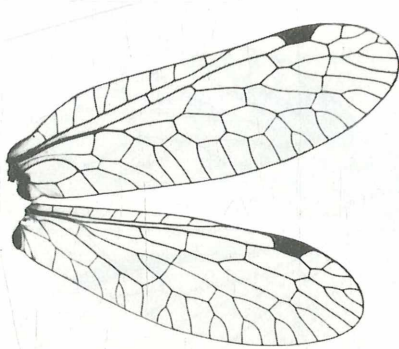
F. 9: R. (Raphidia) o. alcoholica



F. 10: R. (Raphidia) beieri

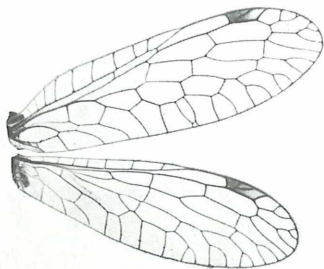


F. 11: R. (Raphidia) peterressli

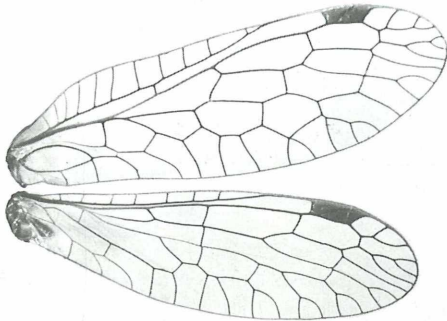


F. 12: R. (Raphidia) ambigua

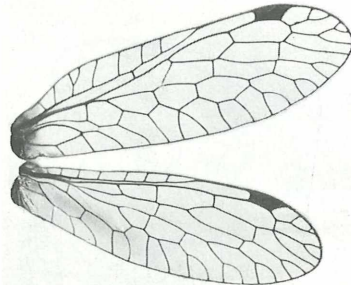
10 mm



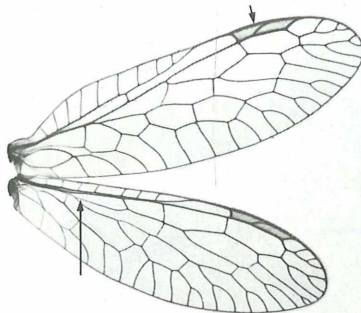
F. 13: *R. (Raphidia) ariadne*



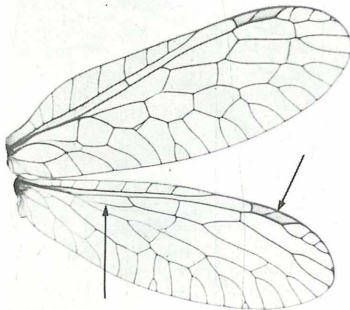
F. 14: *R. (Raphidia) ulrikae*



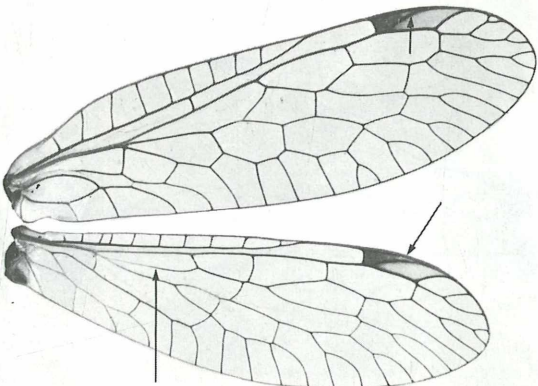
F. 15: *R. (Raphidia) huettingeri*



F. 16: *R. (Raphidia) ligurica*

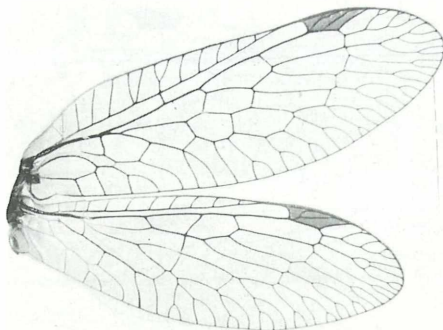


F. 17: *R. (Pretzmannia) euxina*

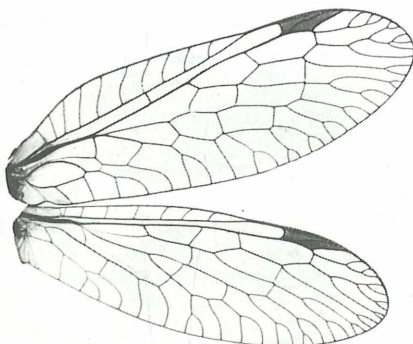


F. 18: *R. (Dichrostigma) flavipes*

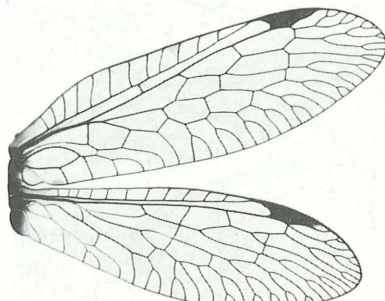
— 10 mm —



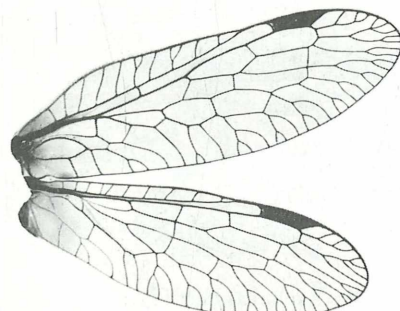
F. 19: R. (Phaeostigma) notata



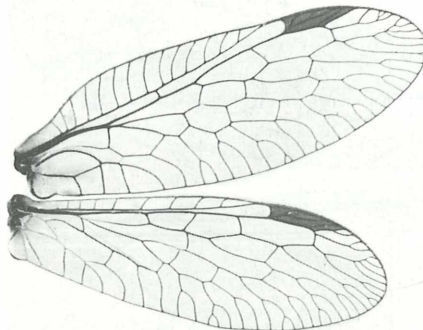
F. 20: R. (Phaeostigma) italogallica



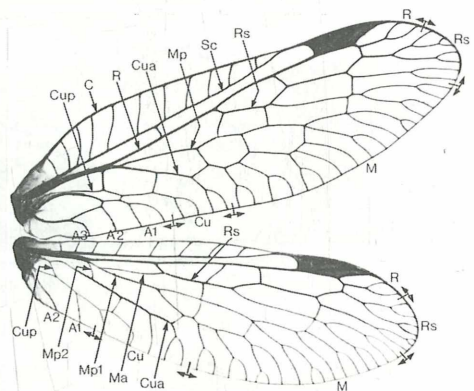
F. 21: R. (Phaeostigma) galloitalica



F. 22: R. (Phaeostigma) euboica

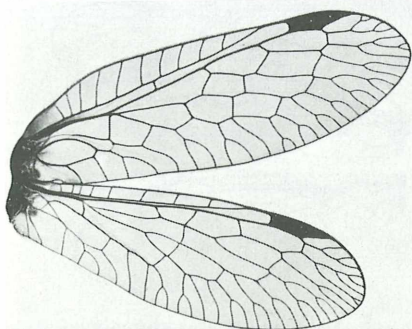


F. 23: R. (Phaeostigma) pilicollis

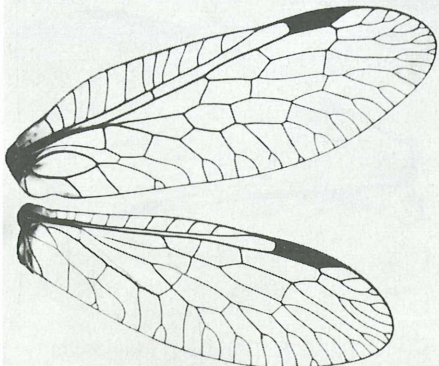


F. 24: R. (Magnoraphidia) major

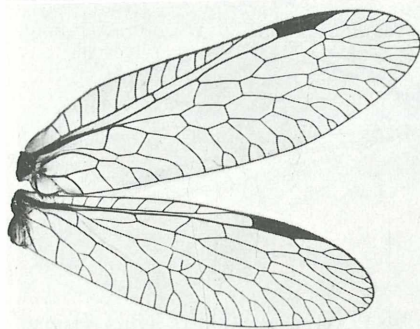
10 mm



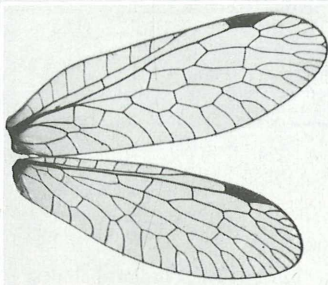
F. 25: R. (Magnoraphidia) flammi



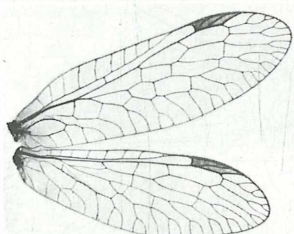
F. 26: R. (Magnoraphidia) horticola



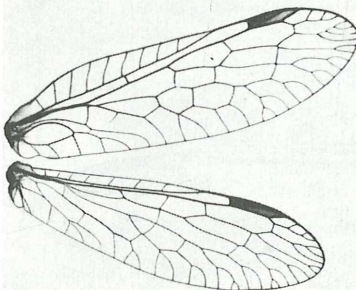
F. 27: R. (Magnoraphidia) wewalkai



F. 28: R. (Phidiara) grandii



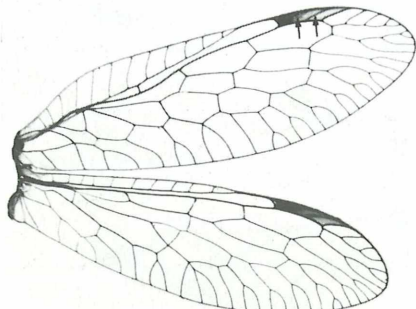
F. 29: R. (Phidiara) biroi



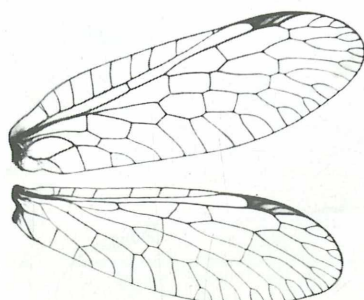
F. 30: R. (Phidiara) raddai

— 10 mm —

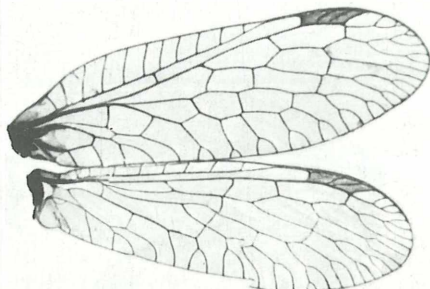
Raphidiidae: Raphidia



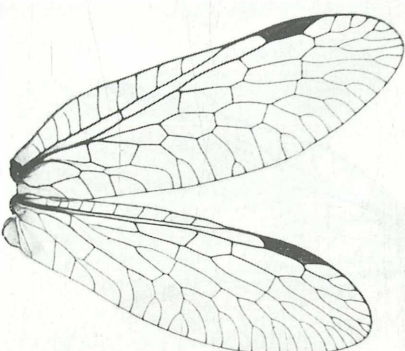
F. 31: R. (Phidiara) longicauda



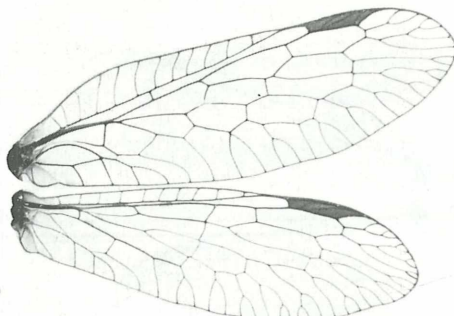
F. 32: R. (Phidiara) klimeschi



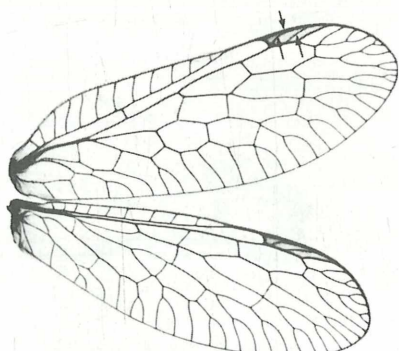
F. 33: R. (Phidiara) thaleri



F. 34: R. (Graecoraphidia) divina retsinata

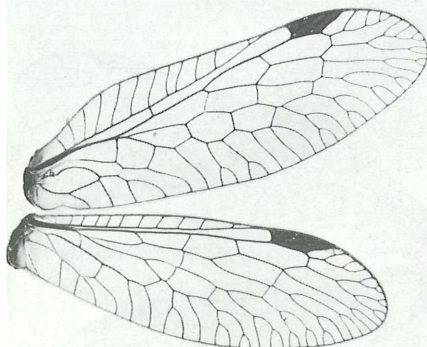


F. 35: R. (Graecoraphidia) hoelzeli

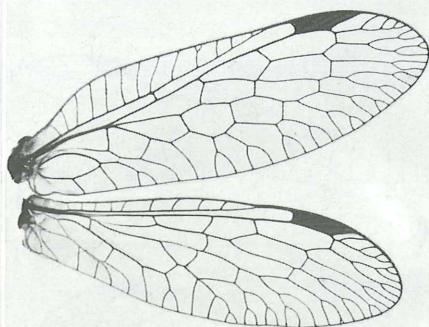


F. 36: R. (Superboraphidia) auberti

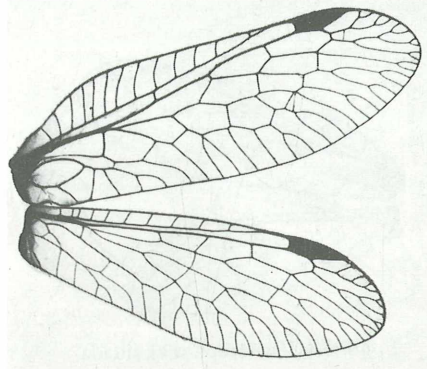
10 mm



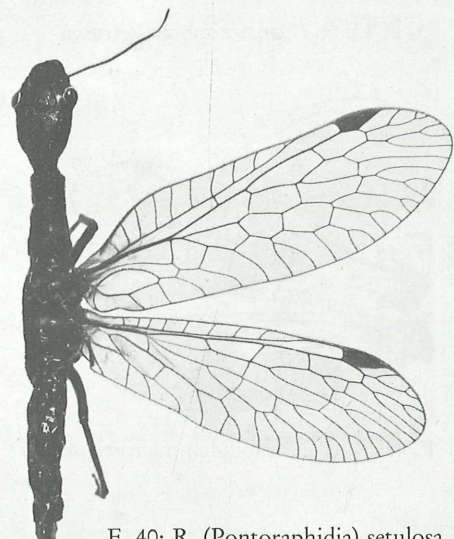
F. 37: R. (Superboraphidia) mammaphila



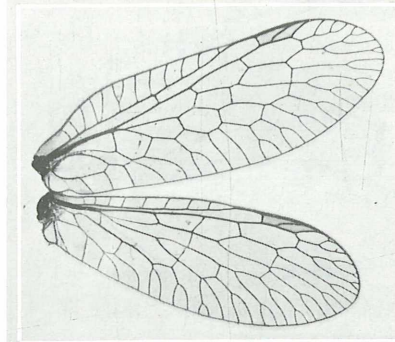
F. 38: R. (Superboraphidia) rauschi



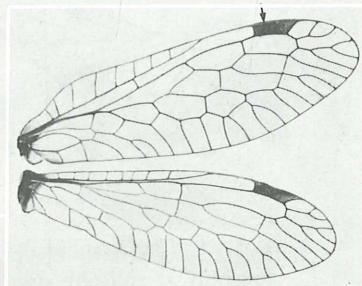
F. 39: R. (Pontoraphidia) rhodopica



F. 40: R. (Pontoraphidia) setulosa



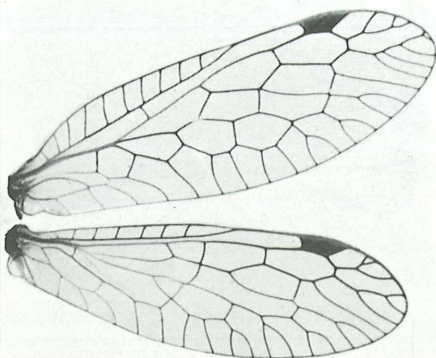
F. 41: R. (Miroraphidia) curvatula



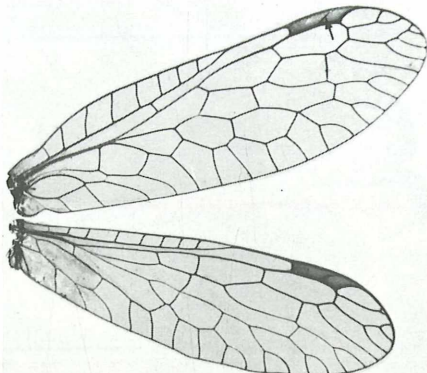
F. 42: R. (Turcoraphidia) amara

10 mm

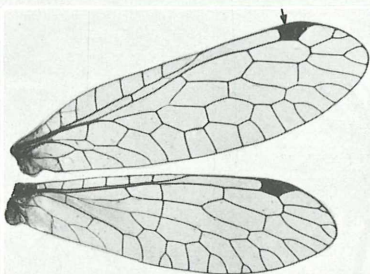
Raphidiidae: Raphidia



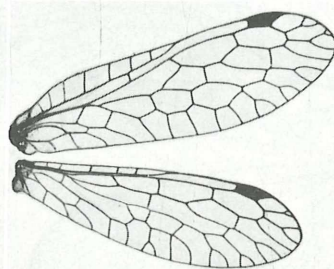
F. 43: *R. (Ornatoraphidia) etrusca*



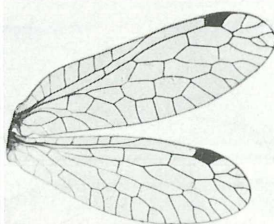
F. 44: *R. (Ornatoraphidia) christianodagmara*



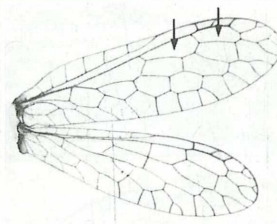
F. 45: *R. (Parvoraphidia) microstigma*



F. 46: *R. (Parvoraphidia) aluada*

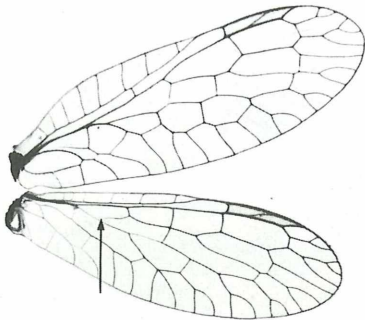


F. 47: *R. (Parvoraphidia) aphaphlyxe aphaphlyxe*

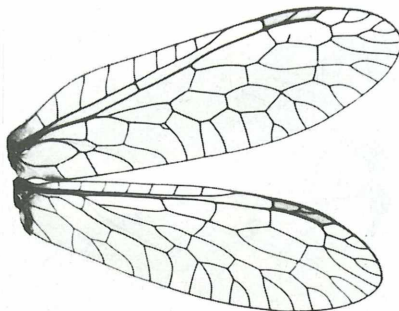


F. 48: *R. (Ulrike) attica*

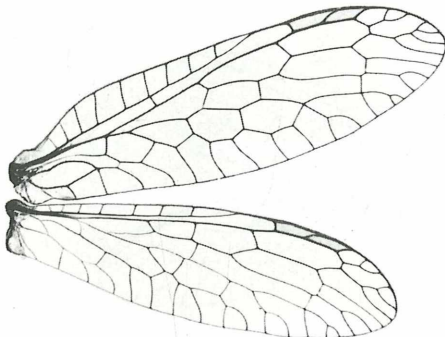
10 mm



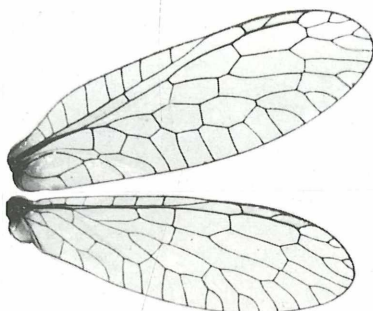
F. 49: *R. (Subilla) confinis*



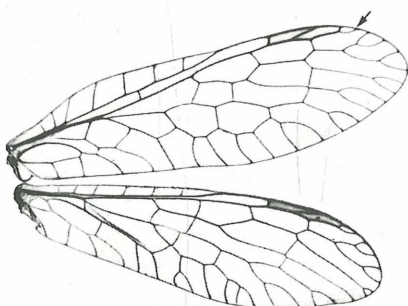
F. 50: *R. (Subilla) aliena*



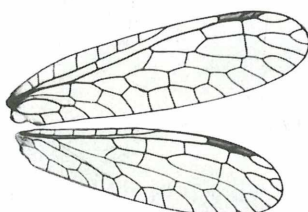
F. 51: *R. (Subilla) artemis*



F. 52: *R. (Subilla) xylidiophila*



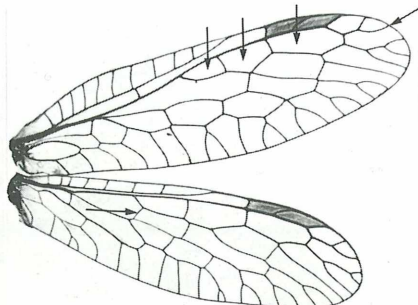
F. 53: *R. (Atlantoraphidia) maculicollis*



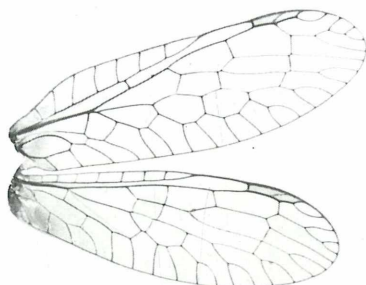
F. 54: *R. (Flavoraphidia) laufferi*

— 10 mm —

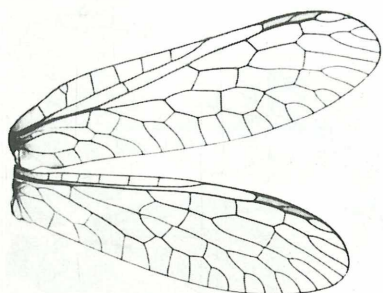
Raphidiidae: Raphidia



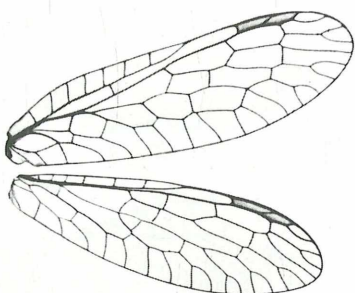
F. 55: *R. (Puncha) ratzeburgi*



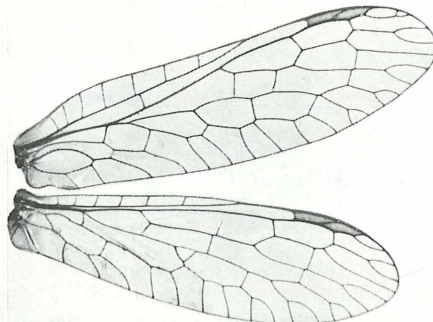
F. 56: *R. (Hispanoraphidia) castellana*



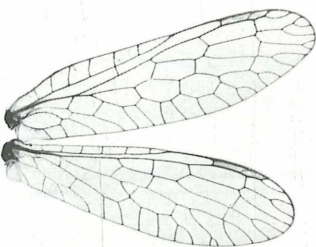
F. 57: *R. (Ohmella) baetica baetica*



F. 58: *R. (Ohmella) postulata*



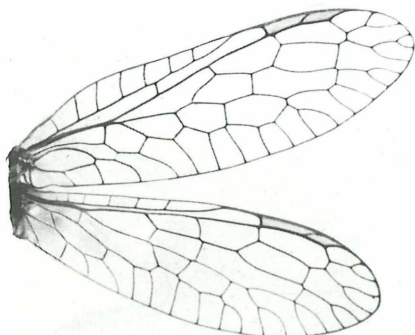
F. 59: *R. (Ohmella) libidinosa*



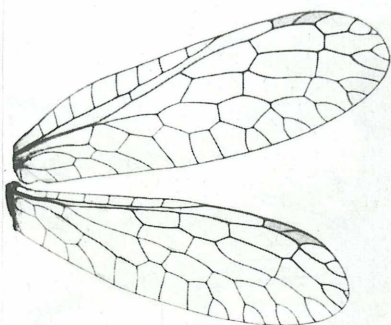
F. 60: *R. (Ohmella) casta*

— 10 mm —

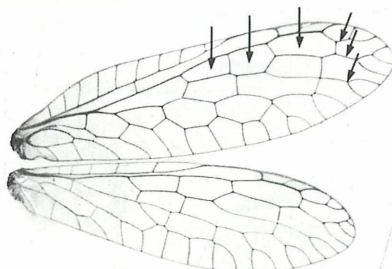
Raphidiidae: Raphidia



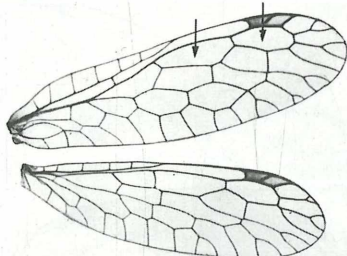
F. 61: R. (Xanthostigma) xanthostigma



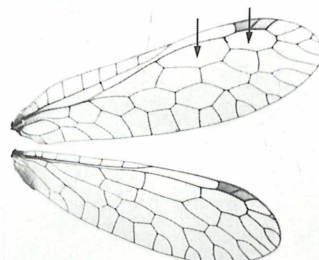
F. 62: R. (Xanthostigma) aloysiana



F. 63: R. (Xanthostigma) corsica

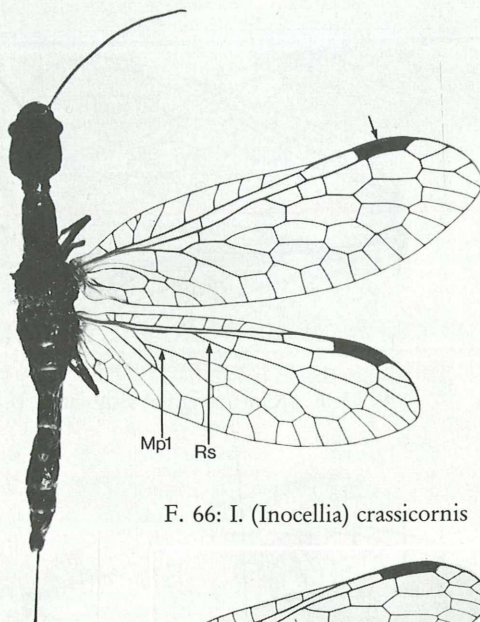


F. 64: R. (Venustoraphidia) nigricollis

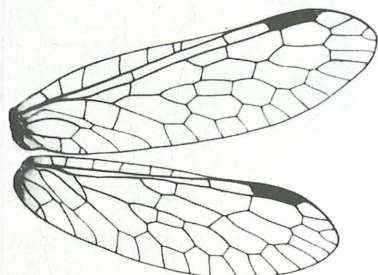


F. 65: R. (Venustoraphidia) renate

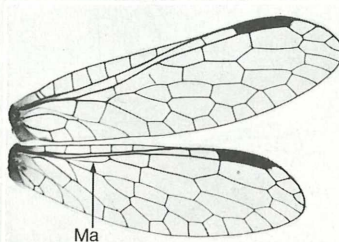
10 mm



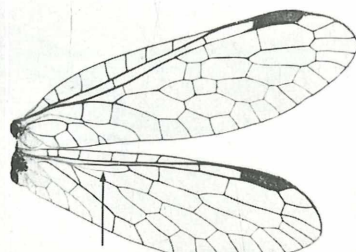
F. 66: *I. (Inocellia) crassicornis*



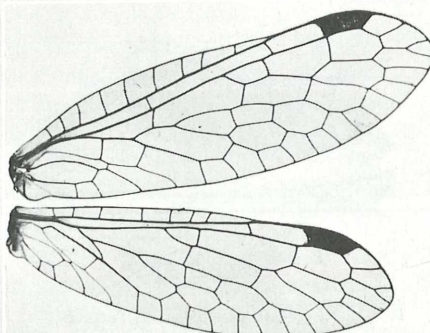
F. 67: *I. (Parainocellia) ressli*



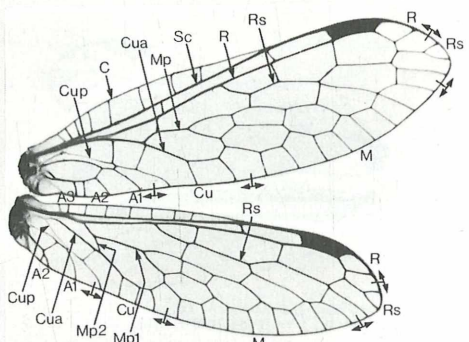
F. 68: *I. (Fibla) hesperica*



F. 69: *I. (Fibla) maclachlani*



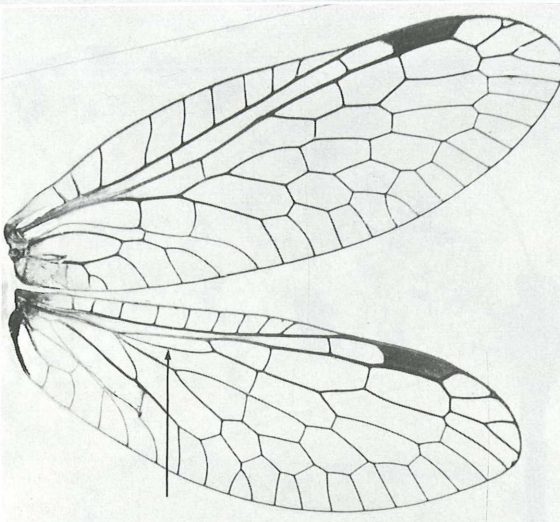
F. 70: *I. (Parainocellia) braueri*



F. 71: *I. (Parainocellia) bicolor*

— 10 mm —

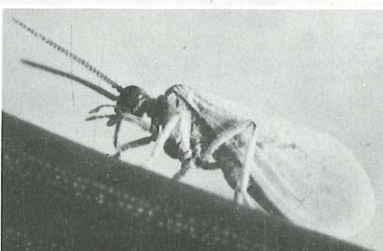
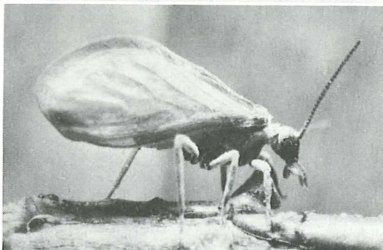
Inocelliidae: Inocellia



F. 72: I. (Reisserella) pasiphae

10 mm

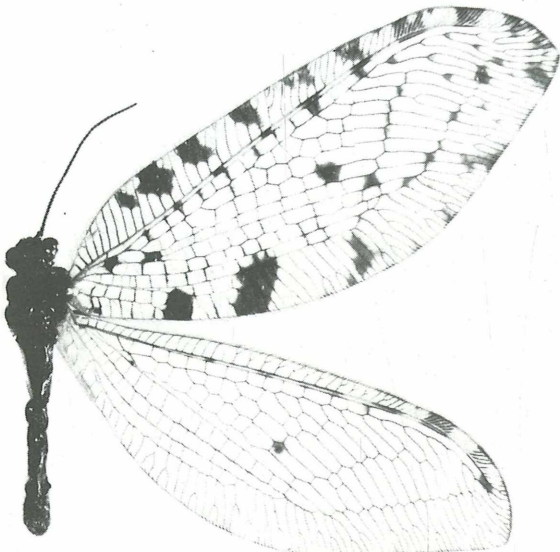
Coniopterygidae: Coniopteryx



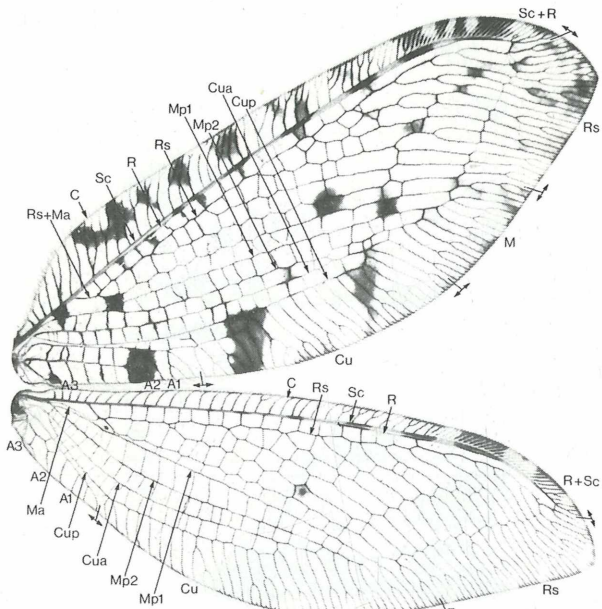
F. 73: C. (Coniopteryx) parthenia

1 mm

Osmylidae: *Osmylus*



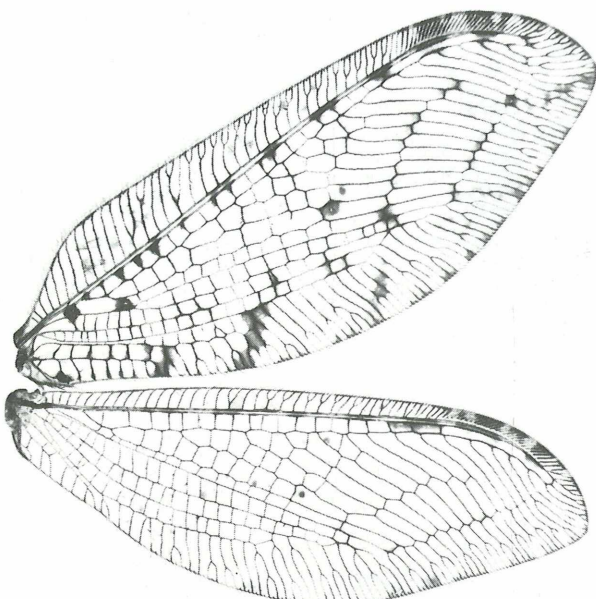
F. 74: *O. fulvicephalus*



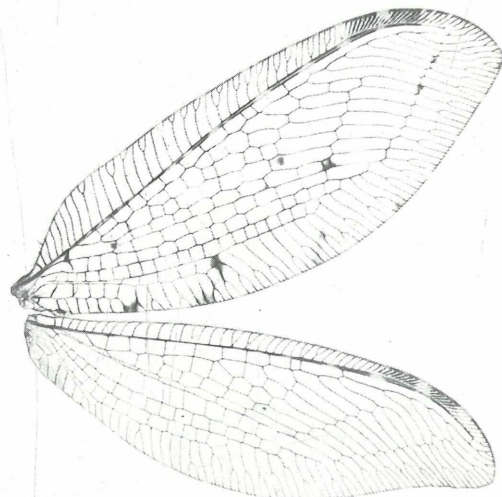
F. 75: *O. fulvicephalus*

10 mm

Osmylidae: *Osmylus*



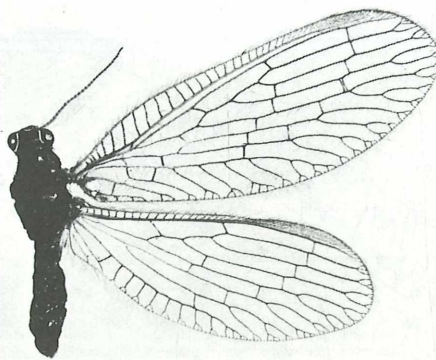
F. 76: *O. fulvicephalus*



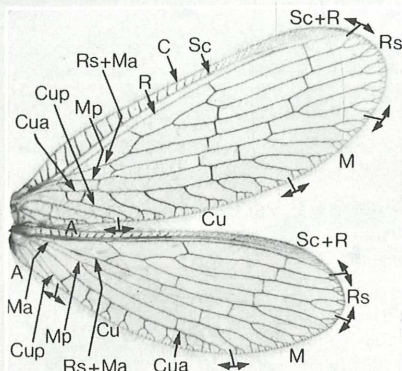
F. 77: *O. fulvicephalus*

10 mm

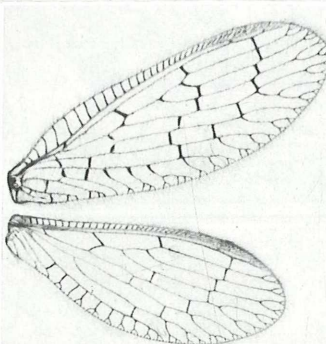
Neurorthidae: Neurorthus



F. 78: *N. iridipennis*



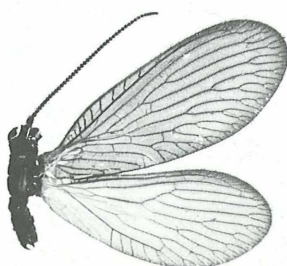
F. 79: *N. apatelios*



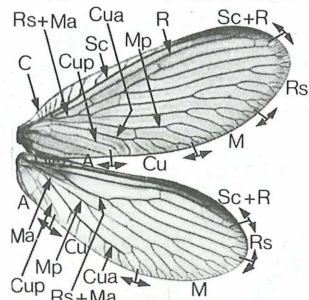
F. 80: *N. fallax*

10 mm

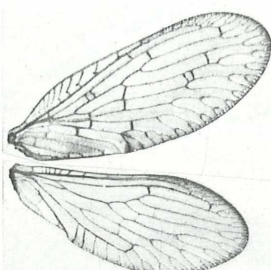
Sisyridae: Sisyra



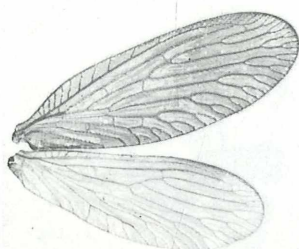
F. 81: *S. fuscata*



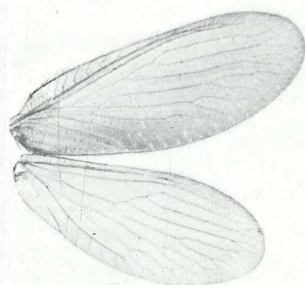
F. 82: *S. terminalis*



F. 83: *S. dalii*



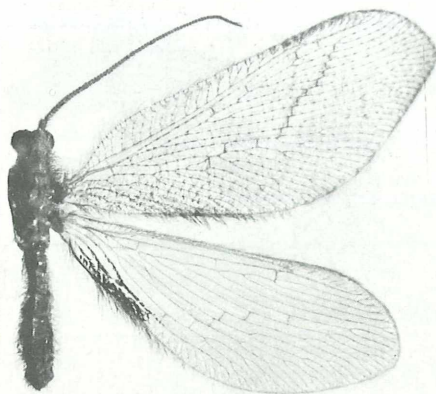
F. 84: *S. jutlandica*



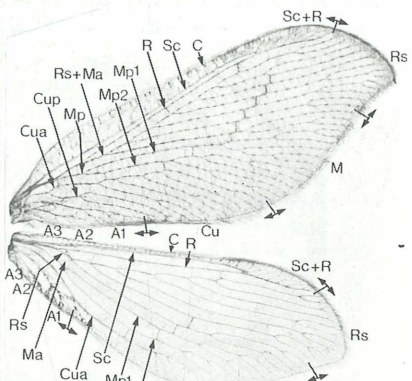
F. 85: *S. iridipennis*

— 10 mm —

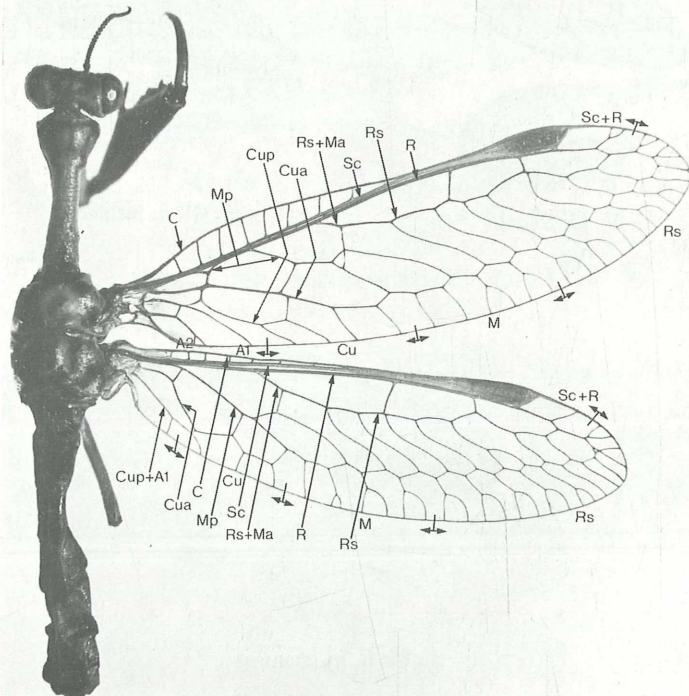
Berothidae: *Berotha*
Mantispidae: *Mantispa*



F. 86: *B. fulva*



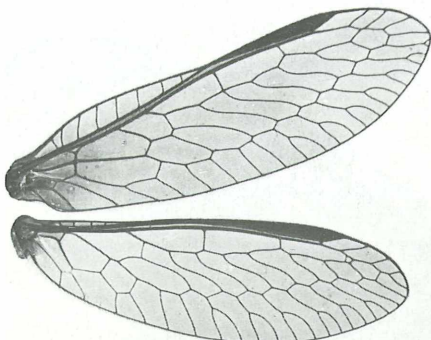
F. 87: *B. glaserella*



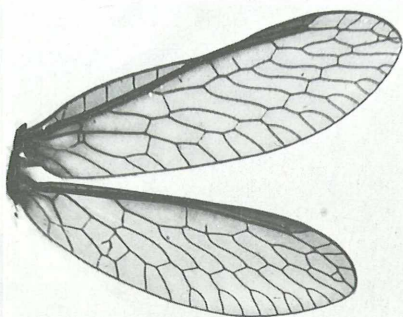
F. 88: *M. styriaca*

10 mm

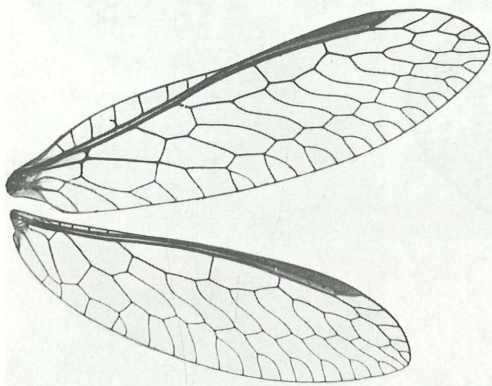
Mantispidae: *Mantispa*, *Nampista*



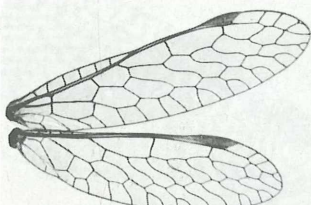
F. 89: *M. perla*



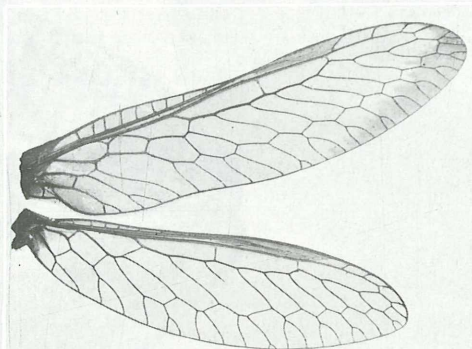
F. 90: *M. perla*



F. 91: *M. mandarina*

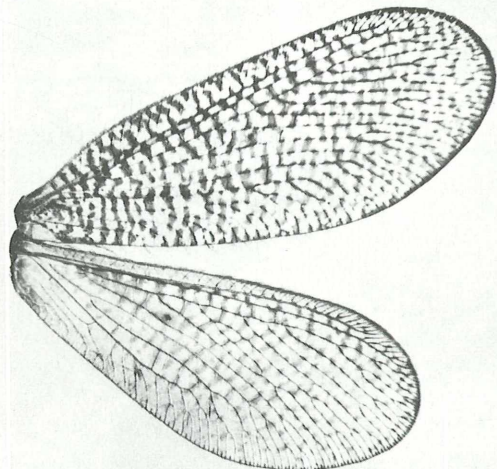


F. 92: *M. scabricollis*

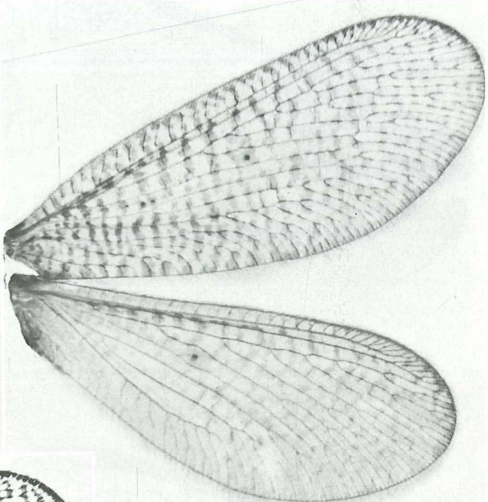


F. 93: *N. auriventris*

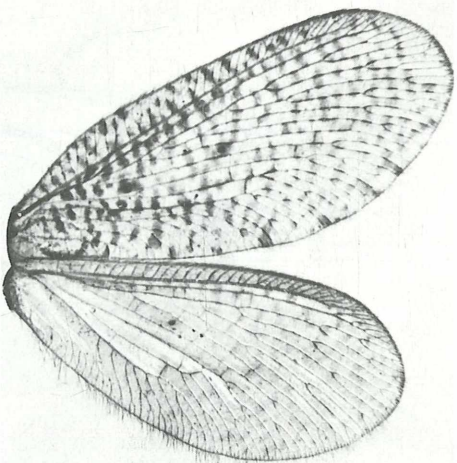
10 mm



F. 95: *D. dissimilis*



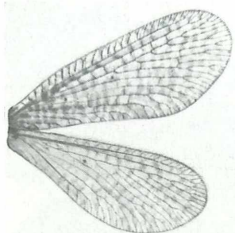
F. 94: *D. nevadensis*



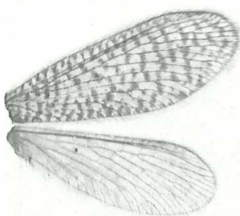
F. 96: *D. corsicus*

10 mm

Dilaridae: Dilar



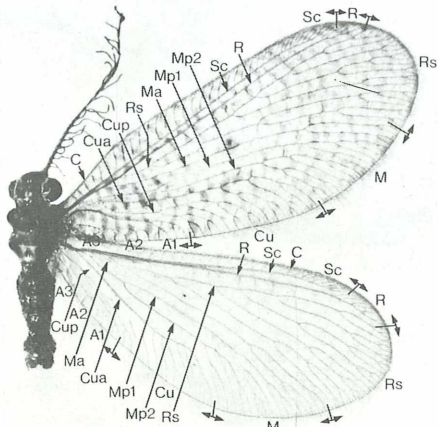
F. 97: *D. saldubensis*



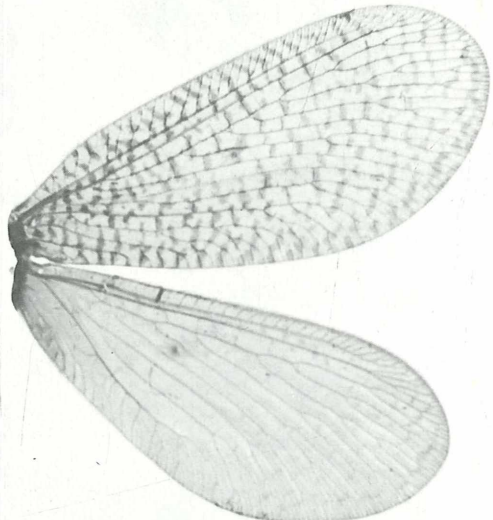
F. 98: *D. pumilus*



F. 99: *D. parthenopaeus*



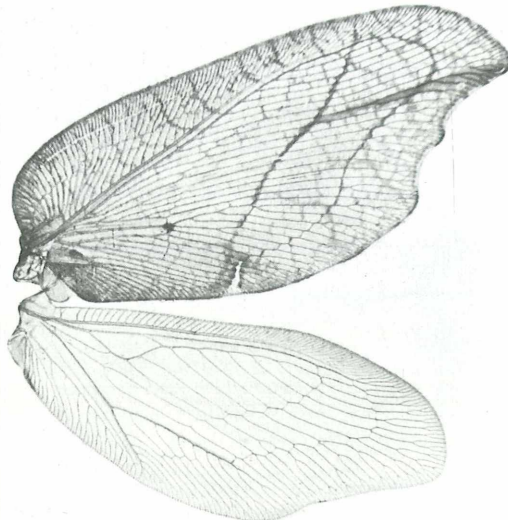
F. 100: *D. meridionalis*



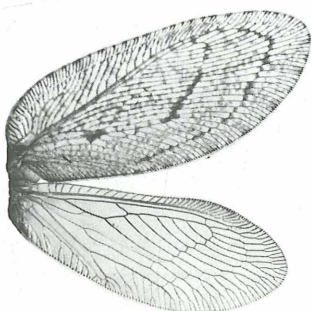
F. 101: *D. turcicus*

10 mm

Hemerobiidae: Drepanopteryx, Megalomus



F. 102: *D. phalaenoides*



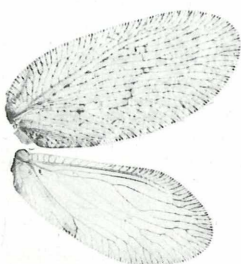
F. 103: *D. algida*



F. 104: *M. tortricoides*



F. 105: *M. hirtus*



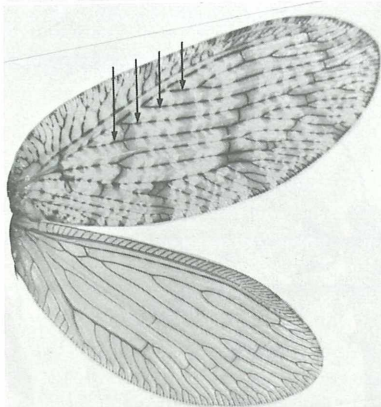
F. 106: *M. tineoides*



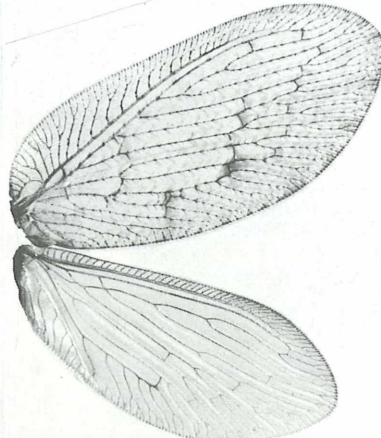
F. 107: *M. pyraloides*

— 10 mm —

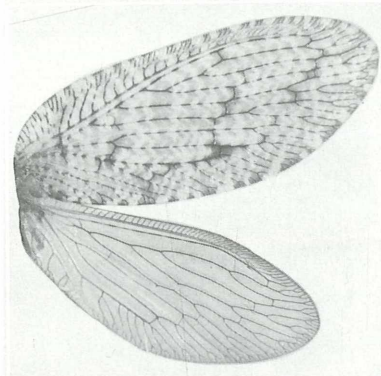
Hemerobiidae: Wesmaelius



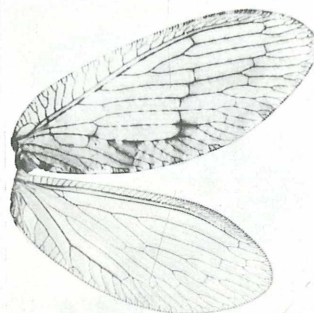
F. 108: *W. (Wesmaelius) quadrifasciatus*



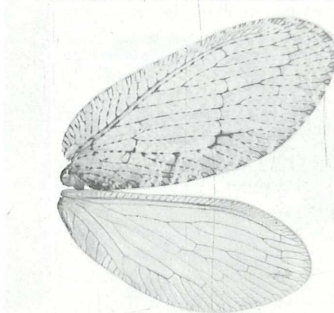
F. 109: *W. (Wesmaelius) concinnus*



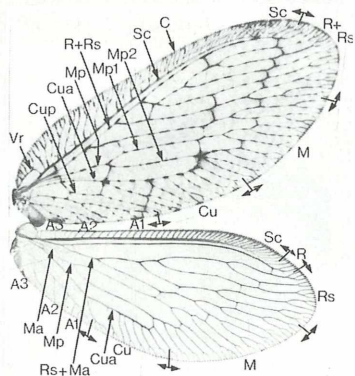
F. 110: *W. (Kimmingsia) fassnidgei*



F. 111: *W. (Kimmingsia) nervosus*



F. 112: *W. (Kimmingsia) helveticus*

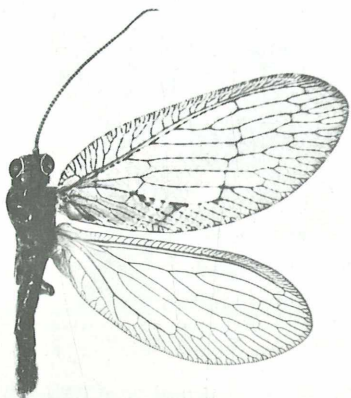


F. 113: *W. (Kimmingsia) malladai*

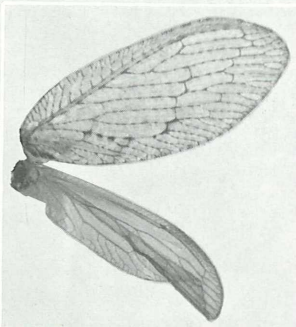
10 mm



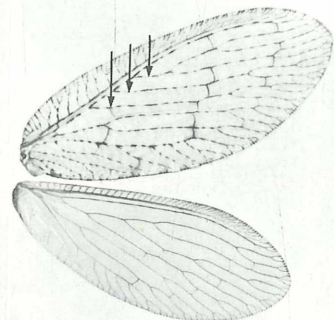
F. 114: W. (Kimmisia) tjederi



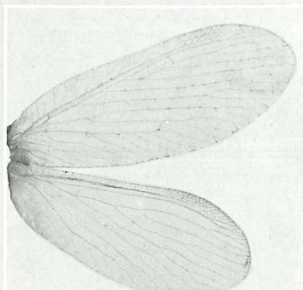
F. 115: W. (Kimmisia) subnebulosus



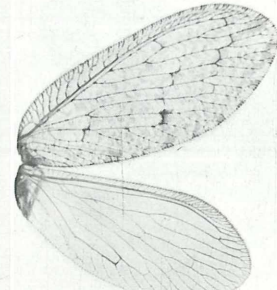
F. 116: W. (Kimmisia) transsylvanicus



F. 117: W. (Kimmisia) ravus

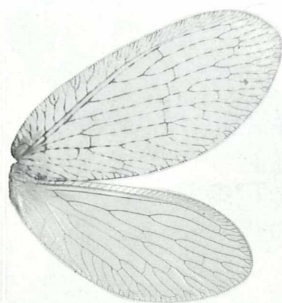


F. 118: W. (Kimmisia) balticus

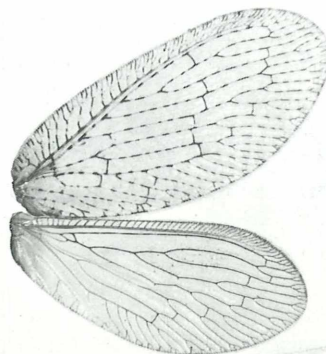


F. 119: W. (Kimmisia) navasi

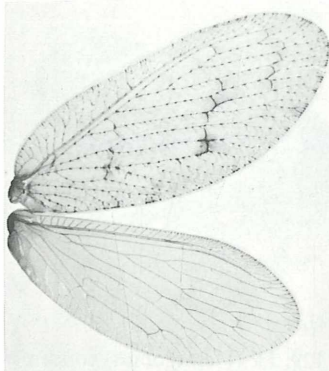
10 mm



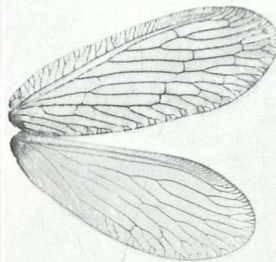
F. 120: W. (Kimmminsia) cunctatus



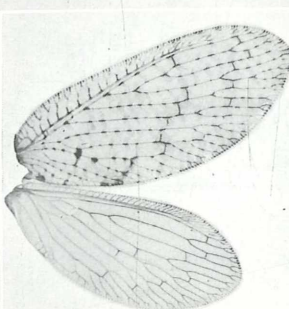
F. 121: W. (Kimmminsia) persimilis



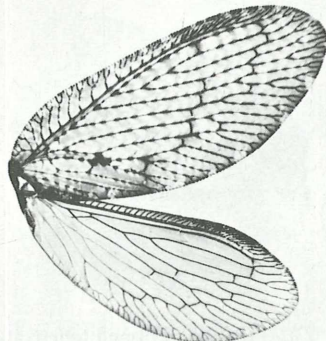
F. 122: W. (Kimmminsia) mortoni



F. 123: W. (Kimmminsia) mongolicus

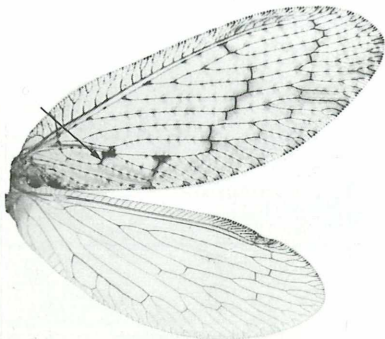


F. 124: H. (Hemerobius) humulinus



F. 125: H. (Hemerobius) perelegans

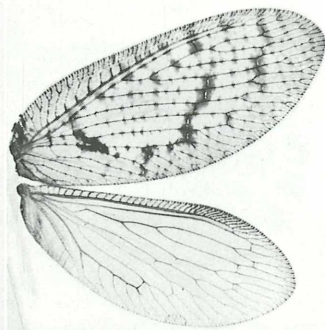
10 mm



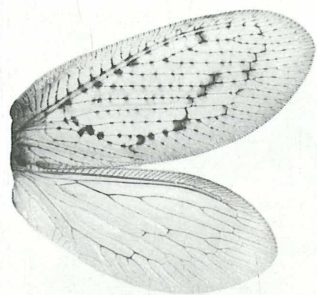
F. 126: *H. (Hemerobius) simulans*



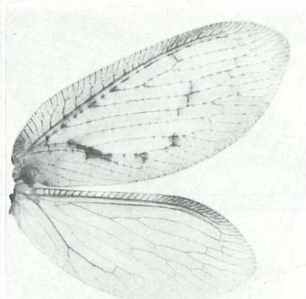
F. 127: *H. (Hemerobius) stigma*



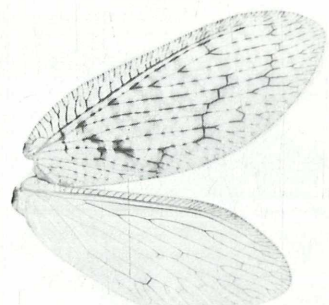
F. 128: *H. (Hemerobius) pini*



F. 129: *H. (Hemerobius) contumax*



F. 130: *H. (Hemerobius) fenestratus*



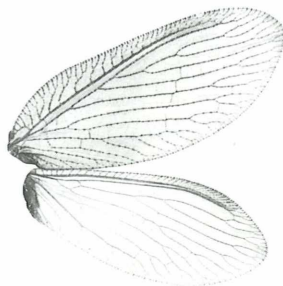
F. 131: *H. (Hemerobius) atrifrons*

10 mm

Hemerobiidae: *Hemerobius*



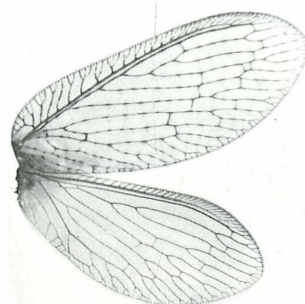
F. 132: *H. (Hemerobius) nitidulus*



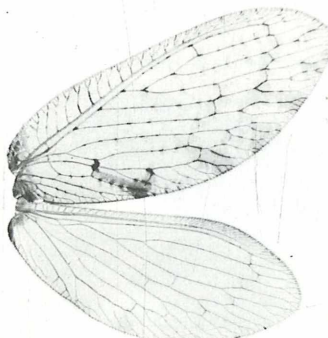
F. 133: *H. (Hemerobius) schedli*



F. 134: *H. (Hemerobius) handschini*



F. 135: *H. (Hemerobius) micans*



F. 136: *H. (Hemerobius) lutescens*

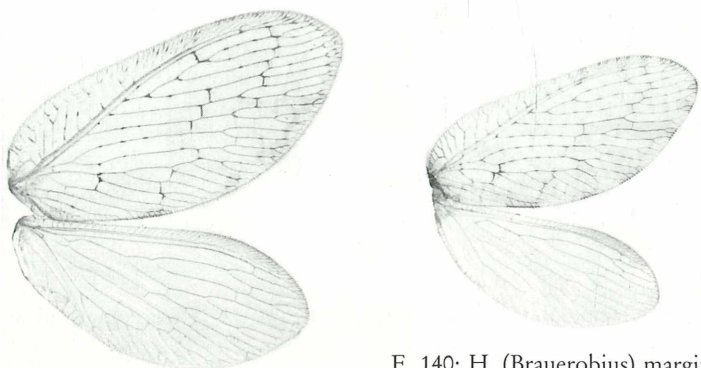


F. 137: *H. (Hemerobius) gilvus*

10 mm

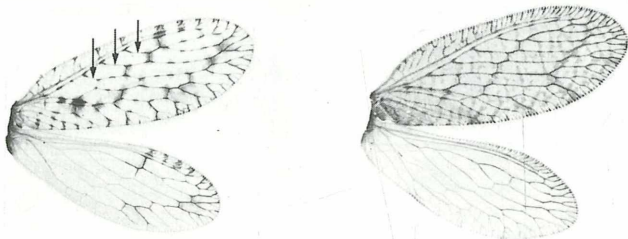


F. 138: *H. (Hemerobius) zernyi*

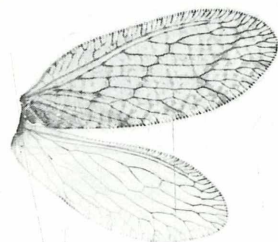


F. 140: *H. (Brauerobius) marginatus*

F. 139: *H. (Brauerobius) marginatus*



F. 141: *M. (Micromus) variegatus*



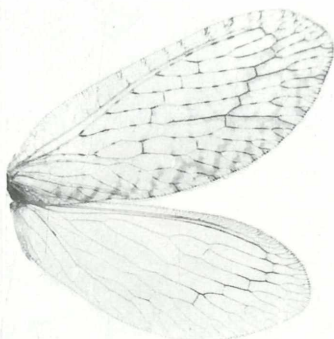
F. 142: *M. (Nesomicromus) angulatus*

10 mm

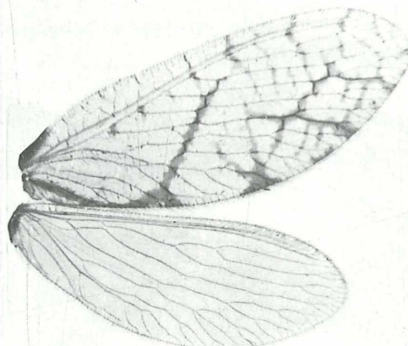
Hemerobiidae: *Micromus*



F. 143: *M. (Nesomicromus) paganus*



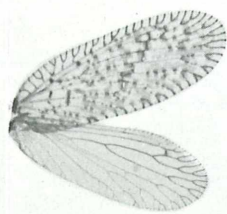
F. 144: *M. (Nesomicromus) gradatus*



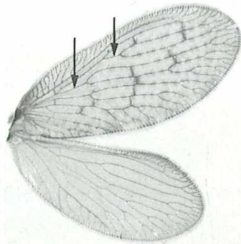
F. 145: *M. (Nesomicromus) lanosus*

10 mm

Hemerobiidae: Psectra, Sympherobius



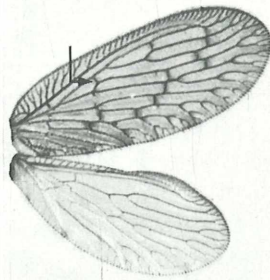
F. 146: *P. diptera*



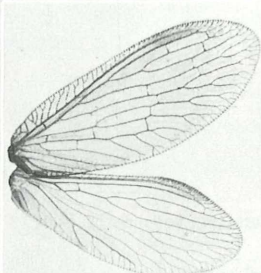
F. 147: *S. (Sympherobius) pygmaeus*



F. 148: *S. (Sympherobius) elegans*



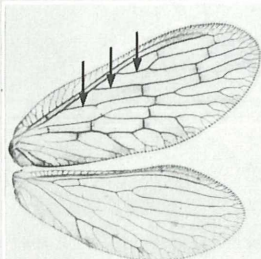
F. 149: *S. (Sympherobius) fallax*



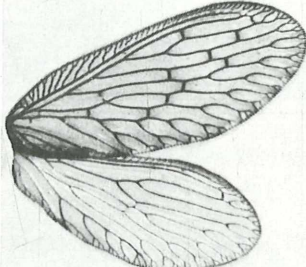
F. 150: *S. (Niremberge) fuscescens*



F. 151: *S. (Niremberge) pellucidus*

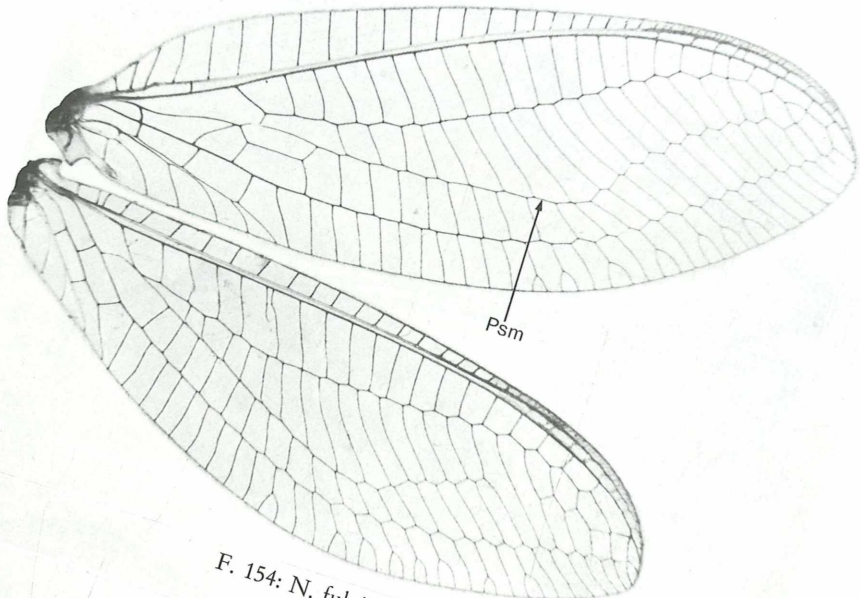


F. 152: *S. (Niremberge) klapaleki*

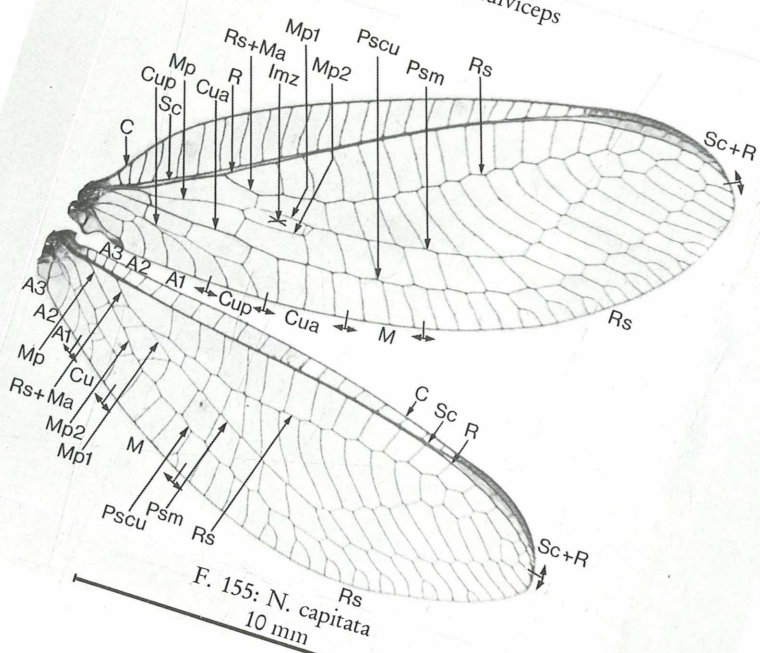


F. 153: *S. (Niremberge) riudori*
10 mm

Chrysopidae: *Nothochrysa*

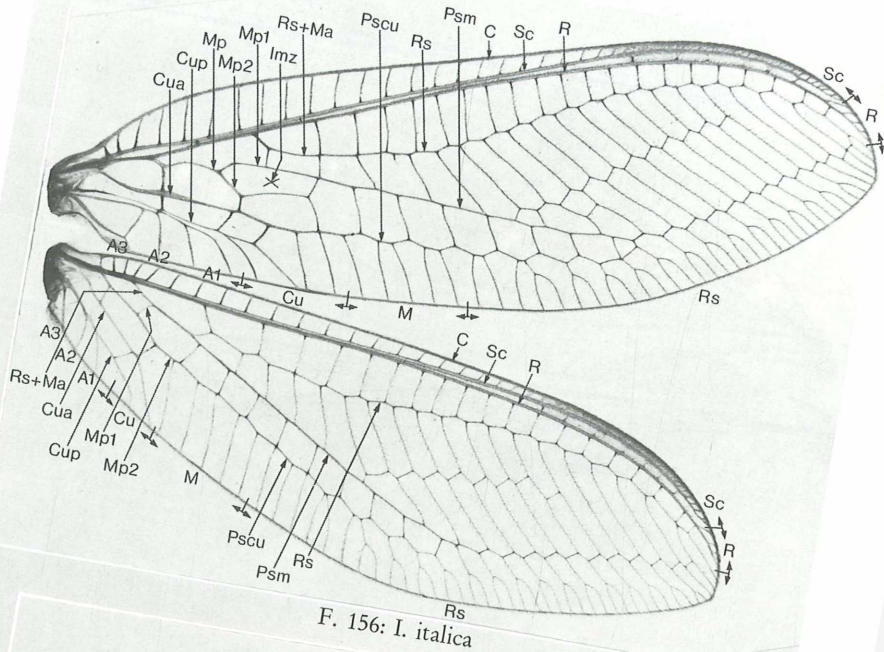


F. 154: *N. fulviceps*



F. 155: *N. capitata*
10 mm

Chrysopidae: *Italochrysa*

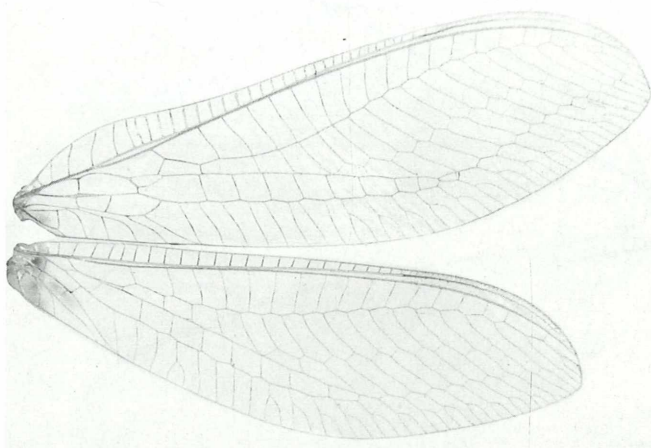


F. 156: *I. italica*

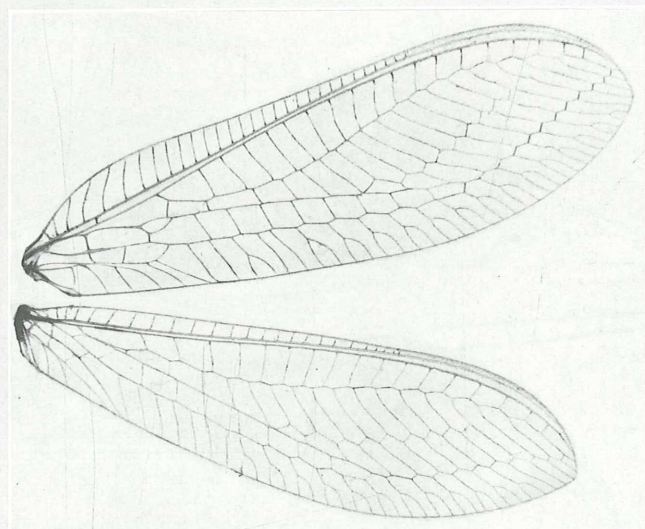
F. 157: *I. stigmatica*

10 mm

Chrysopidae: Nineta



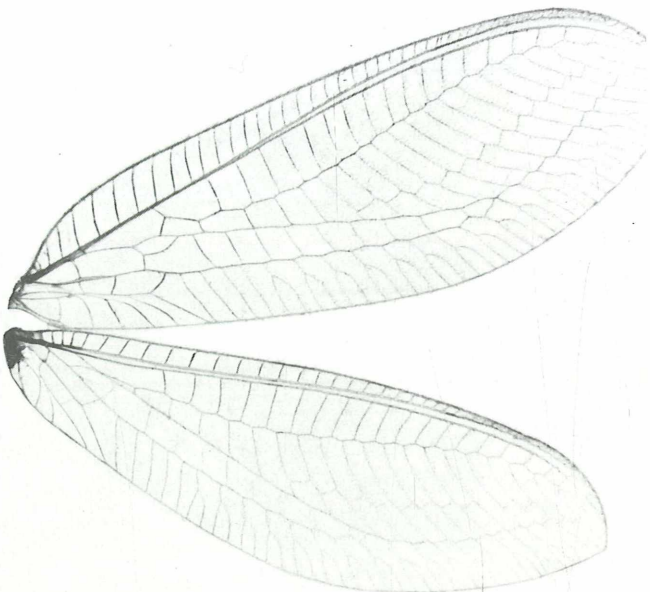
F. 158: *N. flava*



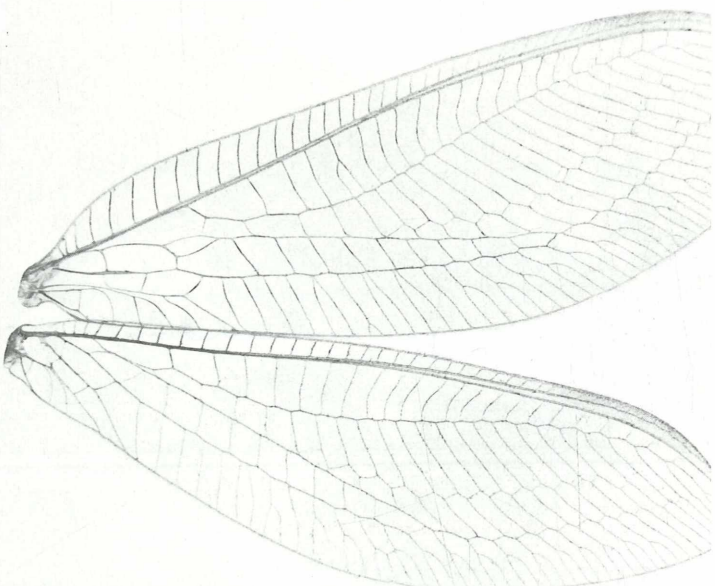
F. 159: *N. guadarramensis*

10 mm

Chrysopidae: Nineta

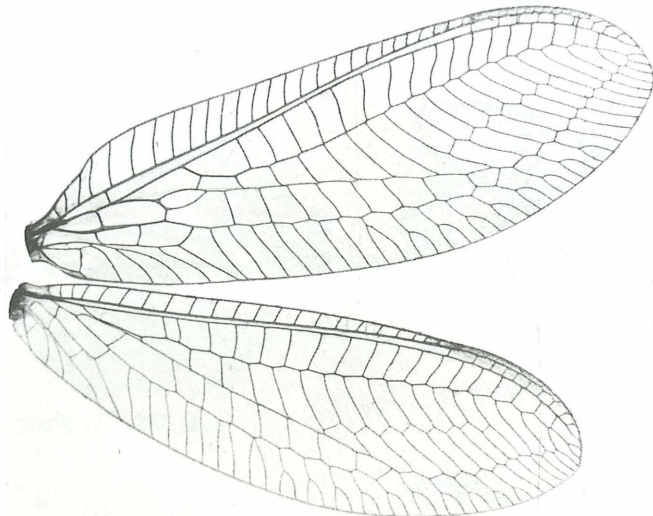


F. 160: *N. vittata*

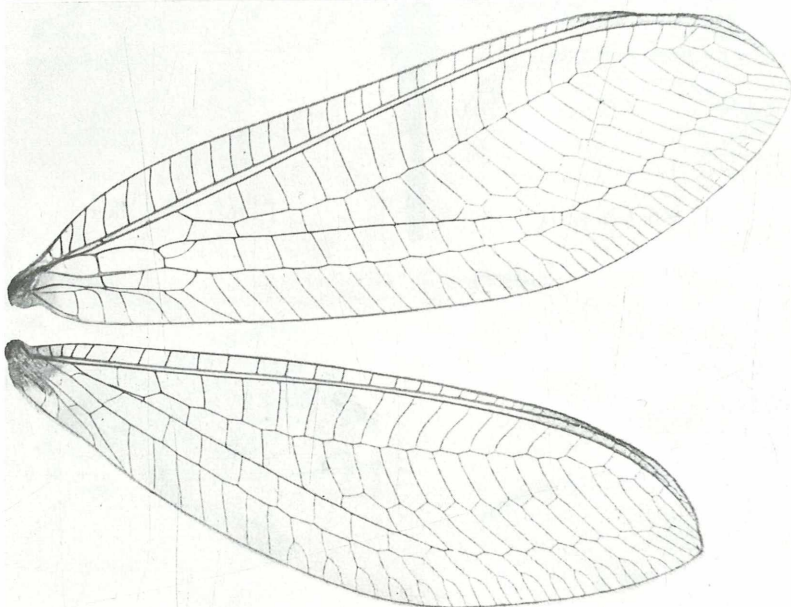


F. 161: *N. carinthiaca*

10 mm



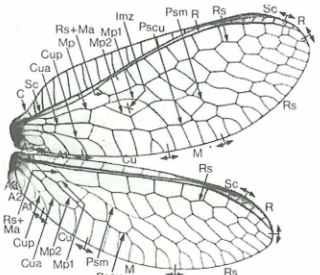
F. 162: *N. inpunctata*



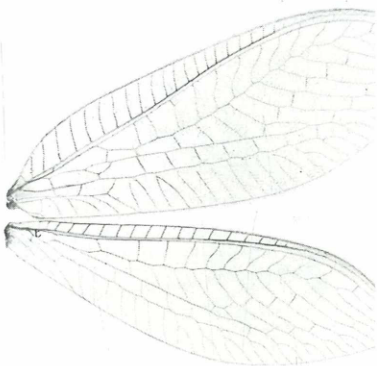
F. 163: *N. pallida*

10 mm

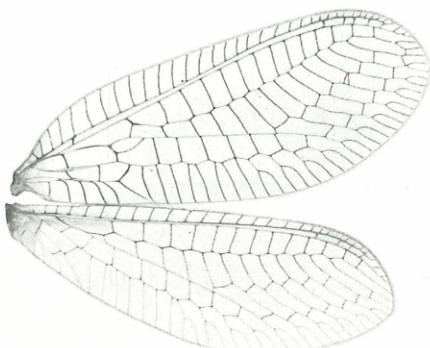
Chrysopidae: Hypochrysa, Chrysotropia, Chrysopa



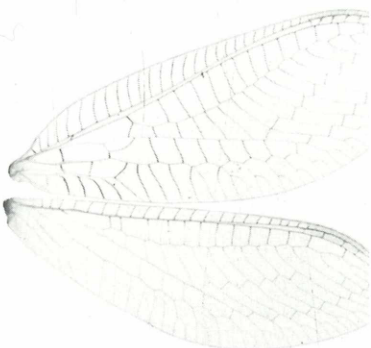
F. 164: *H. elegans*



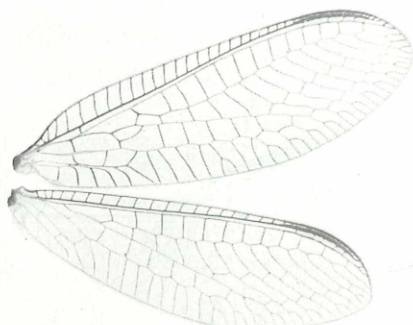
F. 165: *Ch. ciliata*



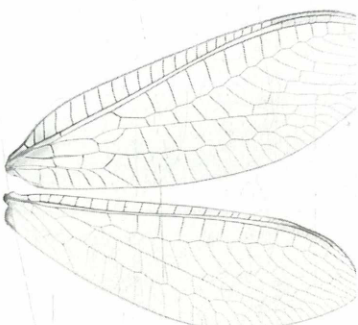
F. 166: *Ch. perla*



F. 167: *Ch. walkeri*



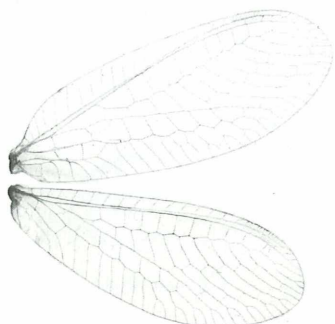
F. 168: *Ch. dorsalis*



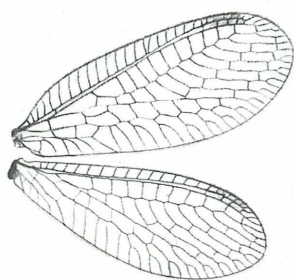
F. 169: *Ch. regalis*

10 mm

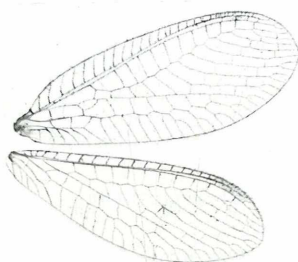
Chrysopidae: Chrysopa



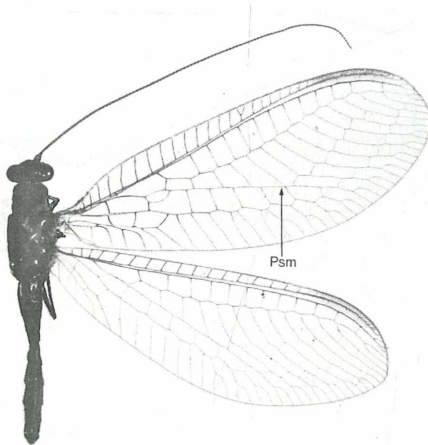
F. 170: Ch. hungarica



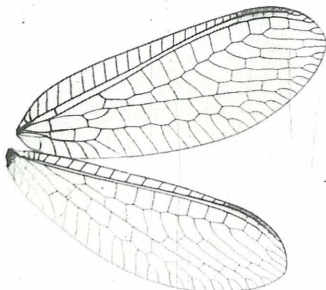
F. 171: Ch. abbreviata



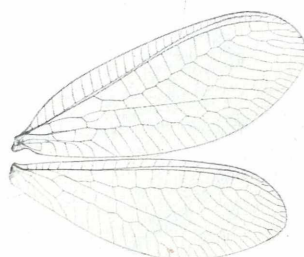
F. 172: Ch. altaica



F. 173: Ch. formosa



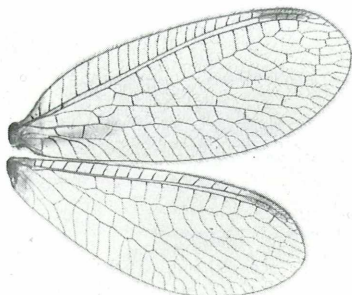
F. 174: Ch. nierembergi



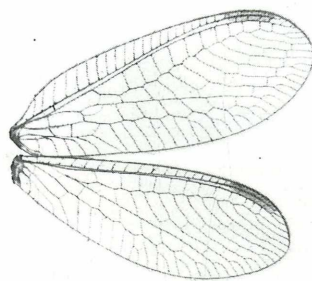
F. 175: Ch. dubitans

— 10 mm —

Chrysopidae: Chrysopa



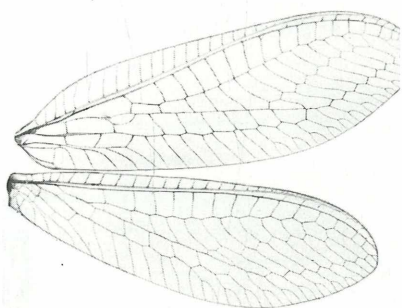
F. 176: Ch. phyllochroma



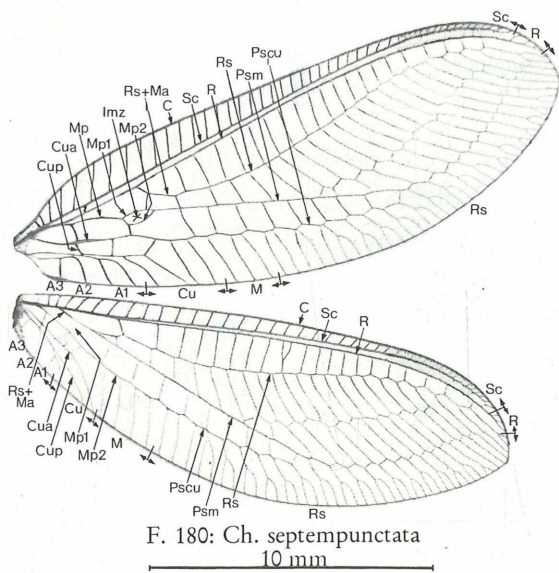
F. 177: Ch. commata



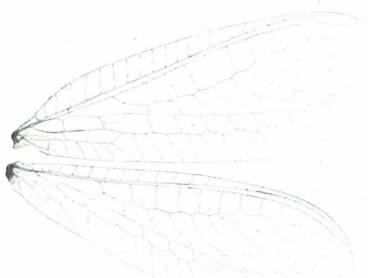
F. 178: Ch. viridana



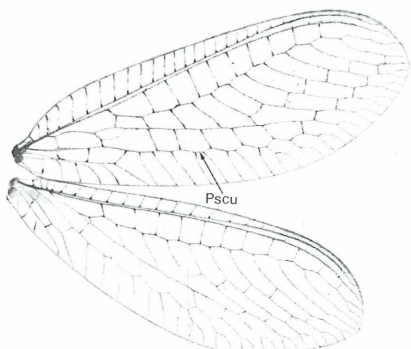
F. 179: Ch. nigricostata



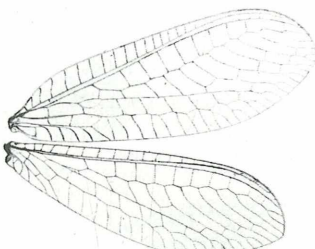
F. 180: Ch. septempunctata
10 mm



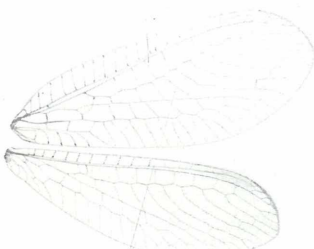
F. 181: *A. flavifrons*



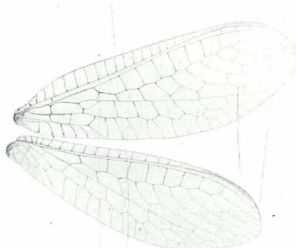
F. 182: *A. granadensis*



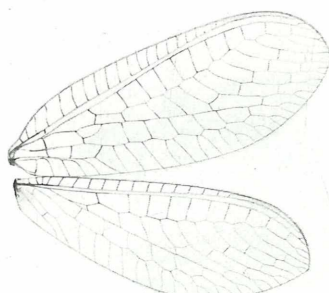
F. 183: *A. picteti*



F. 184: *A. inornata*

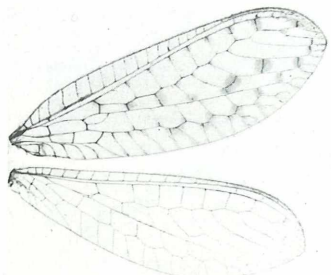


F. 185: *A. iberica*

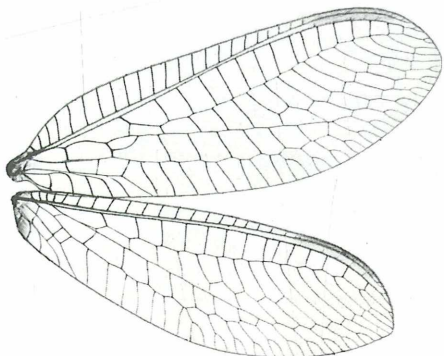


F. 186: *A. subcubitalis*

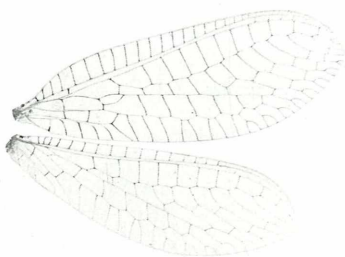
10 mm



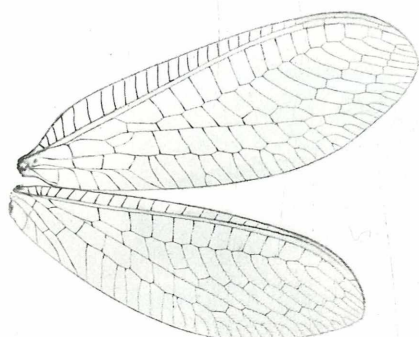
F. 187: *A. alarconi*



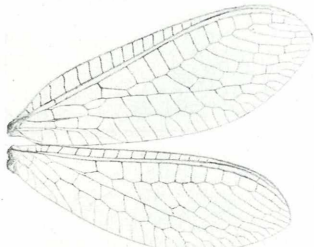
F. 188: *A. prasina*



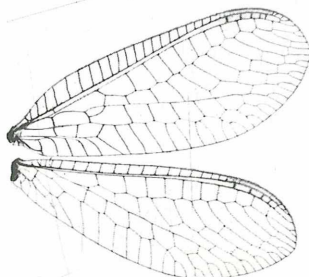
F. 189: *A. zelleri*



F. 190: *A. ventralis*

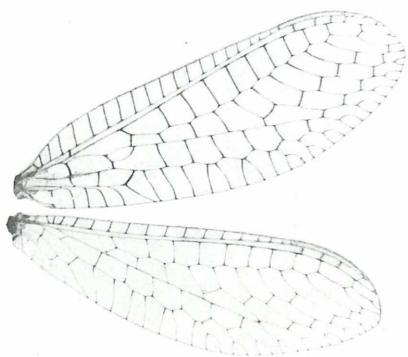


F. 191: *A. ariadne*

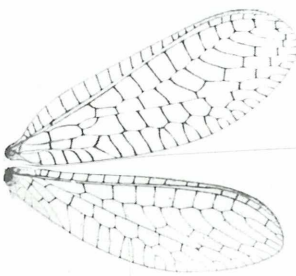


F. 192: *A. genei*

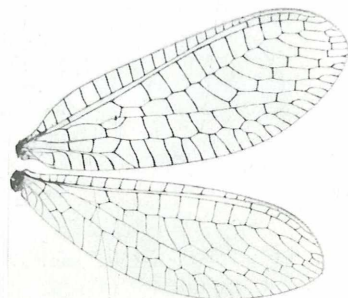
— 10 mm —



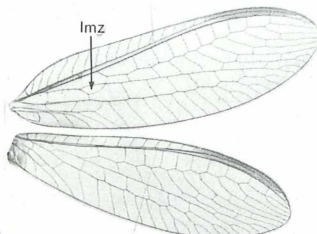
F. 193: *A. venosa*



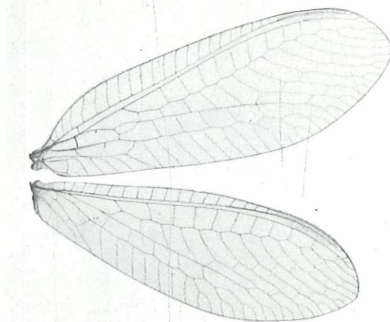
F. 194: *A. venusta*



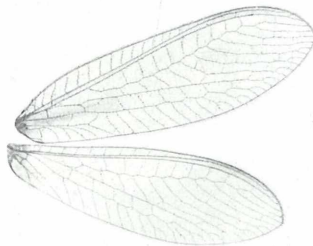
F. 195: *A. clathrata*



F. 196: *T. gracilis*



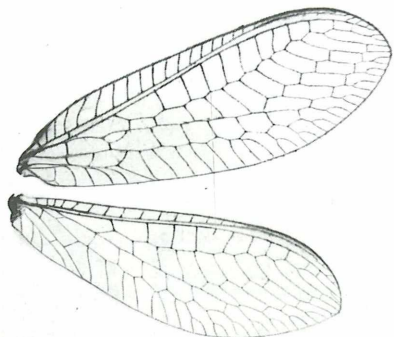
F. 197: *Ch. carnea*



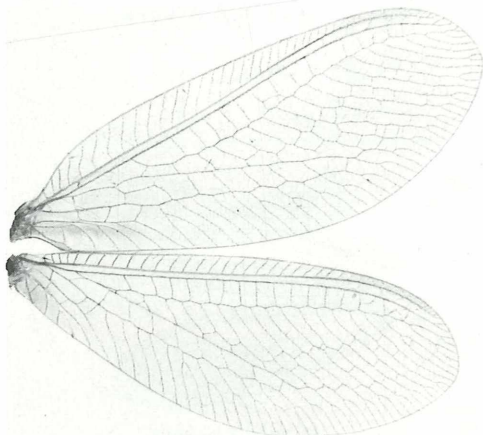
F. 198: *Ch. mediterranea*

— 10 mm —

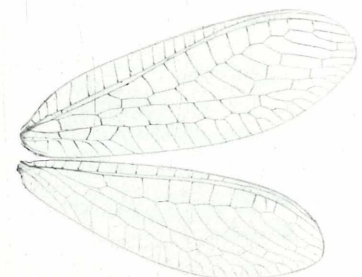
Chrysopidae: Chrysoperla, Rexa, Cunctochrysa



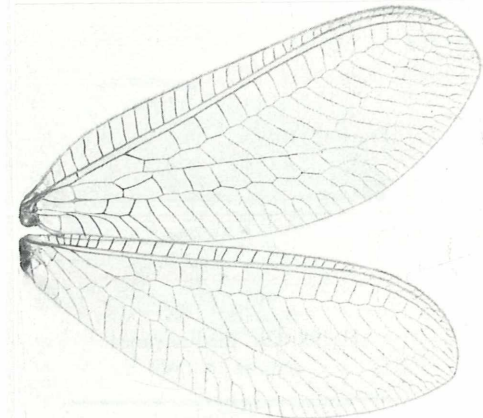
F. 199: Ch. mutata



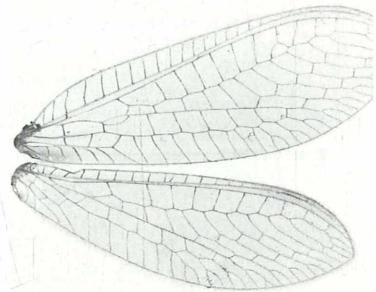
F. 200: R. lordina



F. 202: C. baetica



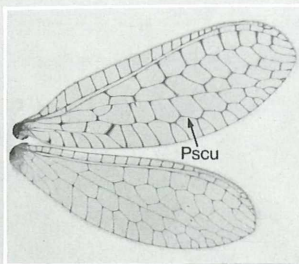
F. 201: R. raddai



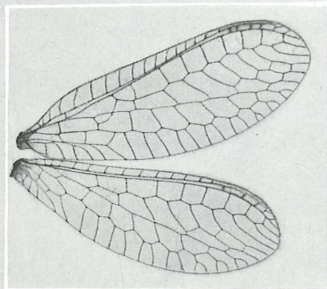
F. 203: C. albolineata



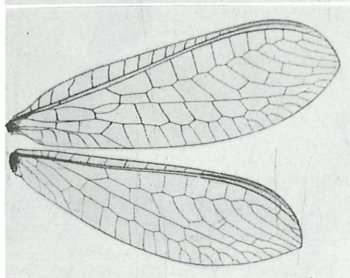
Chrysopidae: Suarius, Brinckochrysa
Nemopteridae: Josandreva



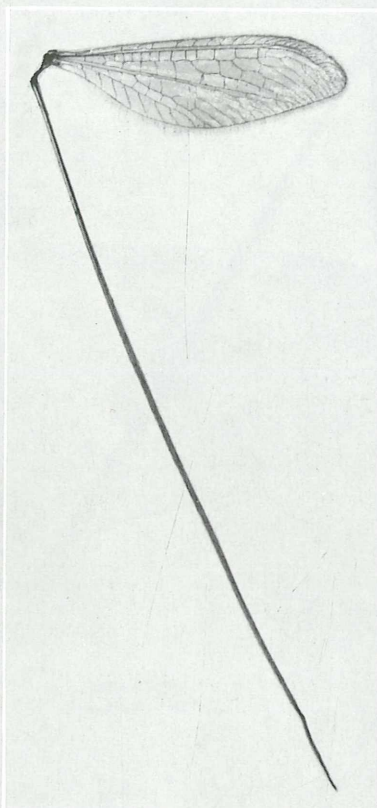
F. 204: *S. nanus*



F. 205: *S. iberiensis*

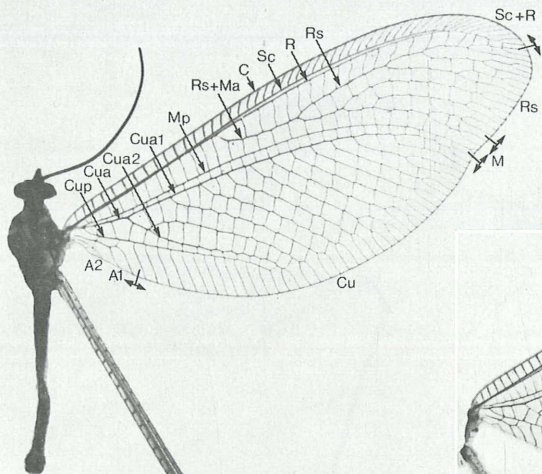


F. 206: *B. michaelseni*

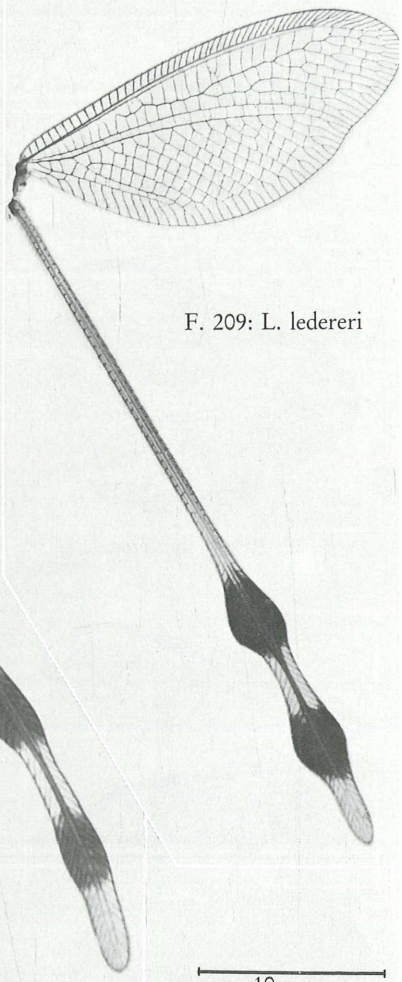


F. 207: *J. sazi*

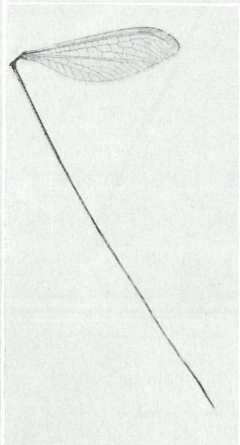
— 10 mm —



F. 208: *L. ledereri*



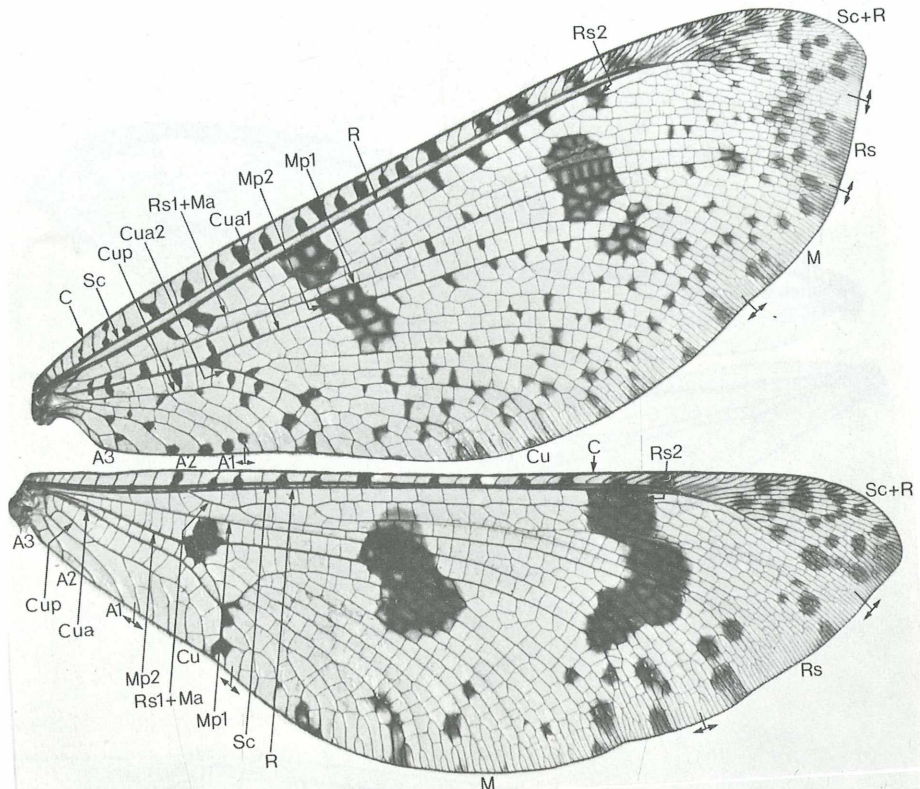
F. 209: *L. ledereri*



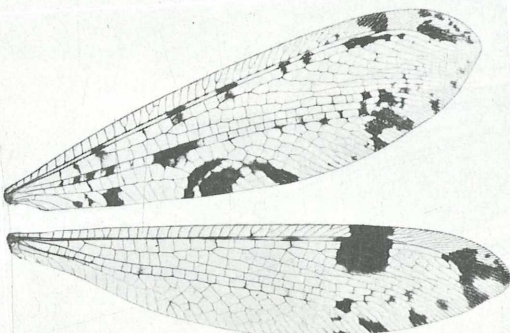
F. 210: *J. sazi*

10 mm

Myrmeleonidae: Palpares, Dendroleon

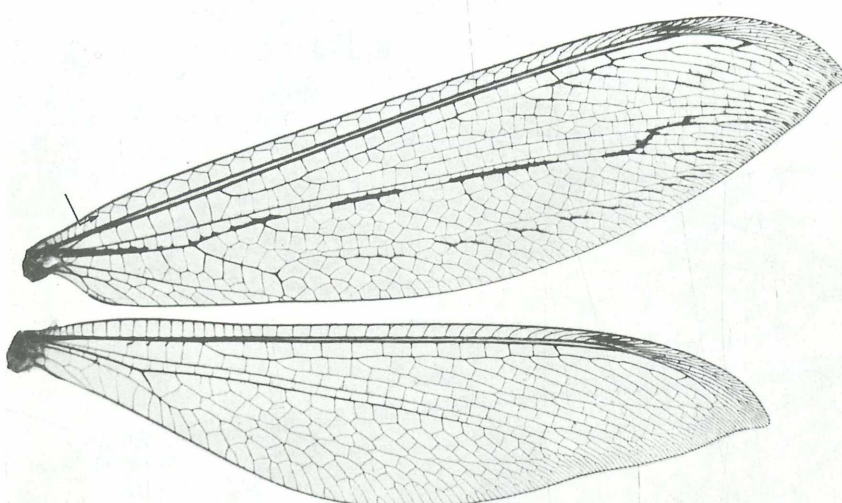


F. 211: *P. libelluloides*

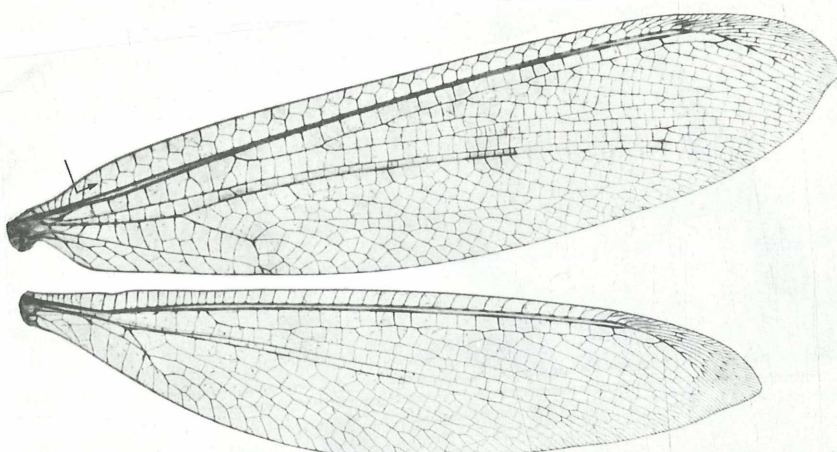


F. 212: *D. pantherinus*

10 mm

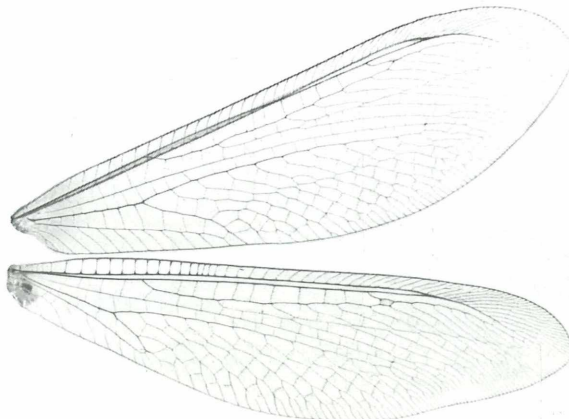


F. 213: *A. occitanica*

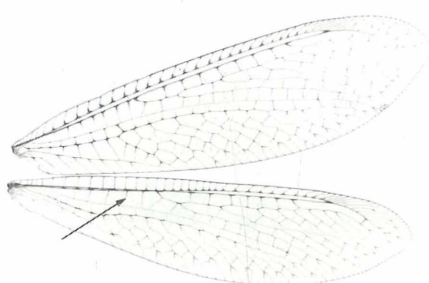


F. 214: *A. baetica*

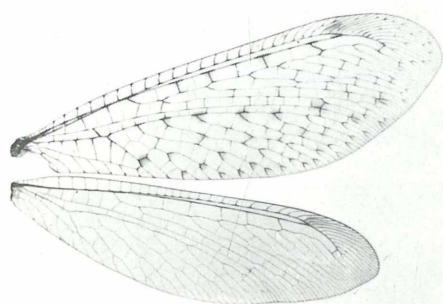
10 mm



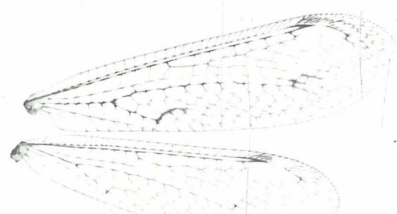
F. 215: *M. (Myrmecaelurus) trigrammus*



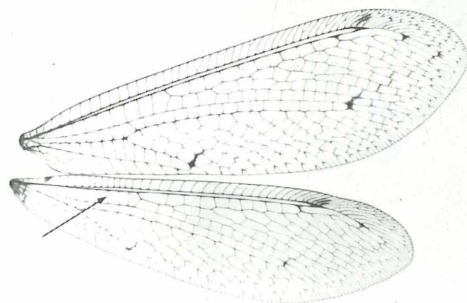
F. 216: *M. (Nohoveus) zigan*



F. 217: *S. liber*



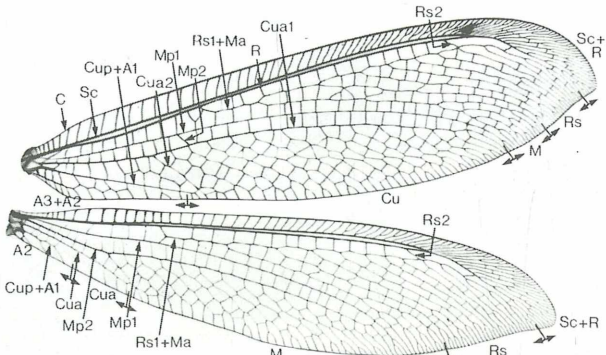
F. 218: *C. lineosa*



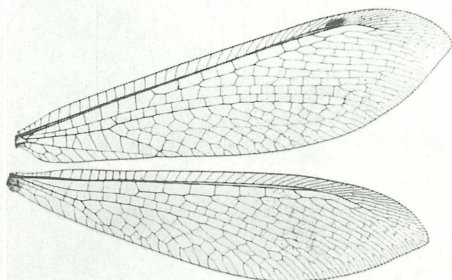
F. 219: *C. beieri*

— 10 mm —

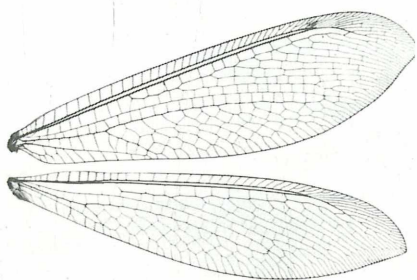
Myrmeleonidae: Myrmeleon



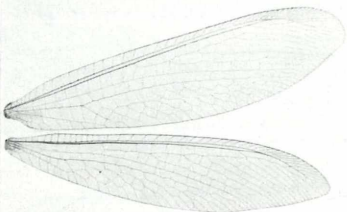
F. 220: *M. (Myrmeleon) formicarius*



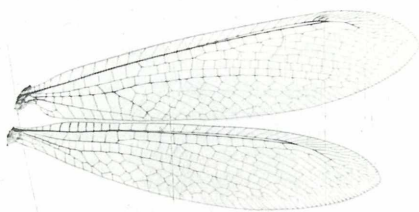
F. 221: *M. (Myrmeleon) gerlindae*



F. 222: *M. (Myrmeleon) noacki*



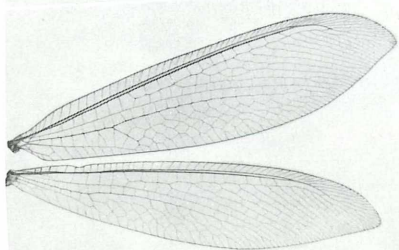
F. 223: *M. (Morter) hyalinus*



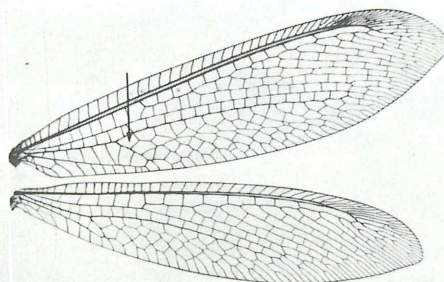
F. 224: *M. (Morter) inconspicuus*

10 mm

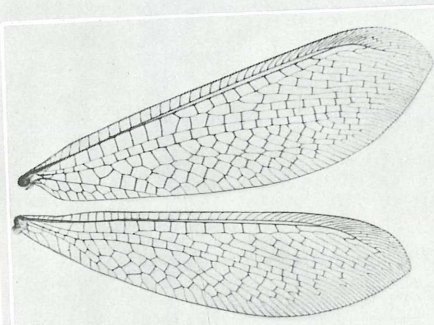
Myrmeleonidae: Myrmeleon, Euroleon, Macronemurus



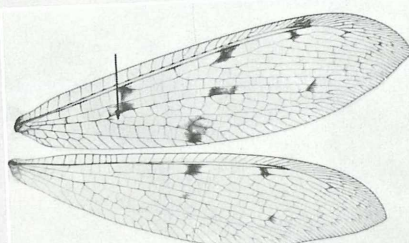
F. 225: M. (Morter) immanis



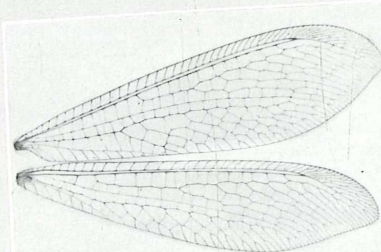
F. 226: M. (Morter) bore



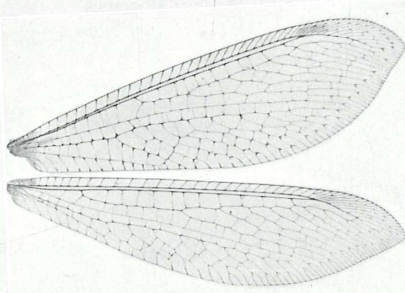
F. 227: M. (Morter) fasciatus



F. 228: E. nostras



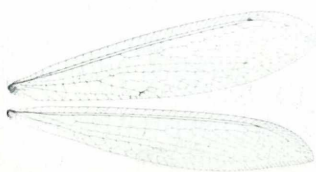
F. 229: M. appendiculatus



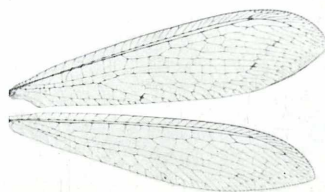
F. 230: M. bilineatus

10 mm

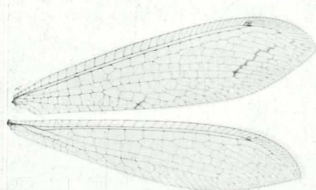
Myrmeleonidae: *Neuroleon*



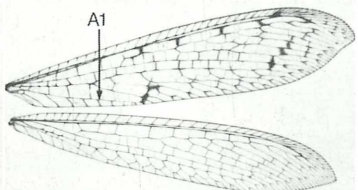
F. 231: *N. arenarius*



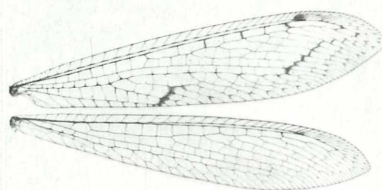
F. 232: *N. tenellus*



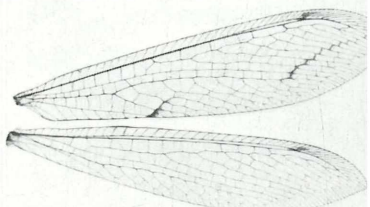
F. 233: *N. ocreatus*



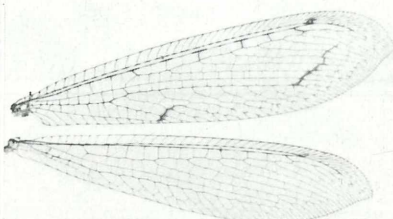
F. 234: *N. egenus*



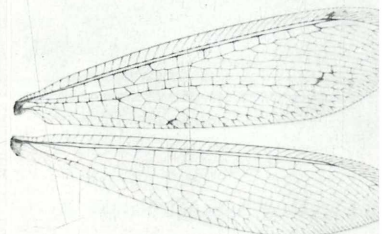
F. 235: *N. nemausiensis*



F. 236: *N. assimilis*



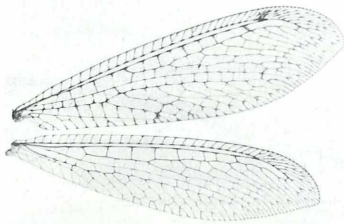
F. 237: *N. distichus*



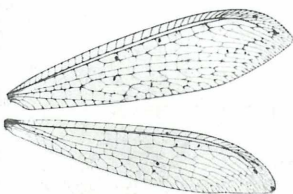
F. 238: *N. microstenus*

10 mm

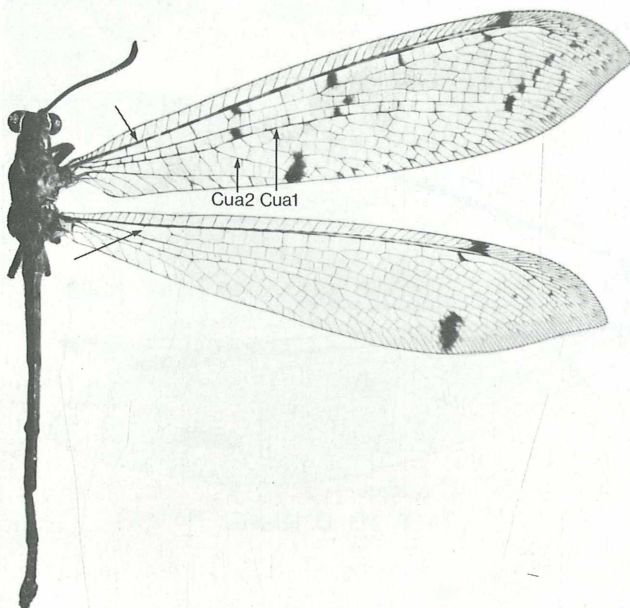
Myrmeleonidae: Delfimeus, Distoleon



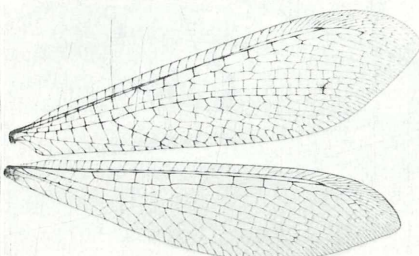
F. 239: *D. irroratus*



F. 240: *D. punctatus*



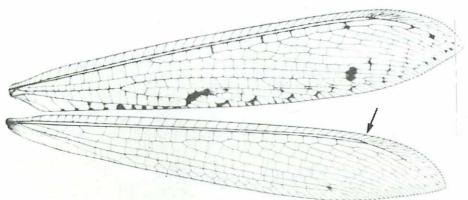
F. 241: *D. tetragrammicus*



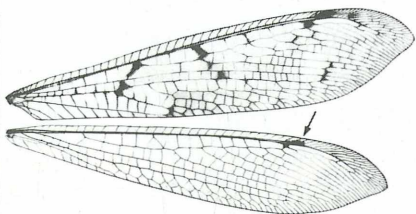
F. 242: *D. annulatus*

10 mm

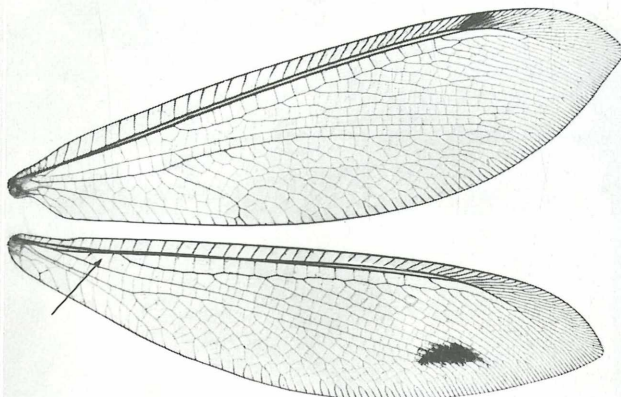
Myrmeleonidae: Nemoleon, Nicarinus, Deutoleon, Nedroledon



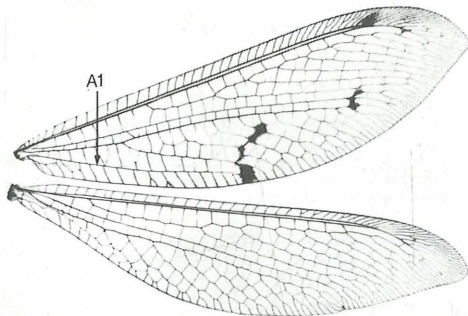
F. 243: *N. notatus*



F. 244: *N. poecilopterus*



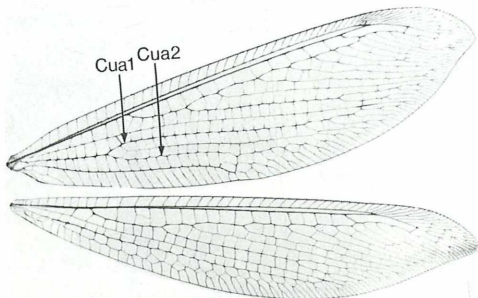
F. 245: *D. lineatus*



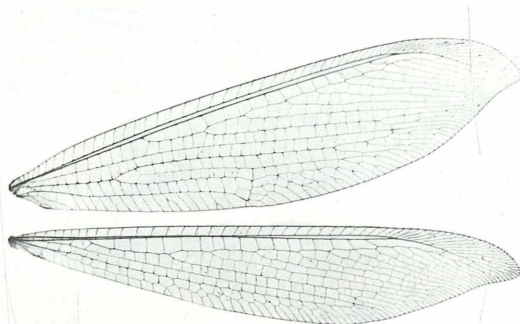
F. 246: *N. anatolicus*

10 mm

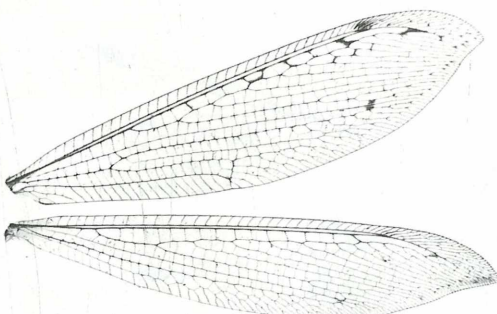
Myrmeleonidae: Creoleon



F. 247: *C. lugdunensis*



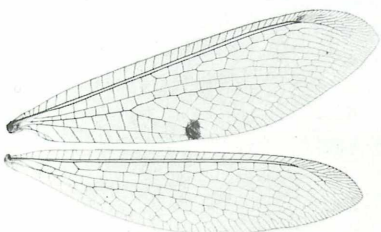
F. 248: *C. plumbeus*



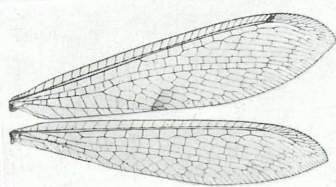
F. 249: *C. aegyptiacus*

10 mm

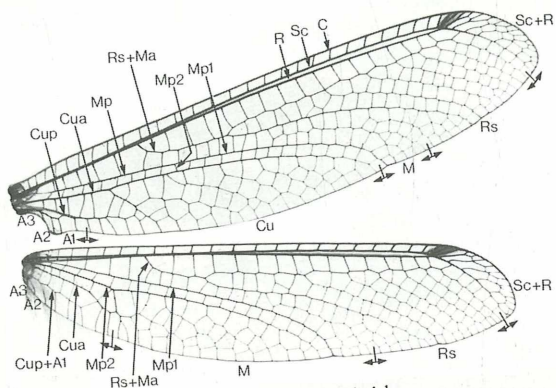
Myrmeleonidae: Megistopus, Gymnocnemia
 Ascalaphidae: Bubopsis



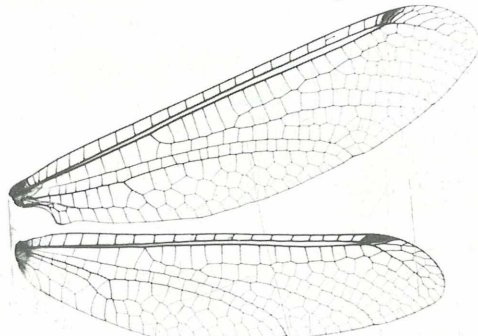
F. 250: *M. flavicornis*



F. 251: *G. variegata*

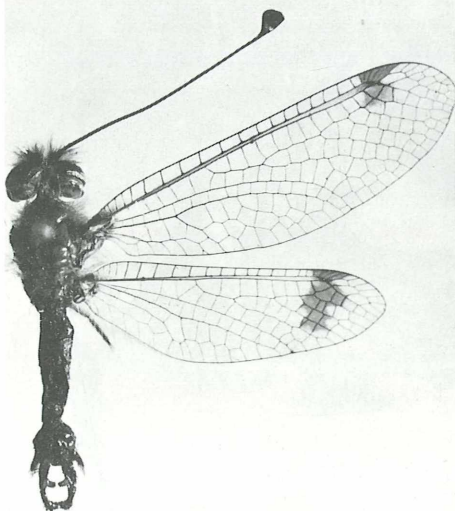


F. 252: *B. agrioides*

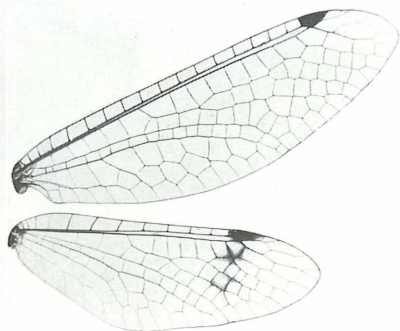


F. 253: *B. andromache*

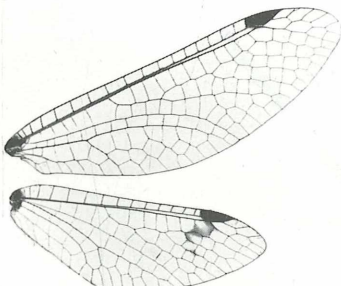
10 mm



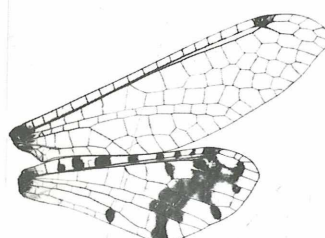
F. 254: *D. australis*



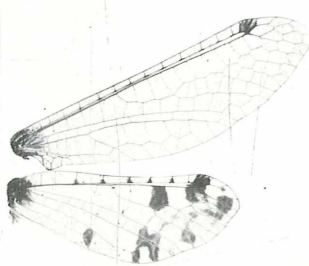
F. 255: *D. variegata*



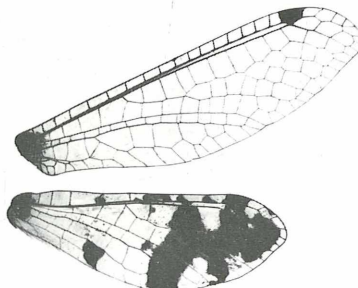
F. 256: *D. dusmeti*



F. 257: *P. maculatus*

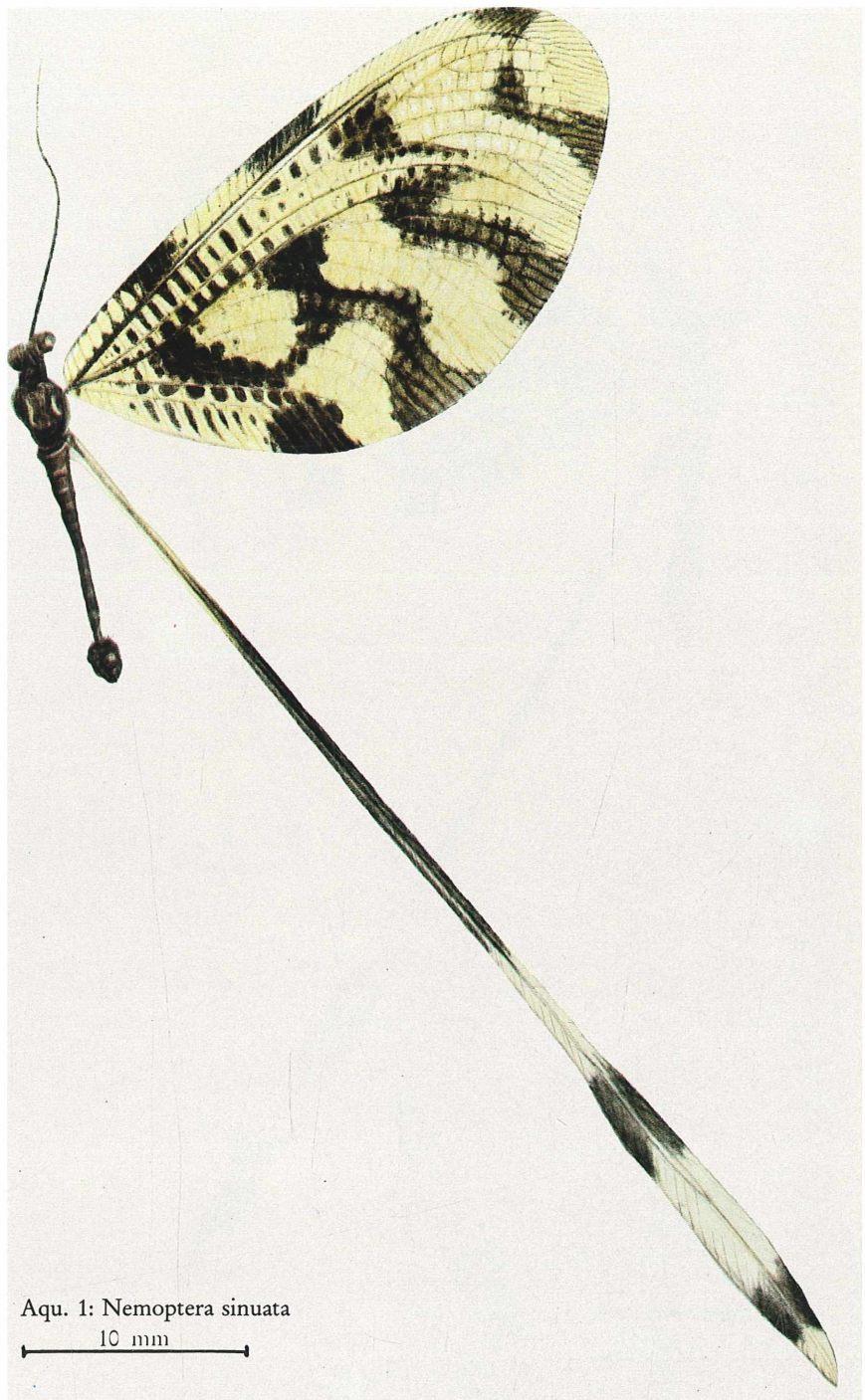


F. 258: *P. maculatus*



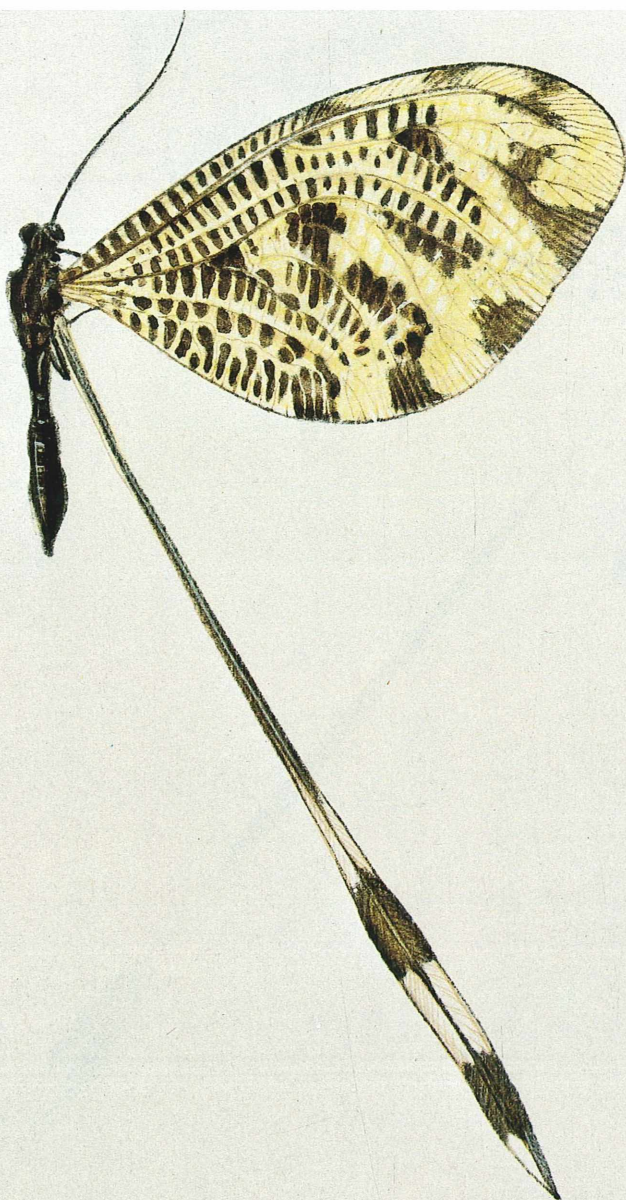
F. 259: *P. maculatus*

10 mm



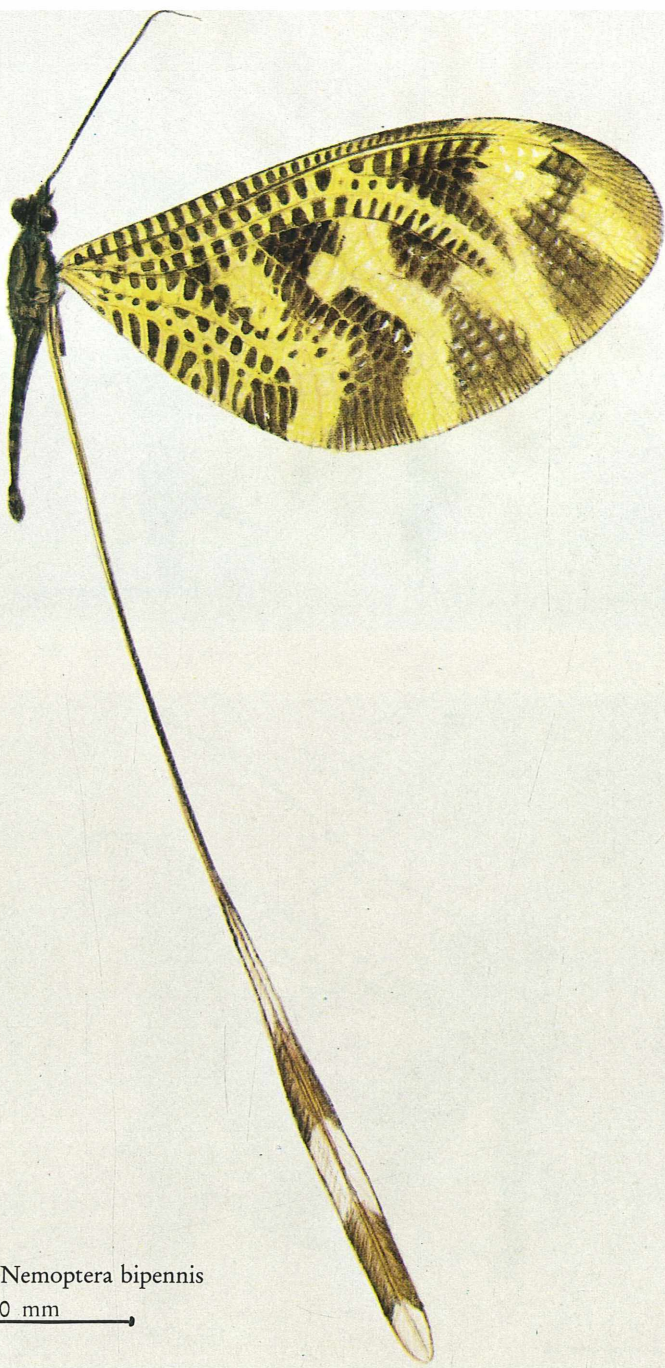
Aqu. 1: *Nemoptera sinuata*

10 mm



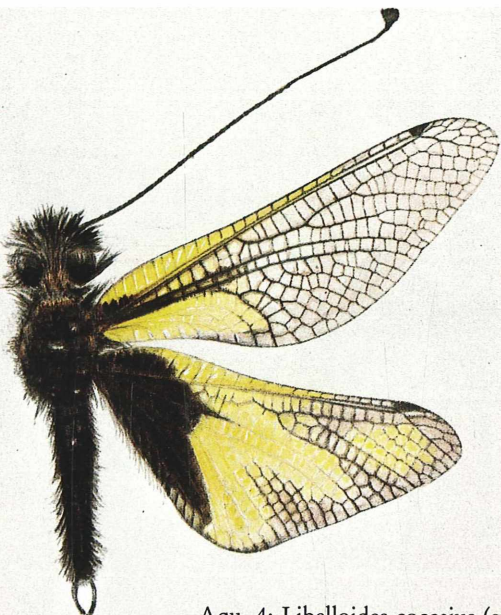
Aqu. 2: *Nemoptera coa*

10 mm

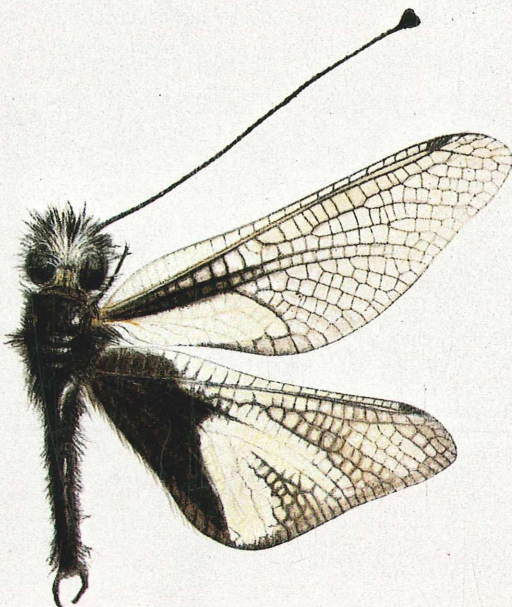


Aqu. 3: *Nemoptera bipennis*

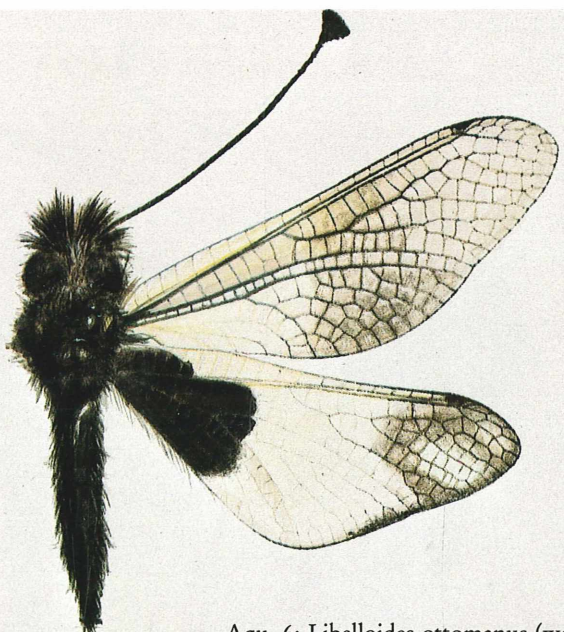
10 mm



Aqu. 4: *Libelloides coccajus* (gelbe Form)

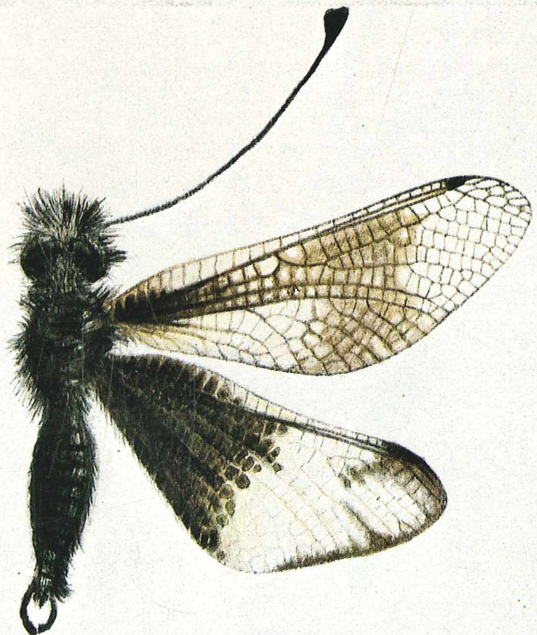


Aqu. 5: *Libelloides coccajus* (weiße Form)



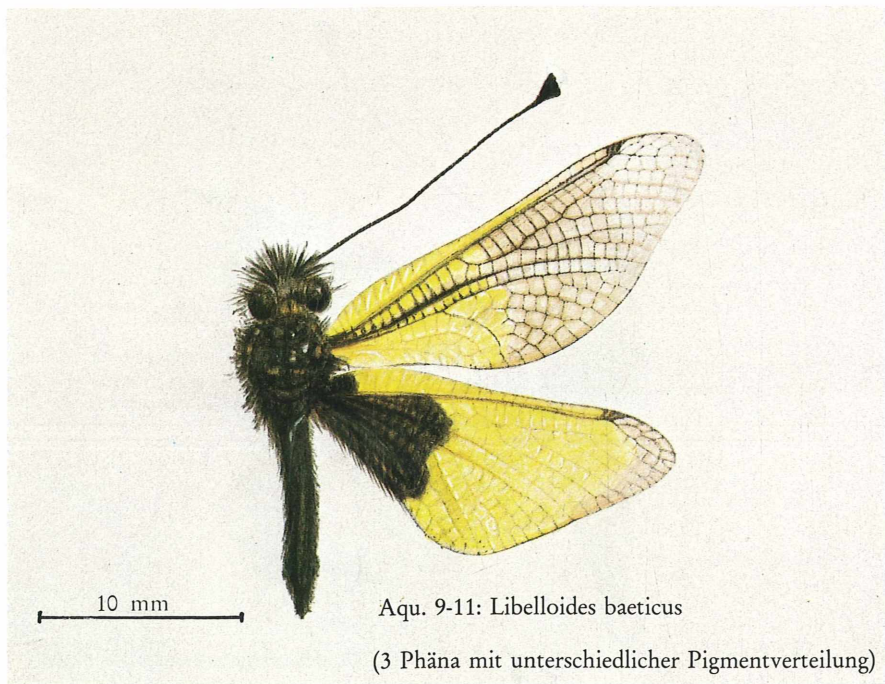
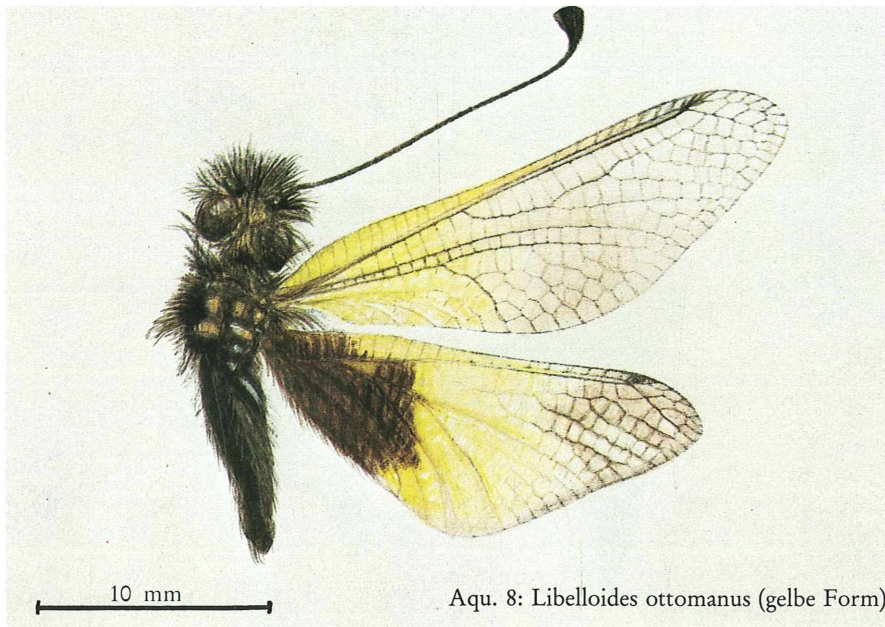
10 mm

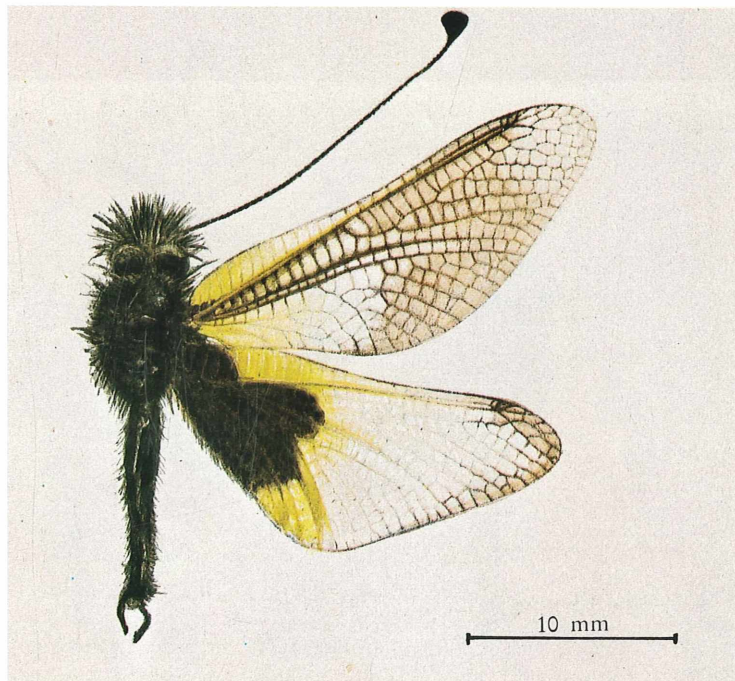
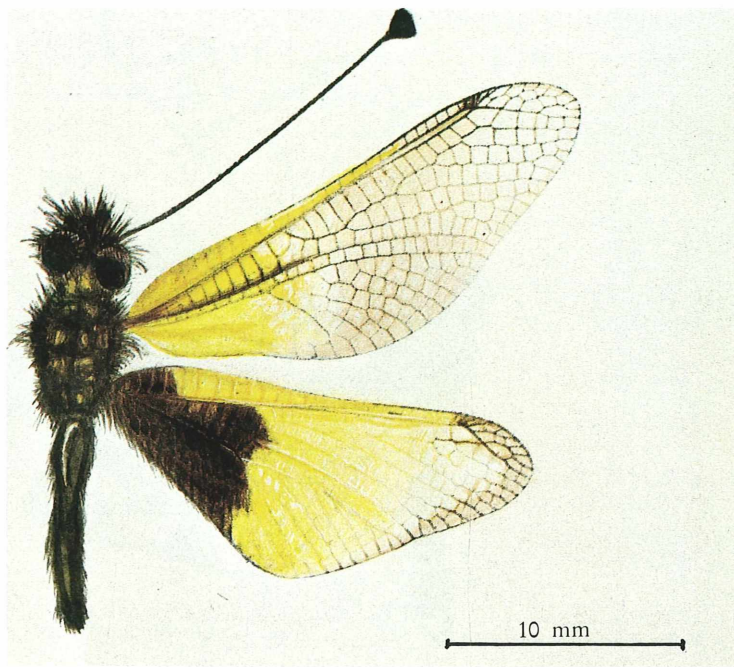
Aqu. 6: *Libelloides ottomanus* (weiße Form)

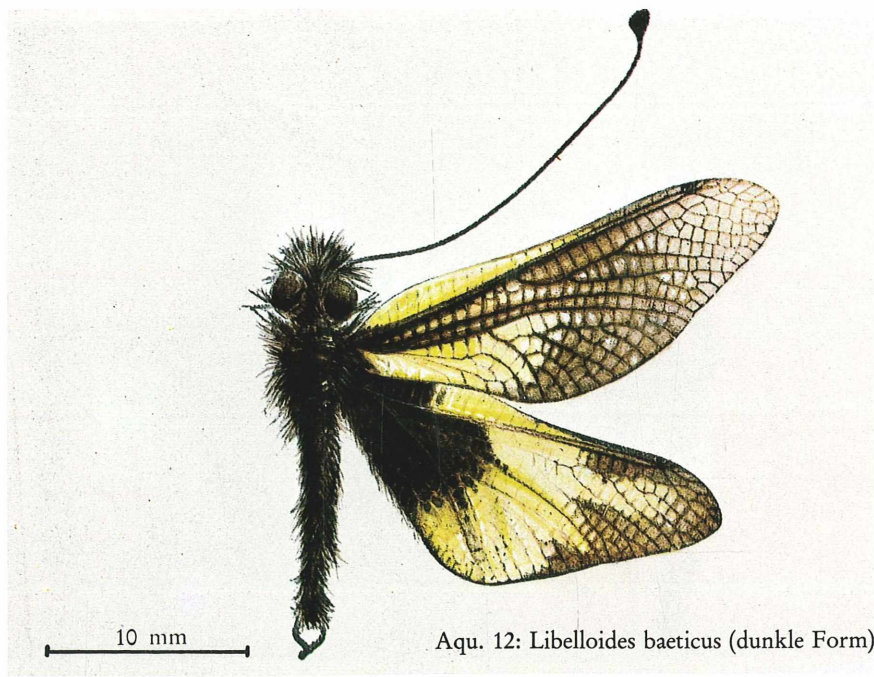


10 mm

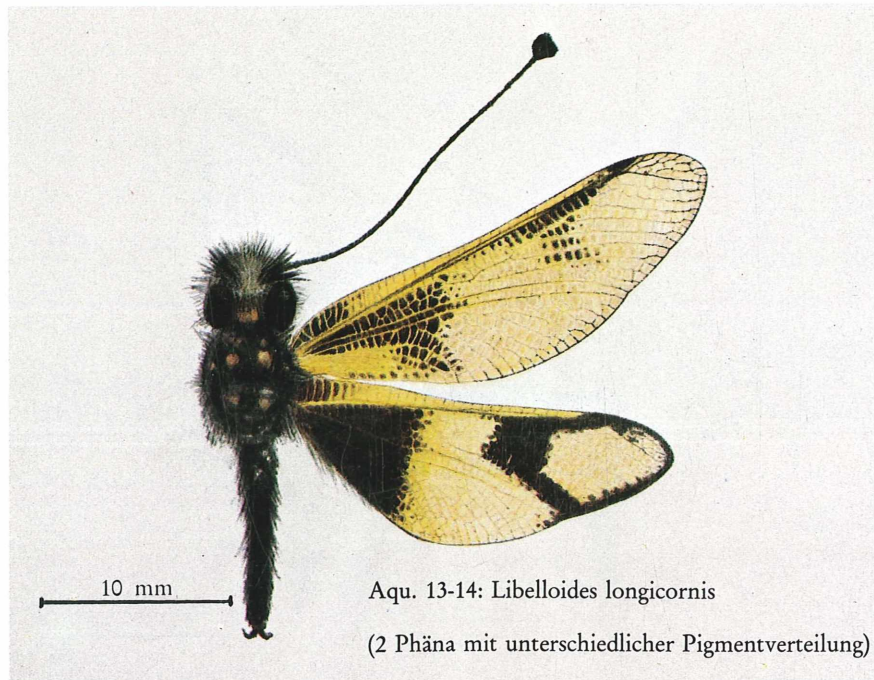
Aqu. 7: *Libelloides ottomanus* (dunkle Form)





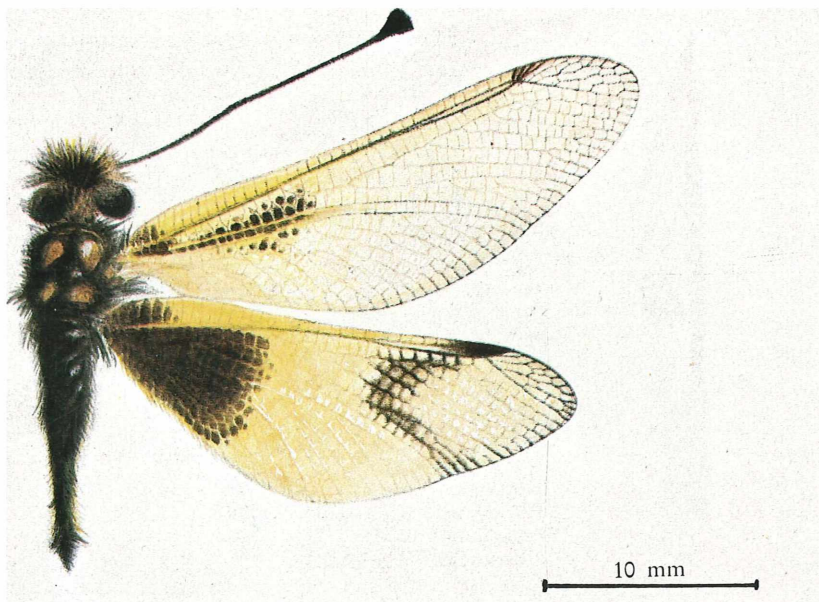


Aqu. 12: *Libelloides baeticus* (dunkle Form)

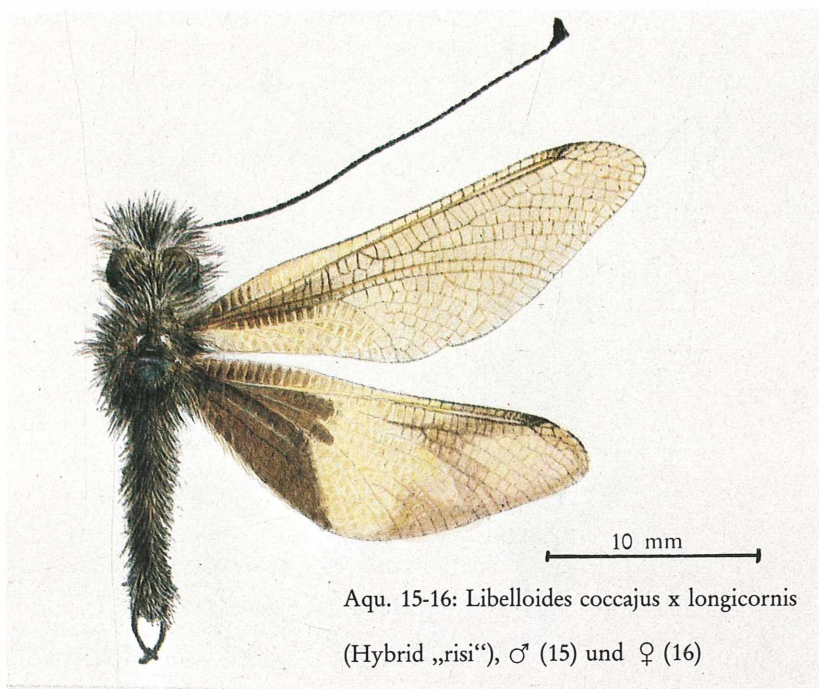


Aqu. 13-14: *Libelloides longicornis*

(2 Phäna mit unterschiedlicher Pigmentverteilung)

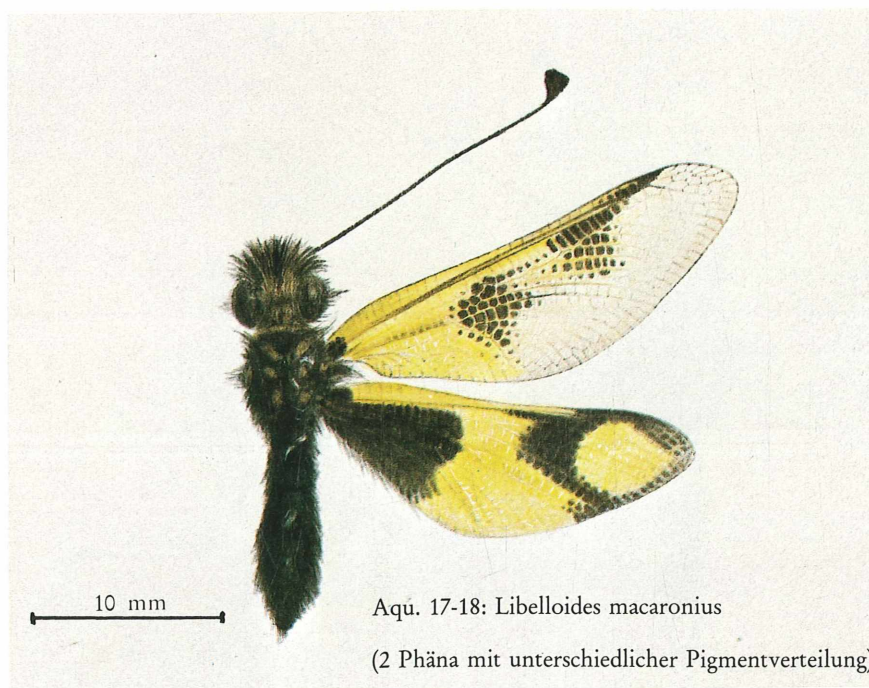
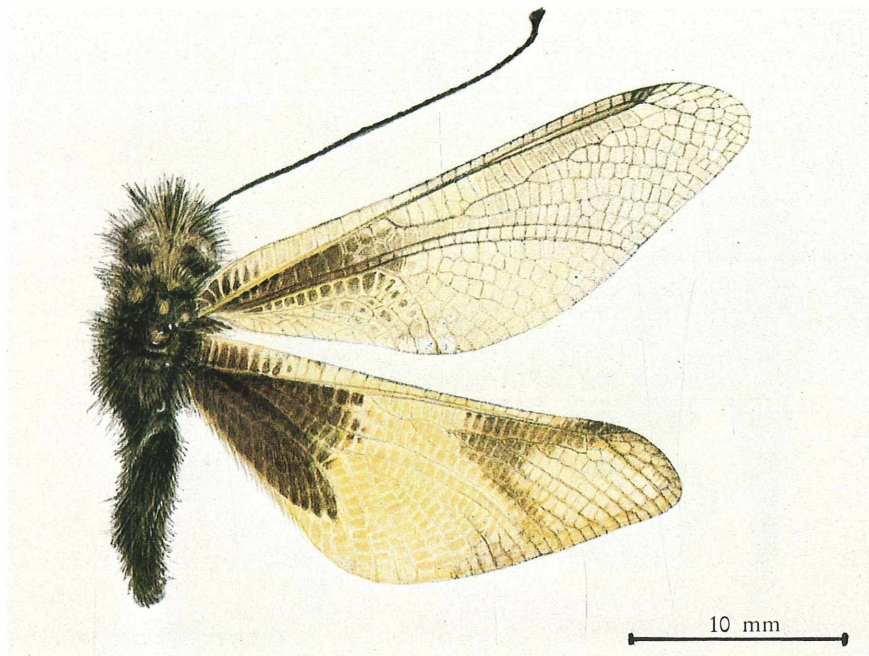


10 mm



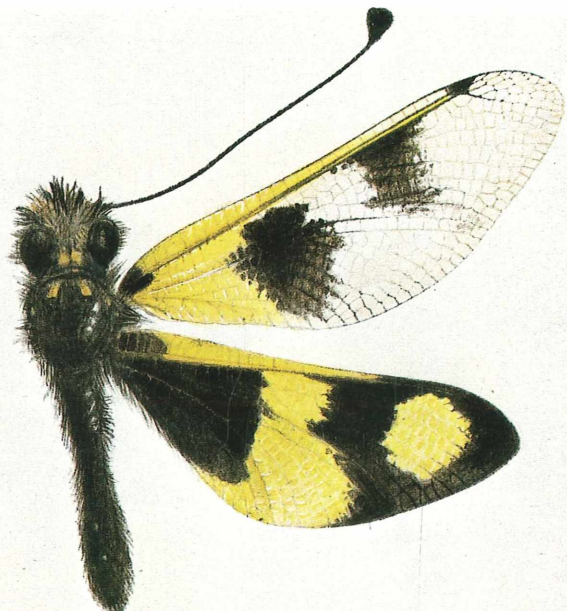
10 mm

Aqu. 15-16: *Libelloides coccinus* x *longicornis*
(Hybrid „risi“), ♂ (15) und ♀ (16)

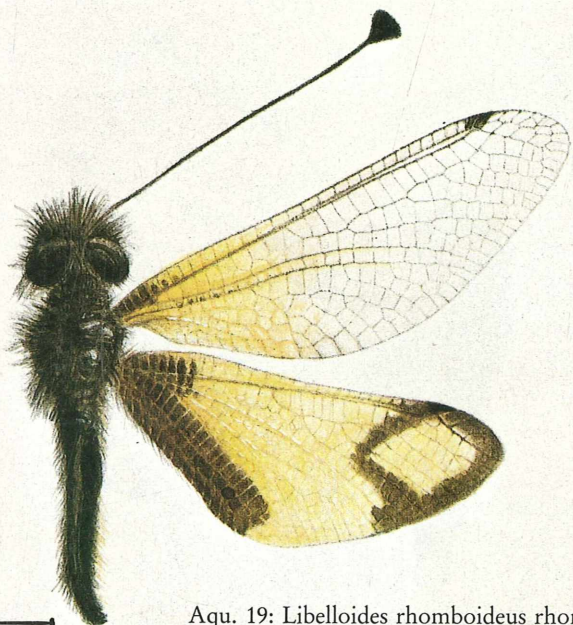


Aqu. 17-18: *Libelloides macaronius*

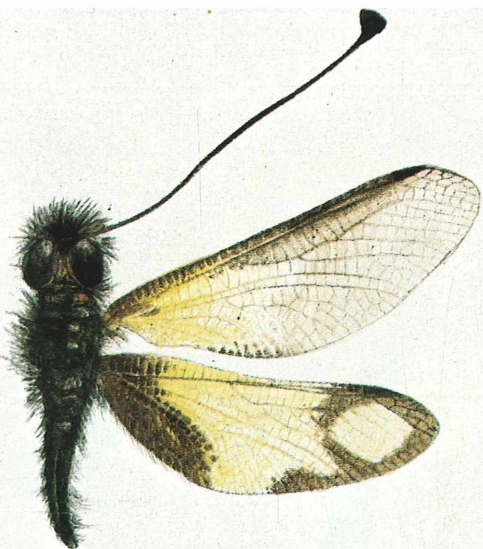
(2 Phäna mit unterschiedlicher Pigmentverteilung)



10 mm

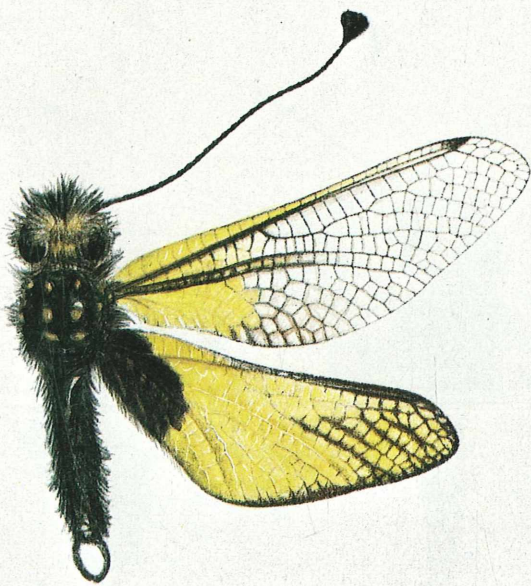


Aqu. 19: *Libelloides rhomboideus rhomboideus*



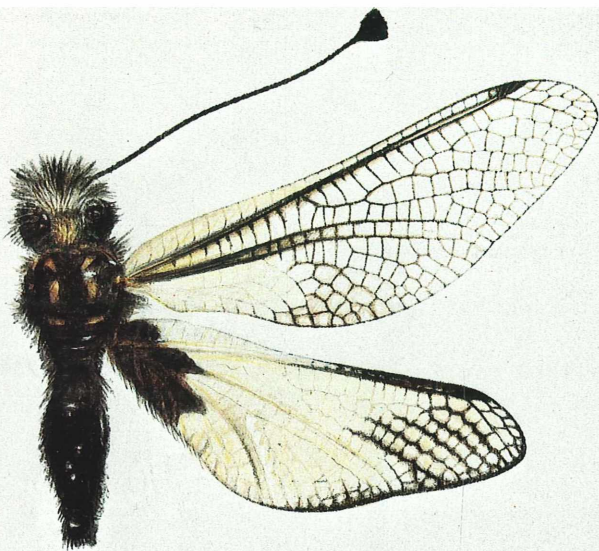
10 mm

Aqu. 20: *Libelloides rhomboideus cretensis*



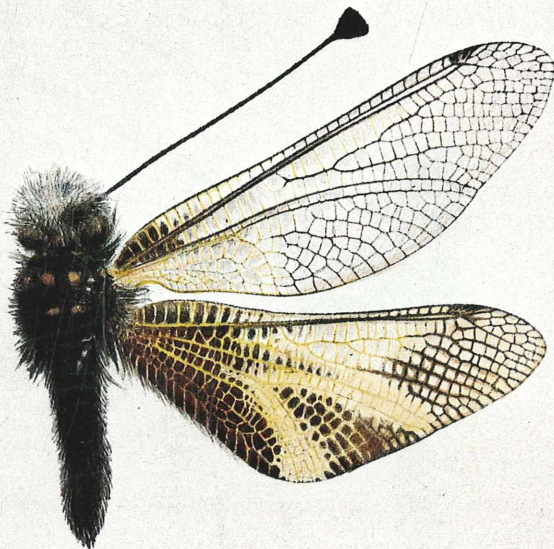
10 mm

Aqu. 21: *Libelloides italicus* (gelbe Form)



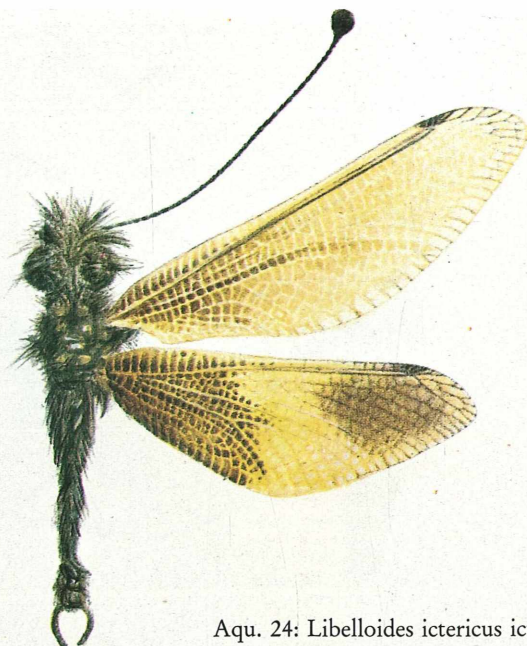
10 mm

Aqu. 22: *Libelloides italicus* (weiße Form)

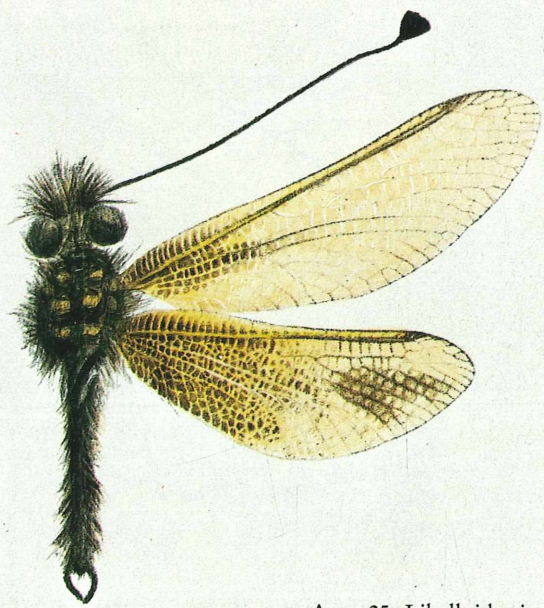


10 mm

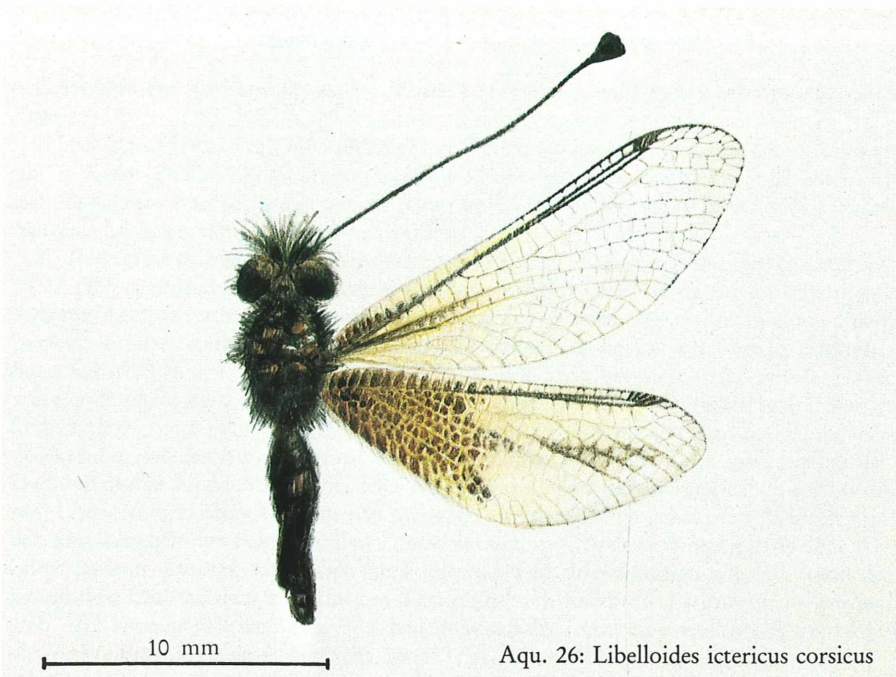
Aqu. 23: *Libelloides hispanicus*



Aqu. 24: *Libelloides ictericus ictericus*



Aqu. 25: *Libelloides ictericus siculus*



Aqu. 26: *Libelloides ictericus corsicus*

Vorbemerkungen zu den Verbreitungskarten

Grundlage der Verbreitungskarten (Karte 1-222) bilden die folgenden Materialien und Daten:

1. Die von uns seit etwa 1960 untersuchten — bearbeiteten oder auch nur determinierten und in Listen erfaßten — Neuropteren (vermutlich weit mehr als 100.000 Individuen, davon 70-80% aus Europa), außerdem die von Dr. P. OHM und von H. RAUSCH determinierten und listenmäßig erfaßten Materialien.

2. Alle glaubwürdigen Angaben anderer Autoren. Dabei wurde die gesamte bis 31.12.1978 erschienene (uns bekannte) Literatur kritisch gesichtet, später veröffentlichte Arbeiten konnten nur ausnahmsweise berücksichtigt werden. Die Aufnahme von Fundpunkten aus der Literatur erfolgte unter Bedachtnahme auf die Tatsache, daß die Einbeziehung unverlässlicher Daten den Wert der Karten erheblich beeinträchtigen würde. Daher wurden Fundangaben über schwierig zu differenzierende und oft verwechselte Spezies (Subspezies) grundsätzlich nur dann aufgenommen, wenn es als erwiesen betrachtet werden konnte, daß der Autor über die notwendigen taxonomischen Kenntnisse verfügt hat. Dadurch mußte auf die Aufnahme vieler Angaben, vor allem der älteren (jedoch auch neuen) Literatur verzichtet werden; von manchen als unverlässlich bekannten Autoren wurden grundsätzlich nur Angaben über „unverwechselbare“ Spezies akzeptiert. Welche Angaben anderer Autoren tatsächlich im konkreten Fall aufgenommen wurden, kann der Synonymie-Liste zu dem betreffenden Taxon (Spezies, Subspezies) entnommen werden: „Vb“ in Klammern hinter einem Zitat bedeutet, daß der Autor eine relevante Angabe über die Verbreitung des Taxons gemacht hat.

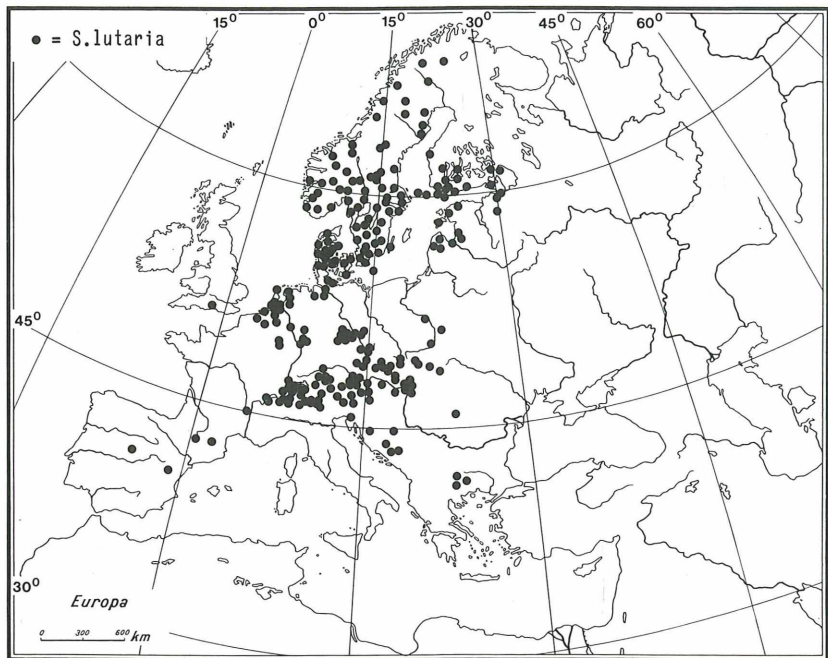
3. Noch nicht publizierte Nachweise, die uns von Kollegen zum Zwecke der Einbeziehung in unsere Verbreitungskarten zur Verfügung gestellt wurden; insbesondere betrifft dies die Neuropteren-Faunen der Schweiz, Bulgariens, Ungarns und der Tschechoslowakei (siehe Kapitel 1.3. p. 18).

In einigen wenigen Fällen wird bei der Behandlung einer Spezies im Absatz „Verbreitung“ (Kapitel 4) und in Tabelle 11 ein Land genannt, für das in der Verbreitungskarte kein Fundpunkt aufscheint; dies deshalb, weil in der betreffenden Arbeit nur ein Staat (Landschaft) genannt wurde oder weil der angegebene Ort in den verfügbaren Atlanten und Landkarten nicht auffindbar ist, die Angabe aber grundsätzlich verlässlich erscheint (dies betrifft ausnahmsweise sogar den locus typicus).

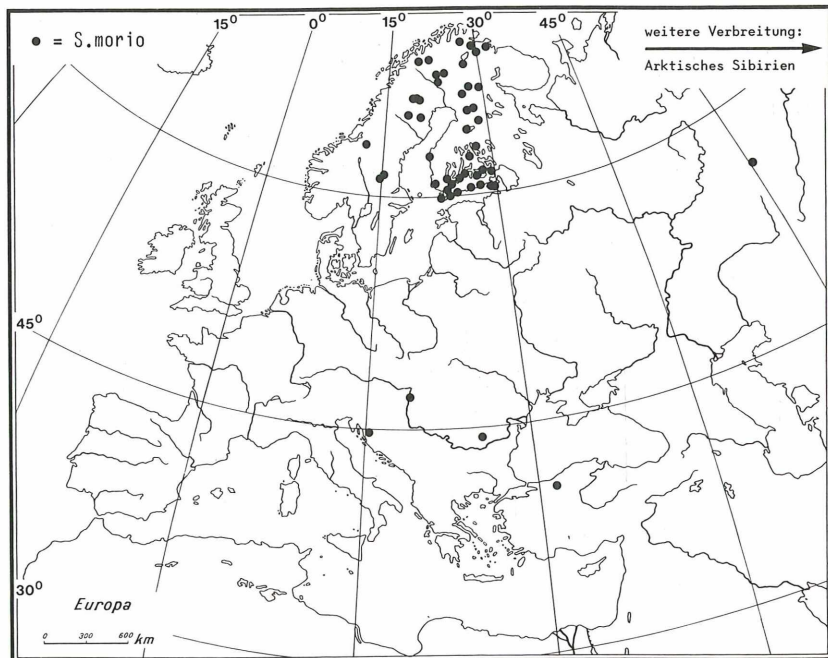
Außereuropäische Fundpunkte wurden — soweit das Kartenbild ausreicht — durchwegs aufgenommen; alle übrigen Vorkommen eines Taxons außerhalb Europas sind durch kurze Hinweise auf den Karten charakterisiert, nähere Angaben enthält der Absatz „Verbreitung“ im Rahmen der Behandlung der Spezies im Kapitel 4.

Die Darstellung der Verbreitung in Punktkarten des verwendeten Maßstabs bedingt selbstverständlich, daß nahe beisammen liegende Fundorte auf der Karte nur einen Fundpunkt ergeben; zahlreiche Punkte — vor allem in Mitteleuropa, aber auch in vielen anderen besonders gut durchforschten Teilen Europas und namentlich auch des Mittelmeerraumes — „enthalten“ daher de facto wesentlich mehr als nur einen Nachweis. In den weitaus meisten Fällen kann dieser vergleichsweise geringe und biogeographisch bedeutungslose Informationsverlust zugunsten der Übersichtlichkeit ohne weiteres in Kauf genommen werden; soweit notwendig, wurde aber die Verbreitung (oder Teile der Verbreitung) in einer zweiten Karte mit größerem Maßstab dargestellt.

Karte 1

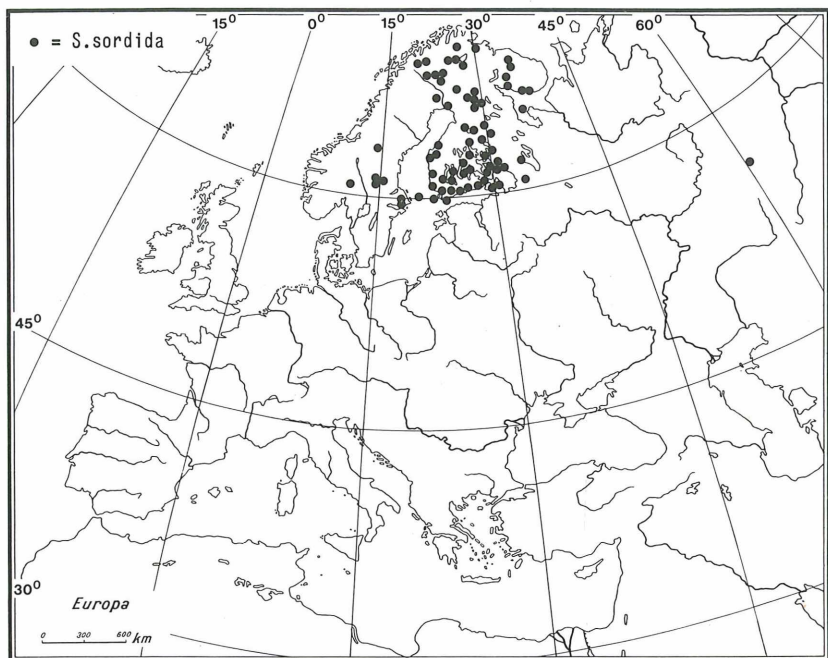
Sialidae: *Sialis*

Karte 2

Sialidae: *Sialis*

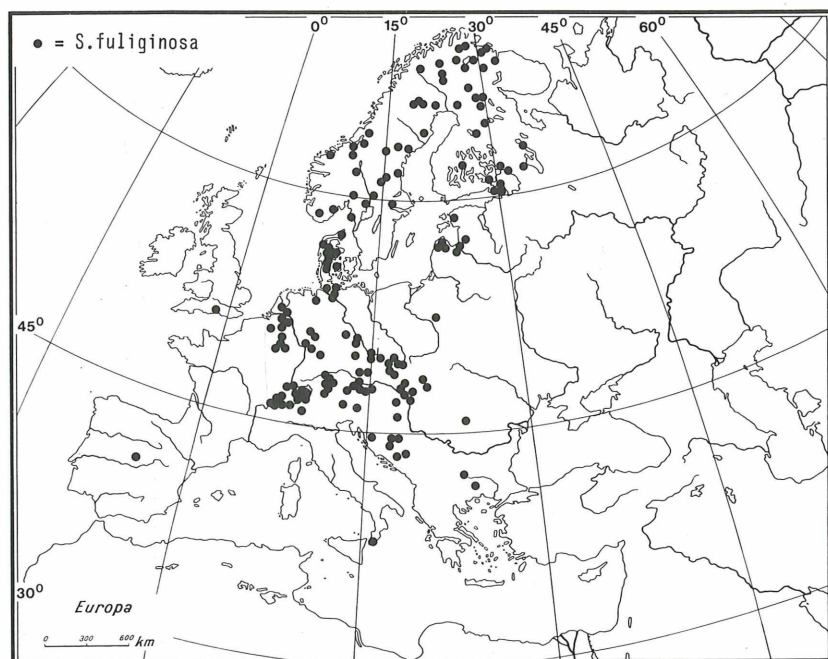
Karte 3

Sialidae: *Sialis*

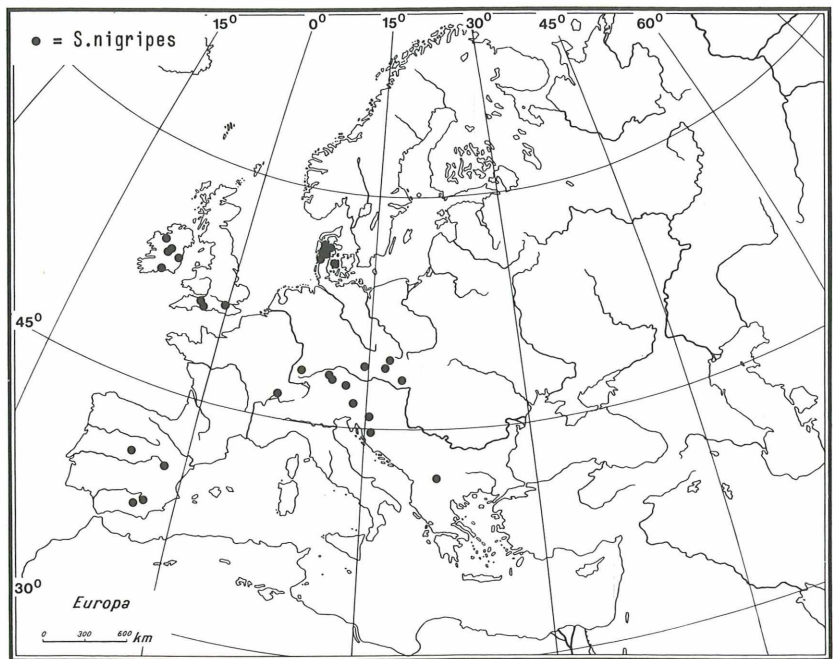


Karte 4

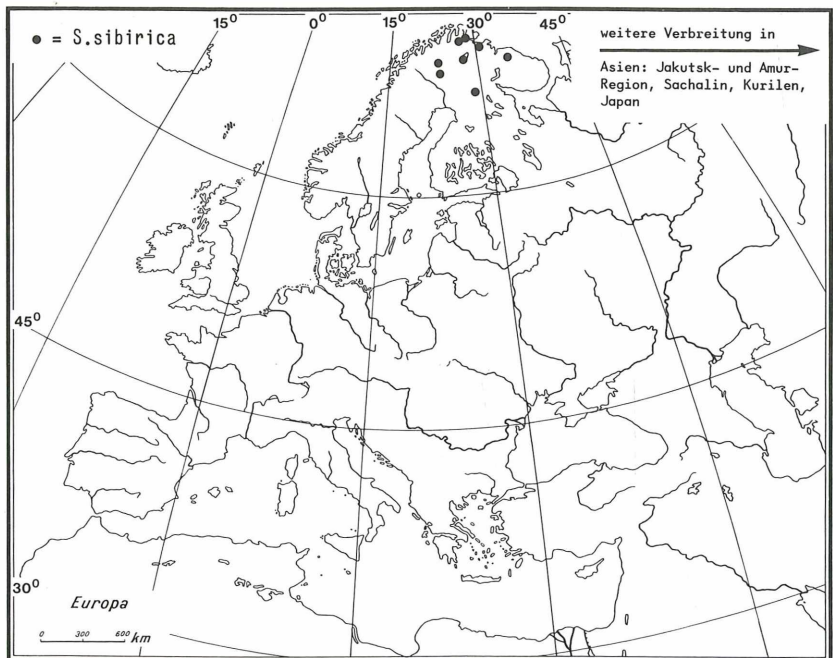
Sialidae: *Sialis*



Karte 5

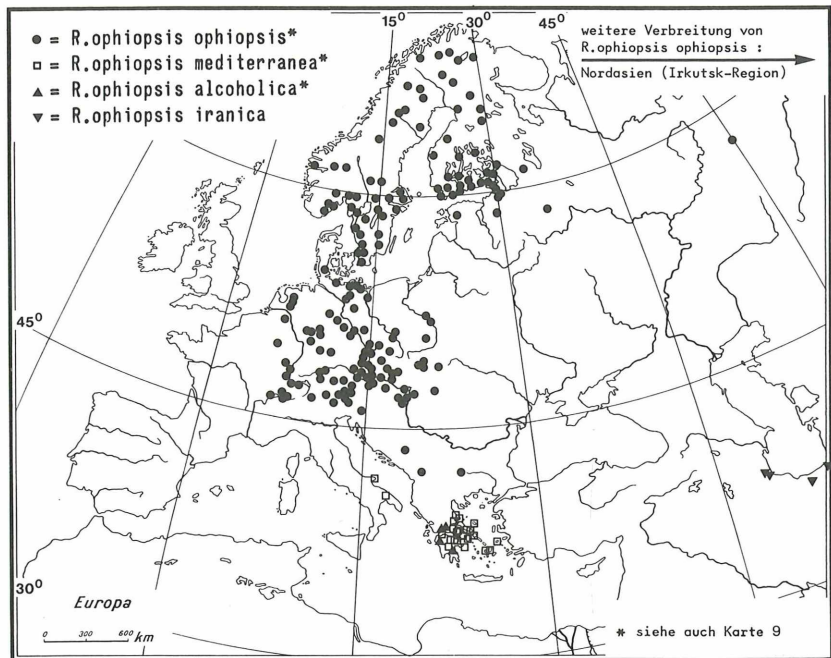
Sialidae: *Sialis*

Karte 6

Sialidae: *Sialis*

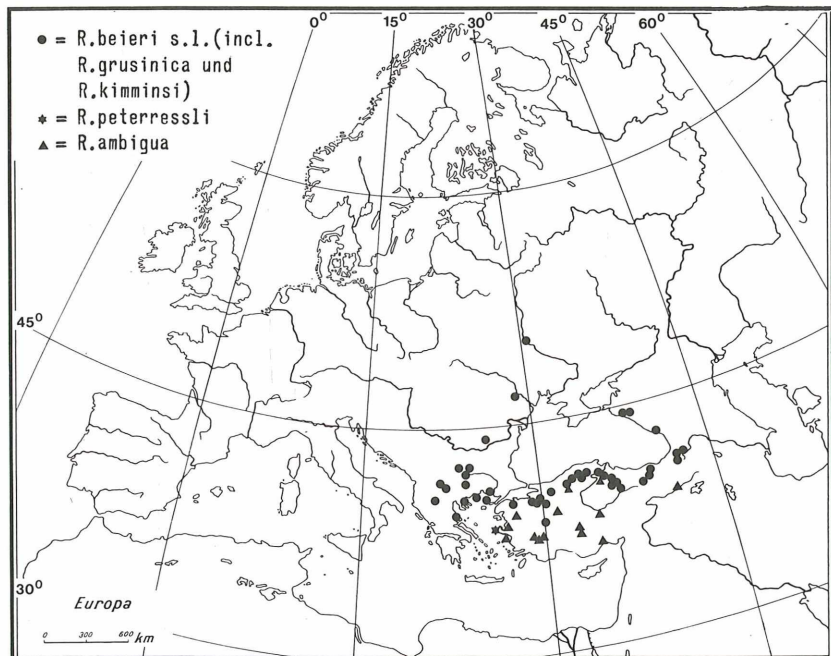
Karte 7

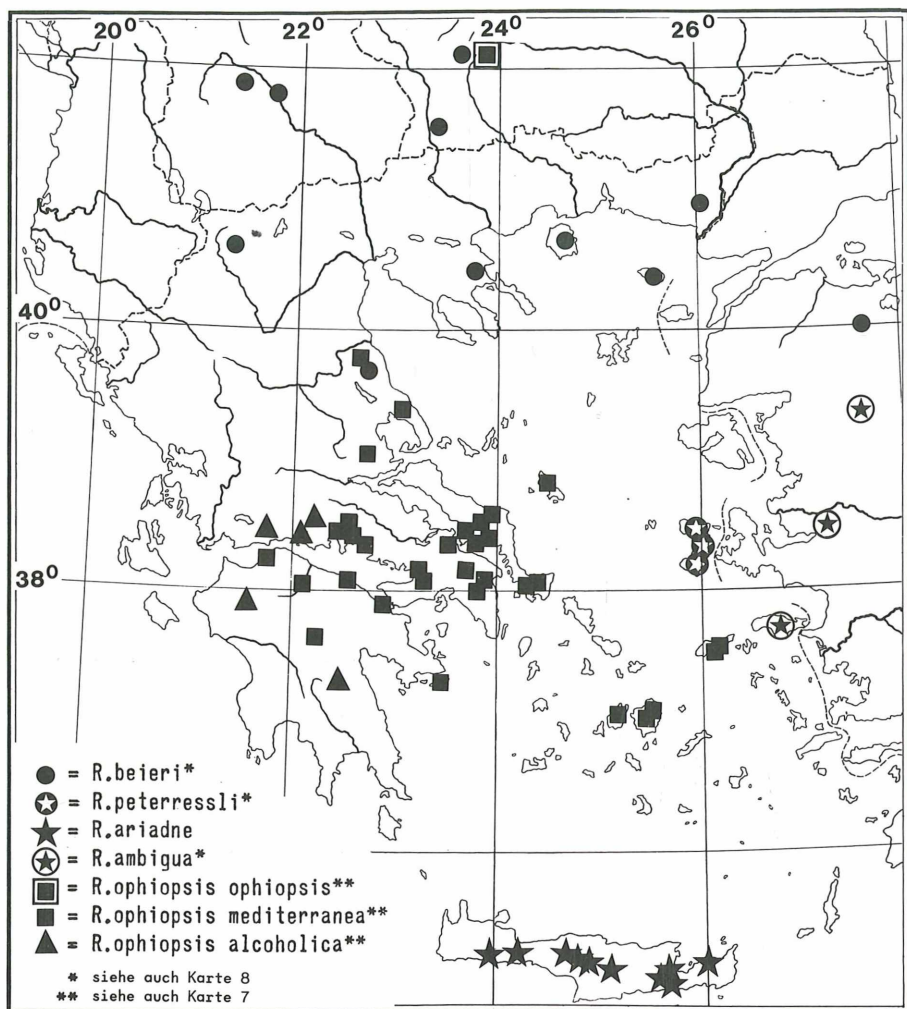
Raphidiidae: Raphidia (Raphidia)

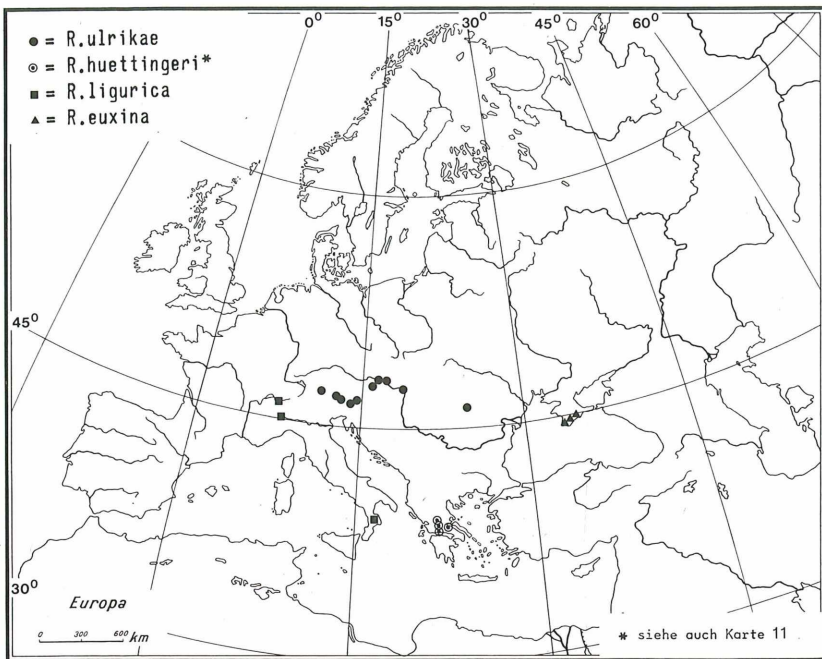


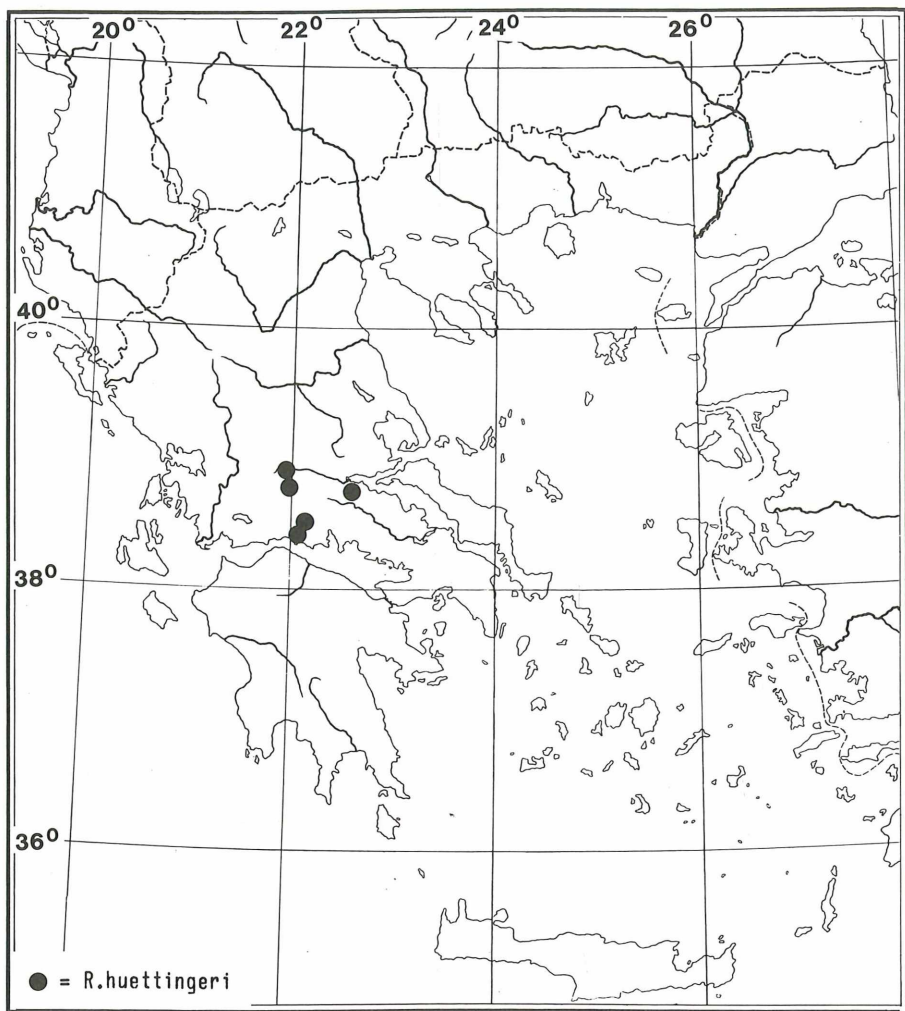
Karte 8

Raphidiidae: Raphidia (Raphidia)



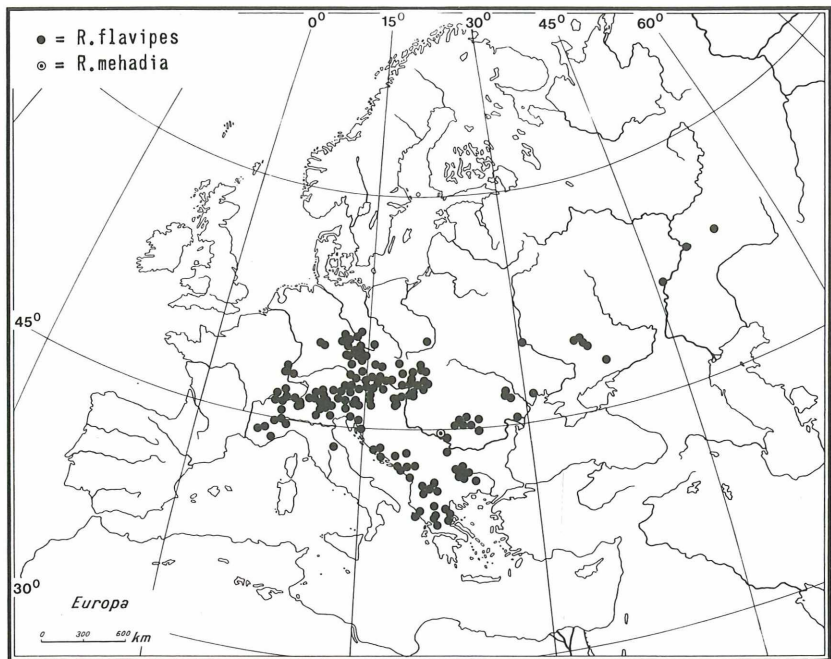






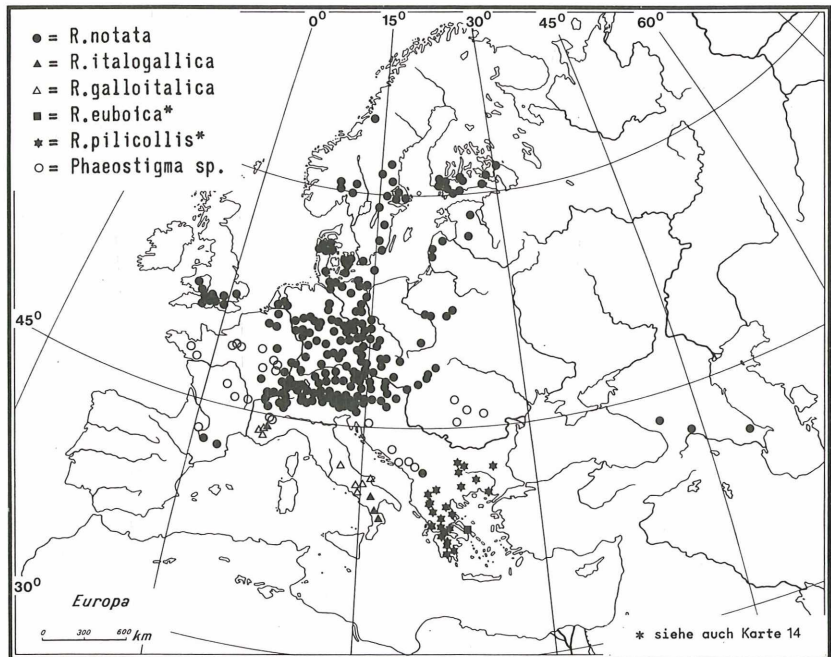
Karte 12

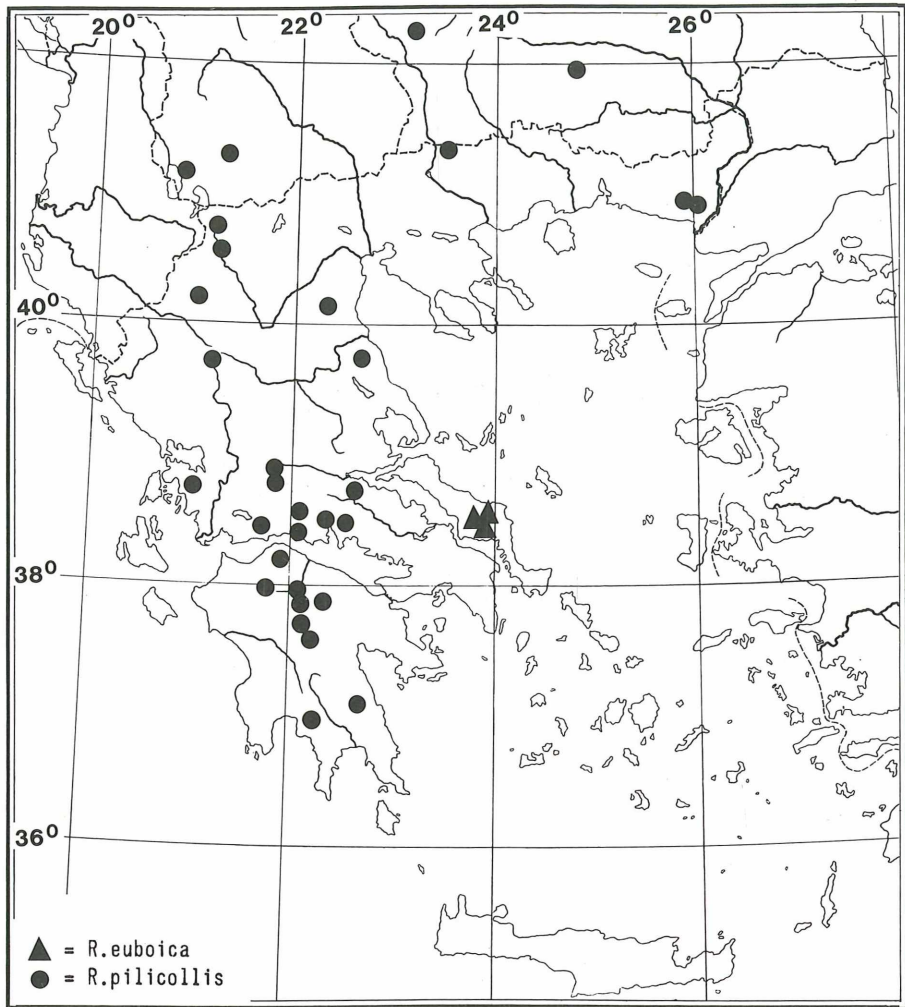
Raphidiidae: Raphidia (Dichrostigma)

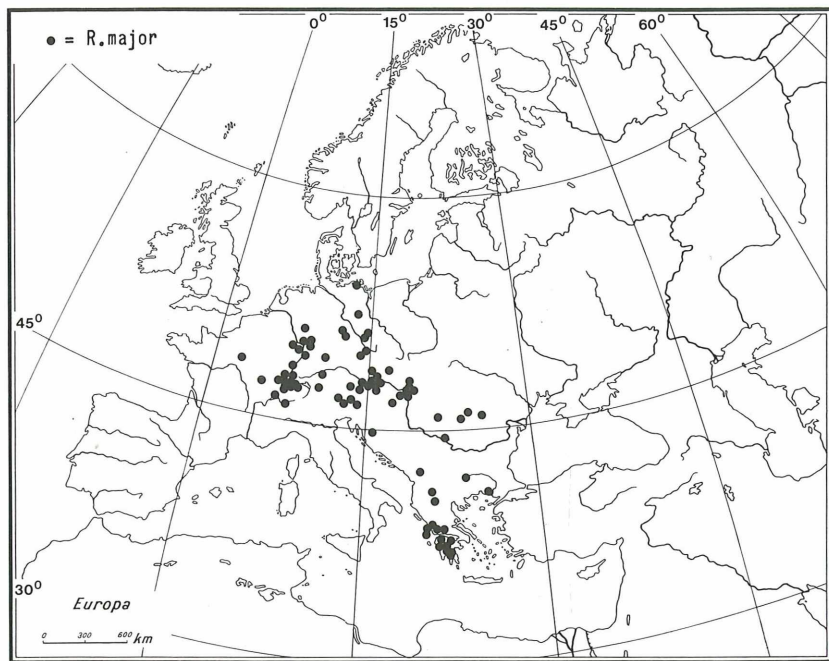


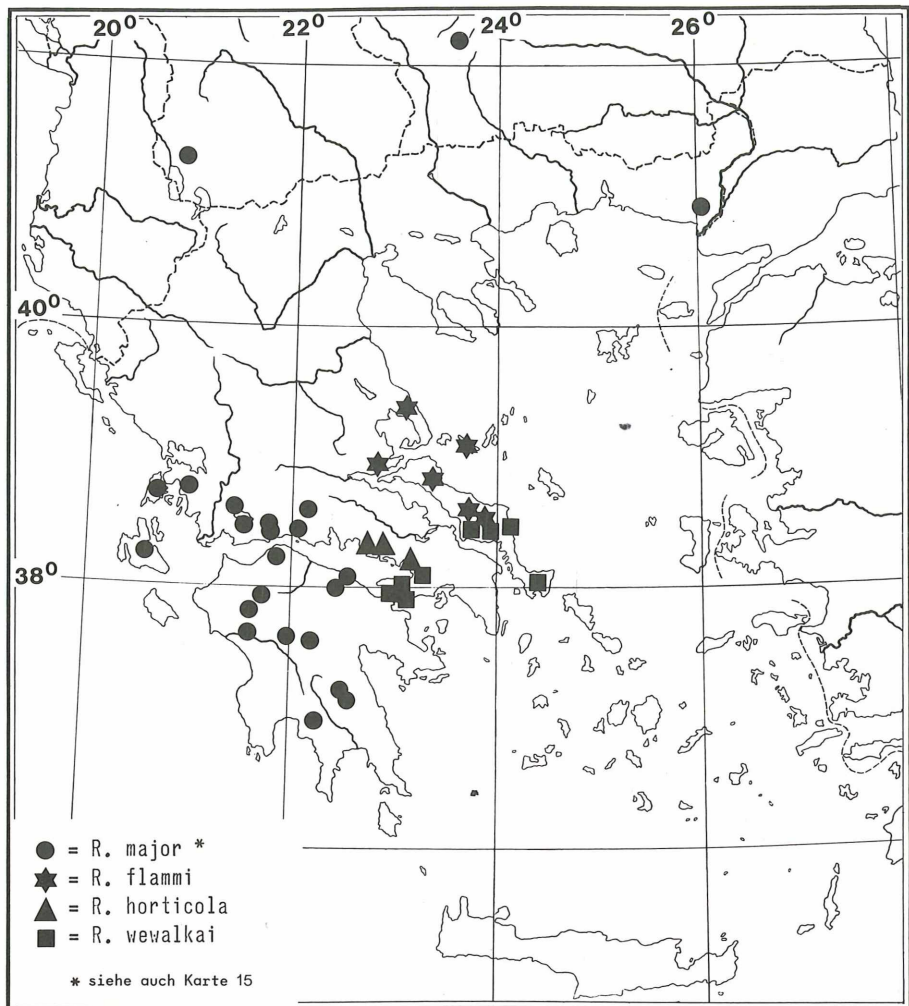
Karte 13

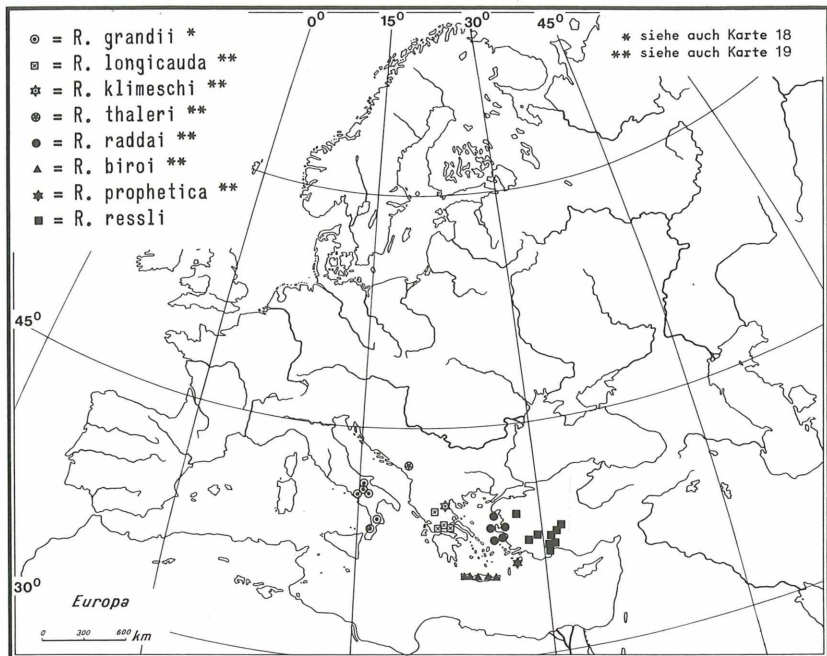
Raphidiidae: Raphidia (Phaeostigma)

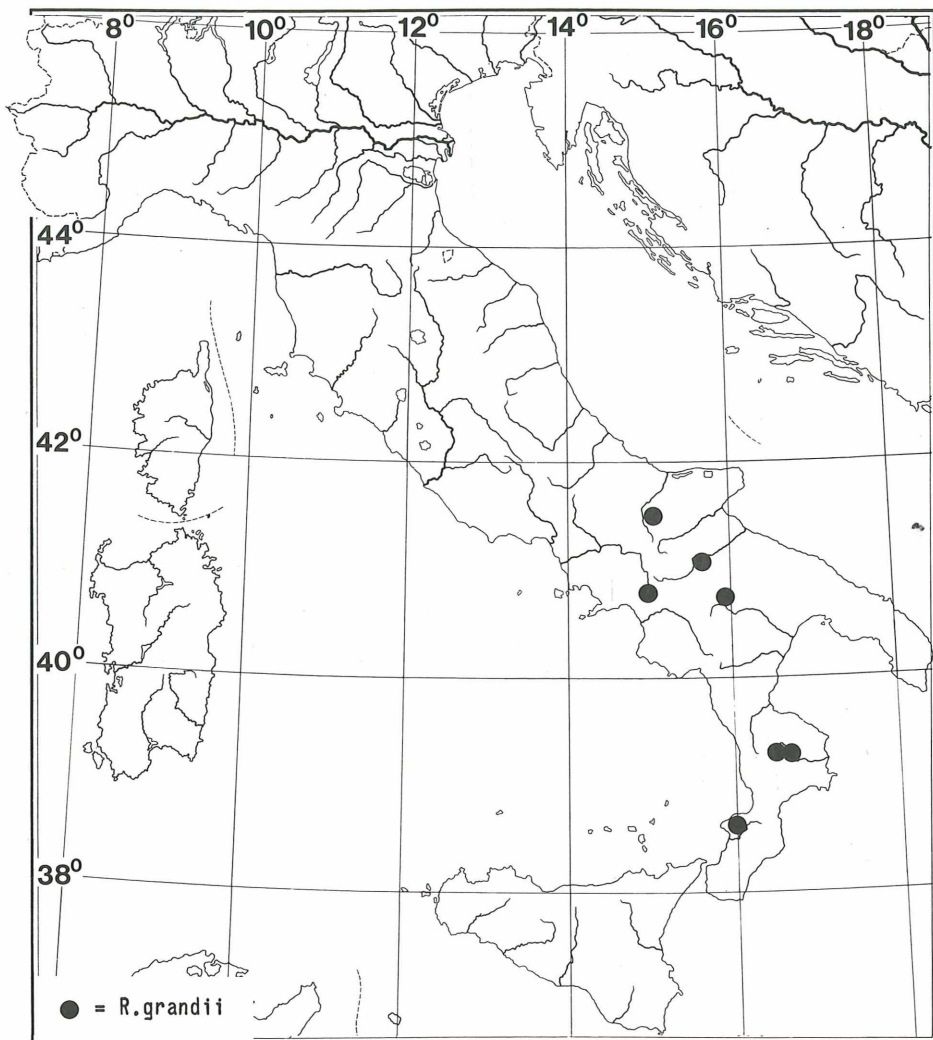


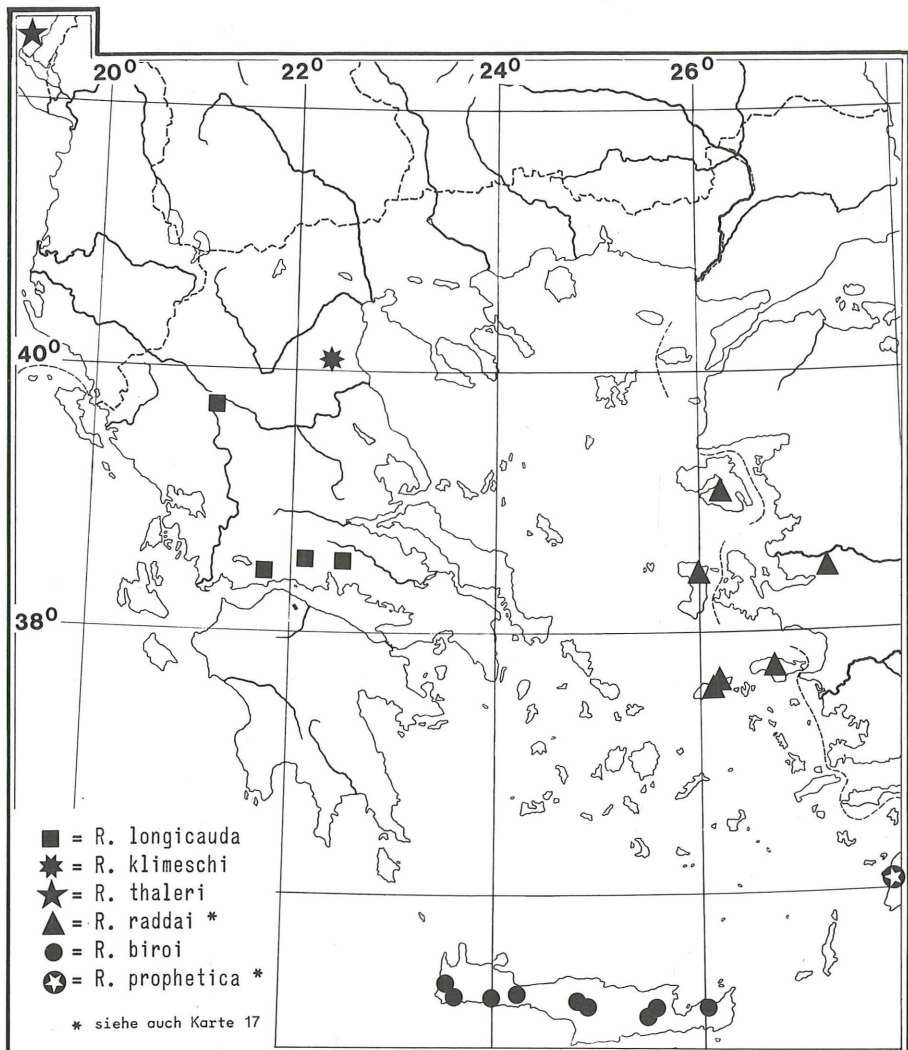


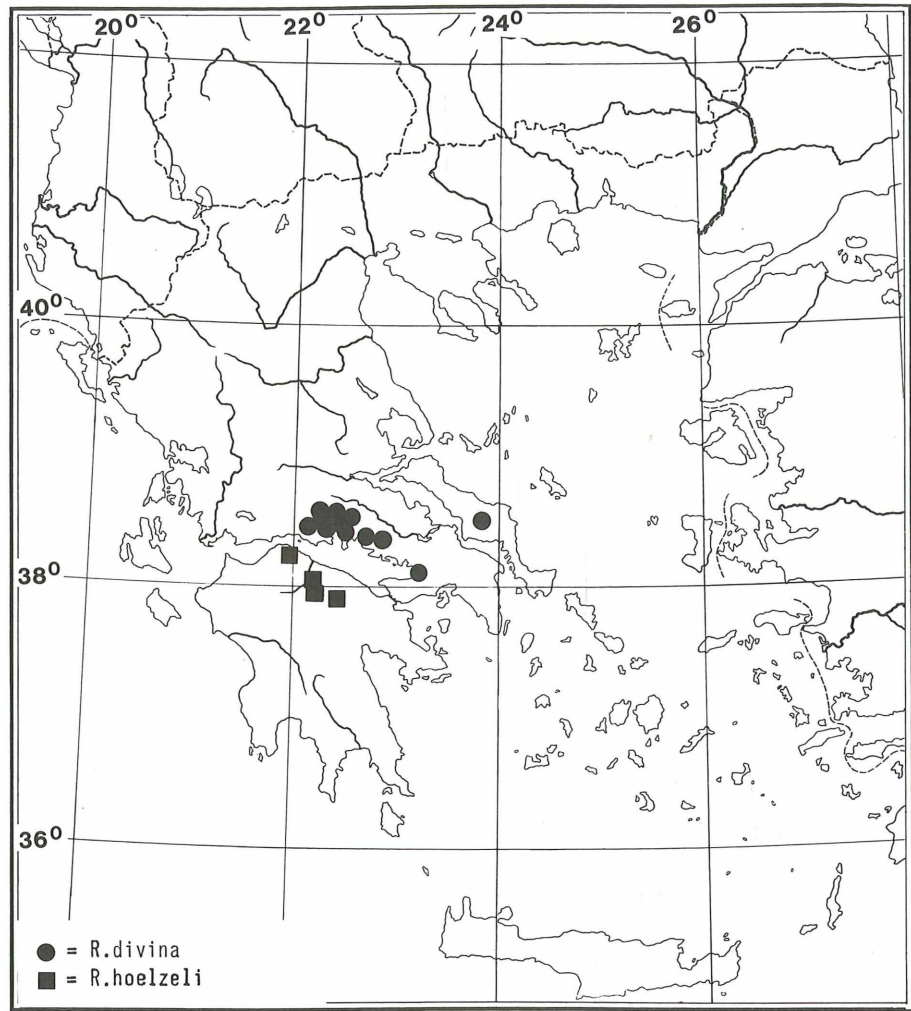


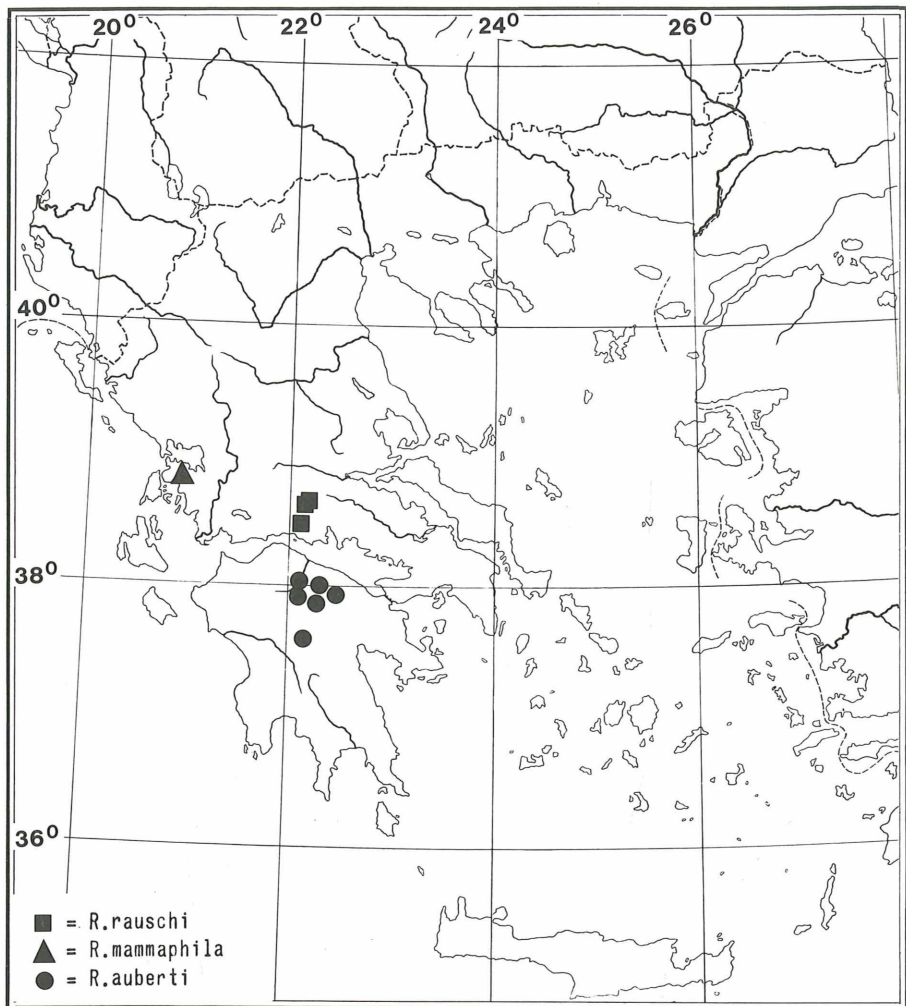


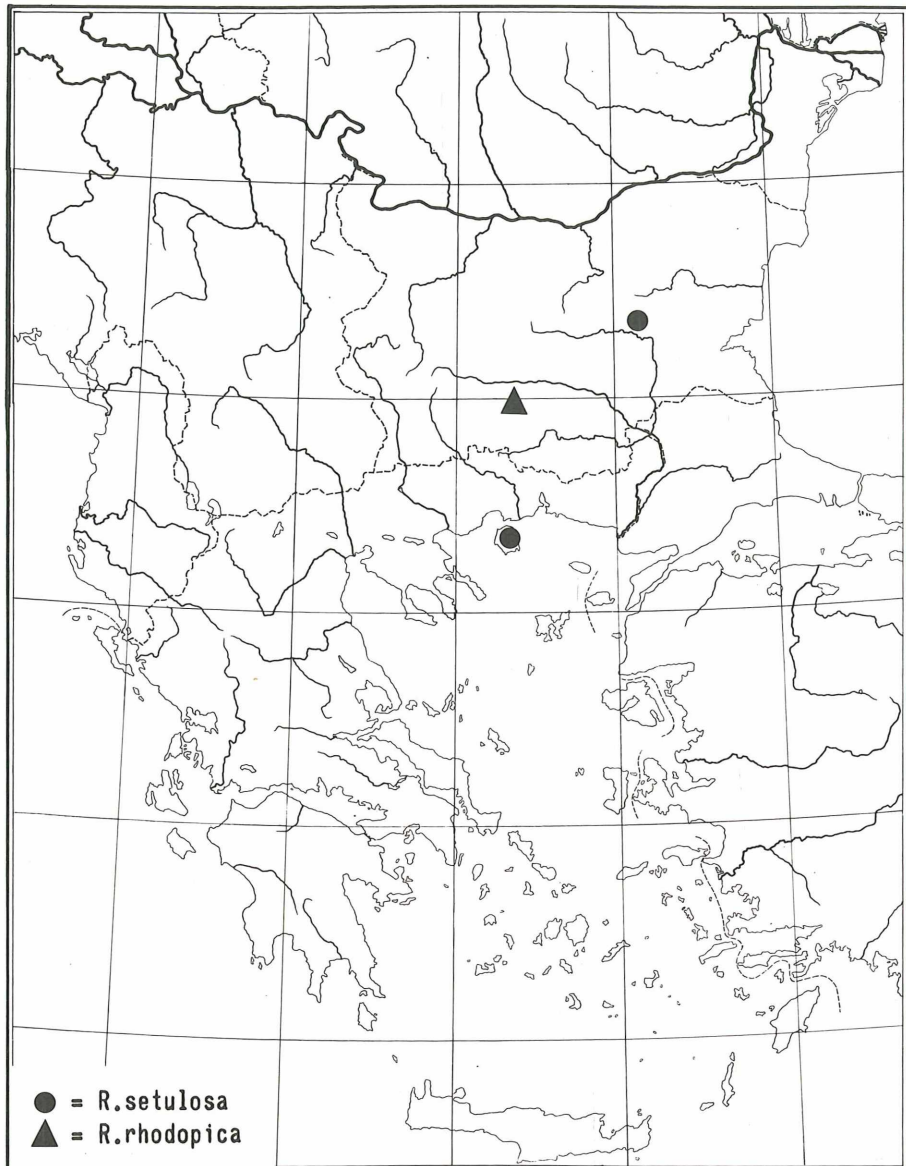


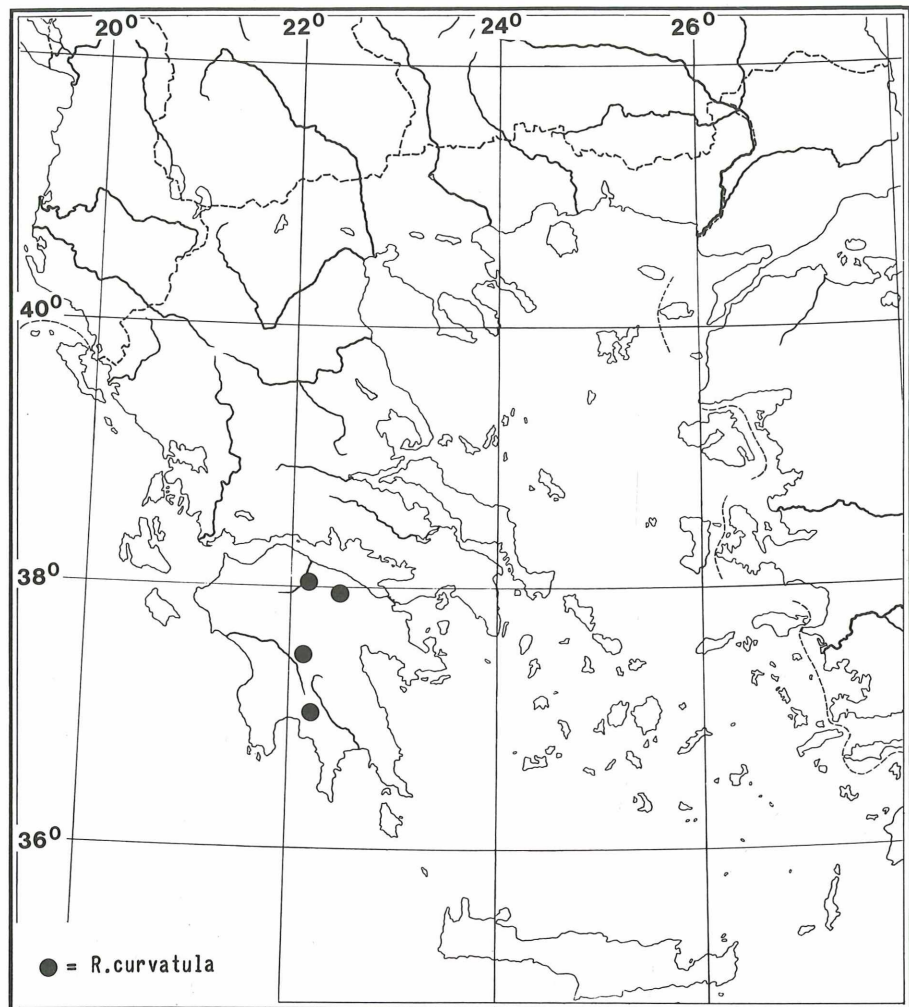






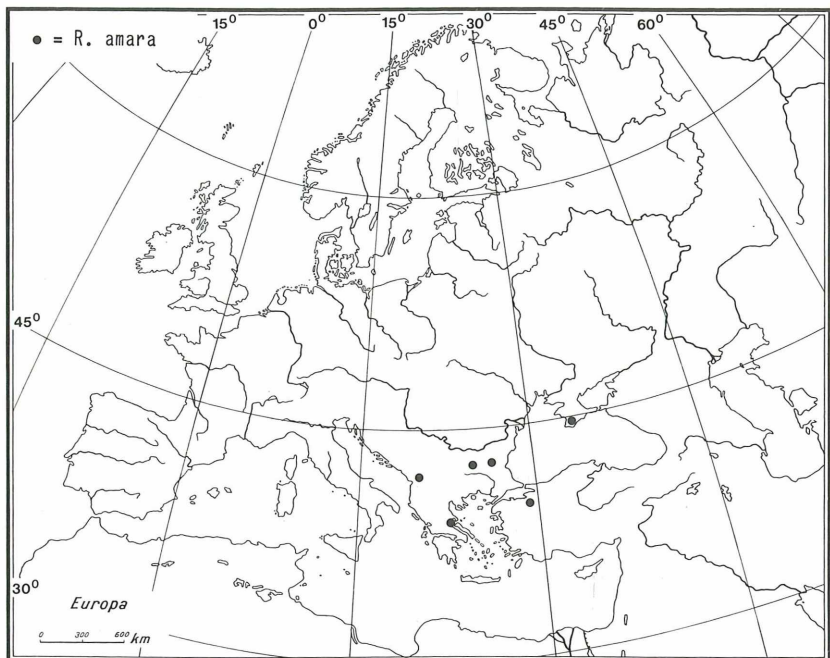






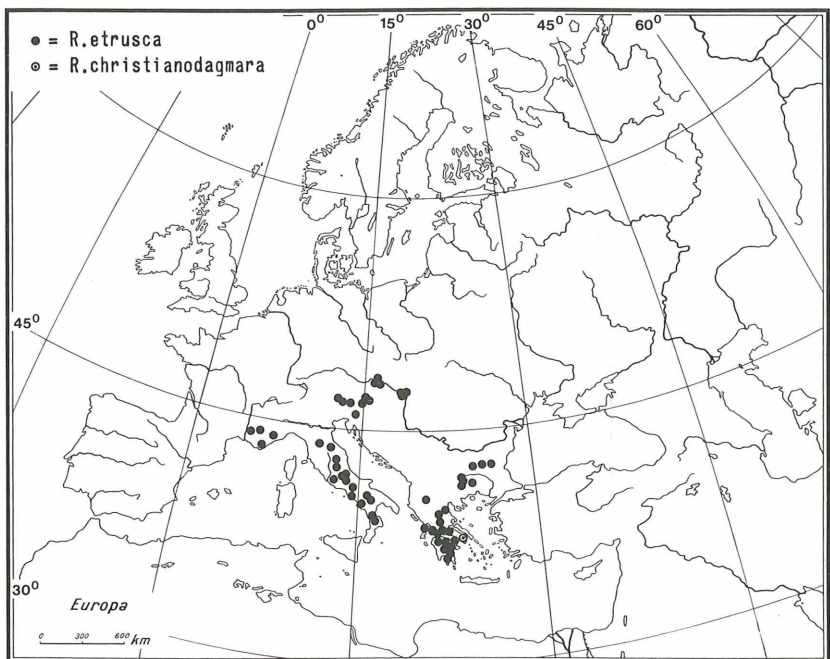
Karte 24

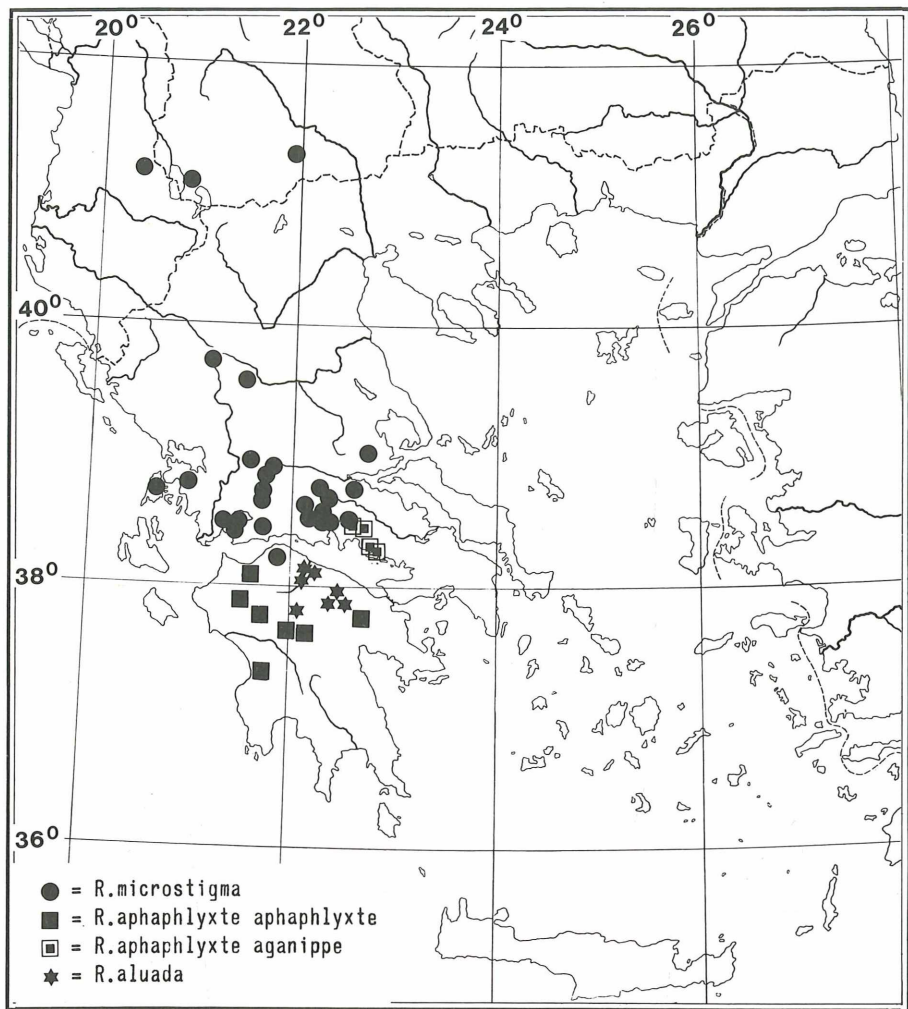
Raphidiidae: Raphidia (Turcoraphidia)



Karte 25

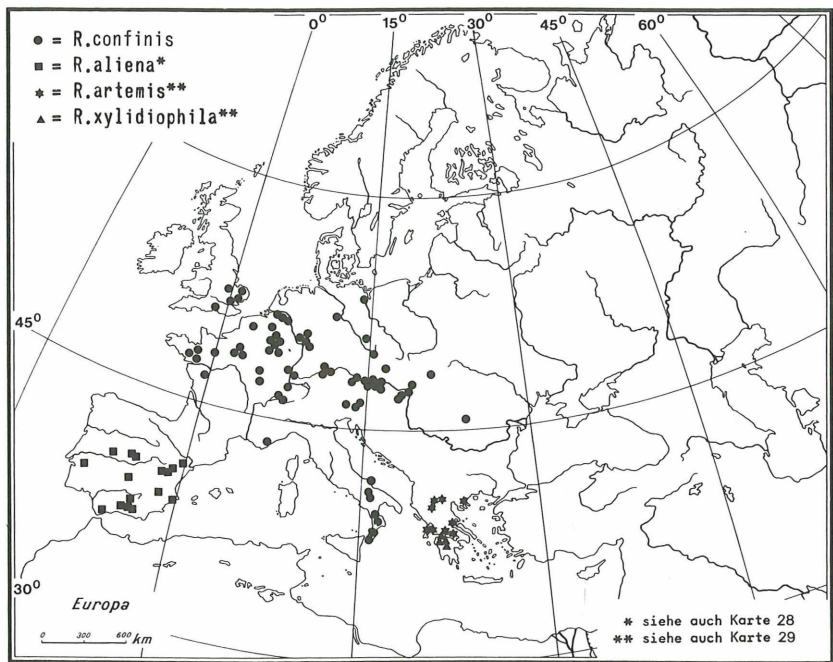
Raphidiidae: Raphidia (Ornatoraphidia)





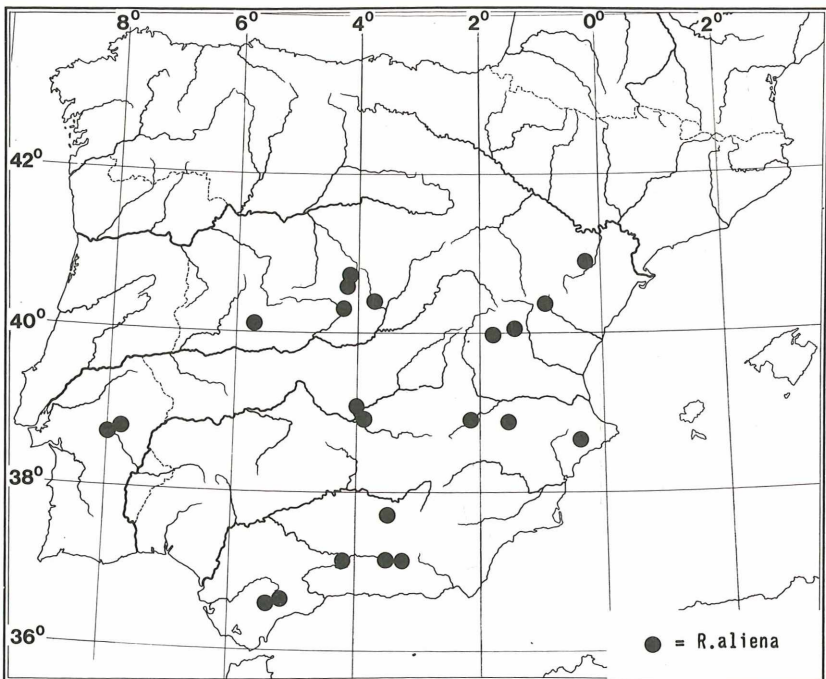
Karte 27

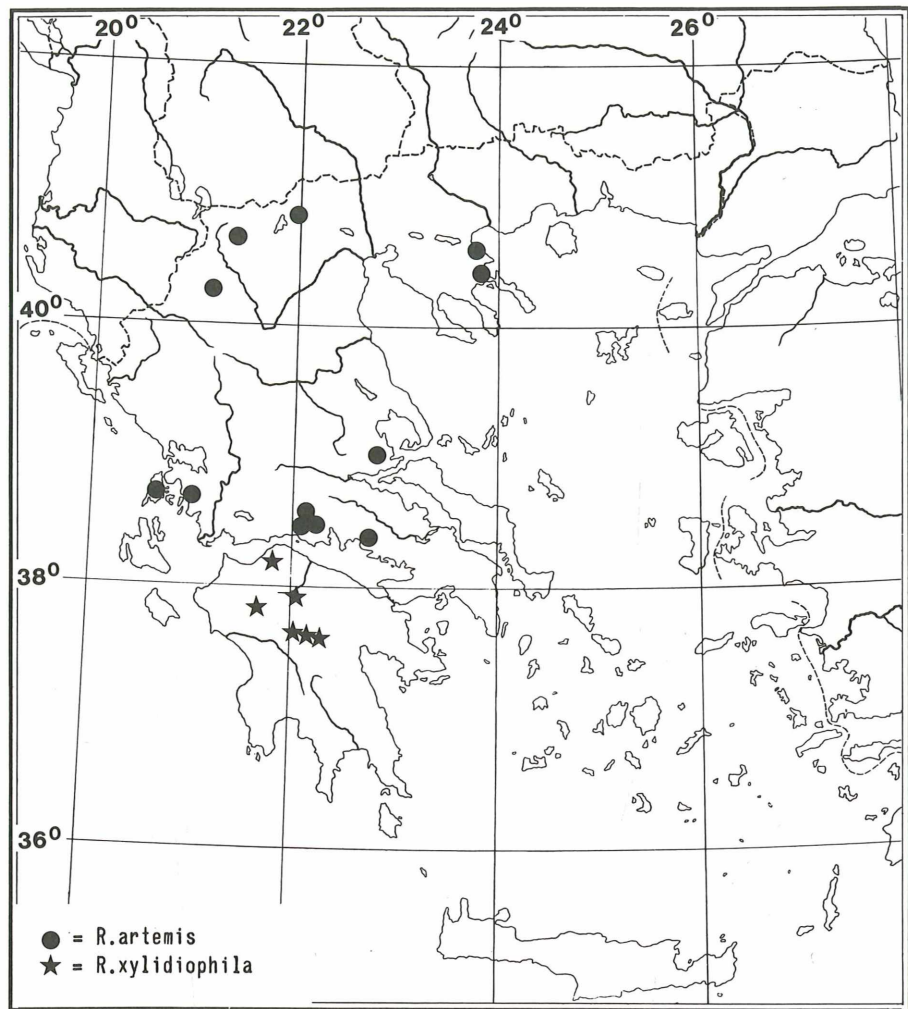
Raphidiidae: Raphidia (Subilla)



Karte 28

Raphidiidae: Raphidia (Subilla)



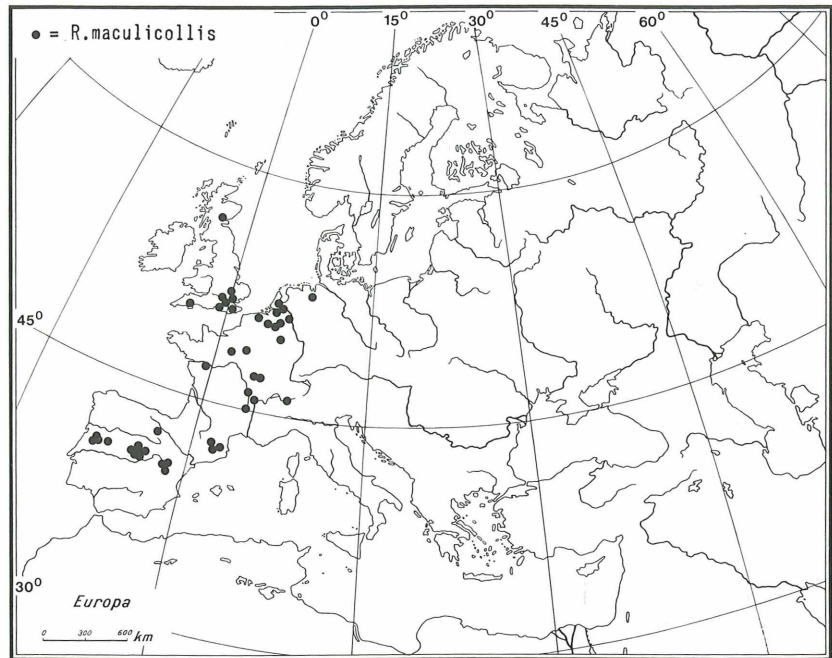


● = *R. artemis*

★ = *R. xyloidiophila*

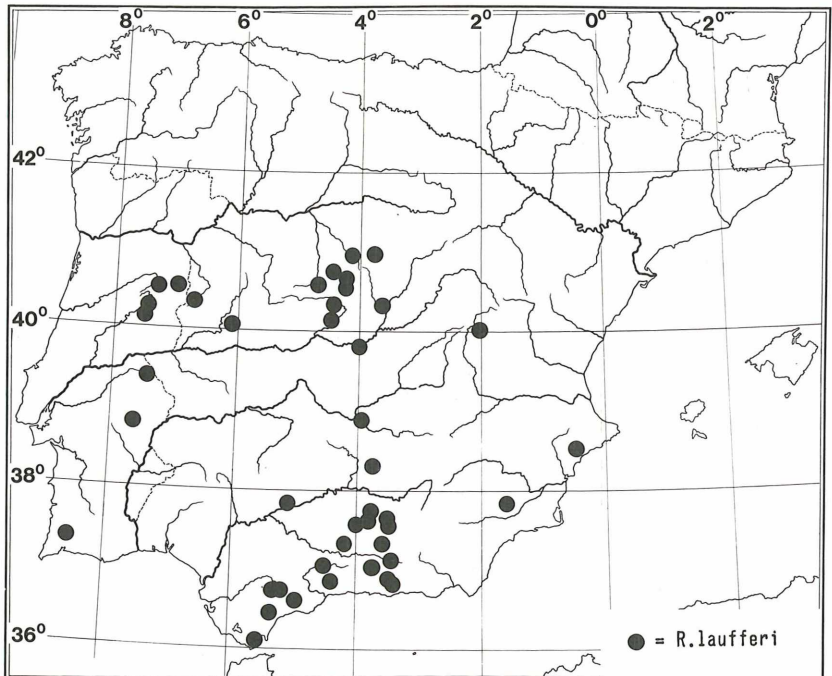
Karte 30

Raphidiidae: Raphidia (Atlantoraphidia)



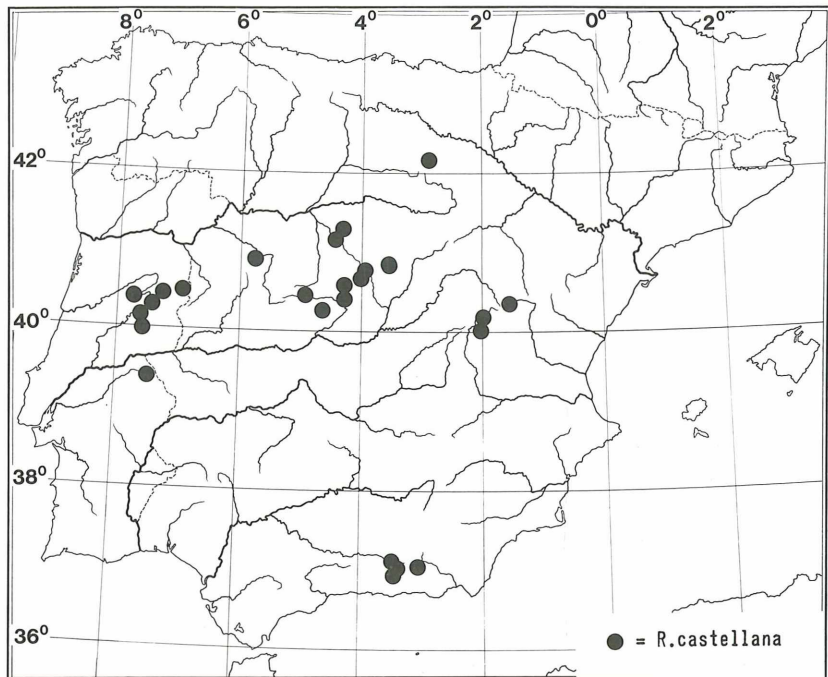
Karte 31

Raphidiidae: Raphidia (Flavoraphidia)



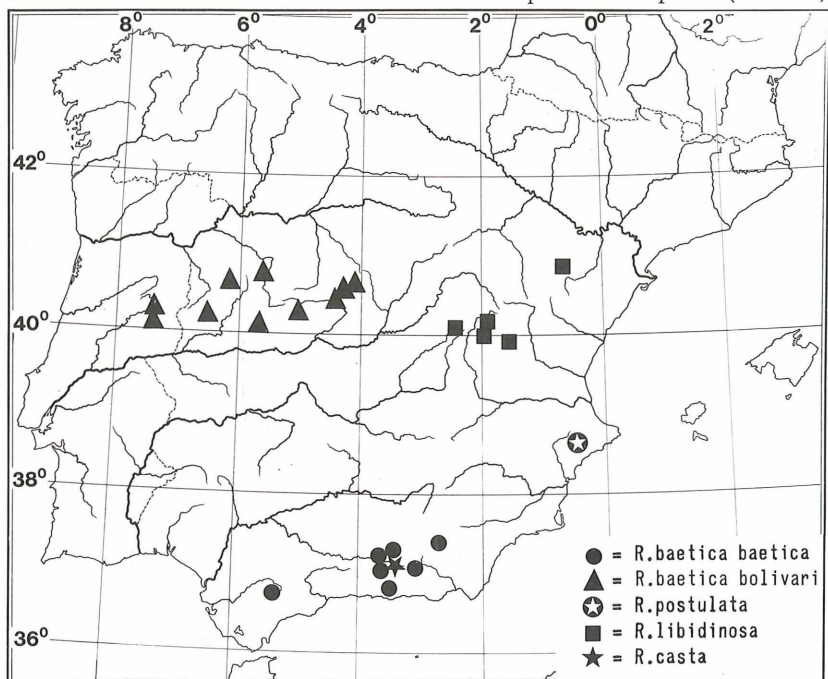
Karte 32

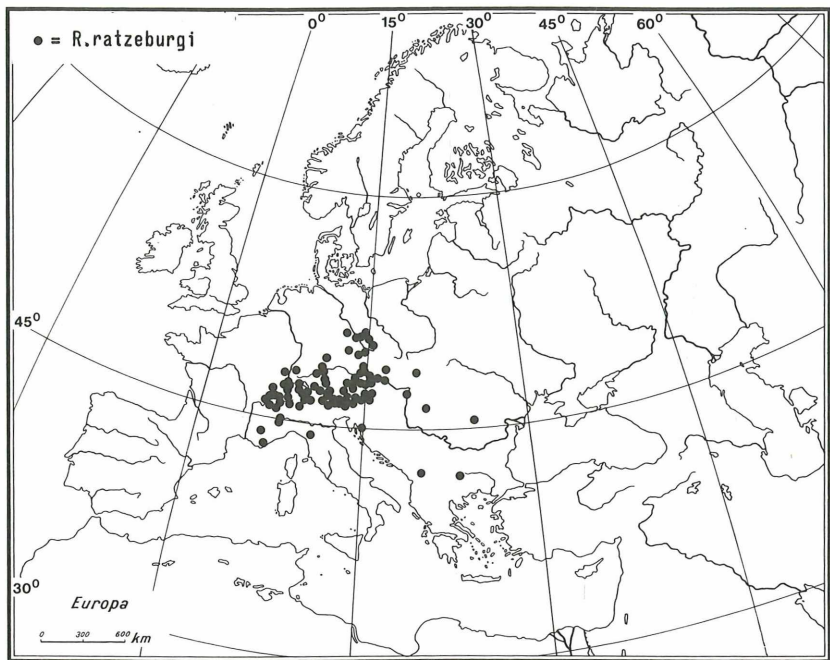
Raphidiidae: Raphidia (Hispanoraphidia)

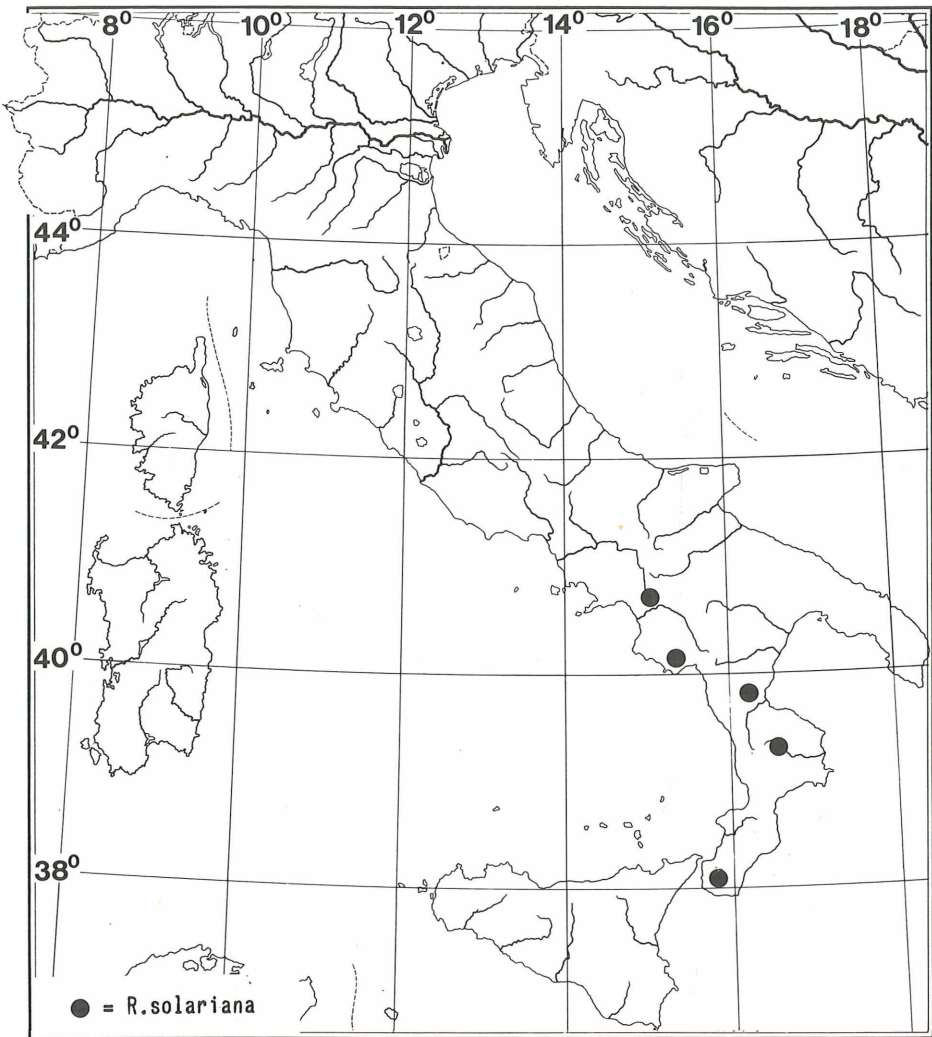


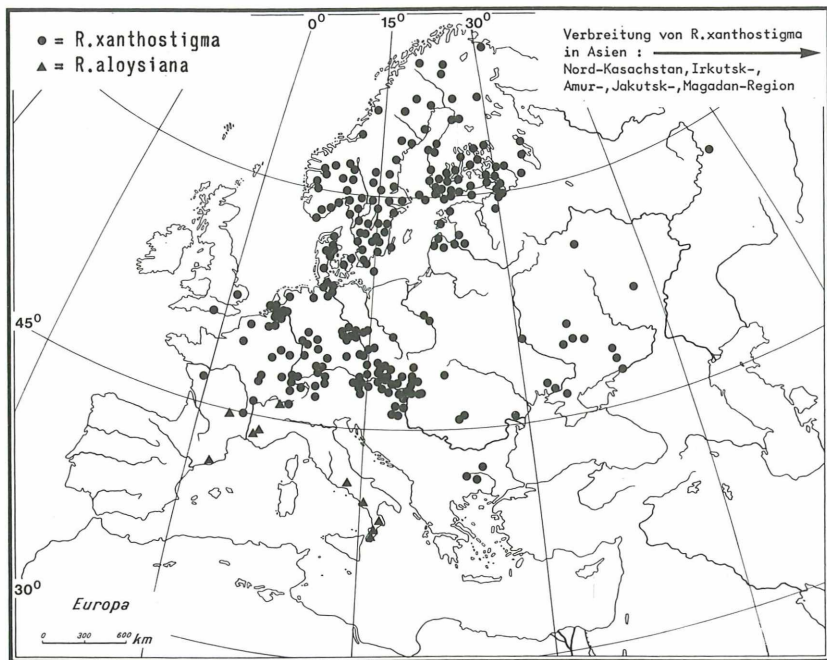
Karte 33

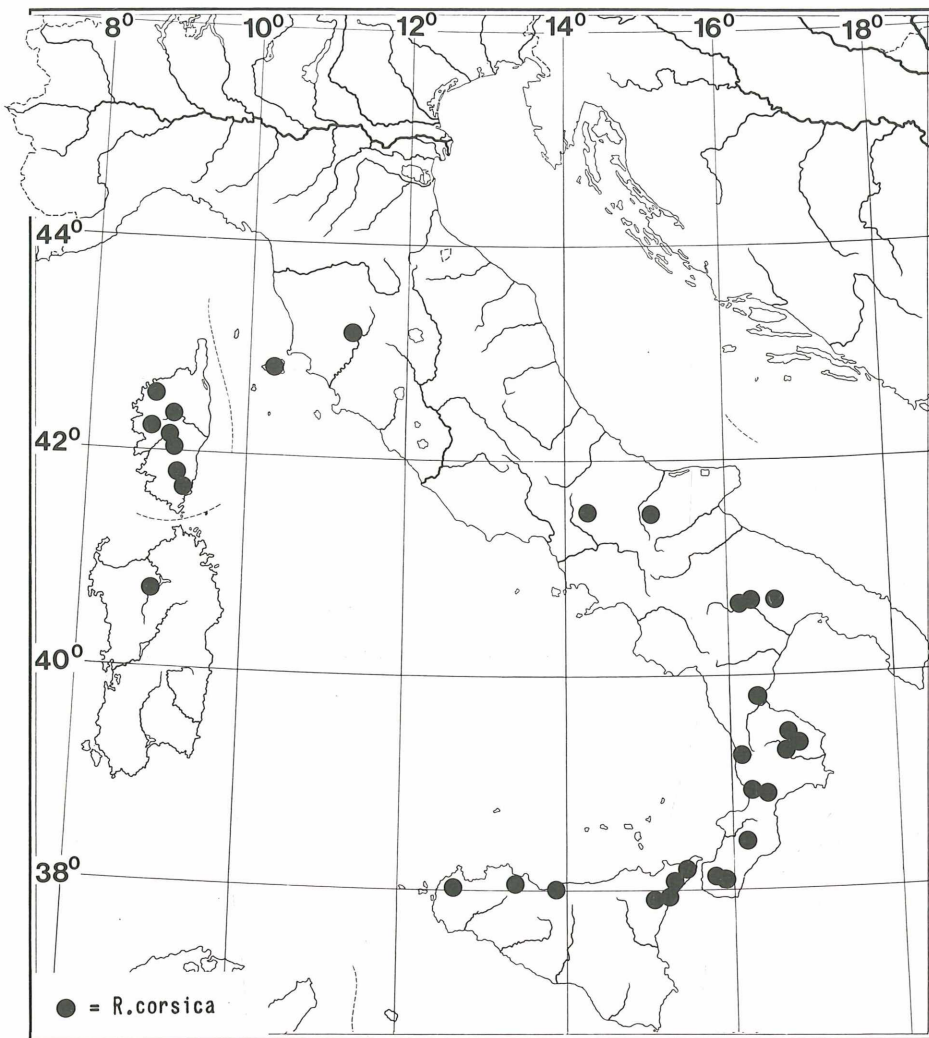
Raphidiidae: Raphidia (Ohmella)

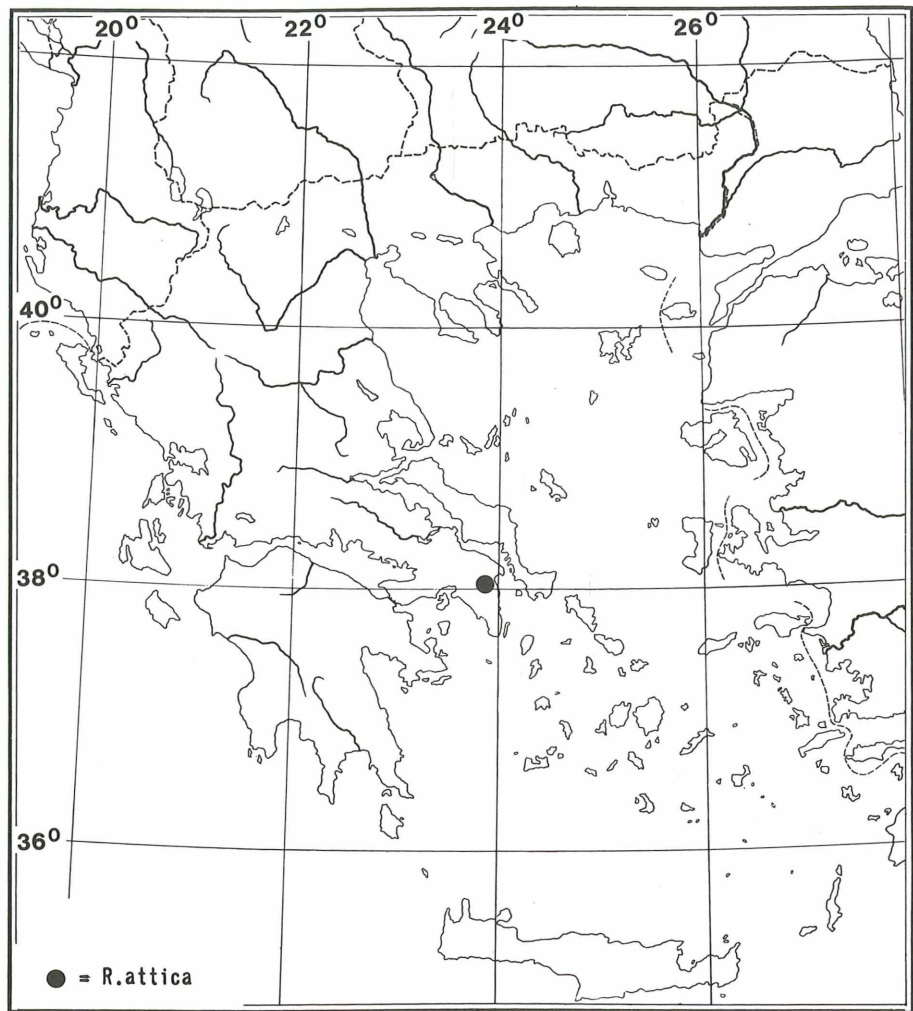








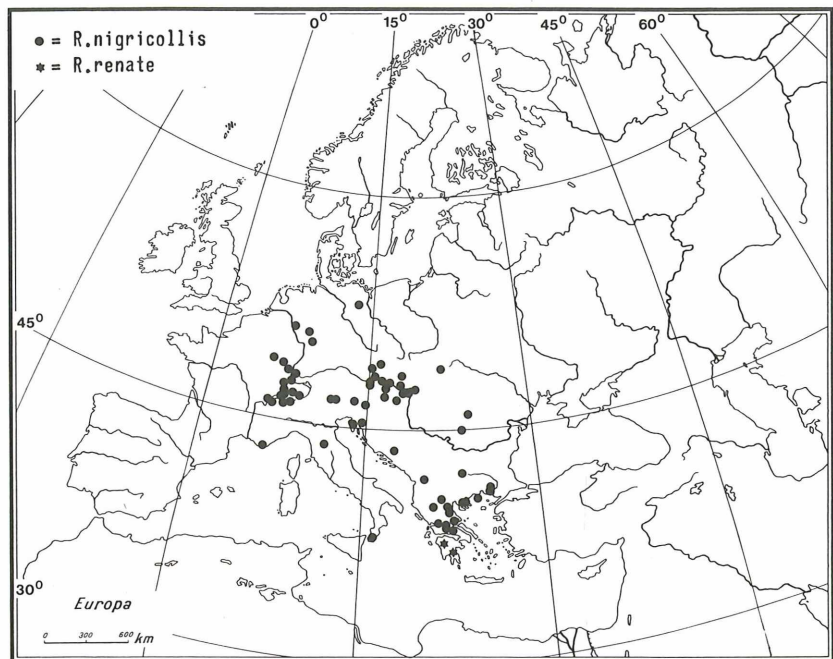




● = *R.attica*

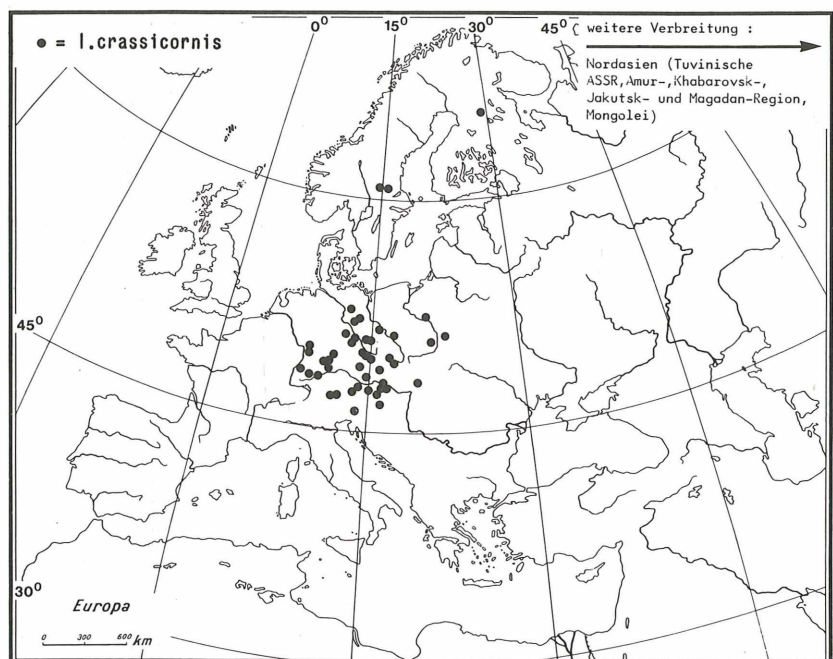
Karte 39

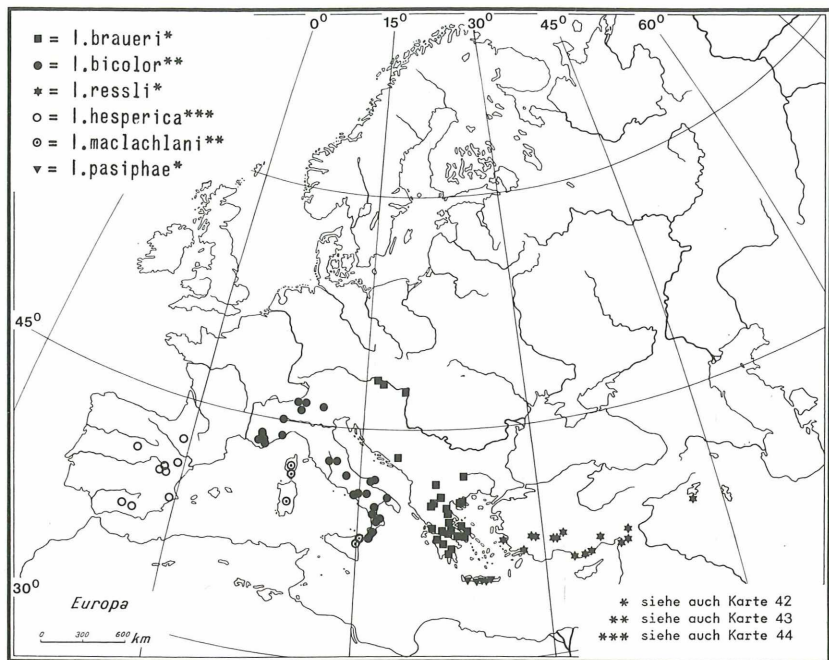
Raphidiidae: Raphidia (Venustoraphidia)

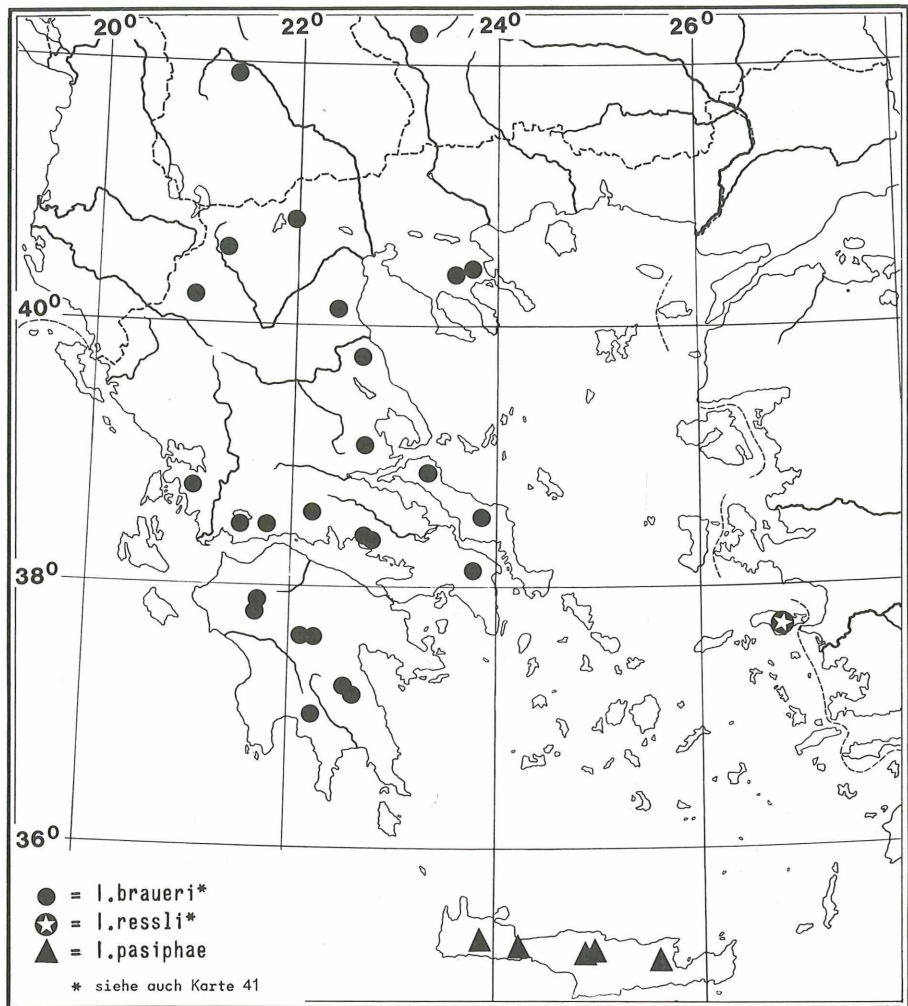


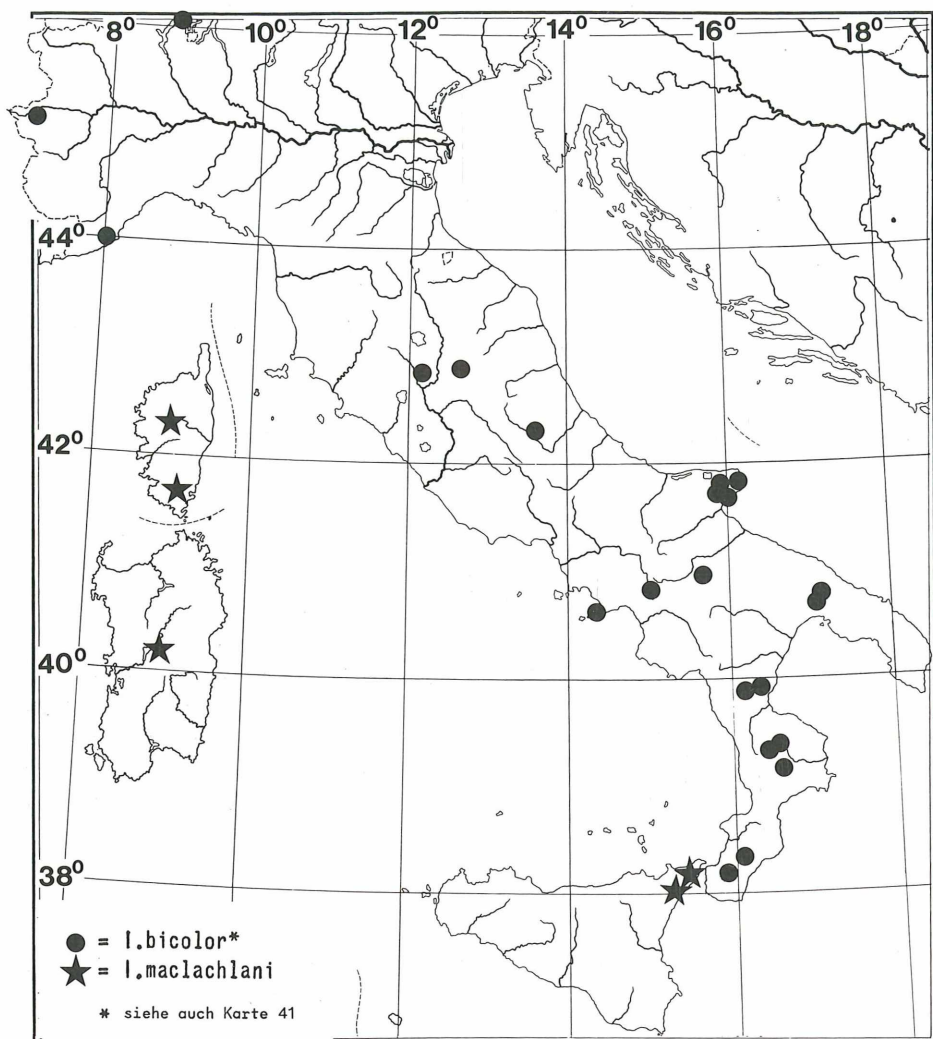
Karte 40

Inocelliidae: Inocellia (Inocellia)



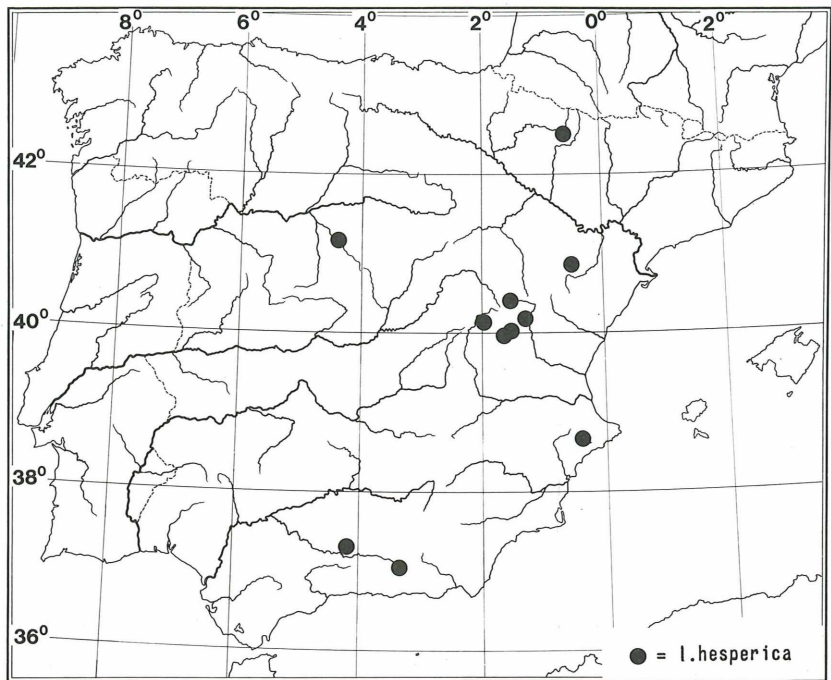






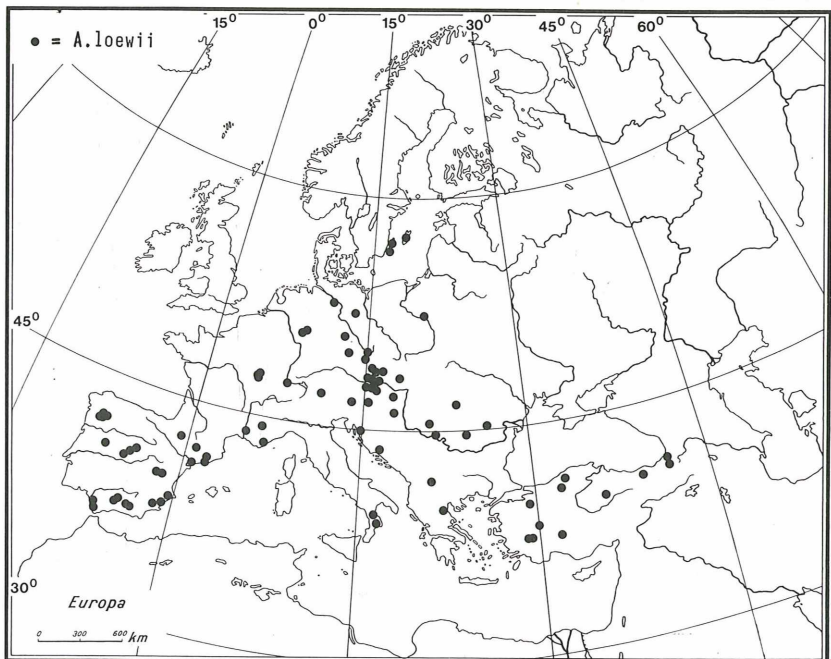
Karte 44

Inocelliidae: Inocellia (Fibla)



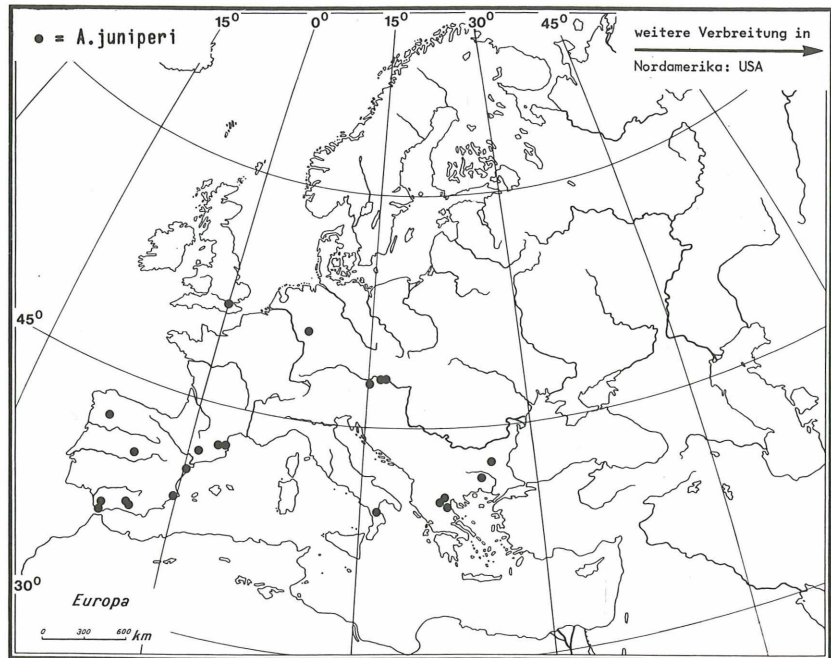
Karte 45

Coniopterygidae: Aleuropteryx



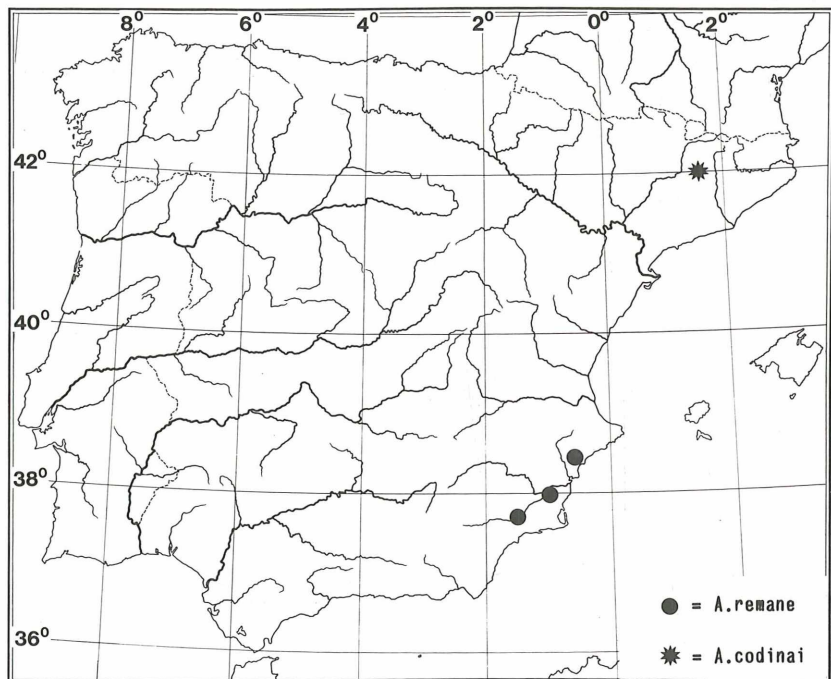
Karte 46

Coniopterygidae: Aleuropteryx



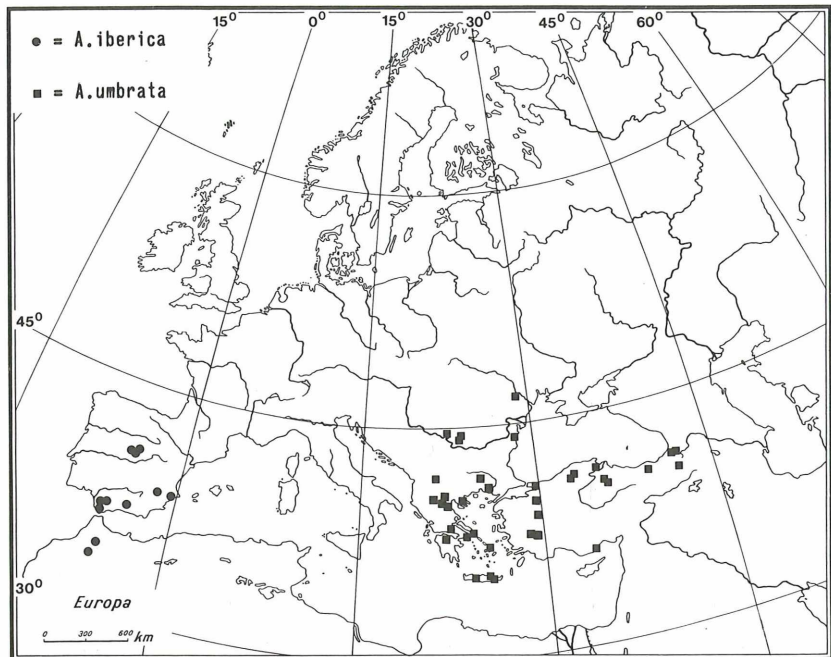
Karte 47

Coniopterygidae: Aleuropteryx



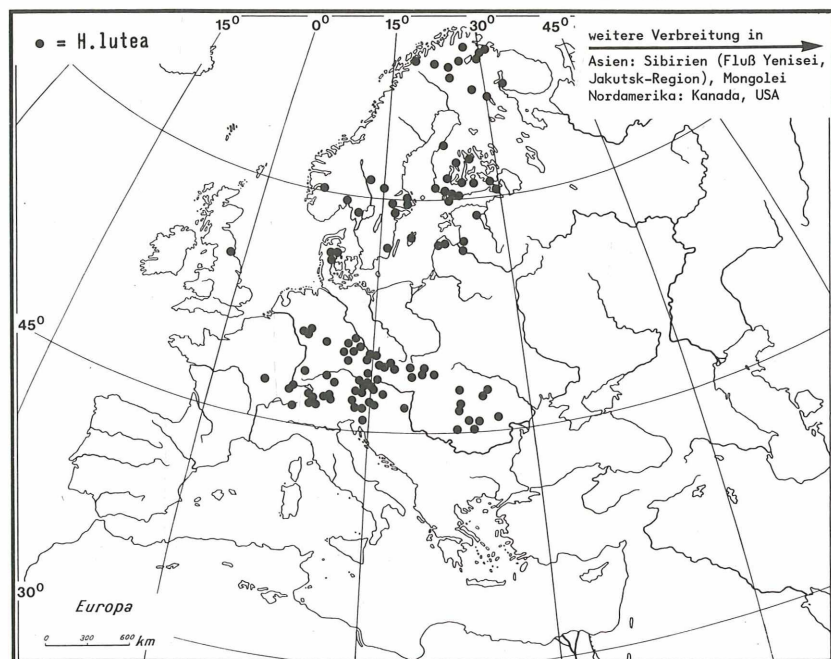
Karte 48

Coniopterygidae: Aleuropteryx



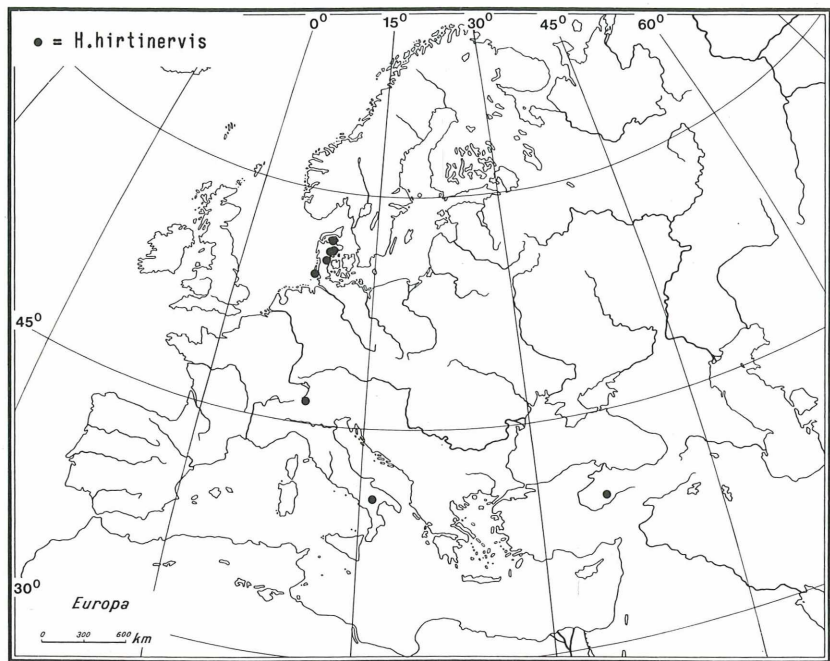
Karte 49

Coniopterygidae: Helicoconis



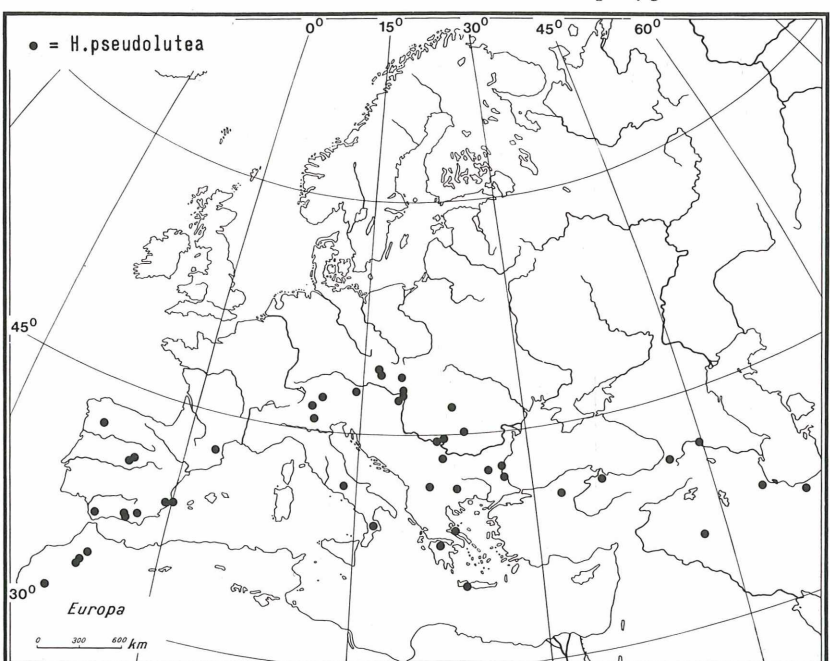
Karte 50

Coniopterygidae: *Helicoconis*



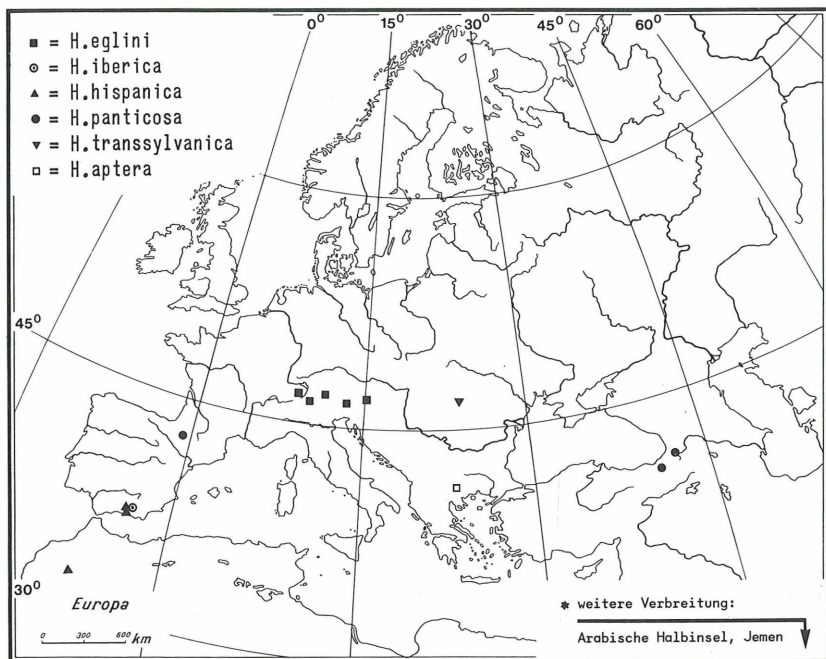
Karte 51

Coniopterygidae: *Helicoconis*



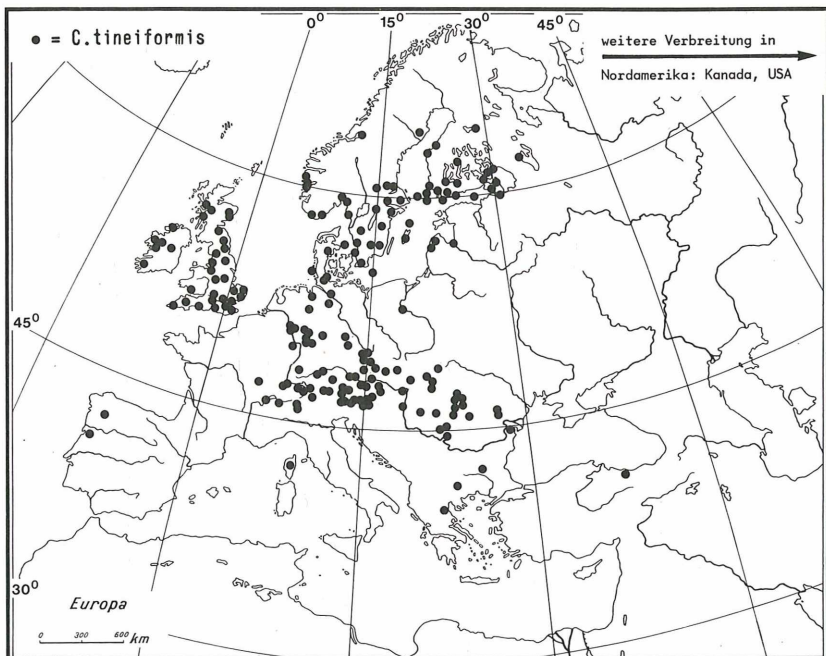
Karte 52

Coniopterygidae: Helicoconis



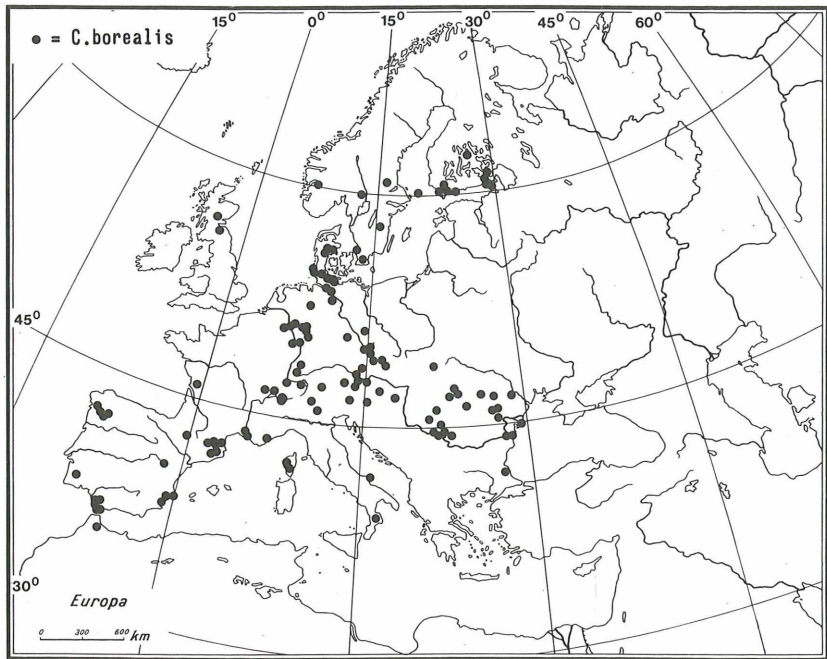
Karte 53

Coniopterygidae: Coniopteryx (Coniopteryx)



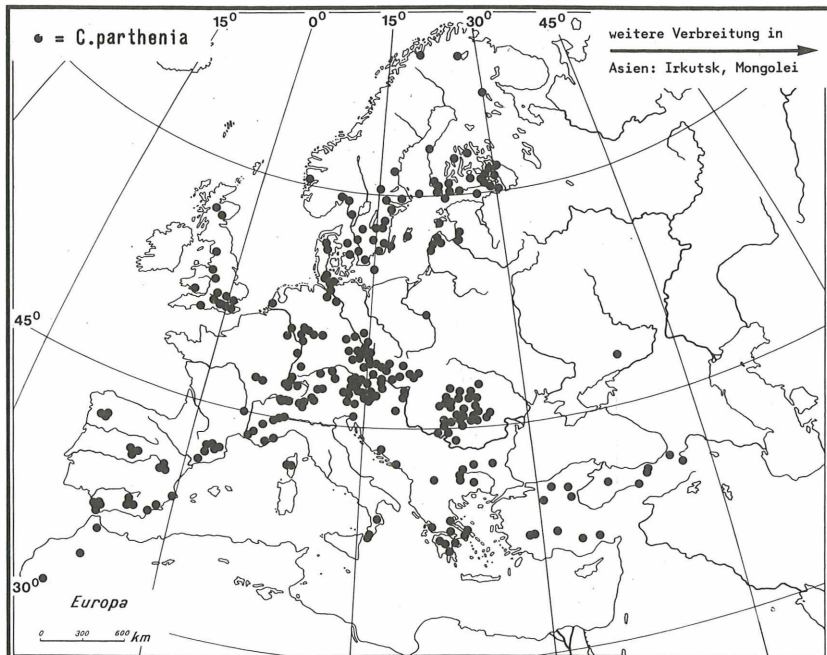
Karte 54

Coniopterygidae: Coniopteryx (Coniopteryx)



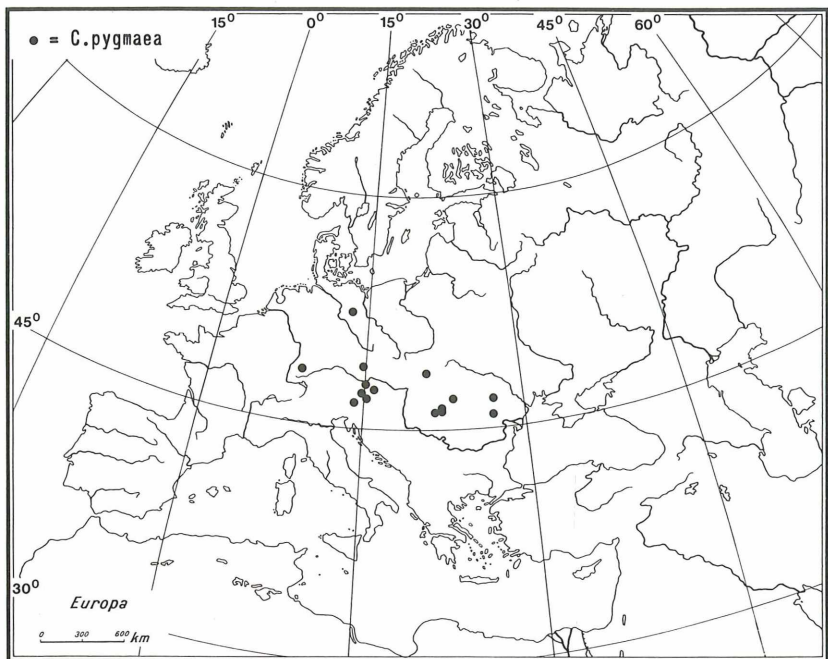
Karte 55

Coniopterygidae: Coniopteryx (Coniopteryx)



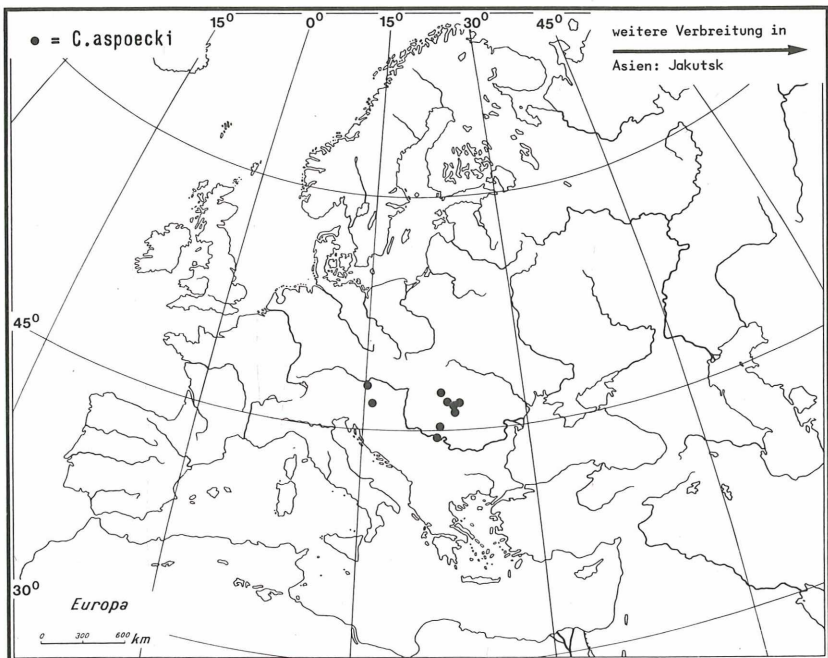
Karte 56

Coniopterygidae: Coniopteryx (Coniopteryx)



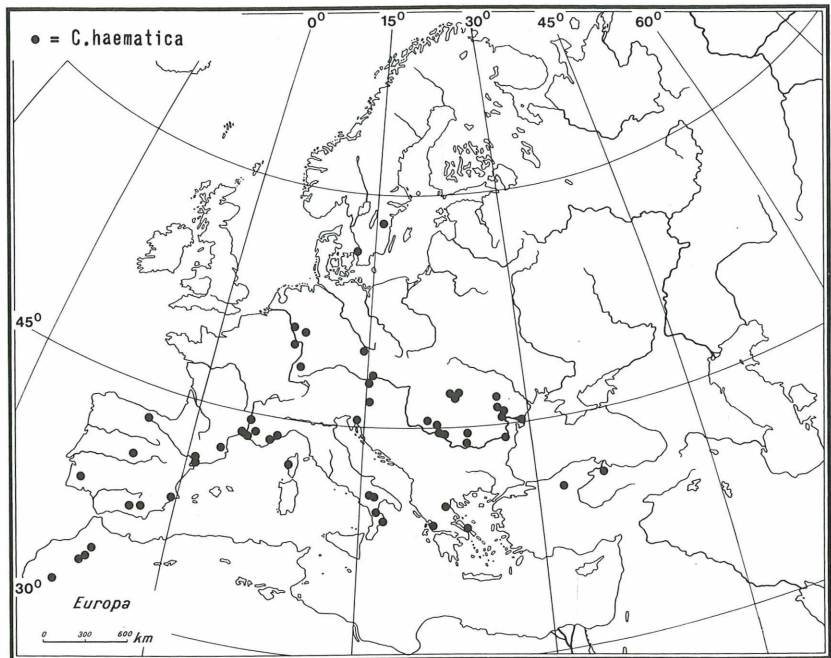
Karte 57

Coniopterygidae: Coniopteryx (Coniopteryx)



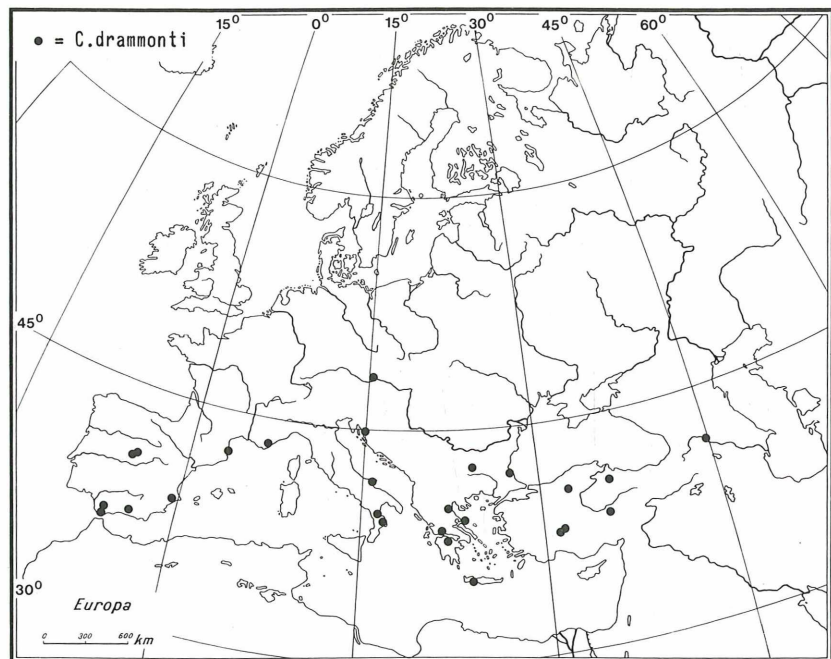
Karte 58

Coniopterygidae: Coniopteryx (Holoconiopteryx)



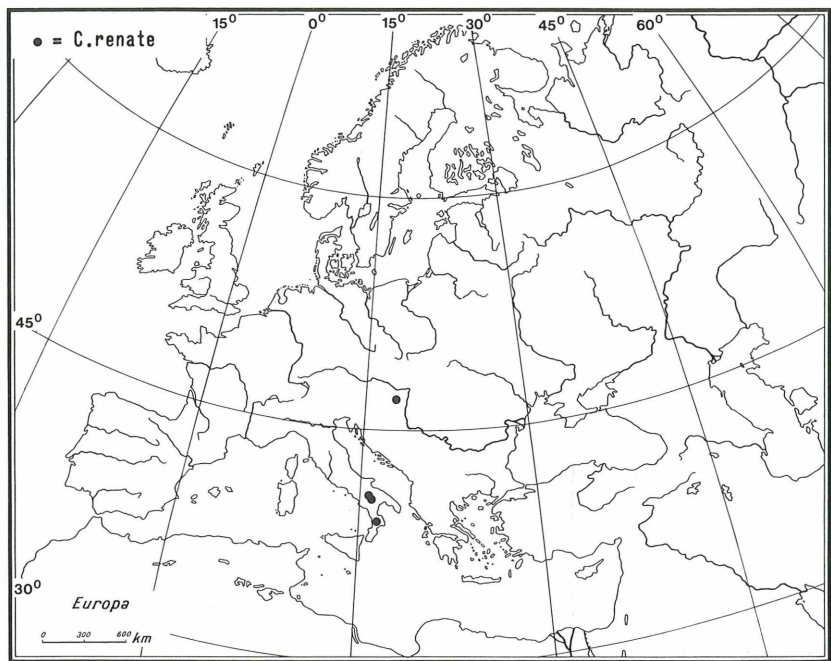
Karte 59

Coniopterygidae: Coniopteryx (Holoconiopteryx)



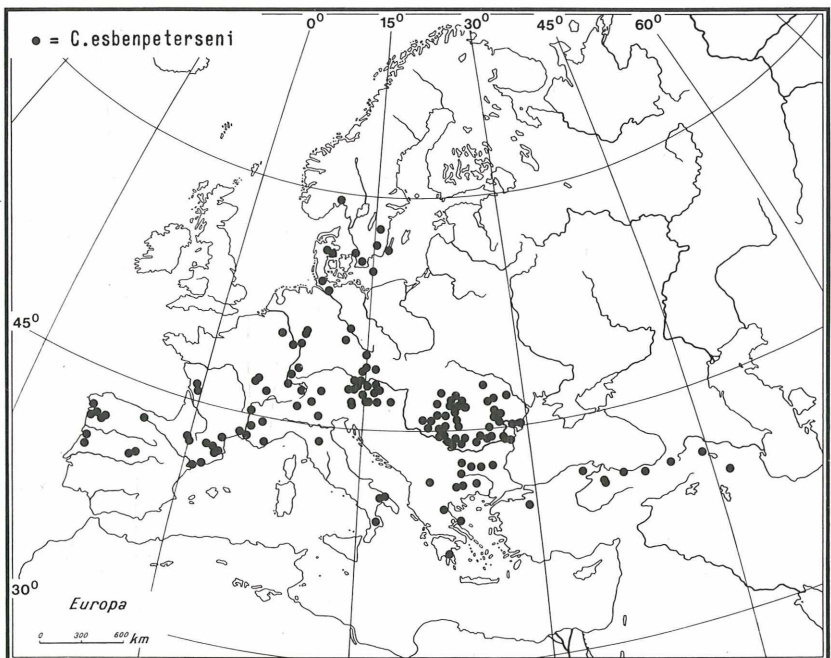
Karte 60

Coniopterygidae: Coniopteryx (Holoconiopteryx)



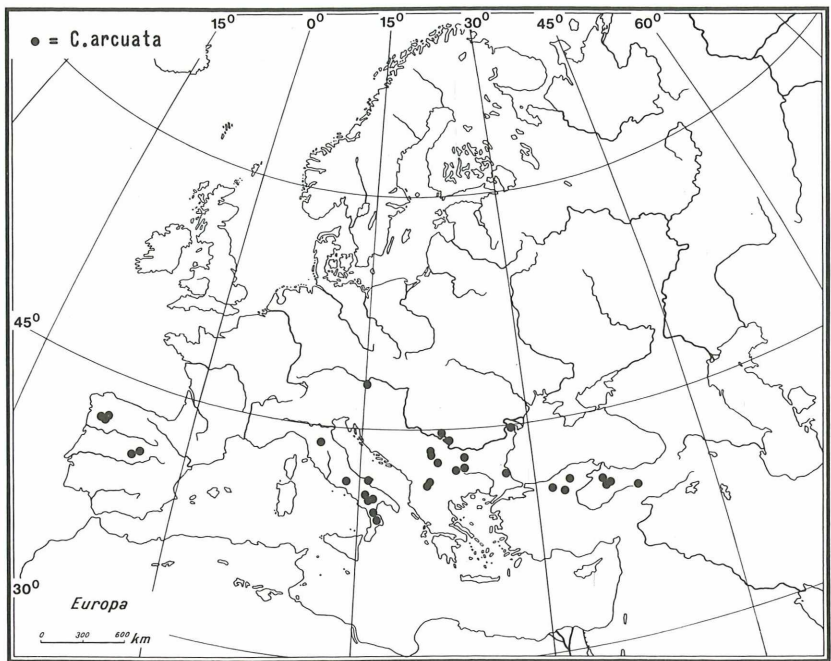
Karte 61

Coniopterygidae: Coniopteryx (Metaconiopteryx)



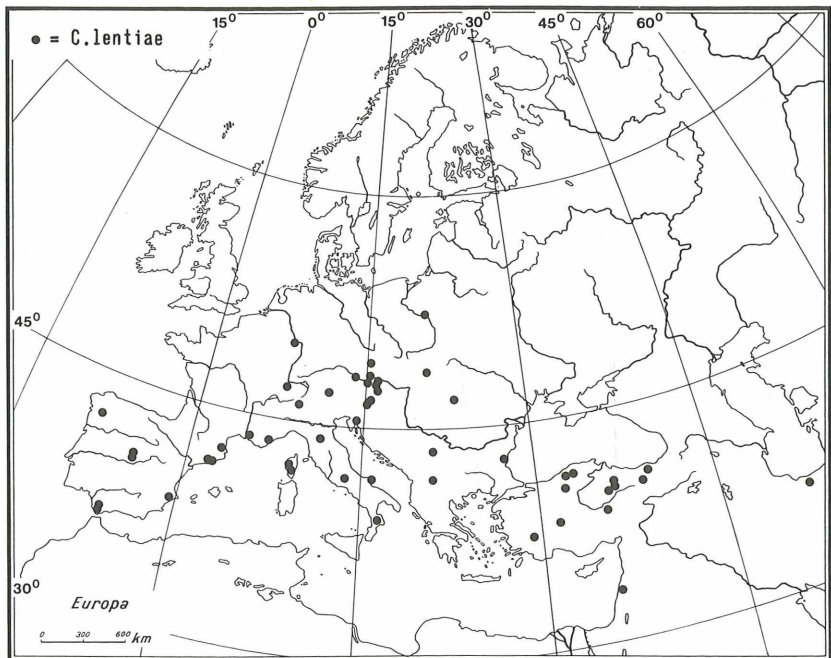
Karte 62

Coniopterygidae: Coniopteryx (Metaconiopteryx)



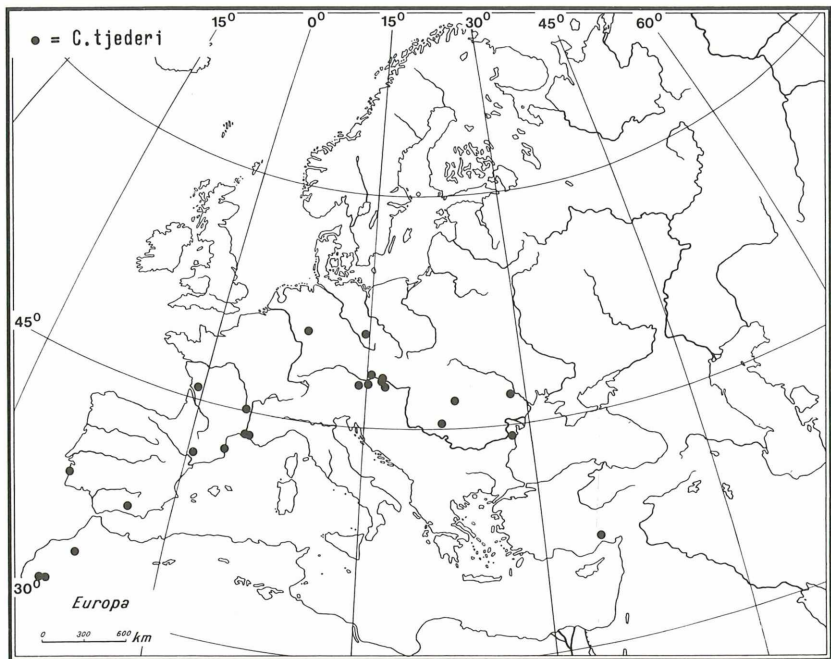
Karte 63

Coniopterygidae: Coniopteryx (Metaconiopteryx)



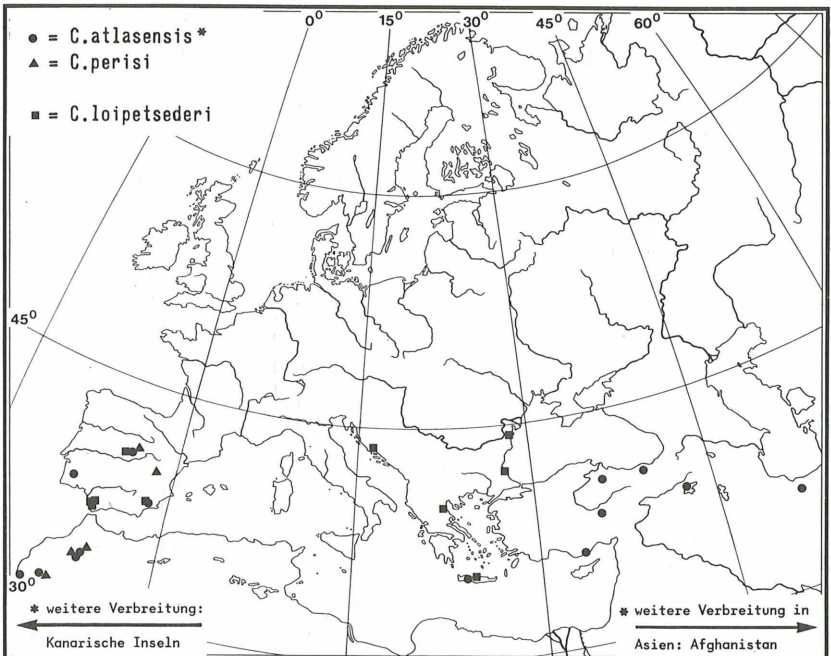
Karte 64

Coniopterygidae: Coniopteryx (Metaconiopteryx)



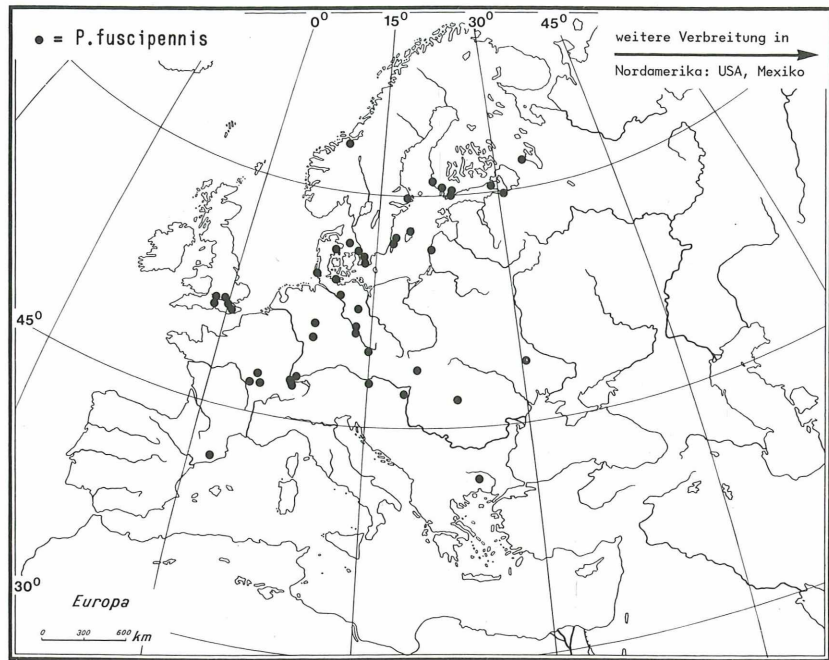
Karte 65

Coniopterygidae: Coniopteryx (Xeroconiopteryx)



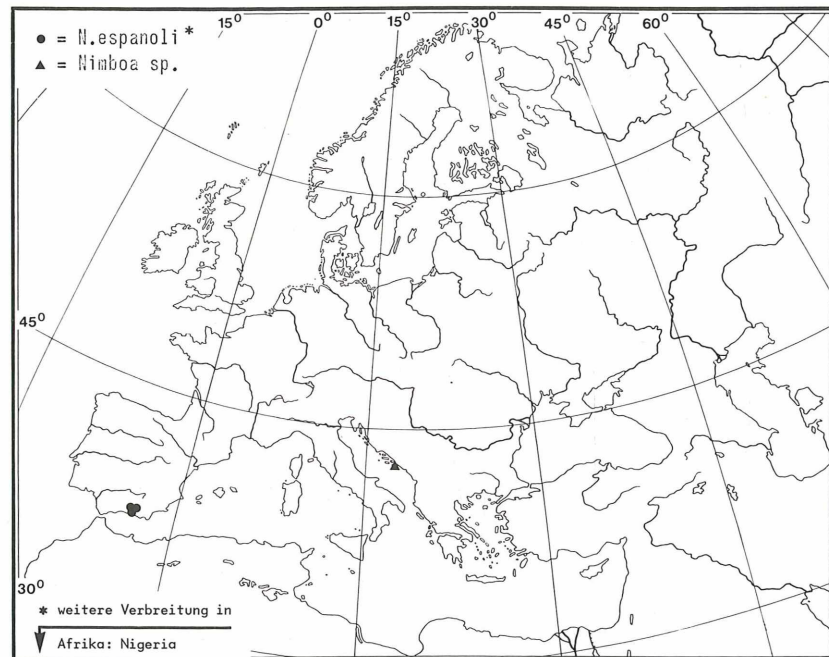
Karte 66

Coniopterygidae: Parasemidalis



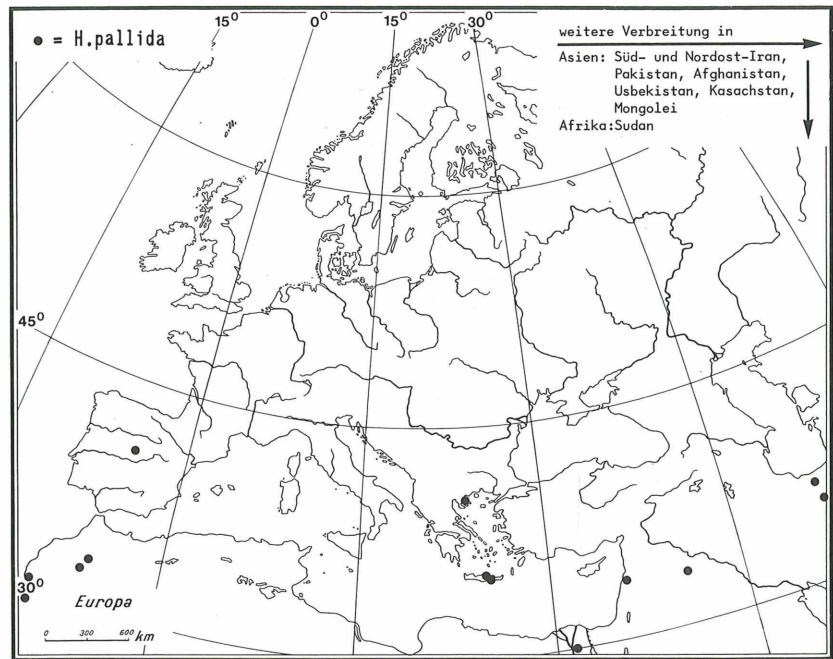
Karte 67

Coniopterygidae: Nimboa



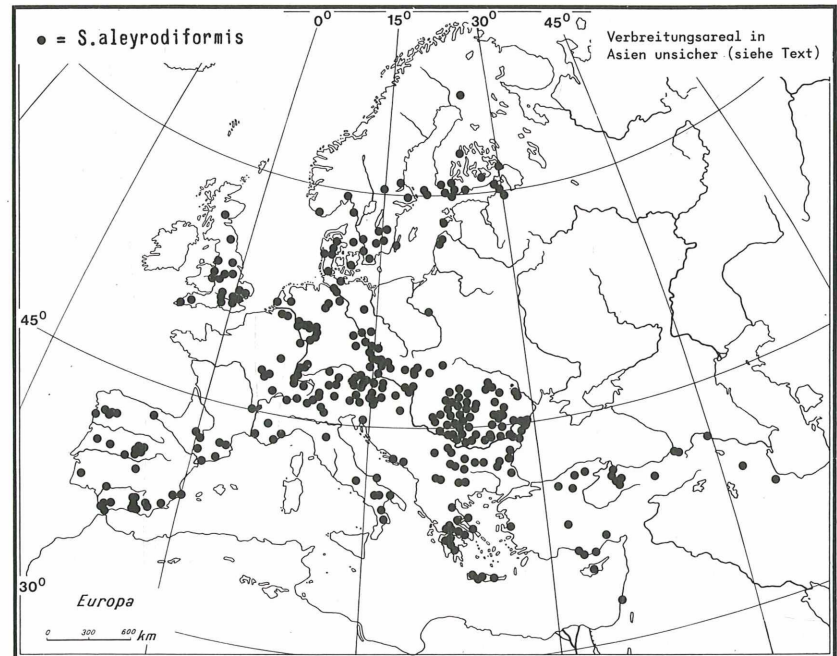
Karte 68

Coniopterygidae: Hemisemidalis



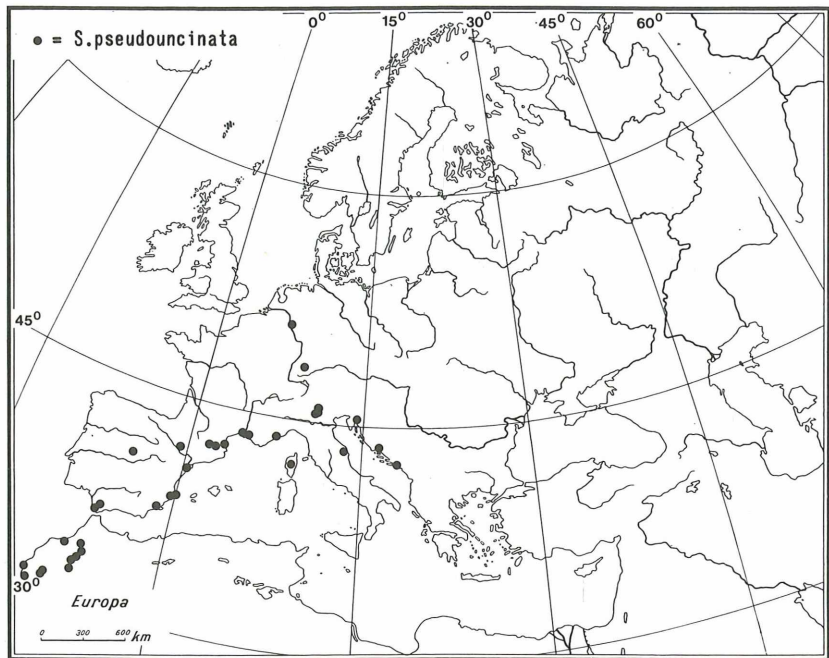
Karte 69

Coniopterygidae: Semidalis



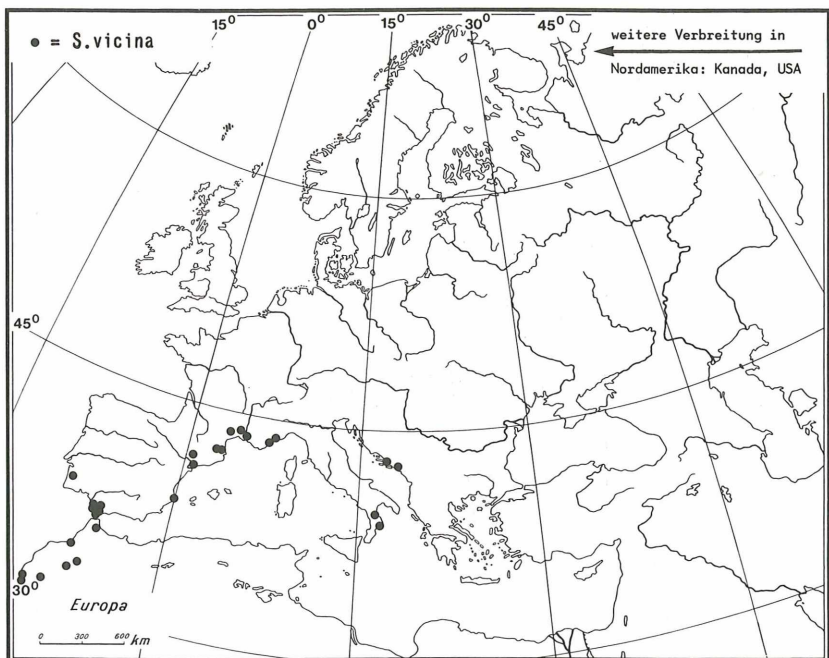
Karte 70

Coniopterygidae: Semidalis



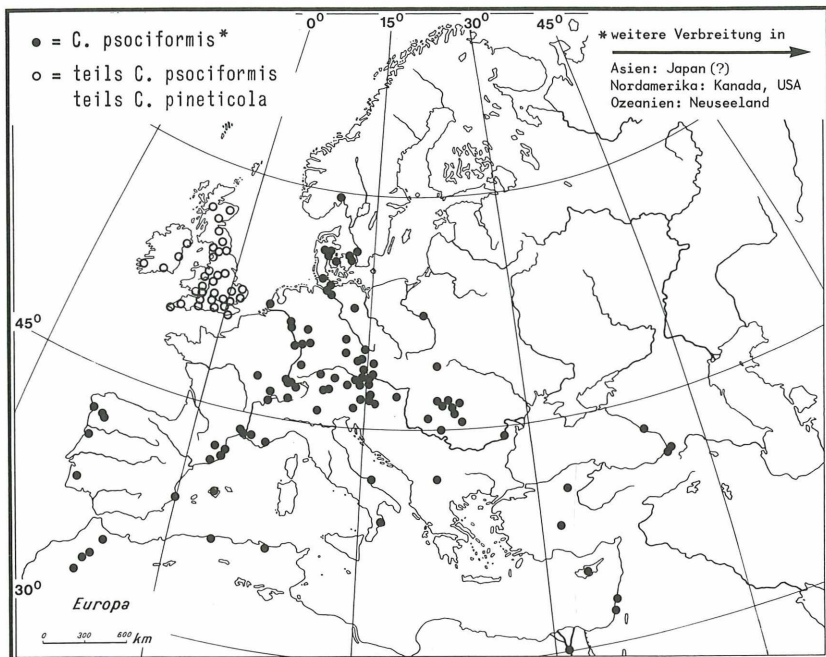
Karte 71

Coniopterygidae: Semidalis



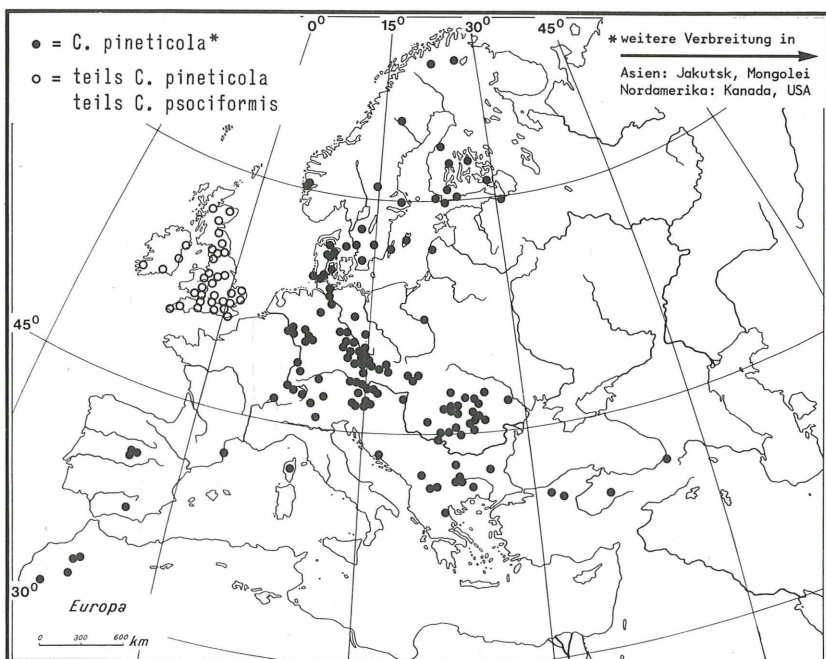
Karte 72

Coniopterygidae: Conwentzia



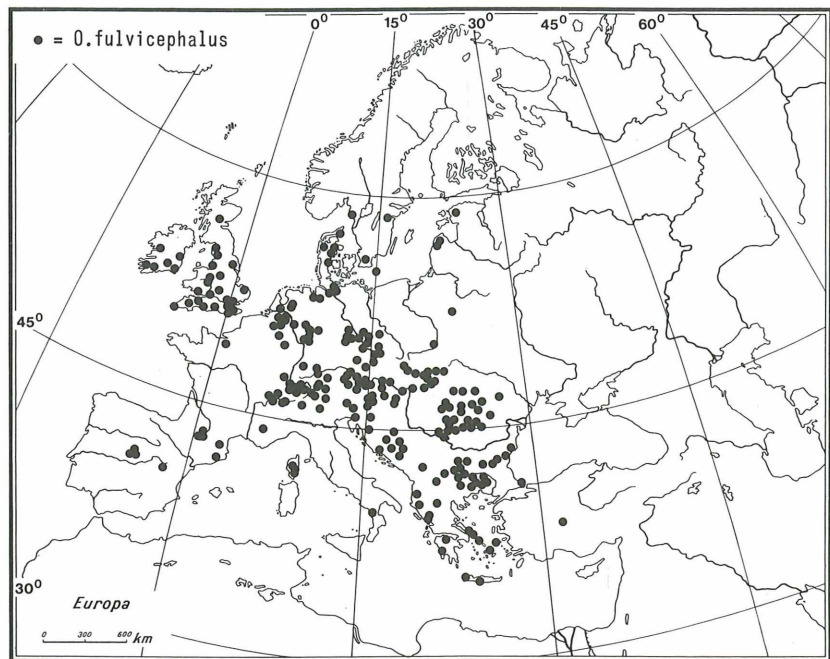
Karte 73

Coniopterygidae: Conwentzia



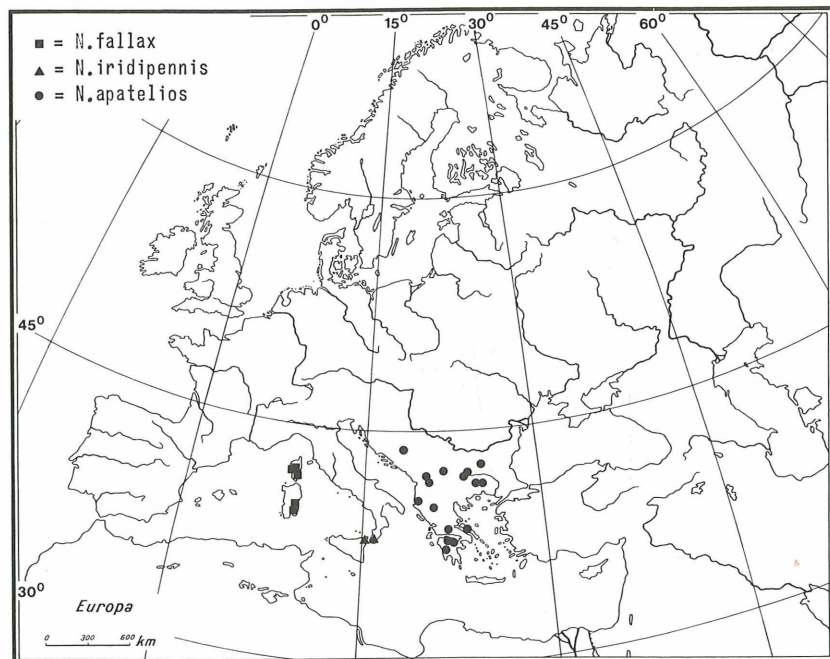
Karte 74

Osmylidae: Osmylus



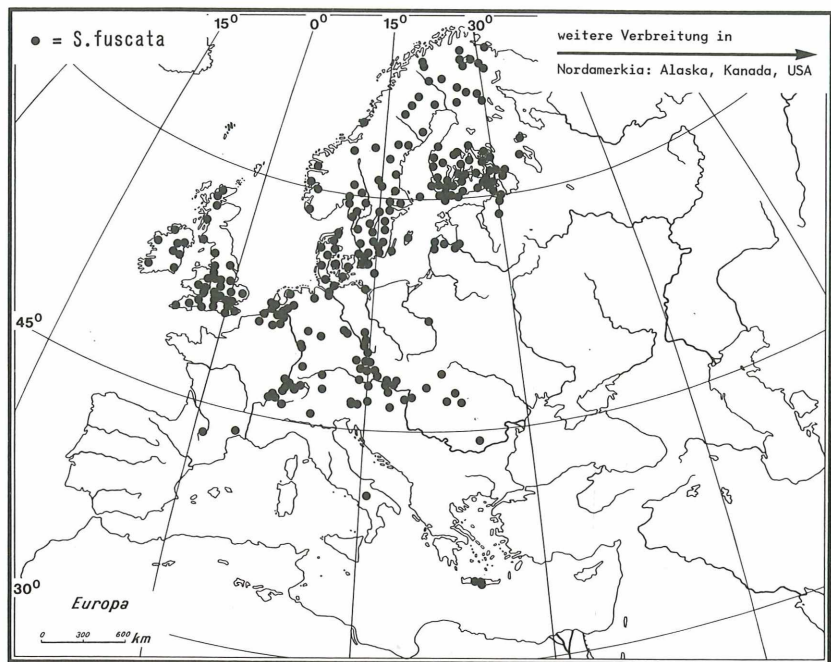
Karte 75

Neurorthidae: Neurorthus



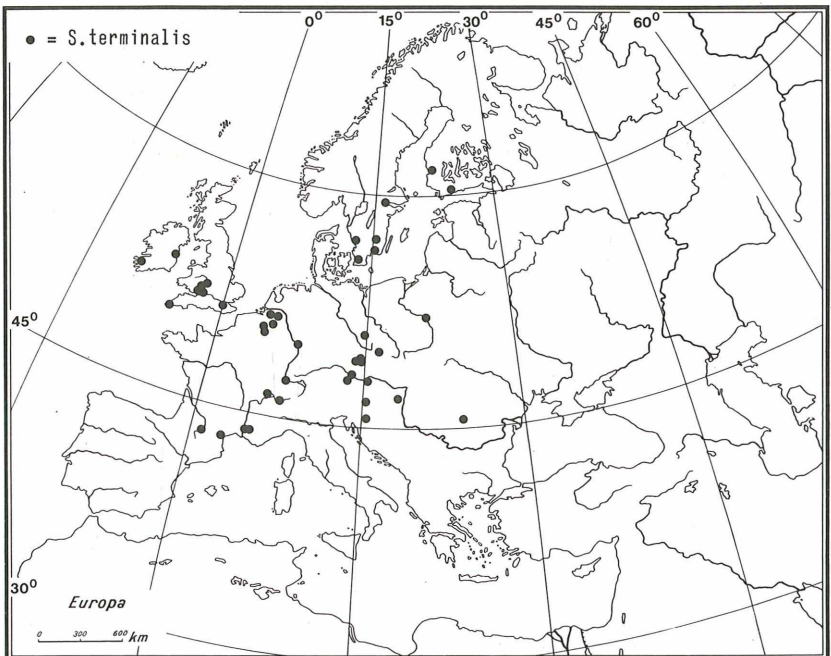
Karte 76

Sisyridae: Sisyra



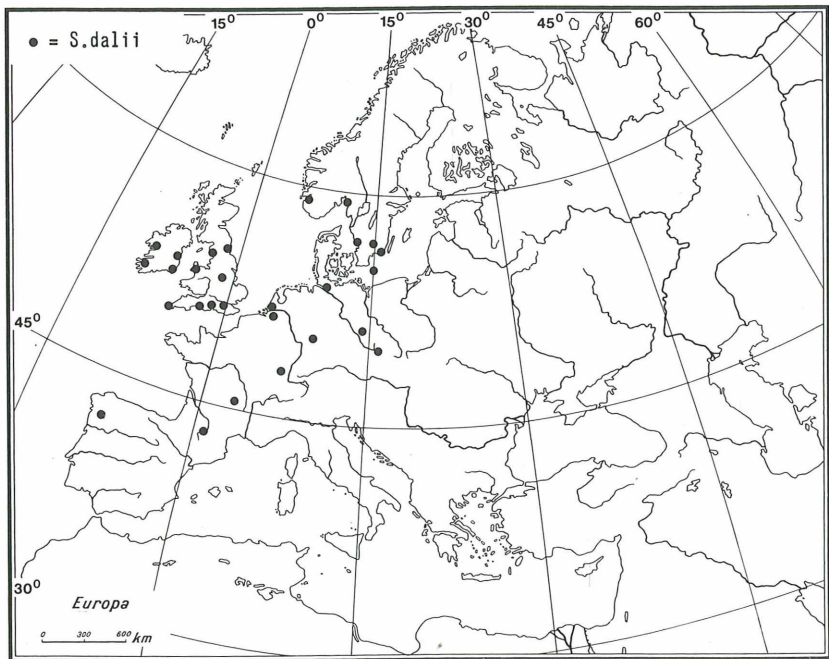
Karte 77

Sisyridae: Sisyra



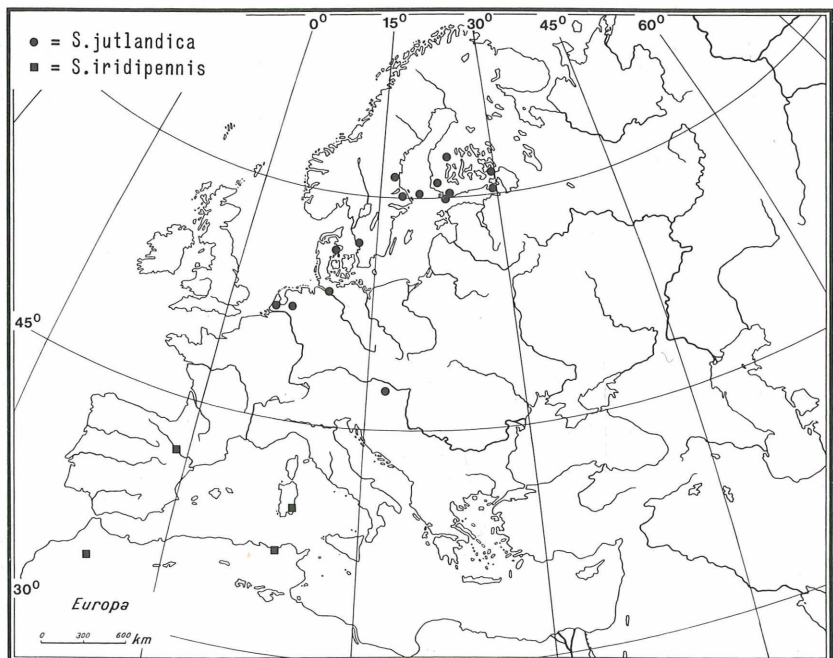
Karte 78

Sisyridae: Sisyra



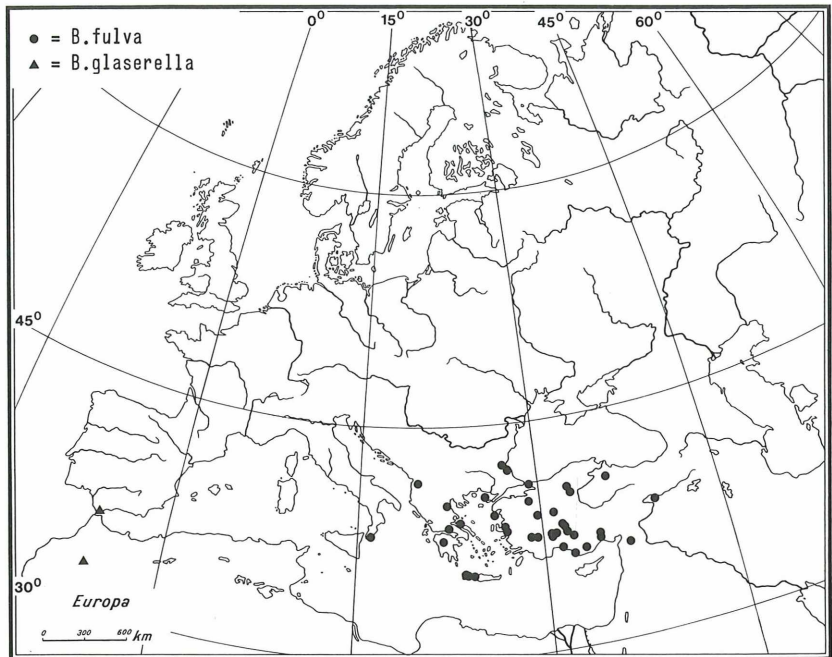
Karte 79

Sisyridae: Sisyra



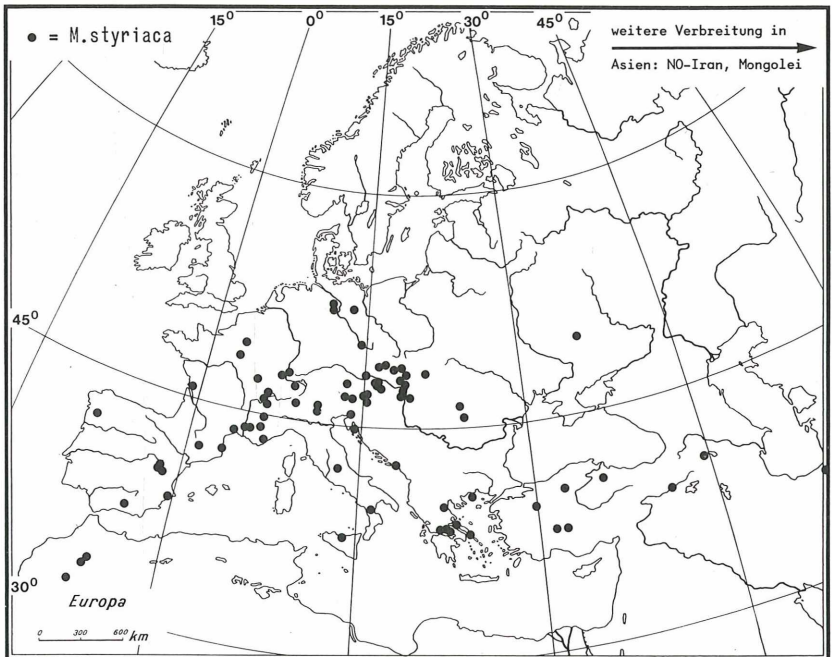
Karte 80

Berothidae: Berotha



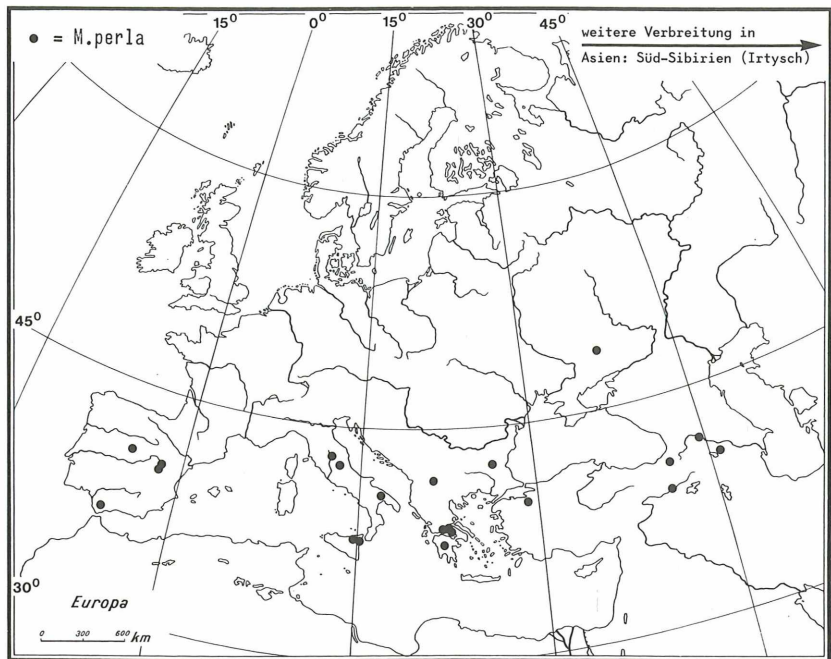
Karte 81

Mantispidae: Mantispa



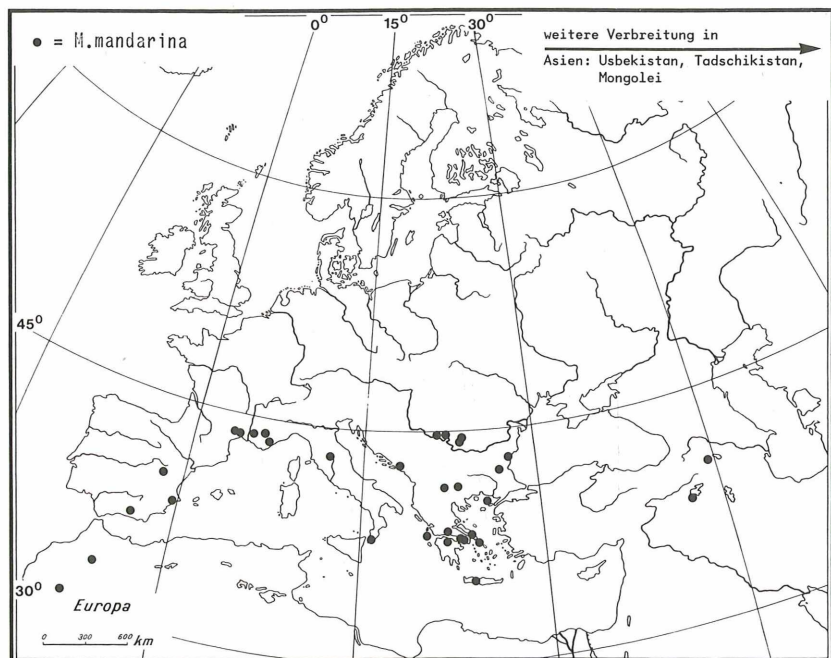
Karte 82

Mantispidae: Mantispa



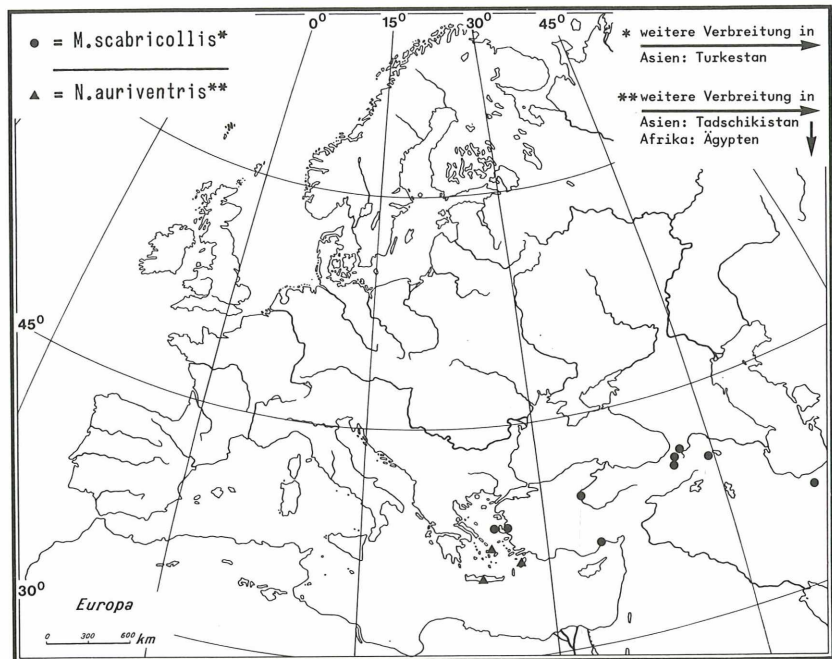
Karte 83

Mantispidae: Mantispa



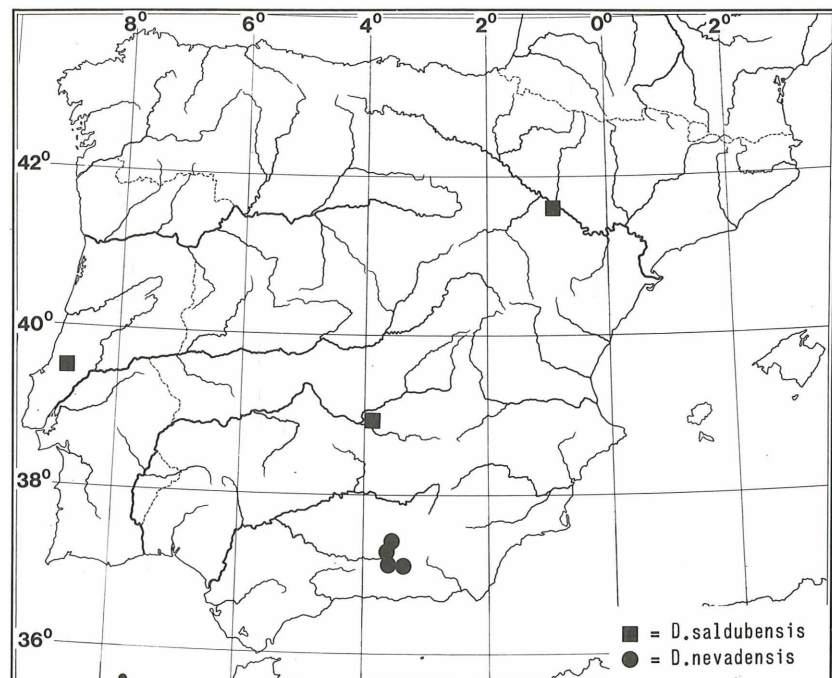
Karte 84

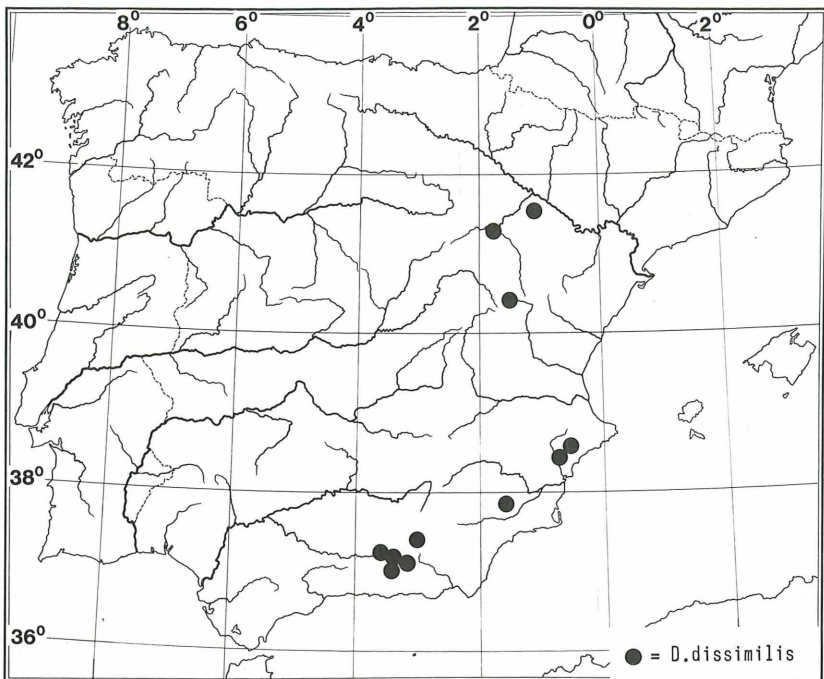
Mantispidae: Mantispa, Nampista

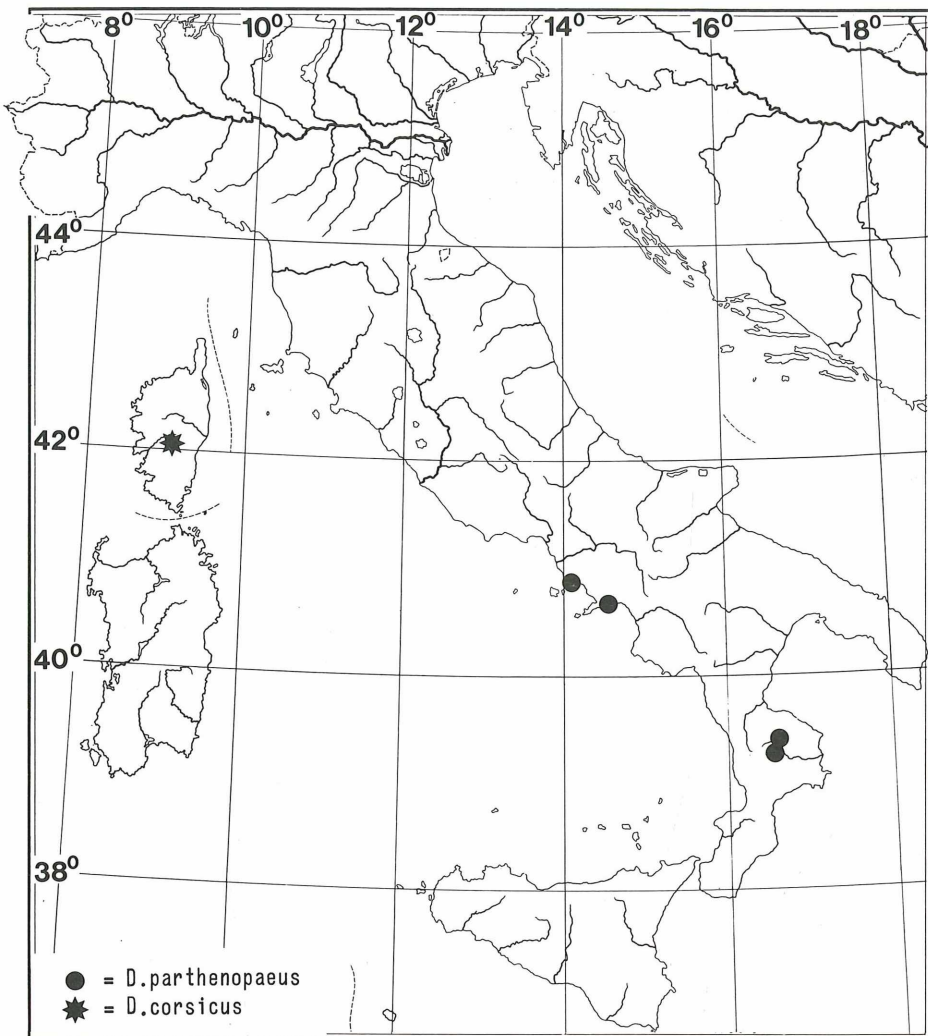


Karte 85

Dilaridae: Dilar

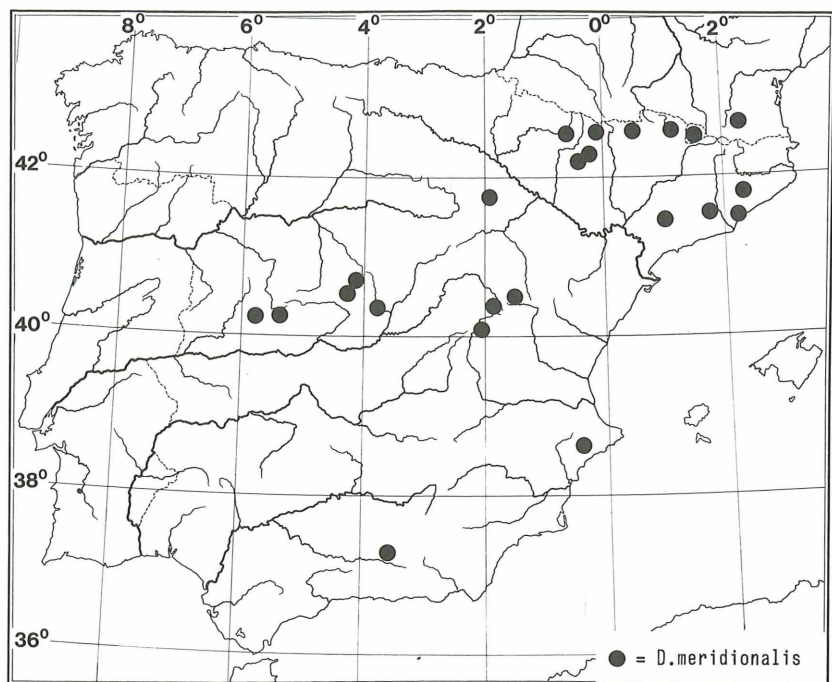






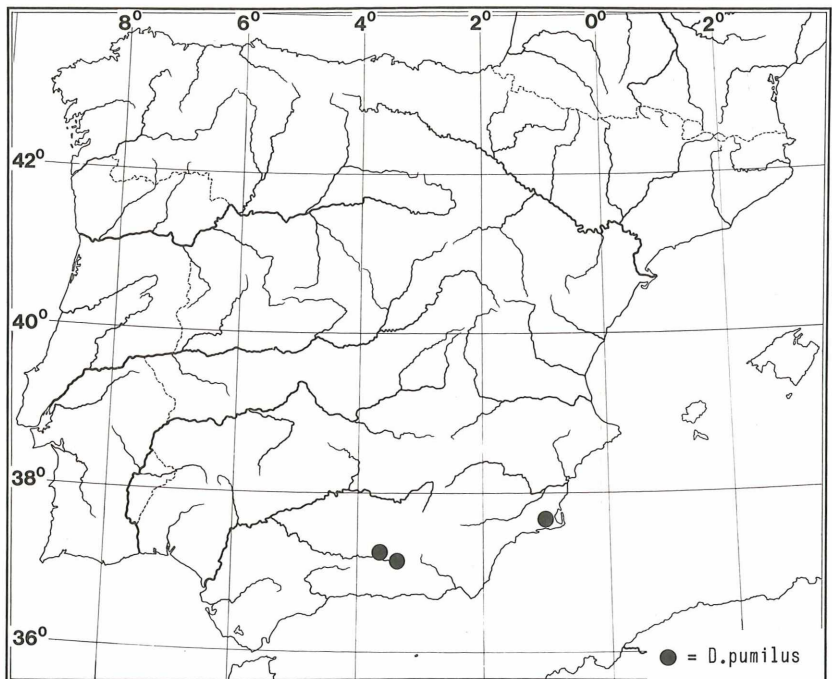
Karte 88

Dilaridae: Dilar



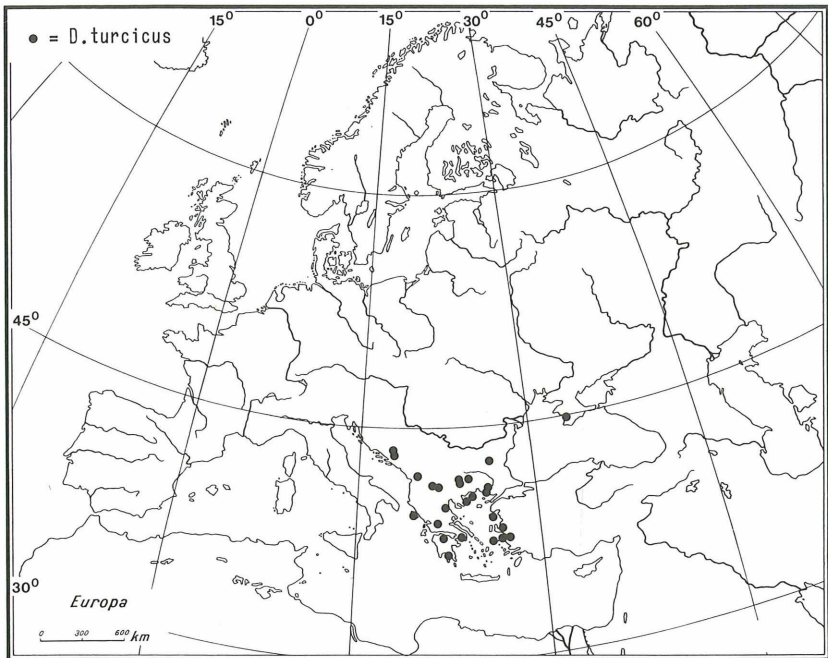
Karte 89

Dilaridae: Dilar



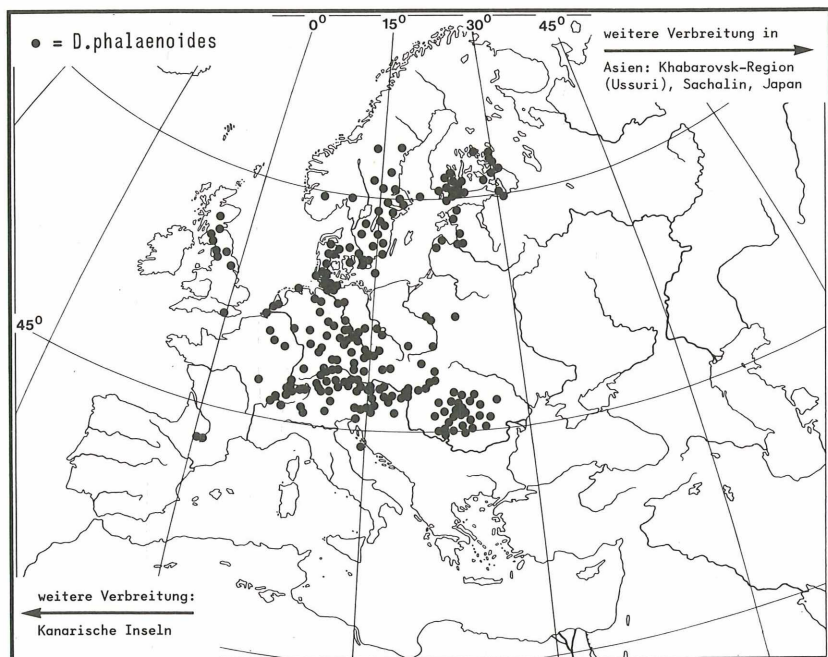
Karte 90

Dilaridae: Dilar

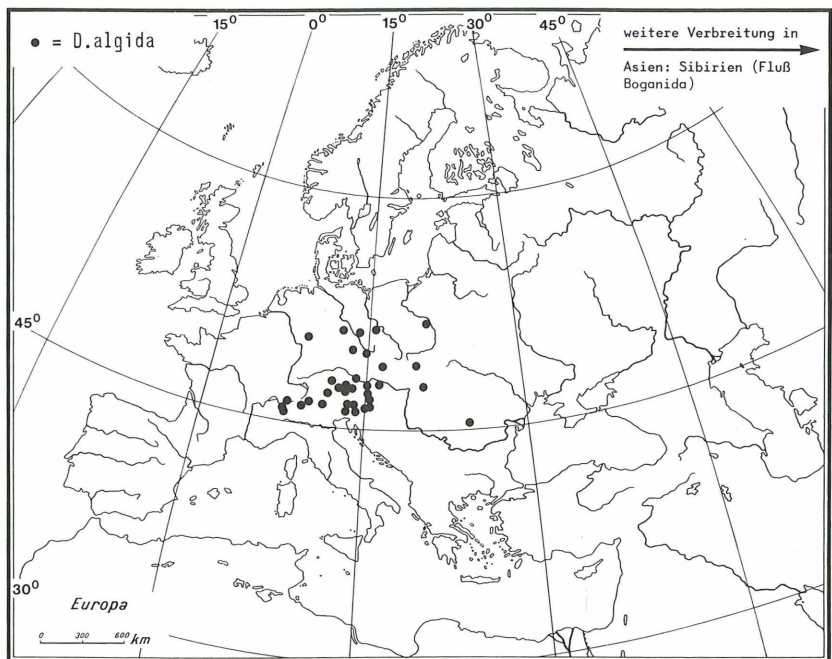


Karte 91

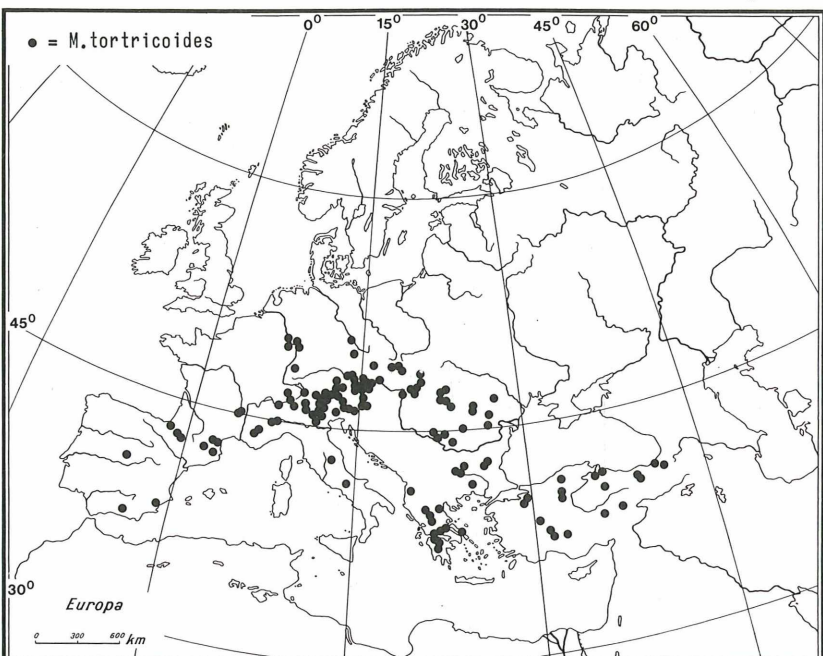
Hemerobiidae: Drepanopteryx



Karte 92

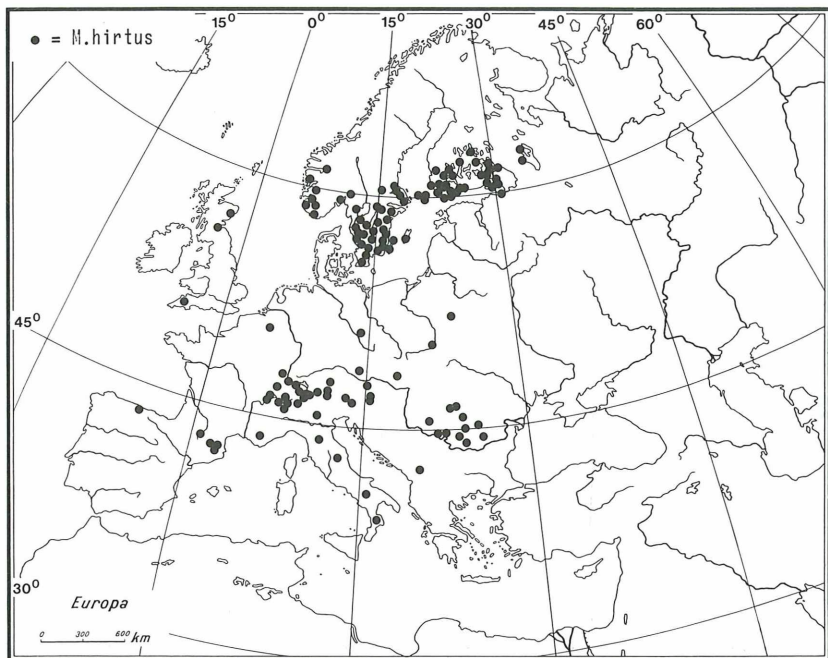
Hemerobiidae: *Drepanopteryx*

Karte 93

Hemerobiidae: *Megalomus*

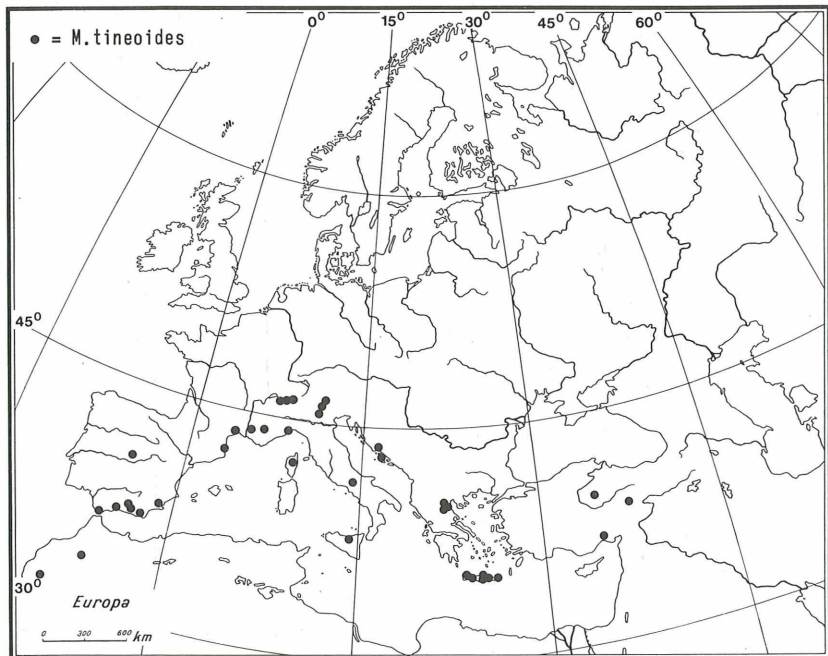
Karte 94

Hemerobiidae: *Megalomus*



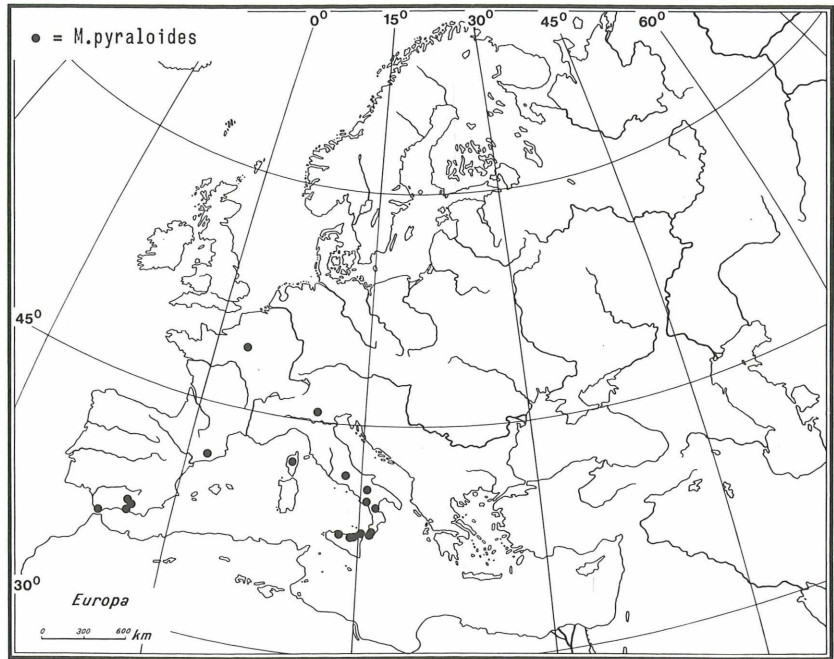
Karte 95

Hemerobiidae: *Megalomus*



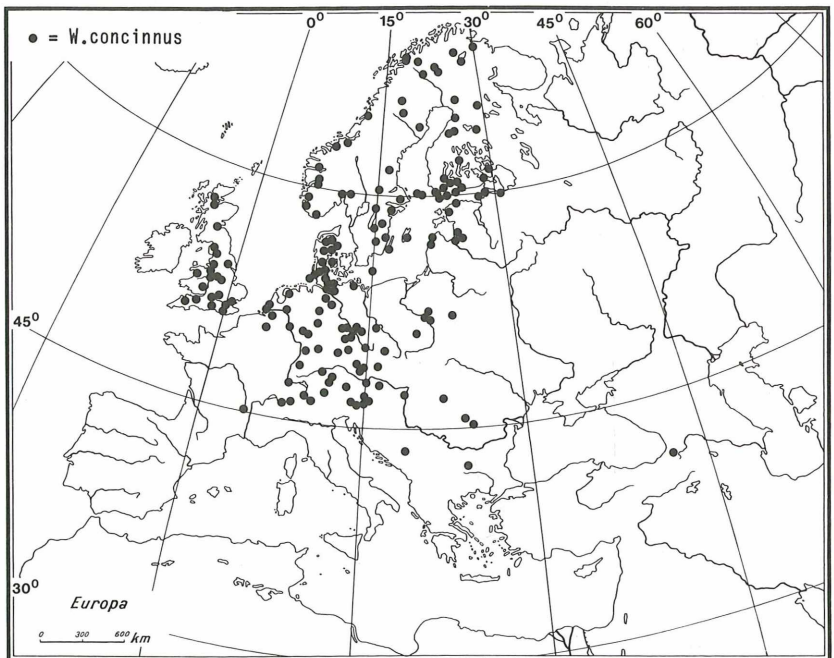
Karte 96

Hemerobiidae: Megalomus



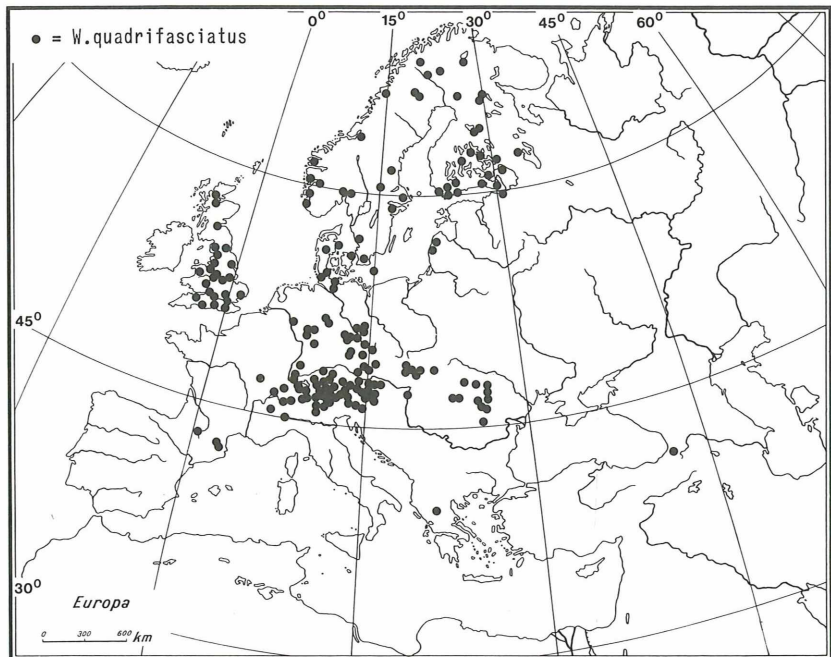
Karte 97

Hemerobiidae: Wesmaelius (Wesmaelius)



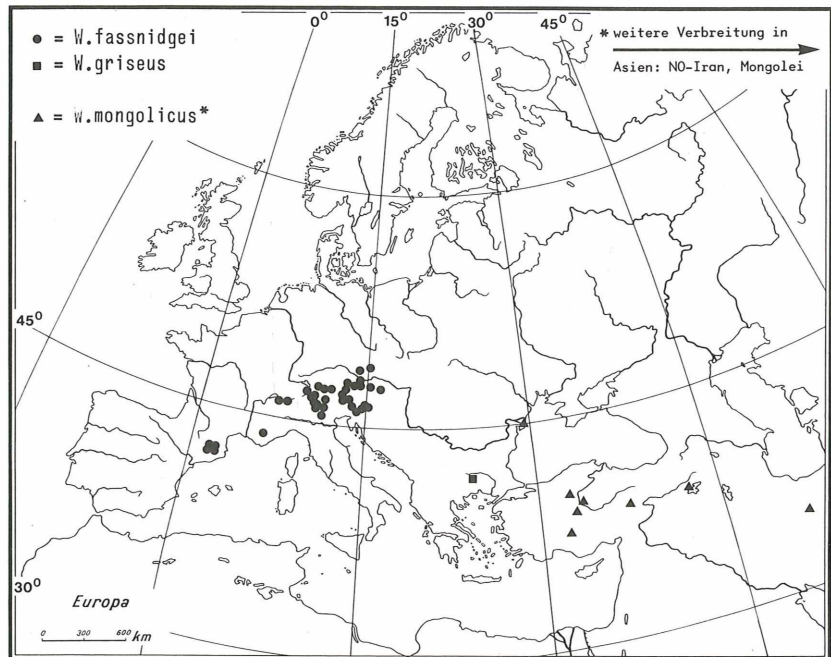
Karte 98

Hemerobiidae: Wesmaelius (Wesmaelius)



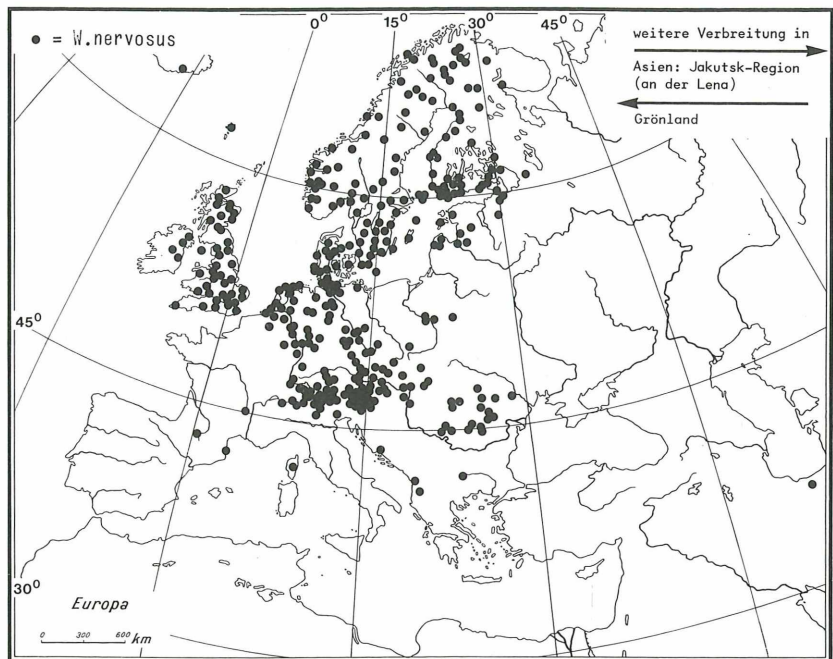
Karte 99

Hemerobiidae: Wesmaelius (Kimmensis)



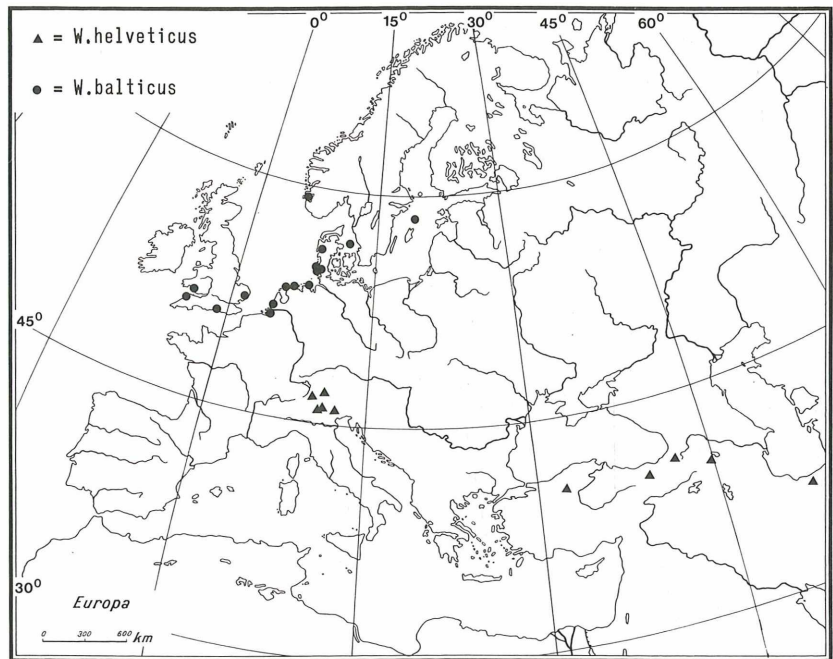
Karte 100

Hemerobiidae: Wesmaelius (Kimmminsia)



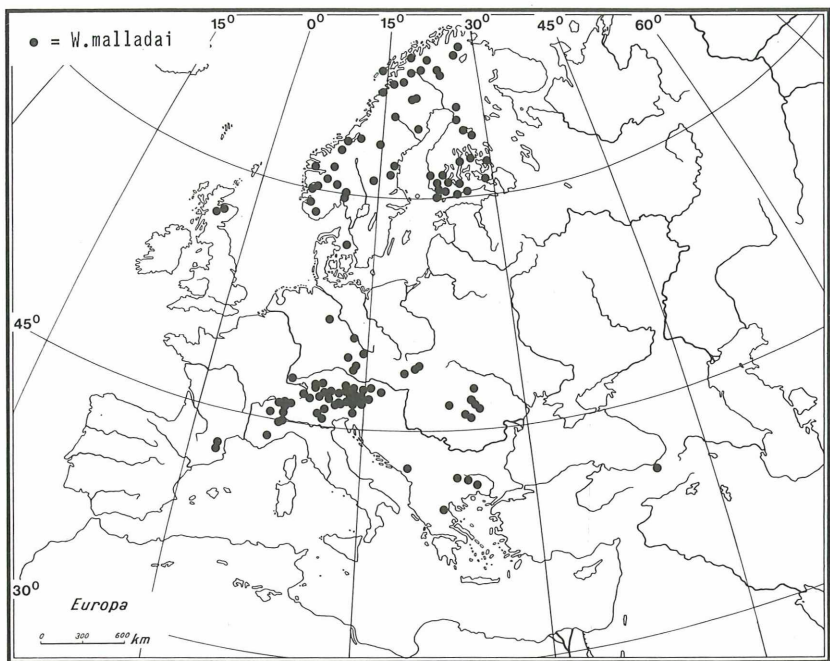
Karte 101

Hemerobiidae: Wesmaelius (Kimmminsia)



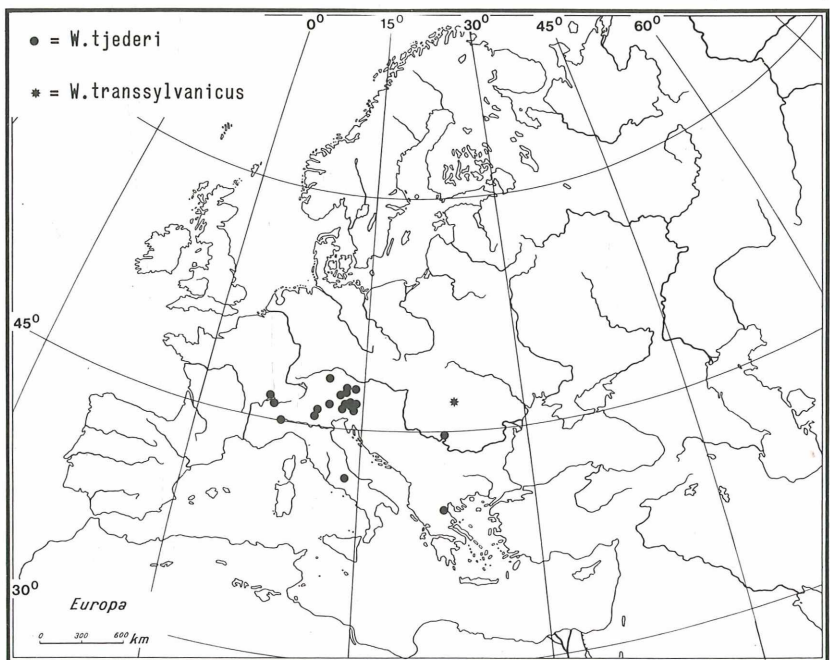
Karte 102

Hemerobiidae: Wesmaelius (Kimmminsia)



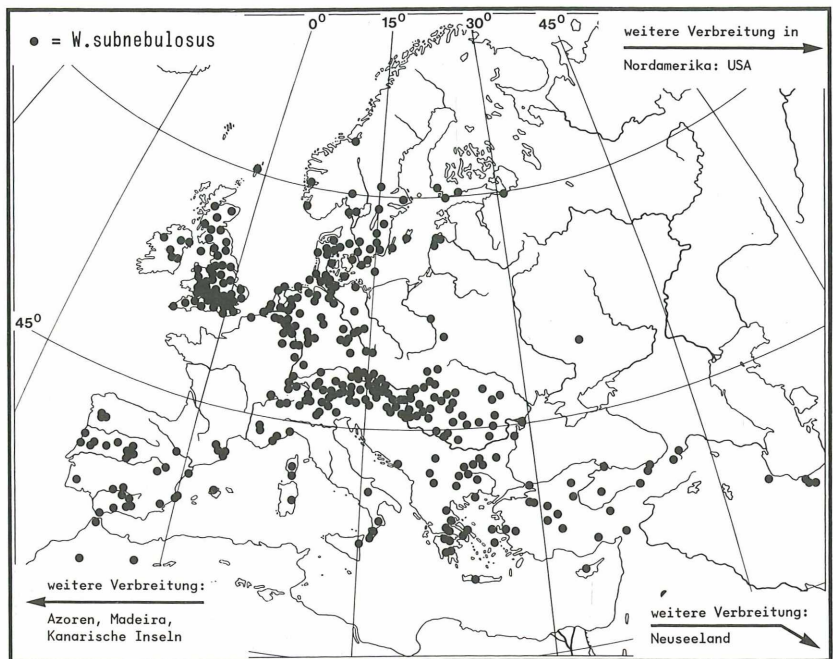
Karte 103

Hemerobiidae: Wesmaelius (Kimmminsia)



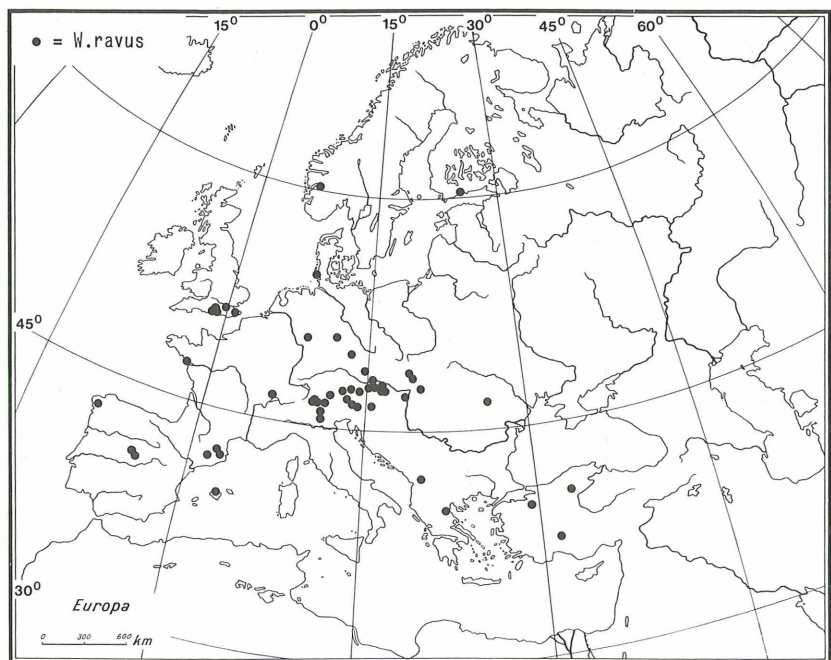
Karte 104

Hemerobiidae: Wesmaelius (Kimmminsia)



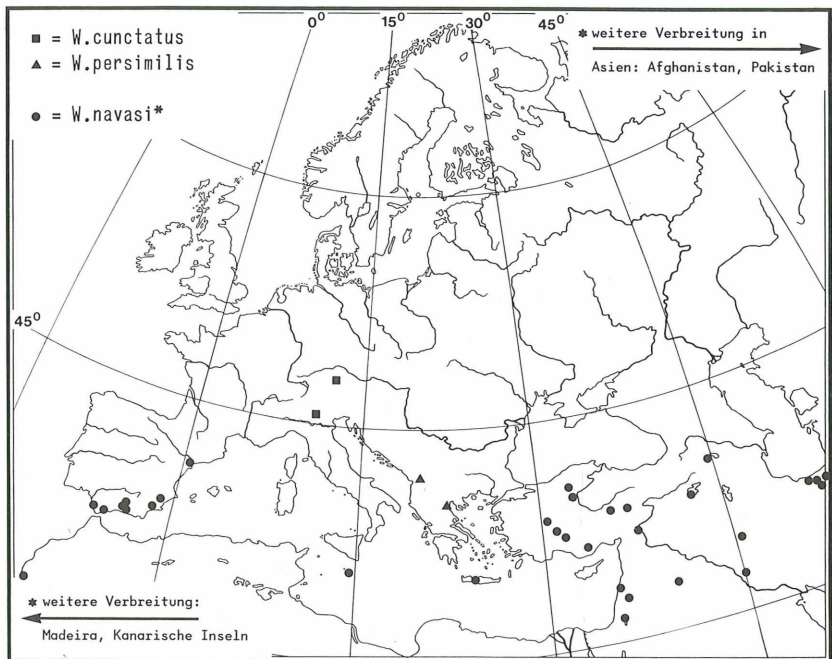
Karte 105

Hemerobiidae: Wesmaelius (Kimmminsia)



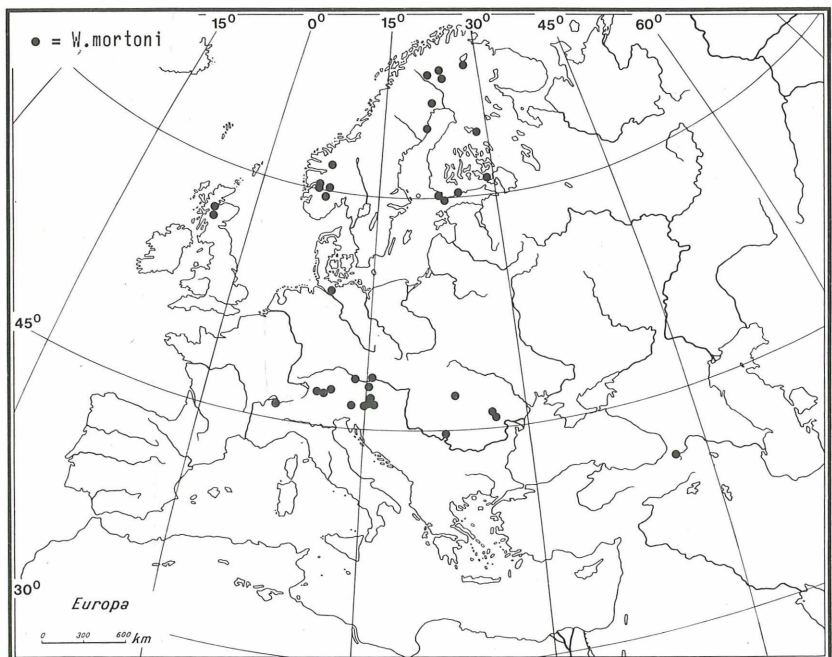
Karte 106

Hemerobiidae: Wesmaelius (Kimmminsia)

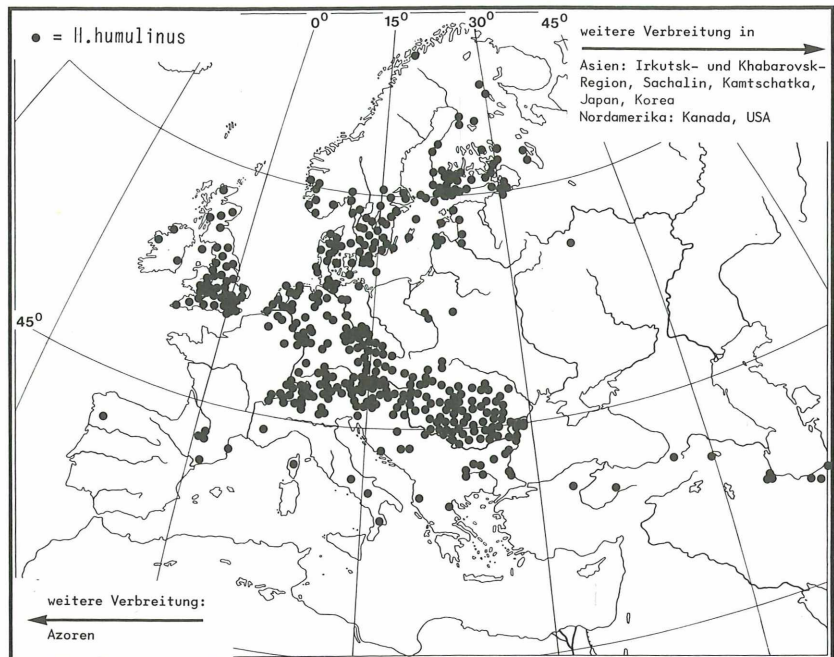


Karte 107

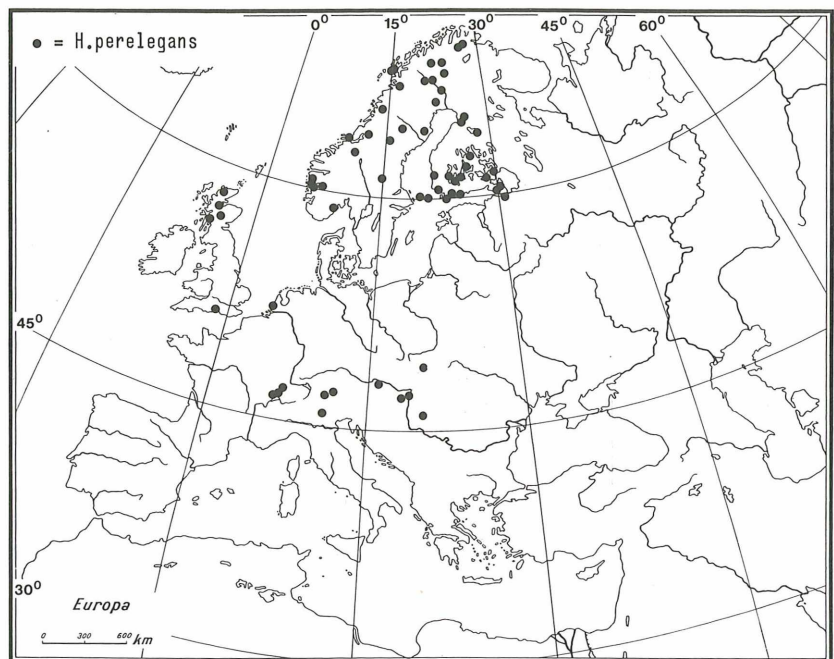
Hemerobiidae: Wesmaelius (Kimmminsia)



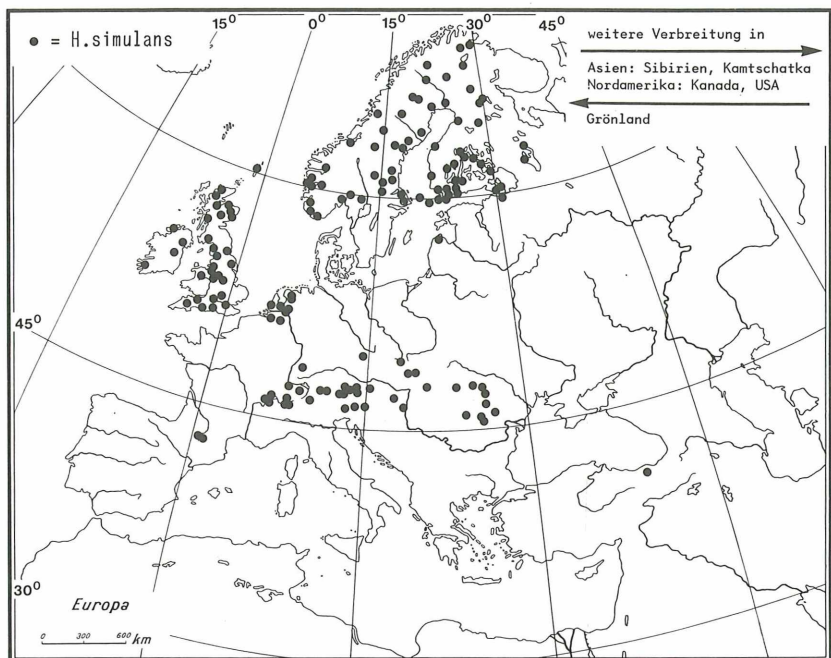
Karte 108

Hemerobiidae: *Hemerobius* (*Hemerobius*)

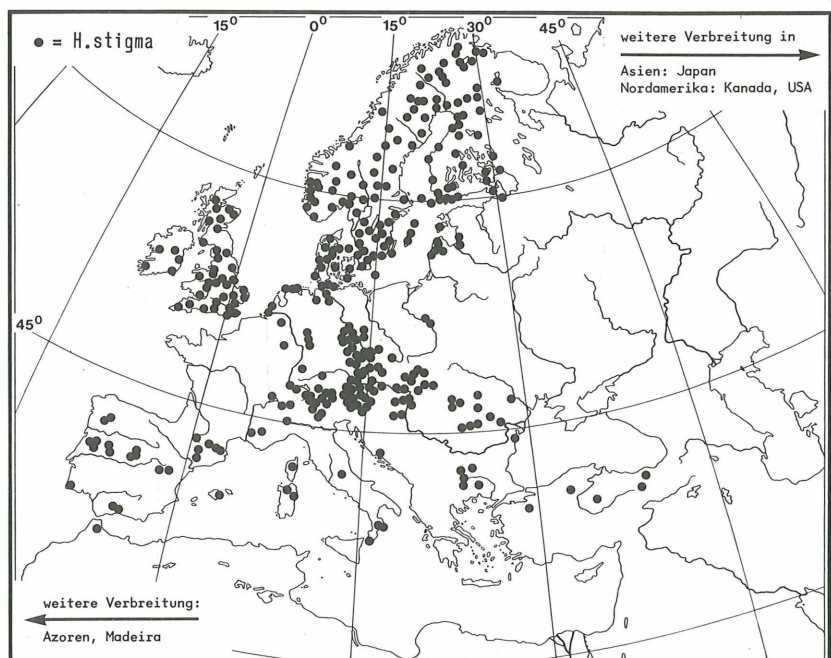
Karte 109

Hemerobiidae: *Hemerobius* (*Hemerobius*)

Karte 110

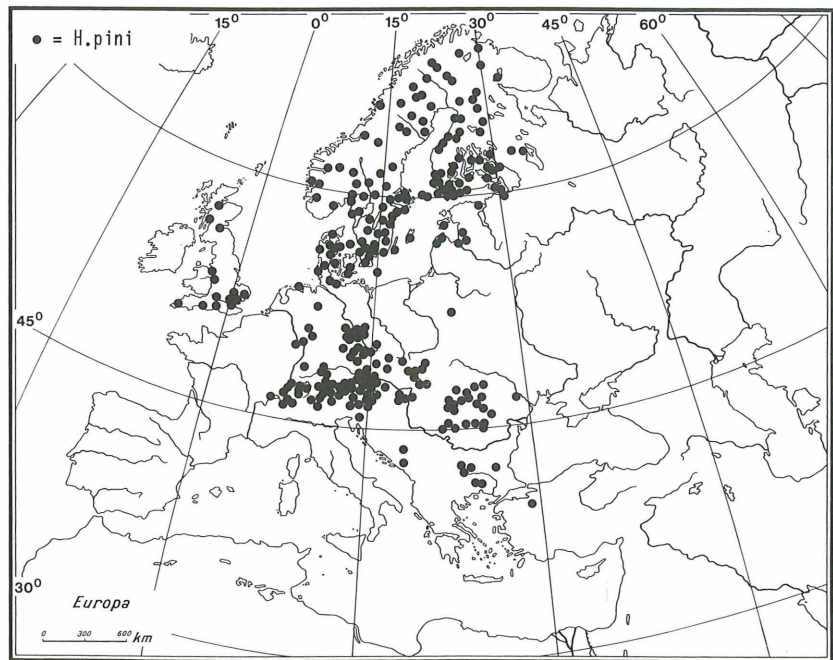
Hemerobiidae: *Hemerobius* (*Hemerobius*)

Karte 111

Hemerobiidae: *Hemerobius* (*Hemerobius*)

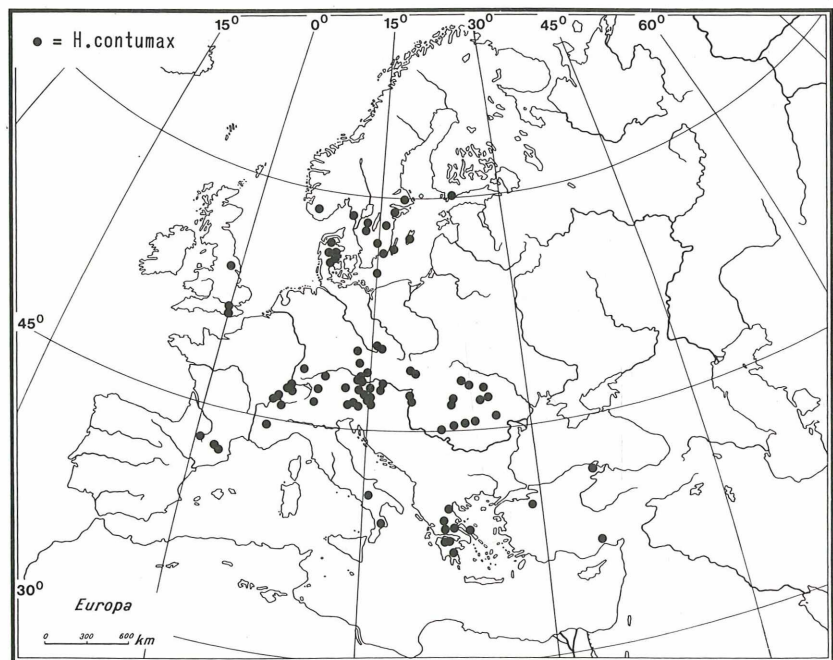
Karte 112

Hemerobiidae: *Hemerobius* (*Hemerobius*)



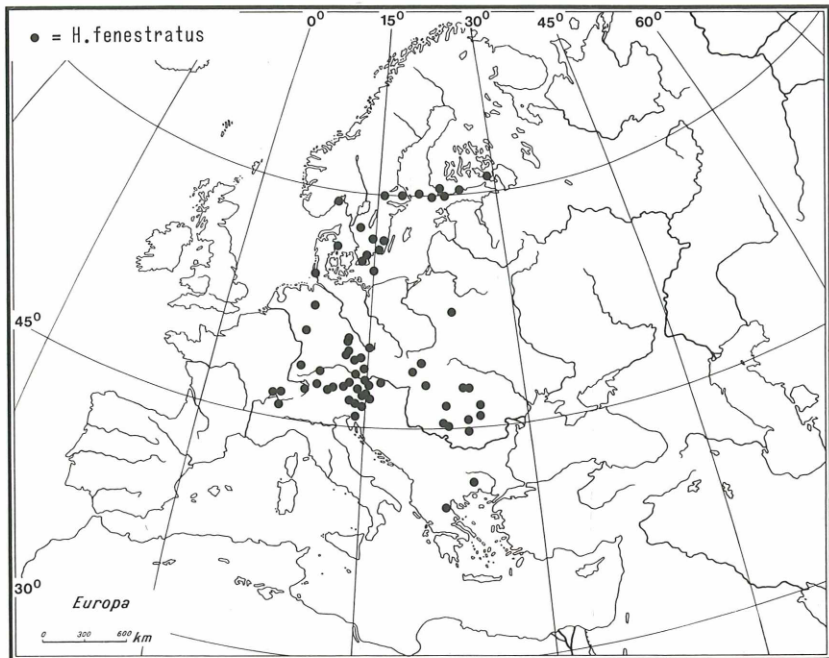
Karte 113

Hemerobiidae: *Hemerobius* (*Hemerobius*)



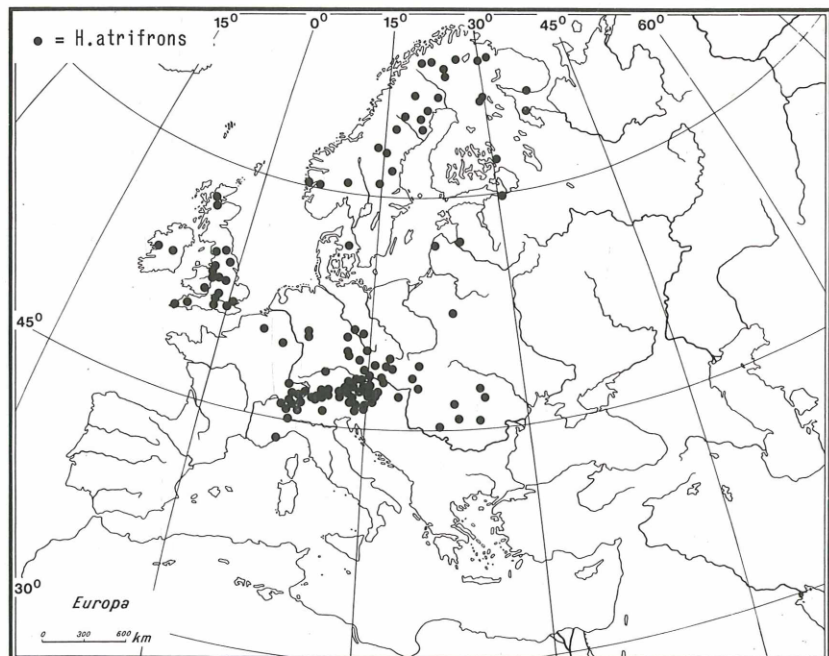
Karte 114

Hemerobiidae: *Hemerobius* (*Hemerobius*)

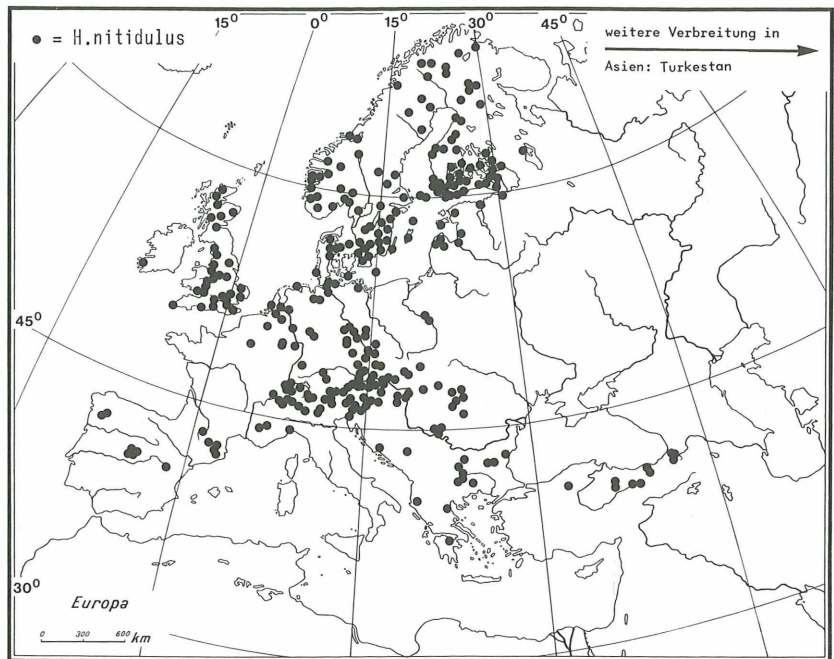


Karte 115

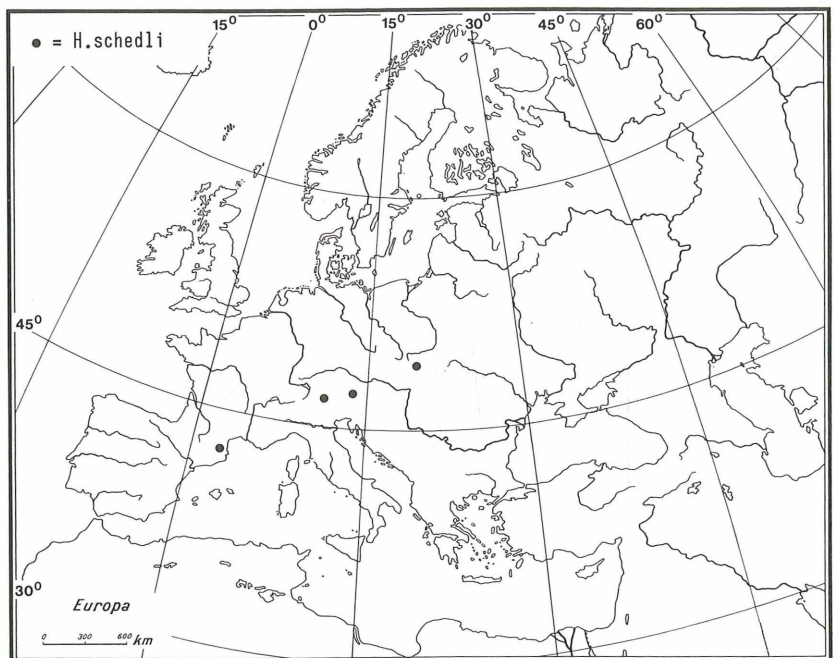
Hemerobiidae: *Hemerobius* (*Hemerobius*)



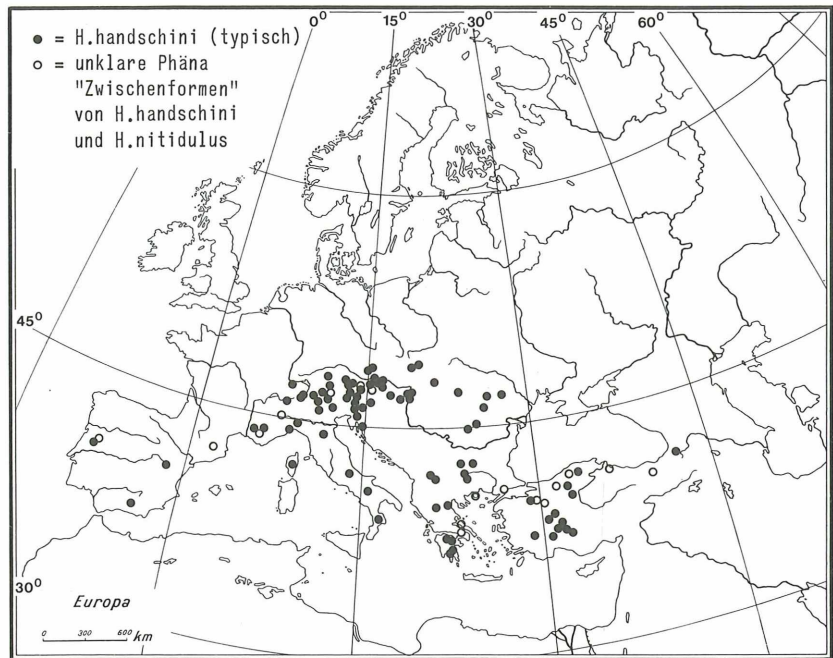
Karte 116

Hemerobiidae: *Hemerobius* (*Hemerobius*)

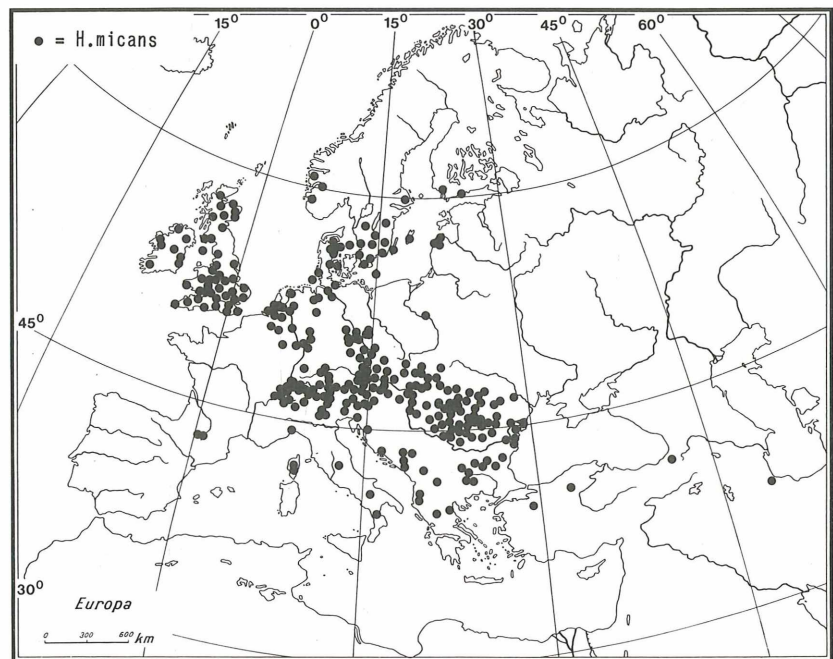
Karte 117

Hemerobiidae: *Hemerobius* (*Hemerobius*)

Karte 118

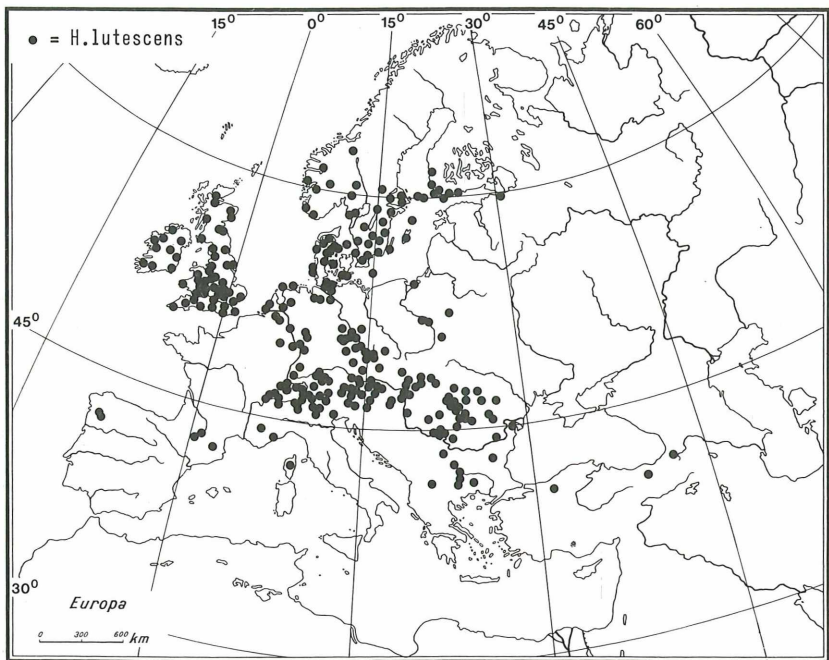
Hemerobiidae: *Hemerobius* (*Hemerobius*)

Karte 119

Hemerobiidae: *Hemerobius* (*Hemerobius*)

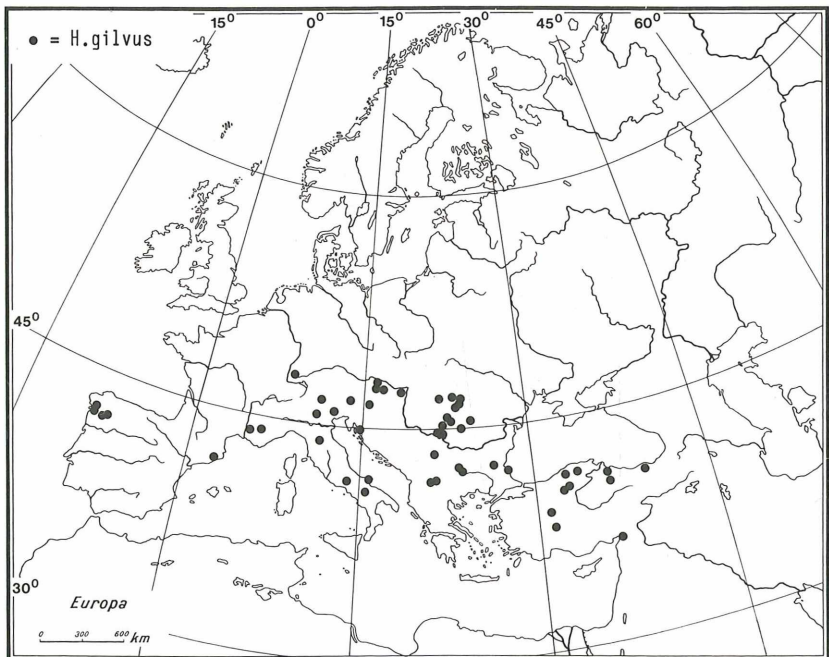
Karte 120

Hemerobiidae: *Hemerobius* (*Hemerobius*)

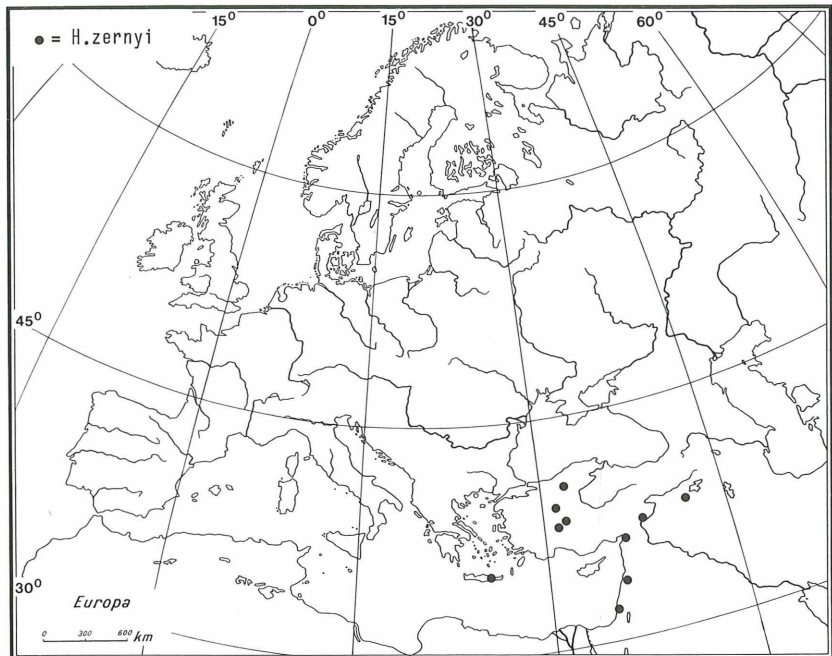


Karte 121

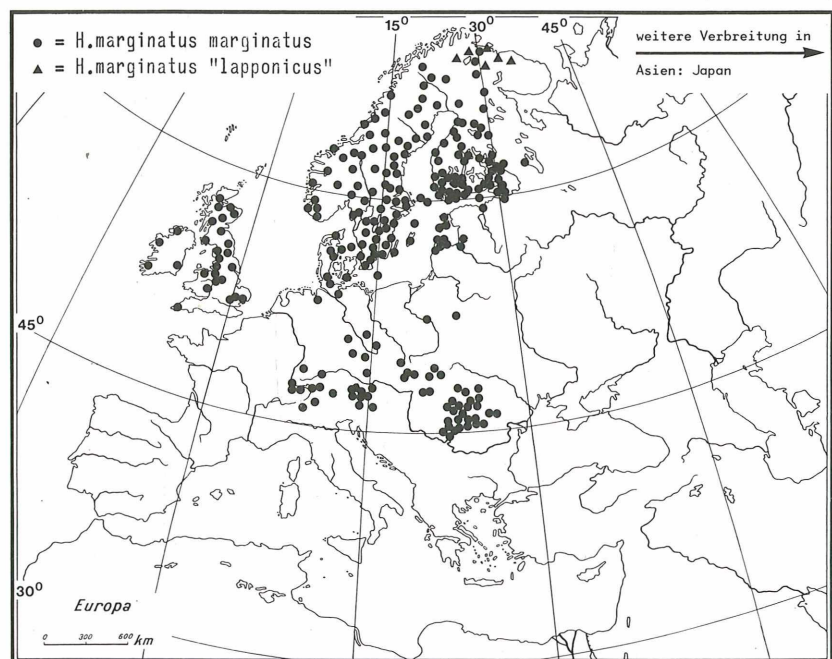
Hemerobiidae: *Hemerobius* (*Hemerobius*)



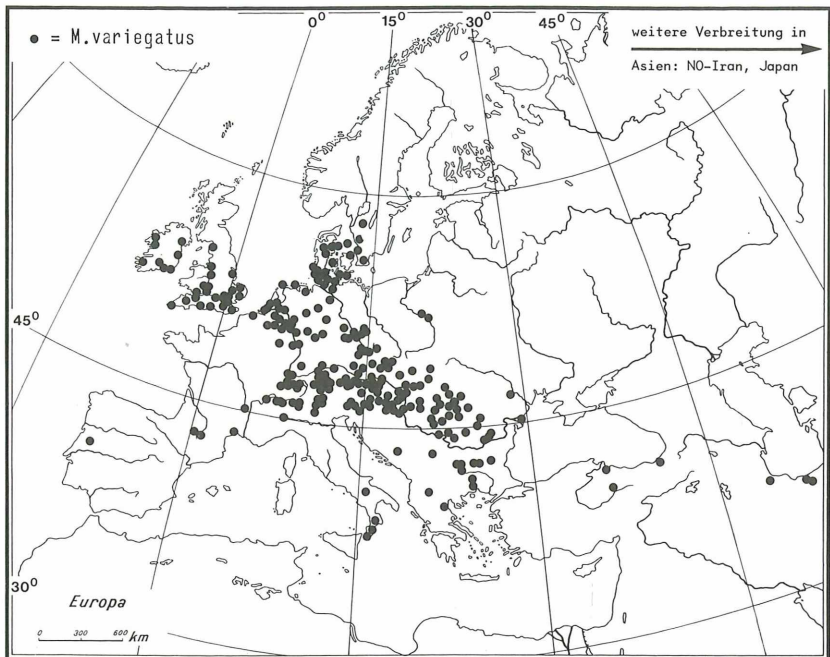
Karte 122

Hemerobiidae: *Hemerobius* (*Hemerobius*)

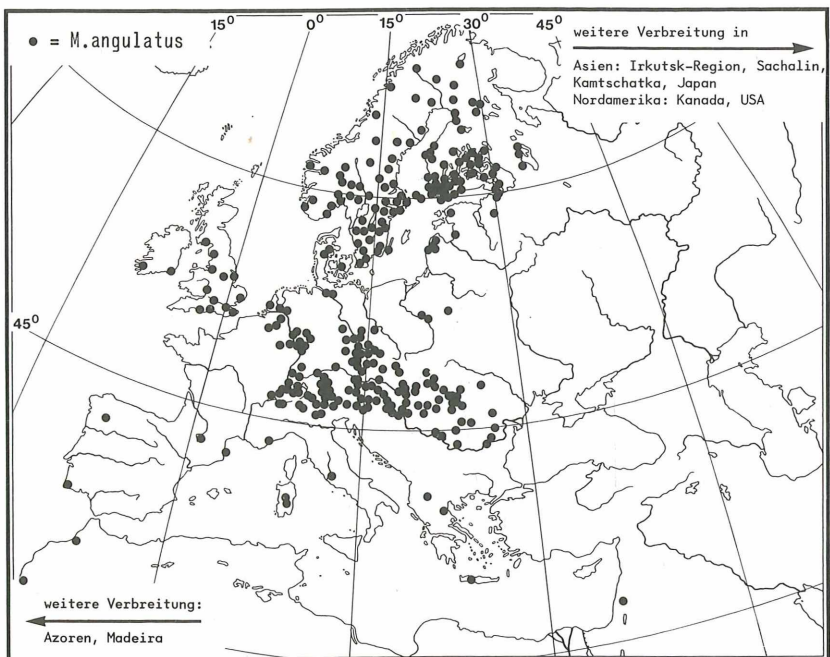
Karte 123

Hemerobiidae: *Hemerobius* (*Brauerobius*)

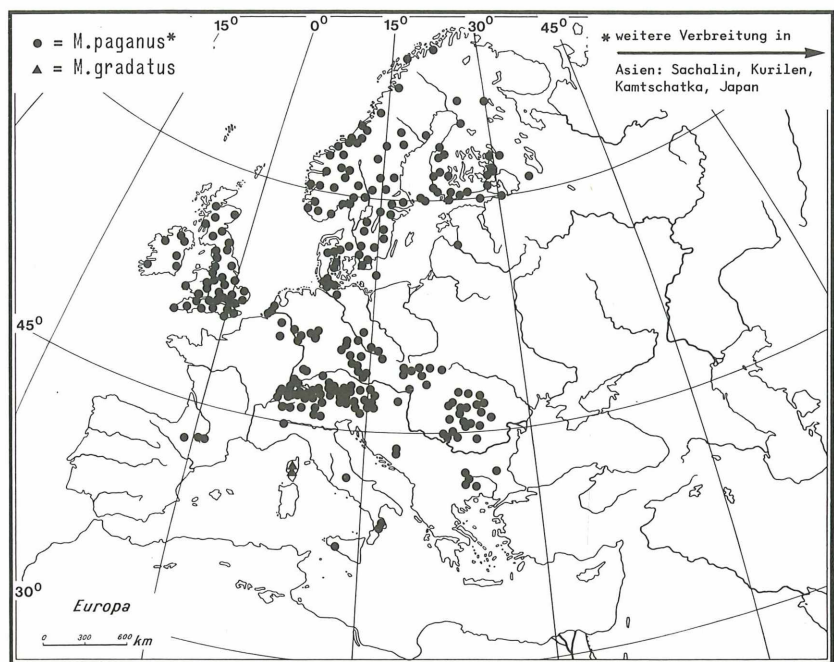
Karte 124

Hemerobiidae: *Micromus* (*Micromus*)

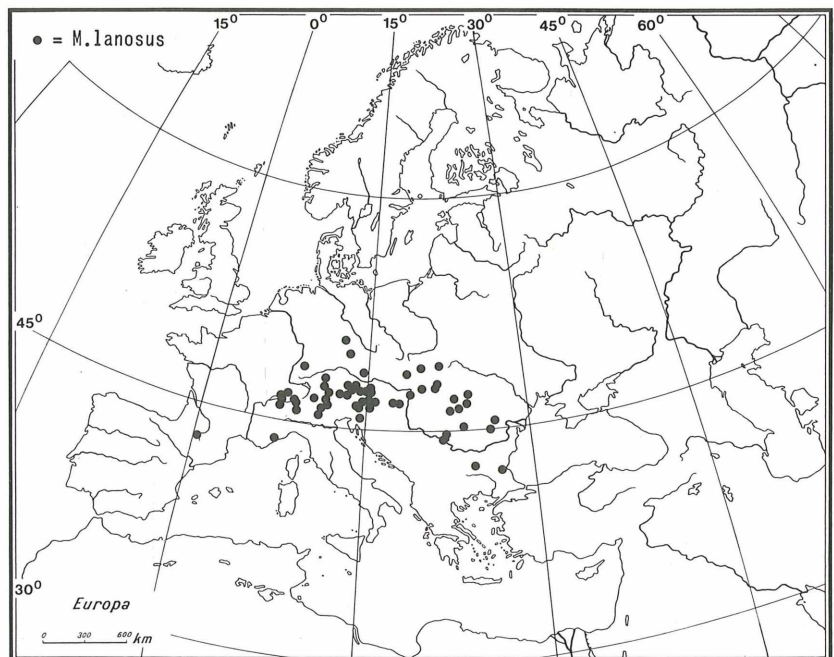
Karte 125

Hemerobiidae: *Micromus* (*Nesomicromus*)

Karte 126

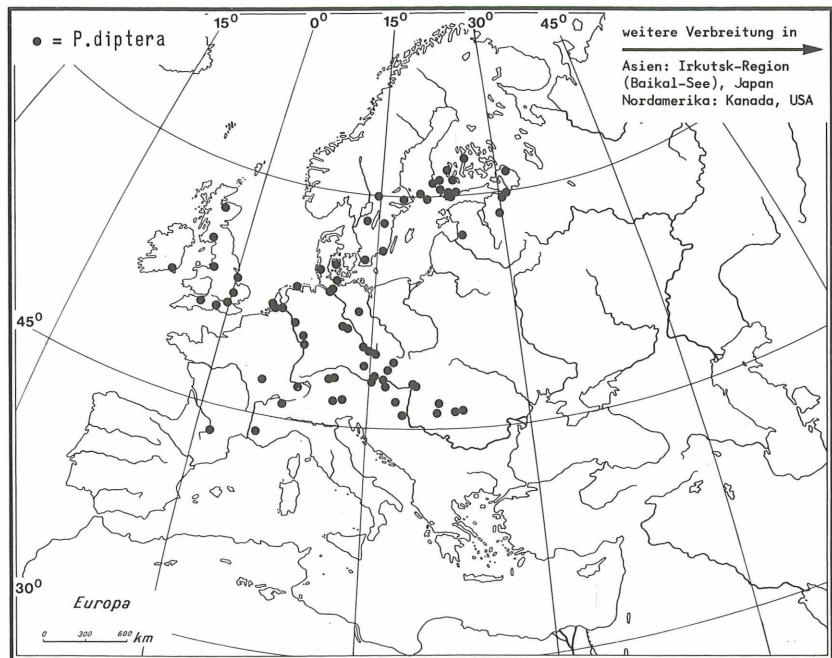
Hemerobiidae: *Micromus* (*Nesomicromus*)

Karte 127

Hemerobiidae: *Micromus* (*Nesomicromus*)

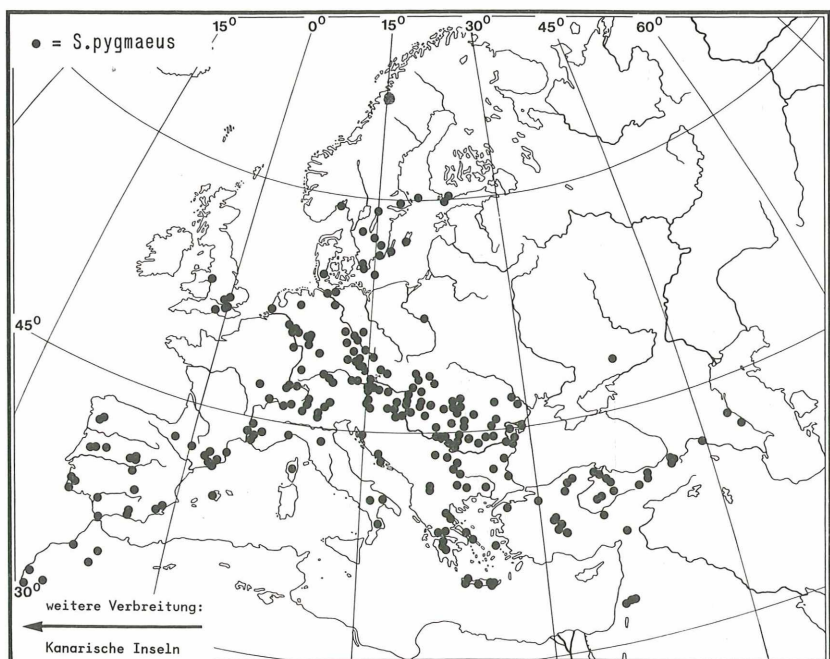
Karte 128

Hemerobiidae: Psectra

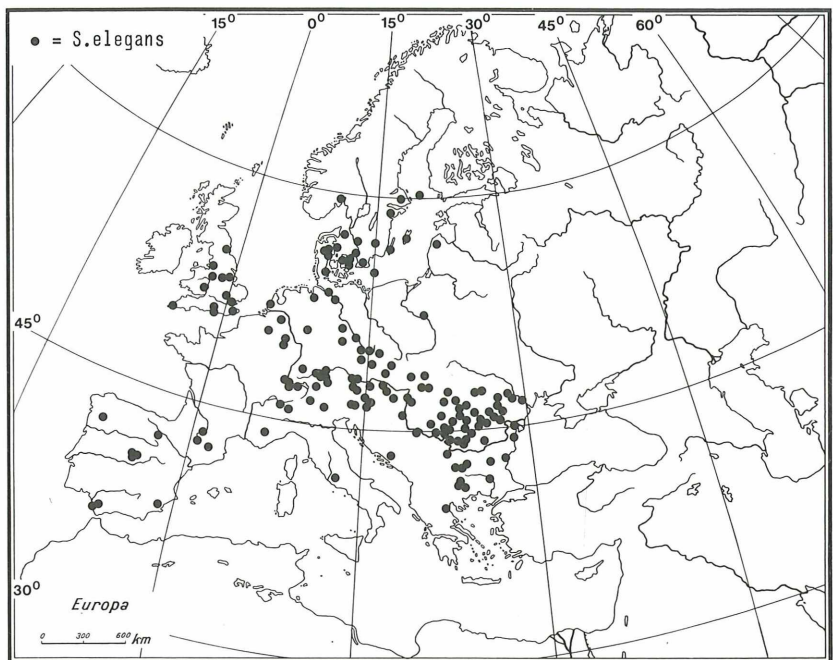


Karte 129

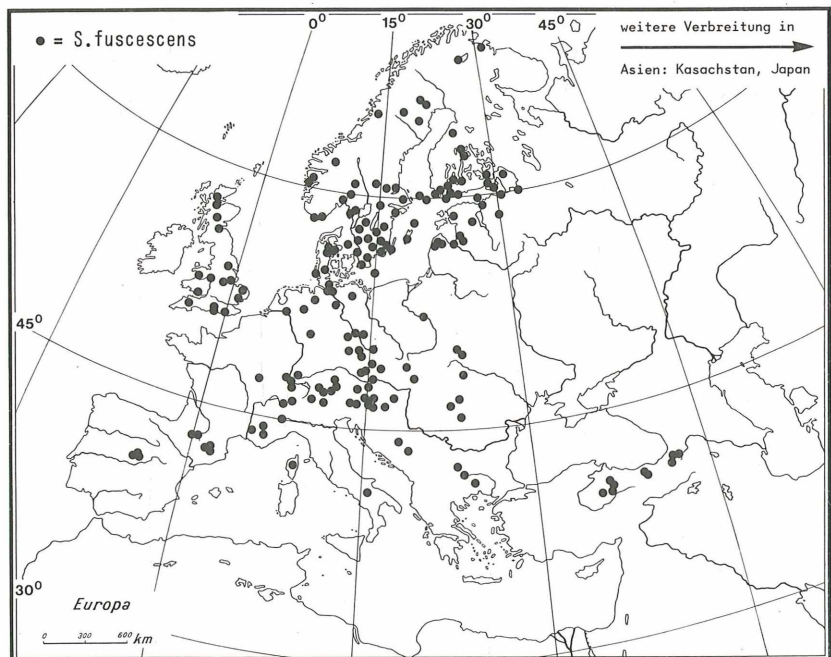
Hemerobiidae: Sympherobius (Sympherobius)



Karte 130

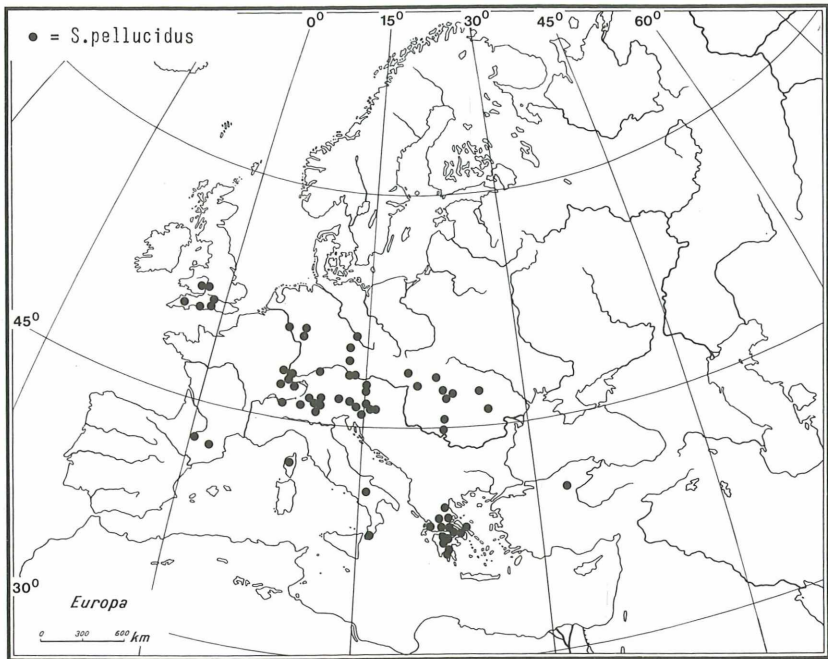
Hemerobiidae: *Sympherobius* (*Sympherobius*)

Karte 131

Hemerobiidae: *Sympherobius* (*Niremberge*)

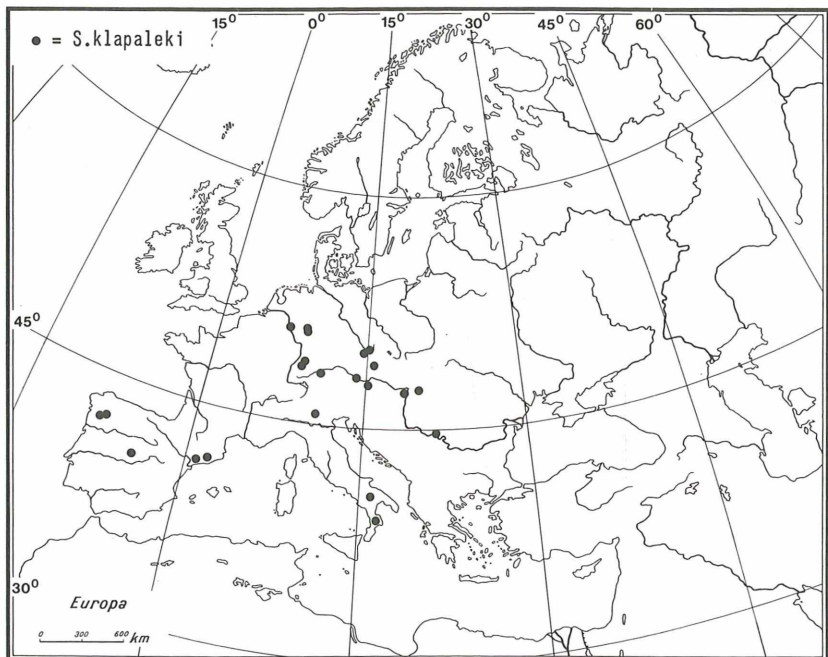
Karte 132

Hemerobiidae: *Sympherobius* (Niremberge)

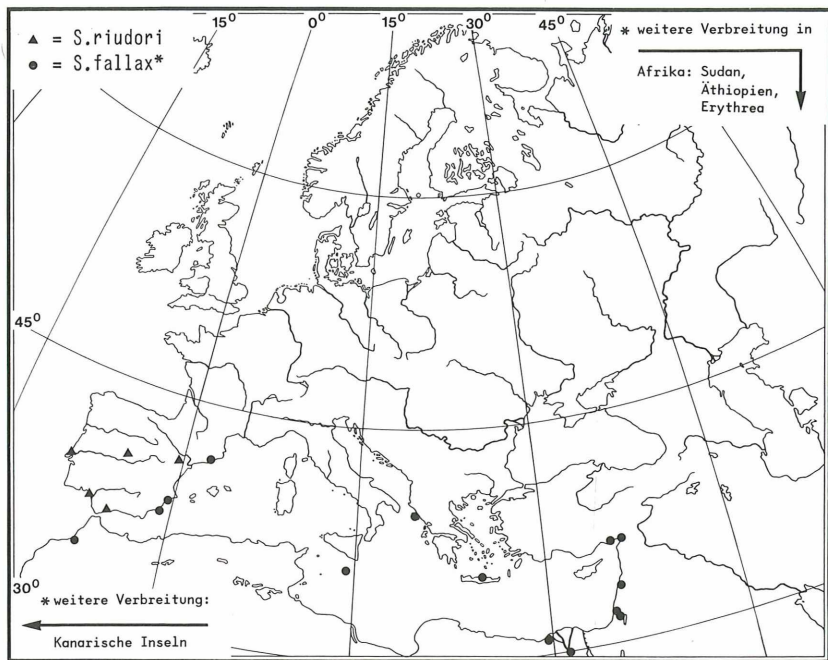


Karte 133

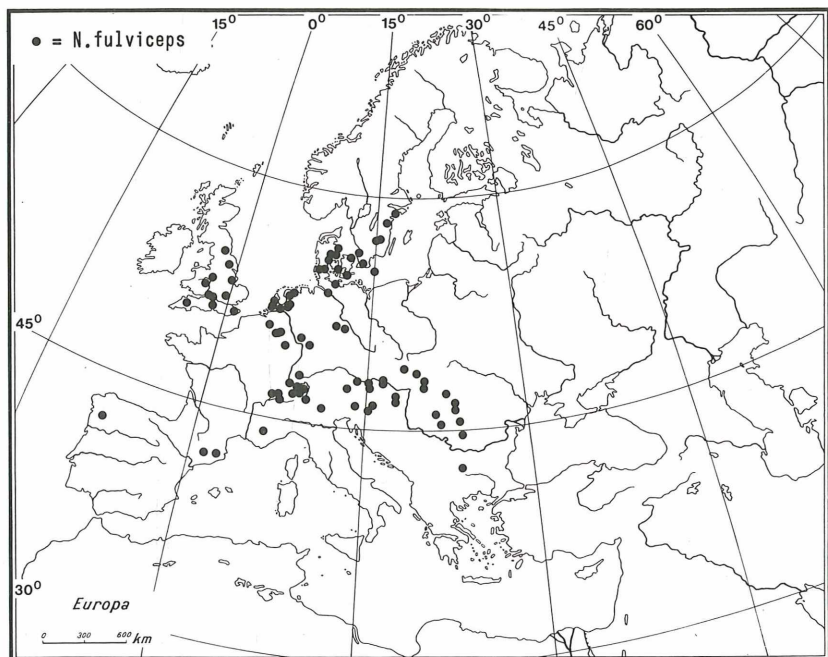
Hemerobiidae: *Sympherobius* (Niremberge)



Karte 134

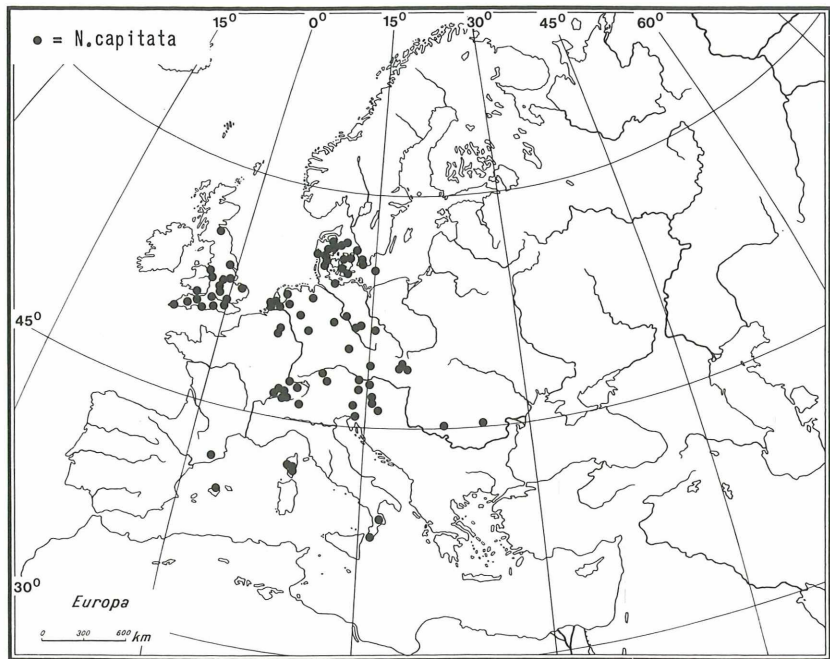
Hemerobiidae: *Sympherobius* (*Sympherobius*), (Niremberge)

Karte 135

Chrysopidae: *Nothochrysa*

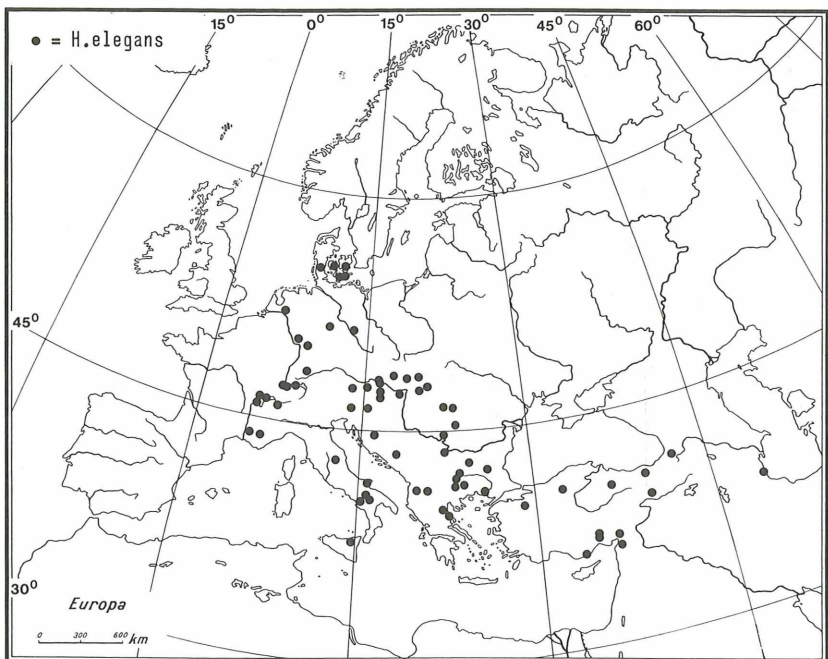
Karte 136

Chrysopidae: Nothochrysa



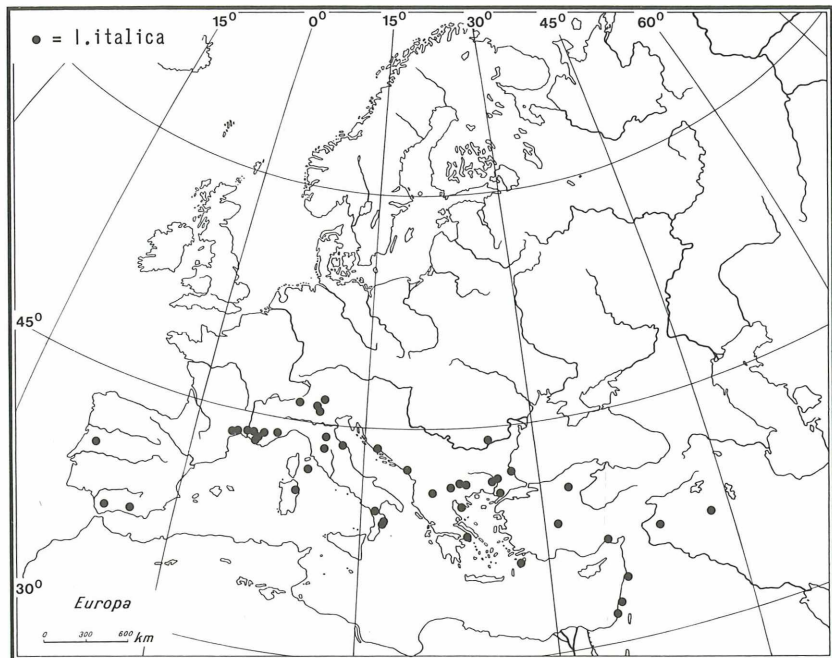
Karte 137

Chrysopidae: Hypochrysa



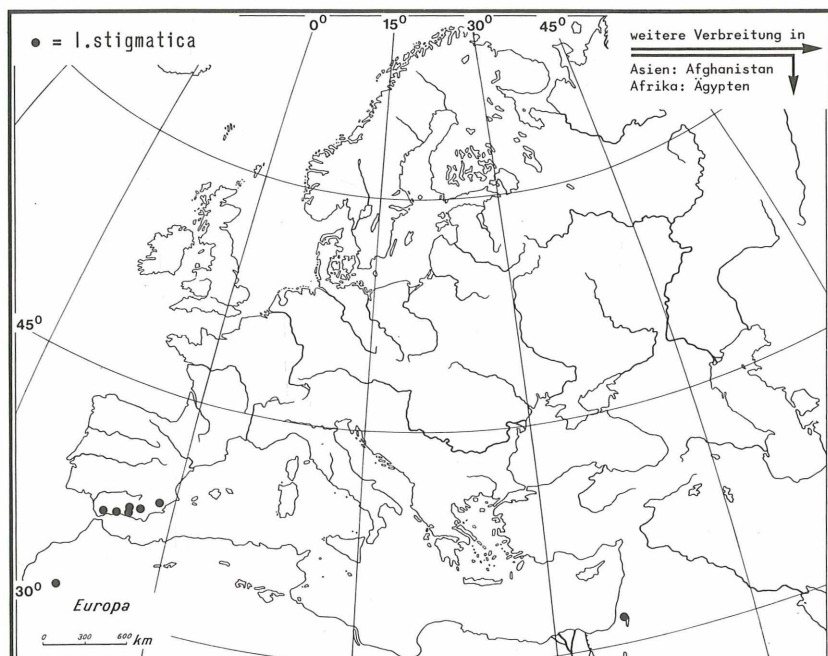
Karte 138

Chrysopidae: Italochrysa



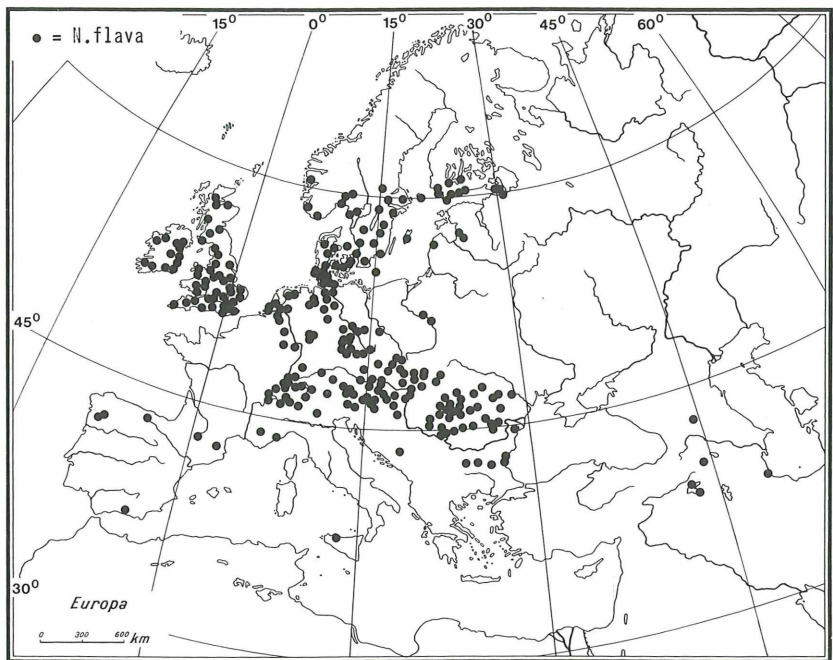
Karte 139

Chrysopidae: Italochrysa



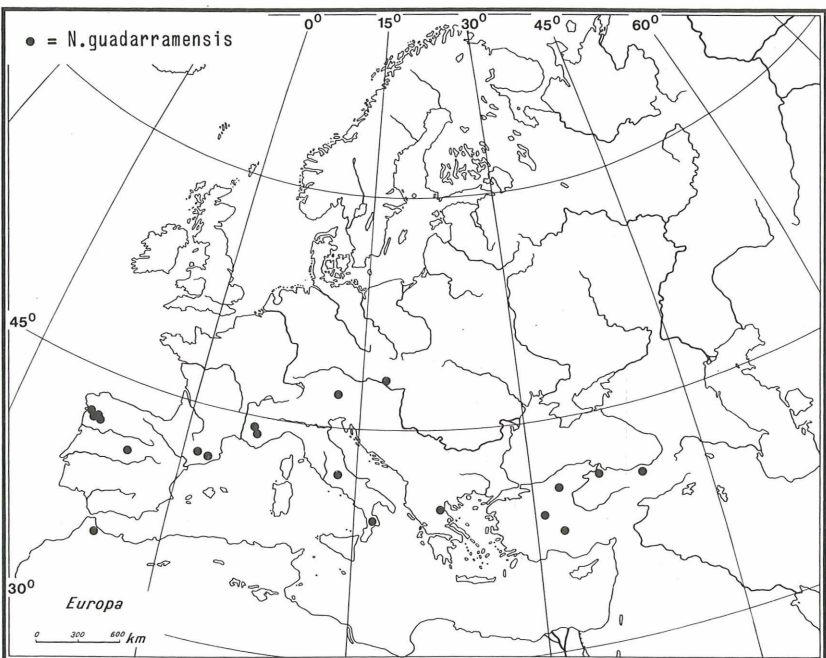
Karte 140

Chrysopidae: Nineta

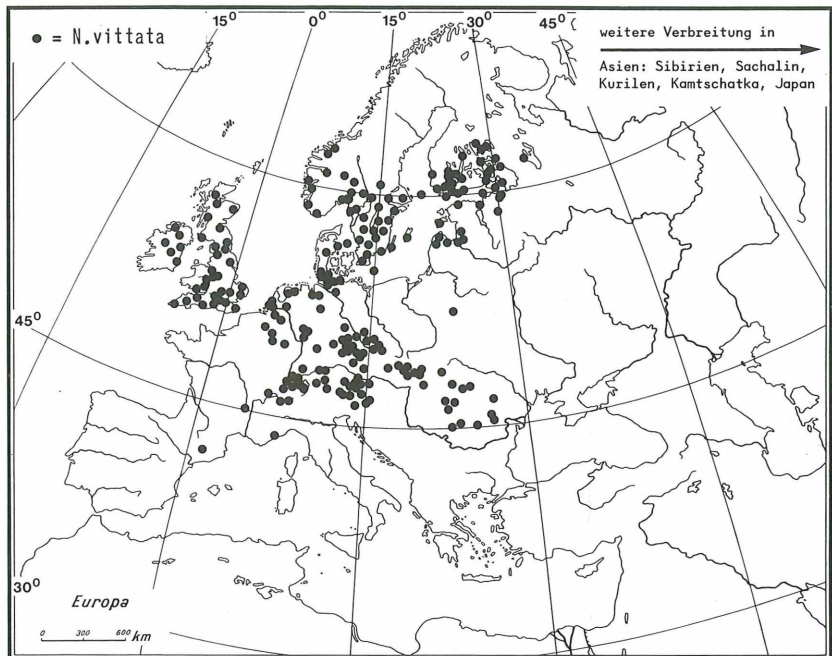


Karte 141

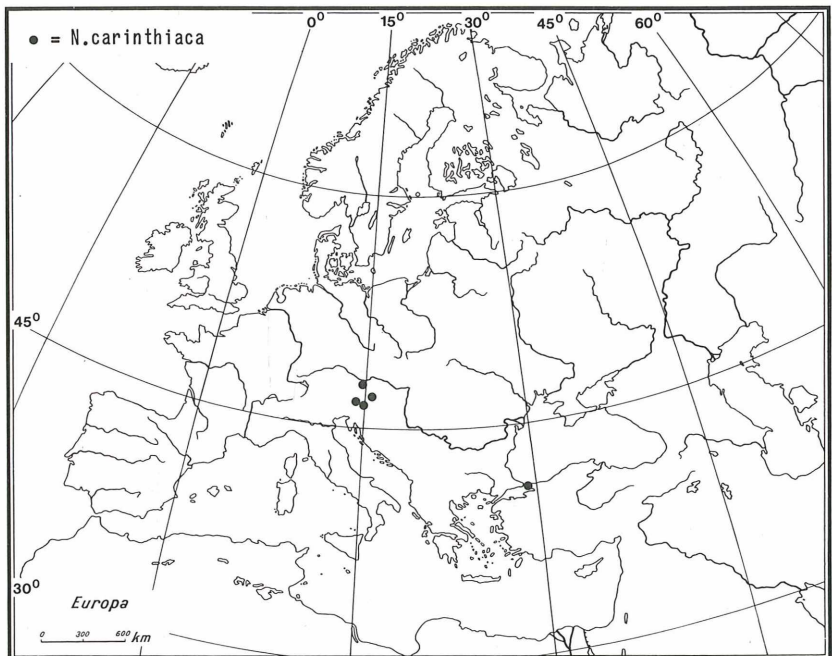
Chrysopidae: Nineta



Karte 142

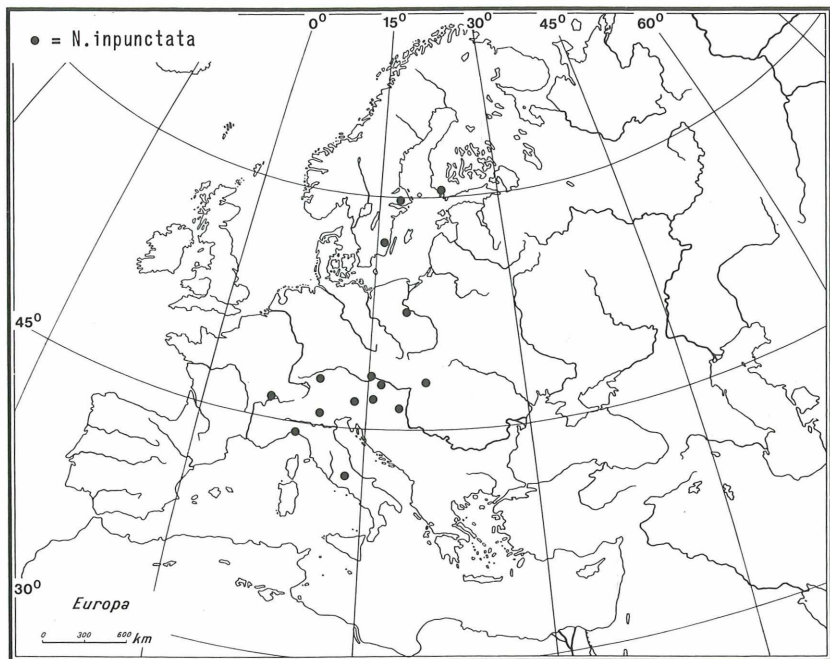
Chrysopidae: *Nineta*

Karte 143

Chrysopidae: *Nineta*

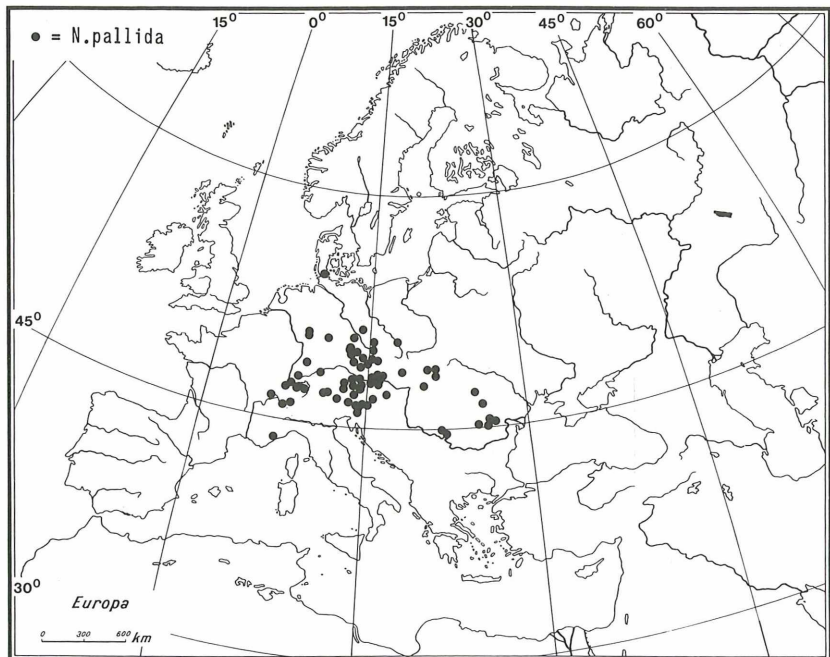
Karte 144

Chrysopidae: *Nineta*



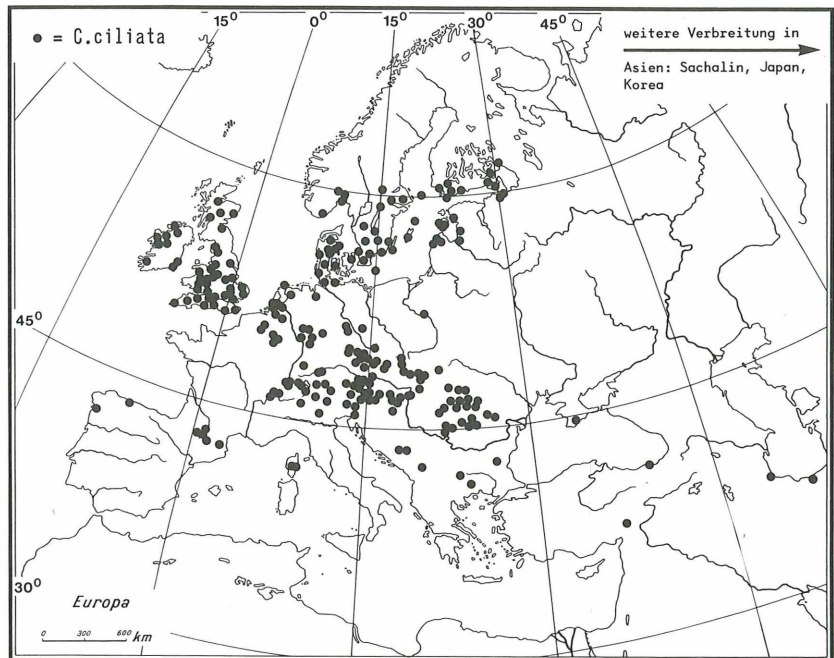
Karte 145

Chrysopidae: *Nineta*



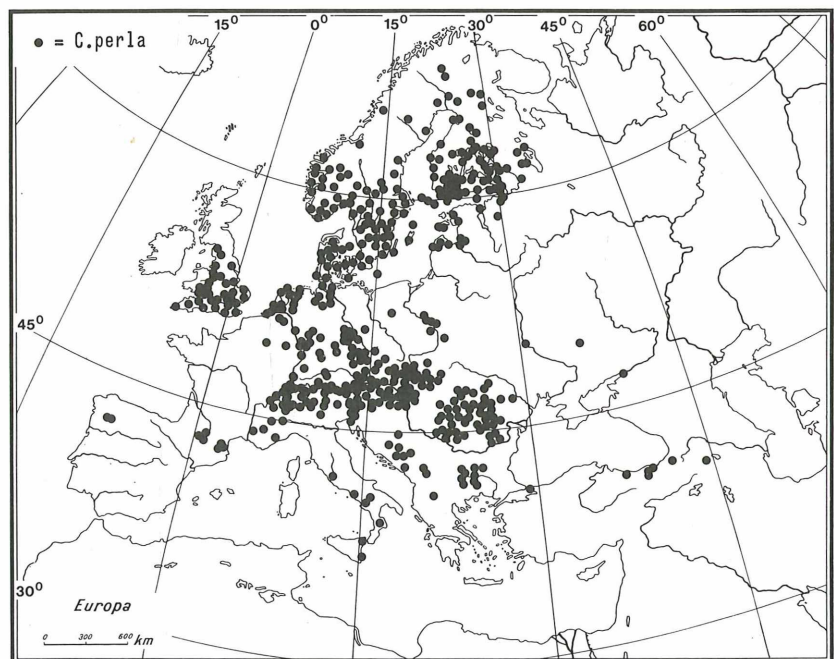
Karte 146

Chrysopidae: Chrysotropia



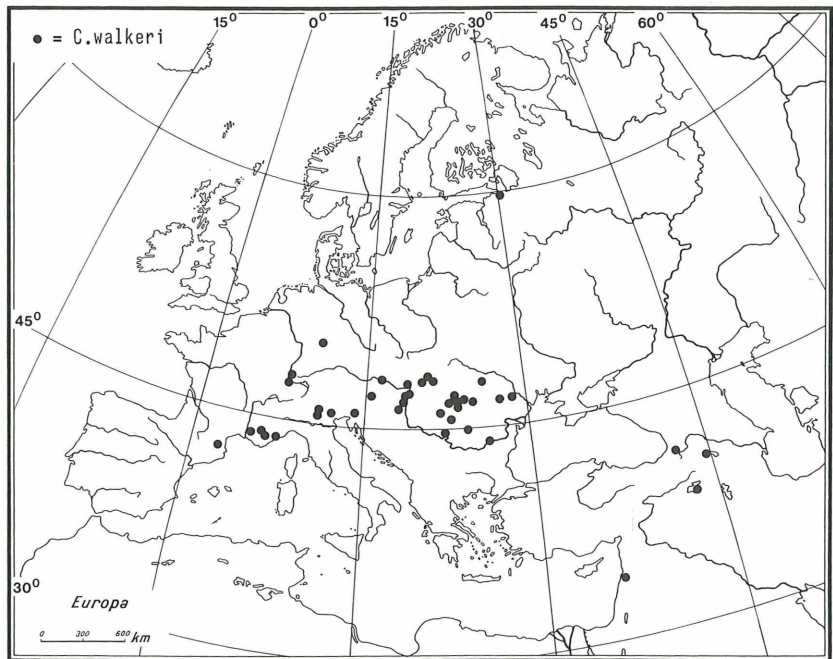
Karte 147

Chrysopidae: Chrysopa



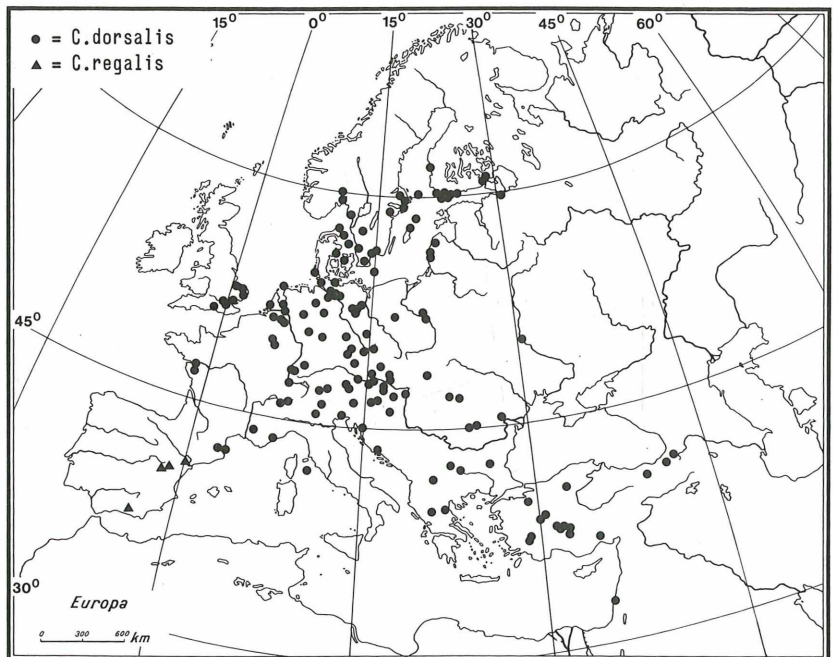
Karte 148

Chrysopidae: Chrysopa



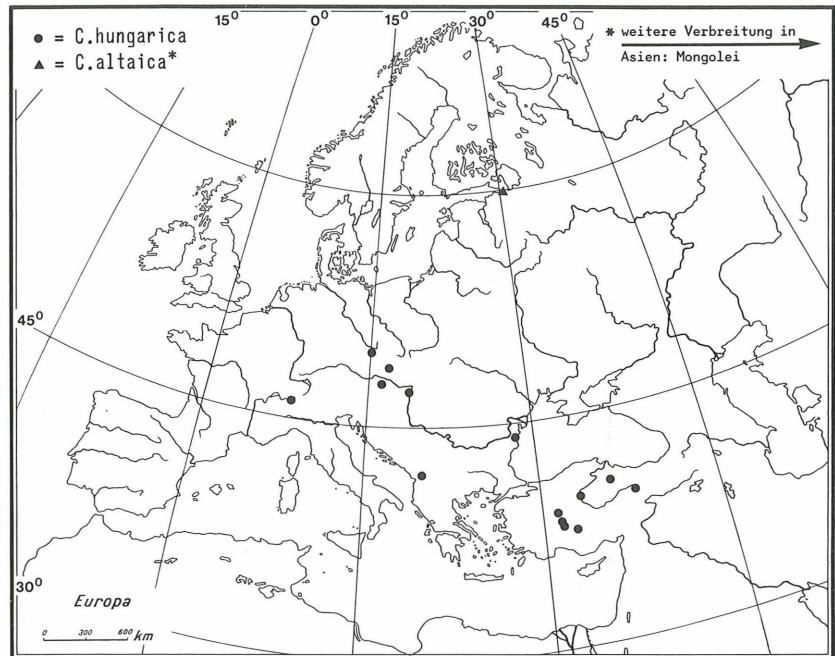
Karte 149

Chrysopidae: Chrysopa



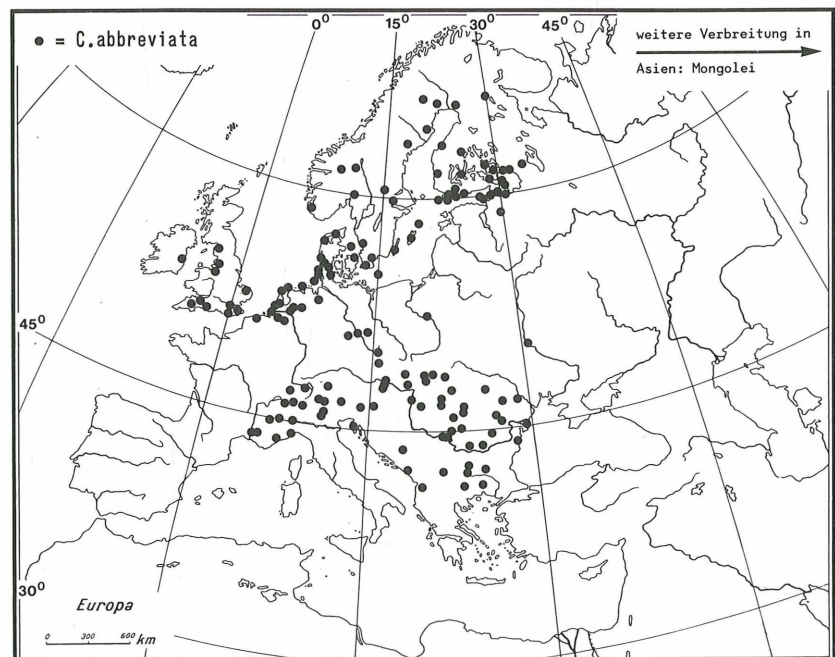
Karte 150

Chrysopidae: Chrysopa



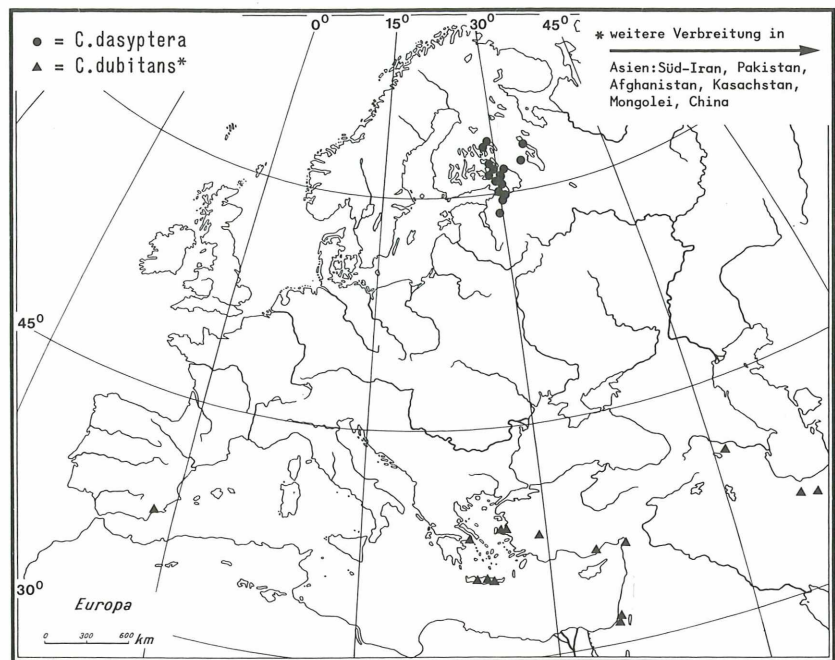
Karte 151

Chrysopidae: Chrysopa



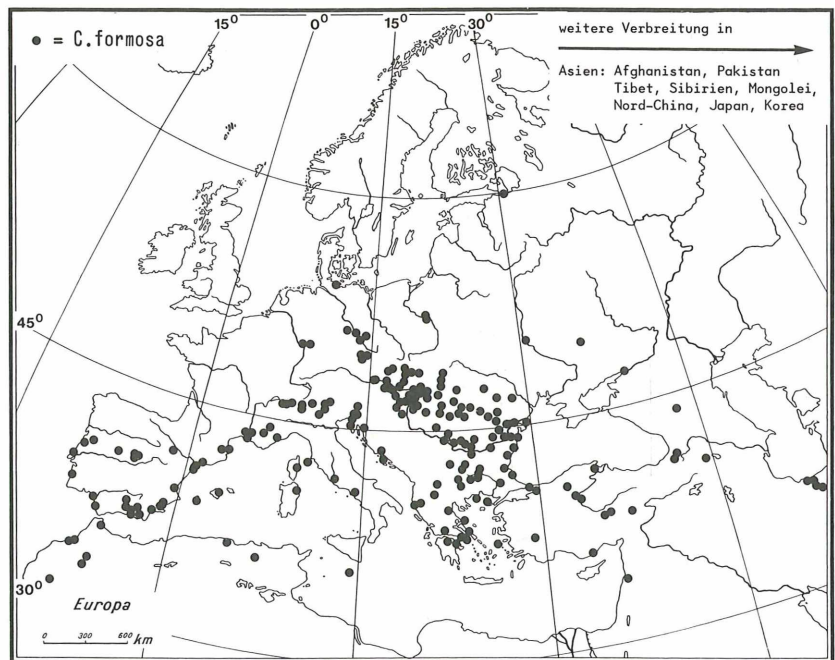
Karte 152

Chrysopidae: Chrysopa



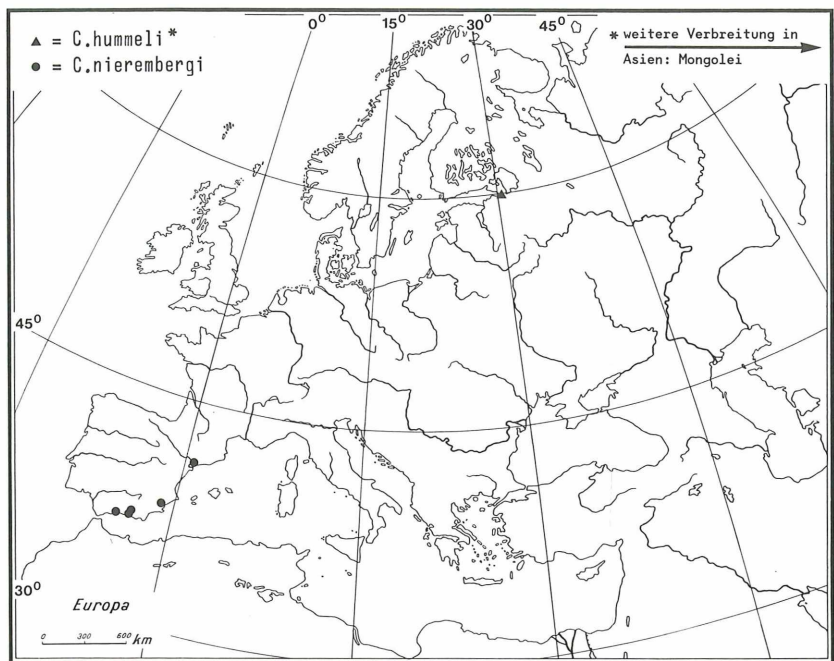
Karte 153

Chrysopidae: Chrysopa



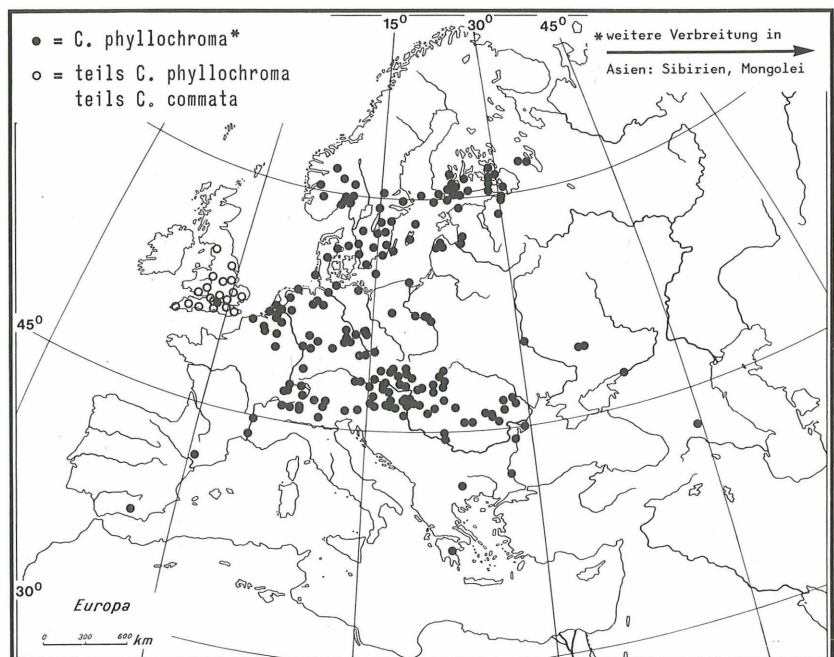
Karte 154

Chrysopidae: Chrysopa



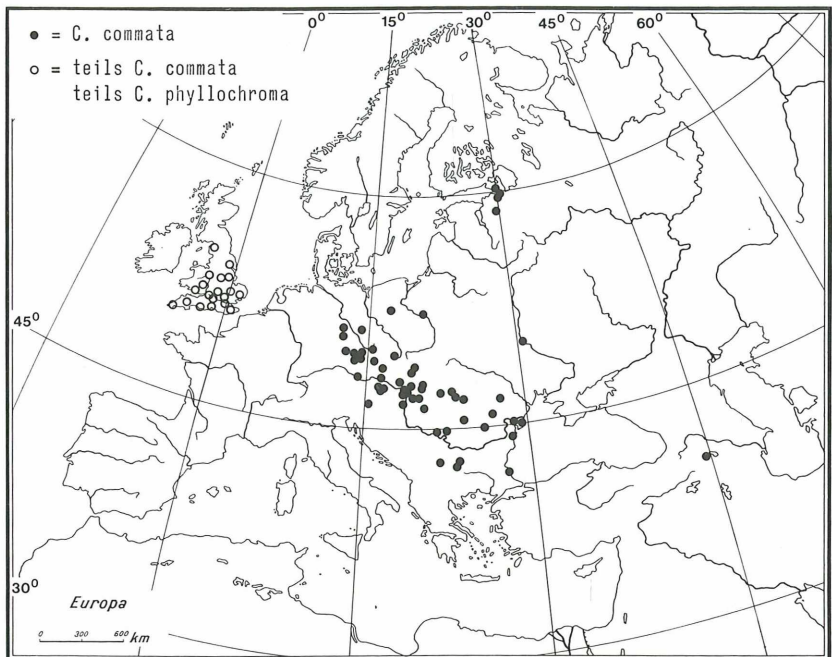
Karte 155

Chrysopidae: Chrysopa



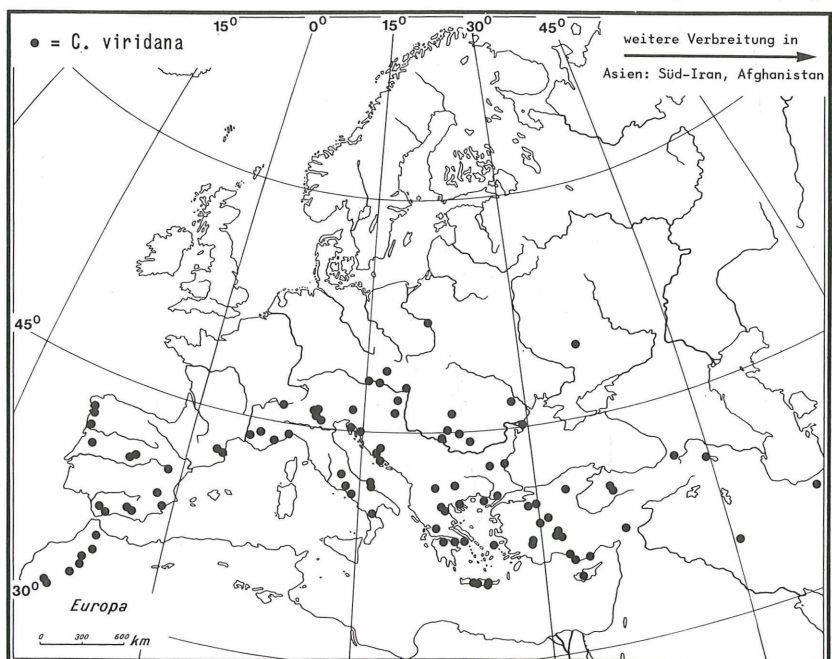
Karte 156

Chrysopidae: Chrysopa



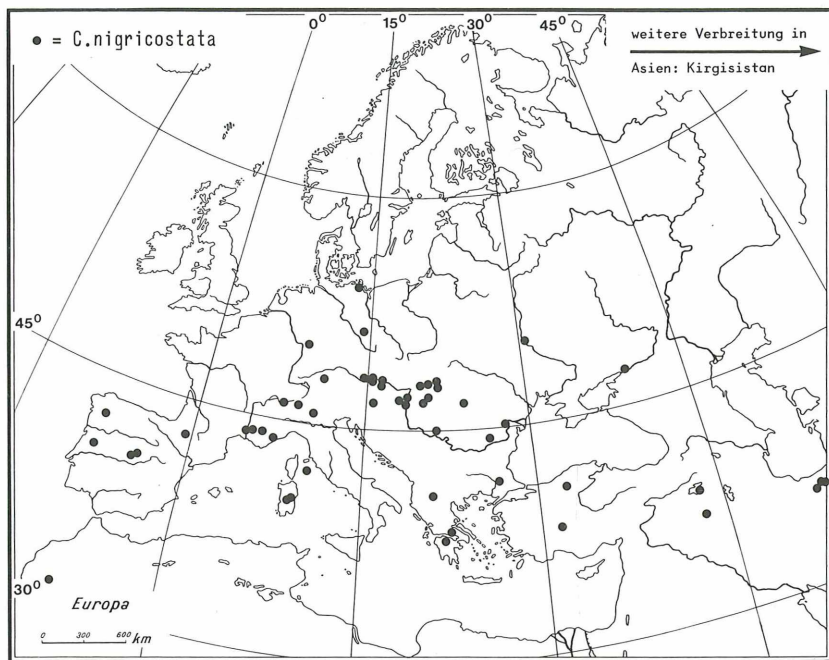
Karte 157

Chrysopidae: Chrysopa



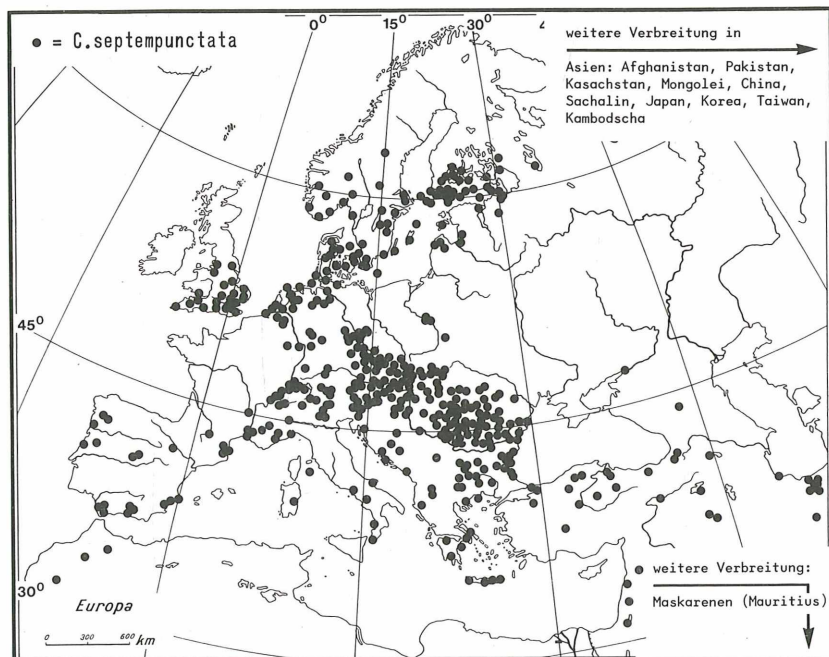
Karte 158

Chrysopidae: Chrysopa



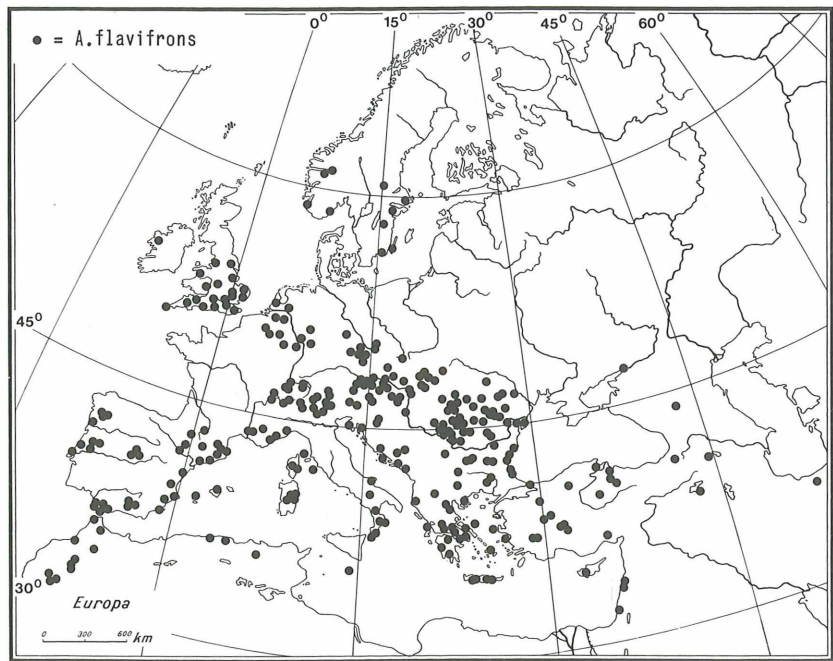
Karte 159

Chrysopidae: Chrysopa



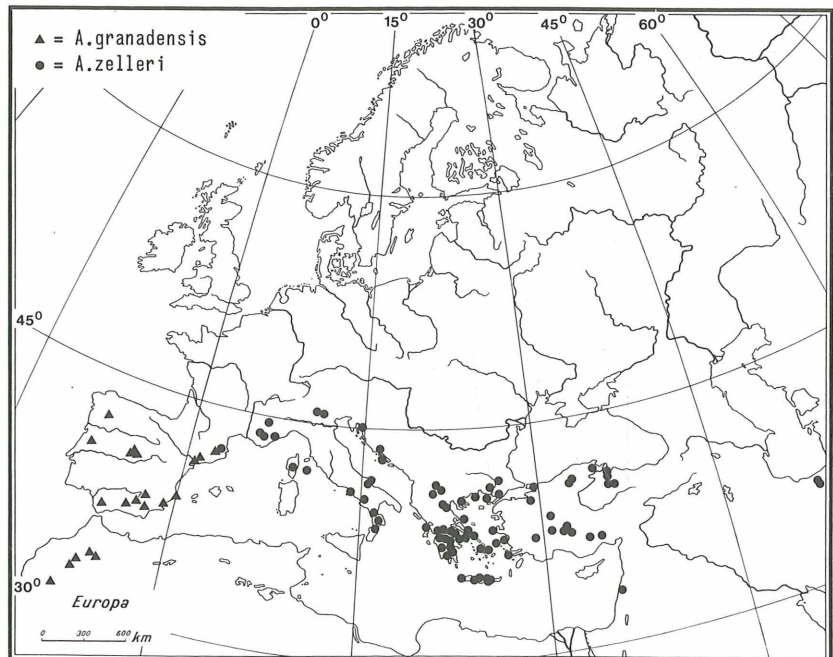
Karte 160

Chrysopidae: Anisochrysa



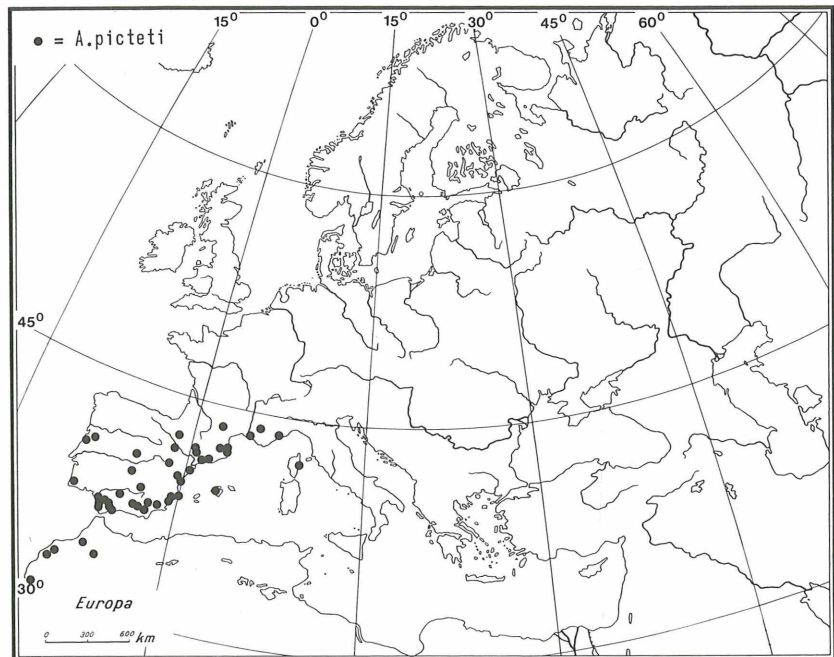
Karte 161

Chrysopidae: Anisochrysa



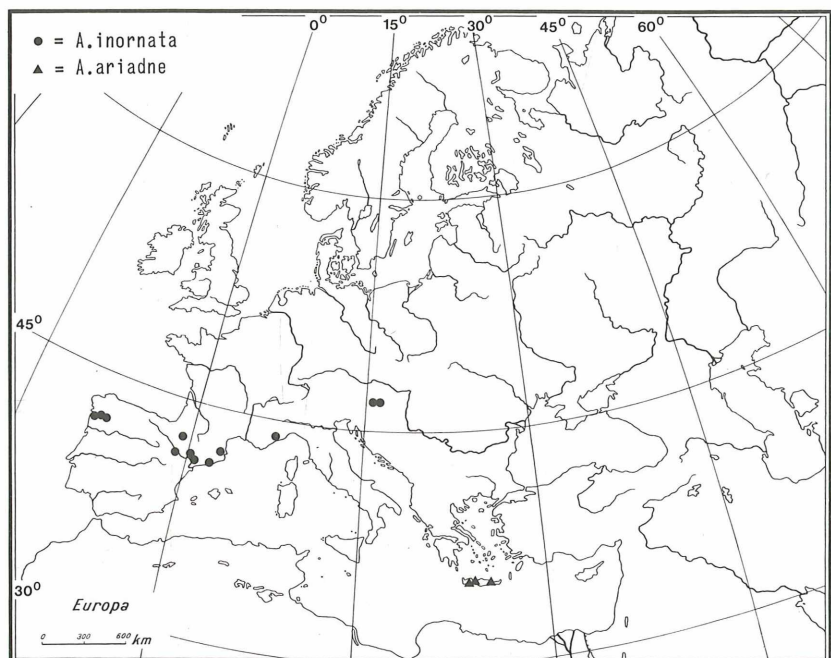
Karte 162

Chrysopidae: Anisochrysa



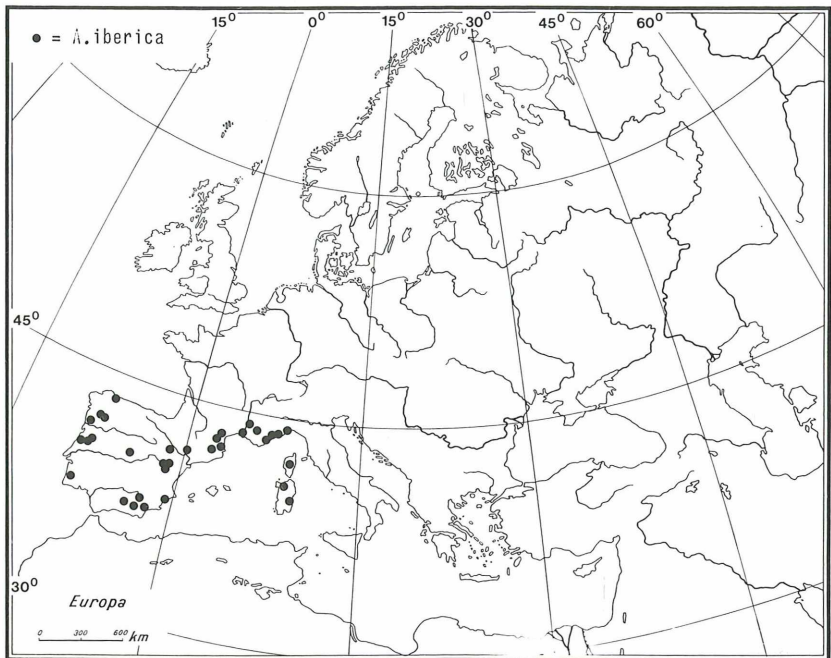
Karte 163

Chrysopidae: Anisochrysa



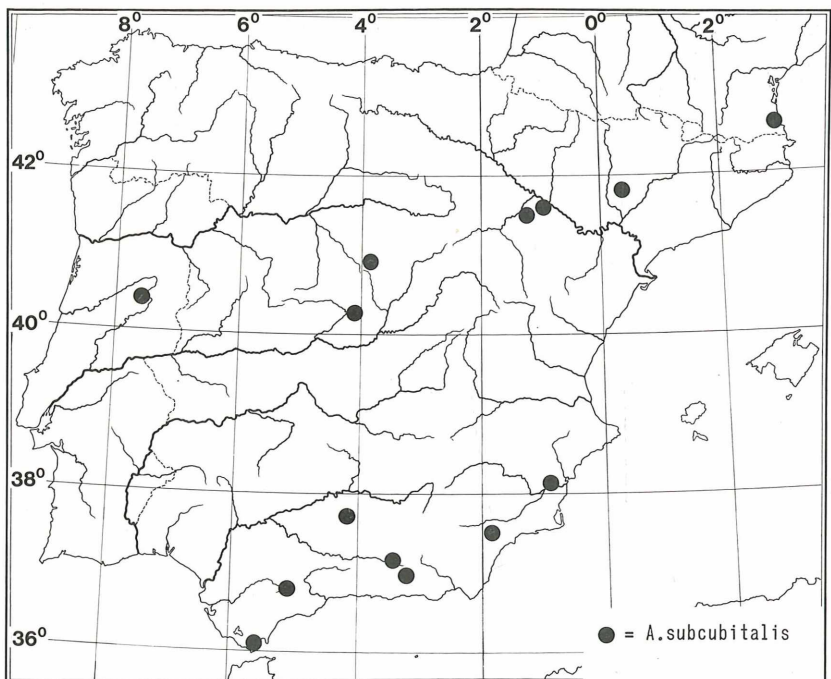
Karte 164

Chrysopidae: Anisochrysa



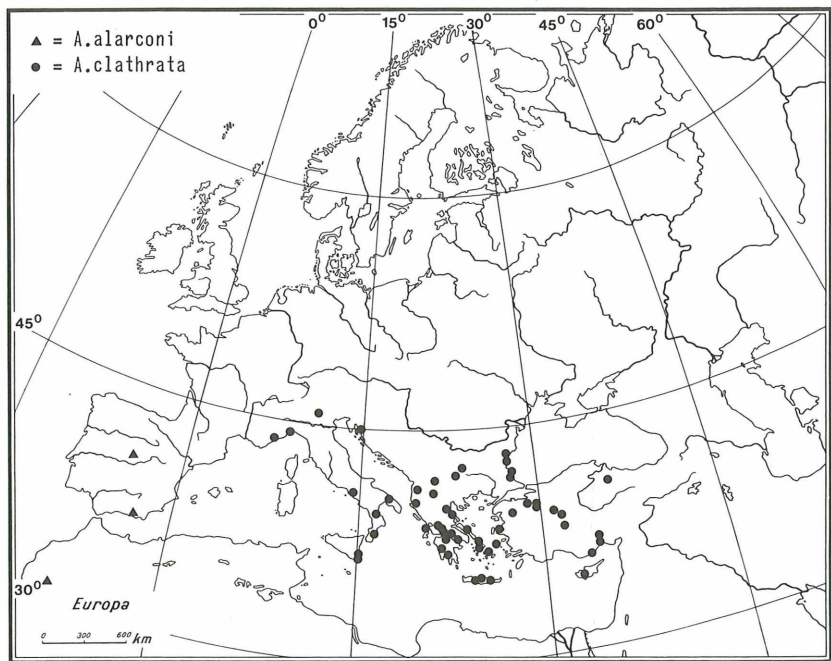
Karte 165

Chrysopidae: Anisochrysa



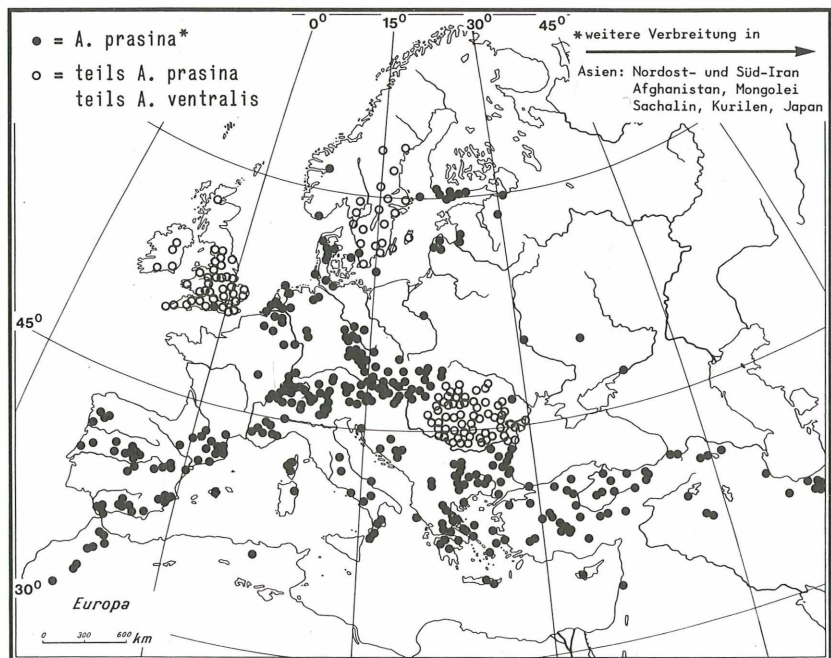
Karte 166

Chrysopidae: Anisochrysa



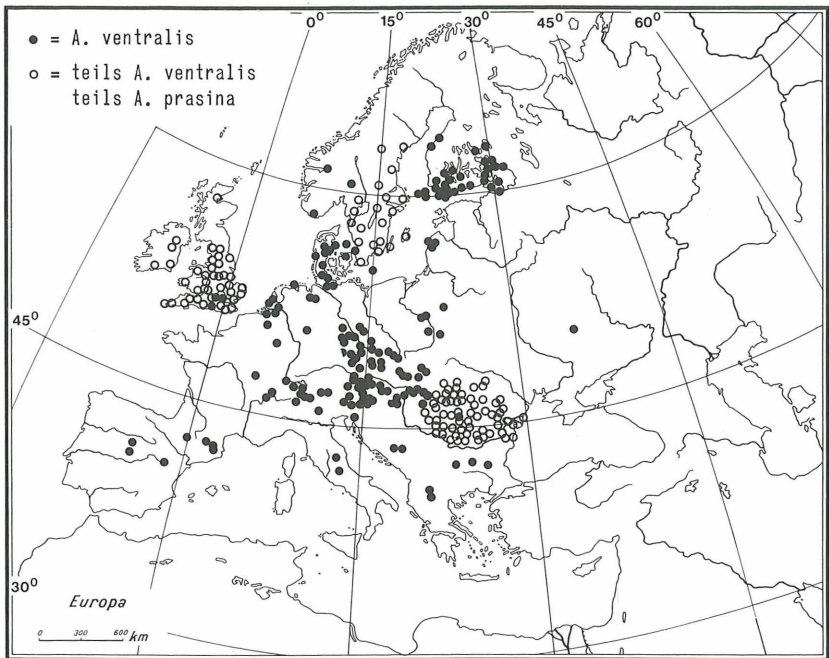
Karte 167

Chrysopidae: Anisochrysa



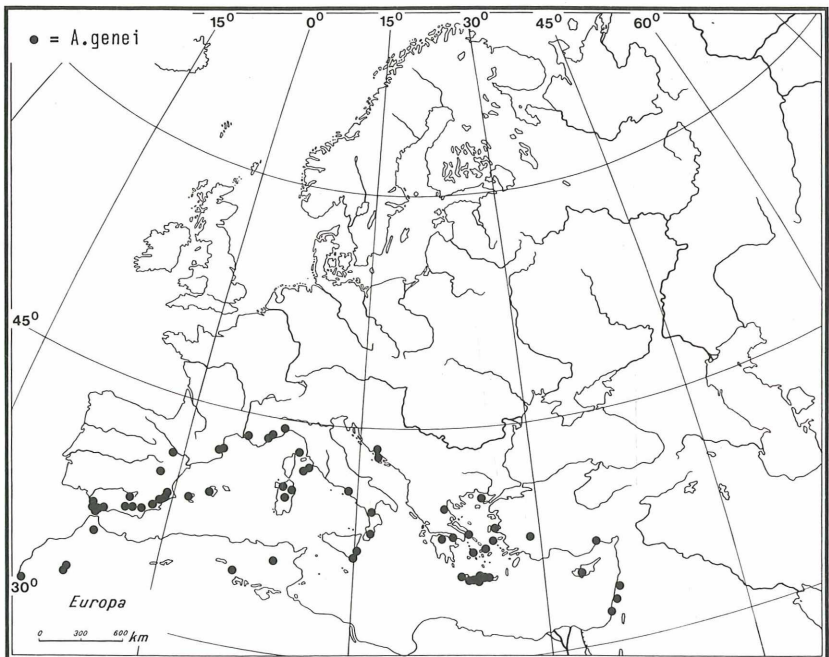
Karte 168

Chrysopidae: Anisochrysa



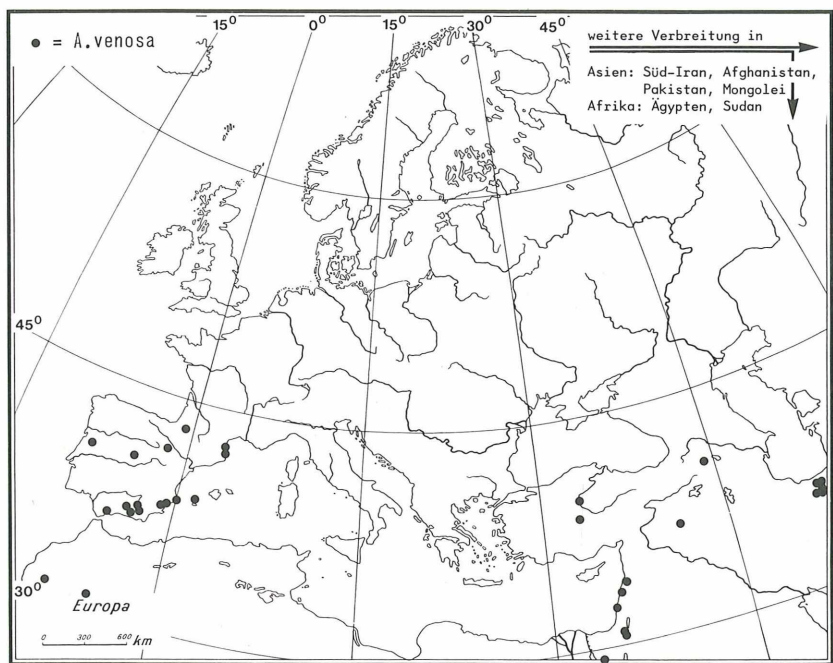
Karte 169

Chrysopidae: Anisochrysa



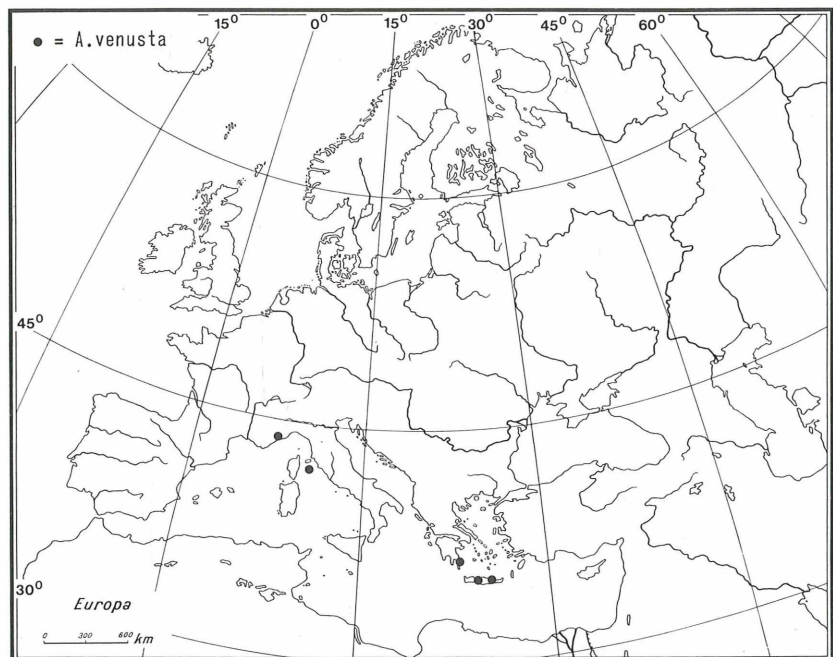
Karte 170

Chrysopidae: Anisochrysa



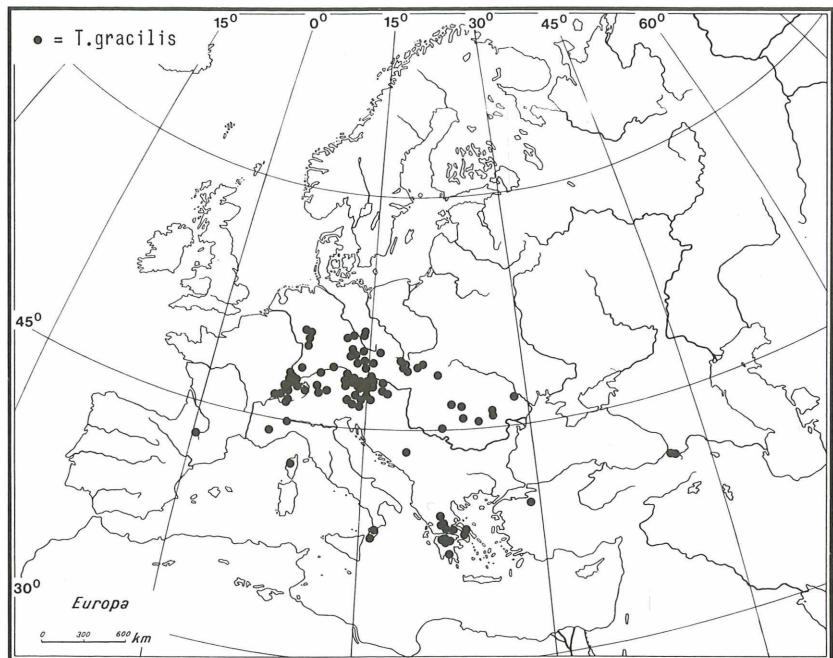
Karte 171

Chrysopidae: Anisochrysa



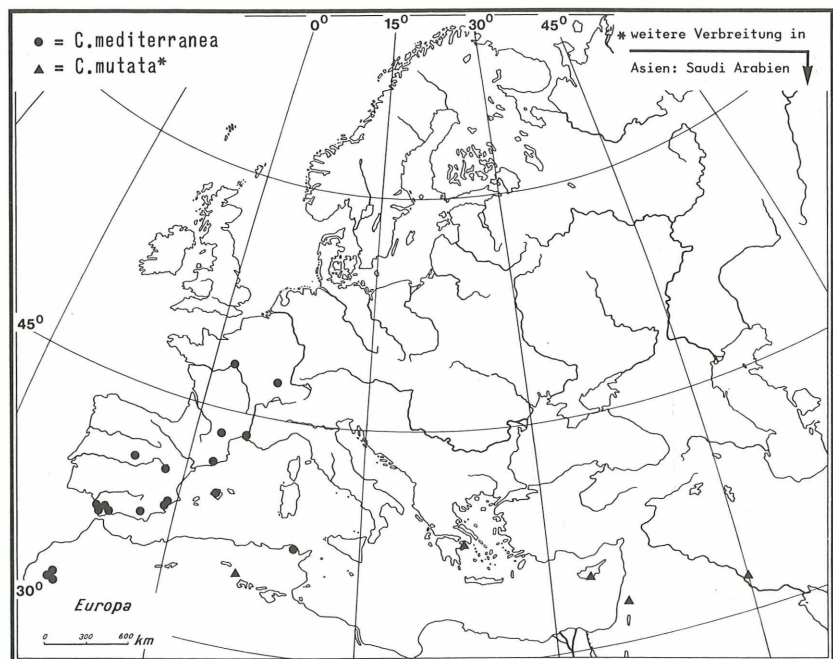
Karte 172

Chrysopidae: Tjederina



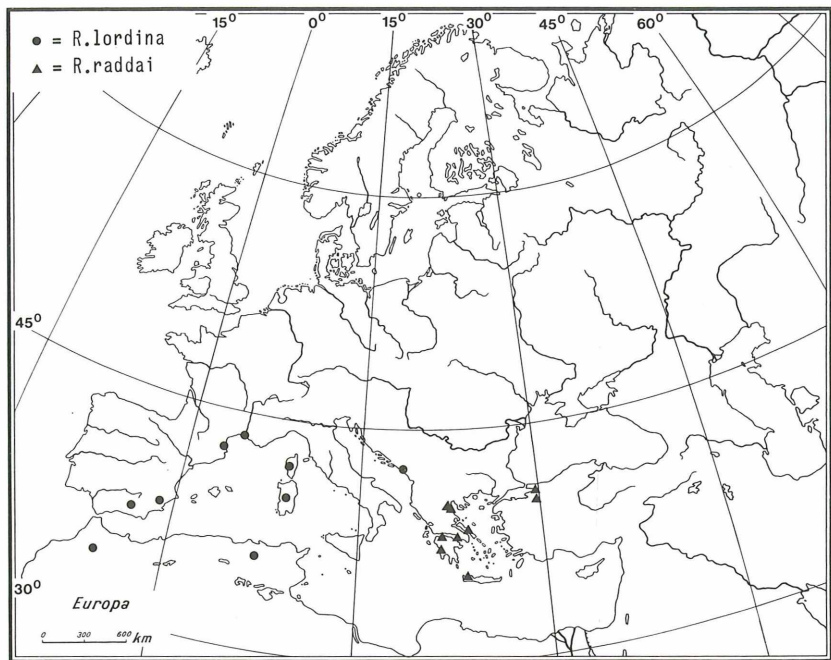
Karte 173

Chrysopidae: Chrysoperla



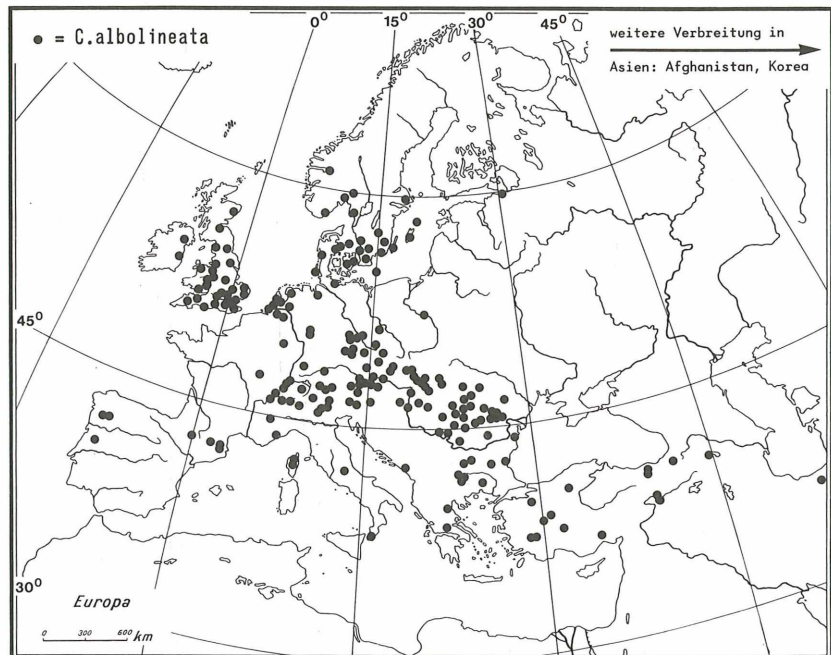
Karte 174

Chrysopidae: Rexa



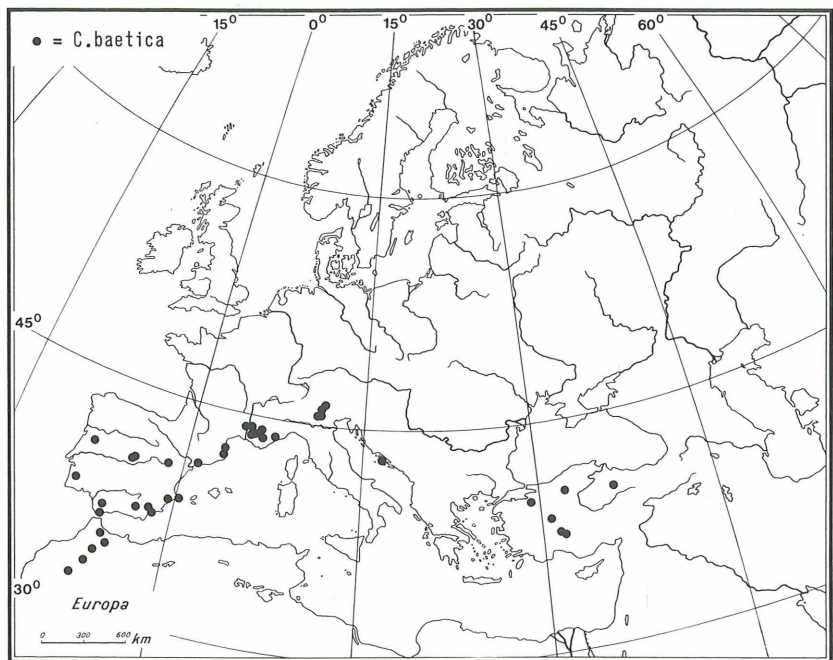
Karte 175

Chrysopidae: Cunctochrysa



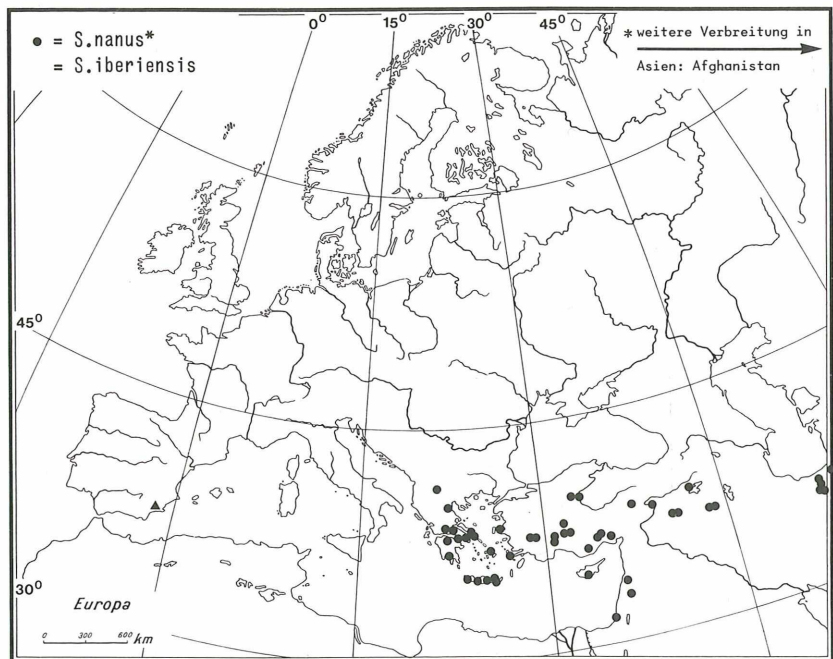
Karte 176

Chrysopidae: Cunctochrysa



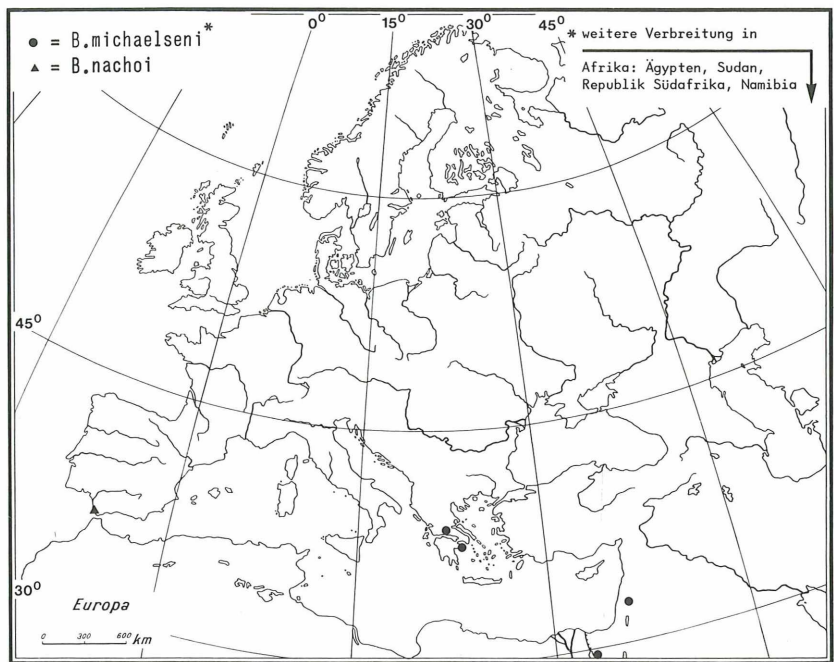
Karte 177

Chrysopidae: Suarius



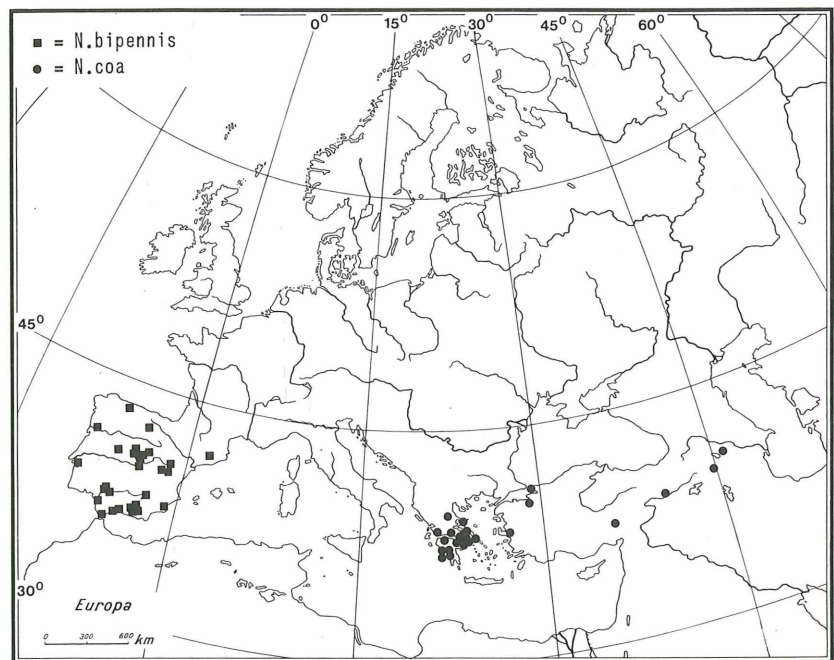
Karte 178

Chrysopidae: Brinckochrysa



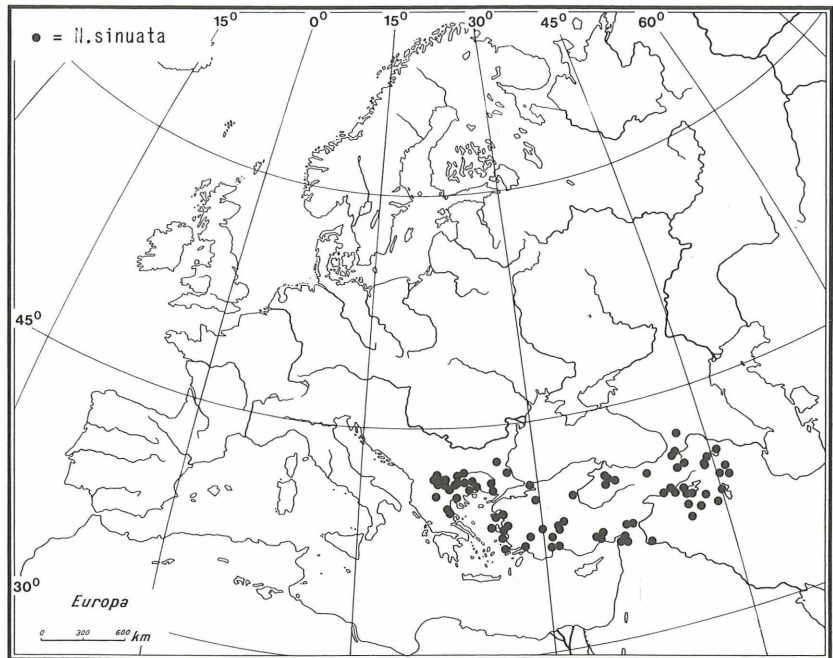
Karte 179

Nemopteridae: Nemoptera



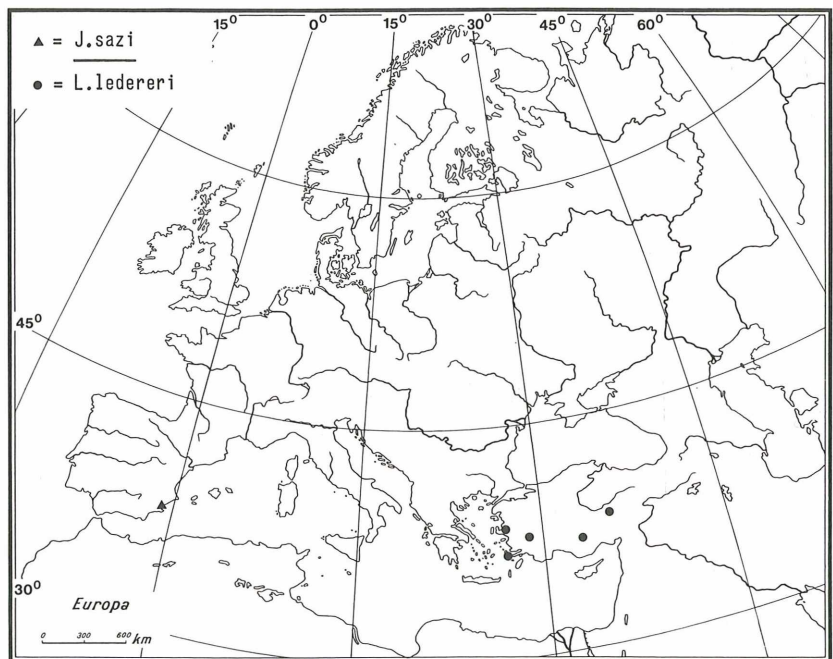
Karte 180

Nemopteridae: Nemoptera



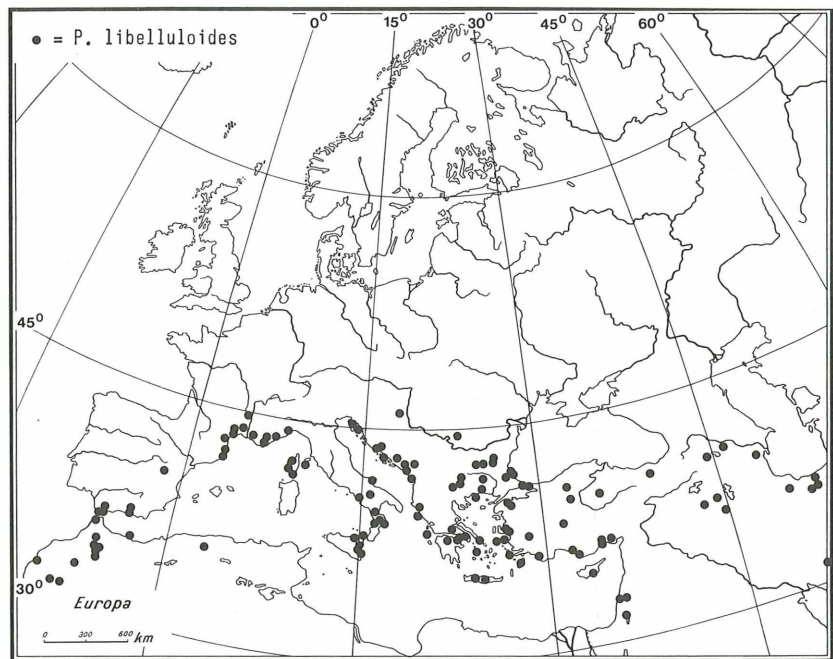
Karte 181

Nemopteridae: Lertha, Josandreva



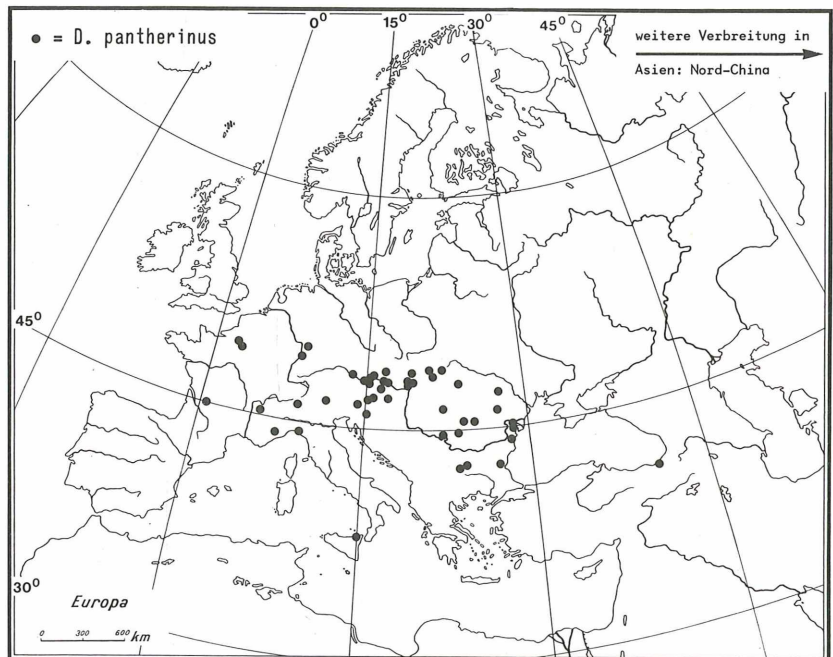
Karte 182

Myrmeleonidae: Palpares



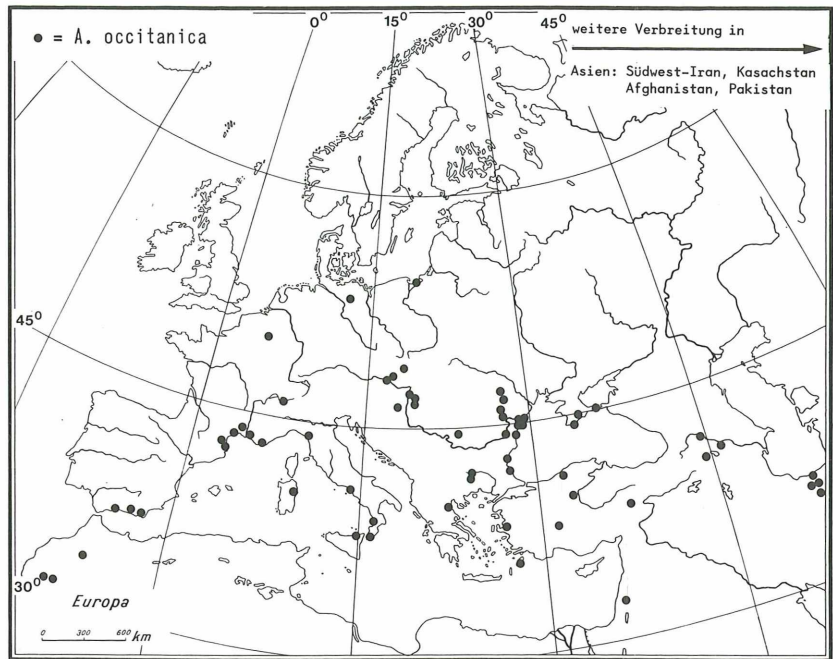
Karte 183

Myrmeleonidae: Dendroleon



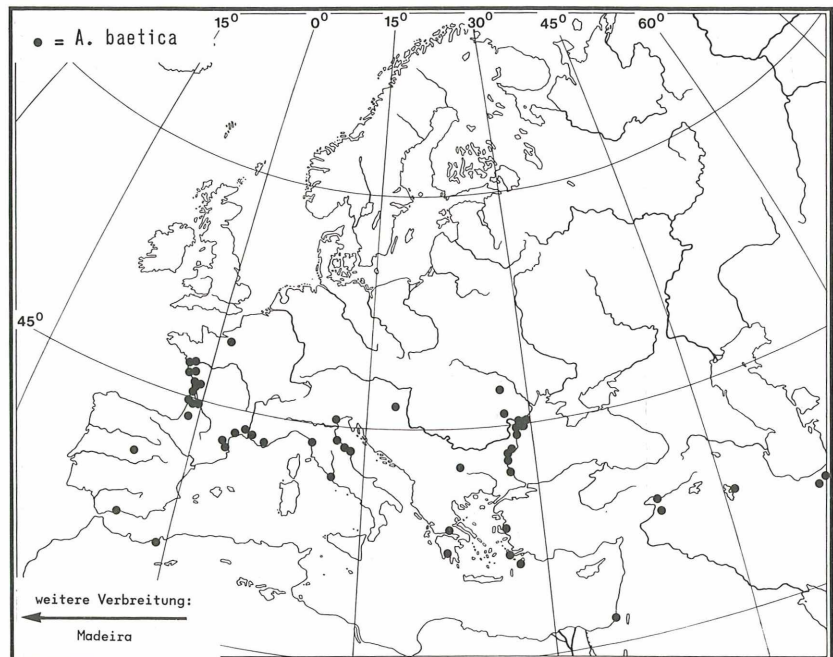
Karte 184

Myrmeleonidae: Acanthaclisis



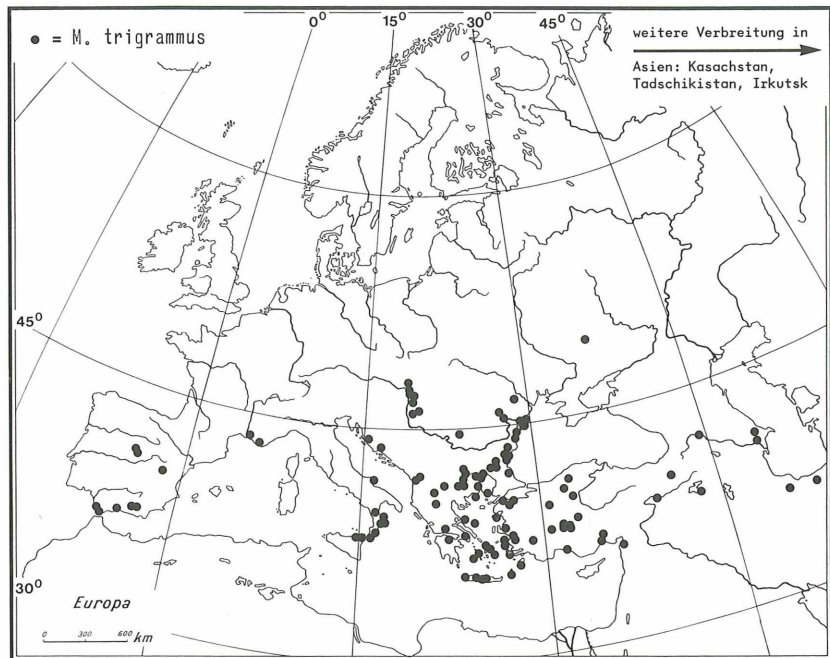
Karte 185

Myrmeleonidae: Acanthaclisis



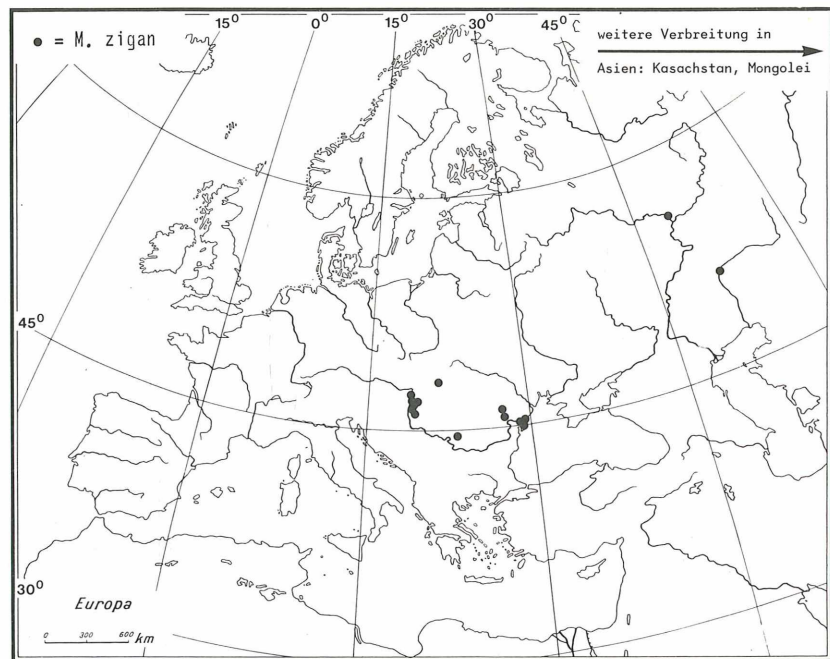
Karte 186

Myrmeleonidae: Myrmecaelurus (Myrmecaelurus)



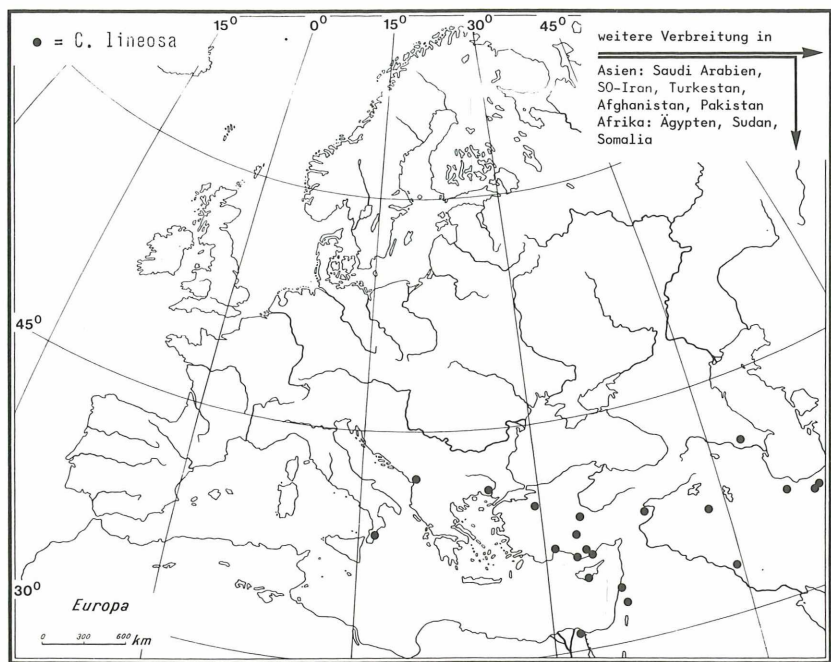
Karte 187

Myrmeleonidae: Myrmecaelurus (Nohoveus)



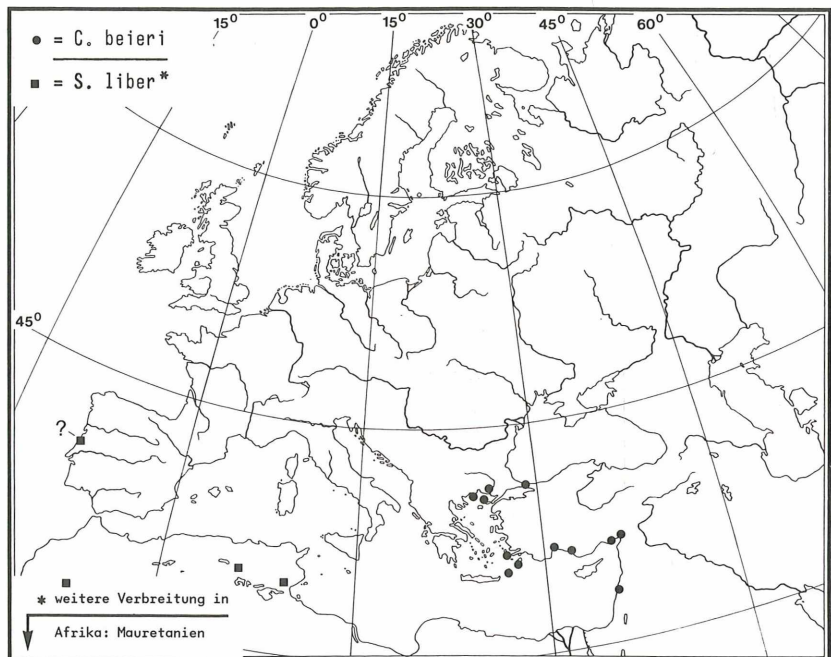
Karte 188

Myrmeleonidae: Cueta



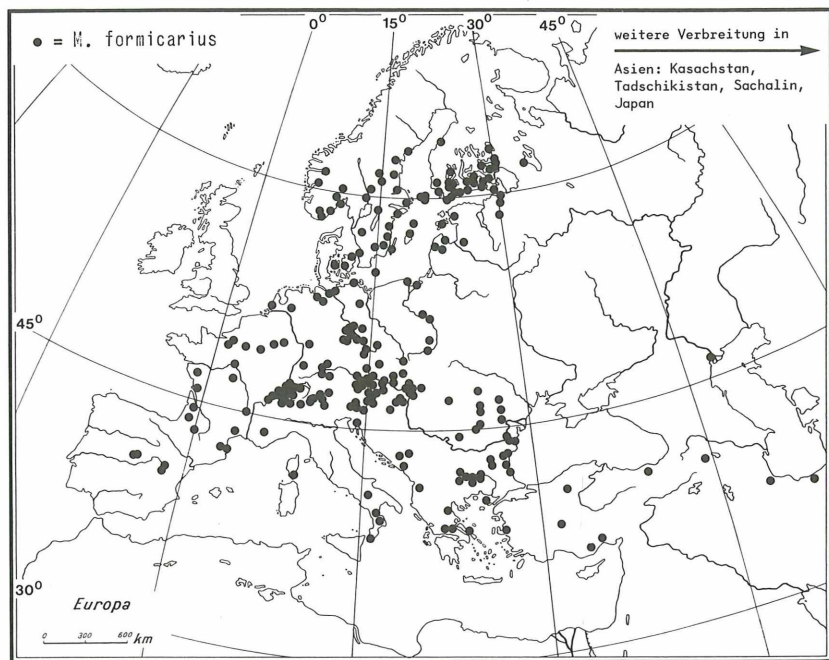
Karte 189

Myrmeleonidae: Cueta, Solter



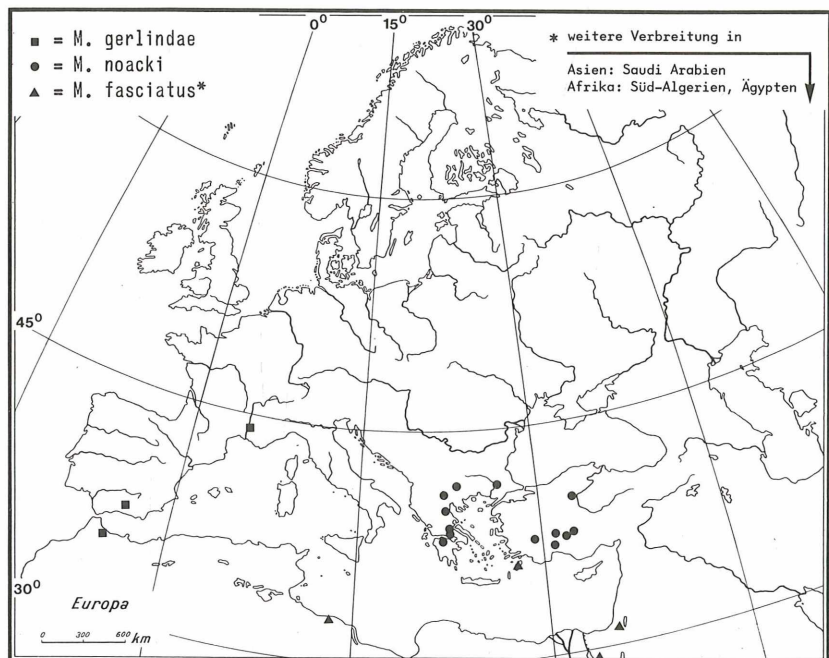
Karte 190

Myrmeleonidae: Myrmeleon (Myrmeleon)



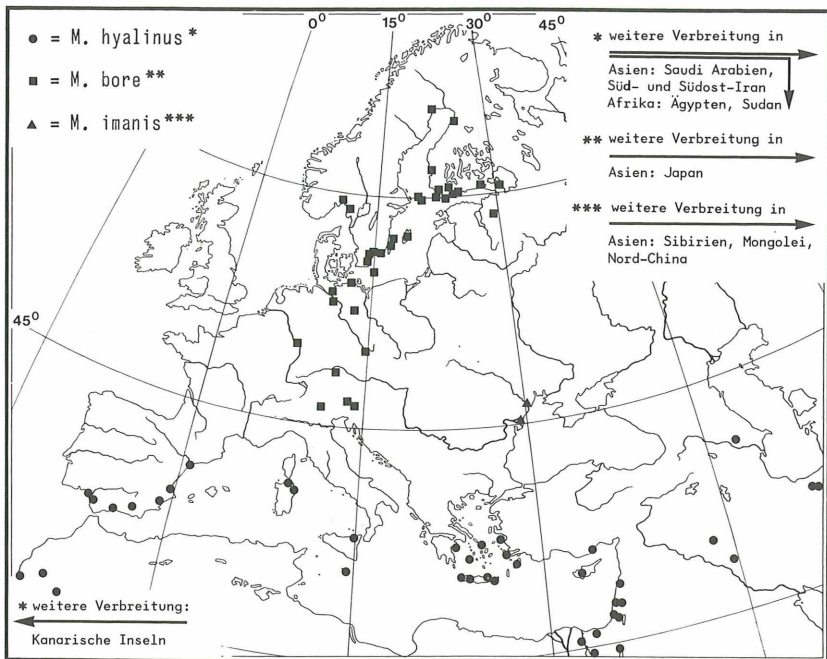
Karte 191

Myrmeleonidae: Myrmeleon (Myrmeleon), (Morter)



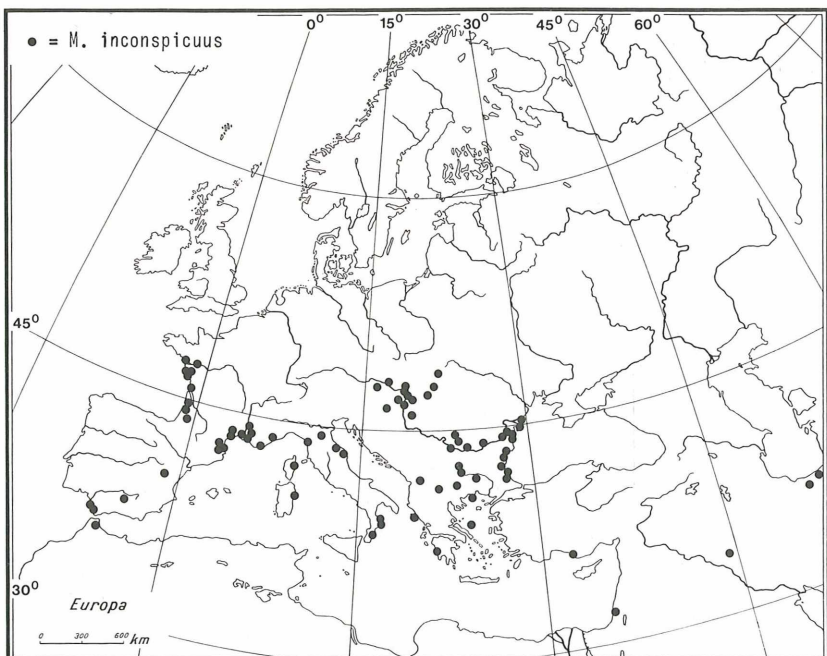
Karte 192

Myrmeleonidae: Myrmeleon (Morter)



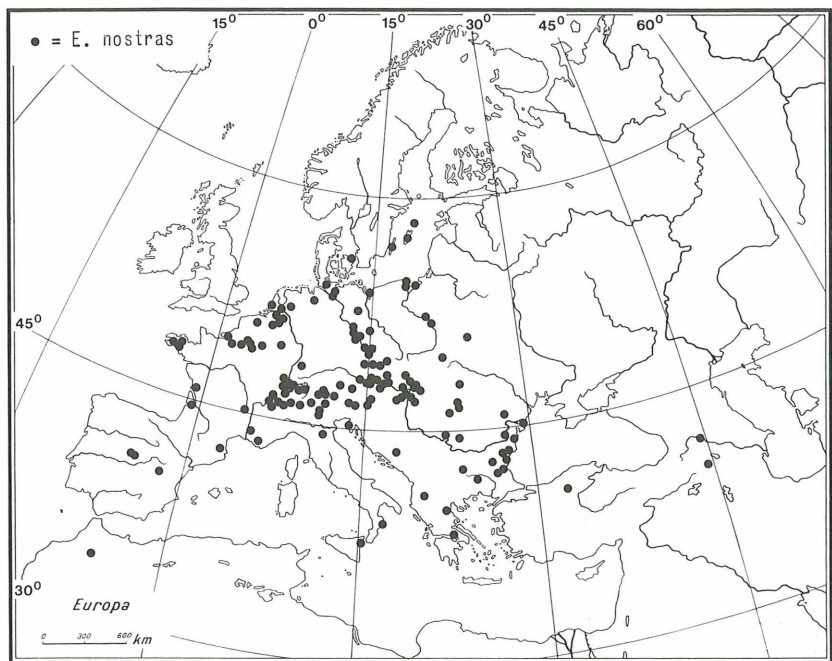
Karte 193

Myrmeleonidae: Myrmeleon (Morter)



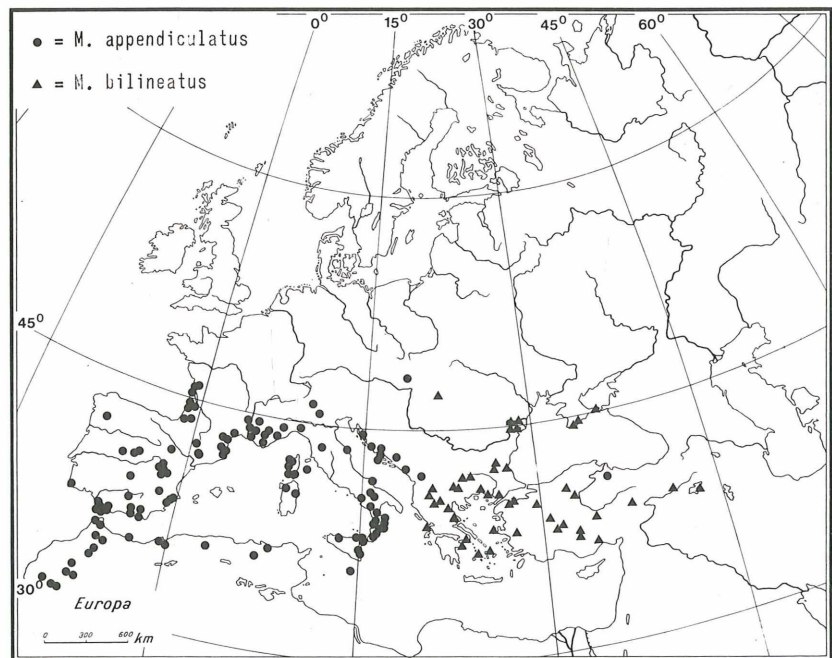
Karte 194

Myrmeleonidae: Euroleon



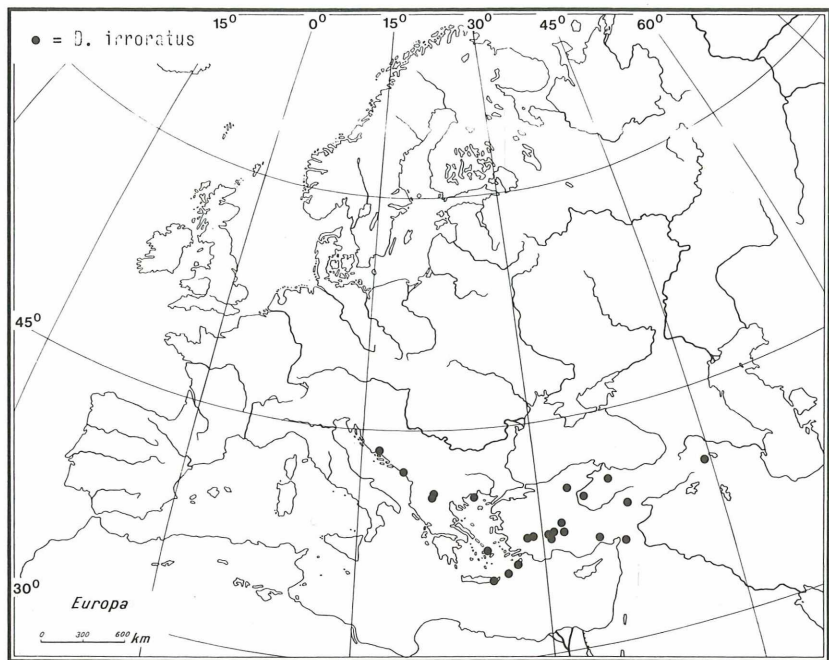
Karte 195

Myrmeleonidae: Macromermurus



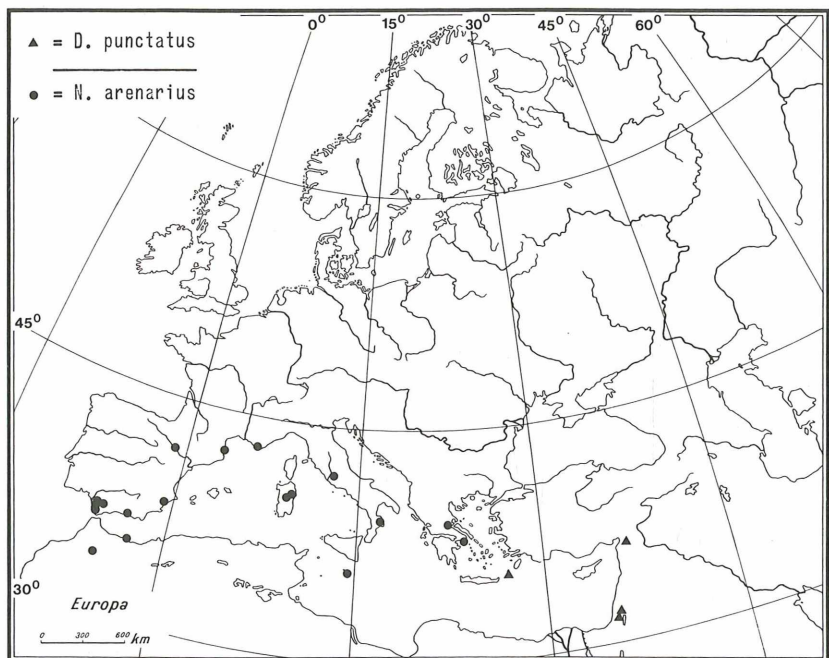
Karte 196

Myrmeleonidae: Delfimeus



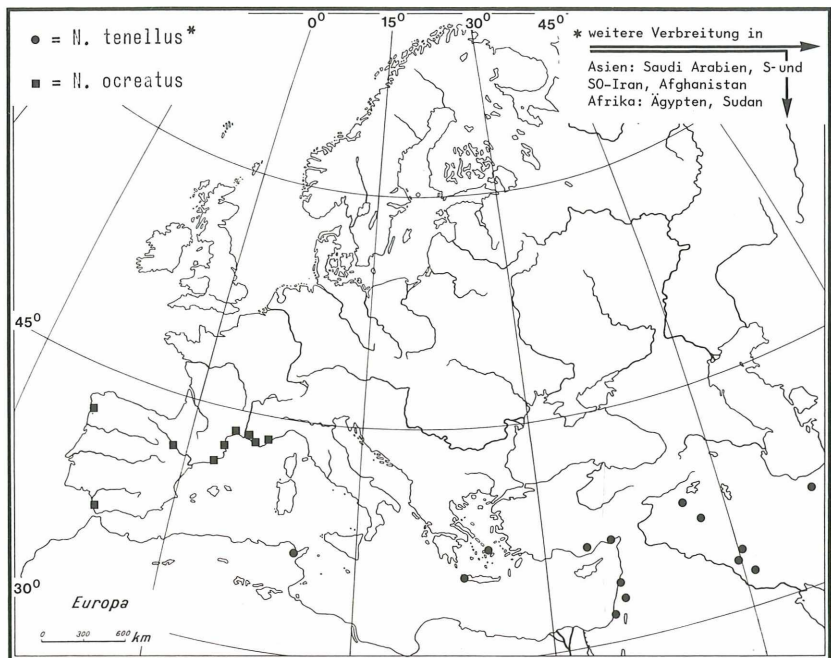
Karte 197

Myrmeleonidae: Delfimeus, Neuroleon



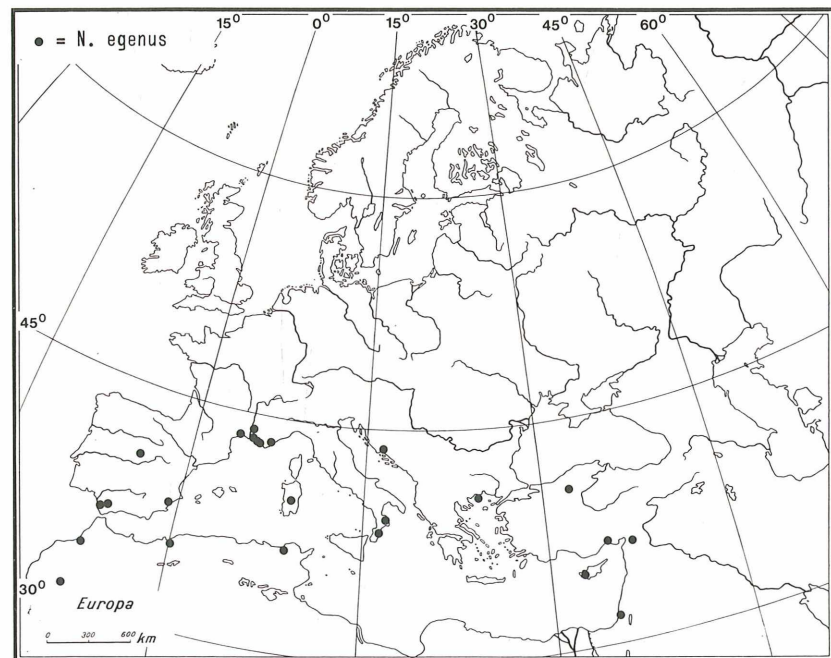
Karte 198

Myrmeleonidae: Neuroleon



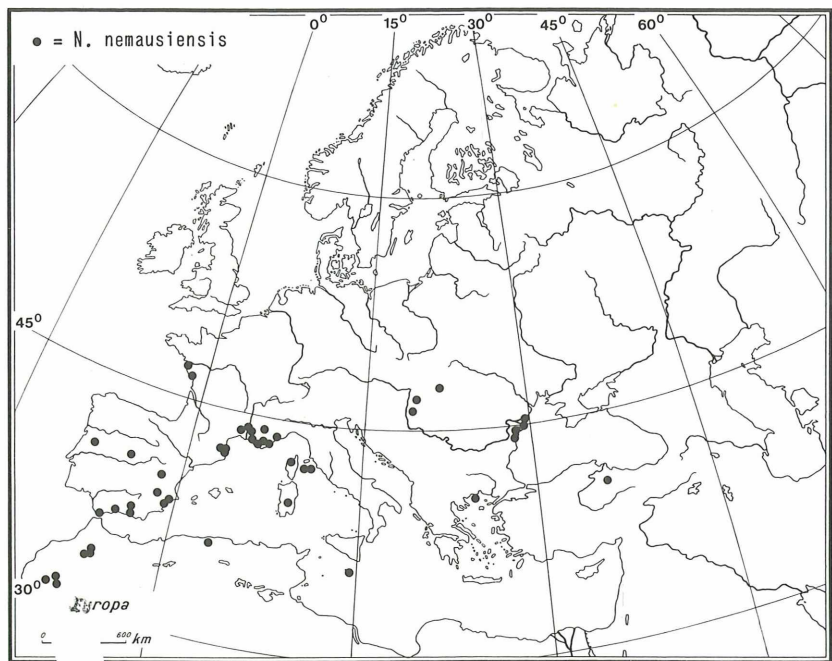
Karte 199

Myrmeleonidae: Neuroleon



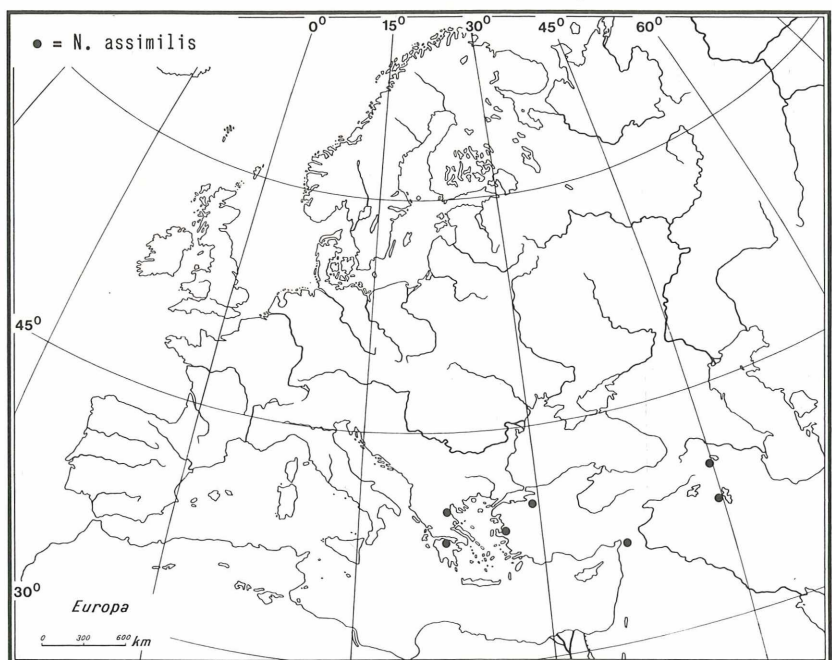
Karte 200

Myrmeleonidae: Neuroleon



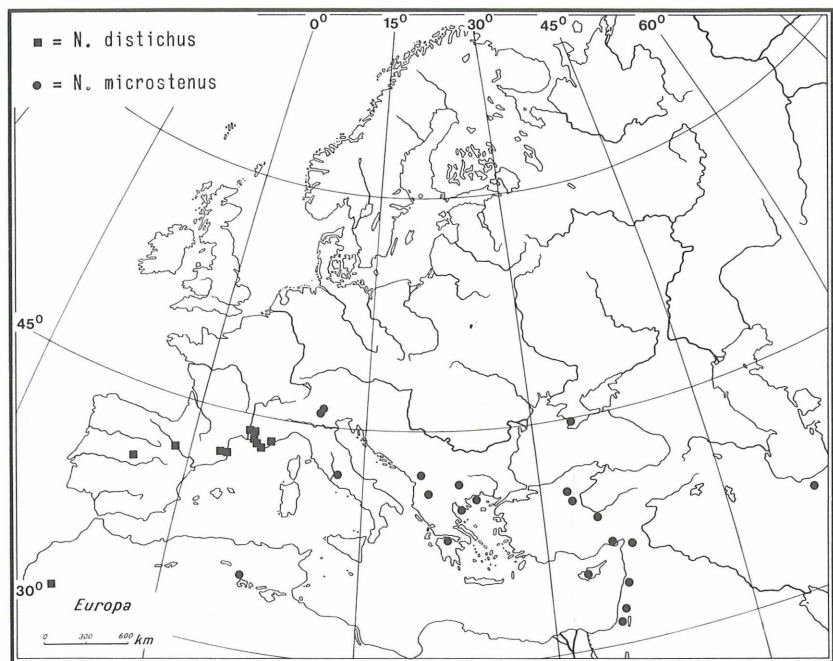
Karte 201

Myrmeleonidae: Neuroleon



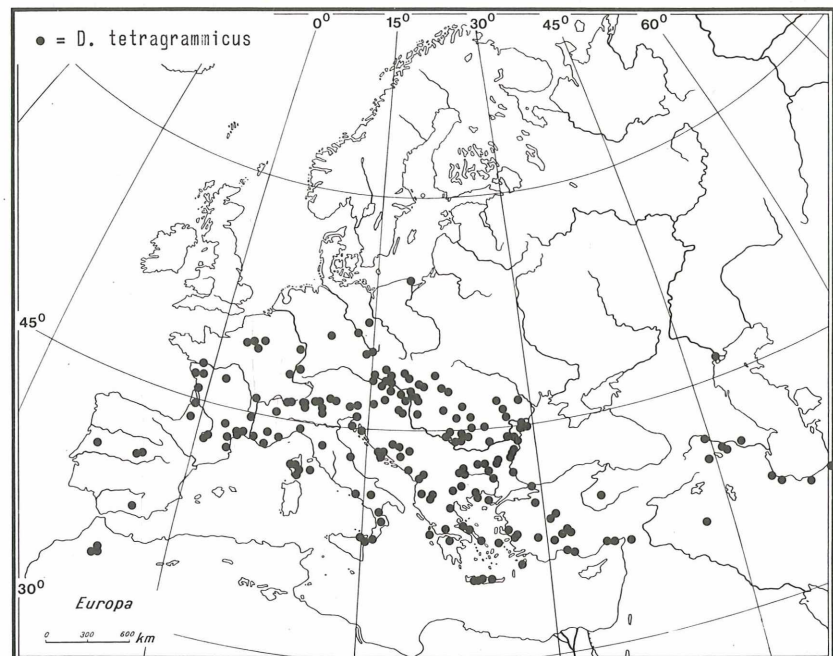
Karte 202

Myrmeleonidae: Neuroleon



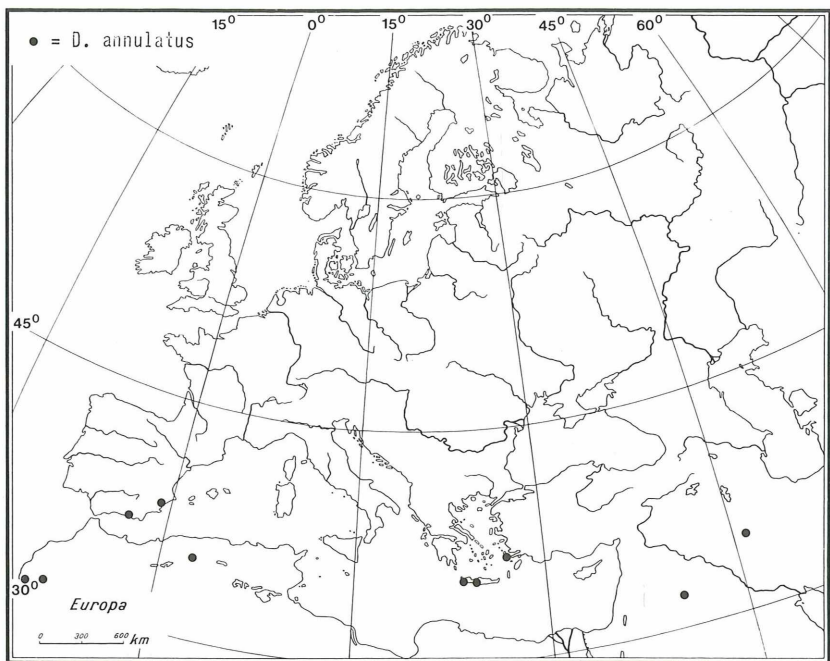
Karte 203

Myrmeleonidae: Distoleon



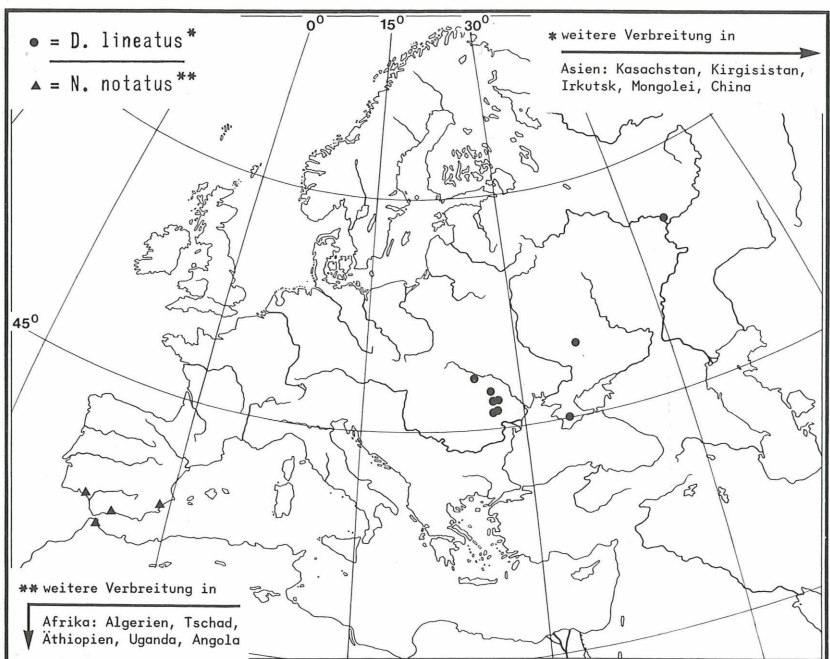
Karte 204

Myrmeleonidae: Distoleon



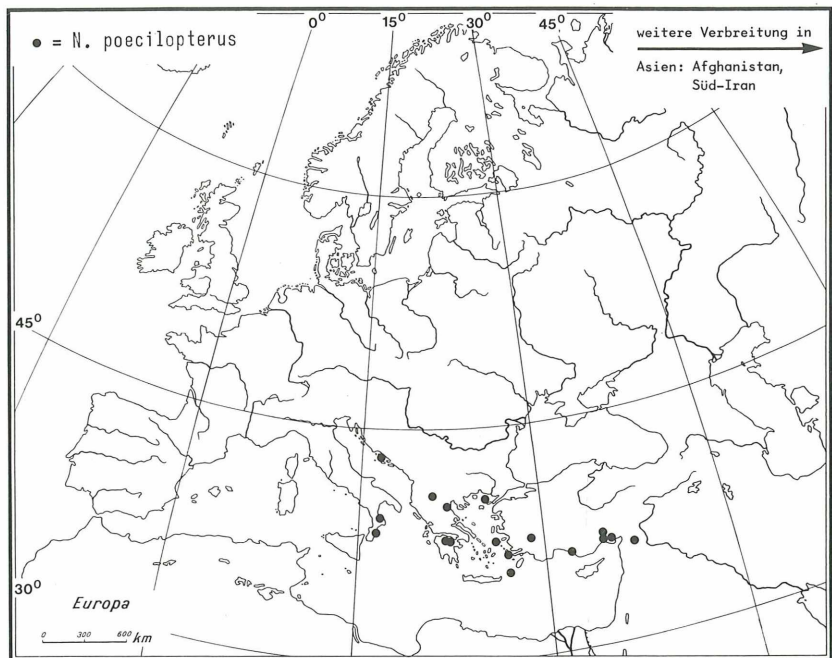
Karte 205

Myrmeleonidae: Distoleon, Nemoleon



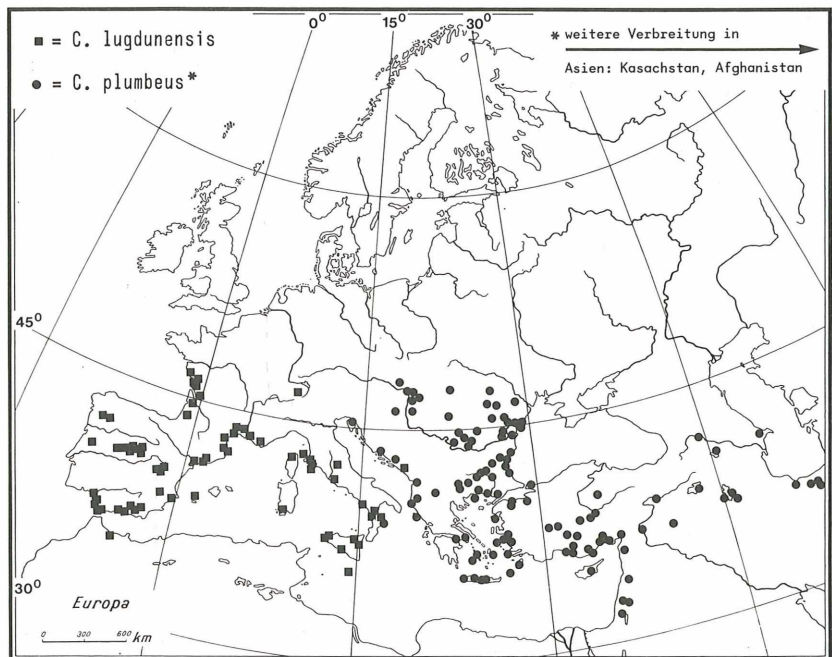
Karte 206

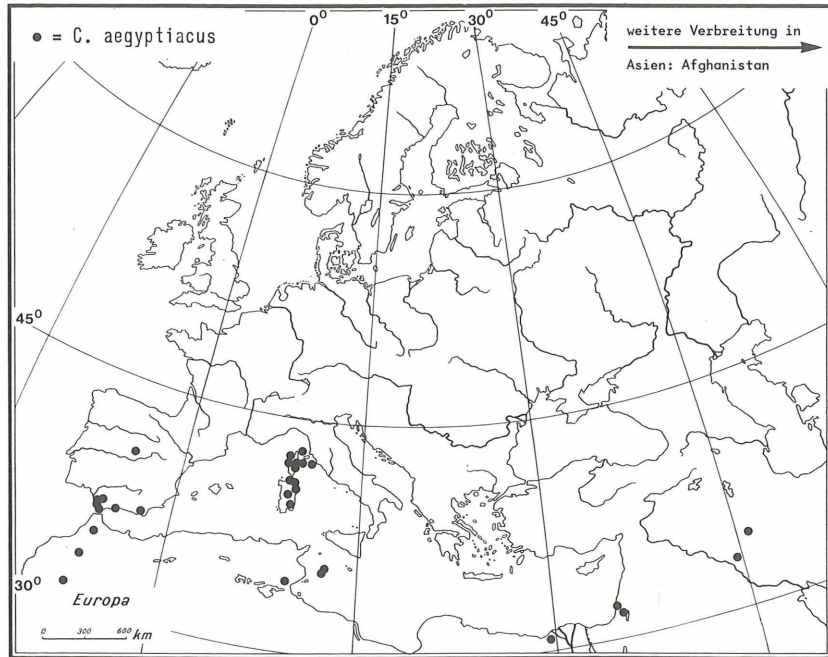
Myrmeleonidae: Nicarinus

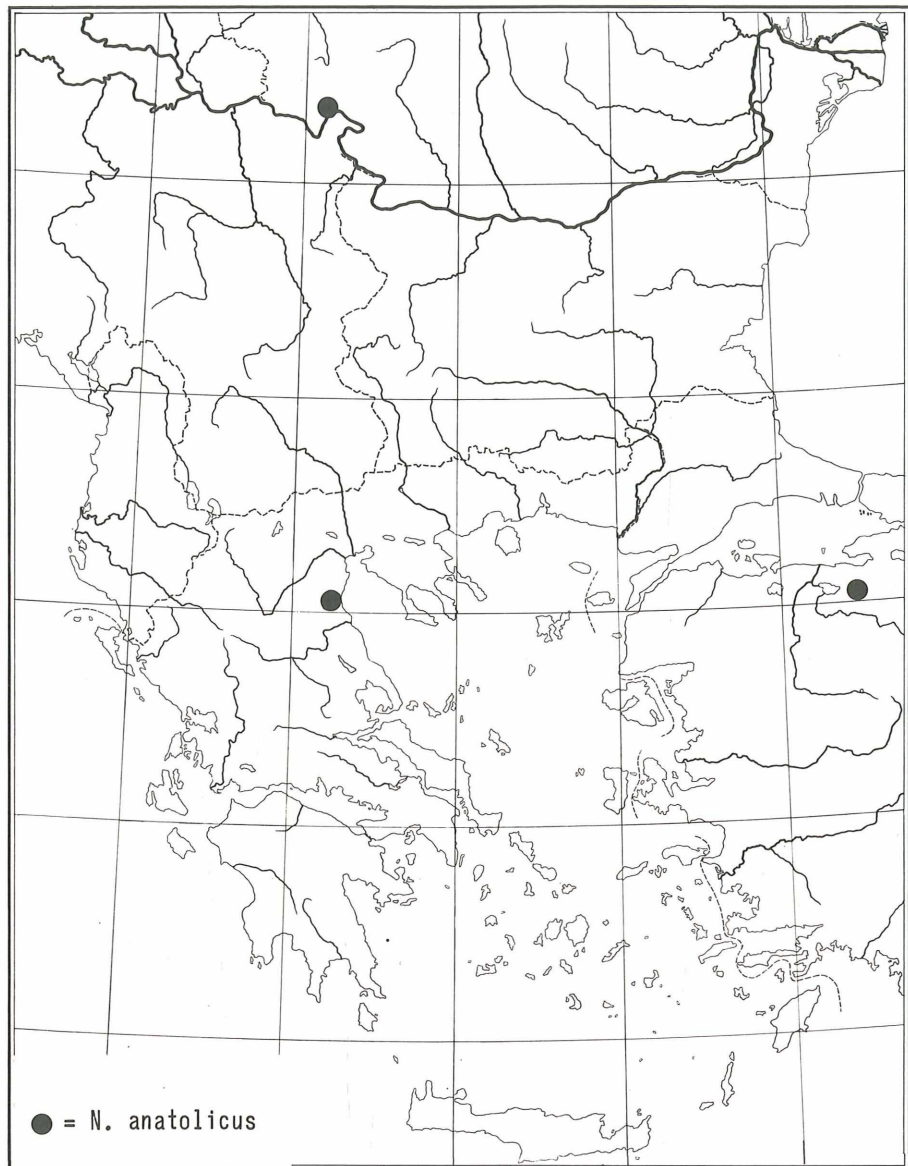


Karte 207

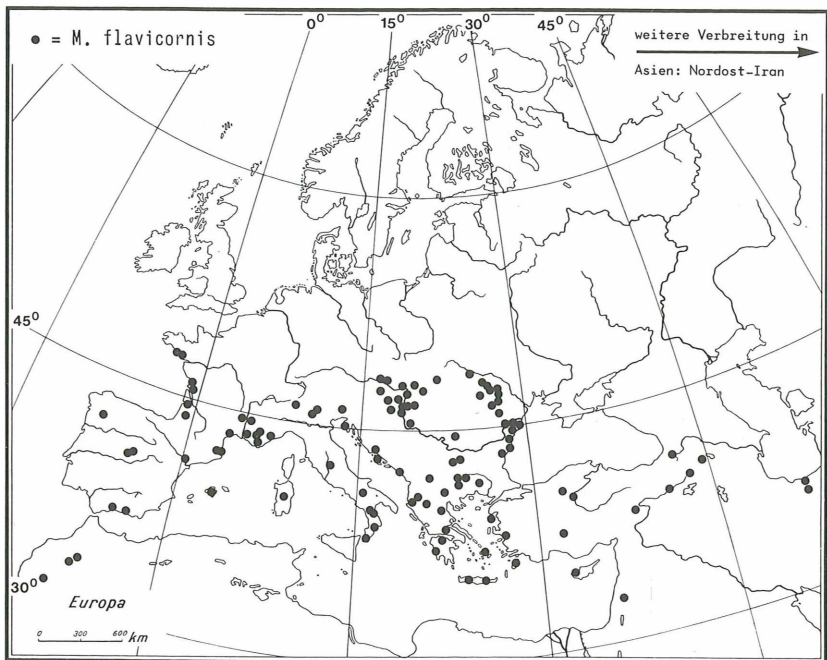
Myrmeleonidae: Creoleon



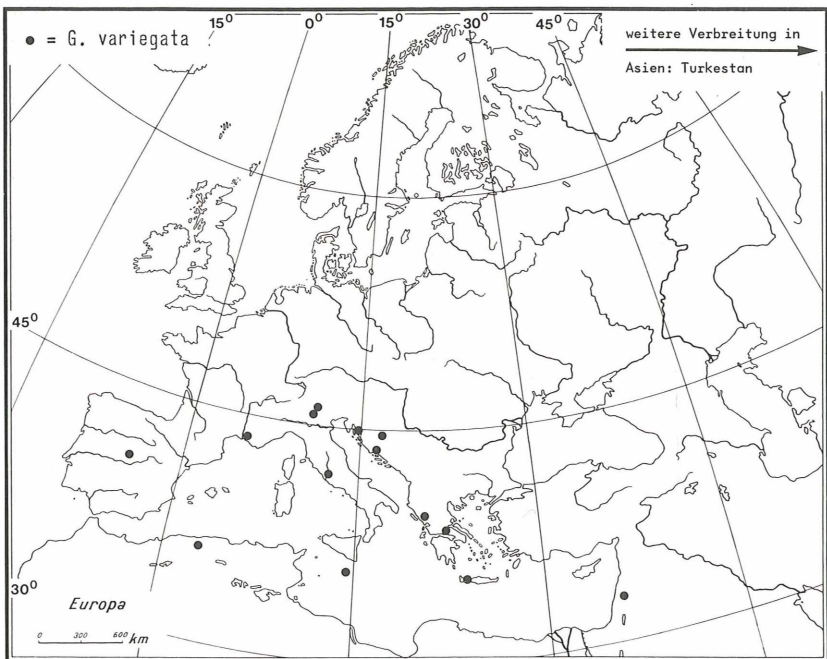




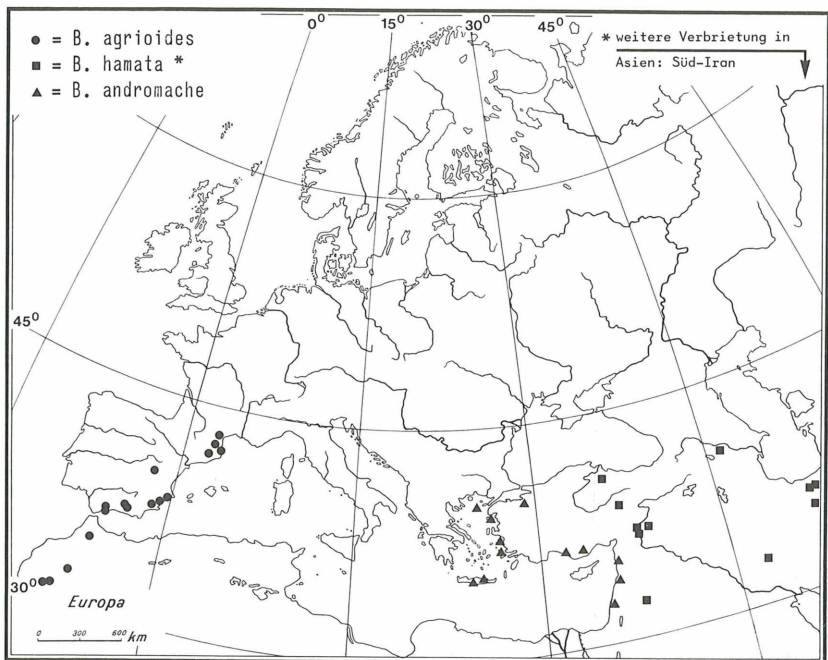
Karte 210

Myrmeleonidae: *Megistopus*

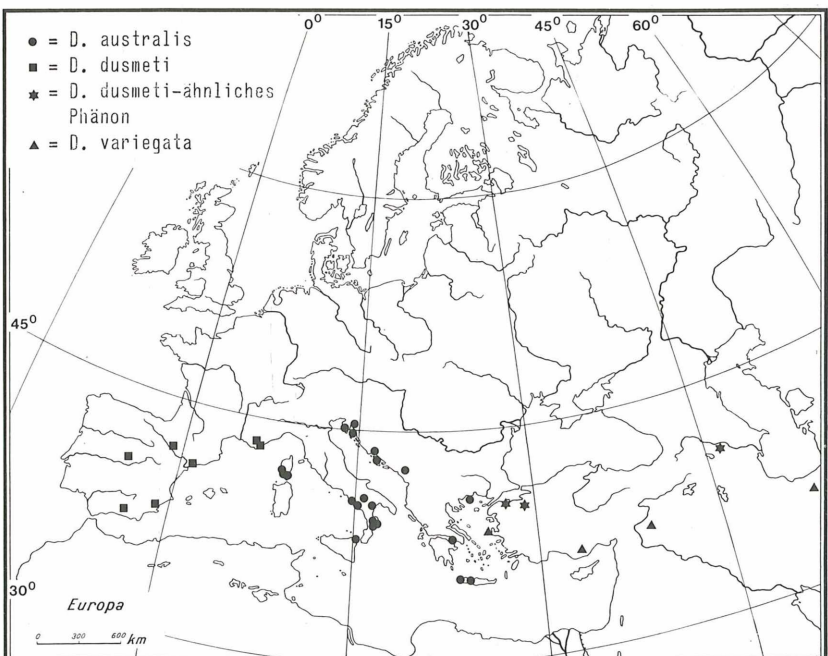
Karte 211

Myrmeleonidae: *Gymnocnemia*

Karte 212

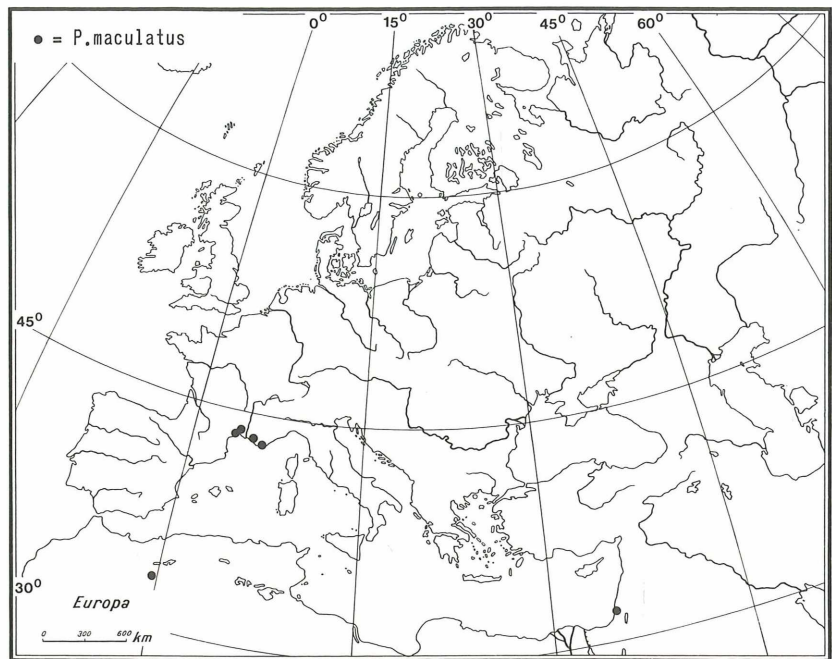
Ascalaphidae: *Bubopsis*

Karte 213

Ascalaphidae: *Deleproctophylla*

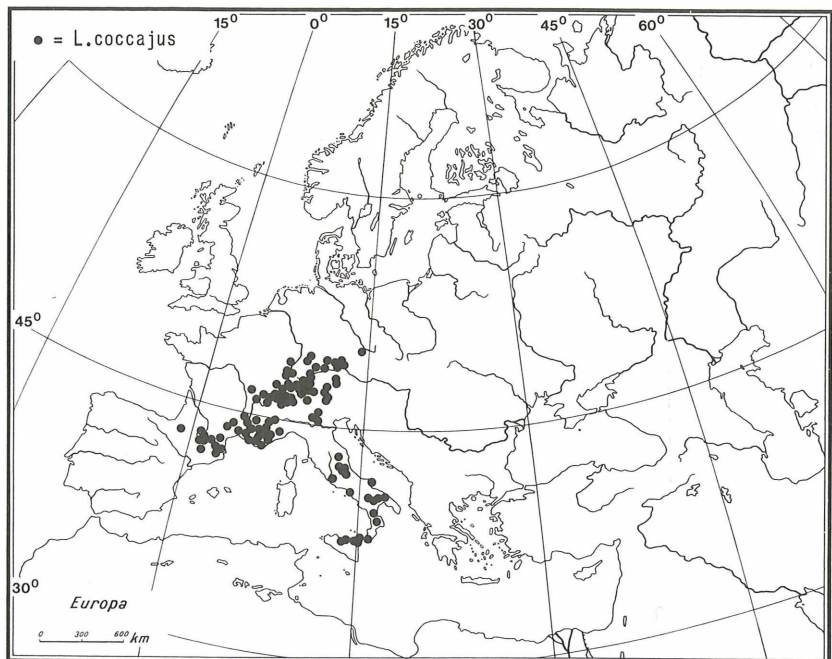
Karte 214

Ascalaphidae: Puer



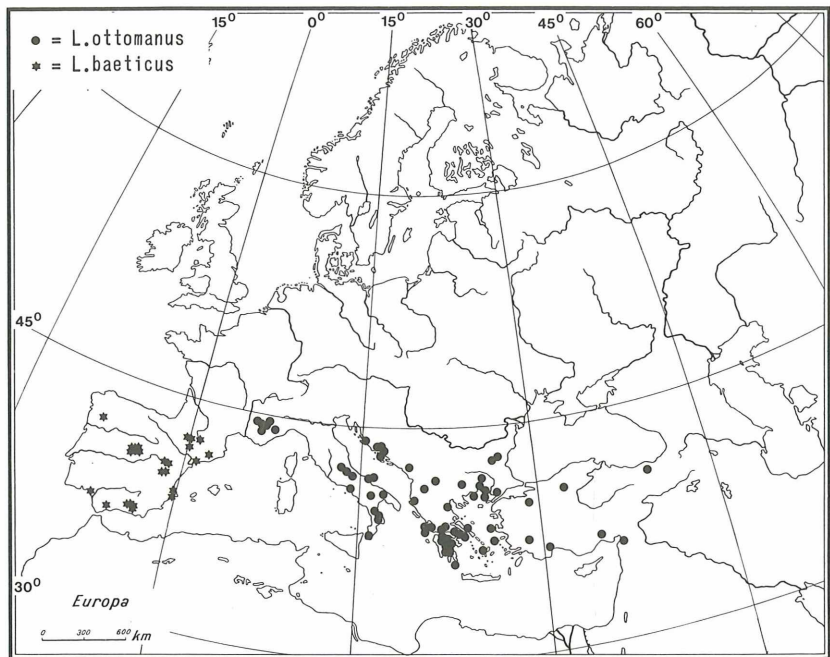
Karte 215

Ascalaphidae: Libelloides



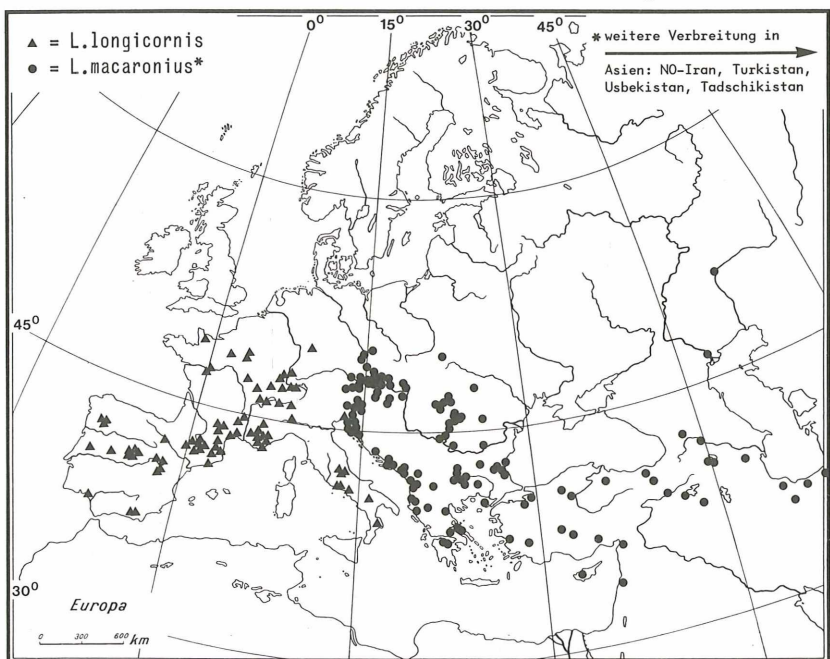
Karte 216

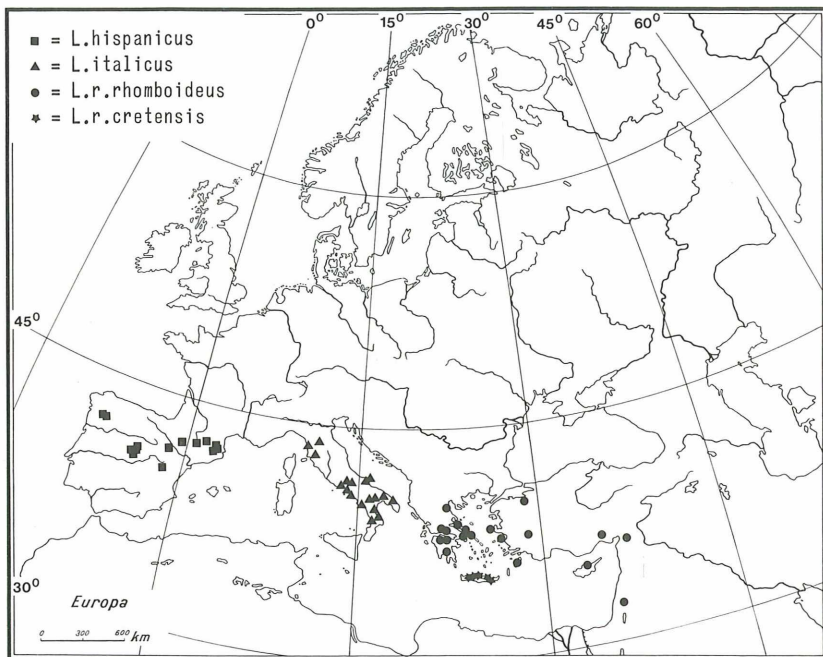
Ascalaphidae: Libelloides

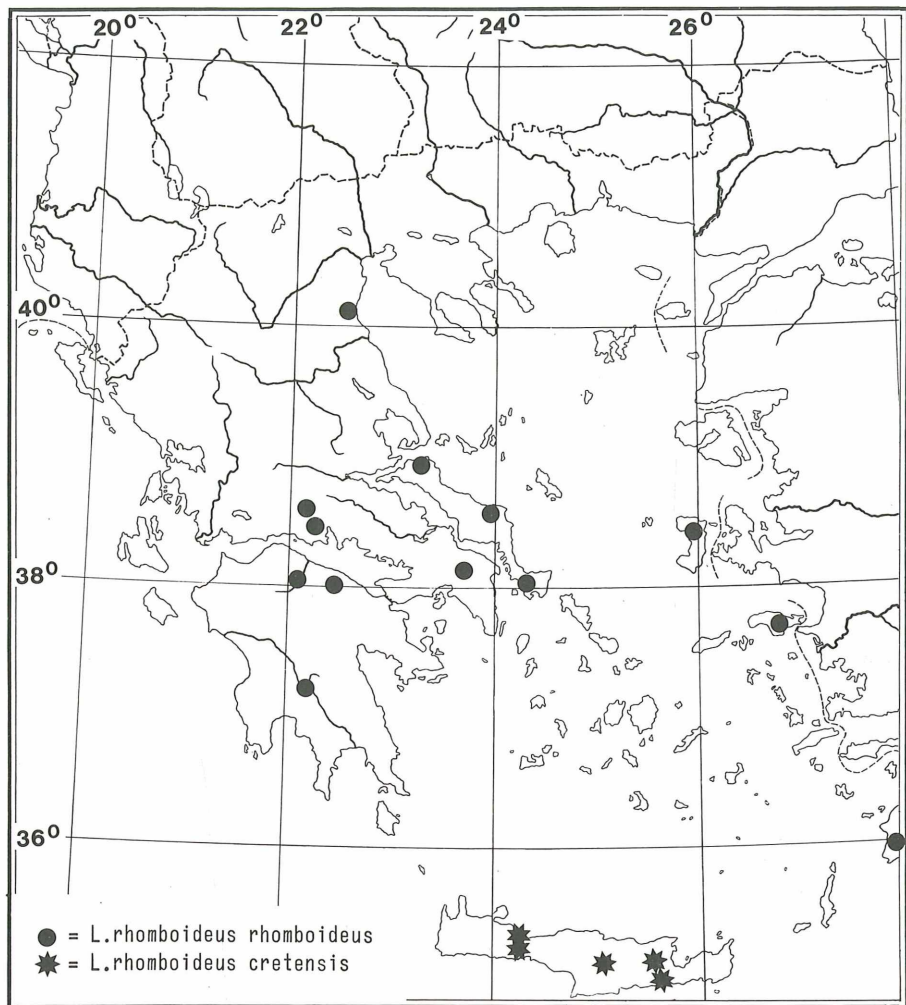


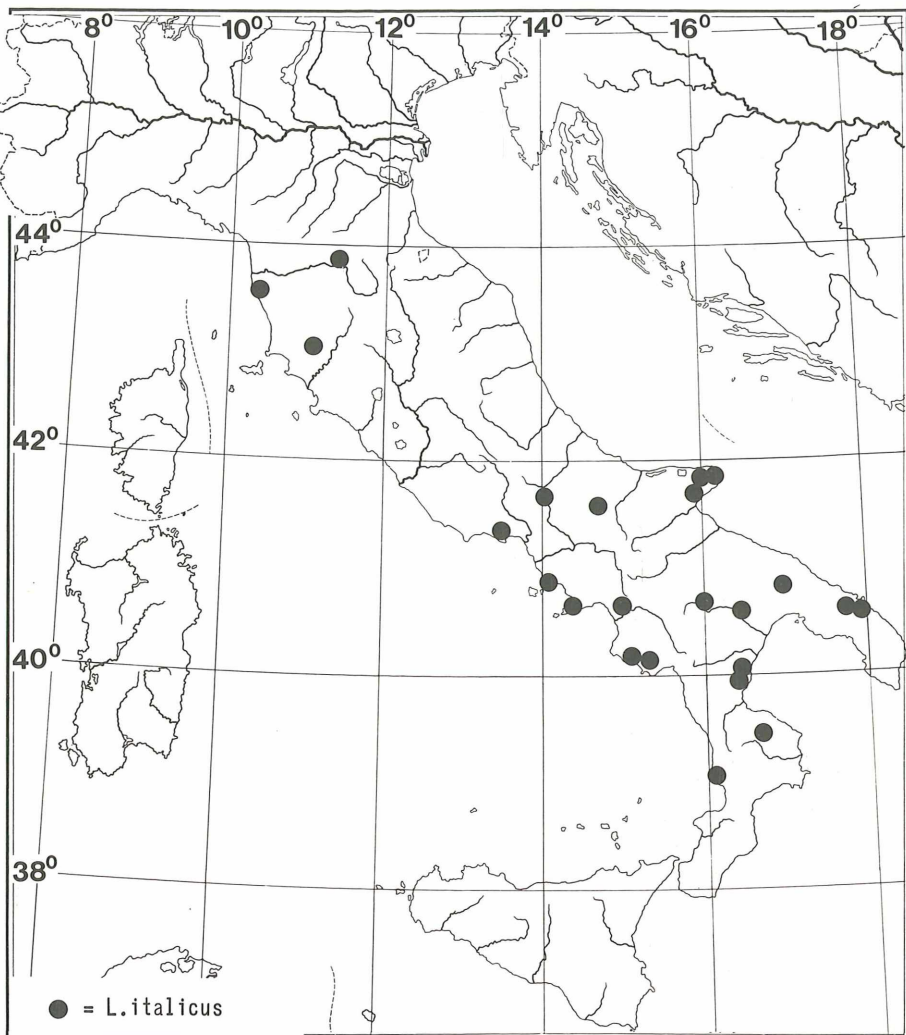
Karte 217

Ascalaphidae: Libelloides



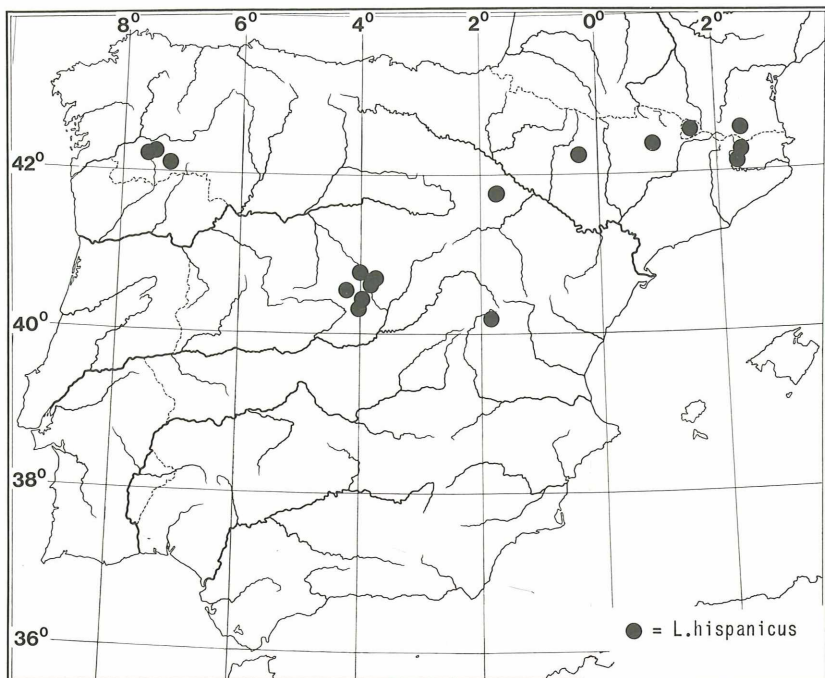






Karte 221

Ascalaphidae: Libelloides



Karte 222

Ascalaphidae: Libelloides

